

**MICROFACIES E MICROFOSSILI DEL CRETACICO
DI PIATTAFORMA CARBONATICA
INTERNA - RETROMARGINE**
**MICROFACIES AND MICROFOSSILS
OF THE INNER - BACK EDGE CRETACEOUS
CARBONATE PLATFORM**

Tavole 1 - 156
Plates 1 - 156

2. - MICROFACIES E MICROFOSSILI DEL CRETACICO DI PIATTAFORMA CARBONATICA INTERNA - RETROMARGINE (figg. 7 - 11; Tavv. 1 - 156)

La sedimentazione delle successioni carbonatiche di piattaforma interna è regolata da un regime idrodinamico variabile, generalmente poco elevato: tale situazione di scarso ricambio delle acque, con conseguente ridotta ossigenazione, influisce negativamente sullo sviluppo delle associazioni bentoniche, che risultano quantitativamente e qualitativamente piuttosto limitate.

La sedimentazione delle successioni carbonatiche nelle aree retromarginali, invece, è caratterizzata da un idrodinamismo variabile, diretta conseguenza della morfologia del margine della piattaforma, periodicamente interessato dalla tettonica sinsedimentaria. Ciò consente alle associazioni bentoniche un notevole sviluppo qualitativo, quantitativo e talvolta anche dimensionale. In particolare tra i macrofossili risultano ben rappresentati i Gasteropodi (Nerineidae e Acteonidae) e alcune specie di Hippuritacea; tra i microfossili si osservano diverse specie esclusive.

Le suddette condizioni paleoambientali sembrano particolarmente favorevoli allo sviluppo delle alghe a tallo filamentoso assegnate da PIA, 1927 al gruppo informale delle "Porostromata".

Le successioni di retromargine del Cretacico dell'Appennino centro-meridionale sono caratterizzate dalla presenza dei noti livelli bauxitici. Il primo episodio bauxitico (bx1), di maggiore importanza perché ampiamente diffuso in numerose aree della Tetide, corrisponde a un'ampia lacuna che si estende dall'Albiano superiore a buona parte del Cenomaniano inferiore. L'arresto della sedimentazione carbonatica sarebbe una diretta conseguenza della tettonica sinsedimentaria che avrebbe causato la momentanea emergione di alcune aree retromarginali: il perdurare dell'esposizione subaerea e le favorevoli condizioni climatiche avrebbero causato un intenso carsismo con formazione di ampie

2. - MICROFACIES AND MICROFOSSILS OF THE INNER - BACK EDGE CRETACEOUS CARBONATE PLATFORM (figs. 7 - 11; Plates 1 - 156)

The sedimentation of inner carbonate platform is controlled by a variable hydrodynamic regime, generally not very high: the state of poor water exchange, resulting in reduced oxygen, has a negative influence on the development of benthic associations, which are quantitatively and qualitatively limited.

The sedimentation of carbonate successions in the back marginal areas is instead characterized by a variable hydrodynamic conditions, direct consequence of the morphology of the edge platform, periodically affected by the synsedimentary tectonic. This allows a significant qualitative, quantitative and sometimes even dimensional development of the benthic fauna. Particularly among the macrofossils are well represented Gastropods (Nerineidae and Acteonidae) and some species of Hippuritacea; several exclusive species are observed among microfossils.

These palaeoenvironmental conditions seem particularly conducive to the development of filamentous thallus algae assigned by PIA, 1927 to informal group of "Porostromata".

Bauxitic levels characterize the back edge successions of Cretaceous carbonate platform of the central-southern Italy/Apennine. The first bauxitic episode (bx1), the most important because of its widespread in many areas of the Tethys, corresponds to a large gap extending from lower Albian to most of the lower Cenomanian. The stop of carbonate sedimentation could be a direct consequence of synsedimentary tectonics that would led to the temporary emergence of some back edge areas: the continued subaerial exposure and the favorable climatic conditions would have caused an intense karstic activity with the formation of large cavities

cavità successivamente riempite da consistenti depositi bauxitici.

Le continue oscillazioni del livello marino tra la fine del Cenomaniano e il Turoniano inferiore sarebbero state invece la causa di brevi e locali esposizioni subaeree con conseguente deposizione di brecce a cemento arrossato del secondo episodio bauxitico (bx2).

Quanto detto è evidenziato nelle carte di distribuzione dei fossili sulle quali si basano gli schemi biozonali di CHIOCCHINI *et alii*, 2008, parzialmente modificati e qui di seguito riportati (figg. 7–11).

subsequently filled with substantial bauxitic deposits.

The constant sea level fluctuations occurred from the late Cenomanian to the lower Turonian would instead be the cause of short and local subaerial exposures with the consequent deposition of breccias with reddish cement of the second bauxitic event (bx2).

The above said is shown in the distribution chart of fossils on which are based the biozonal schemes listed below, taken with some modifications after CHIOCCHINI *et alii*, 2008 (figs. 7–11).

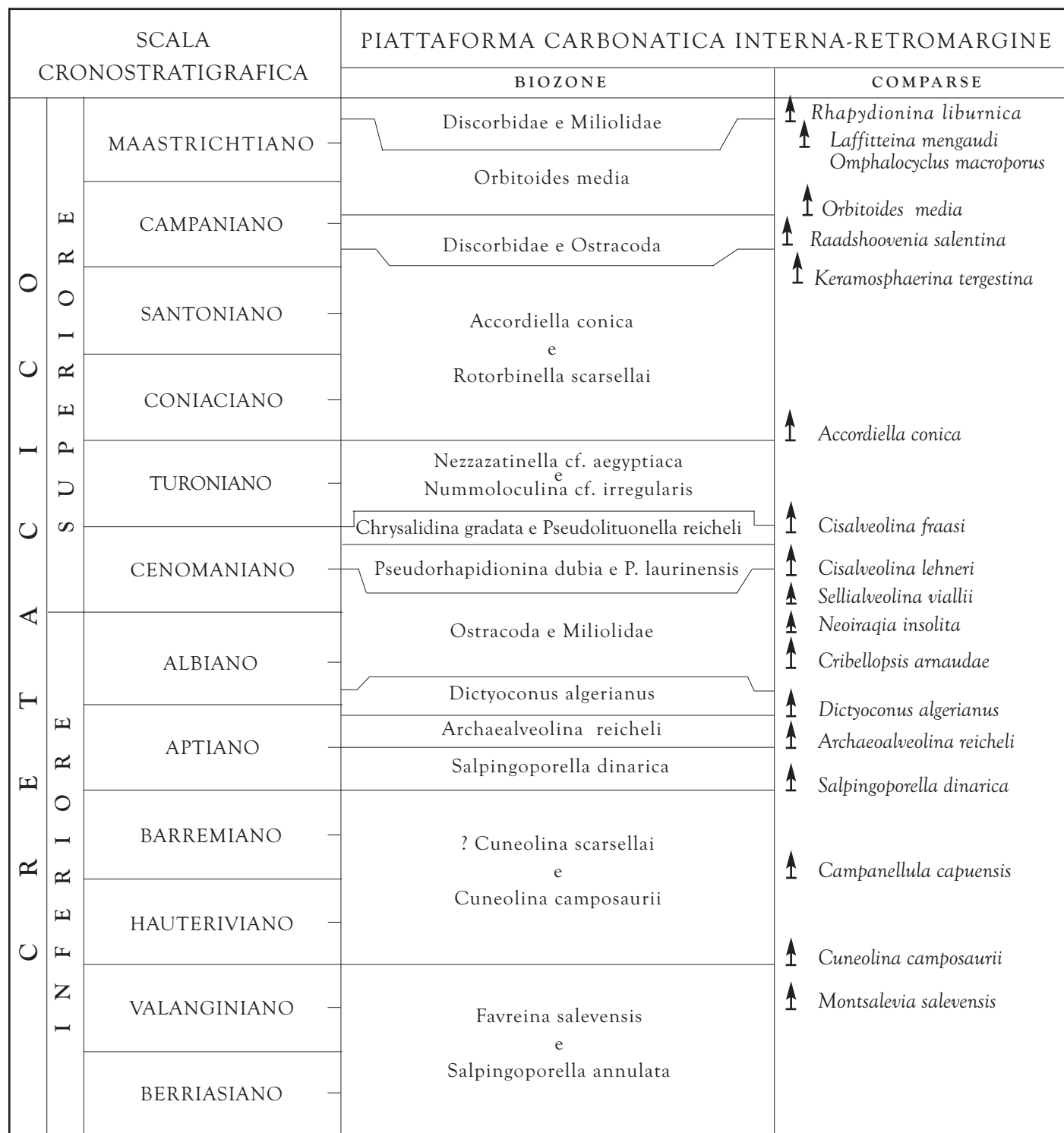


Fig. 7 - Schema biostratigrafico e riferimenti chronostratigrafici relativi al Cretacco di piattaforma carbonatica interna - retromargine (da CHIOCCHINI et alii, 2008).

- Cretaceous biostratigraphic scheme with chronostratigraphic references regarding the inner - back edge carbonate platform paleoenvironments (from CHIOCCHINI et alii, 2008).



Fig. 8 - Carta di distribuzione dei taxa del Berriasiano - Hauteriviano di piattaforma carbonatica interna - retromargine (da CHIOCCHINI et alii, 2008, modificato).
- Berriasian to Hauterivian distribution chart of taxa related to inner - back edge carbonate platform paleoenvironments (from CHIOCCHINI et alii, 2008, modified).

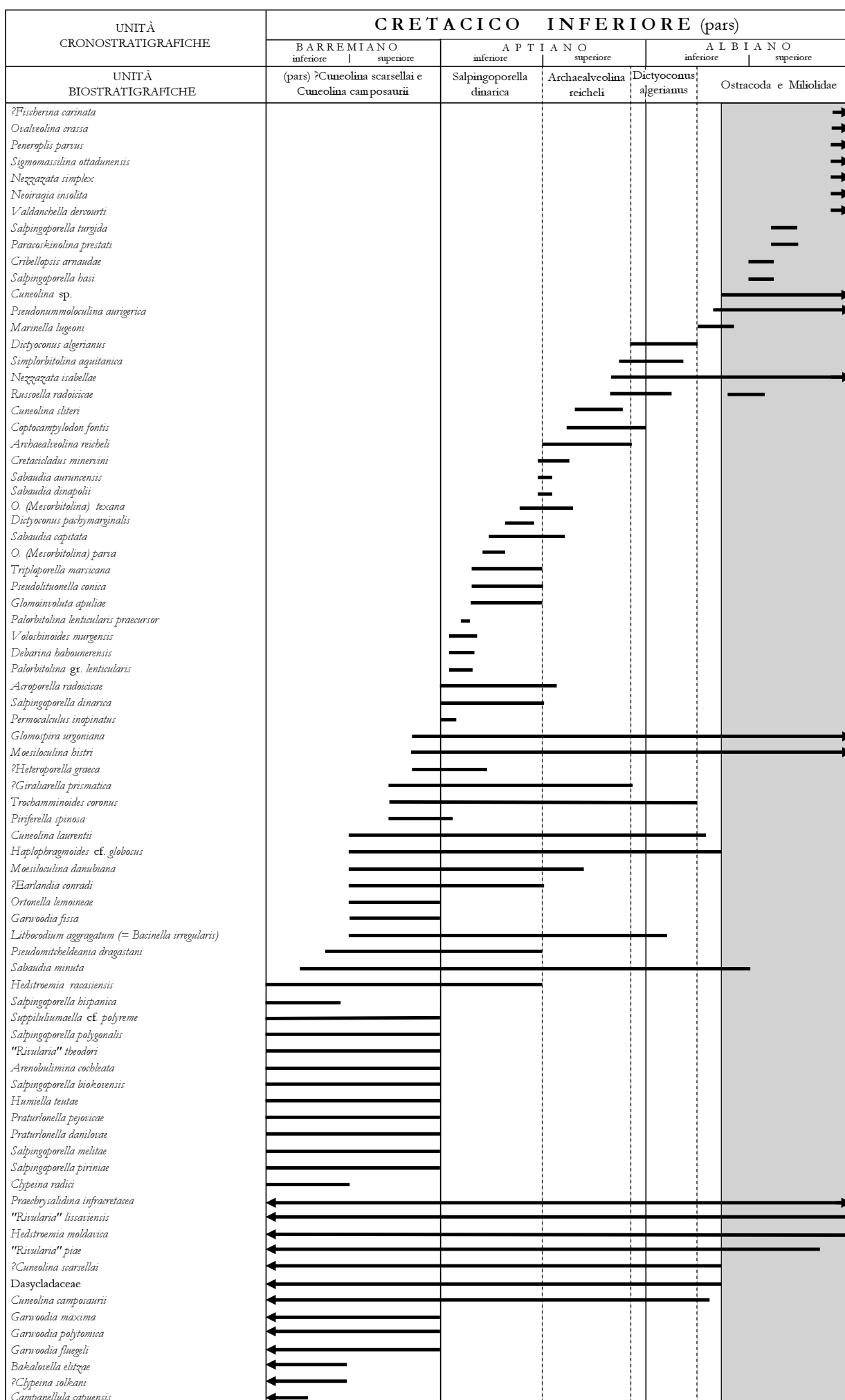


Fig. 9 - Carta di distribuzione dei taxa del Barremiano - Albiano di piattaforma carbonatica interna - retromargine. L'area in grigio indica l'intervallo stratigrafico corrispondente alla lacuna relativa al primo episodio bauxitico (bx 1) (da CHIOCCHINI et alii, 2008, modificato).
- Barremian to Albian distribution chart of the taxa related to inner - back edge carbonate platform paleoenvironments. The grey area points out the stratigraphic interval of the gap corresponding to the first bauxitic deposit (bx1) (from CHIOCCHINI et alii, 2008, modified).

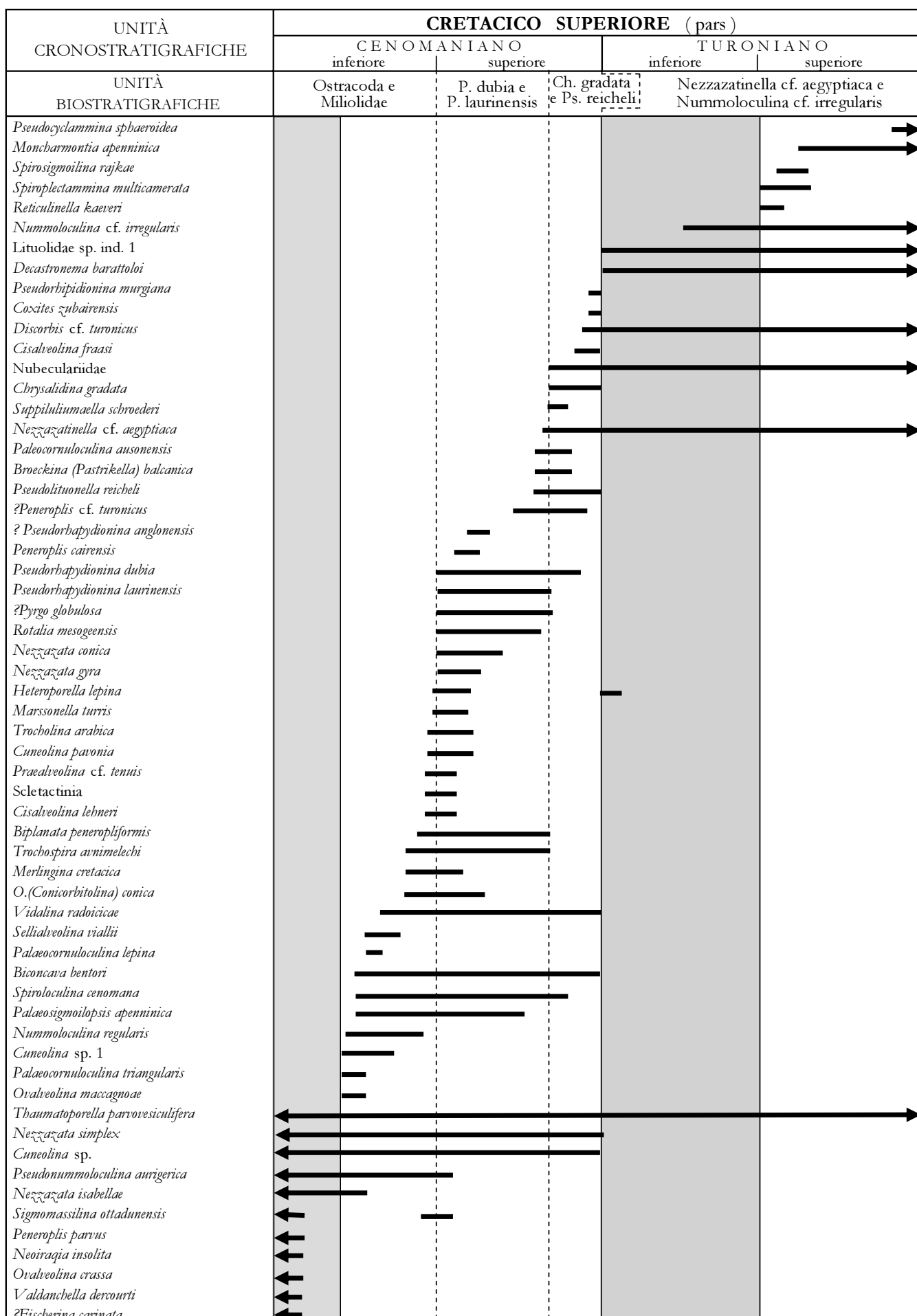


Fig. 10 - Carta di distribuzione dei taxa del Cenomaniano - Turoniano di piattaforma carbonatica interna - retromargine. Le due aree in grigio indicano gli intervalli stratigrafici relativi alle due lacune corrispondenti rispettivamente al primo episodio bauxitico (bx 1) e al secondo episodio bauxitico (bx 2) (da CHIOCCHINI et alii, 2008, modificato).
- Cenomanian to Turonian distribution chart of the taxa related to inner - back edge carbonate platform paleoenvironments. The grey areas point out the stratigraphic intervals of the two gaps respectively corresponding to the first (bx 1) and the second bauxitic deposit (bx 2) (from CHIOCCHINI et alii, 2008, modified).

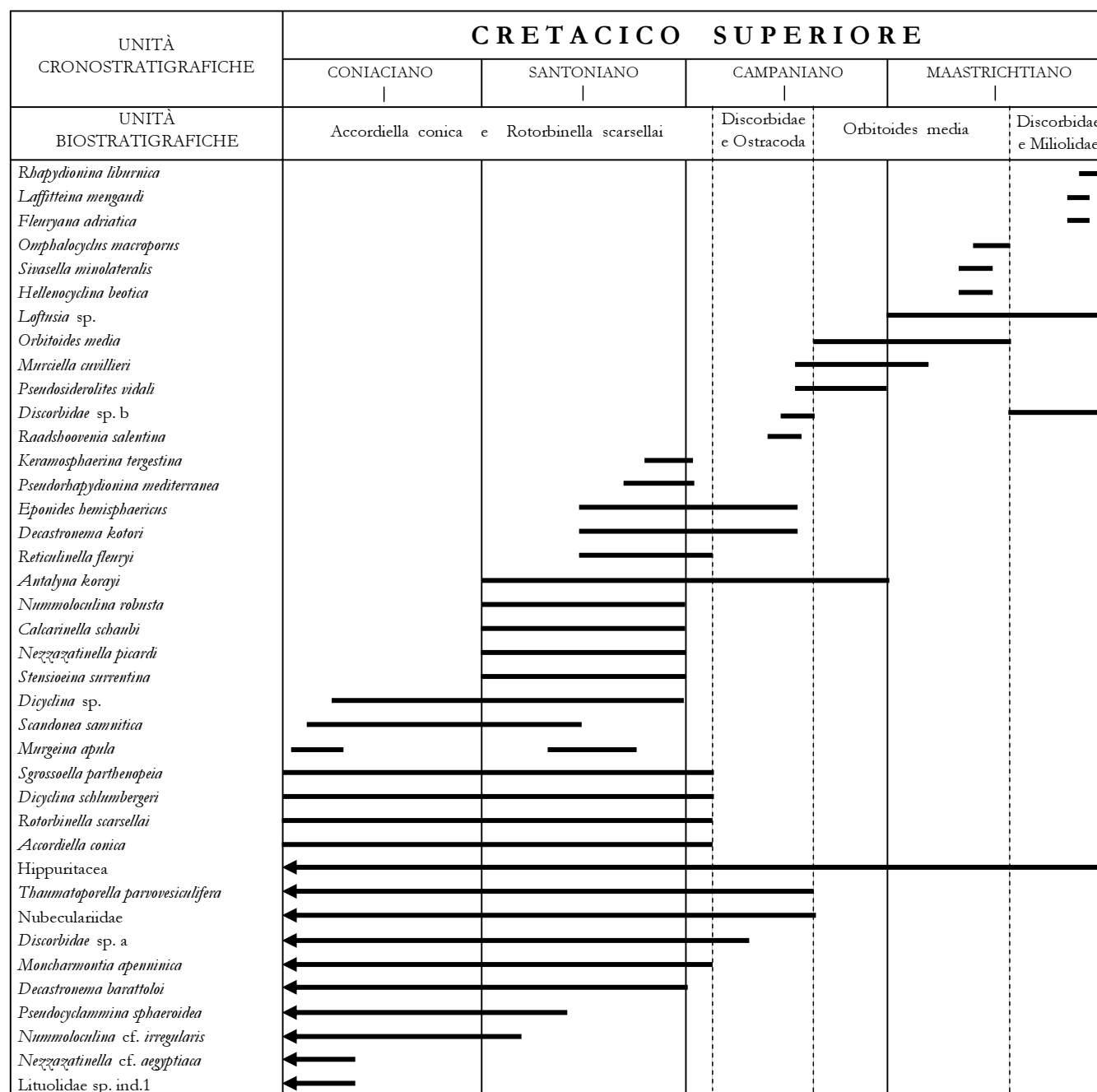


Fig. 11 - Carta di distribuzione dei taxa del Coniaciano - Maastrichtiano di piattaforma carbonatica interna - retromargine (da CHIOCCHINI et alii, 2008, modificato).

- Coniacian to Maastrichtian distribution chart of the taxa related to inner - back edge carbonate platform paleoenvironment (from CHIOCCHINI et alii, 2008, modified).

Tavola 1

Plate 1

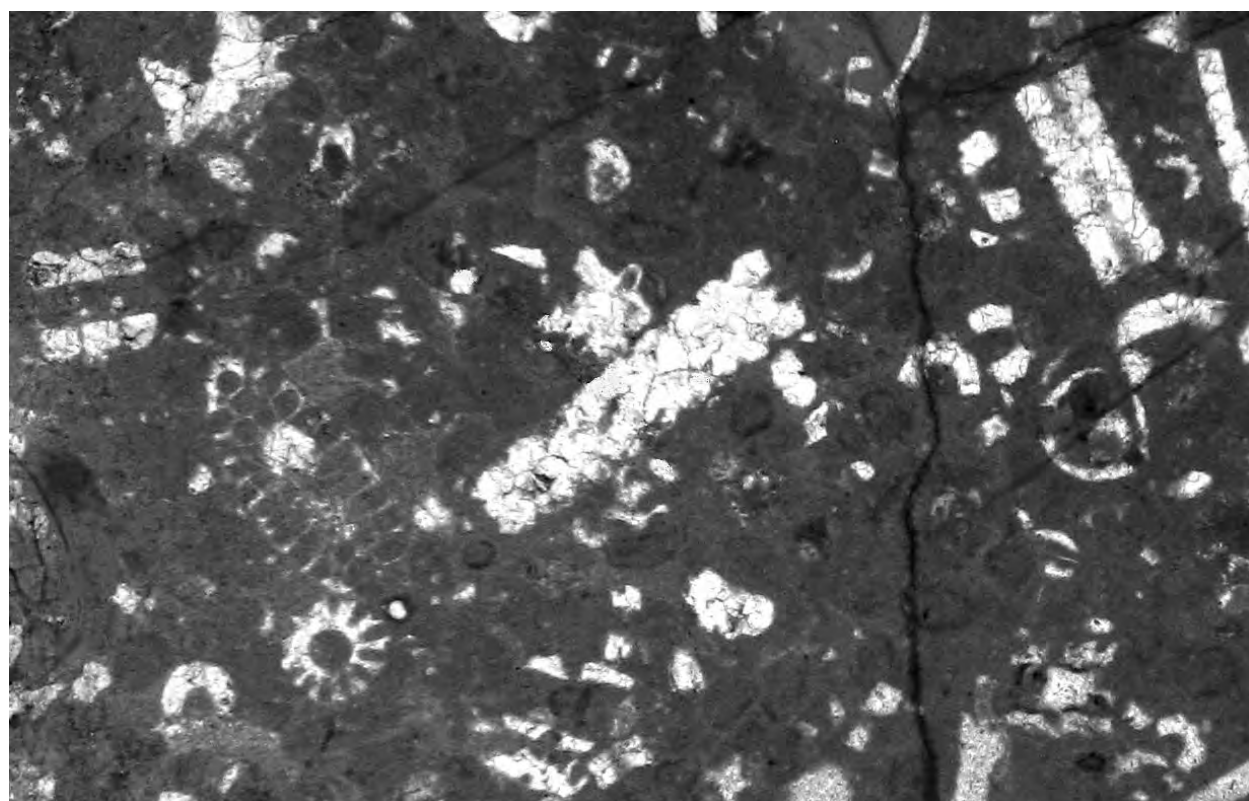
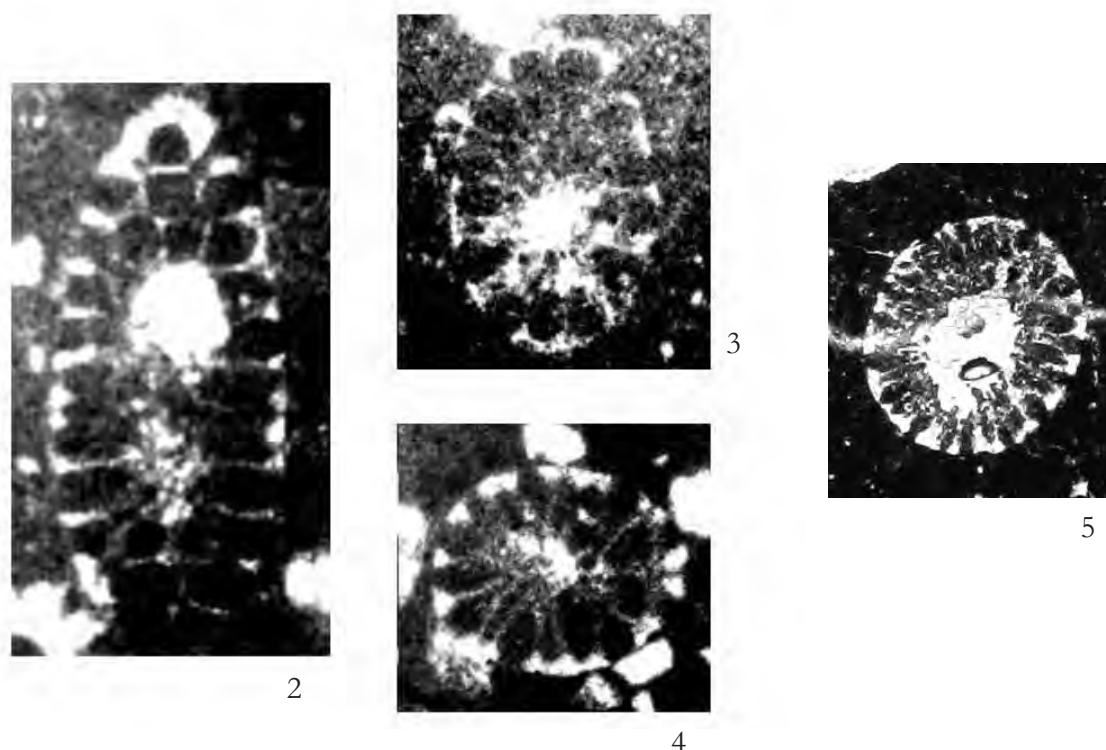


Fig. 1 – Wackestone con *Heteroporella lemmensis*, *Salpingoporella annulata* e altre Dasycladaceae. $\times 38$
– Wackestone with *Heteroporella lemmensis*, *Salpingoporella annulata* and other Dasycladaceae. $\times 38$



Figg. 2-5 – Sezioni variamente orientate di individui riferibili a *Heteroporella lemmensis*. $\times 72$
– Variously oriented sections of specimens referred to *Heteroporella lemmensis*. $\times 72$

La microfacies di fig. 1 e gli individui delle figg. 2-5 provengono dalla sezione stratigrafica di Monte Camarda, Gran Sasso d'Italia (Abruzzo).

Parte iniziale della biozona a Favreina salevensis e Salpingoporella annulata. BERRIASIANO INFERIORE
– The microfacies of fig. 1 and the specimens of figs. 2-5 from Camarda Mt. stratigraphic section, Gran Sasso d'Italia (Abruzzi). Lowermost part of the Favreina salevensis and Salpingoporella annulata biozone. LOWER BERRIASIAN

Tavola 2

Plate 2

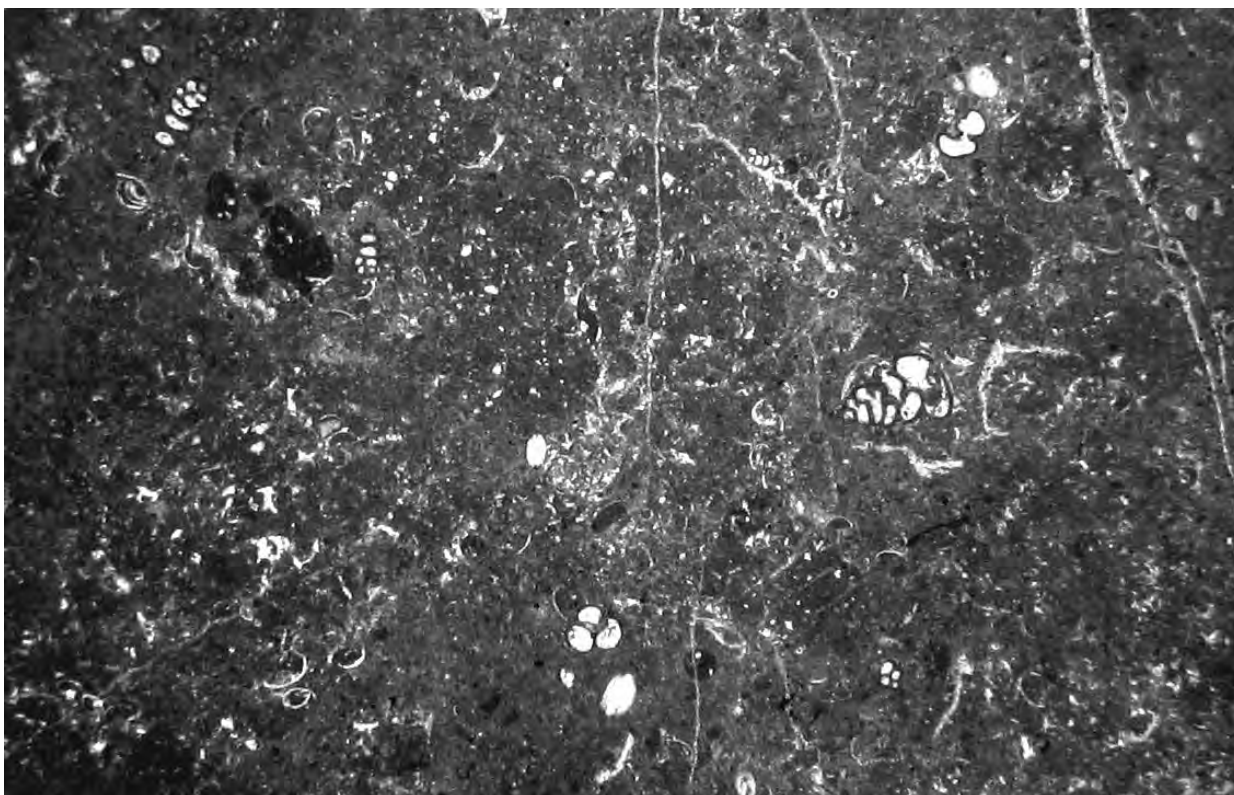
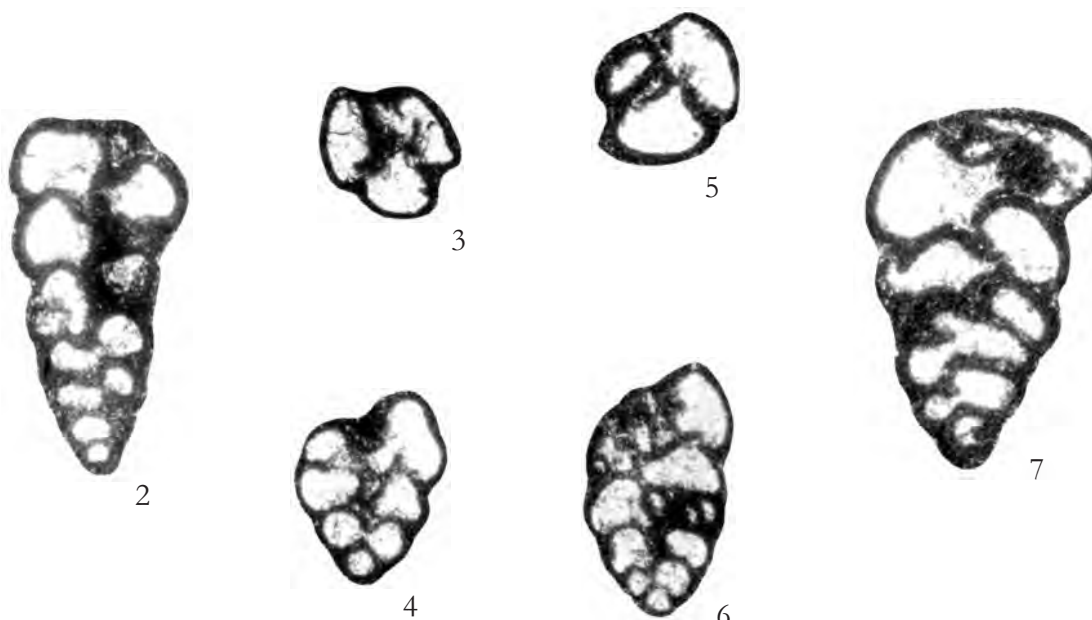


Fig. 1 – Wackestone con *Verneuilina* cf. *angularis*, altri Foraminiferi bentonici e Ostracoda. x 20
– Wackestone with *Verneuilina* cf. *angularis*, other benthic Foraminifera and Ostracoda. x 20



Figg. 2-7 – Sezioni variamente orientate di individui riferibili a *Verneuilina* cf. *angularis*. x 70
– Variously oriented sections of specimens referred to *Verneuilina* cf. *angularis*. x 70

La microfacies di fig. 1 e gli individui delle figg. 2-7 provengono dalla sezione stratigrafica di Monte Vate Rutto, Monti Aurunci (Lazio meridionale).

Parte iniziale della biozona a Favreina salevensis e Salpingoporella annulata. BERRIASIANO INFERIORE
– The microfacies of fig. 1 and the specimens of figs. 2-7 from Vate Rutto Mt. stratigraphic section, Aurunci Mts. (Southern Lazio). Lowermost part of the Favreina salevensis and Salpingoporella annulata biozone. LOWER BERRIASIAN

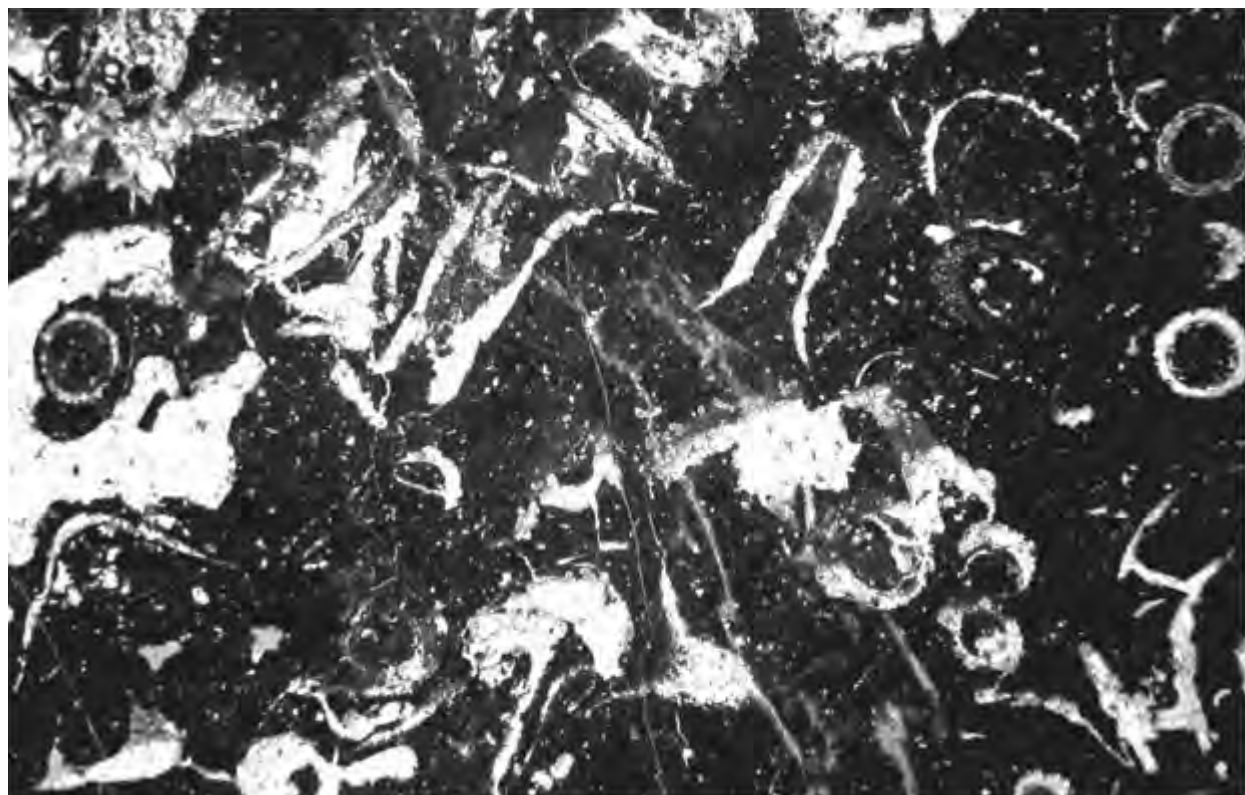
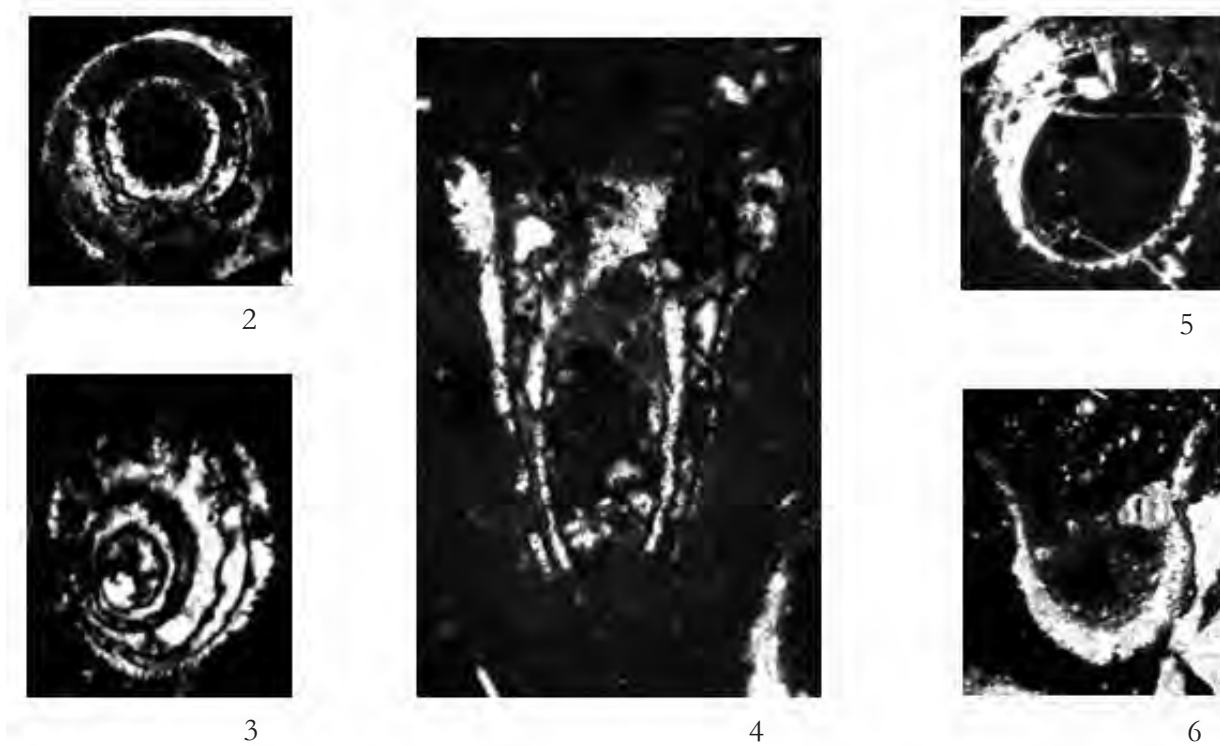


Fig. 1 – Floatstone con *Campbelliella striata*. x 10
– Floatstone with *Campbelliella striata*. x 10



Figg. 2-6 – Sezioni variamente orientate di individui riferibili a *Campbelliella striata*. x 25
– Variously oriented sections of specimens referred to *Campbelliella striata*. x 25

La microfacies di fig. 1 e gli individui delle figg. 2-6 provengono della sezione stratigrafica di Omo di Cairo, Monte Cairo (Lazio meridionale).
Parte iniziale della biozona a Favreina salevensis e Salpingoporella annulata. BERRIASIANO INFERIORE
– The microfacies of fig. 1 and the specimens of figs. 2-6 from Omo di Cairo stratigraphic section, Cairo Mt. (Southern Latium).
Lowermost part of the Favreina salevensis and Salpingoporella annulata biozone. LOWER BERRIASIAN

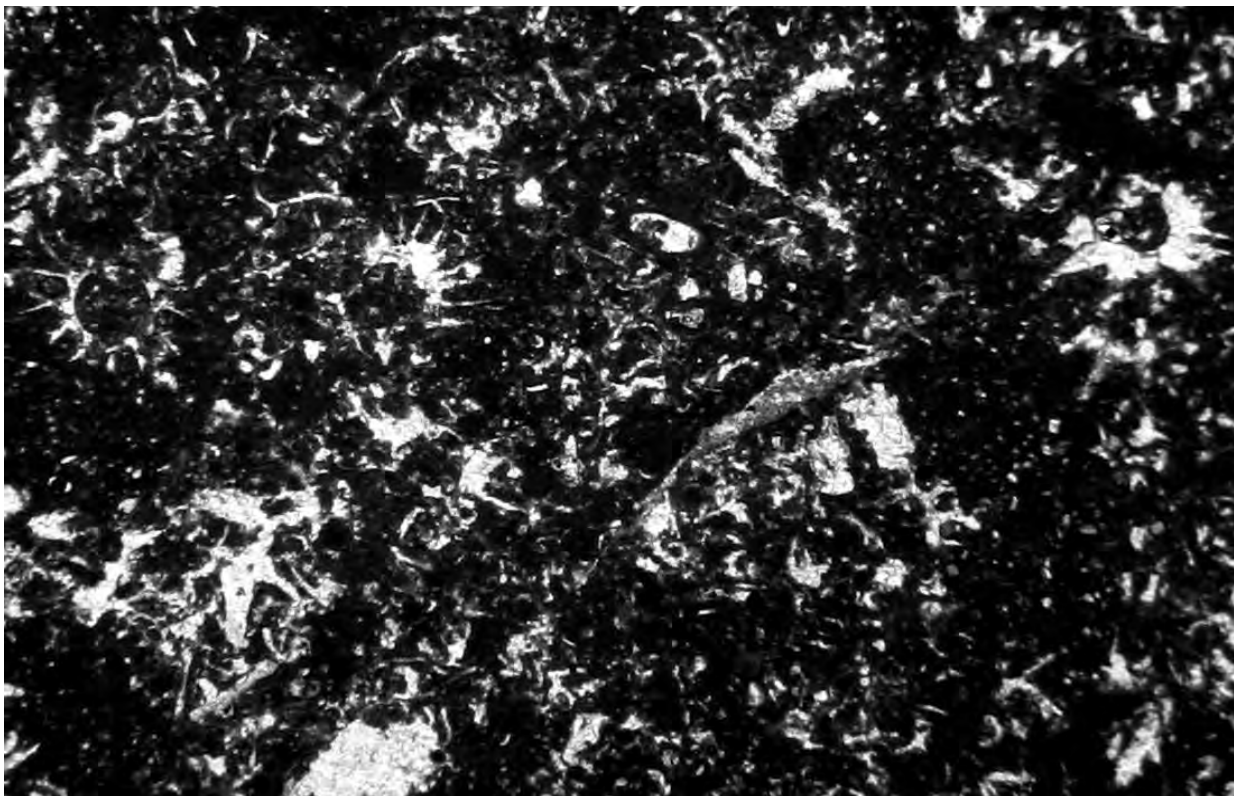
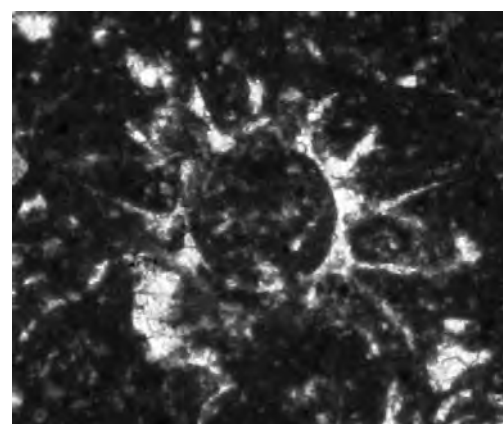
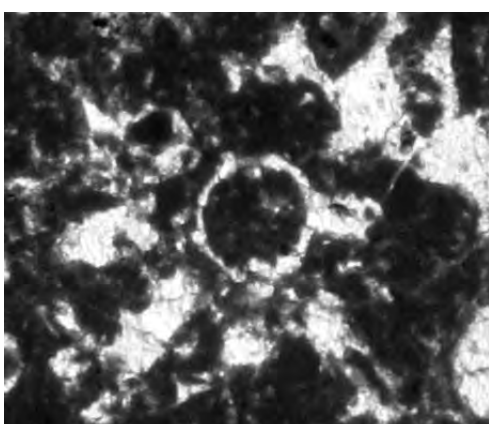
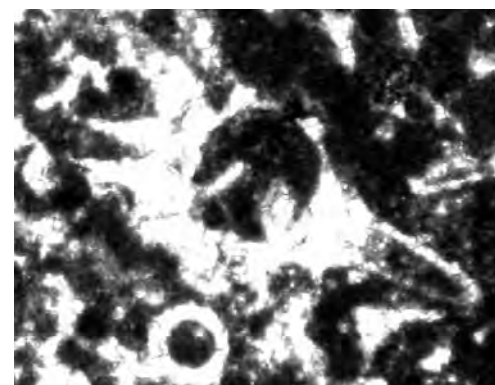
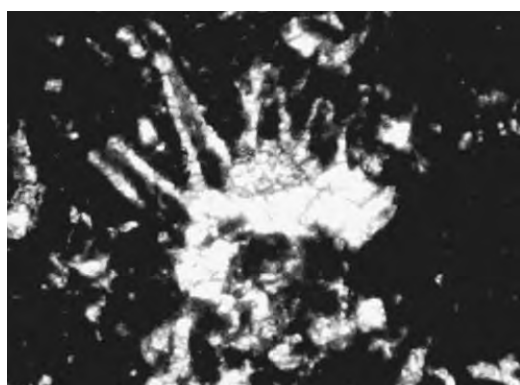


Fig. 1 – Packstone con ?*Clypeina maslovi*, altre Dasycladaceae e rari Foraminiferi bentonici. $\times 25$
 – Packstone with ?*Clypeina maslovi*, other Dasycladaceae and rare benthic Foraminifera. $\times 25$



Figg. 2-5 – Sezioni variamente orientate di individui riferibili a ?*Clypeina maslovi*. $\times 50$
 – Variously oriented sections of specimens referred to ?*Clypeina maslovi*. $\times 50$

La microfacies di fig. 1 e gli individui delle figg. 2-5 provengono dalla sezione stratigrafica di Monte Le Rave Fosche, Monti Aurunci (Lazio meridionale).

Parte inferiore della biozona a Favreina salevensis e Salpingoporella annulata. BERRIASIANO INFERIORE
 – The microfacies of fig. 1 and the specimens of figs. 2-5 from Le Rave Fosche Mt. stratigraphic section, Aurunci Mts. (Southern Lazio).

Lower part of Favreina salevensis and Salpingoporella annulata biozone.

LOWER BERRIASIAN

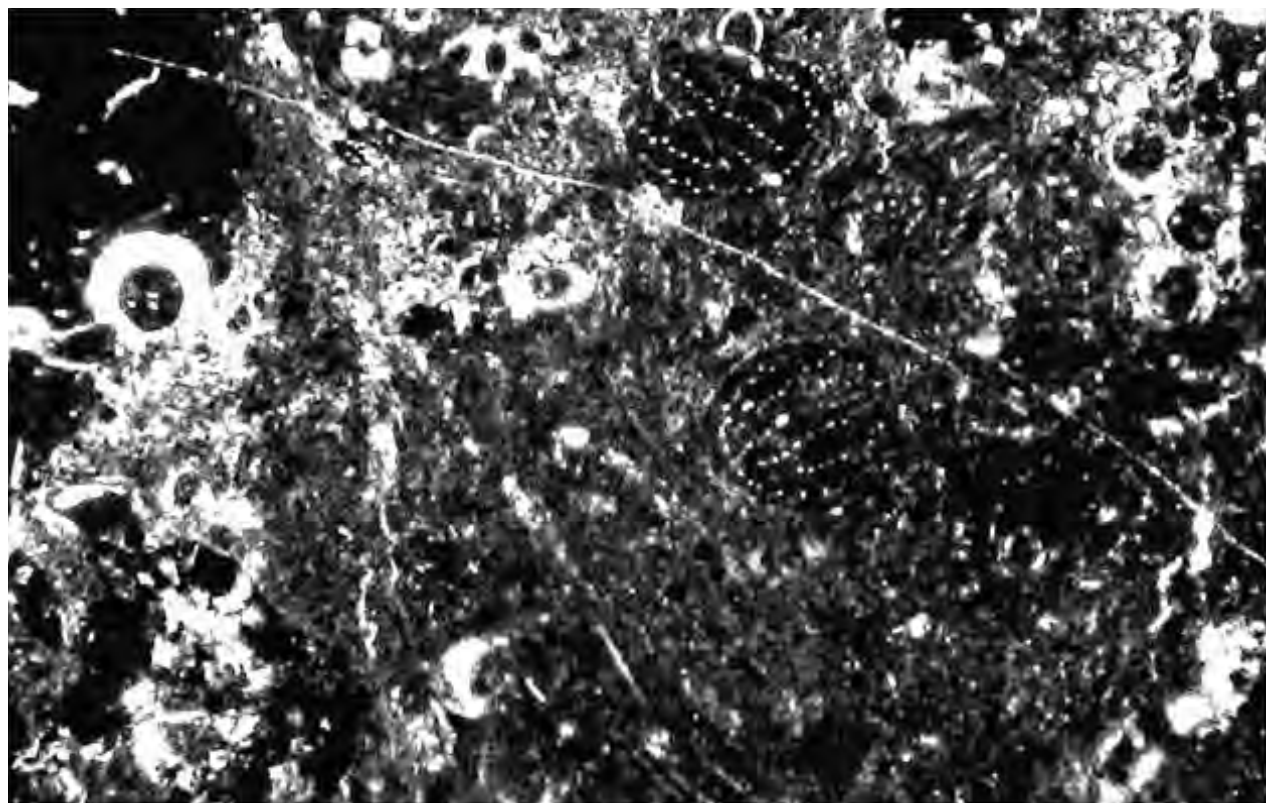
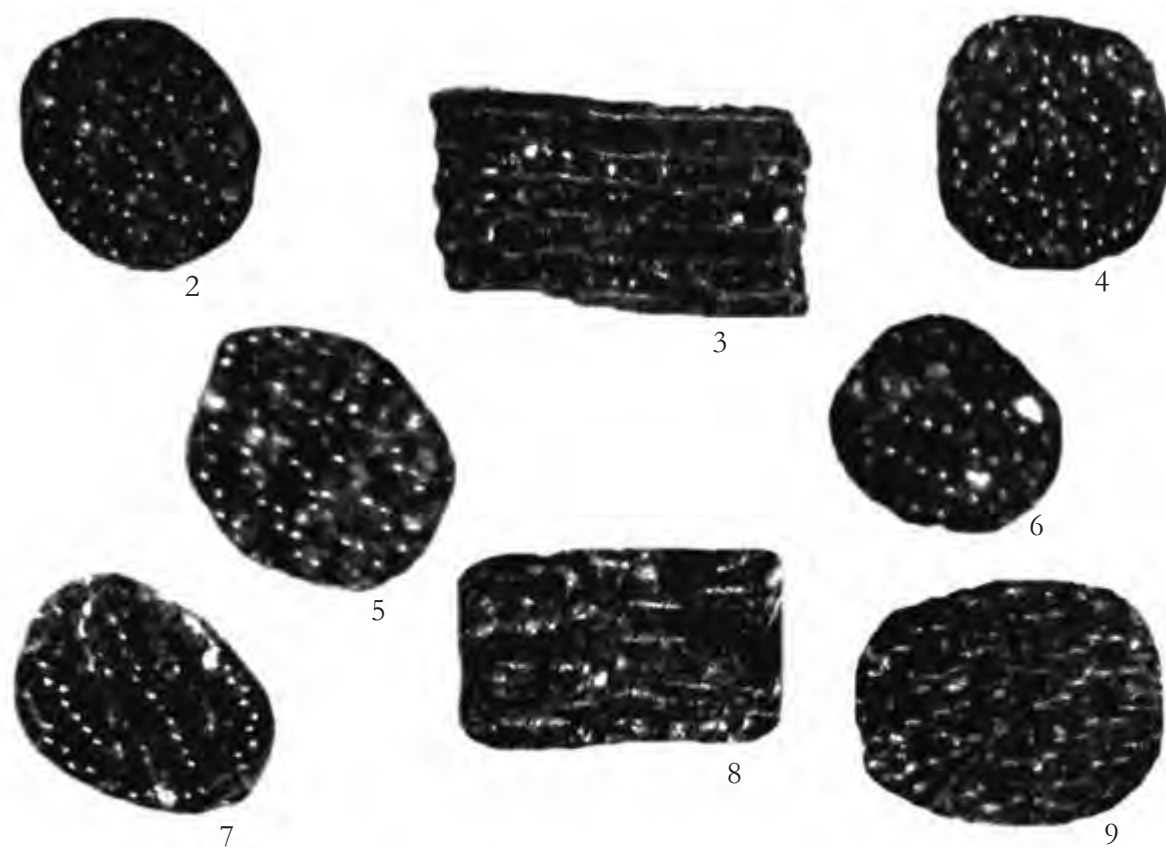


Fig. 1 – Wackestone con *Favreina salevensis*, *Salpingoporella annulata*, altre Dasycladaceae e rari Foraminiferi bentonici. x 40
Wackestone with Favreina salevensis, Salpingoporella annulata, other Dasycladaceae and rare benthic Foraminifera. x 40



Figg. 2-9 – Sezioni variamente orientate di individui riferibili a *Favreina salevensis*. x 50
– *Variously oriented sections of specimens referred to Favreina salevensis.* x 50

La microfacies di fig. 1 e gli individui delle figg. 2-9 provengono dalla sezione stratigrafica di Monte Le Rave Fosche, Monti Aurunci (Lazio meridionale).

Biozona a *Favreina salevensis* e *Salpingoporella annulata*.

BERRIASIANO

– *The microfacies of fig. 1 and the specimens of figs. 2-9 from Le Rave Fosche Mt. stratigraphic section, Aurunci Mts. (Southern Lazio).*

Favreina salevensis and *Salpingoporella annulata* biozone.

BERRIASIAN

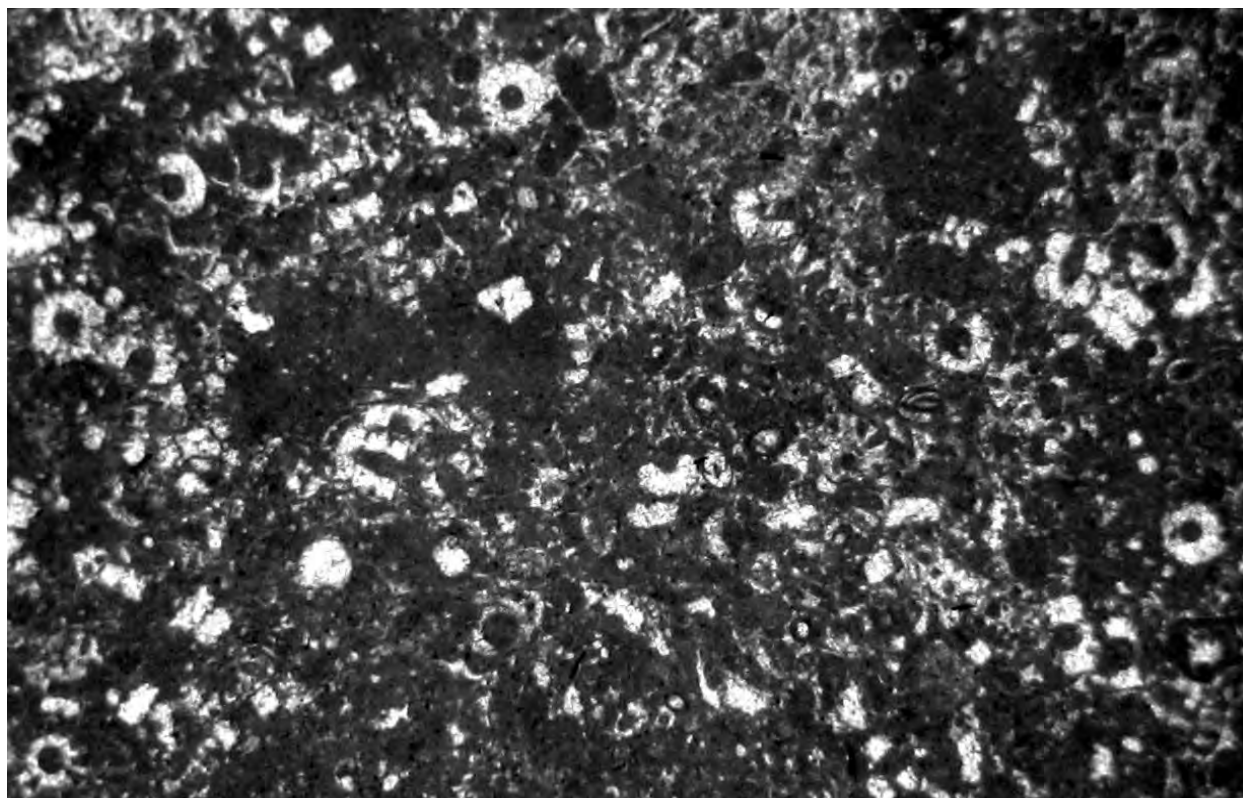
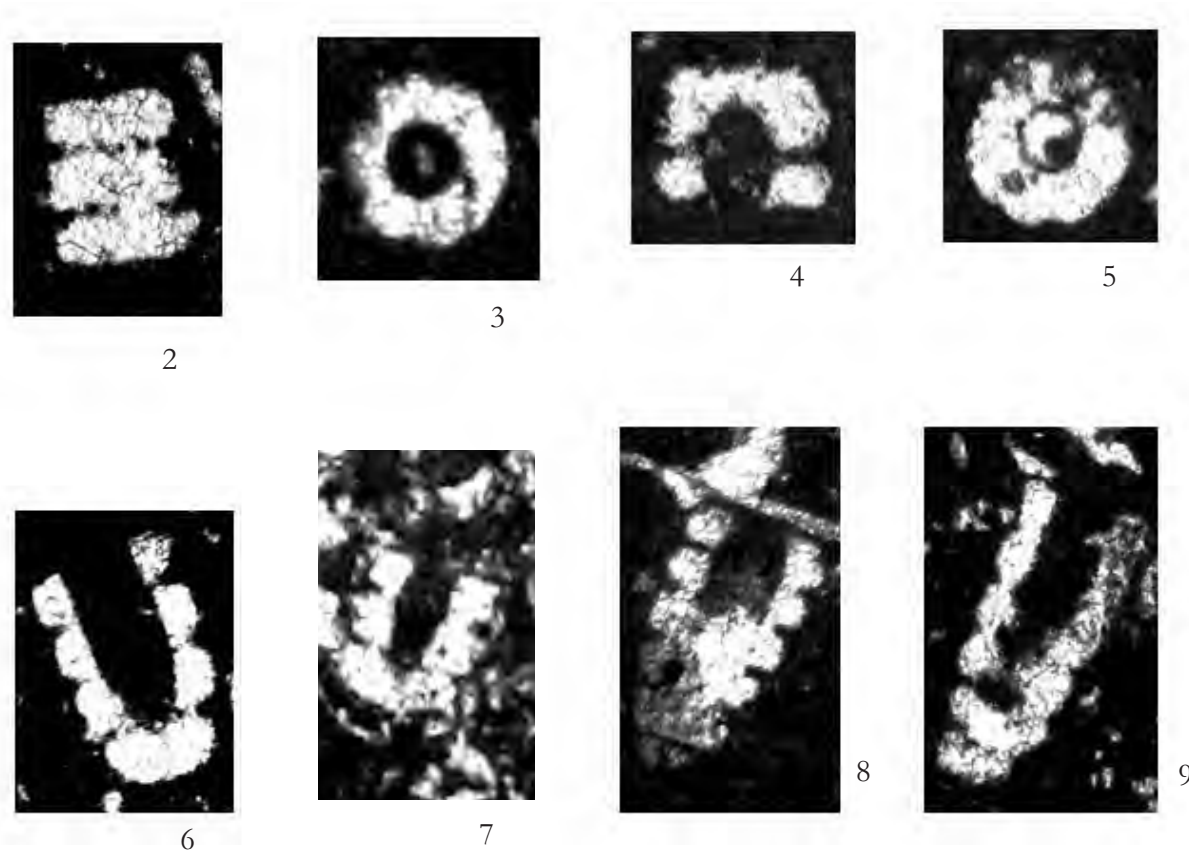


Fig. 1 – Wackestone con *Salpingoporella annulata* e altre Dasycladaceae. $\times 25$
– Wackestone with *Salpingoporella annulata* and other Dasycladaceae. $\times 25$



Figg. 2-9 – Sezioni variamente orientate di individui riferibili a *Salpingoporella annulata*. $\times 50$
– Variously oriented sections of specimens referred to *Salpingoporella annulata*. $\times 50$

La microfacies di fig. 1 e gli individui delle figg. 2-9 provengono della sezione stratigrafica di Monte Le Rave Fosche, Monti Aurunci (Lazio meridionale).

Biozona a Favreina salevensis e *Salpingoporella annulata*.

BERRIASIANO

– The microfacies of fig. 1 and the specimens of figs. 2-9 from Le Rave Fosche Mt. stratigraphic section, Aurunci Mts. (Southern Lazio).

Favreina salevensis and *Salpingoporella annulata* biozone.

BERRIASIAN

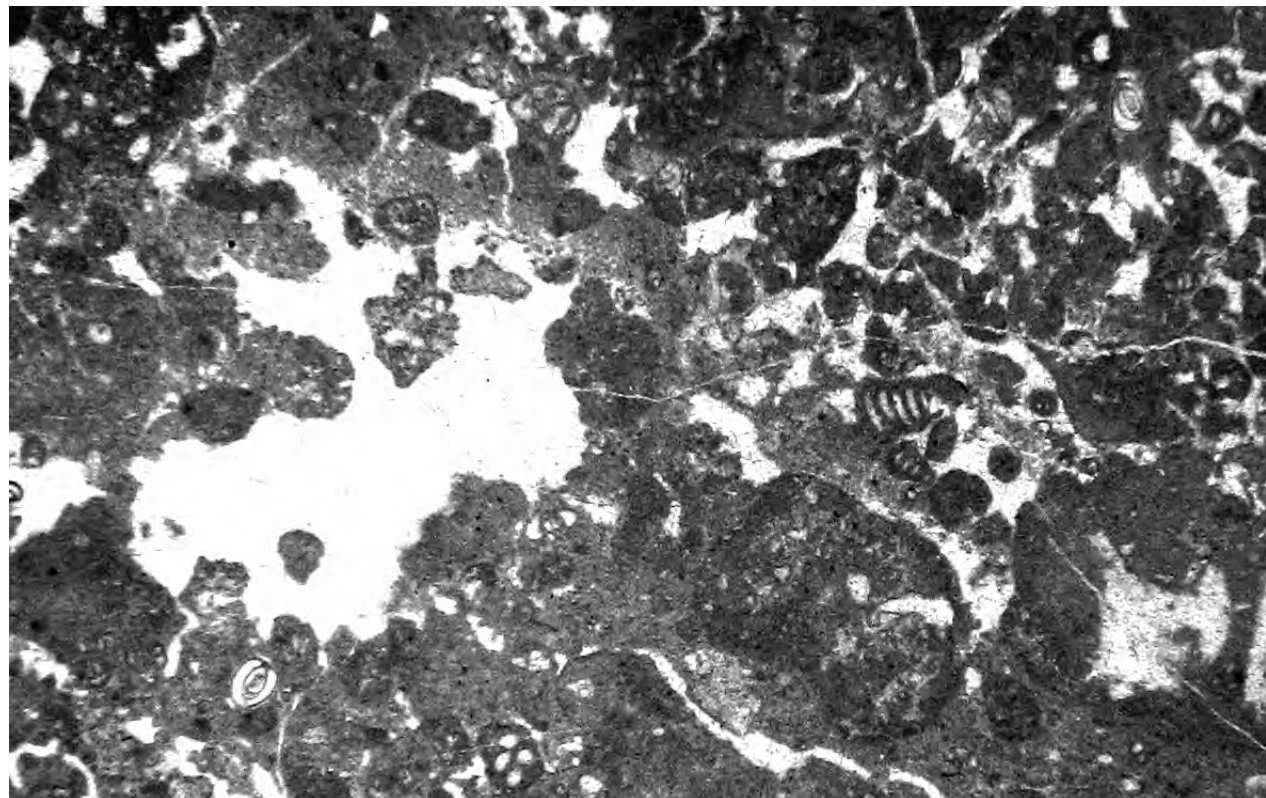
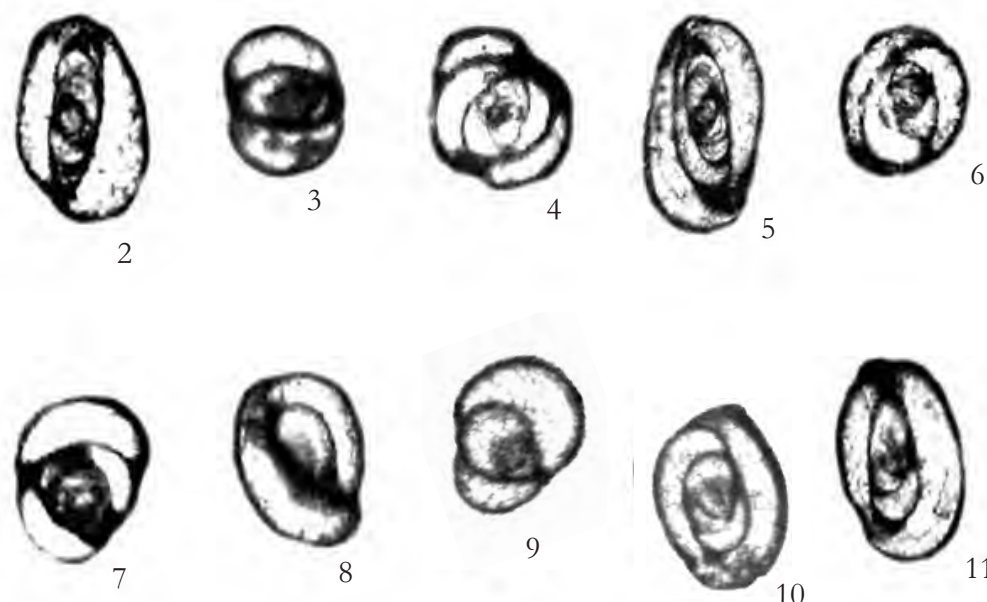


Fig. 1 – Floatstone con *Istriloculina aemiliae* e altri Foraminiferi bentonici. $\times 35$
 – Floatstone with *Istriloculina aemiliae* and other benthic Foraminifera. $\times 35$



Figg. 2-11 – Sezioni variamente orientate di individui riferibili a *Istriloculina aemiliae*. $\times 120$
 – Variously oriented sections of specimens referred to *Istriloculina aemiliae*. $\times 120$

La microfacies di fig. 1 e gli individui delle figg. 2-11 provengono della sezione stratigrafica di Omo di Cairo, Monte Cairo (Lazio meridionale).

Biozona a Favreina salevensis e Salpingoporella annulata.

VALANGINIANO

– The microfacies of fig. 1 and the specimens of figs. 2-11 from Omo di Cairo stratigraphic section, Cairo Mt. (Southern Lazio).
 Favreina salevensis and Salpingoporella annulata biozone.

VALANGINIAN

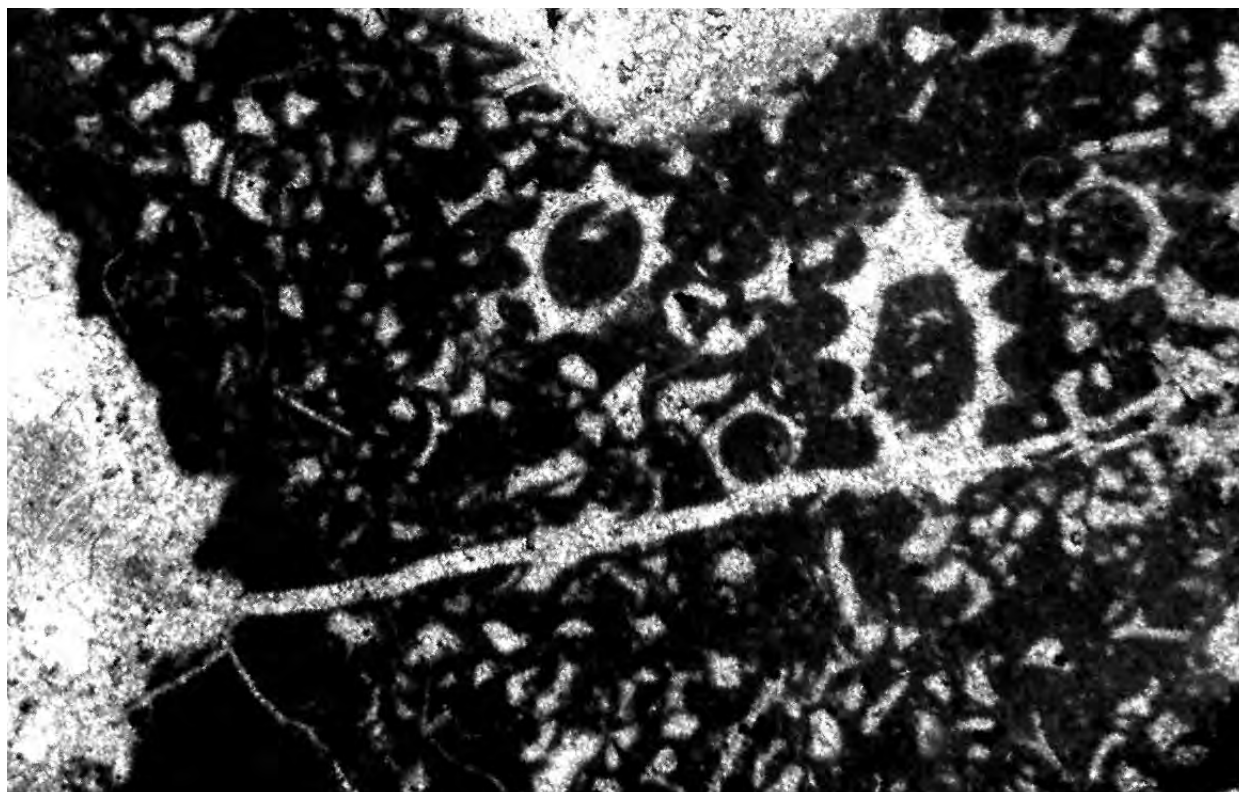
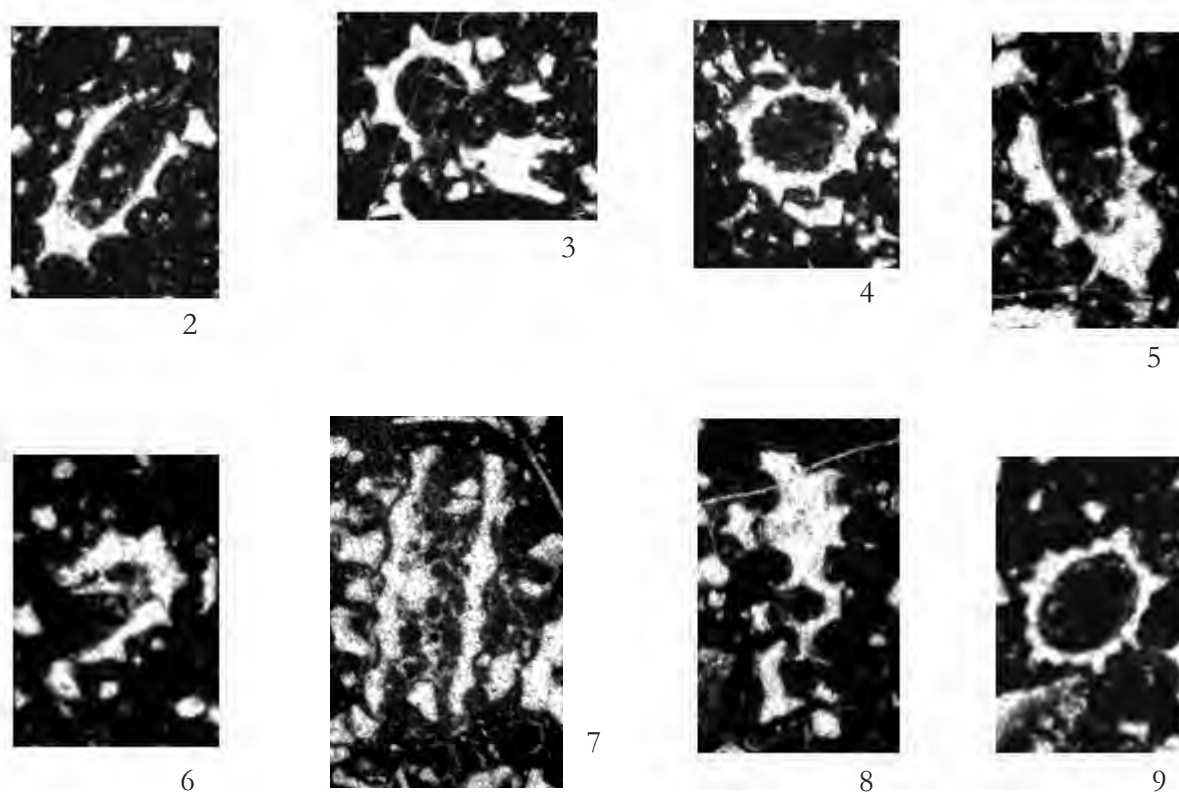


Fig. 1 – Wackestone con *Salpingoporella katzeri* e altre Dasycladaceae. $\times 50$
– Wackestone with *Salpingoporella katzeri* and other Dasycladaceae. $\times 50$



Figg. 2-9 – Sezioni variamente orientate di individui riferibili a *Salpingoporella katzeri*. $\times 40$
– Variously oriented sections of specimens referred to *Salpingoporella katzeri*. $\times 40$

La microfacies di fig. 1 e gli individui delle figg. 2-9 provengono dalla sezione stratigrafica di San Vincenzo, Monte Cairo (Lazio meridionale).
Biozona a Favreina salevensis e *Salpingoporella annulata*.
– The microfacies of fig. 1 and the specimens of figs. 2-9 from San Vincenzo stratigraphic section, Cairo Mt. (Southern Latium).
Favreina salevensis and *Salpingoporella annulata* biozone.

VALANGINIANO SUPERIORE
UPPER VALANGINIAN

Tavola 9

Plate 9

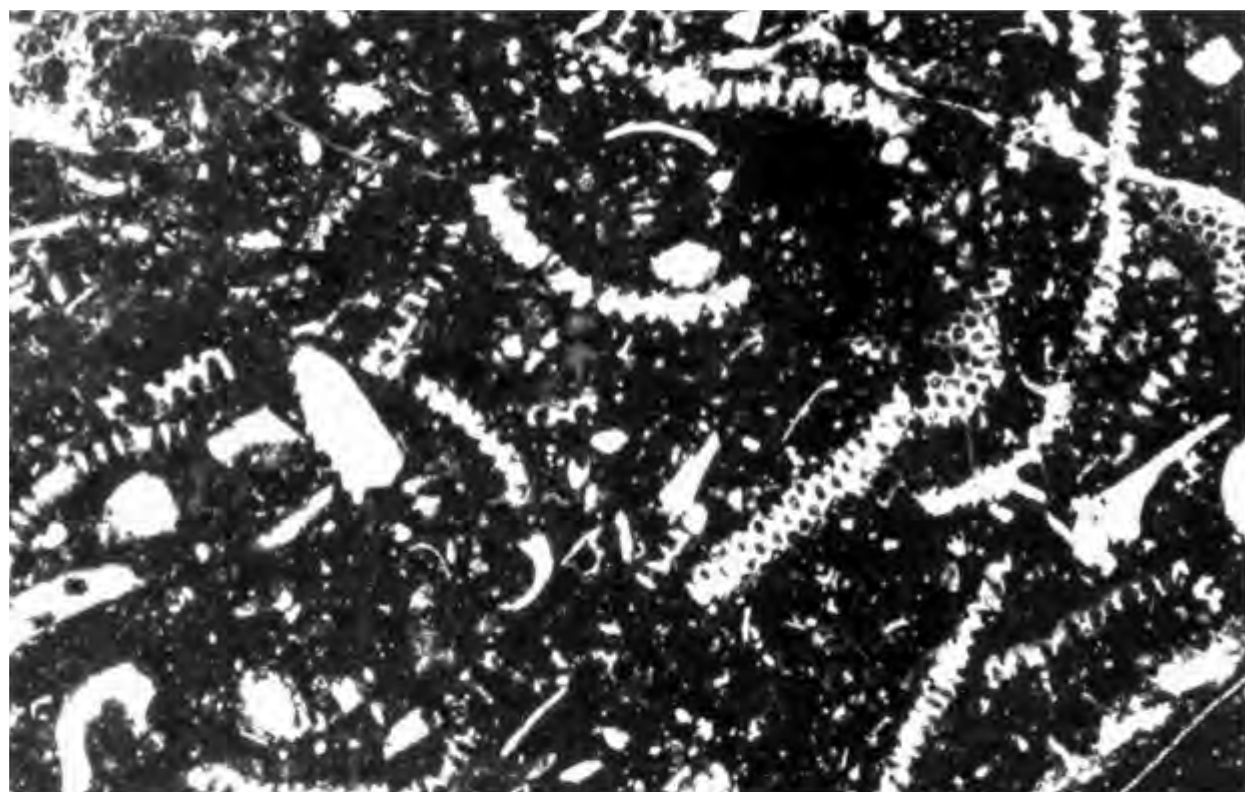
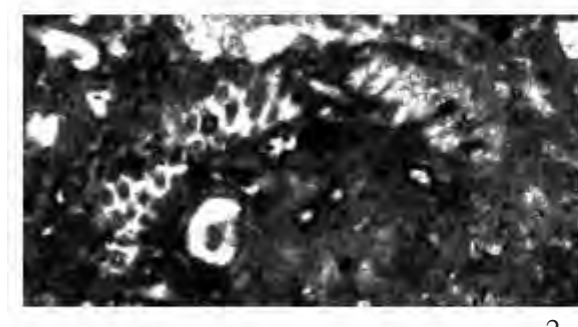


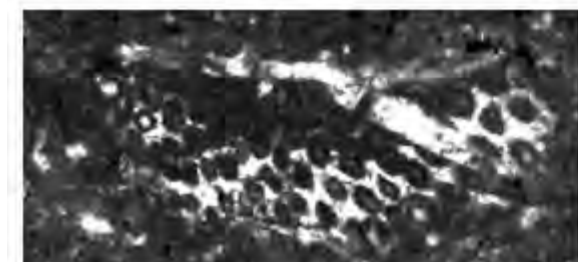
Fig. 1 – Wackestone con *Epimastopora cekici*, rare Miliolidae e resti di Mollusca. x 30
– Wackestone with *Epimastopora cekici*, rare Miliolidae and Mollusca remains. x 30



2



4



3

Figg. 2-4 – Sezioni variamente orientate di individui riferibili a *Epimastopora cekici*. x 45
– Variously oriented sections of specimens referred to *Epimastopora cekici*. x 45

La microfacies di fig. 1 e gli individui delle figg. 2-4 provengono dalla sezione stratigrafica di Monte Le Rave Fosche, Monti Aurunci (Lazio meridionale).

HAUTERIVIANO INFERIORE

Biozona a ?*Cuneolina scarsellai* e *Cuneolina camposaurii*.
– The microfacies of fig. 1 and the specimens of figs. 2-4 from Le Rave Fosche Mt. stratigraphic section, Aurunci Mts.
(Southern Latium).

LOWER HAUTERIVIAN

?*Cuneolina scarsellai* and *Cuneolina camposaurii* biozone.

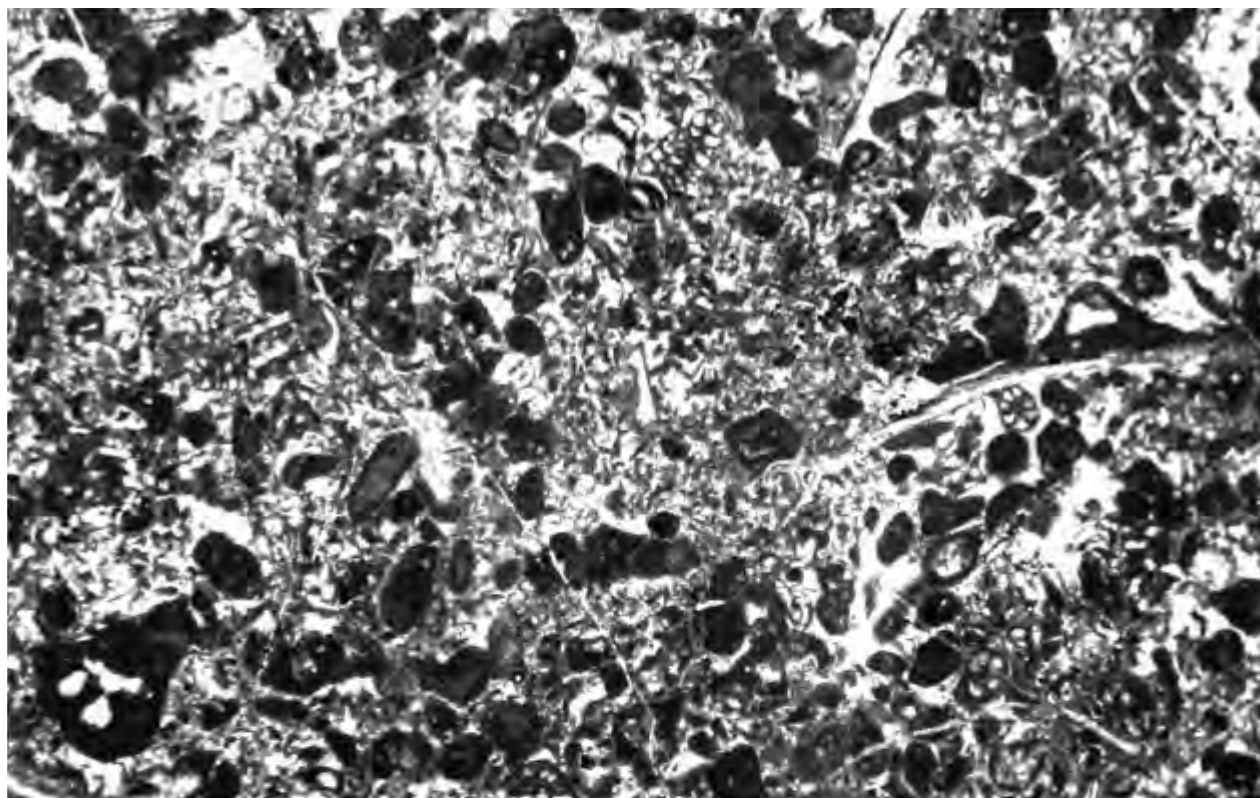
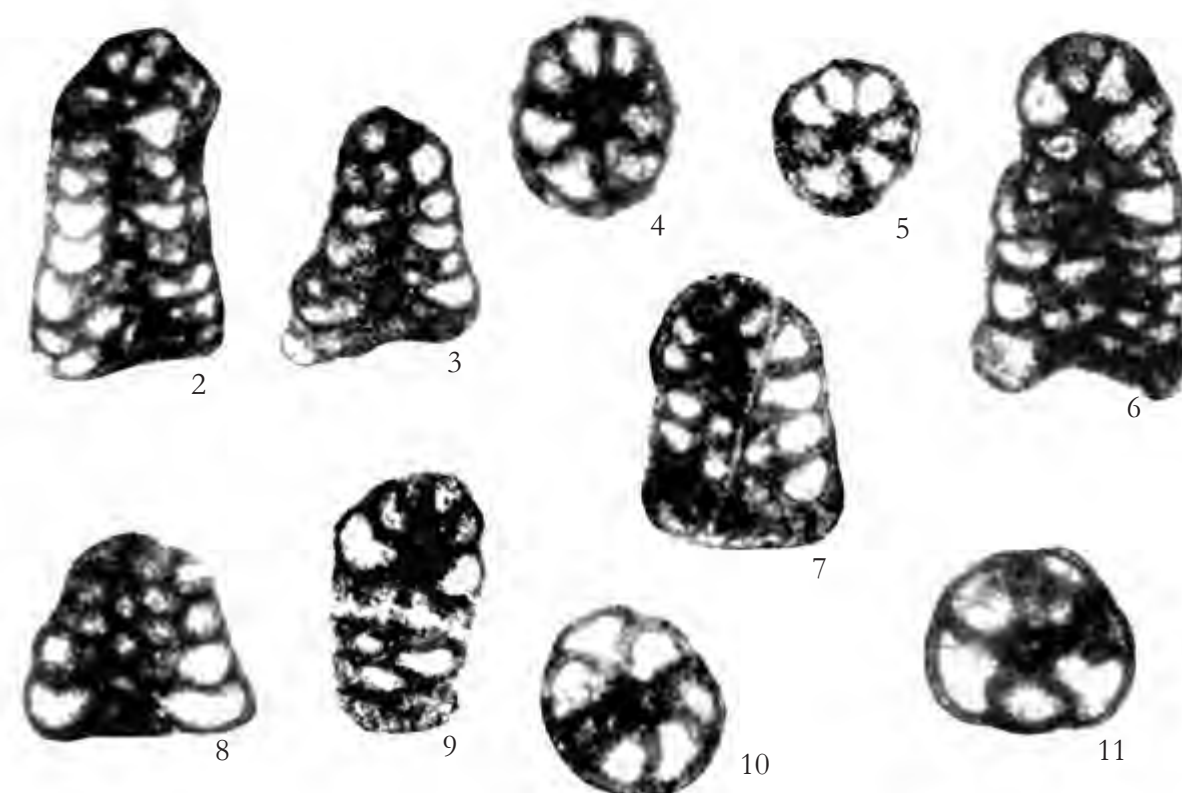


Fig. 1 – Packstone con *Campanellula capuensis* e altri Foraminiferi bentonici, Dasycladaceae e resti di Mollusca. $\times 30$
 – Packstone with *Campanellula capuensis* and other benthic Foraminifera, Dasycladaceae and Mollusca remains. $\times 30$



Figg. 2-11 – Sezioni variamente orientate di individui riferibili a *Campanellula capuensis*. $\times 110$
 – Variously oriented sections of specimens referred to *Campanellula capuensis*. $\times 110$

La microfacies di fig. 1 e gli individui delle figg. 2-11 provengono dalla sezione stratigrafica di Monte Le Rave Fosche, Monti Aurunci (Lazio meridionale).
 Biozona a ?Cuneolina scarsellai e Cuneolina camposaurii. HAUTERIVIANO SUPERIORE-BARREMIANO INFERIORE
 – The microfacies of fig. 1 and the specimens of figs. 2-11 from Le Rave Fosche Mt. stratigraphic section, Aurunci Ms. (Southern Lazio).
 ?Cuneolina scarsellai and Cuneolina camposaurii biozone. UPPER HAUTERIVIAN – LOWER BARREMIAN

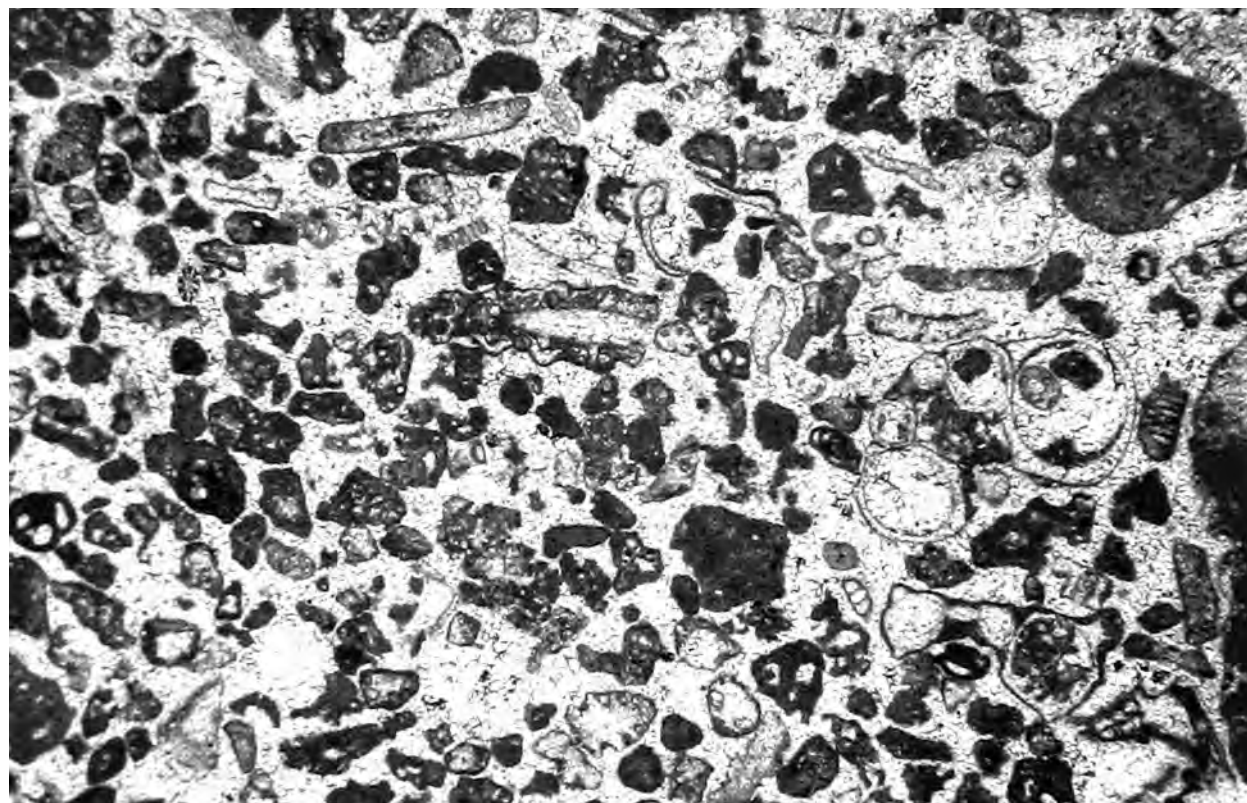
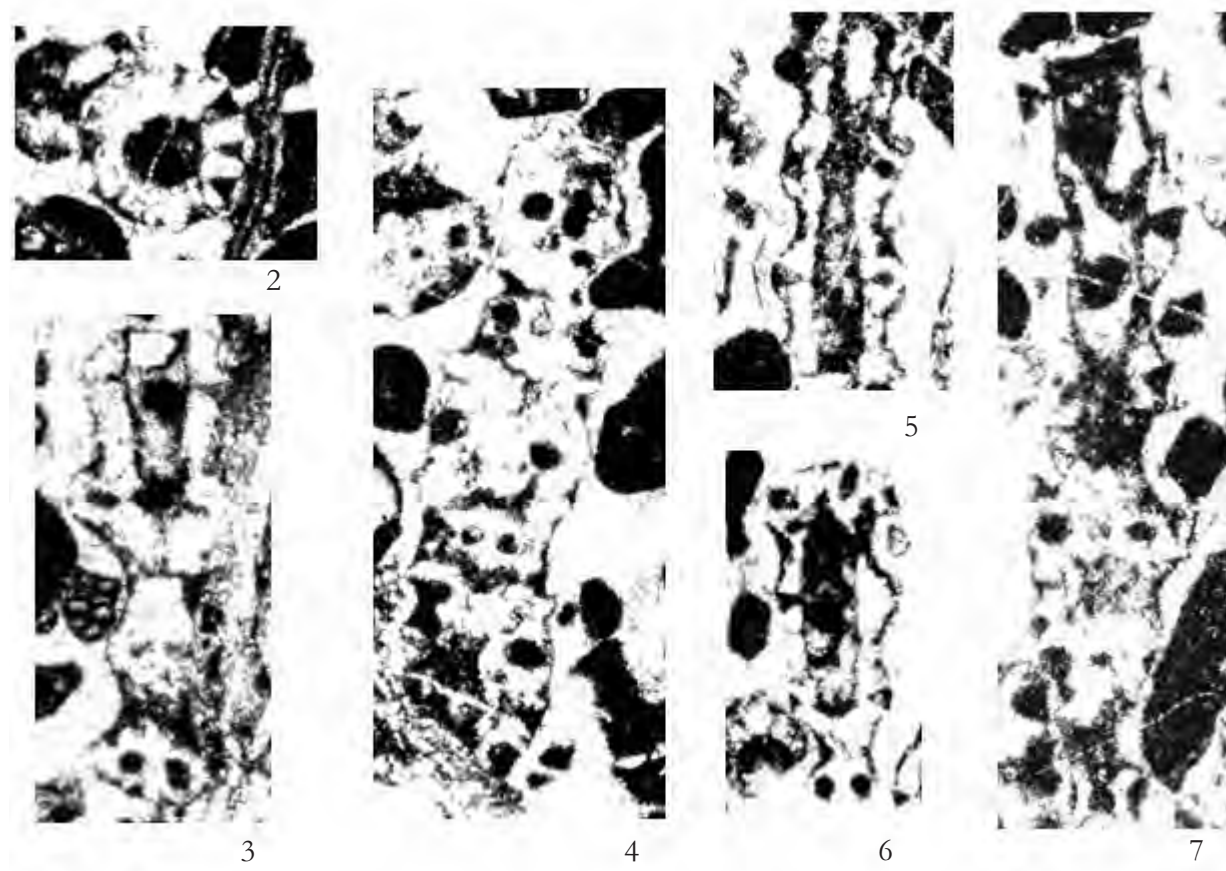


Fig. 1 – Grainstone con ?*Clypeina radici* e altre Dasycladaceae, *Trocholina* sp. e resti di Gastropoda. $\times 20$
 – Grainstone with ?*Clypeina radici* and other Dasycladaceae, *Trocholina* sp. and Gastropoda remains. $\times 20$



Figg. 2-7 – Sezioni variamente orientate di individui riferibili a ?*Clypeina radici*. $\times 40$
 – Variously oriented sections of specimens referred to ?*Clypeina radici*. $\times 40$

La microfacies di fig. 1 e gli individui delle figg. 2-7 provengono dalla sezione stratigrafica di Villa Santa Lucia, Monte Cairo (Lazio meridionale).

Biozona a ?*Cuneolina scarsellai* e *Cuneolina camposaurii*.

BARREMIANO INFERIORE

– The microfacies of fig. 1 and the specimens of figs. 2-7 from Villa Santa Lucia stratigraphic section, Cairo Mt. (Southern Lazio).
 ?*Cuneolina scarsellai* and *Cuneolina camposaurii* biozone.

LOWER BARREMAN

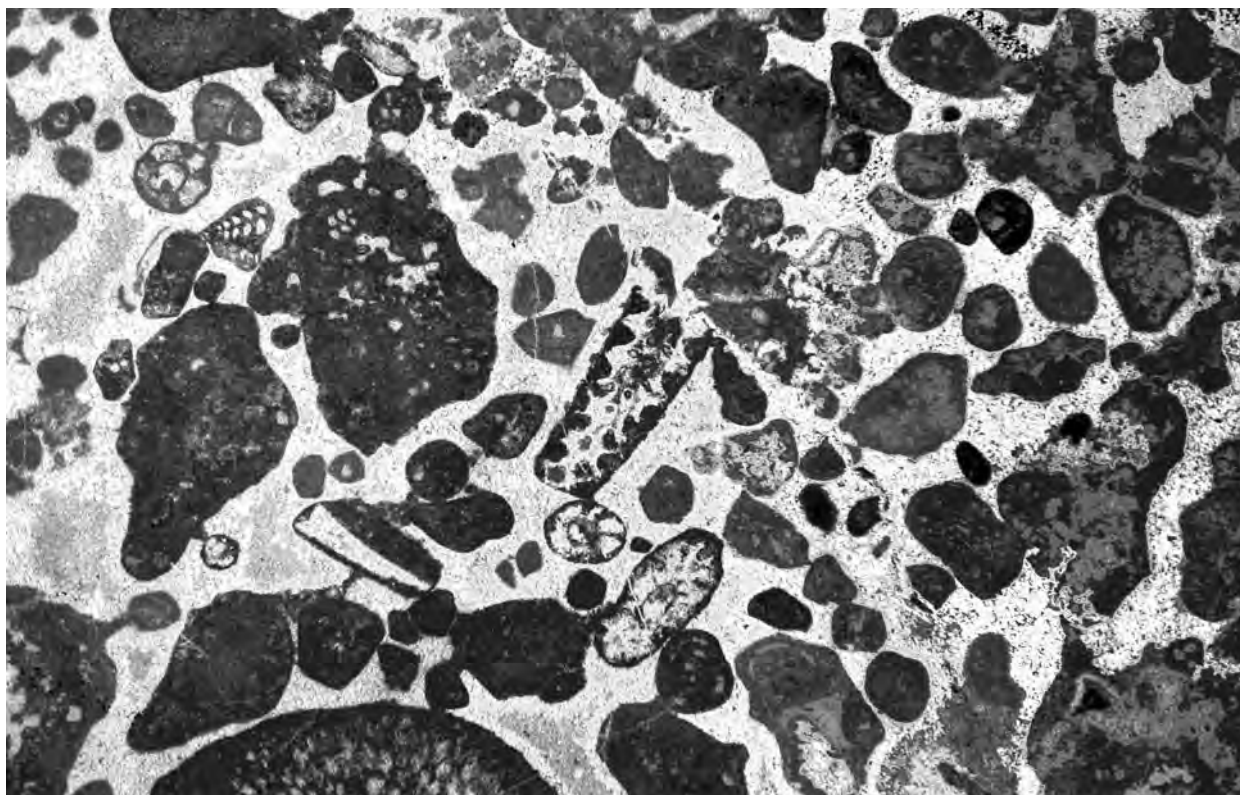
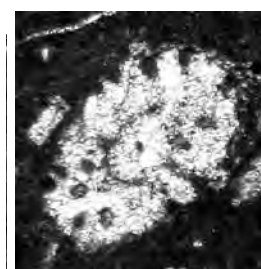
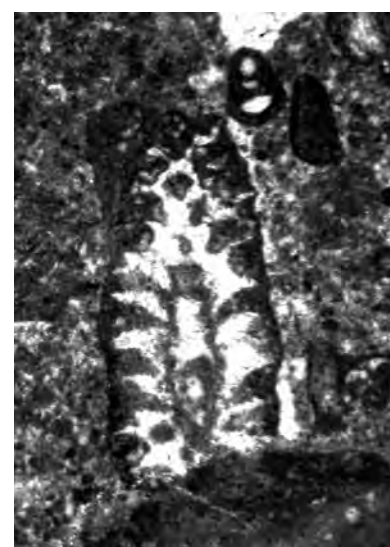


Fig. 1 – Grainstone con *Bakalovella elitzae* e altre Dasycladaceae. x 15
– Grainstone with *Bakalovella elitzae* and other Dasycladaceae. x 15



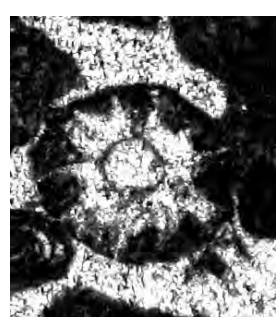
2



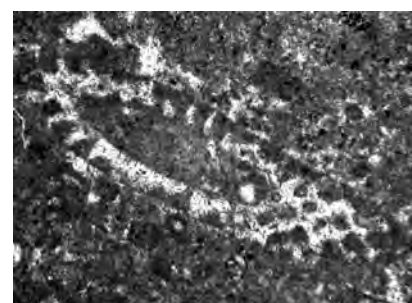
4



5



3



6

Figg. 2-6 – Sezioni variamente orientate di individui riferibili a *Bakalovella elitzae*. x 30
– Variously oriented sections of specimens referred to *Bakalovella elitzae*. x 30

La microfacies di fig. 1 e gli individui delle figg. 2-6 provengono dalla sezione stratigrafica di Colle Santa Lucia, Monte Cairo (Lazio meridionale).
Biozona a ?Cuneolina scarsellai e Cuneolina camposaurii. BARREMIANO INFERIORE
– The microfacies of fig. 1 and the specimens of figs. 2-6 from Colle Santa Lucia stratigraphic section, Cairo Mt. (Southern Lazio).
?Cuneolina scarsellai and Cuneolina camposaurii biozone. LOWER BARREMLAN

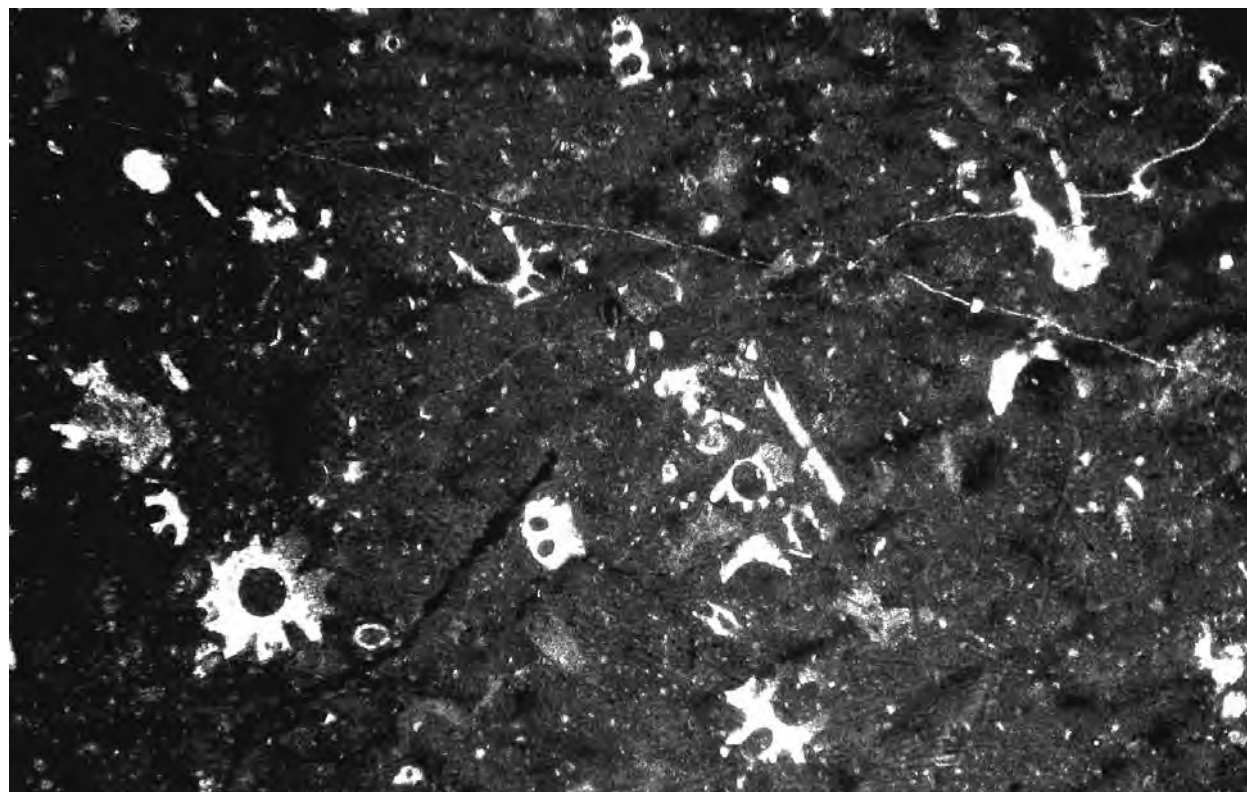
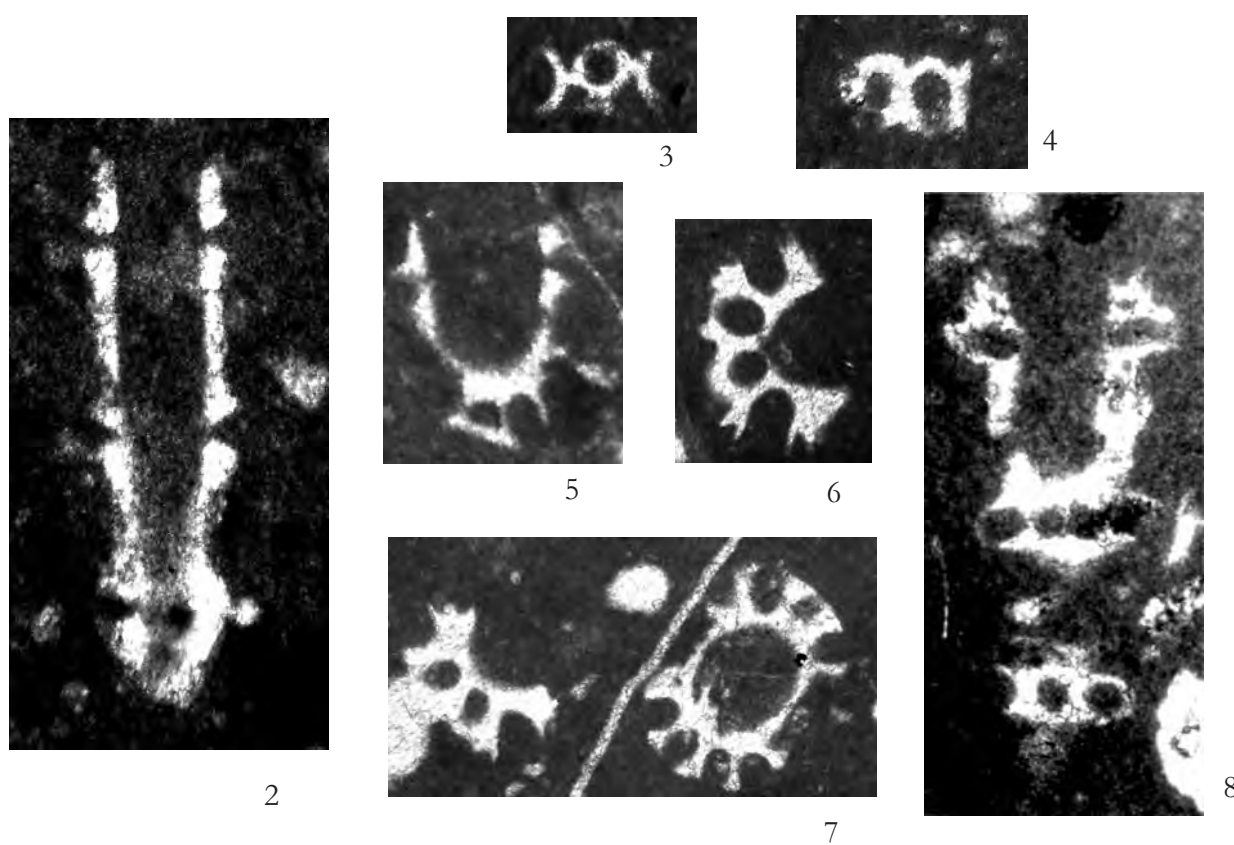


Fig. 1 – Wackestone con *?Clypeina solkani* e altre Dasycladaceae. $\times 20$
– Wackestone with *?Clypeina solkani* and other Dasycladaceae. $\times 20$



Figg. 2-8 – Sezioni variamente orientate di individui riferibili a *?Clypeina solkani*. $\times 50$
– Variously oriented sections of specimens referred to *?Clypeina solkani*. $\times 50$

La microfacies di fig. 1 e gli individui delle figg. 2-7 provengono dalla località Prata di Cagno, Monte Giano-Monte Cagno; l'individuo di fig. 8 proviene dalla sezione stratigrafica di Monte Le Rave Fosche, Monti Aurunci (Lazio). Biozona a *?Cuneolina scarsellai* e *Cuneolina camposaurii*.
– The microfacies of fig. 1 and the specimens of figs. 2-7 from Prata di Cagno locality, Giano Mt.-Cagno Mt.; the specimen of fig. 8 from Le Rave Fosche Mt. stratigraphic section, Aurunci Mts. (Latium).
?Cuneolina scarsellai and *Cuneolina camposaurii* biozone.

BARREMIANO INFERIORE
LOWER BARREMLIAN

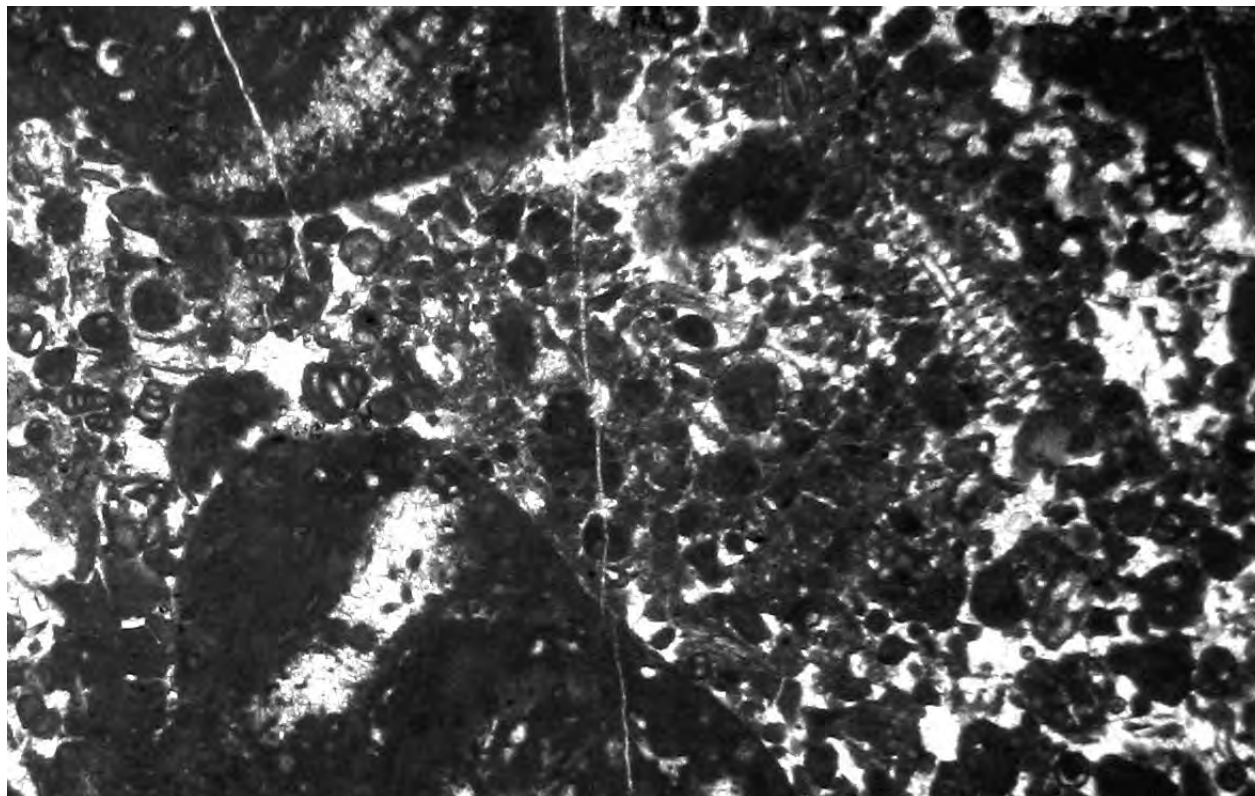
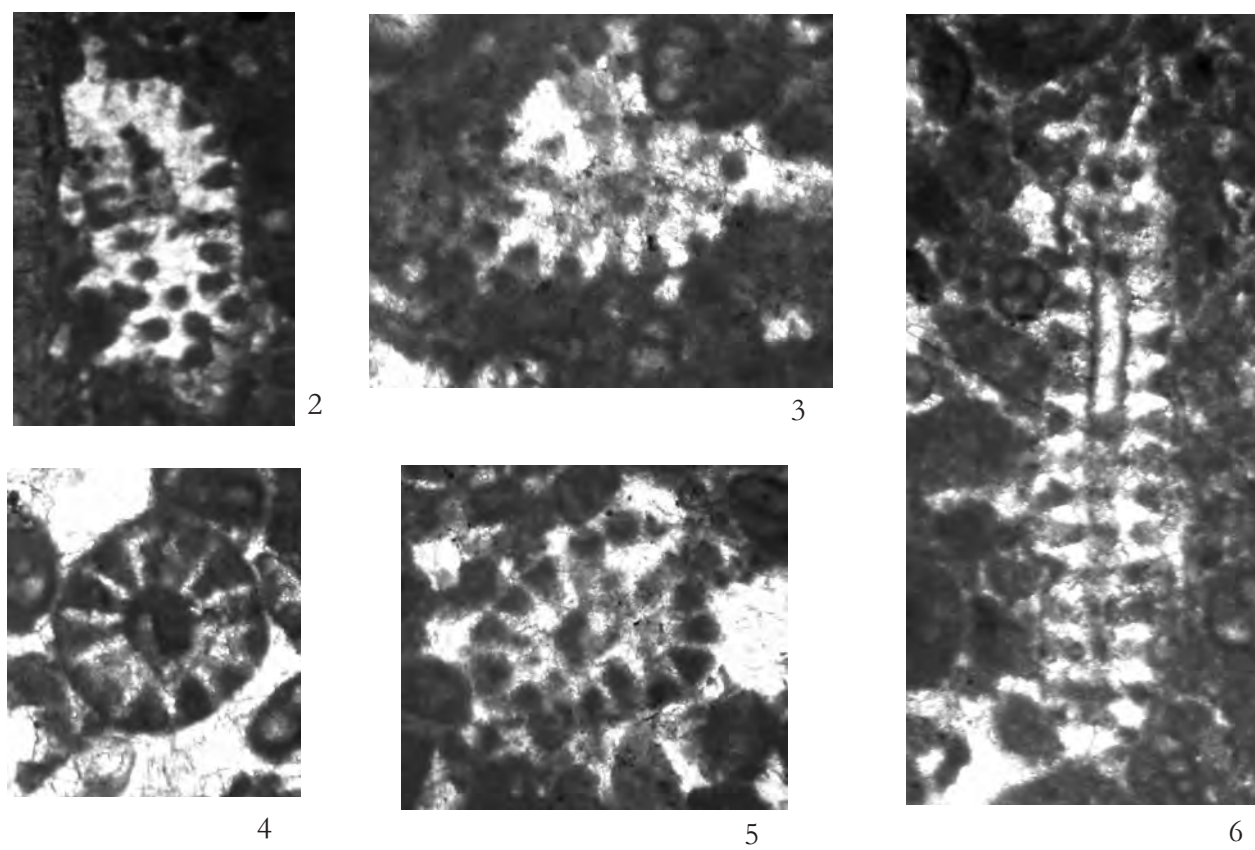


Fig. 1 – Rudstone con *Salpingoporella piriniae*, altre Dasycladaceae e Foraminiferi bentonici. $\times 25$
– Rudstone with *Salpingoporella piriniae*, other Dasycladaceae and benthic Foraminifera. $\times 25$



Figg. 2-6 – Sezioni variamente orientate di individui riferibili a *Salpingoporella piriniae*. $\times 50$
– Variously oriented sections of specimens referred to *Salpingoporella piriniae*. $\times 50$

La microfacies di fig. 1 e gli individui delle figg. 2-6 provengono dalla sezione stratigrafica di San Vincenzo, Monte Cairo (Lazio meridionale).

Biozona a ?Cuneolina scarsellai e Cuneolina camposaurii.

BARREMIANO

– The microfacies of fig. 1 and the specimens of figs. 2-6 from San Vincenzo stratigraphic section, Cairo Mt. (Southern Latium).
?Cuneolina scarsellai and Cuneolina camposaurii biozone.

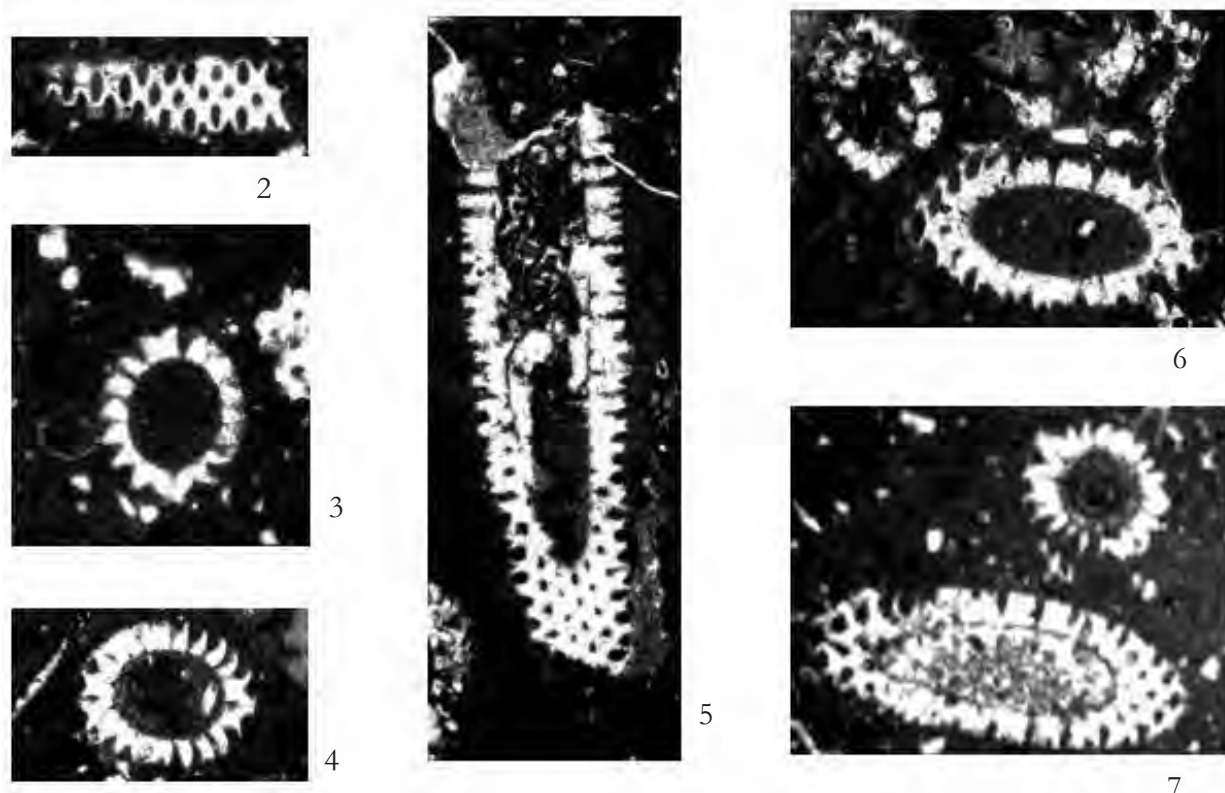
BARREMLAN

Tavola 15

Plate 15



Fig. 1 – Wackestone con *Salpingoporella melitae* e altre Dasycladaceae. x 10
– Wackestone with *Salpingoporella melitae* and other Dasycladaceae. x 10



Figg. 2-7 – Sezioni variamente orientate di individui riferibili a *Salpingoporella melitae*. x 18
– Variously oriented sections of specimens referred to *Salpingoporella melitae*. x 18

La microfacies di fig. 1 e gli individui delle figg. 2-7 provengono della sezione stratigrafica di Colle Santa Lucia, Monte Cairo (Lazio meridionale).

Biozona a ?Cuneolina scarsellai e Cuneolina camposaurii.

BARREMIANO

– The microfacies of fig. 1 and the specimens of figs. 2-7 from Colle Santa Lucia stratigraphic section, Cairo Mt. (Southern Lazio).

?*Cuneolina scarsellai* and *Cuneolina camposaurii* biozone.

BARREMLIAN

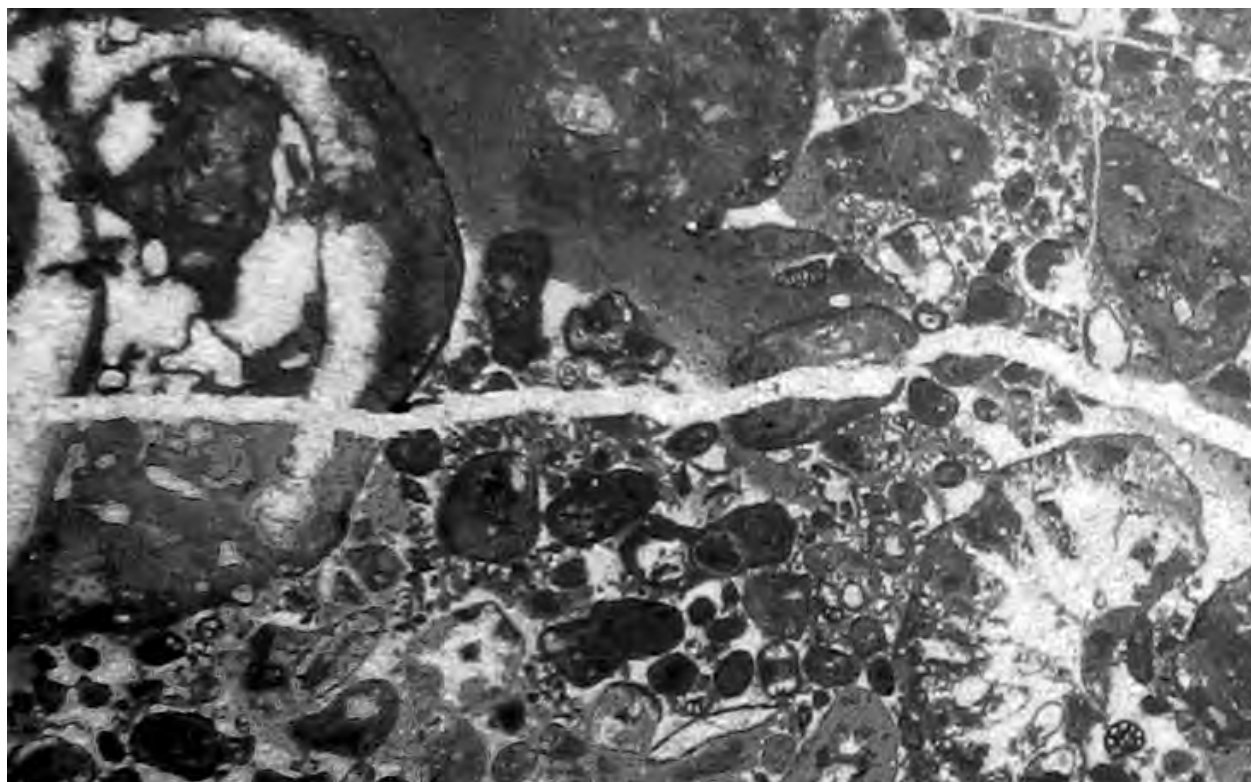
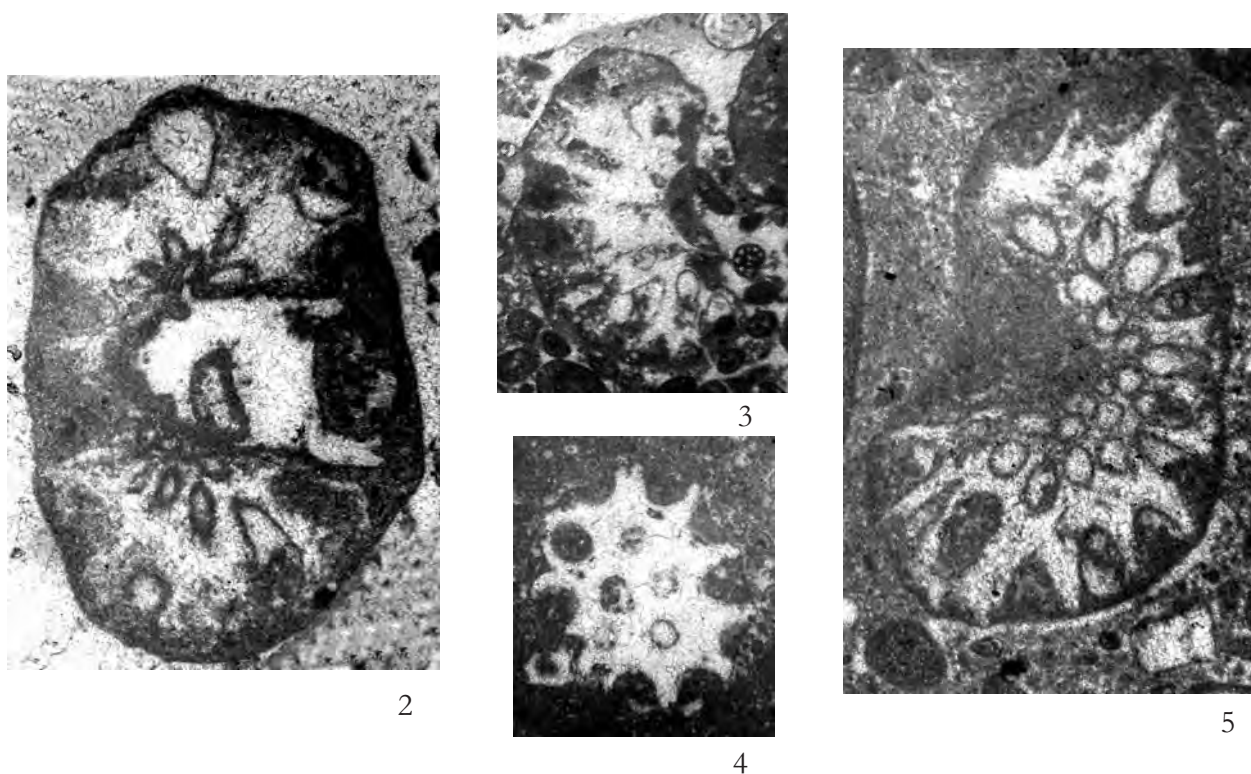


Fig. 1 – Floatstone con *Praturlonella danilovae*, altre Dasycladaceae, Foraminiferi bentonici e resti di Gastropoda. x 35
– Floatstone with *Praturlonella danilovae*, other Dasycladaceae, benthic Foraminifera and Gastropoda remains. x 35



Figg. 2-5 – Sezioni variamente orientate di individui riferibili a *Praturlonella danilovae*. x 30
– Variously oriented sections of specimens referred to *Praturlonella danilovae*. x 30

La microfacies di fig. 1 e gli individui delle figg. 2-5 provengono dalla sezione stratigrafica di Colle Santa Lucia, Monte Cairo (Lazio meridionale).

Biozona a ?Cuneolina scarsellai e Cuneolina camposaurii.

BARREMIANO

– The microfacies of fig. 1 and the specimens of figs. 2-5 from Colle Santa Lucia stratigraphic section, Cairo Mt. (Southern Lazio).

?Cuneolina scarsellai and Cuneolina camposaurii biozone.

BARREMLAN

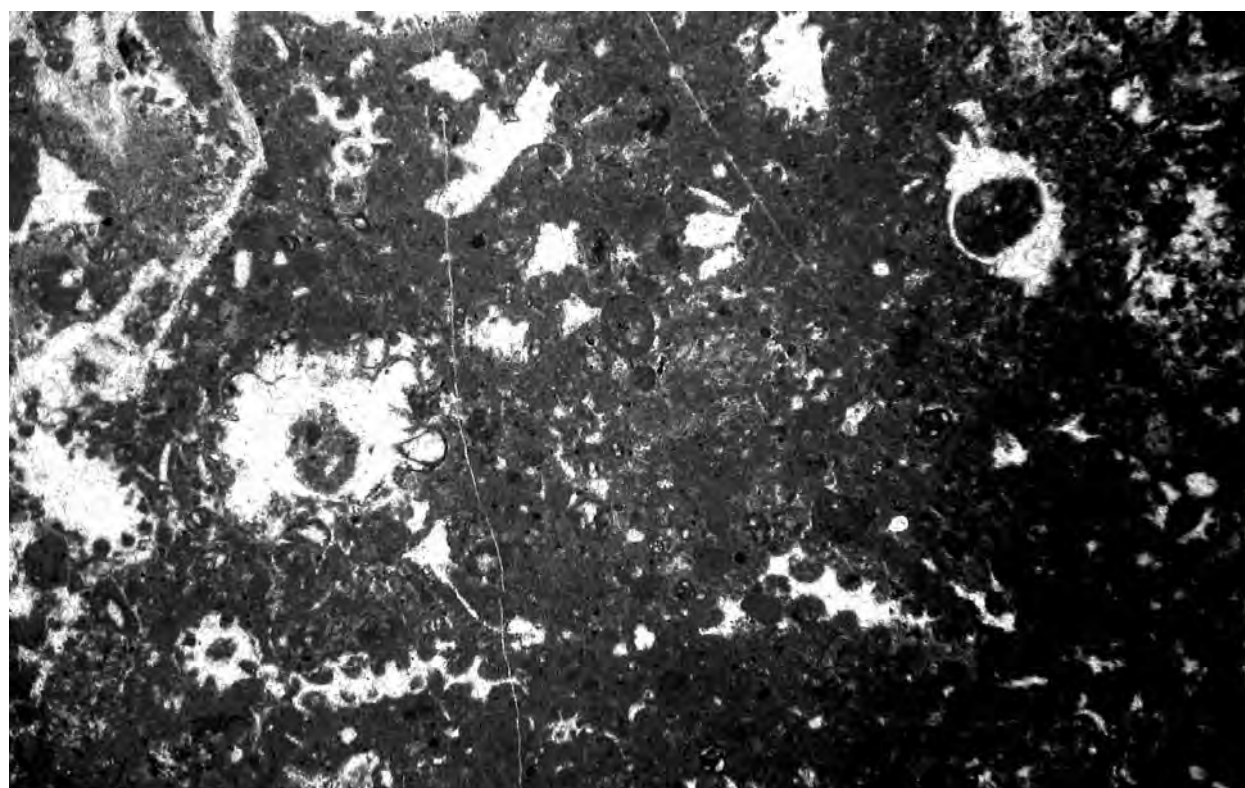
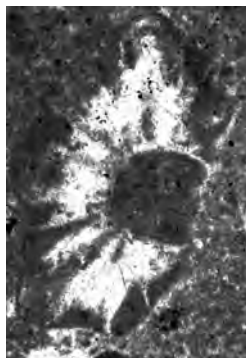


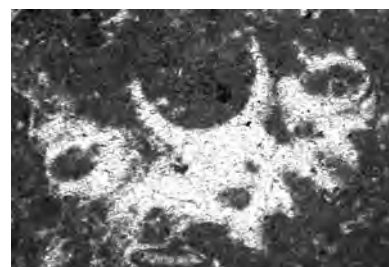
Fig. 1 – Wackestone con *Praturlonella pejovicae* e altre Dasycladaceae. x 18
 – Wackestone with *Praturlonella pejovicae* and other Dasycladaceae. x 18



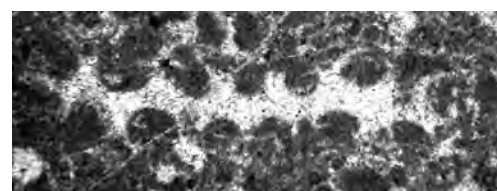
2



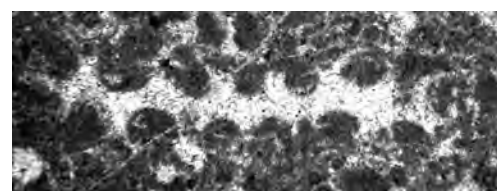
3



4



5



6

Figg. 2-6 – Sezioni variamente orientate di individui riferibili a *Praturlonella pejovicae*. x 35
 – Variously oriented sections of specimens referred to *Praturlonella pejovicae*. x 35

La microfacies di fig. 1 e gli individui delle figg. 2-6 provengono dalla sezione stratigrafica di San Vincenzo, Monte Cairo (Lazio meridionale).

Biozona a ?Cuneolina scarsellai e Cuneolina camposaurii.

BARREMIANO

– The microfacies of fig. 1 and the specimens of figs. 2-6 from San Vincenzo stratigraphic section, Cairo Mt. (Southern Lazio).
 ?Cuneolina scarsellai and Cuneolina camposaurii biozone.

BARREMLAN

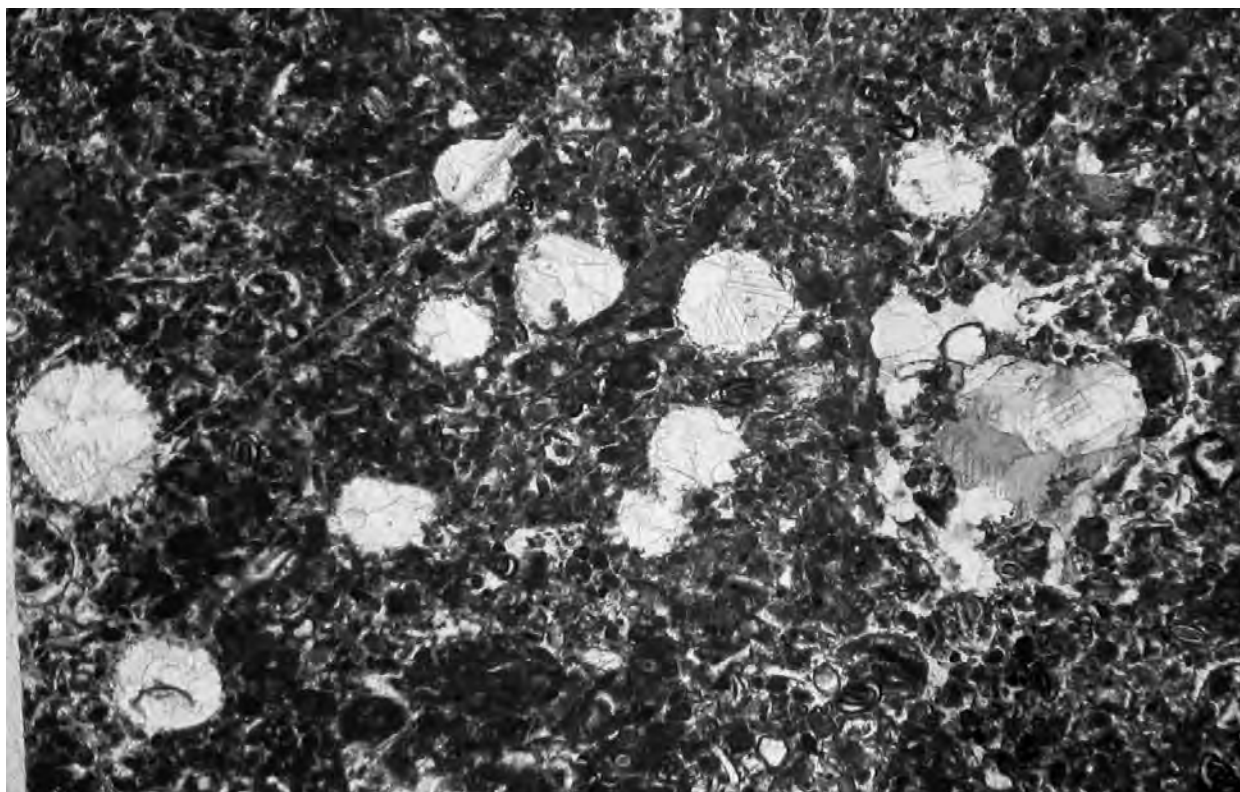
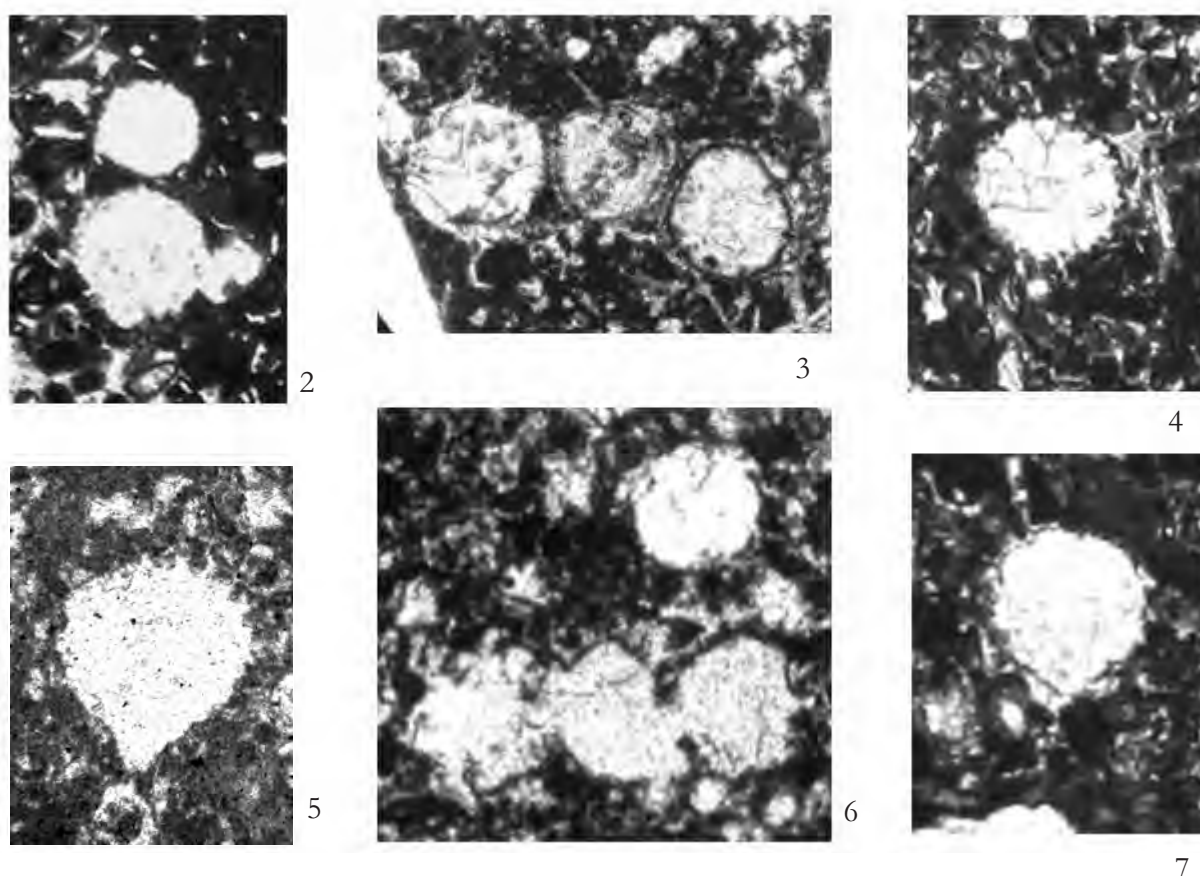


Fig. 1 – Packstone con *Humiella teutae*, altre Dasycladaceae e Foraminiferi bentonici. $\times 20$
– Packstone with *Humiella teutae*, other Dasycladaceae and benthic Foraminifera. $\times 20$



Figg. 2-7 – Sezioni variamente orientate di ampolle riferibili a *Humiella teutae*. $\times 40$
– Variously oriented sections of ampulla referred to *Humiella teutae*. $\times 40$

La microfacies di fig. 1 e gli individui delle figg. 2-7 provengono dalla sezione stratigrafica di Monte Sant'Angelo, Monti Aurunci (Lazio meridionale).

Biozona a ?Cuneolina scarsellai e Cuneolina camposaurii.

BARREMIANO

– The microfacies of fig. 1 and the specimens of figs. 2-7 from Sant'Angelo Mt. stratigraphic section, Aurunci Mts. (Southern Lazio).
?Cuneolina scarsellai and Cuneolina camposaurii biozone.

BARREMLAN

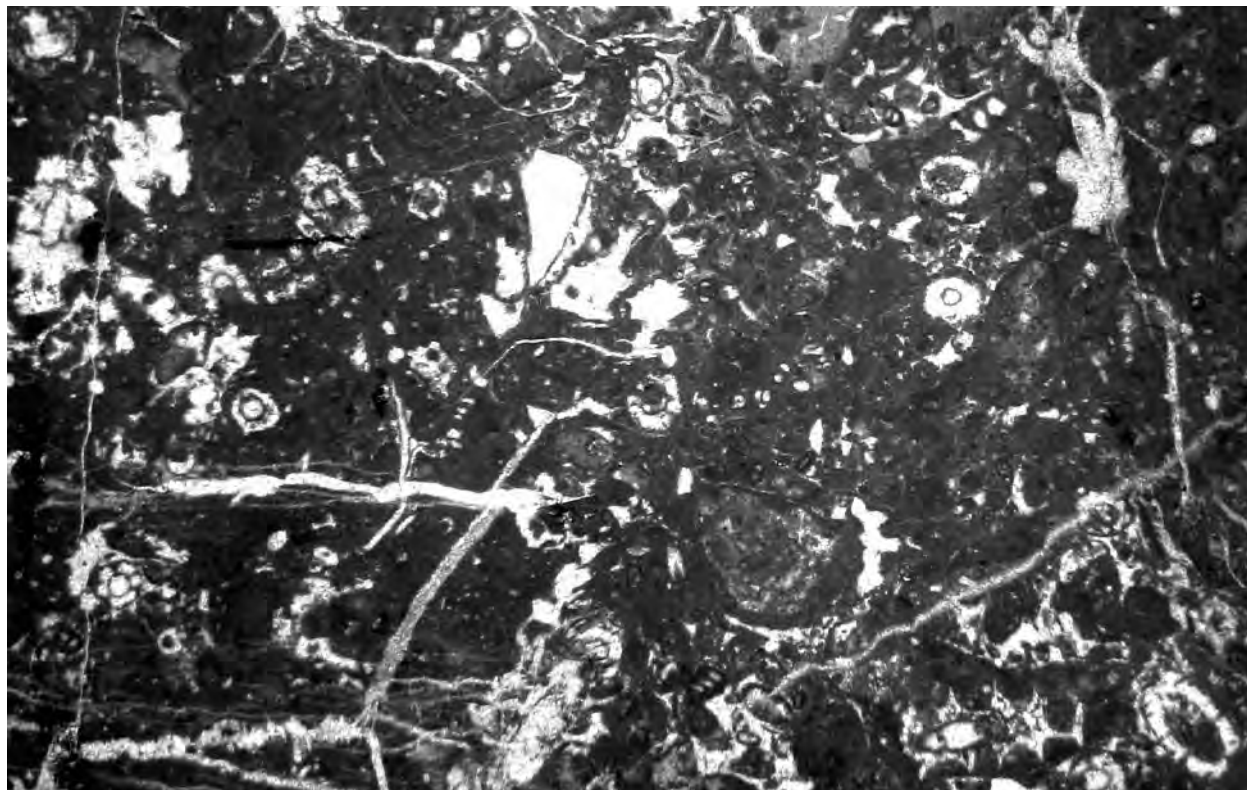
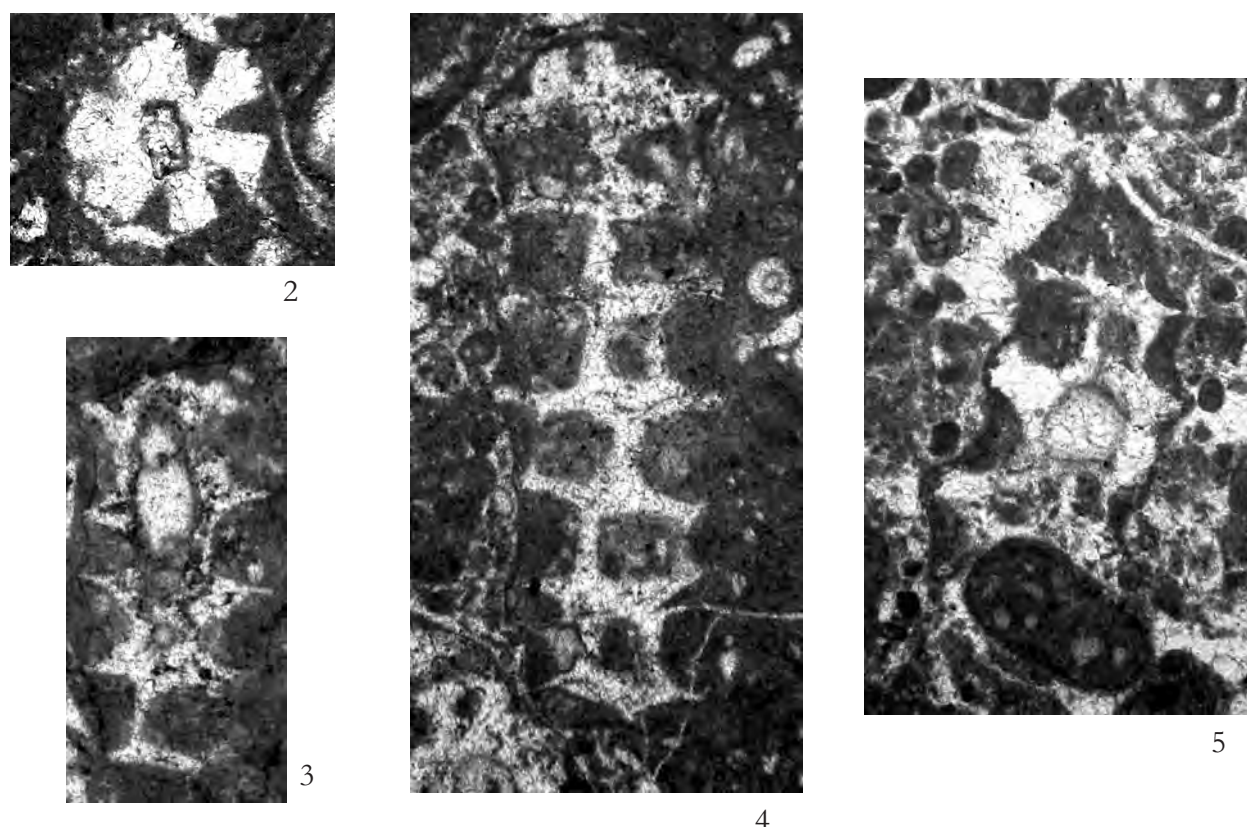


Fig. 1 – Packstone con *Salpingoporella biokovensis*, altre Dasycladaceae e Foraminiferi bentonici. $\times 18$
 – Packstone with *Salpingoporella biokovensis*, other Dasycladaceae and benthic Foraminifera. $\times 18$



Figg. 2-5 – Sezioni variamente orientate di individui riferibili a *Salpingoporella biokovensis*. $\times 40$
 – Variously oriented sections of specimens referred to *Salpingoporella biokovensis*. $\times 40$

La microfacies di fig. 1 e gli individui delle figg. 2-5 provengono dalla sezione stratigrafica di Colle Santa Lucia, Monte Cairo (Lazio meridionale).

Biozona a ?*Cuneolina scarsellai* e *Cuneolina camposaurii*.

BARREMIANO

– The microfacies of fig. 1 and the specimens of figs. 2-5 from Colle Santa Lucia stratigraphic section, Cairo Mt. (Southern Lazio).
 ?*Cuneolina scarsellai* and *Cuneolina camposaurii* biozone.

BARREMLIAN

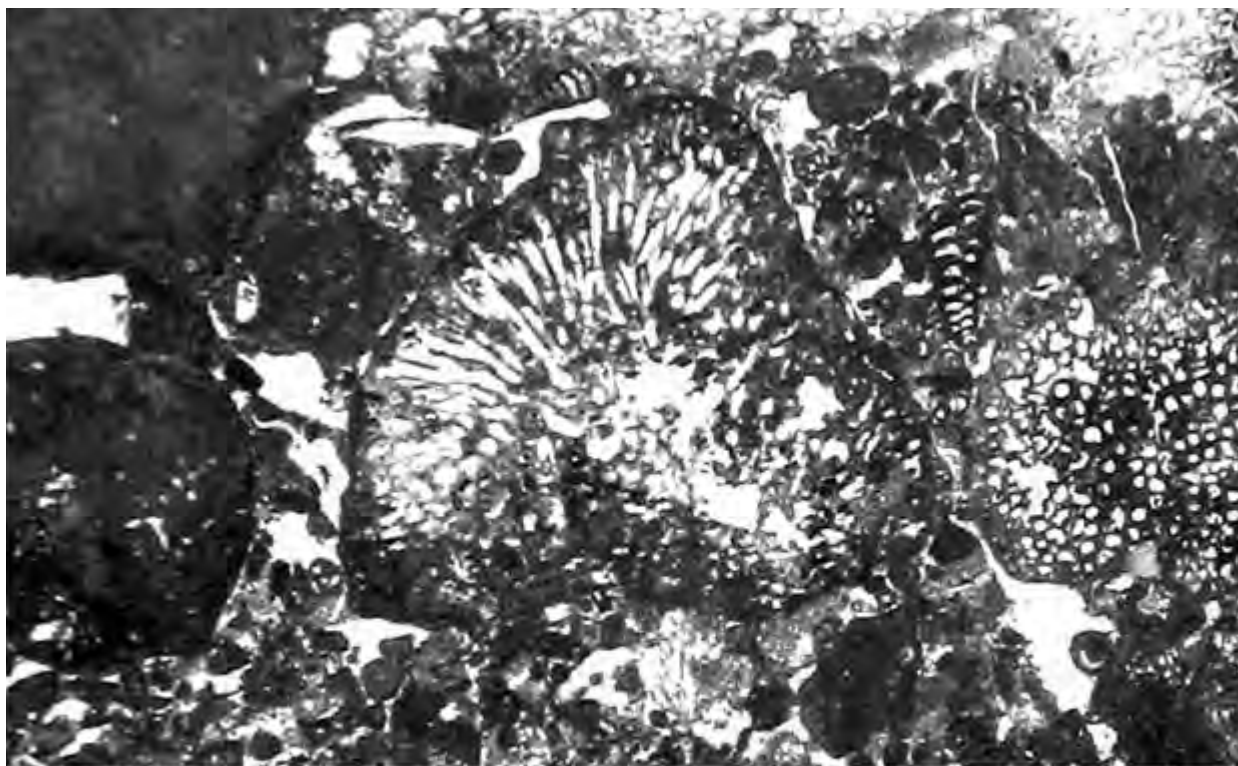


Fig. 1 – Rudstone con “*Rivularia*” *piae*, ?*Cuneolina scarsellai* e altri Foraminiferi bentonici. x 20
– Rudstone with “*Rivularia*” *piae*, ?*Cuneolina scarsellai* and other benthic Foraminifera. x 20

Sezione stratigrafica di Colle Santa Lucia, Monte Cairo (Lazio meridionale).

Biozona a ?*Cuneolina scarsellai* e *Cuneolina camposaurii*.

– *Colle Santa Lucia* stratigraphic section, Cairo Mt. (Southern Lazio).

?*Cuneolina scarsellai* and *Cuneolina camposaurii* biozone.

BARREMIANO

BARREMLAN

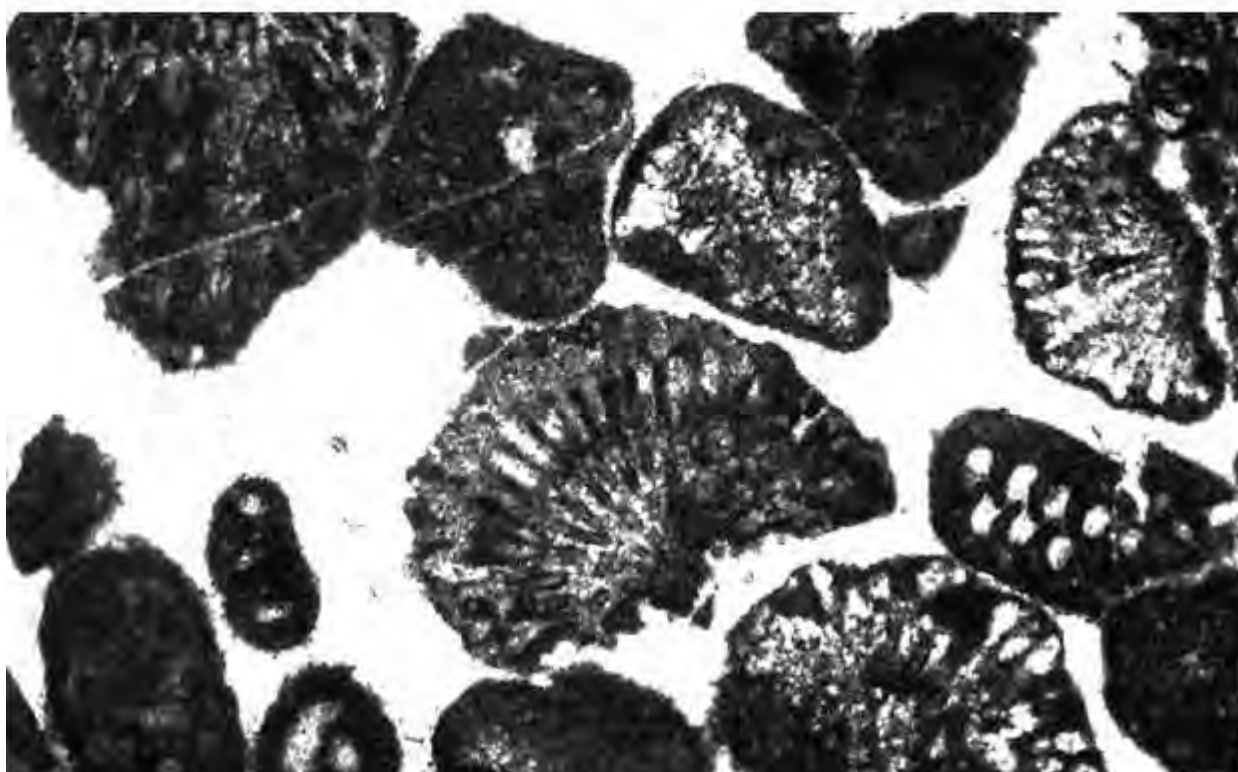


Fig. 2 – Grainstone con “*Rivularia*” *theodori* e ?*Cuneolina scarsellai*. x 65
– Grainstone with “*Rivularia*” *theodori* and ?*Cuneolina scarsellai*. x 65

Sezione stratigrafica di Villa Santa Lucia, Monte Cairo (Lazio meridionale).

Biozona a ?*Cuneolina scarsellai* e *Cuneolina camposaurii*.

– *Villa Santa Lucia* stratigraphic section, Cairo Mt. (Southern Lazio).

?*Cuneolina scarsellai* and *Cuneolina camposaurii* biozone.

BARREMIANO

BARREMLAN

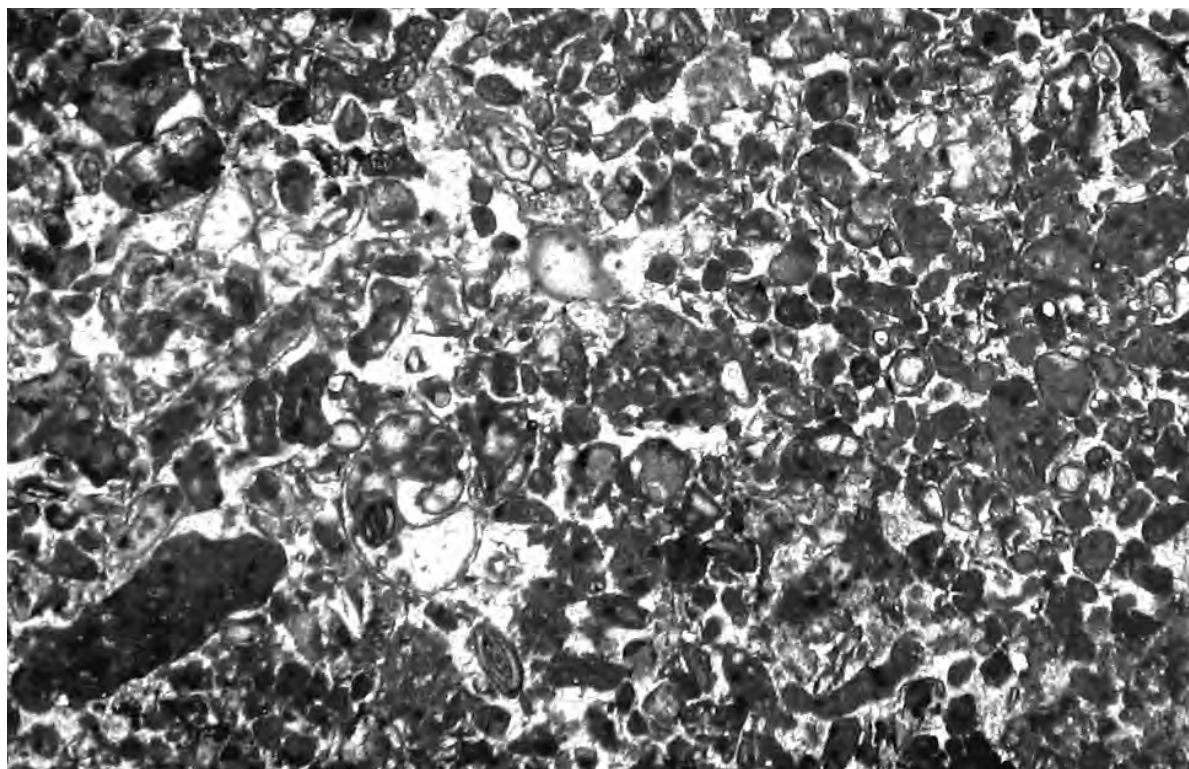
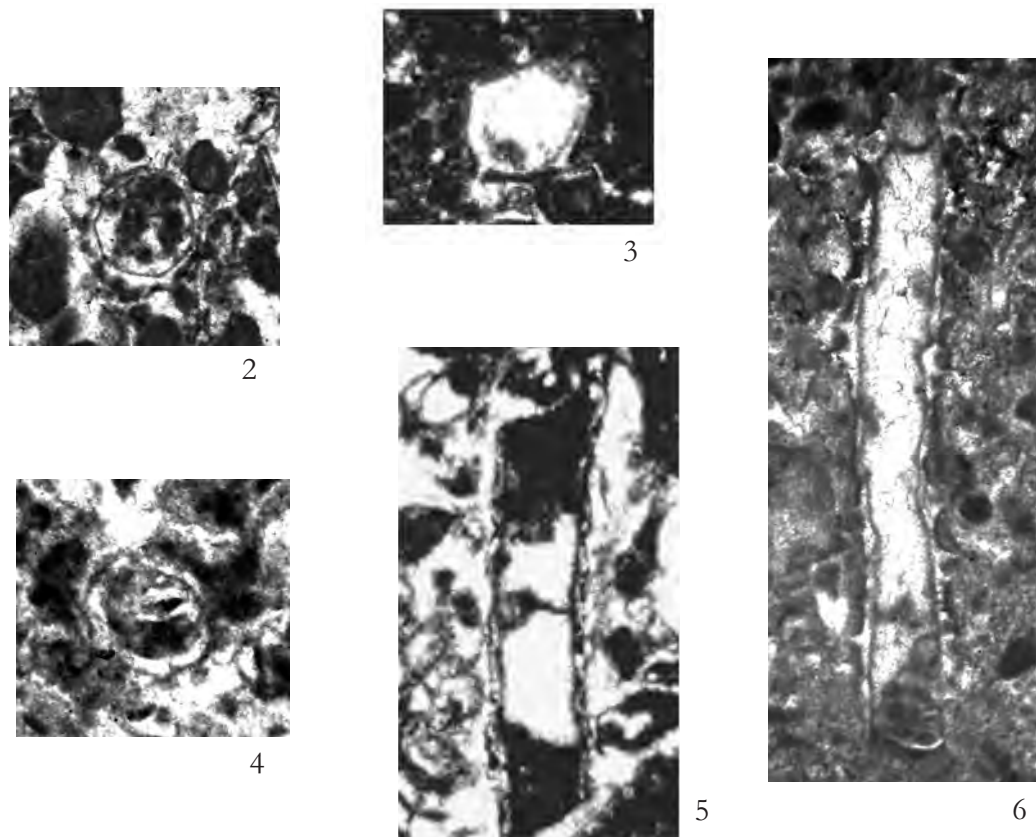


Fig. 1 – Packstone con *Salpingoporella hispanica*, altre Dasycladaceae e resti di Gastropoda. x 16
 – Packstone with *Salpingoporella hispanica*, other Dasycladaceae and Gastropoda remains. x 16



Figg. 2-6 – Sezioni variamente orientate di individui riferibili a *Salpingoporella hispanica*. x 35
 – Variously oriented sections of specimens referred to *Salpingoporella hispanica*. x 35

La microfacies di fig. 1 e gli individui delle figg. 2-6 provengono dalla sezione stratigrafica di Fonte Ottorile, Monti Aurunci (Lazio meridionale).

Biozona a ?Cuneolina scarsellai e Cuneolina camposaurii.
 – The microfacies of fig. 1 and the specimens of figs. 2-6 from Fonte Ottorile stratigraphic section, Aurunci Mts. (Southern Lazio).
 ?Cuneolina scarsellai and Cuneolina camposaurii biozone.

BARREMIANO

BARREMLAN

Tavola 22

Plate 22

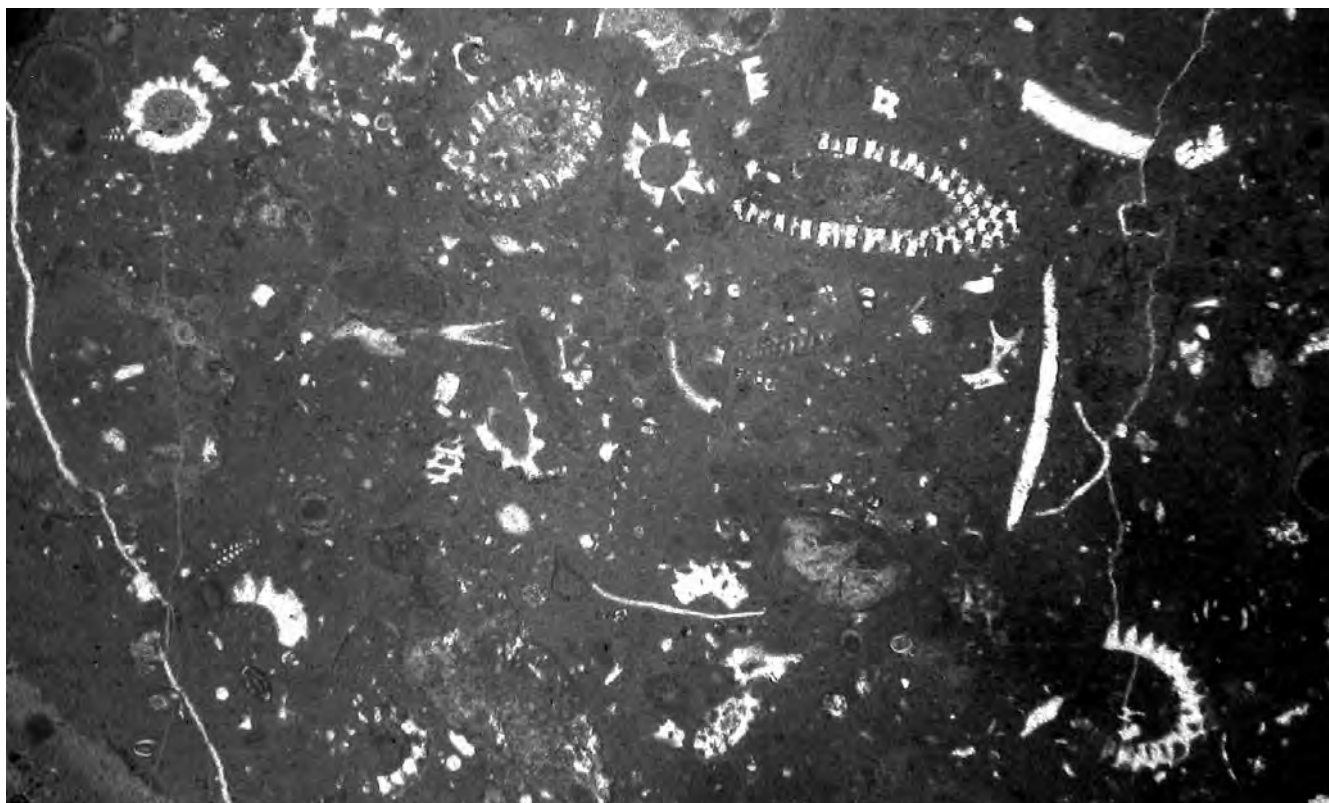
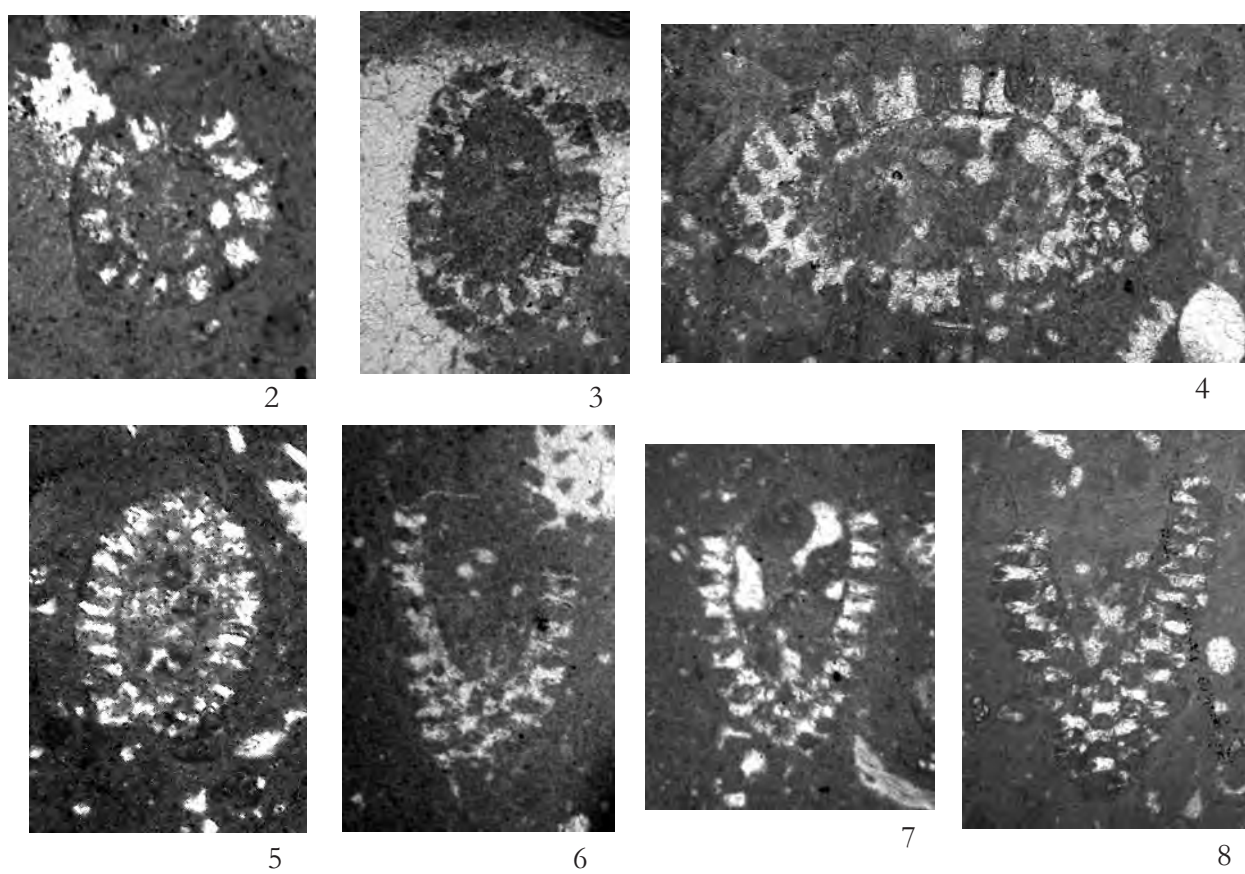


Fig. 1 – Wackestone con *Salpingoporella polygonalis* e altre Dasycladaceae. $\times 15$
– Wackestone with *Salpingoporella polygonalis* and other Dasycladaceae. $\times 15$



Figg. 2-8 – Sezioni variamente orientate di individui riferibili a *Salpingoporella polygonalis*. $\times 25$
– Variously oriented sections of specimens referred to *Salpingoporella polygonalis*. $\times 25$

La microfacies di fig. 1 e gli individui delle figg. 2-8 provengono dalla sezione stratigrafica di Colle Santa Lucia, Monte Cairo (Lazio meridionale).

Biozona a ?Cuneolina scarsellai e Cuneolina camposaurii.

BARREMIANO

– The microfacies of fig. 1 and the specimens of figs. 2-8 from Colle Santa Lucia stratigraphic section, Cairo Mt. (Southern Latium).
?Cuneolina scarsellai and Cuneolina camposaurii biozone.

BARREMIAN

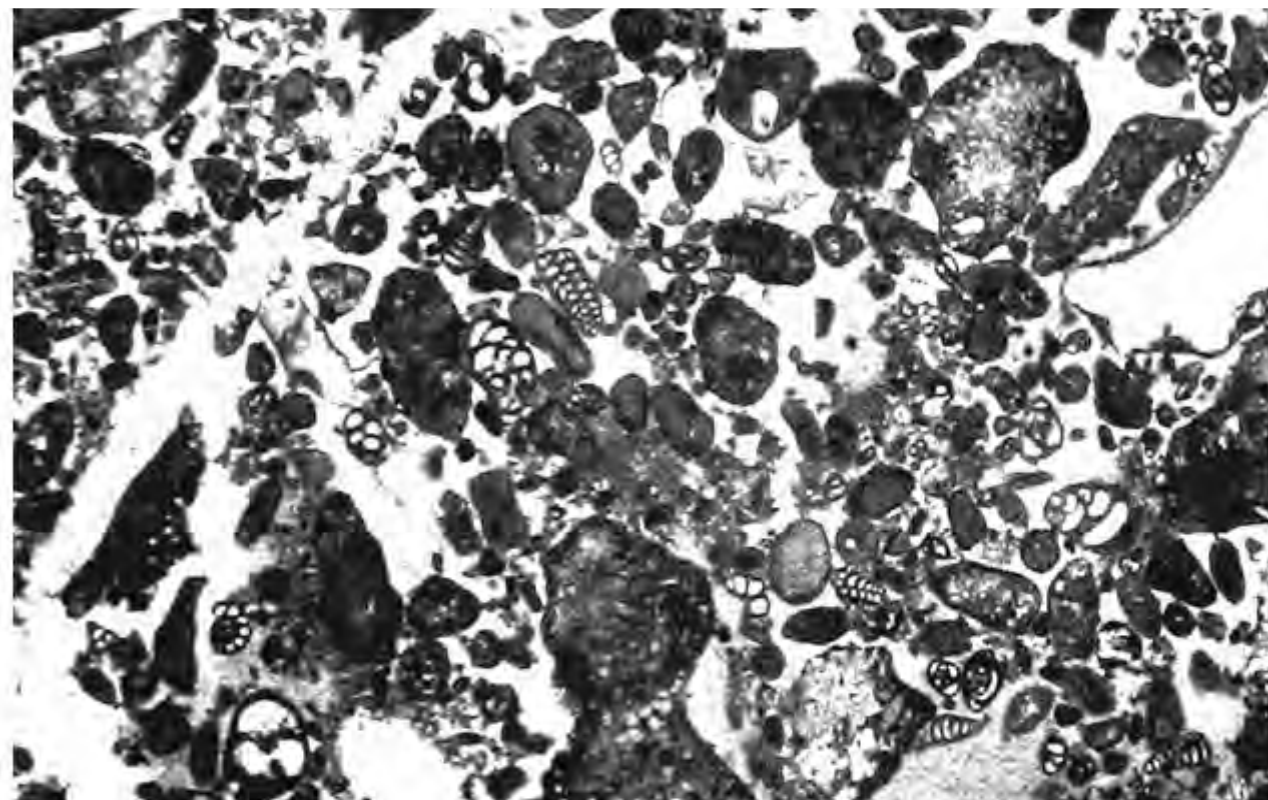
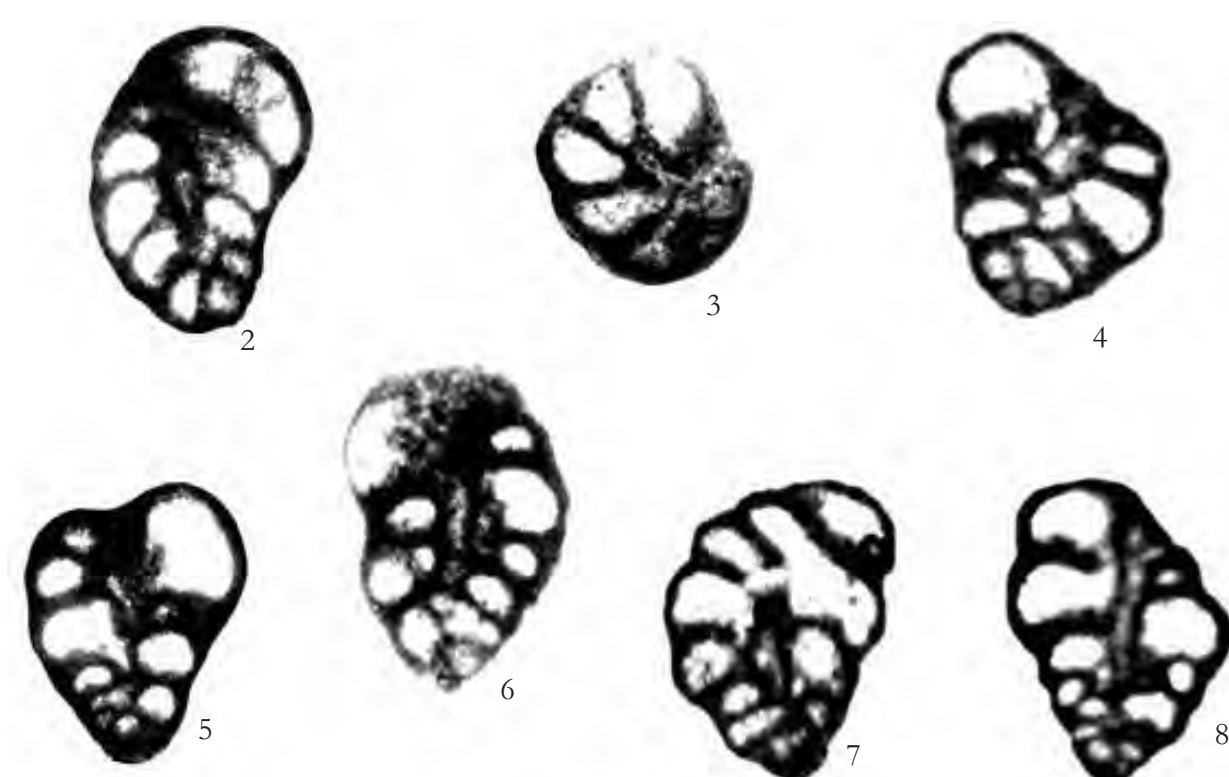


Fig. 1 – Packstone con *Arenobulimina cochleata*, *Haplophragmoides* cf. *globosus*, ?*Cuneolina scarsellai*, *Praechrysalidina infracretacea*, Miliolidae e altri Foraminiferi bentonici. $\times 25$

– Packstone with *Arenobulimina cochleata*, *Haplophragmoides* cf. *globosus*, ?*Cuneolina scarsellai*, *Praechrysalidina infracretacea*, Miliolidae and other benthic Foraminifera. $\times 25$



Figg. 2-8 – Sezioni variamente orientate di individui riferibili a *Arenobulimina cochleata*. $\times 80$
– Variously oriented sections of specimens referred to *Arenobulimina cochleata*. $\times 80$

La microfacies di fig. 1 e gli individui delle figg. 2-8 provengono dalla sezione stratigrafica di San Vincenzo, Monte Cairo (Lazio meridionale).

Biozona a ?*Cuneolina scarsellai* e *Cuneolina camposaurii*.

BARREMIANO SUPERIORE

– The microfacies of fig. 1 and the specimens of figs. 2-8 from San Vincenzo stratigraphic section, Cairo Mt. (Southern Lazio).
?*Cuneolina scarsellai* and *Cuneolina camposaurii* biozone.

UPPER BARREMLIAN

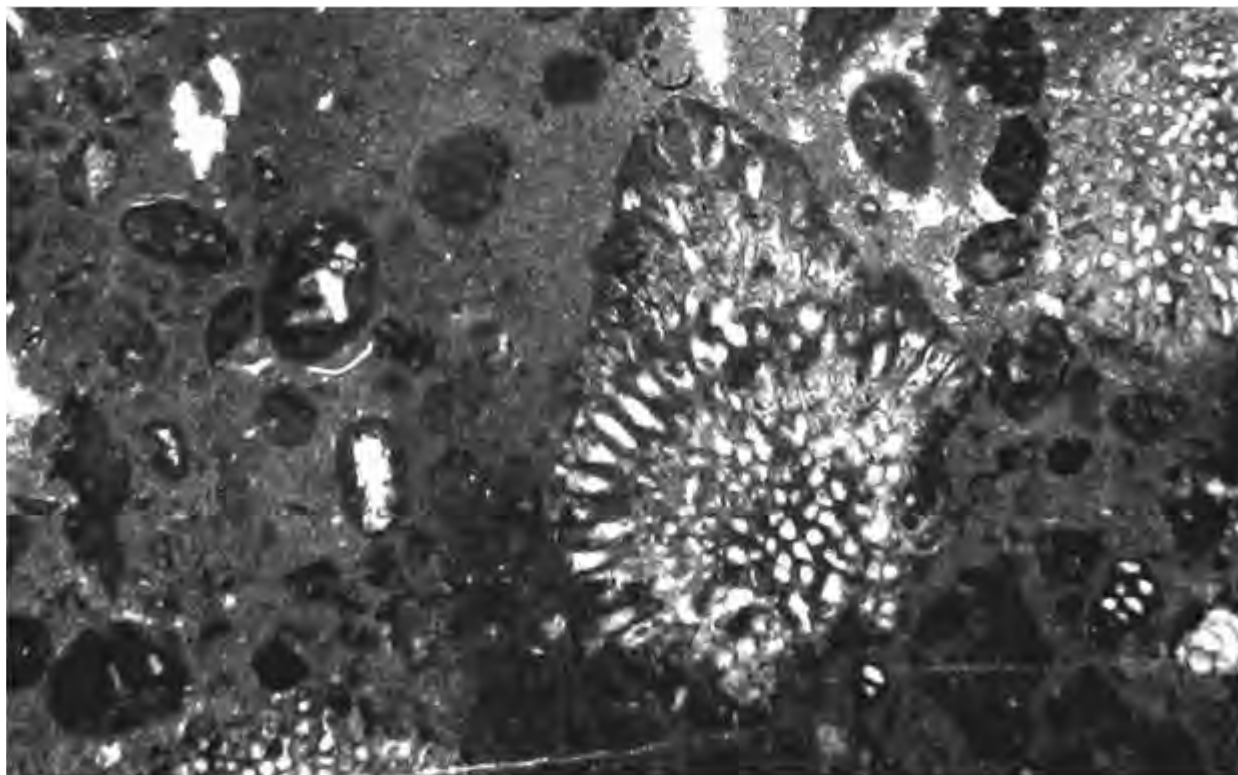


Fig. 1 – Floatstone con *Pseudomitcheldeania dragastani* e altre “Porostromata”.
– *Floatstone with Pseudomitcheldeania dragastani and other ‘Porostromata’.*

$\times 25$

$\times 25$

Sezione stratigrafica di Colle Santa Lucia, Monte Cairo (Lazio meridionale).
Biozona a ?Cuneolina scarsellai e Cuneolina camposaurii.

– *Colle Santa Lucia stratigraphic section, Cairo Mt. (Southern Latium).*
?Cuneolina scarsellai and Cuneolina camposaurii biozone.

BARREMIANO SUPERIORE

UPPER BARREMLAN

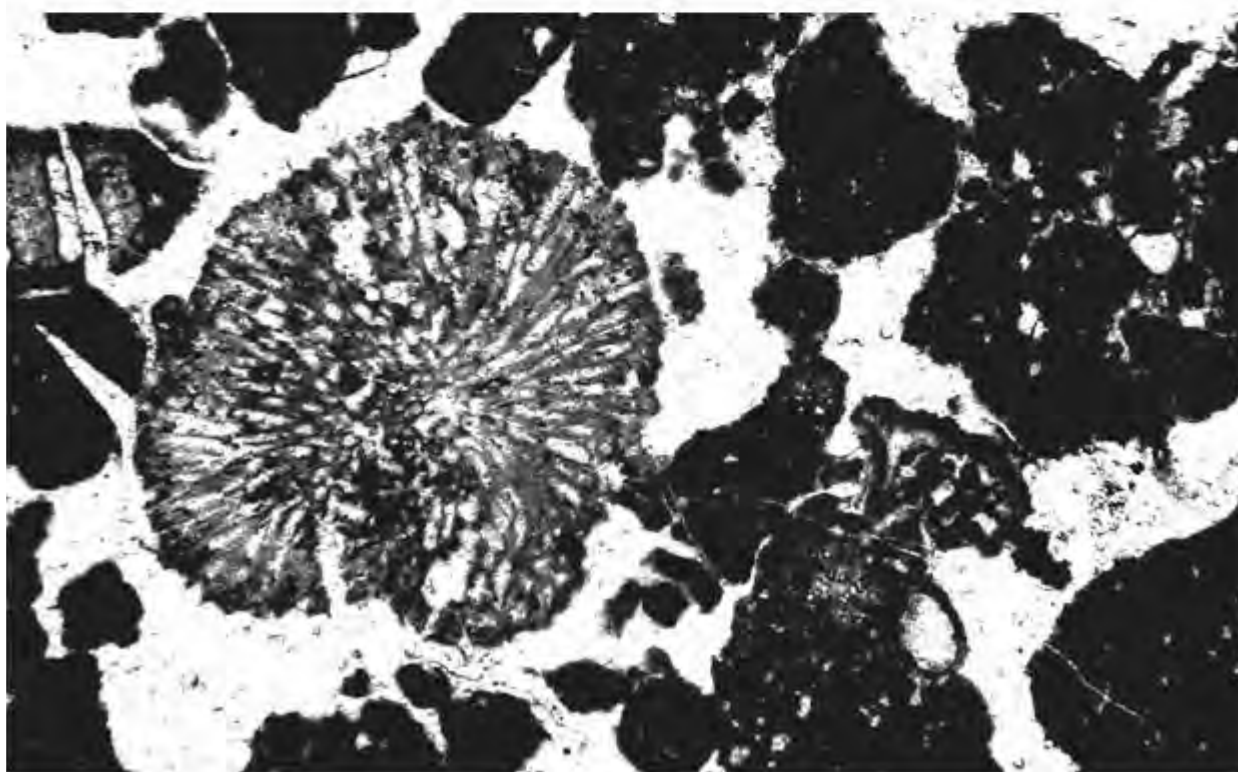


Fig. 2 – Rudstone con *Hedstroemia moldavica*.
– *Rudstone with Hedstroemia moldavica.*

$\times 20$

$\times 20$

Sezione stratigrafica di Colle Santa Lucia, Monte Cairo (Lazio meridionale).
Biozona a ?Cuneolina scarsellai e Cuneolina camposaurii.

– *Colle Santa Lucia stratigraphic section, Cairo Mt. (Southern Latium).*
?Cuneolina scarsellai and Cuneolina camposaurii biozone.

BARREMIANO SUPERIORE

UPPER BARREMLAN

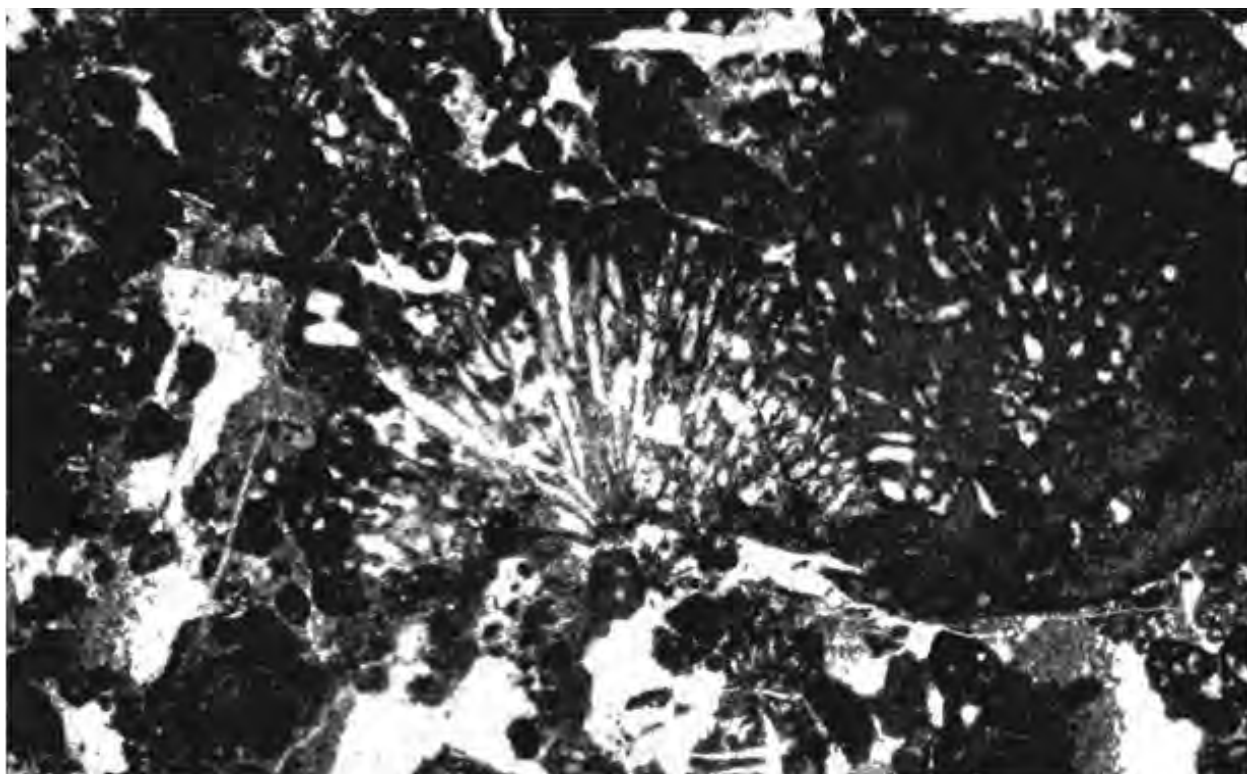


Fig. 1 – Rudstone con *Hedstroemia moldavica*. x 40
 – Rudstone with *Hedstroemia moldavica*. x 40

Sezione stratigrafica di Colle Santa Lucia, Monte Cairo (Lazio meridionale).
 Biozona a ?Cuneolina scarsellai e Cuneolina camposaurii.

BARREMIANO SUPERIORE

– Colle Santa Lucia stratigraphic section, Cairo Mt. (Southern Lazio).
 ?Cuneolina scarsellai and Cuneolina camposaurii biozone.

UPPER BARREMIAN

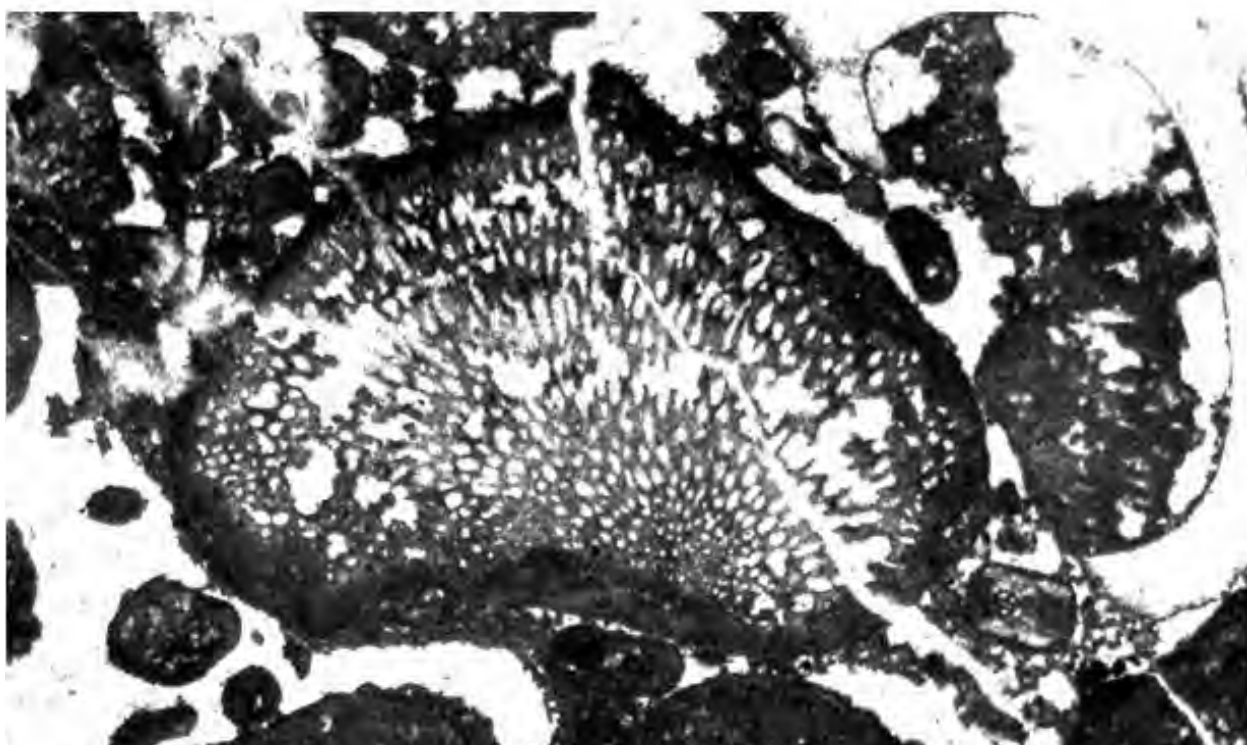


Fig. 2 – Rudstone con *Garwoodia fluegeli*. x 25
 – Rudstone with *Garwoodia fluegeli*. x 25

Sezione stratigrafica di Colle Santa Lucia, Monte Cairo (Lazio meridionale).
 Biozona a ?Cuneolina scarsellai e Cuneolina camposaurii.

BARREMIANO SUPERIORE

– Colle Santa Lucia stratigraphic section, Cairo Mt. (Southern Lazio).
 ?Cuneolina scarsellai and Cuneolina camposaurii biozone.

UPPER BARREMIAN

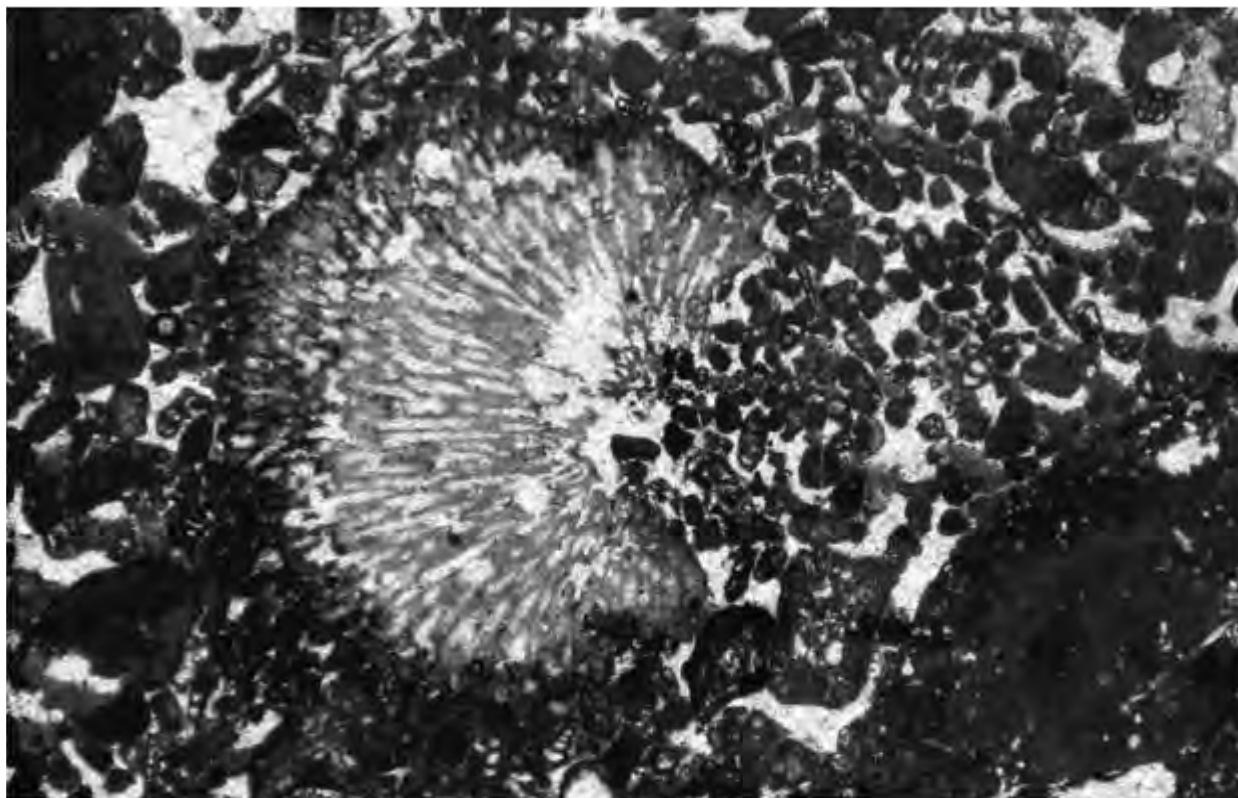


Fig. 1 – Floatstone con *Garwoodia fissa* e rari Foraminiferi bentonici. $\times 20$
 – Floatstone with *Garwoodia fissa* and rare benthic Foraminifera. $\times 20$

Sezione stratigrafica di Colle Santa Lucia, Monte Cairo (Lazio meridionale).
 Biozona a ?Cuneolina scarsellai e Cuneolina camposaurii.

– Colle Santa Lucia stratigraphic section, Cairo Mt. (Southern Latium).
 ?Cuneolina scarsellai and Cuneolina camposaurii biozone.

BARREMIANO SUPERIORE

UPPER BARREMLAN

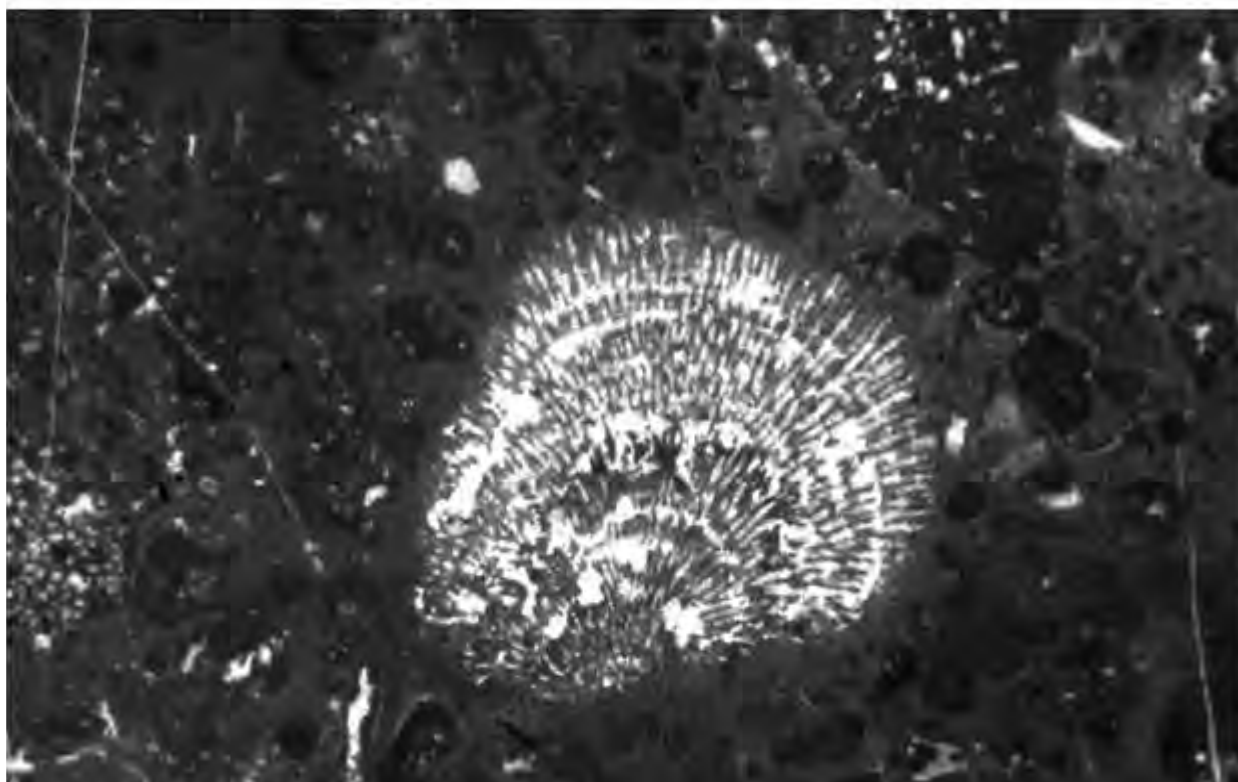


Fig. 2 – Floatstone con *Garwoodia maxima* e altre “Porostromata”. $\times 25$
 – Floatstone with *Garwoodia maxima* and other “Porostromata”. $\times 25$

Sezione stratigrafica di Colle Santa Lucia, Monte Cairo (Lazio meridionale).
 Biozona a ?Cuneolina scarsellai e Cuneolina camposaurii.

– Colle Santa Lucia stratigraphic section, Cairo Mt. (Southern Latium).
 ?Cuneolina scarsellai and Cuneolina camposaurii biozone.

BARREMIANO SUPERIORE

UPPER BARREMLAN

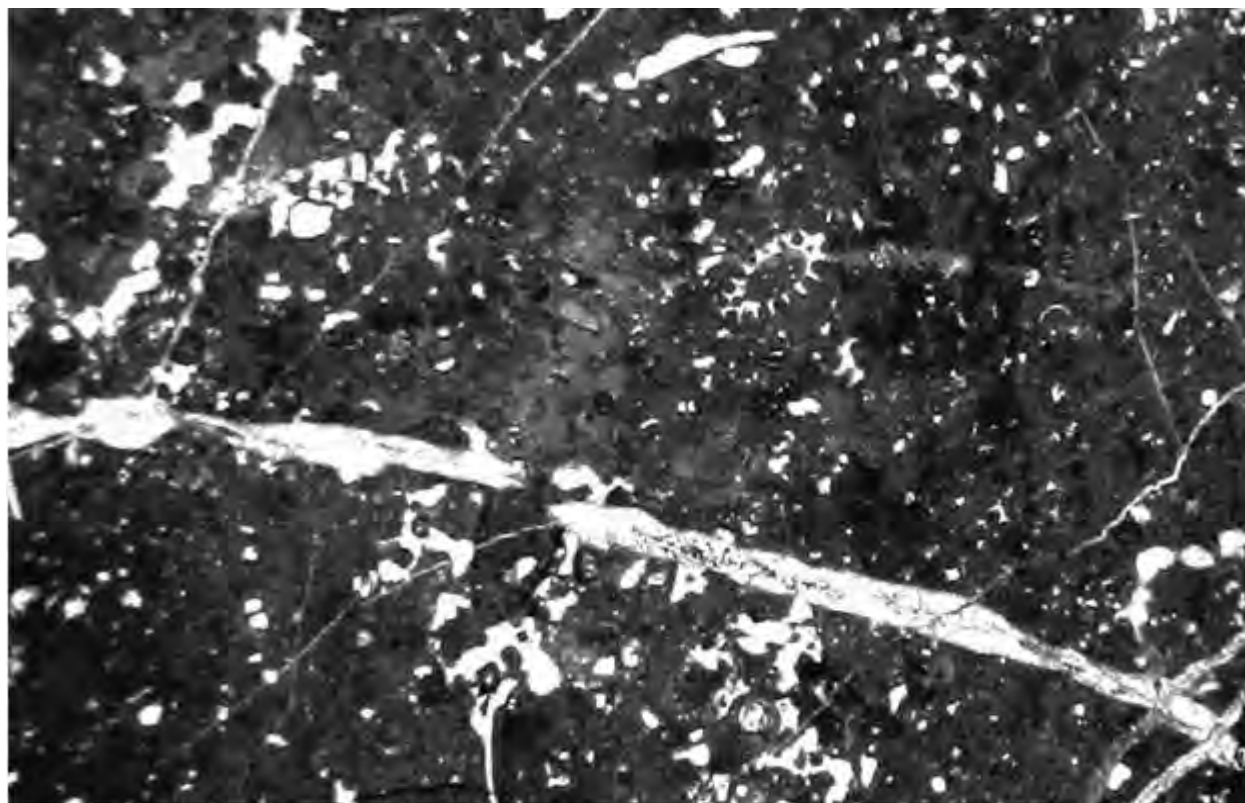
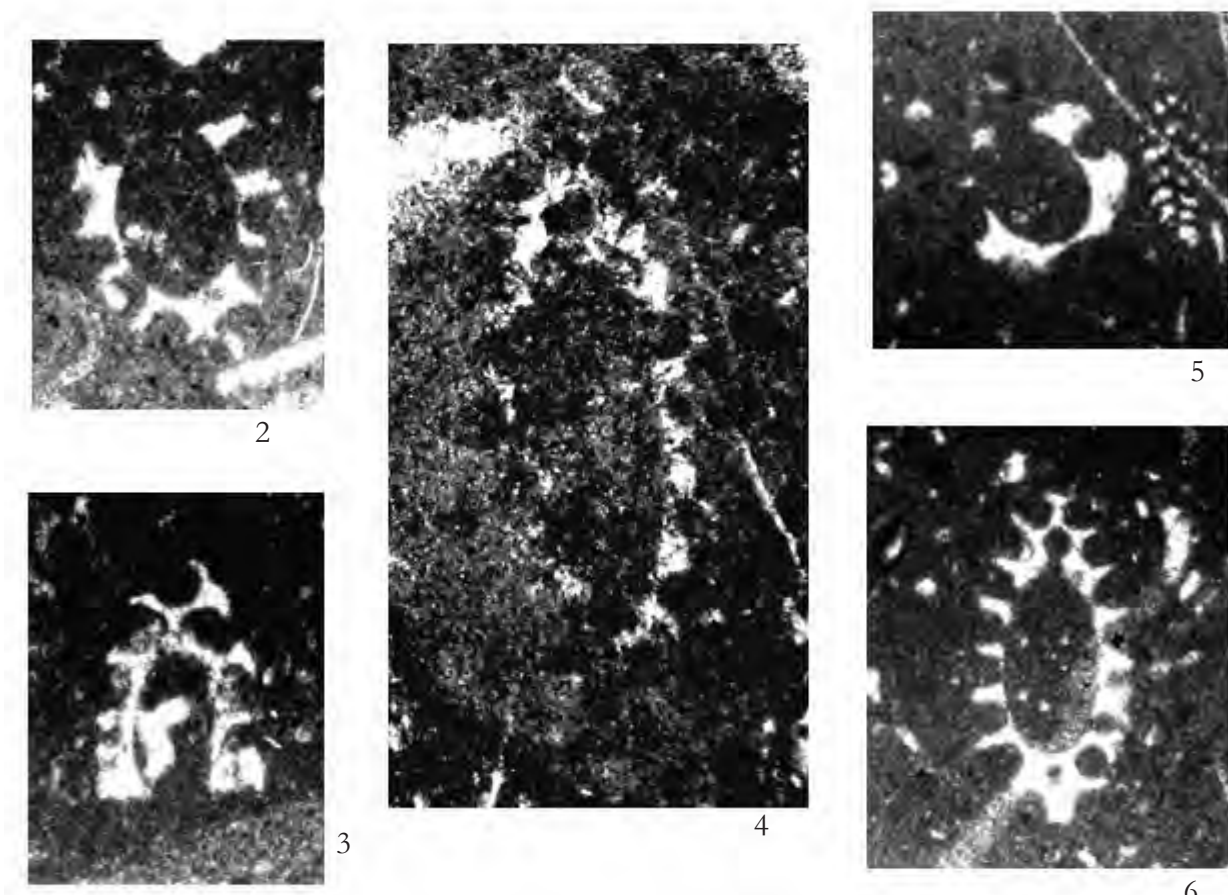


Fig. 1 – Wackestone con *Piriferella spinosa*, Miliolidae e Ostracoda. $\times 20$
 – Wackestone with *Piriferella spinosa*, Miliolidae and Ostracoda. $\times 20$



Figg. 2-6 – Sezioni variamente orientate di individui riferibili a *Piriferella spinosa*. $\times 50$
 – Variously oriented sections of specimens referred to *Piriferella spinosa*. $\times 50$

La microfacies di fig. 1 e gli individui delle figg. 2-6 provengono dalla sezione stratigrafica di Monte Cefalone, Monti d'Ocre (Abruzzo).

Biozona a ?Cuneolina scarsellai e Cuneolina camposaurii.

BARREMIANO SUPERIORE

– The microfacies of fig. 1 and the specimens of figs. 2-6 from Cefalone Mt. stratigraphic section, d'Ocre Mts. (Abruzzo).

?Cuneolina scarsellai and Cuneolina camposaurii biozone.

UPPER BARREMIAN

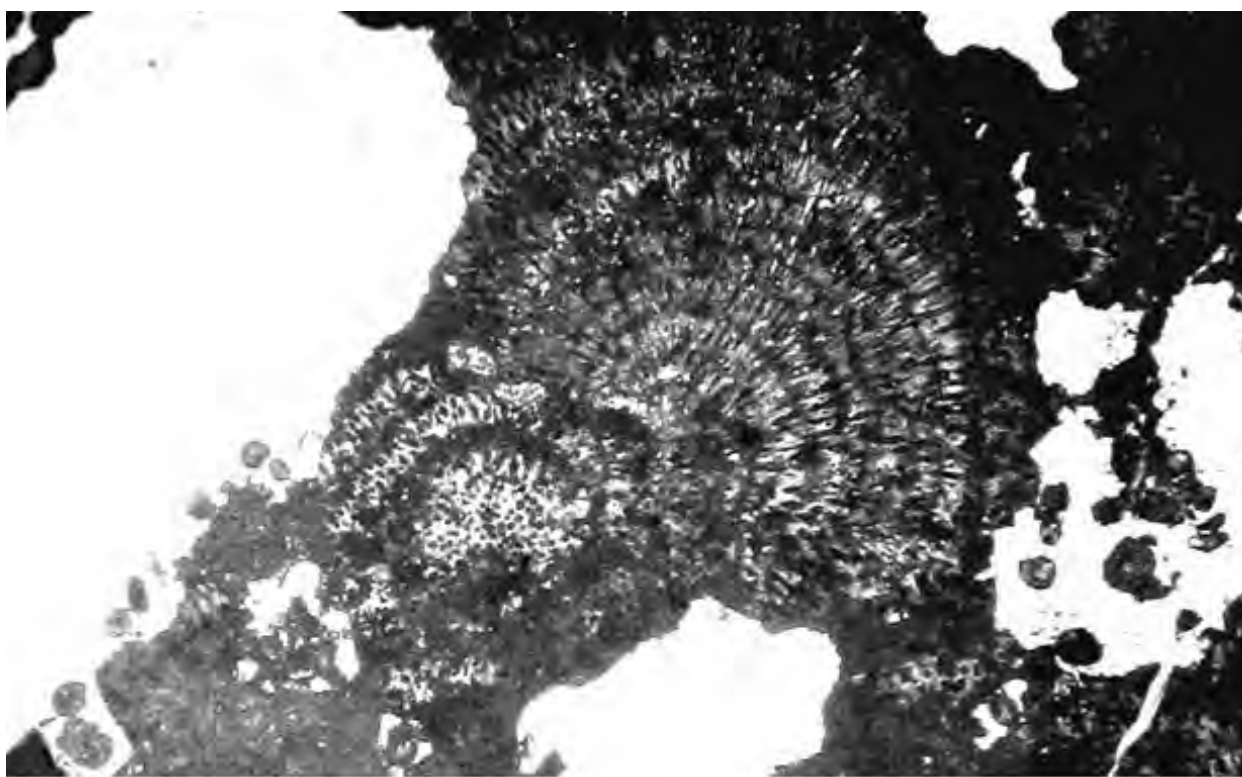


Fig. 1 – Rudstone con “*Rivularia*” *lissaviensis*. x 20
– Rudstone with “*Rivularia*” *lissaviensis*. x 20

Sezione stratigrafica di Colle Santa Lucia, Monte Cairo (Lazio meridionale).
Biozona a ?Cuneolina scarsellai e Cuneolina camposaurii.

– Colle Santa Lucia stratigraphic section, Cairo Mt. (Southern Lazio).
?Cuneolina scarsellai and Cuneolina camposaurii biozone.

BARREMIANO SUPERIORE

UPPER BARREMLAN

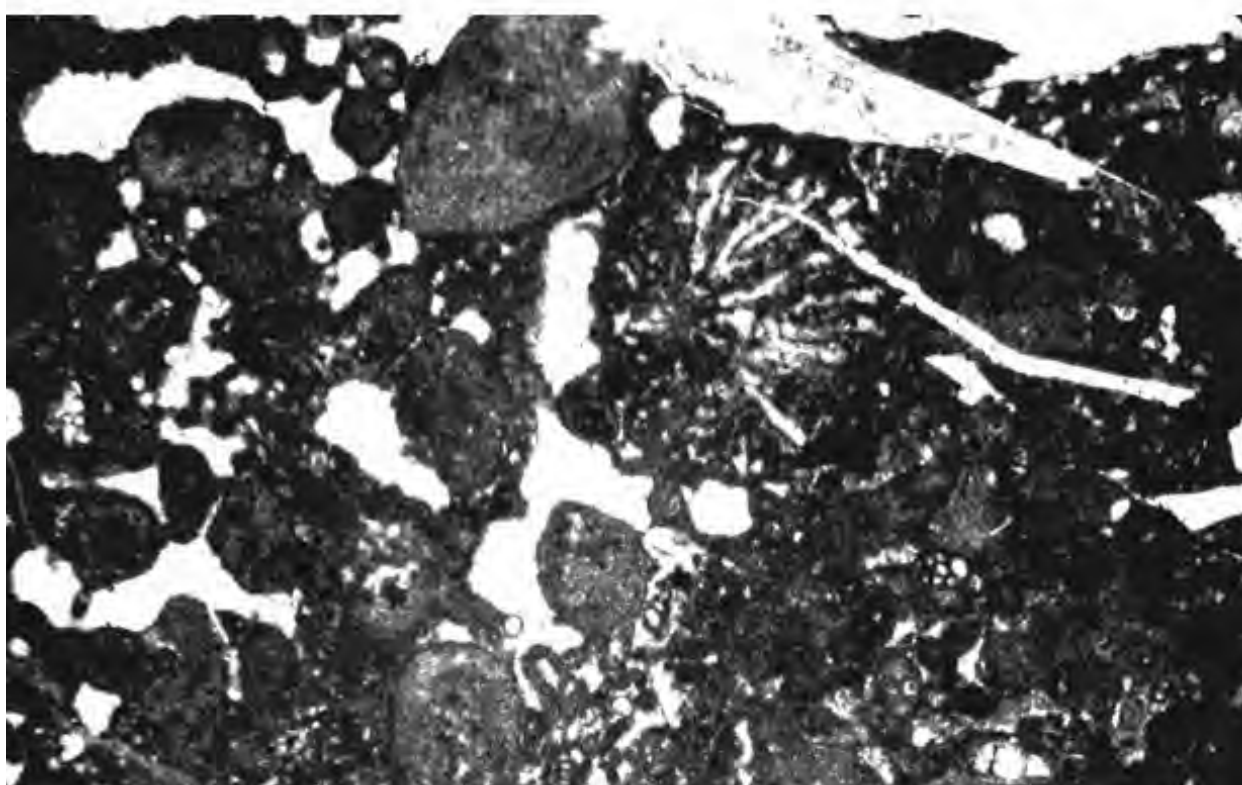


Fig. 2 – Rudstone con *Ortonella lemoineae* e Foraminiferi bentonici. x 30
– Rudstone with *Ortonella lemoineae* and benthic Foraminifera. x 30

Sezione stratigrafica di Colle Santa Lucia, Monte Cairo (Lazio meridionale).
Biozona a ?Cuneolina scarsellai e Cuneolina camposaurii.

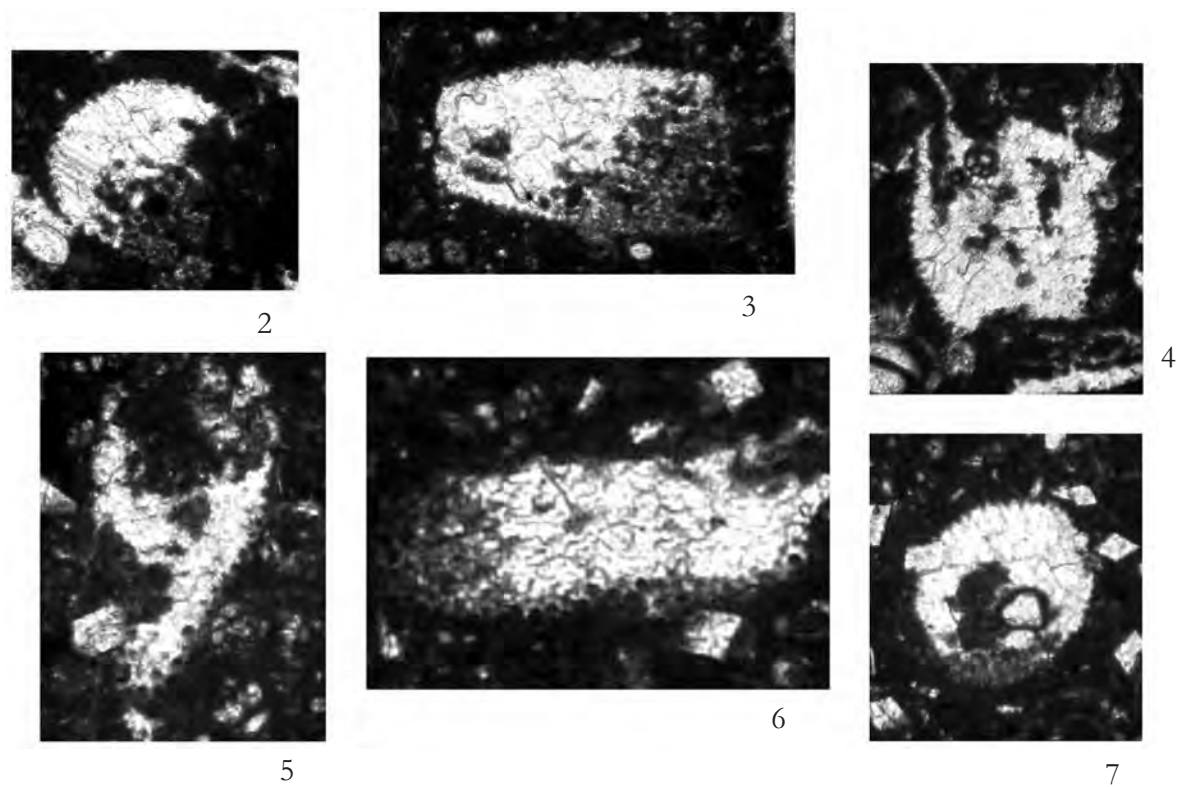
– Colle Santa Lucia stratigraphic section, Cairo Mt. (Southern Lazio).
?Cuneolina scarsellai and Cuneolina camposaurii biozone.

BARREMIANO SUPERIORE

UPPER BARREMLAN



Fig. 1 – Wackestone con *Permocalculus inopinatus*, Miliolidae e Ostracoda. $\times 10$
– Wackestone with *Permocalculus inopinatus*, *Miliolidae* and *Ostracoda*. $\times 10$



Figg. 2-7 – Sezioni variamente orientate di individui riferibili a *Permocalculus inopinatus*. $\times 20$
– *Variously oriented sections of specimens referred to* *Permocalculus inopinatus*. $\times 20$

La microfacies di fig. 1 e gli individui delle figg. 2-7 provengono dalla sezione stratigrafica di Monte Orsello, Monti d'Ocre (Abruzzo).

Parte iniziale della biozona a *Salpingoporella dinarica*.
– *The microfacies of fig. 1 and the specimens of figs. 2-7 from Orsello Mt. stratigraphic section, d'Ocre Mts. (Abruzzi).*
Lowermost part of the Salpingoporella dinarica biozone.

APTIANO INFERIORE
LOWER APTIAN

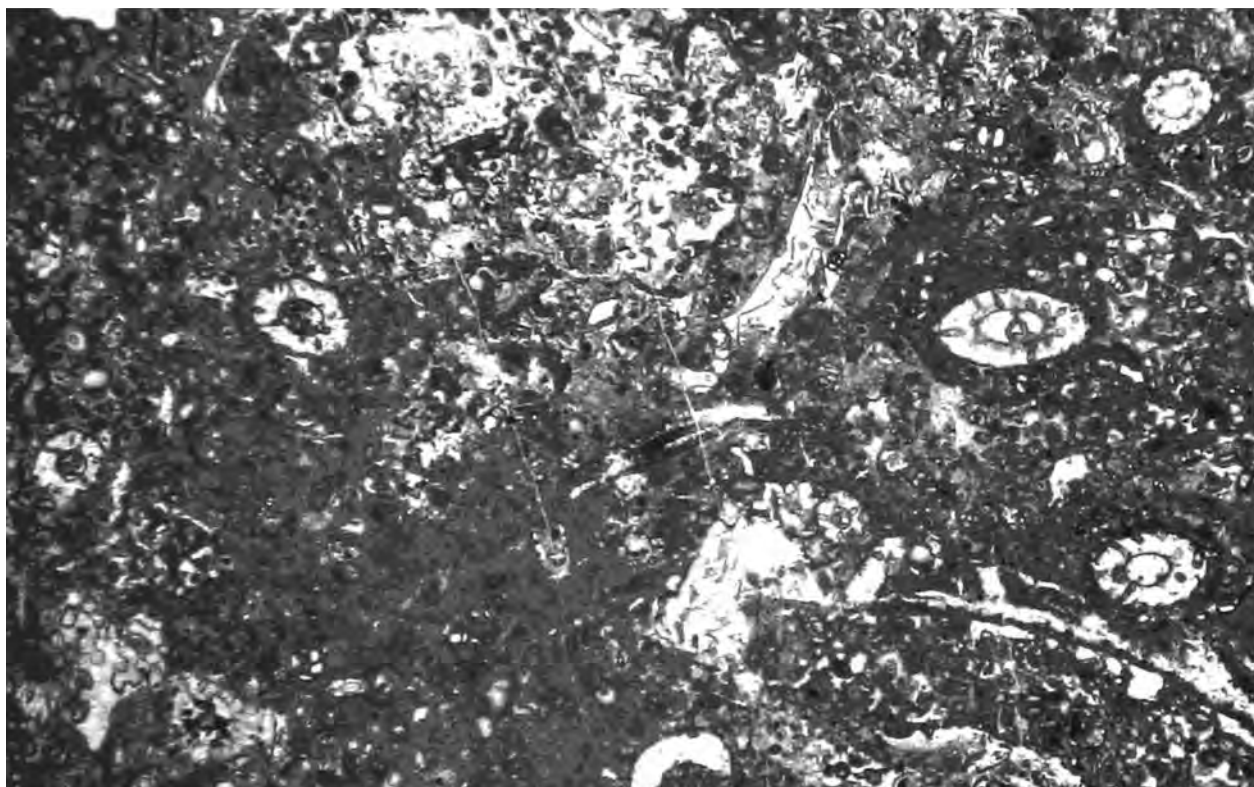
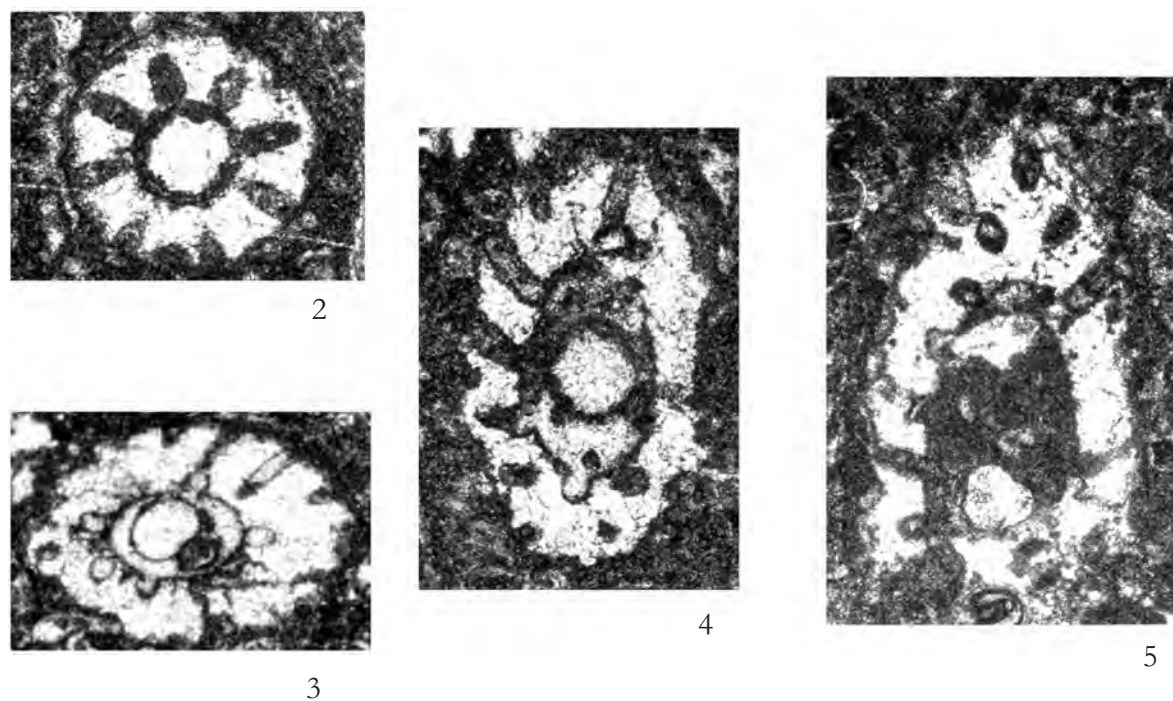


Fig. 1 – Wackestone con *Acroporella radoicicae*, altre Dasycladaceae, Miliolidae e altri Foraminiferi bentonici. $\times 20$
– Wackestone with *Acroporella radoicicae*, other Dasycladaceae, Miliolidae and other benthic Foraminifera. $\times 20$



Figg. 2-5 – Sezioni variamente orientate di individui riferibili a *Acroporella radoicicae*. $\times 60$
– Variously oriented sections of specimens referred to *Acroporella radoicicae*. $\times 60$

La microfacies di fig. 1 e gli individui delle figg. 2-5 provengono dalla sezione stratigrafica di Monte Sant'Angelo, Monti Aurunci (Lazio meridionale).

Parte iniziale della biozona a *Salpingoporella dinarica*.

– The microfacies of fig. 1 and the specimens of figs. 2-5 from Sant'Angelo Mt. stratigraphic section, Aurunci Mts. (Southern Latium).

Lowermost part of the *Salpingoporella dinarica* biozone.

APTIANO INFERIORE

LOWER APTIAN

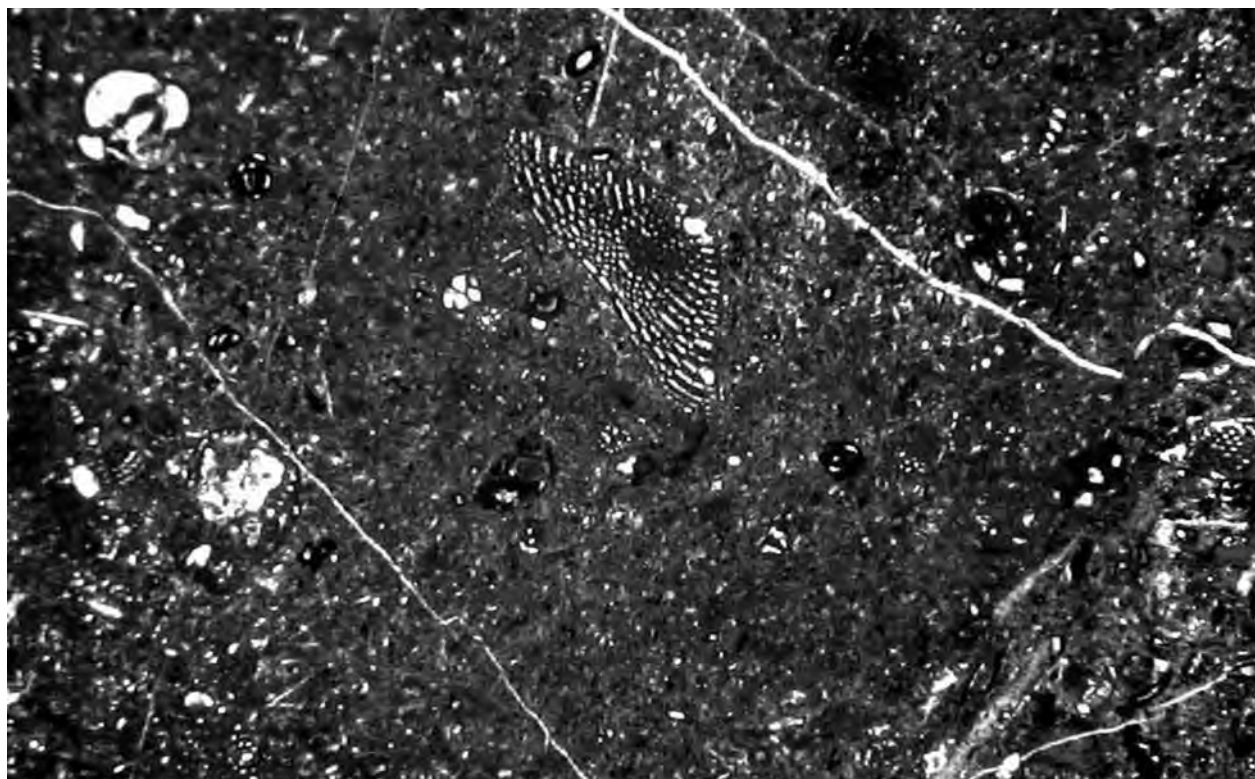
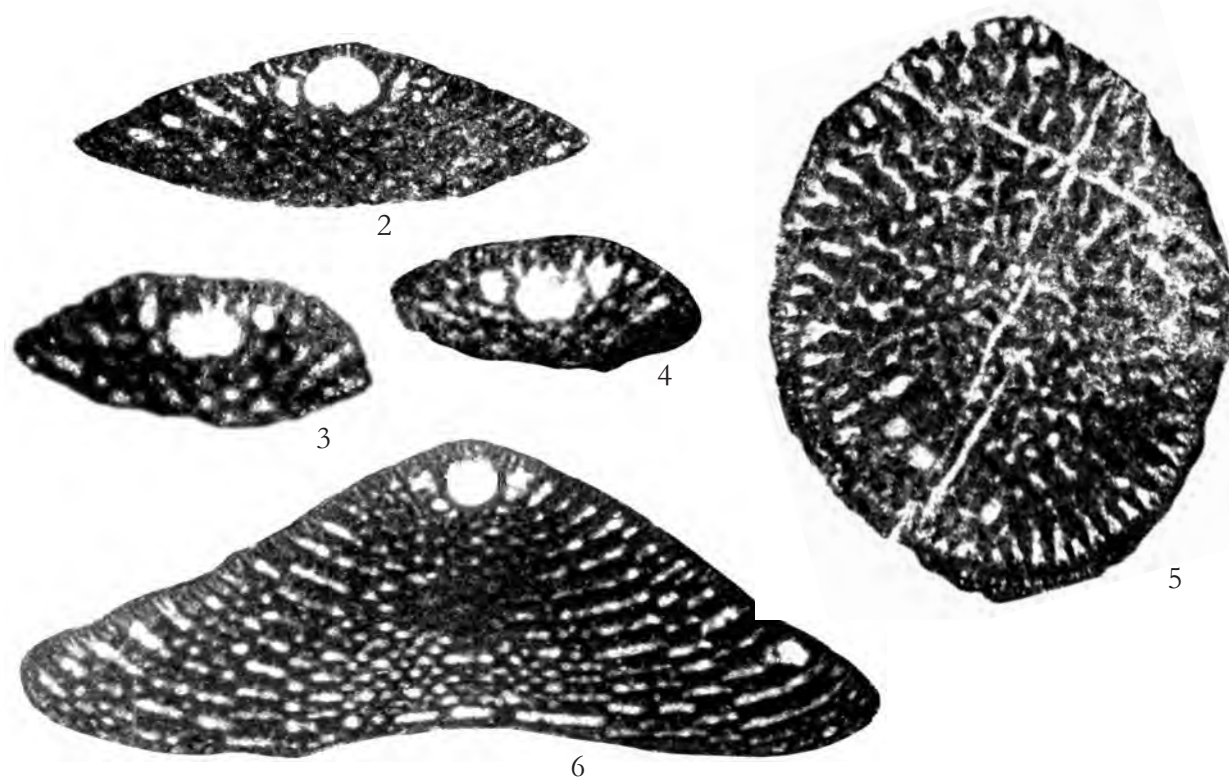


Fig. 1 – Floatstone mal classato con *Palorbitolina* gr. *lenticularis*, *Praechrysalidina infracretacea* e altri Foraminiferi bentonici. $\times 20$

– Poorly sorted floatstone with *Palorbitolina* gr. *lenticularis*, *Praechrysalidina infracretacea* and other benthic Foraminifera.
 $\times 20$



Figg. 2-6 – Sezioni variamente orientate di individui riferibili a *Palorbitolina* gr. *lenticularis*. $\times 45$
 – Varily oriented sections of specimens referred to *Palorbitolina* gr. *lenticularis*. $\times 45$

La microfacies di fig. 1 e gli individui delle figg. 2-5 provengono dalla sezione stratigrafica di Costamezza, la fig. 6 proviene dalla sezione stratigrafica di Monte S. Angelo, Monti Aurunci (Lazio meridionale).

Parte inferiore della biozona a *Salpingoporella dinarica*.

APTIANO INFERIORE

– The microfacies of fig. 1 and the specimens of figs. 2-5 from Costamezza stratigraphic section, the specimen of fig. 6 from S. Angelo Mt. stratigraphic section, Aurunci Mts. (Southern Latum).

Lower part of the *Salpingoporella dinarica* biozone.

LOWER APTIAN

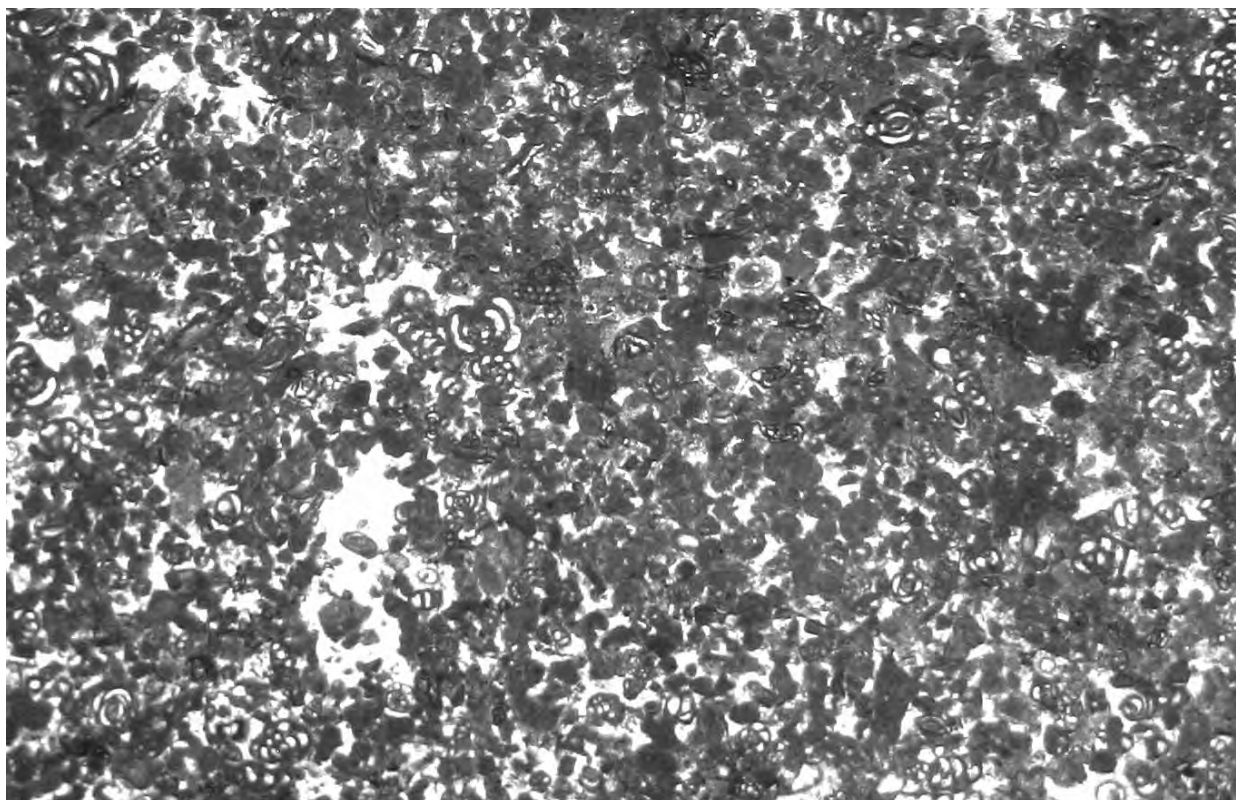


Fig. 1 – Packstone con *Debarina habounerensis*, Miliolidae, altri Foraminiferi bentonici e *Salpingoporella dinarica*. $\times 25$
– Packstone with *Debarina habounerensis*, *Miliolidae*, other benthic Foraminifera and *Salpingoporella dinarica*. $\times 25$

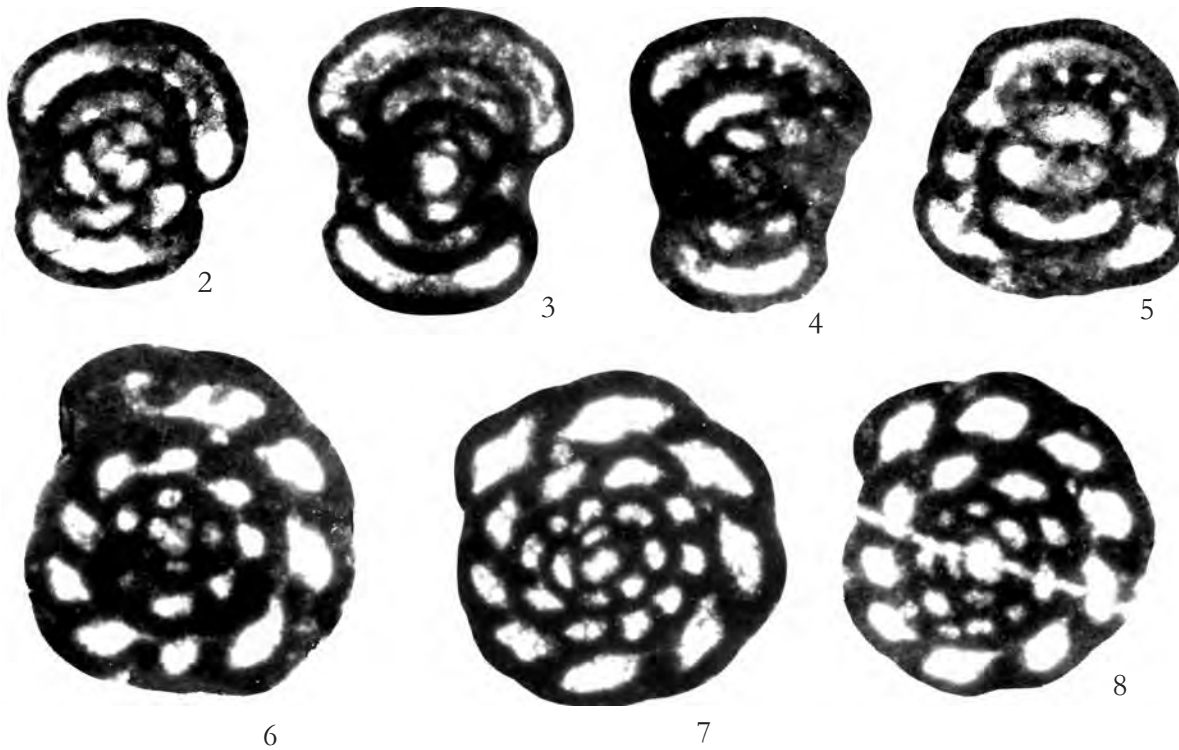


Fig. 2-8 – Sezioni variamente orientate di individui riferibili a *Debarina habounerensis*. $\times 80$
– Variously oriented sections of specimens referred to *Debarina habounerensis*. $\times 80$

La microfacies di fig. 1 e gli individui delle figg. 2-8 provengono dalla sezione stratigrafica di Serra del Pruno, Monti Ausoni (Lazio meridionale).

Parte inferiore della biozona a *Salpingoporella dinarica*.

APTIANO INFERIORE

– The microfacies of fig. 1 and the specimens of figs. 2-8 from Serra del Pruno stratigraphic section, Ausoni Mts. (Southern Latium).
Lower part of the *Salpingoporella dinarica* biozone.

LOWER APTIAN

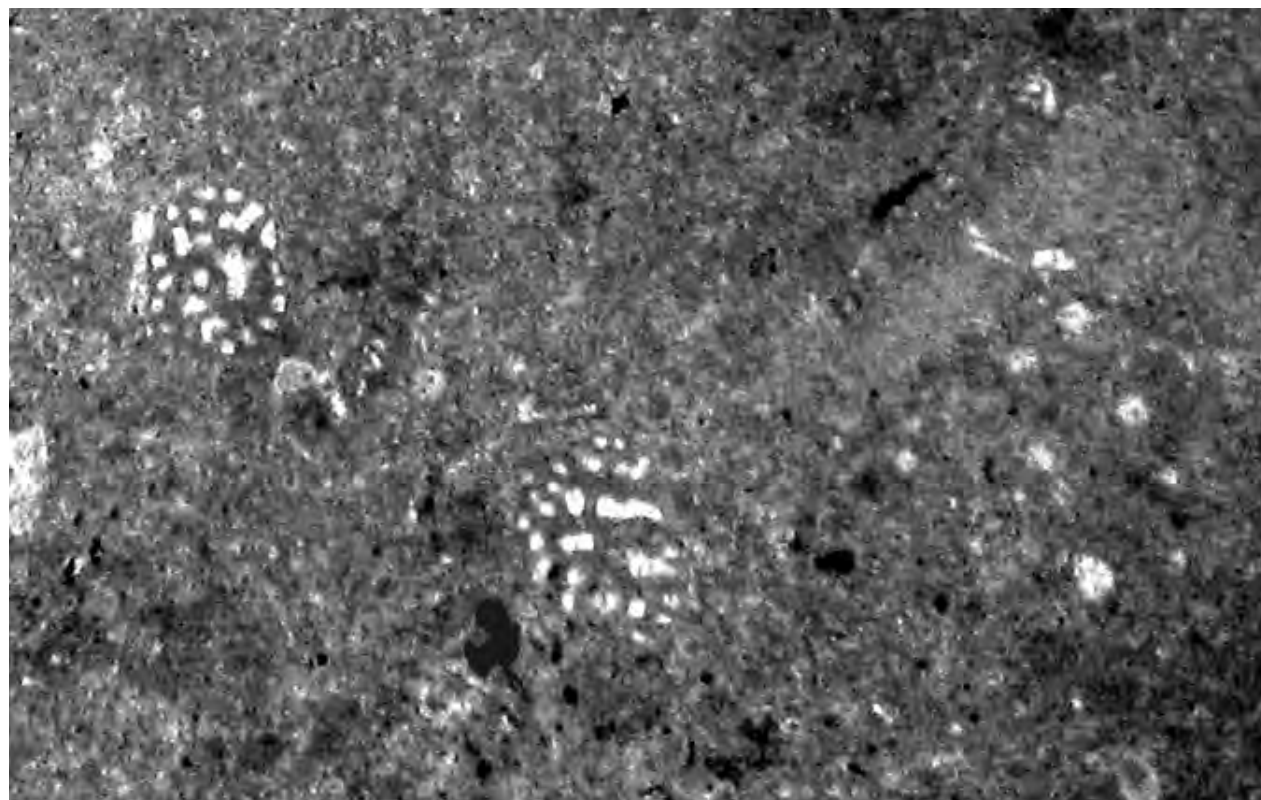


Fig. 1 – Wackestone con *Voloshinoides murgensis*. x 60
 – Wackestone with *Voloshinoides murgensis*. x 60



Figg. 2-7 – Sezioni variamente orientate di individui riferibili a *Voloshinoides murgensis*. x 85
 – Variously oriented sections of specimens referred to *Voloshinoides murgensis*. x 85

La microfacies di fig. 1 e gli individui delle figg. 2-7 provengono dalla sezione stratigrafica di Costamezza, Monti Aurunci (Lazio meridionale).

Parte inferiore della biozona a *Salpingoporella dinarica*.

– The microfacies of fig. 1 and the specimens of figs. 2-7 from Costamezza stratigraphic section, Aurunci Mts. (Southern Lazio). Lower part of the *Salpingoporella dinarica* biozone.

APTIANO INFERIORE

LOWER APTIAN

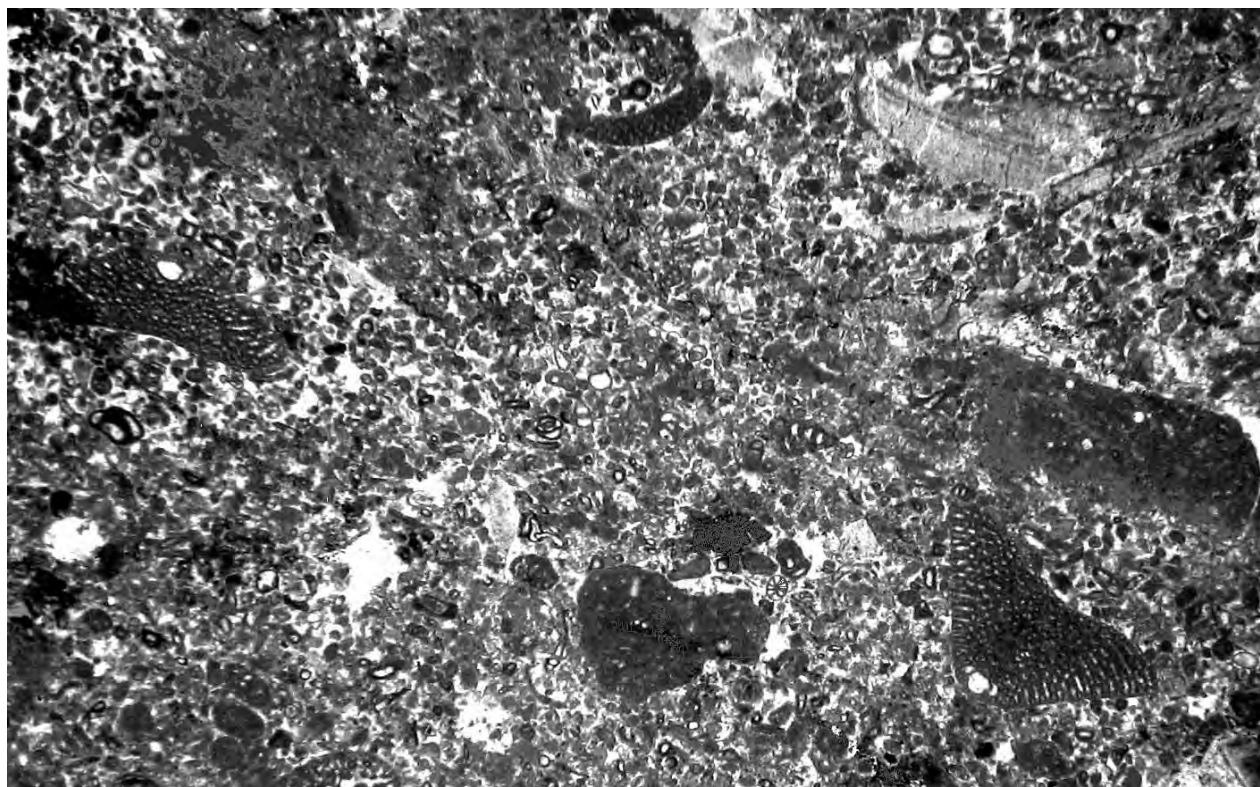
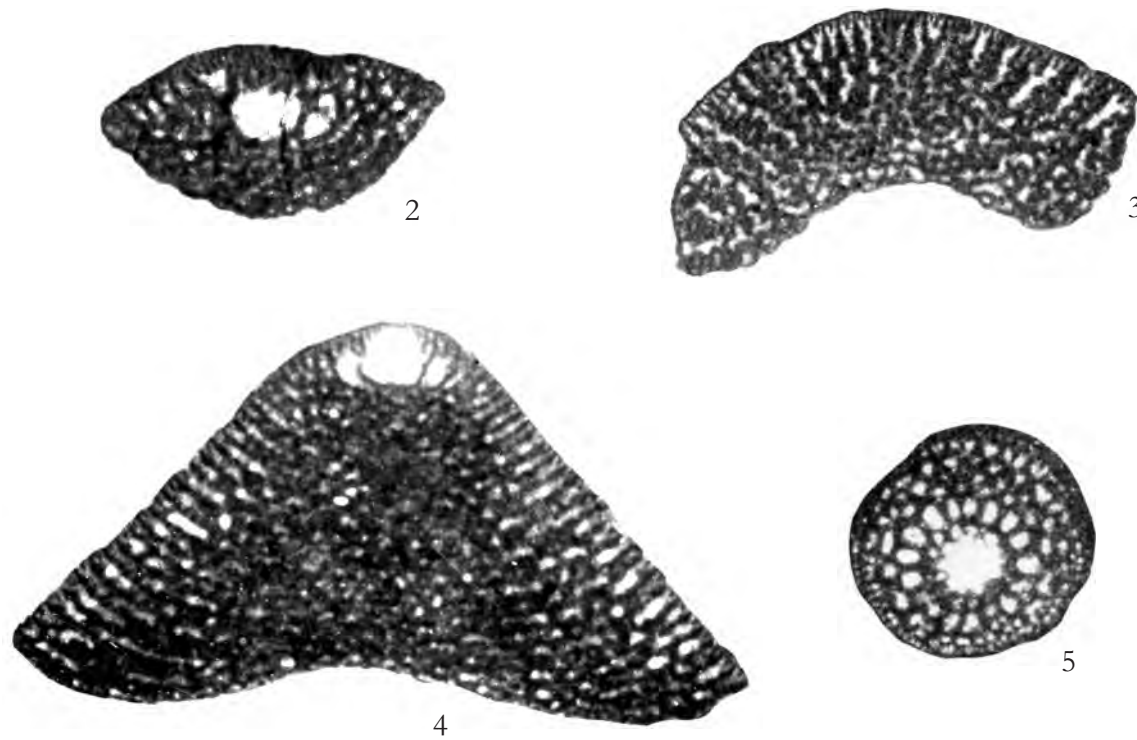


Fig. 1 – Rudstone con *Palorbitolina lenticularis praecursor* e altri Foraminiferi bentonici.
– Rudstone with *Palorbitolina lenticularis praecursor* and other benthic Foraminifera. x 25
x 25



Figg. 2-5 – Sezioni variamente orientate di individui riferibili a *Palorbitolina lenticularis praecursor*.
– Variously oriented sections of specimens referred to *Palorbitolina lenticularis praecursor*. x 35
x 35

La microfacies di fig. 1 e gli individui delle figg. 2-5 provengono dalla sezione stratigrafica di Costamezza, Monti Aurunci (Lazio meridionale).

Parte inferiore della biozona a *Salpingoporella dinarica*.

– The microfacies of fig. 1 and the specimens of figs. 2-5 from Costamezza stratigraphic section, Aurunci Mts. (Southern Lazio). Lower part of the *Salpingoporella dinarica* biozone.

APTIANO INFERIORE

LOWER APTIAN

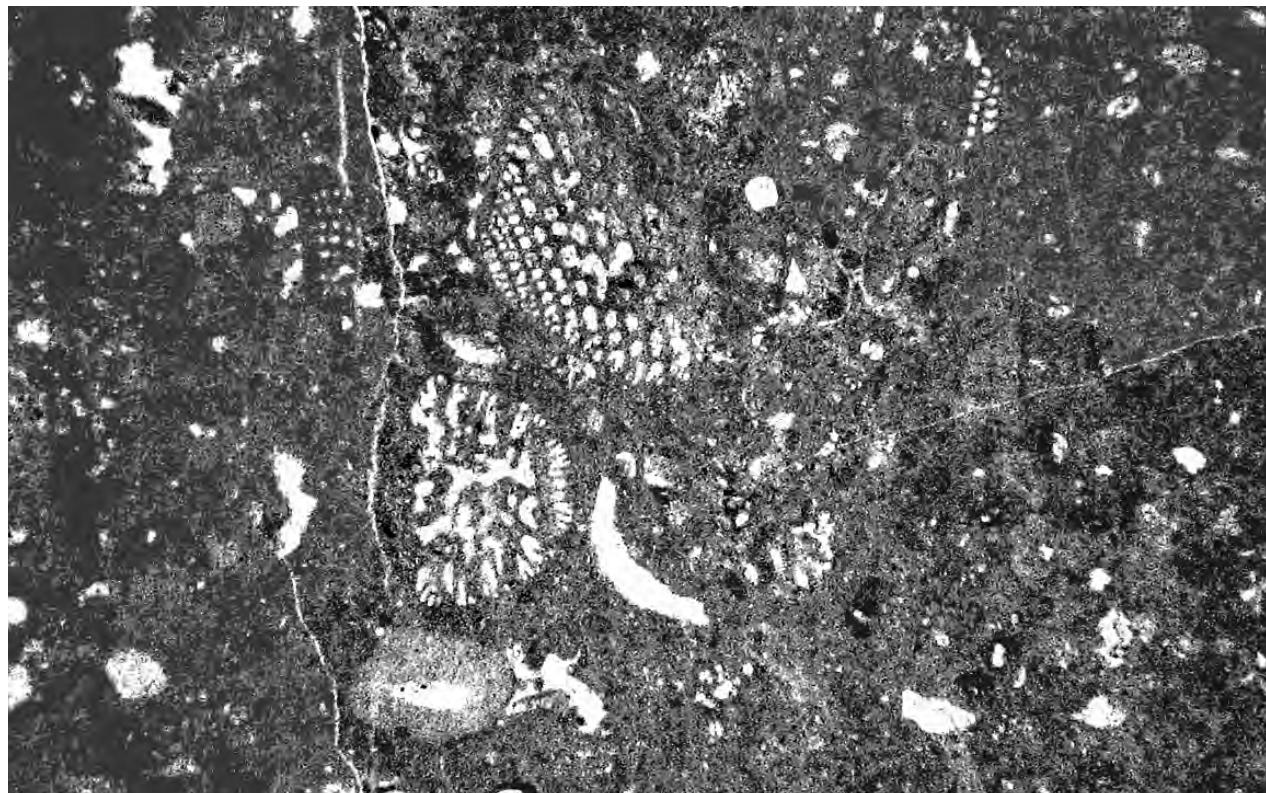
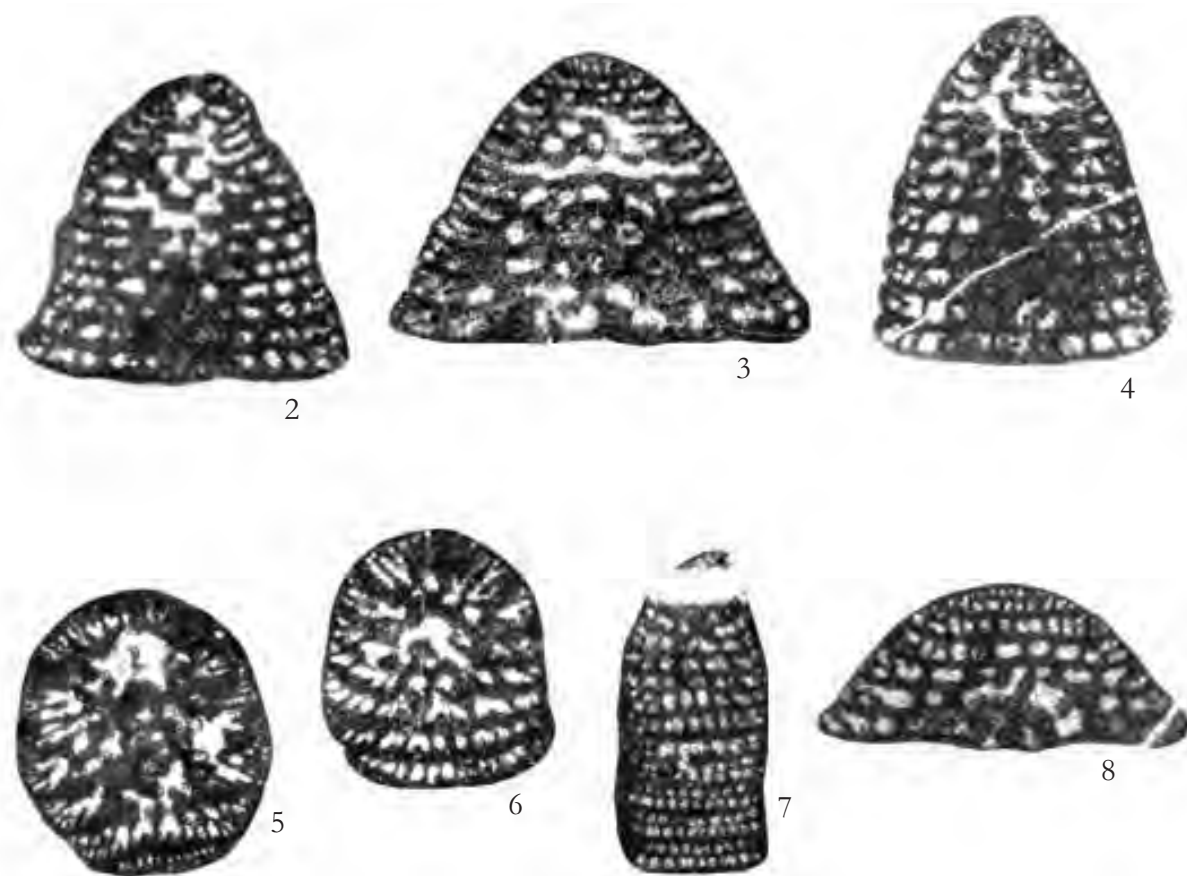


Fig. 1 – Wackestone mal classato con *Dictyoconus pachymarginalis*, *Cuneolina laurentii*, Miliolidae e altri Foraminiferi bentonici. $\times 28$

– Poorly sorted wackestone with *Dictyoconus pachymarginalis*, *Cuneolina laurentii*, *Miliolidae* and other benthic Foraminifera. $\times 28$



Figg. 2-8 – Sezioni variamente orientate di individui riferibili a *Dictyoconus pachymarginalis*. $\times 35$
– Variously oriented sections of specimens referred to *Dictyoconus pachymarginalis*. $\times 35$

La microfacies di fig. 1 e gli individui delle figg. 2-8 provengono dalla sezione stratigrafica di Colle Sant'Angelo, Monte Cairo (Lazio meridionale).

Parte superiore della biozona Salpingoporella dinarica.

APTIANO INFERIORE

– The microfacies of fig. 1 and the specimens of figs. 2-8 from Colle Sant'Angelo stratigraphic section, Cairo Mt. (Southern Lazio).
Upper part of the Salpingoporella dinarica biozone.

LOWER APTIAN

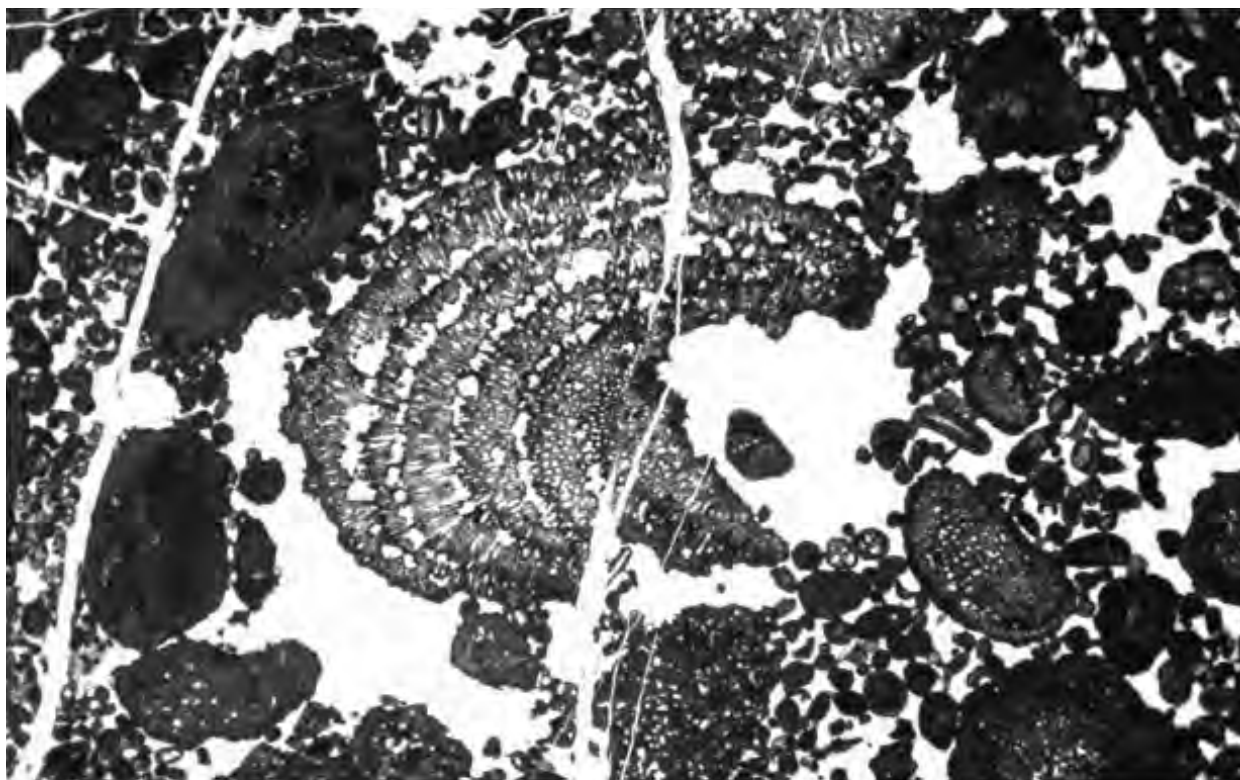


Fig. 1 – Rudstone con *Garwoodia polytomica* e altre “Porostromata”. x 8
– Rudstone with *Garwoodia polytomica* and other “Porostromata”. x 8

Sezione stratigrafica di Colle Santa Lucia, Monte Cairo (Lazio meridionale).
Biozona a ?*Cuneolina scarsellai* e *Cuneolina camposaurii*.
– Colle Santa Lucia stratigraphic section, Cairo Mt. (Southern Lazio).
?*Cuneolina scarsellai* and *Cuneolina camposaurii* biozone.

BARREMIANO SUPERIORE
UPPER BARREMLIAN

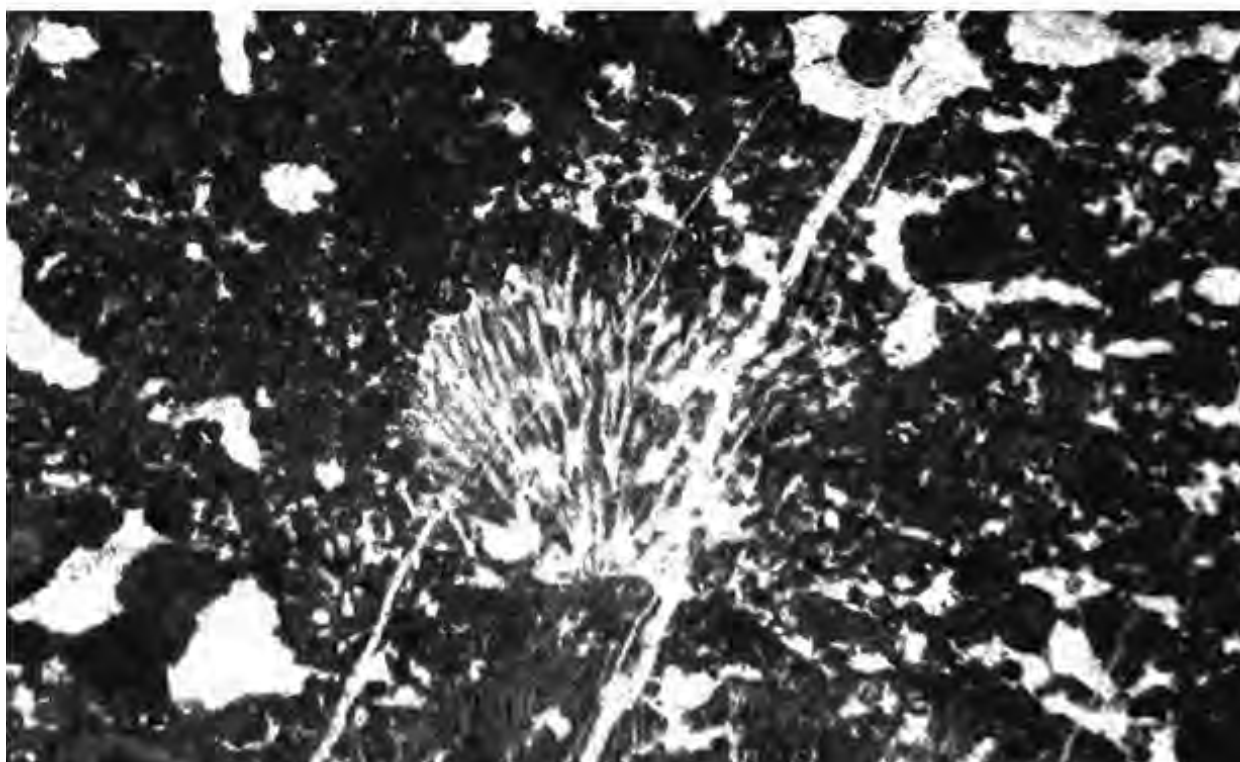


Fig. 2 – Rudstone con *Hedstroemia racasiensis*. x 20
– Rudstone with *Hedstroemia racasiensis*. x 20

Sezione stratigrafica di Colle Santa Lucia, Monte Cairo (Lazio meridionale).
Biozona a *Salpingoporella dinarica*.
– Colle Santa Lucia stratigraphic section, Cairo Mt. (Southern Lazio).
Salpingoporella dinarica biozone.

APTIANO INFERIORE
LOWER APTIAN

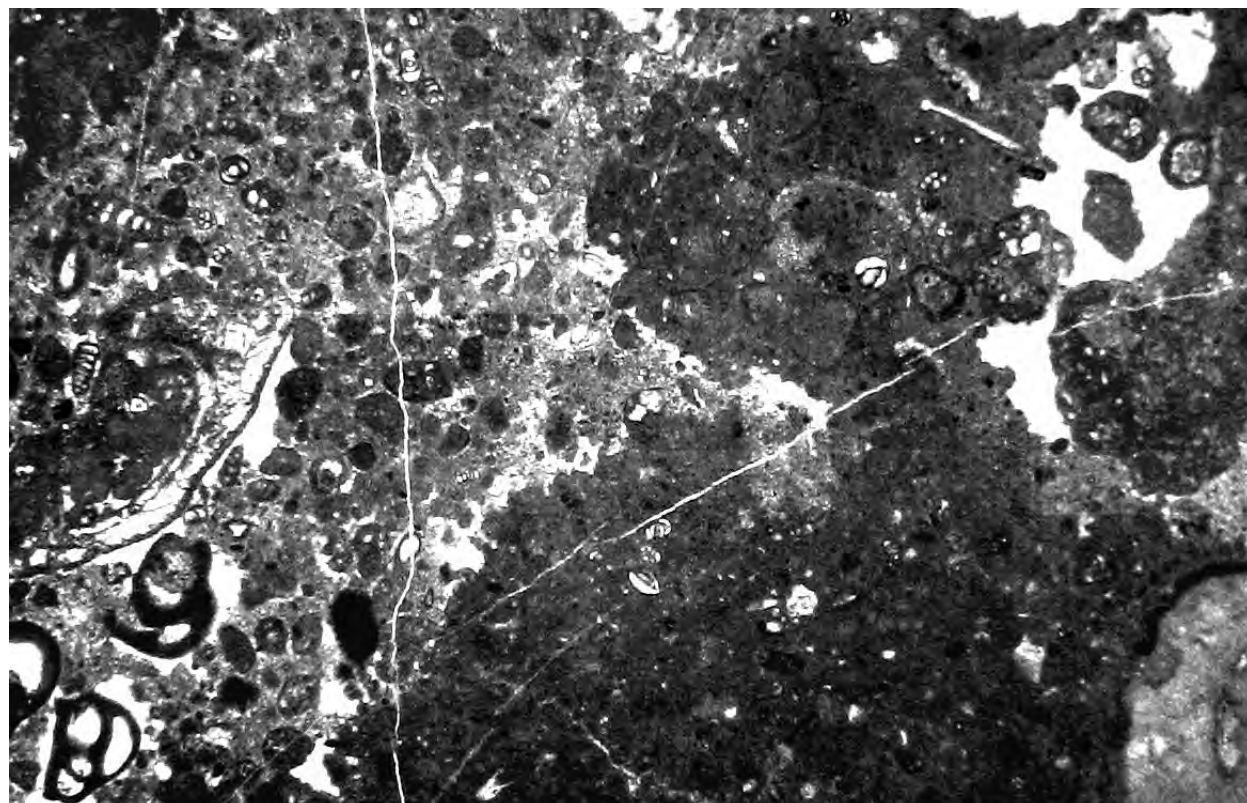


Fig. 1 – Floatstone con ?*Earlandia conradi*, Miliolidae e altri Foraminiferi bentonici. $\times 15$
 – Floatstone with ?*Earlandia conradi*, *Miliolidae* and other benthic Foraminifera. $\times 15$



Figg. 2-11 – Individuo (2) e sezioni variamente orientate (3-11) riferibili a ?*Earlandia conradi*. $\times 70$
 – Specimen (2) and variously oriented sections (3-11) referred to ?*Earlandia conradi*. $\times 70$

La microfacies di fig. 1 e gli individui delle figg. 2-11 provengono dalla sezione stratigrafica di Fonte Ottorile Monti Aurunci (Lazio meridionale).

Biozona a Salpingoporella dinarica.

APTIANO INFERIORE

– The microfacies of fig. 1 and the specimens of figs. 2-11 from Fonte Ottorile stratigraphic section, Aurunci Mts. (Southern Lazio).
 Salpingoporella dinarica biozone.

LOWER APTIAN

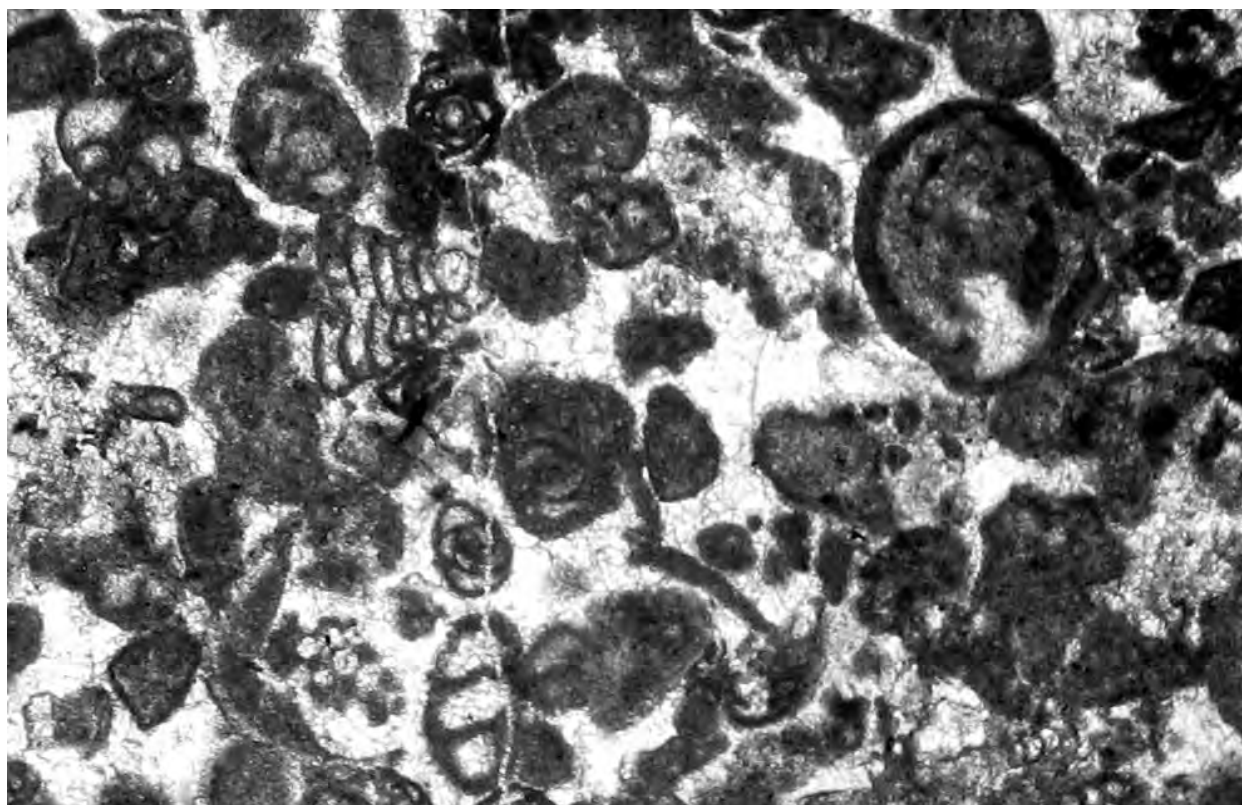
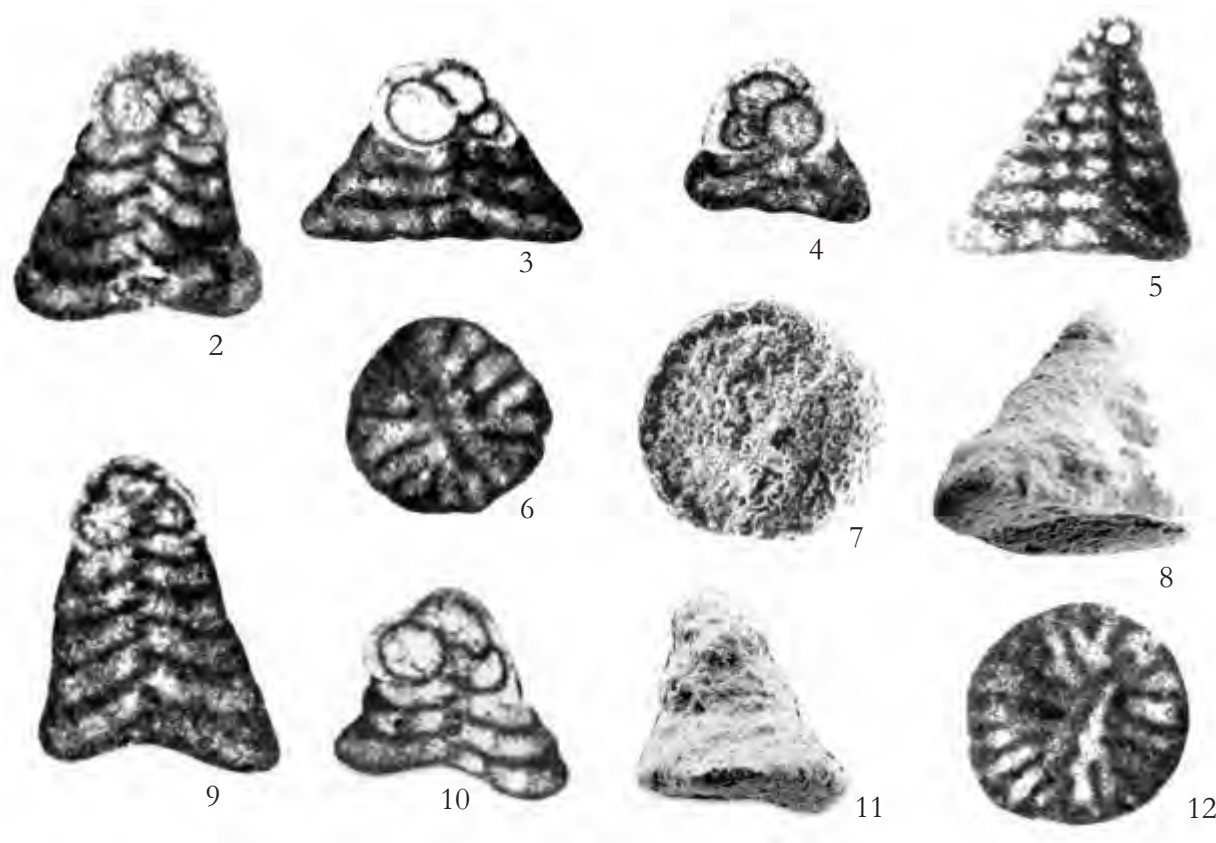


Fig. 1 – Packstone con *Sabaudia minuta*, Miliolidae e altri Foraminiferi bentonici. x 110
 – Packstone with *Sabaudia minuta*, *Miliolidae* and other benthic Foraminifera. x 110



Figg. 2-12 – Individui (7, 8, 11) e sezioni variamente orientate (2-6, 9, 10, 12) riferibili a *Sabaudia minuta*. x 150
 – Specimens (7, 8, 11) and variously oriented sections (2-6, 9, 10, 12) referred to *Sabaudia minuta*. x 150

La microfacies di fig. 1 e gli individui delle figg. 2, 4-12 provengono dalla sezione stratigrafica di Fonte Ottorile mentre quello di fig. 3 dalla sezione stratigrafica di Monte Sant'Angelo, Monti Aurunci (Lazio meridionale)
 Biozona a *Salpingoporella dinarica*.

– The microfacies of fig. 1 and the specimens of figs. 2, 4-12 from Fonte Ottorile stratigraphic section, the specimen of fig. 3 instead from Sant'Angelo Mts. stratigraphic section, Aurunci Mts. (Southern Latium).
Salpingoporella dinarica biozone.

APTIANO INFERIORE
 LOWER APTIAN

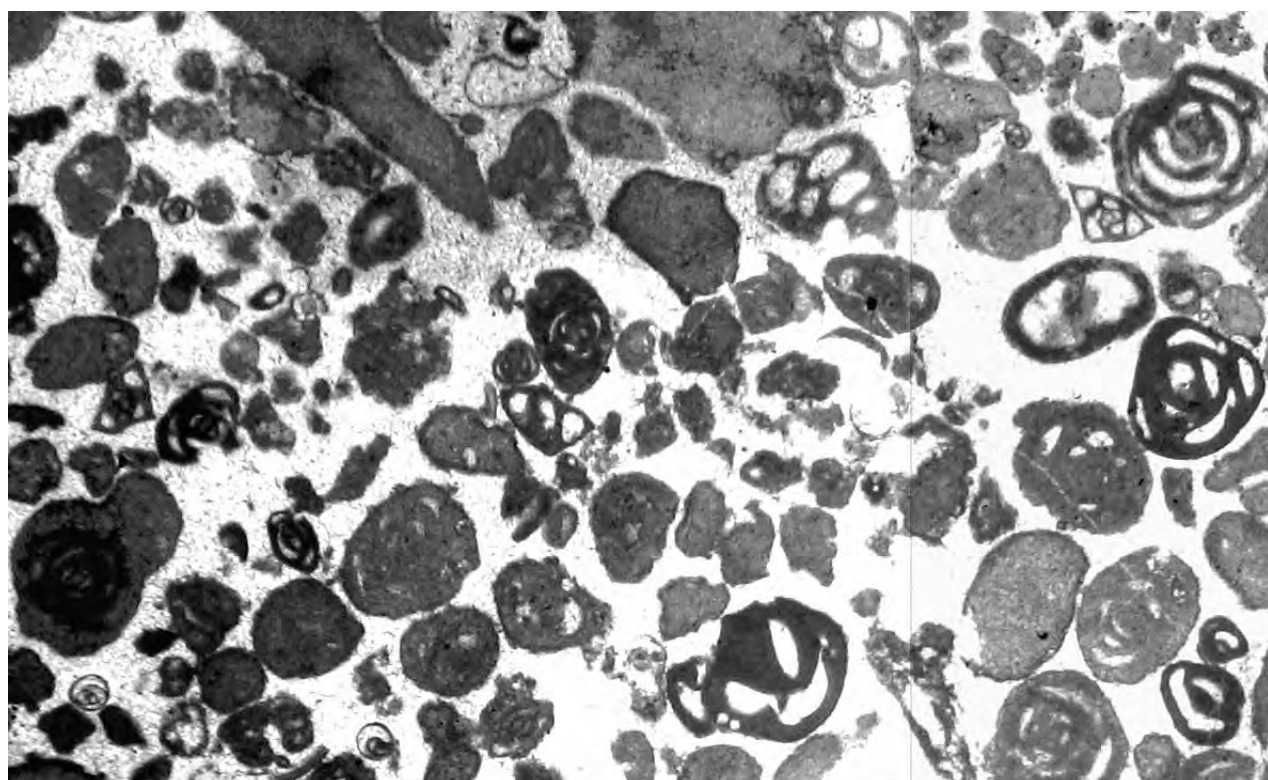
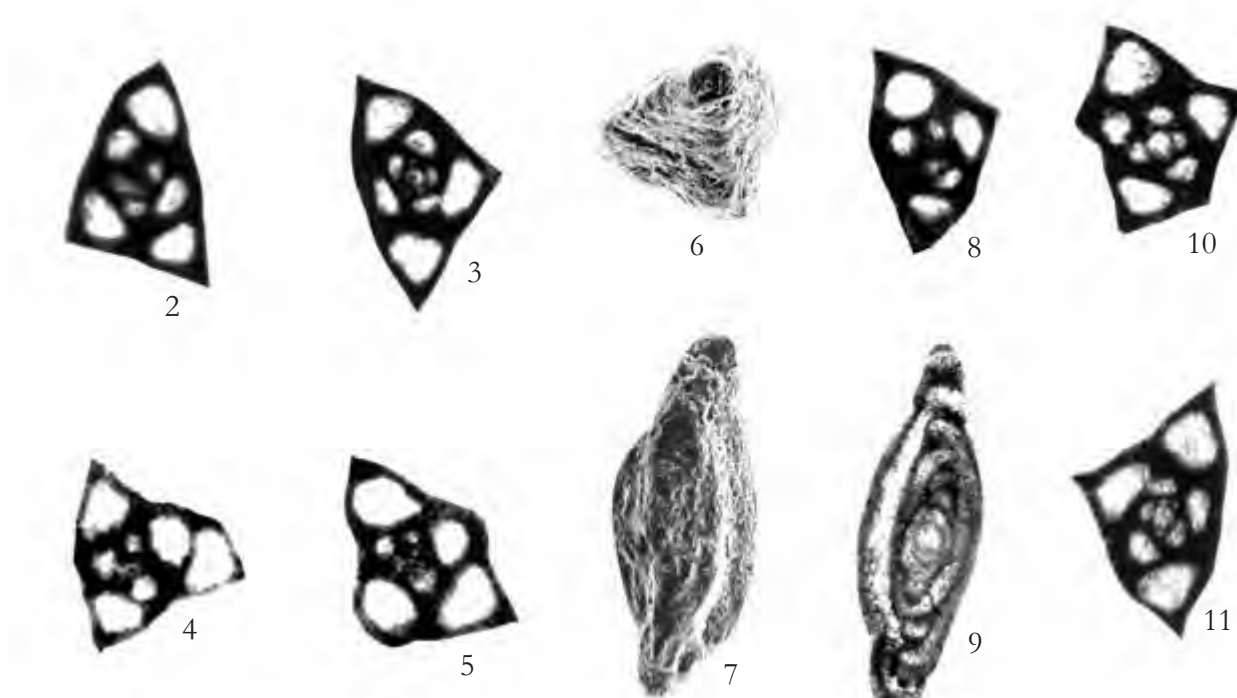


Fig. 1 – Grainstone con *Moesiloculina danubiana*, *Praechrysalidina infracretacea* e *Miliolidae*. x 32
 – Grainstone with *Moesiloculina danubiana*, *Praechrysalidina infracretacea* and *Miliolidae*. x 32



Figg. 2-11 – Individui (6, 7) e sezioni variamente orientate (2-5, 8-11) riferibili a *Moesiloculina danubiana*. x 90
 – Specimens (6, 7) and variously oriented sections (2-5, 8-11) referred to *Moesiloculina danubiana*. x 90

La microfacies di fig. 1 e gli individui delle figg. 2-5, 8, 10, 11 provengono dalla sezione stratigrafica di Colle Santa Lucia, Monte Cairo (Lazio meridionale); gli individui delle figg. 6, 7, 9 provengono dalla sezione stratigrafica di Fonte Ottorile, Monti Aurunci (Lazio meridionale).

Biozona a *Salpingoporella dinarica*.

APTIANO INFERIORE

– The microfacies of fig. 1 and the specimens of figs. 2-5, 8, 10, 11 from Colle Santa Lucia stratigraphic section, Cairo Mt. (Southern Latium); the specimens of figs. 6, 7, 9 from Fonte Ottorile stratigraphic section, Aurunci Mts. (Southern Latium).

Salpingoporella dinarica biozone.

LOWER APTIAN

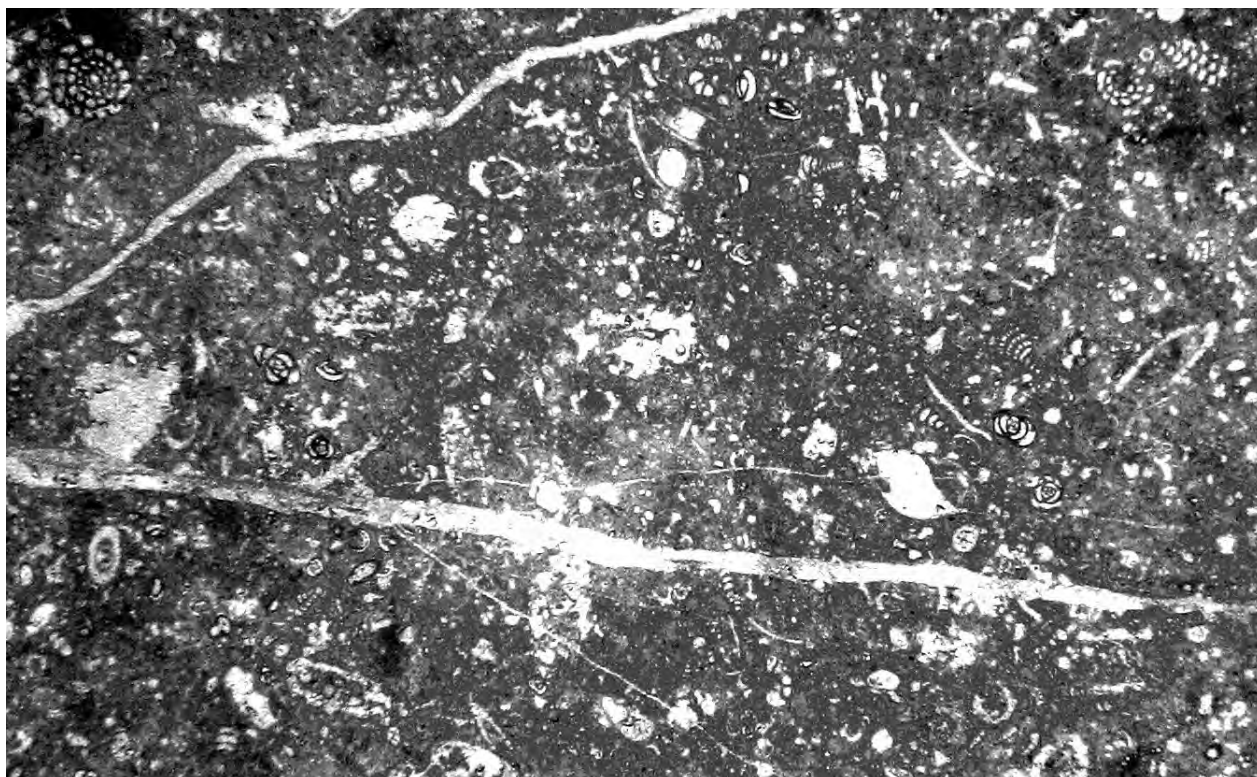
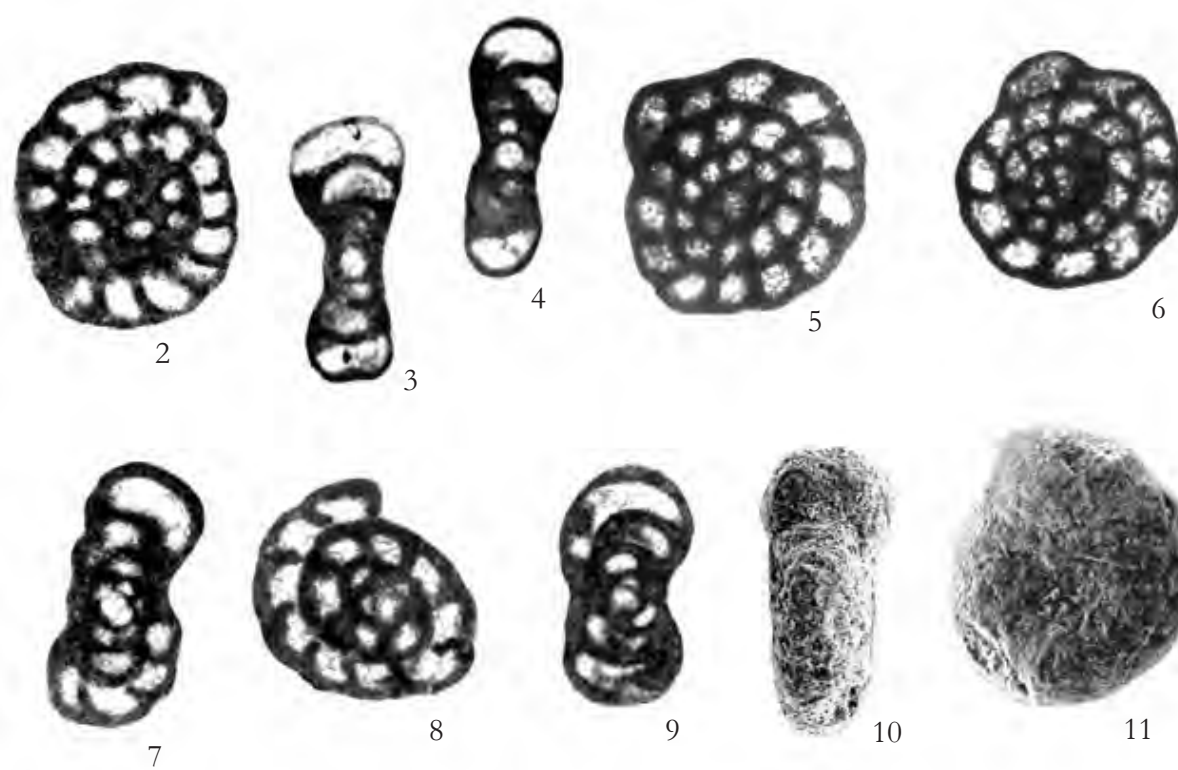


Fig. 1 – Wackestone con *Trochamminoides coronus*, *Cuneolina scarsellai*, Miliolidae, altri Foraminiferi bentonici, *Salpingoporella dinarica* e altre Dasycladaceae. $\times 30$
 – Wackestone with *Trochamminoides coronus*, *Cuneolina scarsellai*, *Miliolidae*, other benthic Foraminifera, *Salpingoporella dinarica* and other Dasycladaceae. $\times 30$



Figg. 2-11 – Individui (10, 11) e sezioni variamente orientate (2-9) riferibili a *Trochamminoides coronus*. $\times 100$
 – Specimens (10, 11) and variously oriented sections (2-9) referred to *Trochamminoides coronus*. $\times 100$

La microfacies di fig. 1 e gli individui delle figg. 2-9 provengono dalla sezione stratigrafica di Costamezza, mentre le figg. 10-11 provengono dalla sezione stratigrafica di Fonte Ottorile, Monti Aurunci (Lazio meridionale).
 Biozona a *Salpingoporella dinarica*.
 – The microfacies of fig. 1 and the specimens of figs. 2-9 from Costamezza stratigraphic section, the specimens of figs. 10-11 instead from Fonte Ottorile stratigraphic section, Aurunci Mts. (Southern Latium).
Salpingoporella dinarica biozone.

APTIANO INFERIORE
 LOWER APTIAN

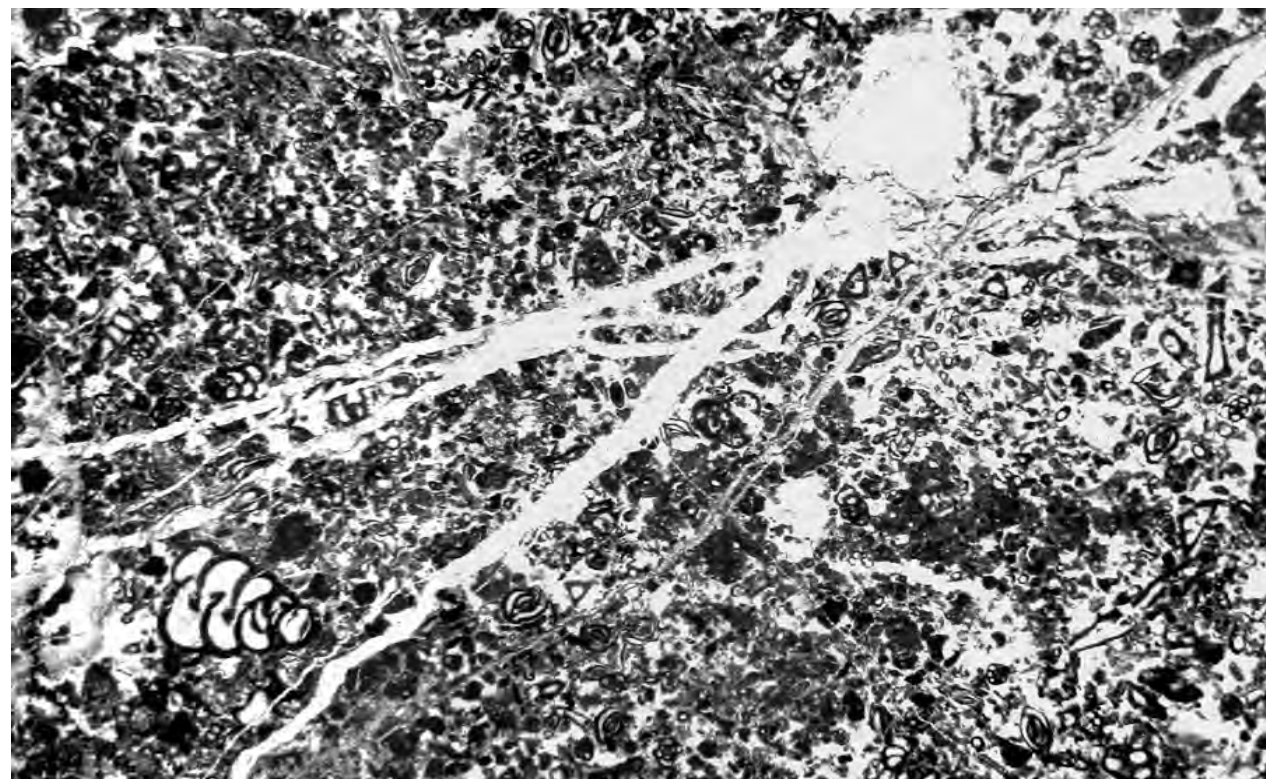
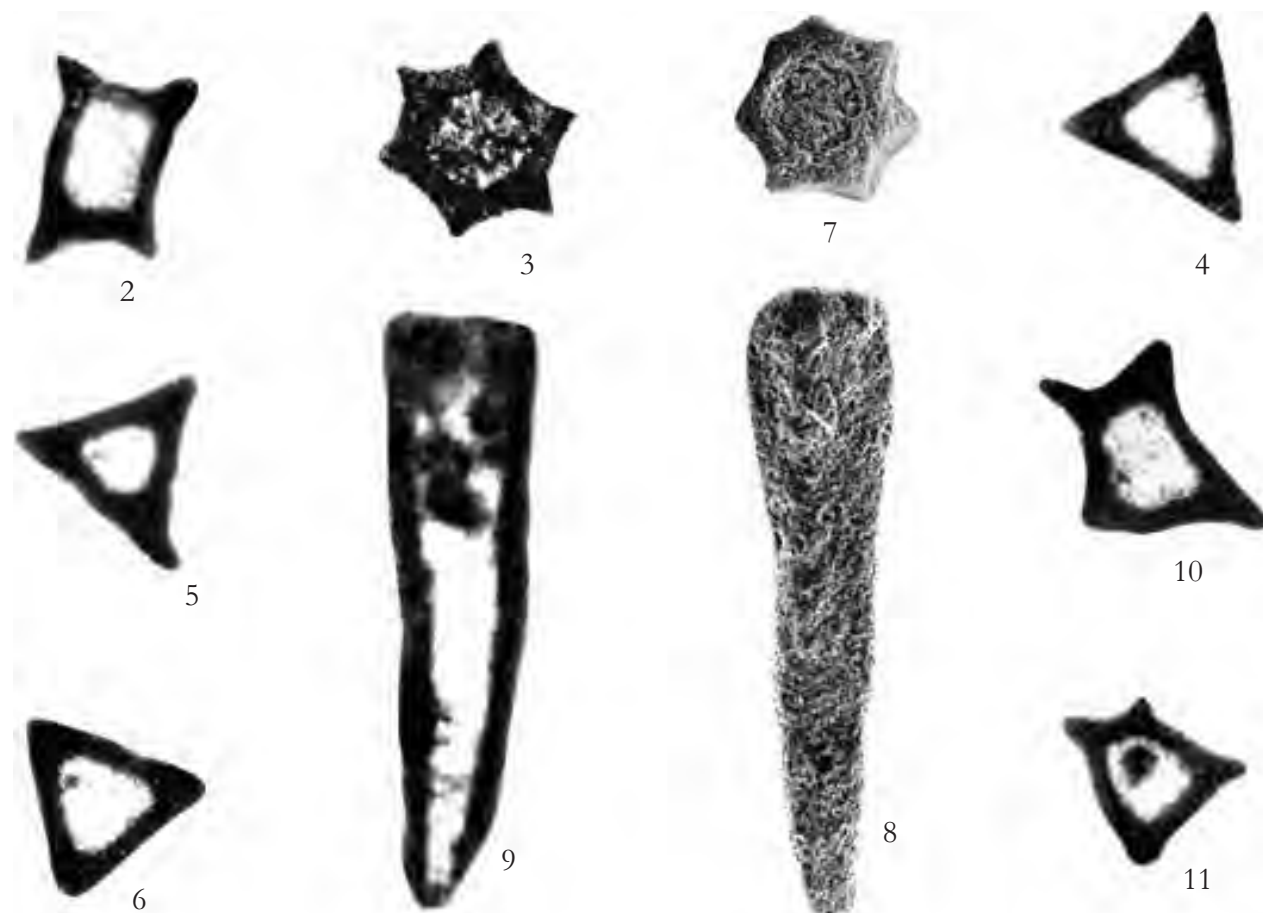


Fig. 1 – Grainstone con ?*Giraliarella prismaticula*, *Praechrysalidina infracretacea*, Miliolidae e altri Foraminiferi bentonici. $\times 20$
– Grainstone with ?*Giraliarella prismaticula*, *Praechrysalidina infracretacea*, *Miliolidae* and other benthic Foraminifera. $\times 20$



Figg. 2-11 – Individui (7, 8) e sezioni variamente orientate (2-6, 9-11) riferibili a ?*Giraliarella prismaticula*. $\times 90$
– Specimens (7, 8) and variously oriented sections (2-6, 9-11) referred to ?*Giraliarella prismaticula*. $\times 90$

La microfacies di fig. 1 e gli individui delle figg. 2-6 e 9-11 provengono dalla sezione stratigrafica di Monte Sant'Angelo mentre le figg. 7, 8 dalla sezione stratigrafica di Fonte Ottorile, Monti Aurunci (Lazio meridionale). Biozona a *Salpingoporella dinarica*.

APTIANO INFERIORE

– The microfacies of fig. 1 and the specimens of figs. 2-6 and 9-11 from Sant'Angelo Mt. stratigraphic section, the specimens of figs. 7, 8 instead from Fonte Ottorile stratigraphic section, Aurunci Mts. (Southern Lazio).
Salpingoporella dinarica biozone.

LOWER APTIAN

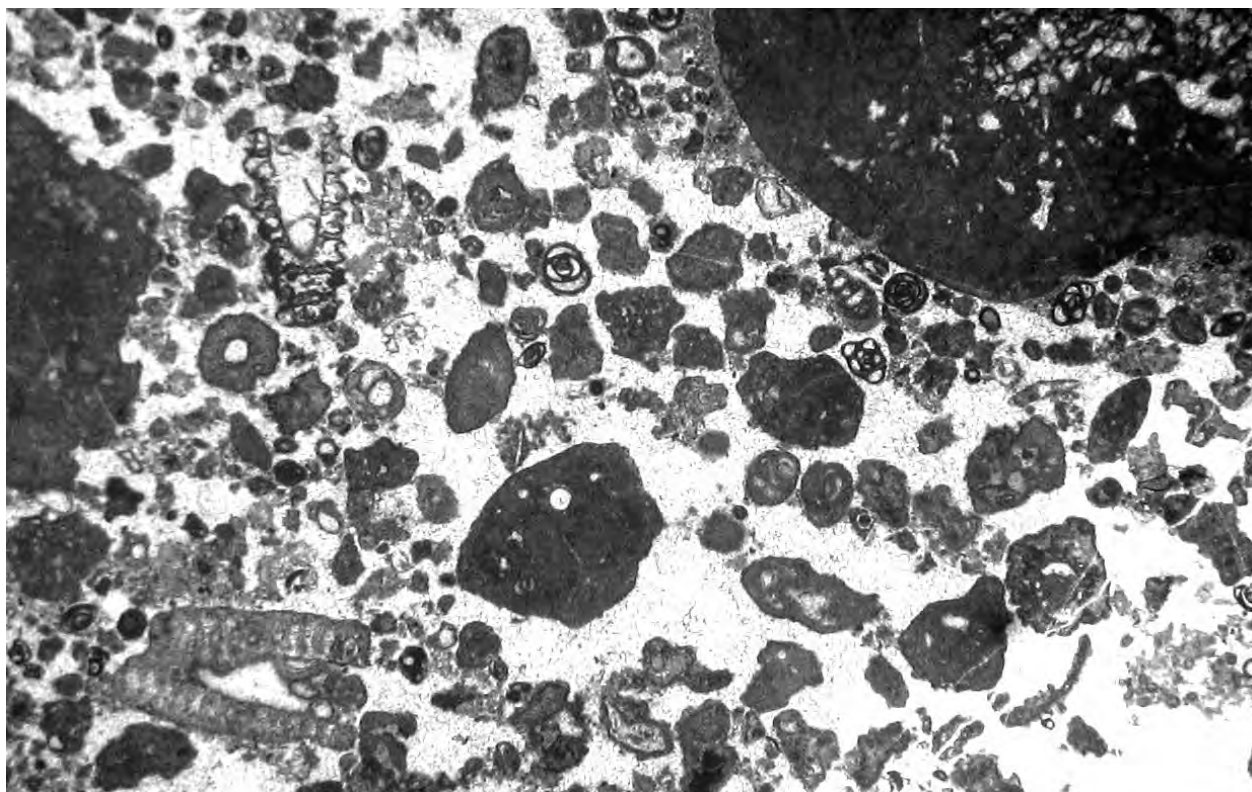
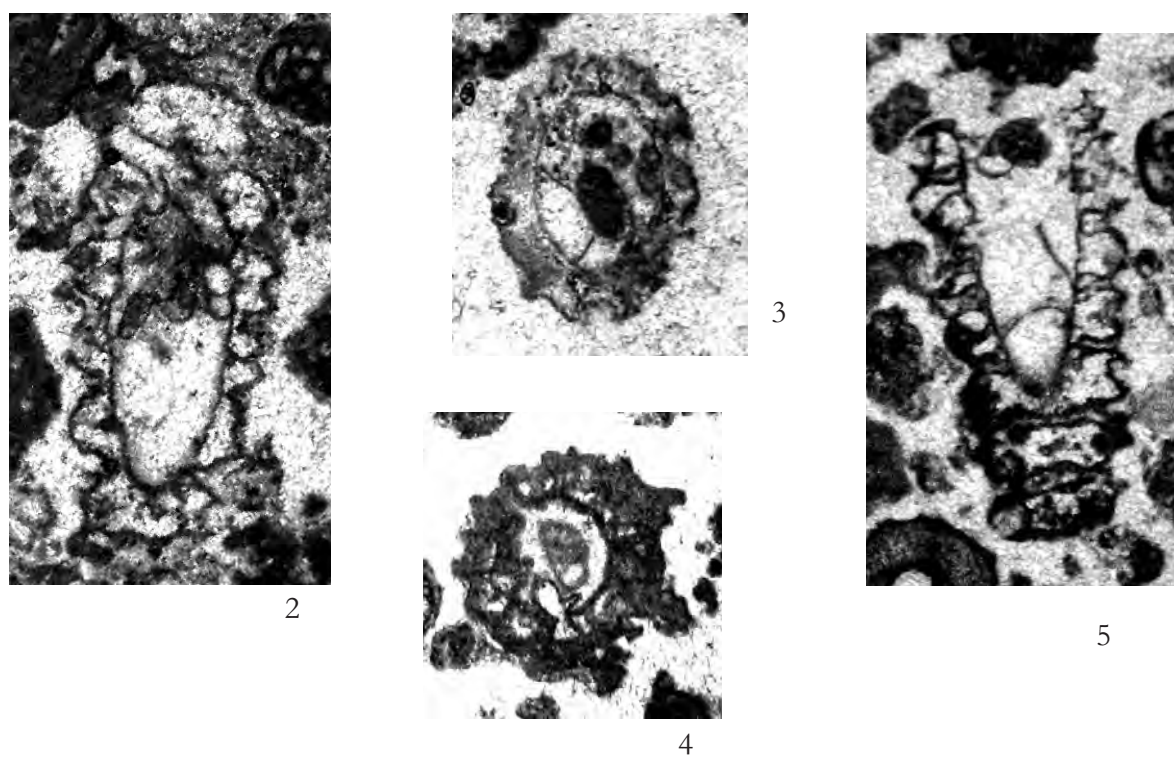


Fig. 1 – Grainstone con ?*Heteroporella graeca*, Dasycladaceae, *Lithocodium aggregatum* (=*Bacinella irregularis*), Miliolidae e altri Foraminiferi bentonici. $\times 18$
 – Grainstone with ?*Heteroporella graeca*, Dasycladaceae, *Lithocodium aggregatum* (=*Bacinella irregularis*), Miliolidae and other benthic Foraminifera. $\times 18$



Figg. 2-5 – Sezioni variamente orientate di individui riferibili a ?*Heteroporella graeca*. $\times 40$
 – Variously oriented sections of specimens referred to ?*Heteroporella graeca*. $\times 40$

La microfacies di fig. 1 e gli individui delle figg. 2-5 provengono dalla sezione stratigrafica di Colle Sant'Angelo, Monte Cairo (Lazio meridionale).

Biozona a *Salpingoporella dinarica*.

– The microfacies of fig. 1 and the specimens of figs. 2-5 from Colle Sant'Angelo stratigraphic section, Cairo Mt. (Southern Latium).

Salpingoporella dinarica biozone.

APTIANO INFERIORE

LOWER APTIAN

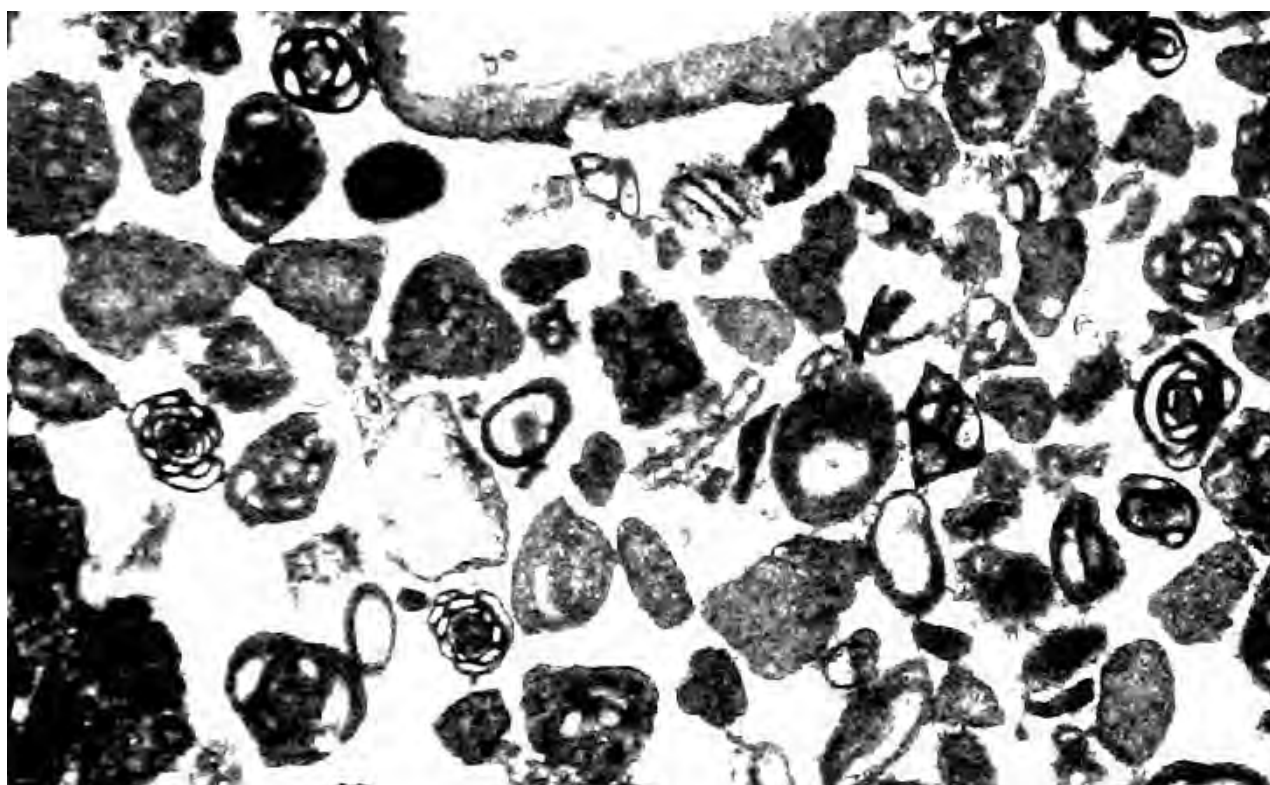
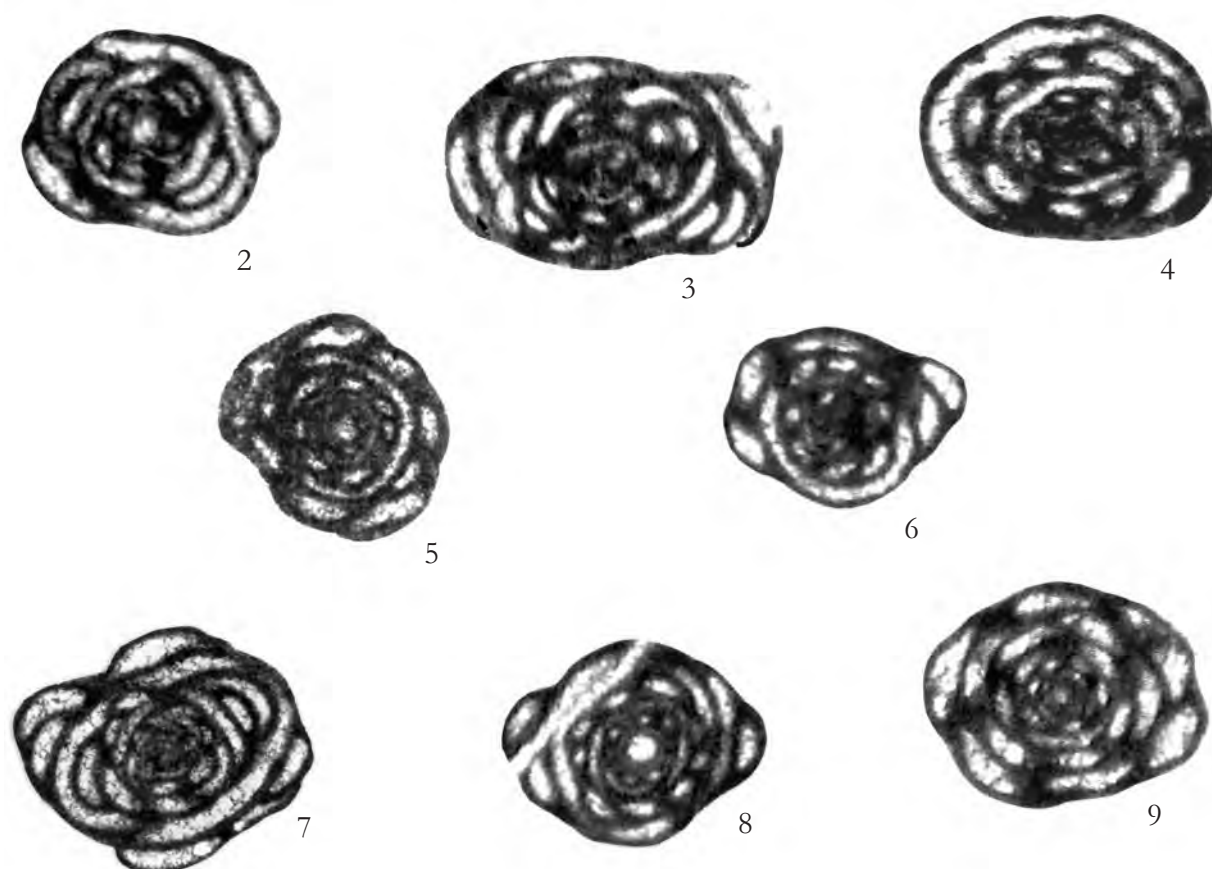


Fig. 1 – Packstone con *Glomospira urgoniana*, Miliolidae, altri Foraminiferi bentonici e *Salpingoporella dinarica*. $\times 25$
 – Packstone with *Glomospira urgoniana*, *Miliolidae*, other benthic Foraminifera and *Salpingoporella dinarica*. $\times 25$



Figg. 2-9 – Sezioni variamente orientate di individui riferibili a *Glomospira urgoniana*. $\times 130$
 – Variously oriented sections of specimens referred to *Glomospira urgoniana*. $\times 130$

La microfacies di fig. 1 e gli individui delle figg. 2-9 provengono dalla sezione stratigrafica di Costamezza, Monti Aurunci (Lazio meridionale).

Biozona a *Salpingoporella dinarica*.

– The microfacies of fig. 1 and the specimens of figs. 2-9 from Costamezza stratigraphic section, Aurunci Mts. (Southern Lazio).
Salpingoporella dinarica biozone.

APTIANO INFERIORE

LOWER APTIAN

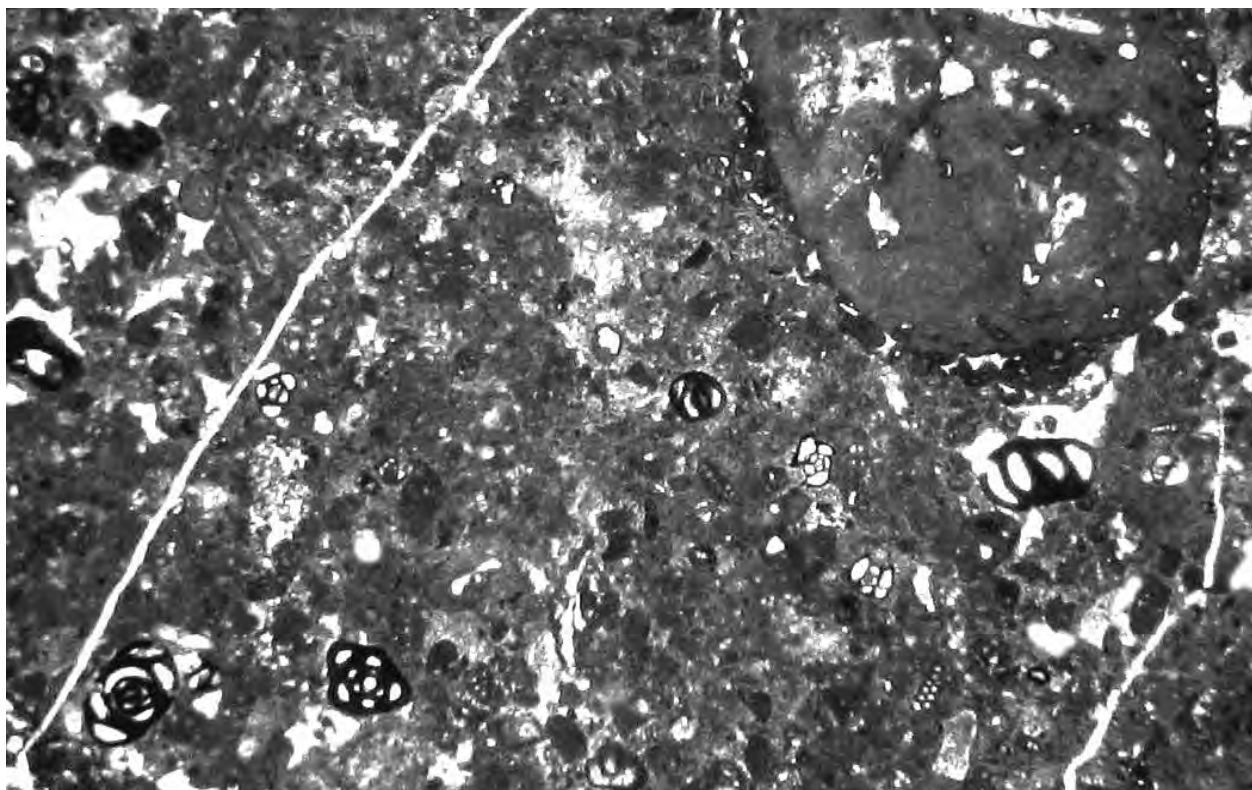
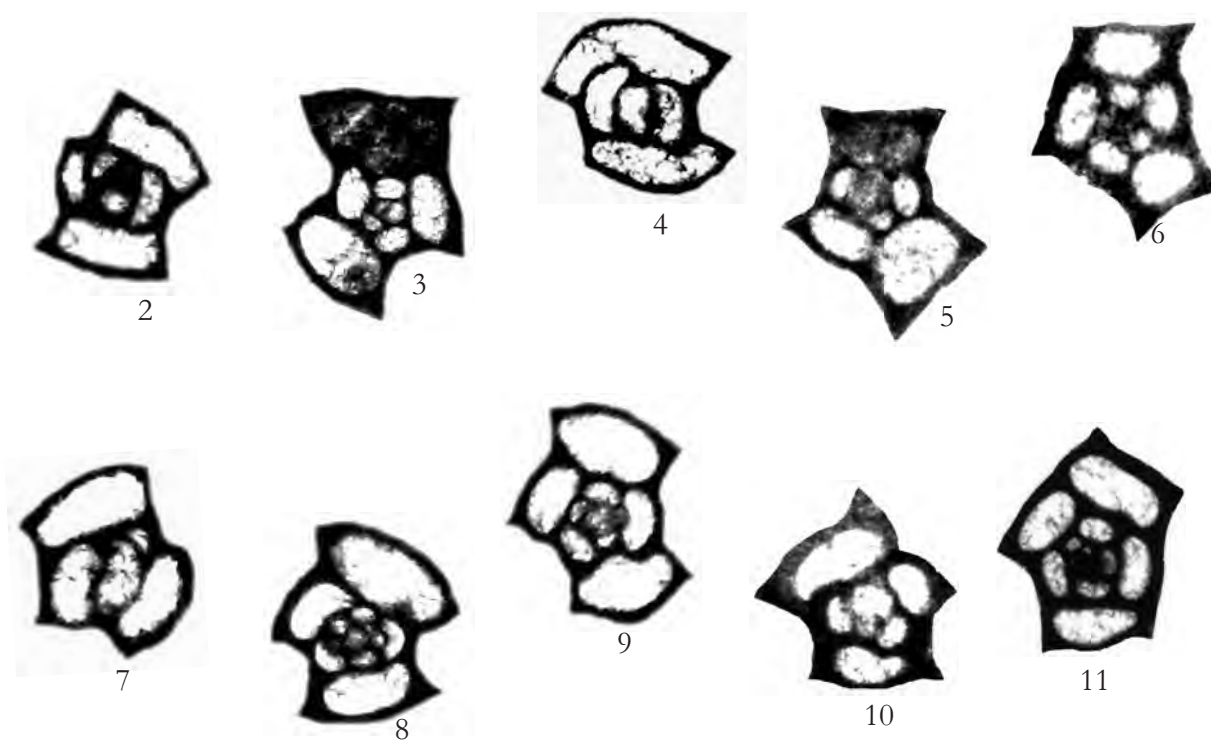


Fig. 1 – Floatstone con *Moesiloculina histri*, altre Miliolidae e Foraminiferi bentonici. $\times 30$
 – Floatstone with *Moesiloculina histri*, other Miliolidae and benthic Foraminifera. $\times 30$



Figg. 2-11 – Sezioni variamente orientate di *Moesiloculina histri*. $\times 100$
 – Variously oriented sections of *Moesiloculina histri*. $\times 100$

La microfacies di fig. 1 e gli individui delle figg. 2-11 provengono dalla sezione stratigrafica di Villa Santa Lucia, Monte Cairo (Lazio meridionale).

Biozona a *Salpingoporella dinarica*.

– The microfacies of fig. 1 and the specimens of figs. 2-11 from Villa Santa Lucia stratigraphic section, Cairo Mt. (Southern Latium).

Salpingoporella dinarica biozone.

APTIANO INFERIORE

LOWER APTIAN

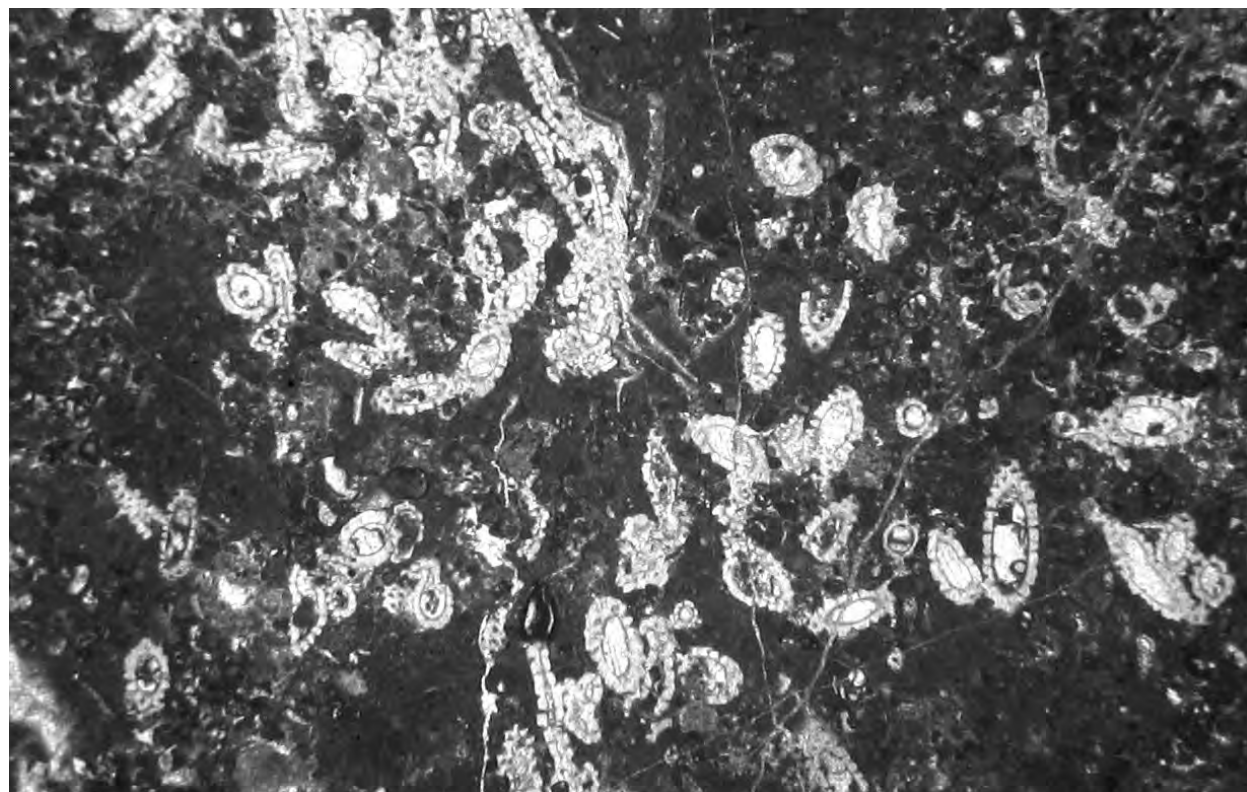
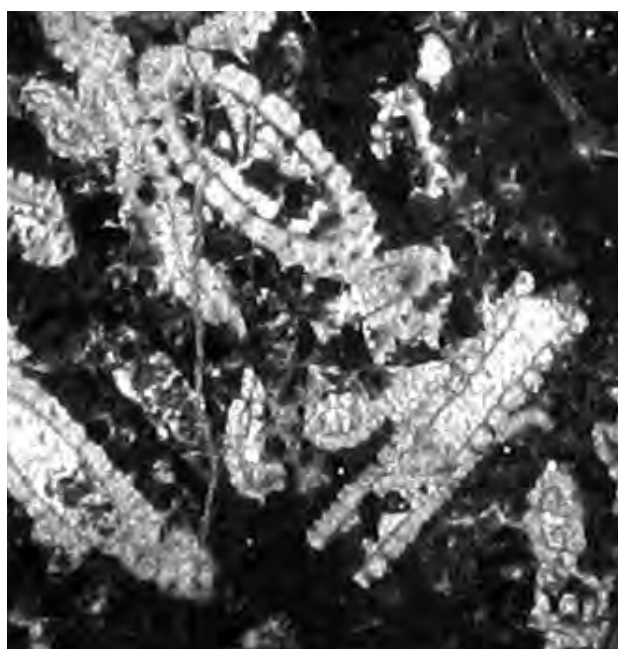


Fig. 1 – Wackestone con *Salpingoporella dinarica* e rari Foraminiferi bentonici. $\times 25$
– Wackestone with *Salpingoporella dinarica* and rare benthic Foraminifera. $\times 25$



2



3

Figg. 2-3 – Sezioni variamente orientate di *Salpingoporella dinarica*. $\times 50$
– Various sections of *Salpingoporella dinarica*. $\times 50$

La microfacies di fig. 1 e gli individui delle figg. 2, 3 provengono dalla sezione stratigrafica di Monte La Civita, Monti Aurunci (Lazio meridionale).

Biozona a *Salpingoporella dinarica*.

– The microfacies of fig. 1 and the specimens of figs. 2, 3 from La Civita Mt. stratigraphic section, Aurunci Mts. (Southern Lazio).
Salpingoporella dinarica biozone.

APTIANO INFERIORE

LOWER APTIAN

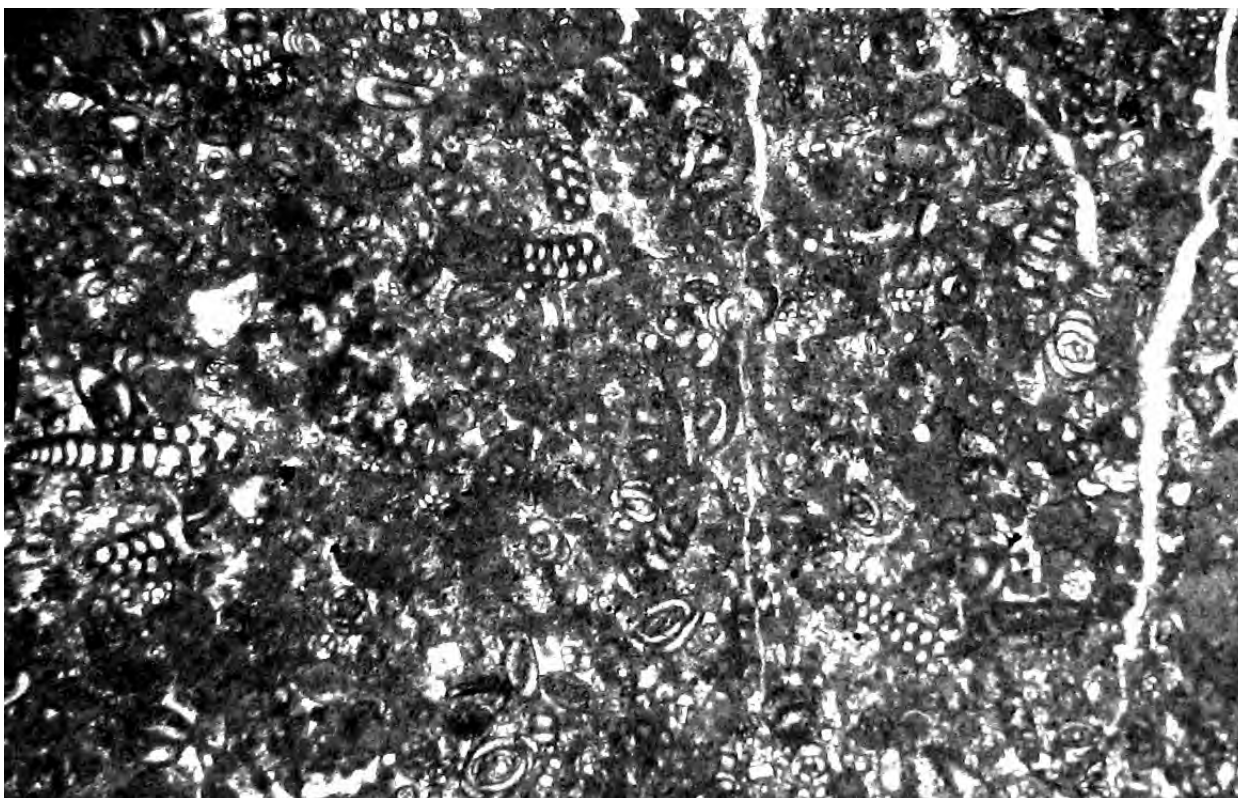
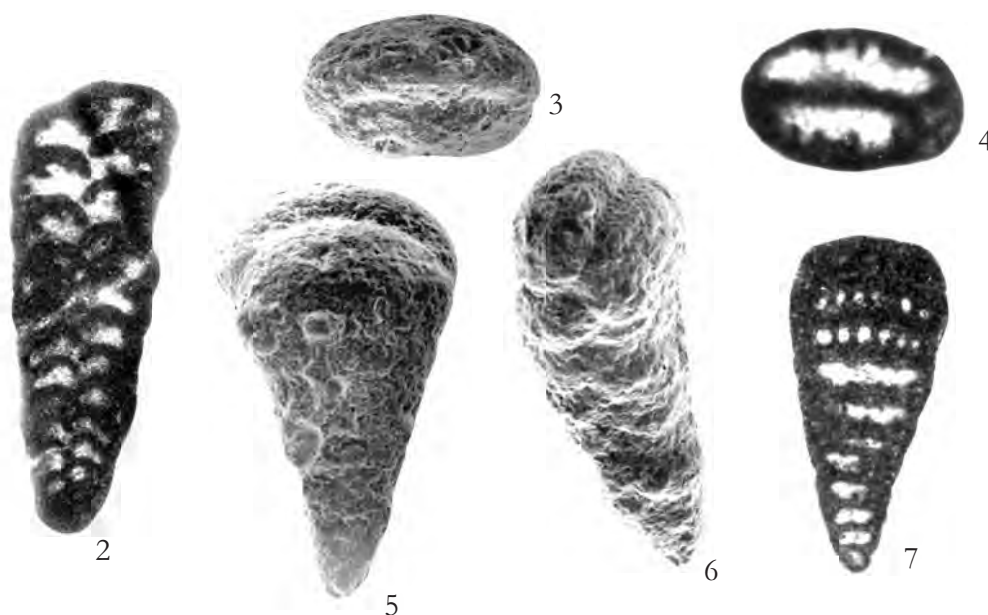


Fig. 1 – Packstone con ?*Cuneolina scarsellai*, Miliolidae e altri Foraminiferi bentonici. $\times 35$
 – Packstone with ?*Cuneolina scarsellai*, *Miliolidae* and other benthic Foraminifera. $\times 35$



Figg. 2-7 – Individui 3, 5-6 e sezioni variamente orientate 2, 4, 7 riferibili a ?*Cuneolina scarsellai*. $\times 80$
 – Specimens 3, 5-6 and variously oriented sections 2, 4, 7 referred to ?*Cuneolina scarsellai*. $\times 80$

La microfacies di fig. 1 e gli individui delle figg. 3-6 provengono dalla sezione stratigrafica di Fonte Ottorile mentre le figg. 2, 7 provengono dalla sezione stratigrafica di Monte Sant'Angelo, Monti Aurunci (Lazio meridionale). Biozona a *Salpingoporella dinarica*.
 APTIANO INFERIORE
 – The microfacies of fig. 1 and the specimens of figs. 3-6 from Fonte Ottorile stratigraphic section, the specimens of figs. 2, 7 instead from Sant'Angelo Mts. stratigraphic section, Aurunci Mts. (Southern Latium).
Salpingoporella dinarica biozone.
 LOWER APTIAN

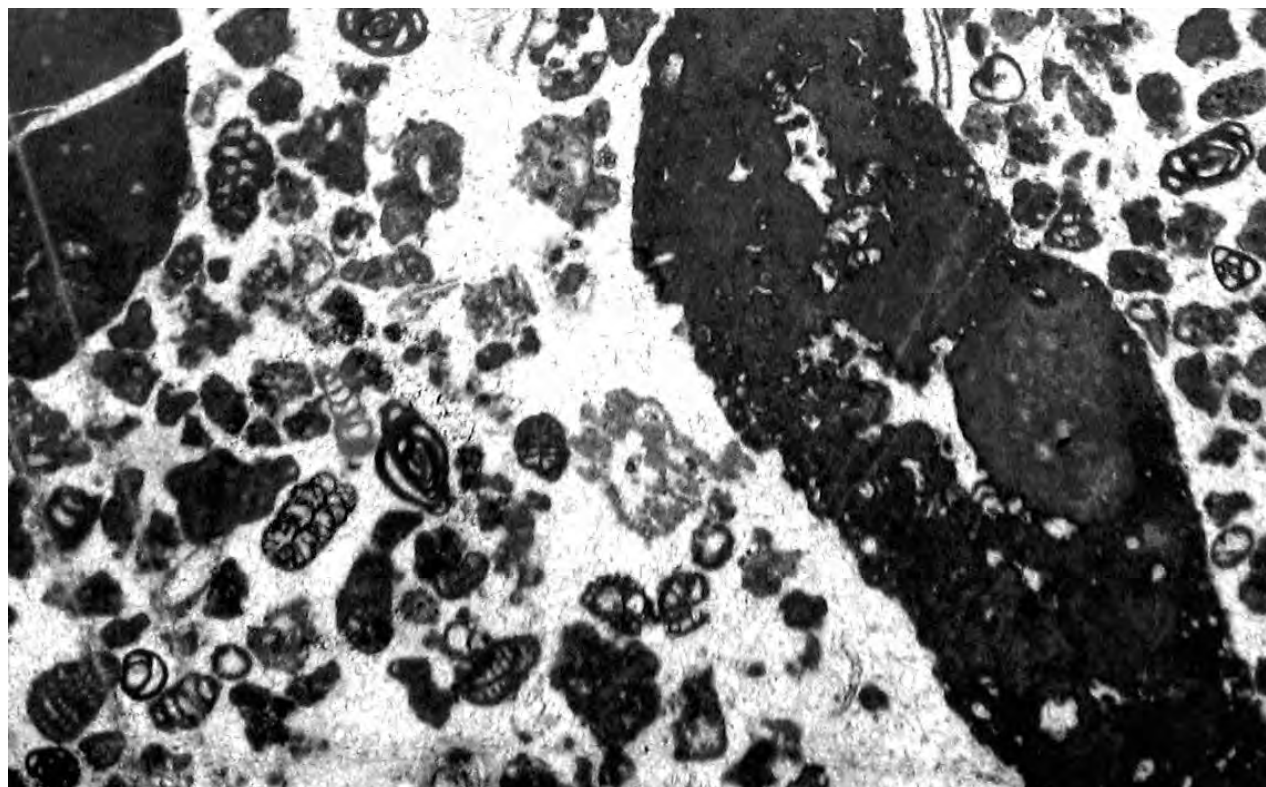
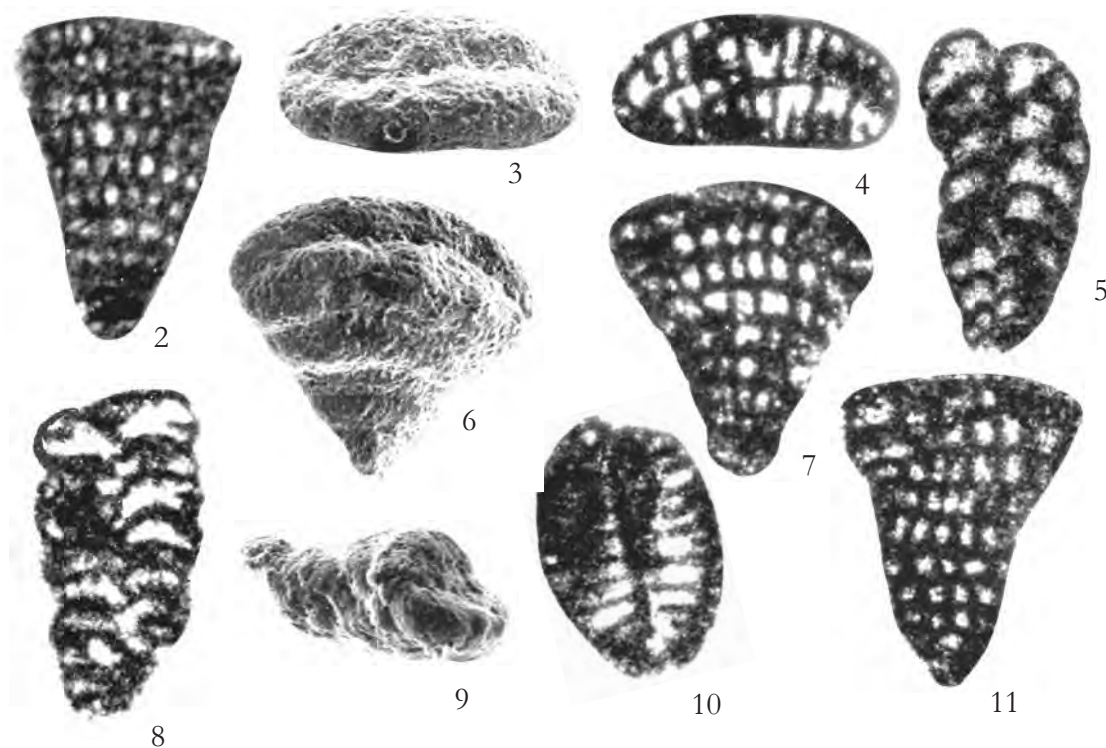


Fig. 1 – Grainstone con *Cuneolina camposaurii*, Miliolidae, altri Foraminiferi bentonici e Dasycladaceae. x 25
– Grainstone with *Cuneolina camposaurii*, *Miliolidae*, other benthic Foraminifera and Dasycladaceae. x 25



Figg. 2-11 – Individui (3, 6, 9) e sezioni variamente orientate (2, 4, 5, 7, 8, 10, 11) riferibili a *Cuneolina camposaurii*. x 70
– Specimens (3, 6, 9) and variously oriented sections (2, 4, 5, 7, 8, 10, 11) of specimens referred to *Cuneolina camposaurii*. x 70

La microfacies di fig. 1 e gli individui delle figg. 2, 3, 6, 8-11 provengono dalla sezione stratigrafica di Fonte Ottorile, le figg. 4, 5 e 7 provengono dalla sezione stratigrafica di Monte Le Rave Fosche, Monti Aurunci (Lazio meridionale).

Biozona a *Salpingoporella dinarica*.

APTIANO INFERIORE

– The microfacies of fig. 1 and the specimens of figs. 2, 3, 6, 8-11 from Fonte Ottorile stratigraphic section, the specimens of figs. 4, 5 and 7 from Le Rave Fosche Mt. stratigraphic section, Aurunci Mts. (Southern Latium).

Salpingoporella dinarica biozone.

LOWER APTIAN

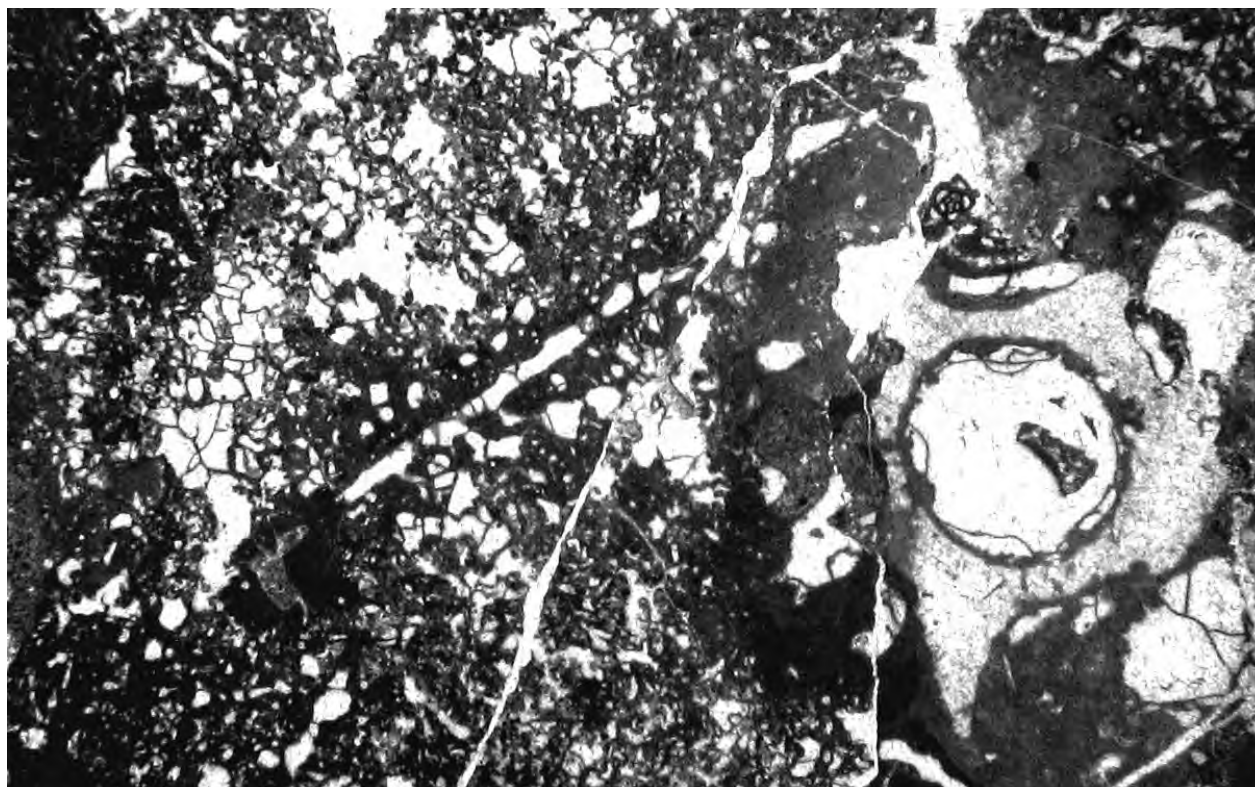


Fig. 1 – Bindstone con *Lithocodium aggregatum* (= *Bacinella irregularis*), Miliolidae, altri piccoli Foraminiferi bentonici e Hippuritacea. $\times 10$

– Bindstone with *Lithocodium aggregatum* (= *Bacinella irregularis*), *Miliolidae*, *other small benthic Foraminifera* and *Hippuritacea*. $\times 10$

Sezione stratigrafica di Monte Ardicara, Monti Lepini (Lazio meridionale).

Biozona a *Salpingoporella dinarica*.

APTIANO INFERIORE

– *Ardicara Mt. stratigraphic section, Lepini Mts. (Southern Latium)*.

Salpingoporella dinarica biozone.

LOWER APTIAN

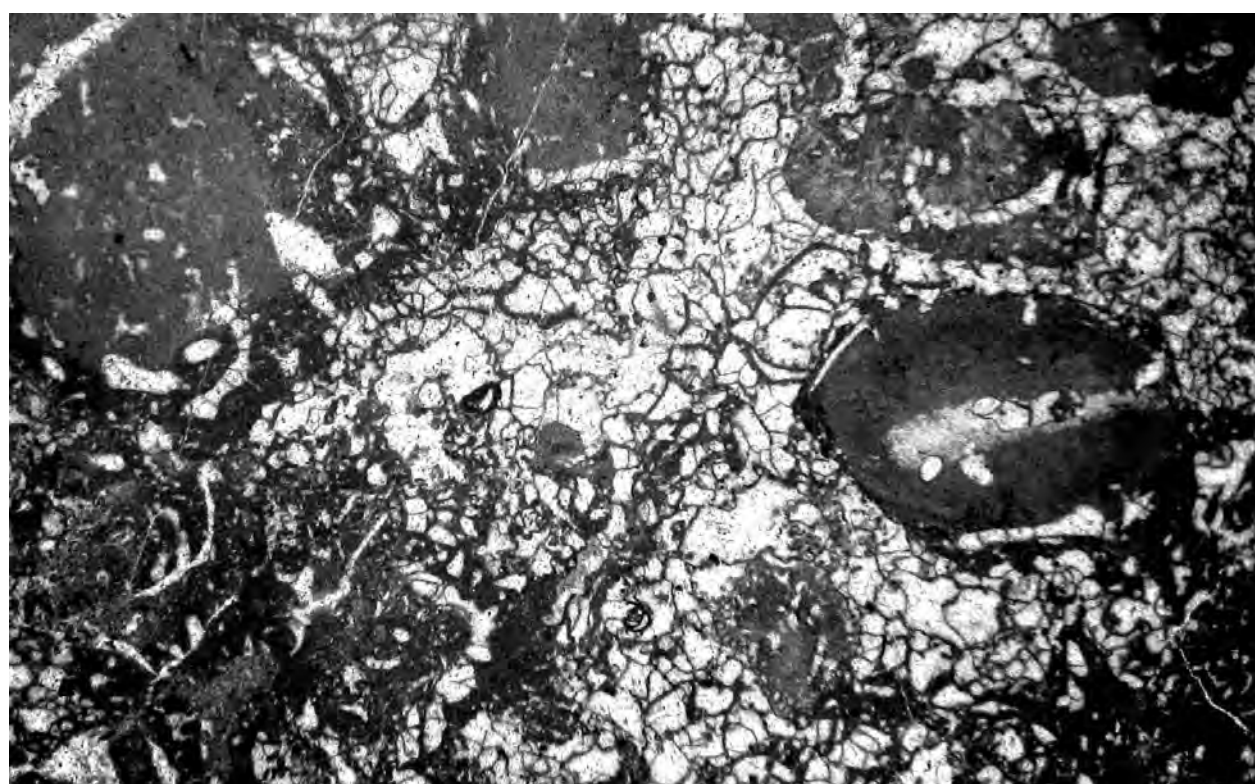


Fig. 2 – Bindstone con *Lithocodium aggregatum* (= *Bacinella irregularis*). $\times 15$

– Bindstone with *Lithocodium aggregatum* (= *Bacinella irregularis*). $\times 15$

Sezione stratigrafica di Monte Ardicara, Monti Lepini (Lazio meridionale).

Biozona a *Salpingoporella dinarica*.

APTIANO INFERIORE

– *Ardicara Mt. stratigraphic section, Lepini Mts. (Southern Latium)*.

Salpingoporella dinarica biozone.

LOWER APTIAN

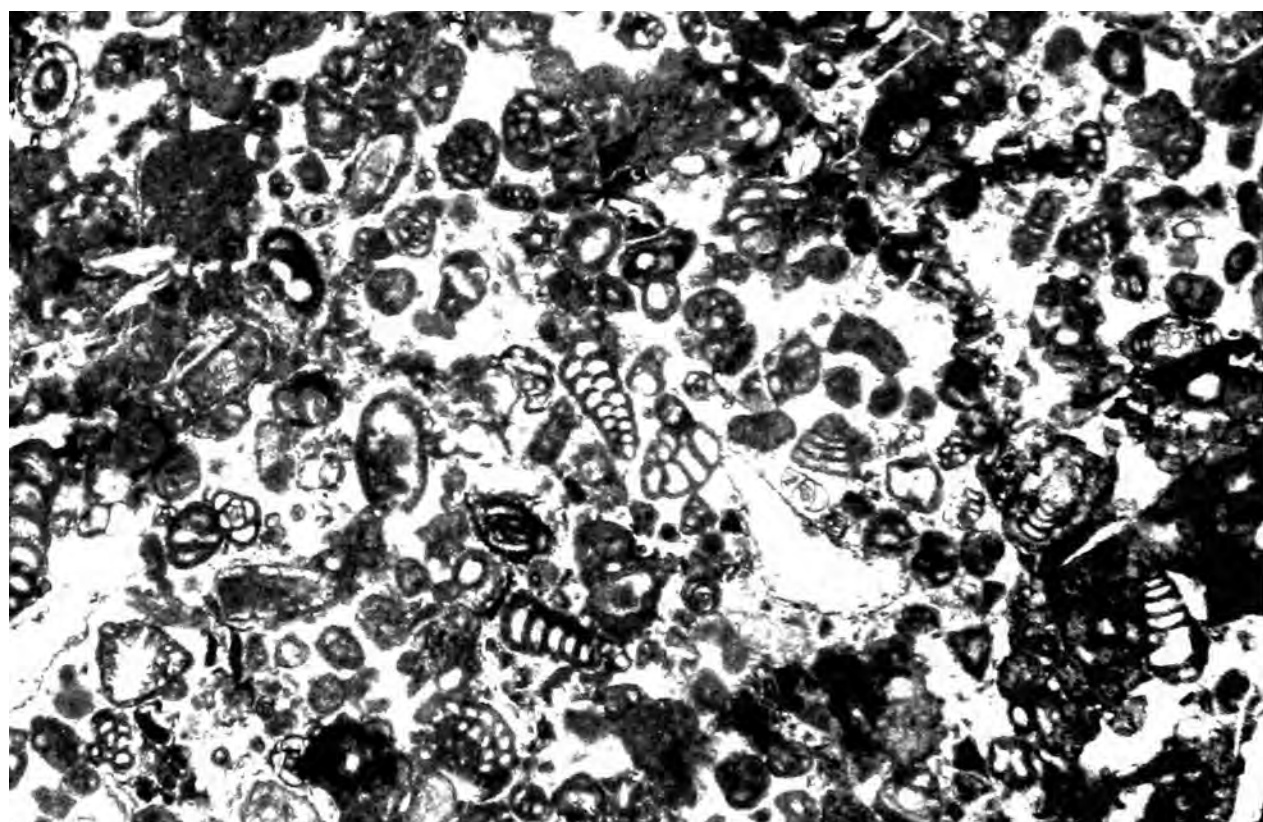
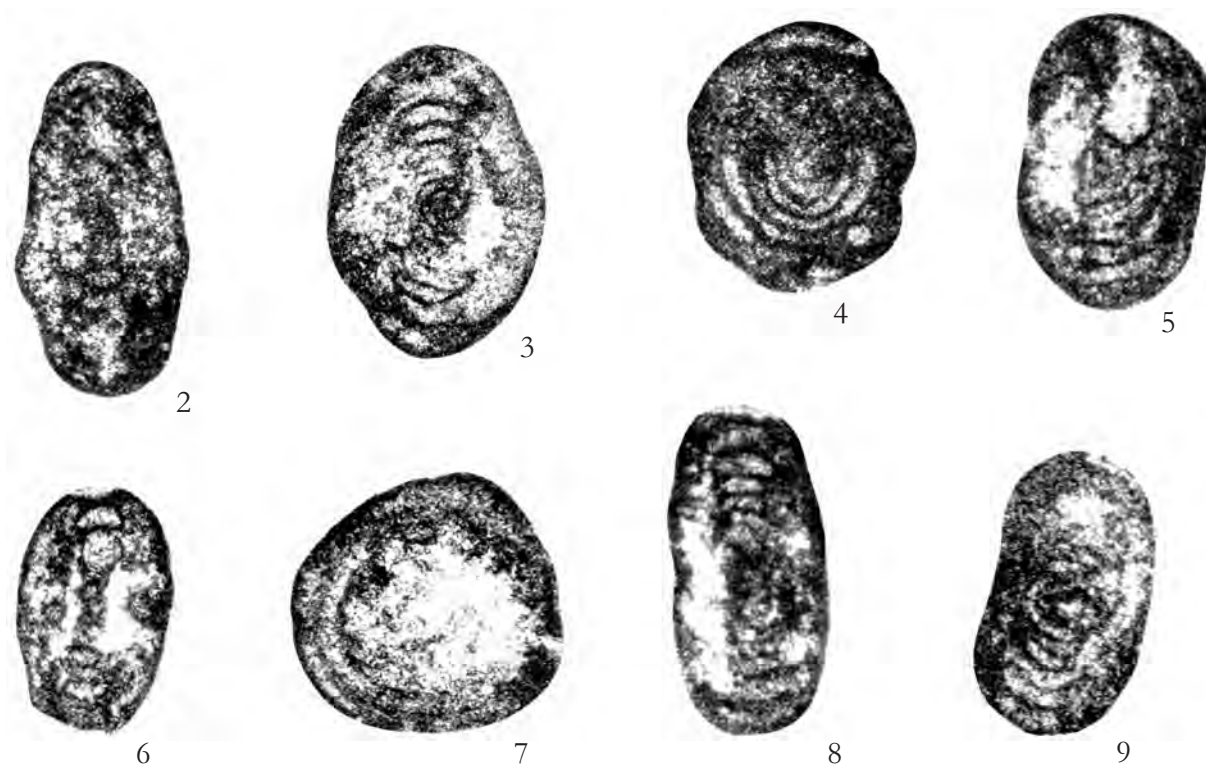


Fig. 1 – Grainstone con *Glomoinvolutina apuliae*, *Trocholina* sp., altri Foraminiferi bentonici e *Salpingoporella dinarica*. $\times 40$
– Grainstone with *Glomoinvolutina apuliae*, *Trocholina* sp., other benthic Foraminifera and *Salpingoporella dinarica*. $\times 40$



Figg. 2-9 – Sezioni variamente orientate di individui riferibili a *Glomoinvolutina apuliae*. $\times 95$
– Variously oriented sections of specimens referred to *Glomoinvolutina apuliae*. $\times 95$

La microfacies di fig. 1 e gli individui delle figg. 2-9 provengono dalla sezione stratigrafica di Monte S. Angelo, Monti Aurunci (Lazio meridionale).

Biozona a *Salpingoporella dinarica*.

– The microfacies of fig. 1 and the specimens of figs. 2-9 from S. Angelo Mt. stratigraphic section, Aurunci Mts. (Southern Lazio).
Salpingoporella dinarica biozone.

APTIANO INFERIORE

LOWER APTIAN

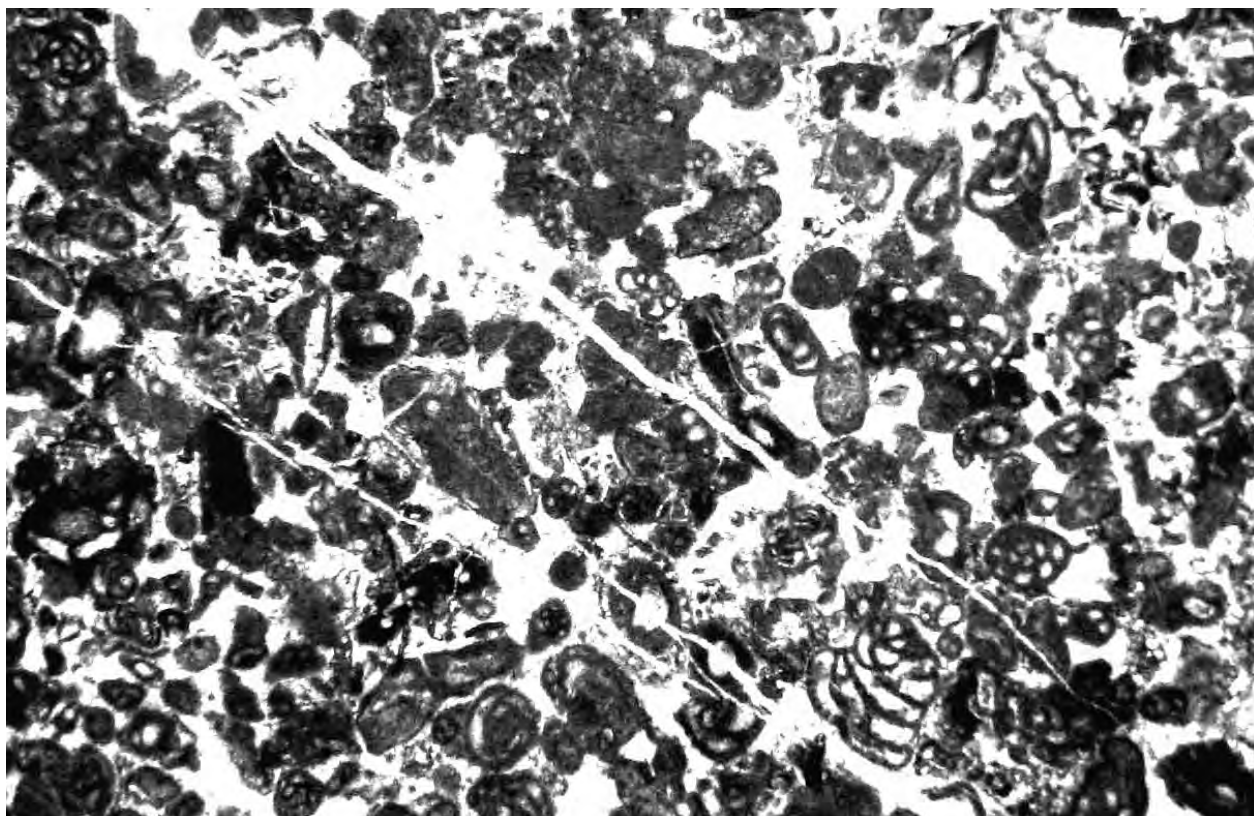
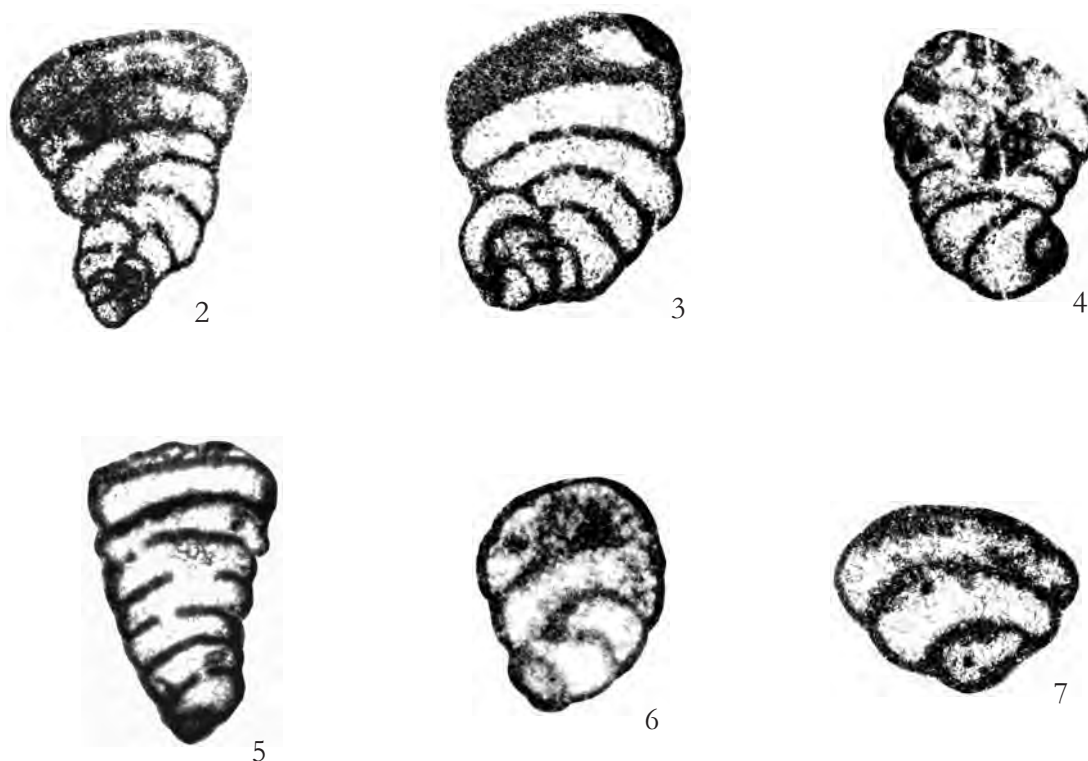


Fig. 1 – Packstone con *Pseudolituonella conica*, *Haplophragmoides* cf. *globosus*, Miliolidae, altri Foraminiferi bentonici e Dasycladaceae. x 30

– Packstone with *Pseudolituonella conica*, *Haplophragmoides* cf. *globosus*, Miliolidae, other benthic Foraminifera and Dasycladaceae. x 30



Figg. 2-7 – Sezioni variamente orientate di individui riferibili a *Pseudolituonella conica*. x 70
– Variously oriented sections of specimens referred to *Pseudolituonella conica*. x 70

La microfacies di fig. 1 e gli individui delle figg. 2-7 provengono dalla sezione stratigrafica di Monte S. Angelo, Monti Aurunci (Lazio meridionale).

Biozona a *Salpingoporella dinarica*.

– The microfacies of fig. 1 and the specimens of figs. 2-7 from S. Angelo Mt. stratigraphic section, Aurunci Mts. (Southern Lazio).
Salpingoporella dinarica biozone.

APTIANO INFERIORE

LOWER APTIAN

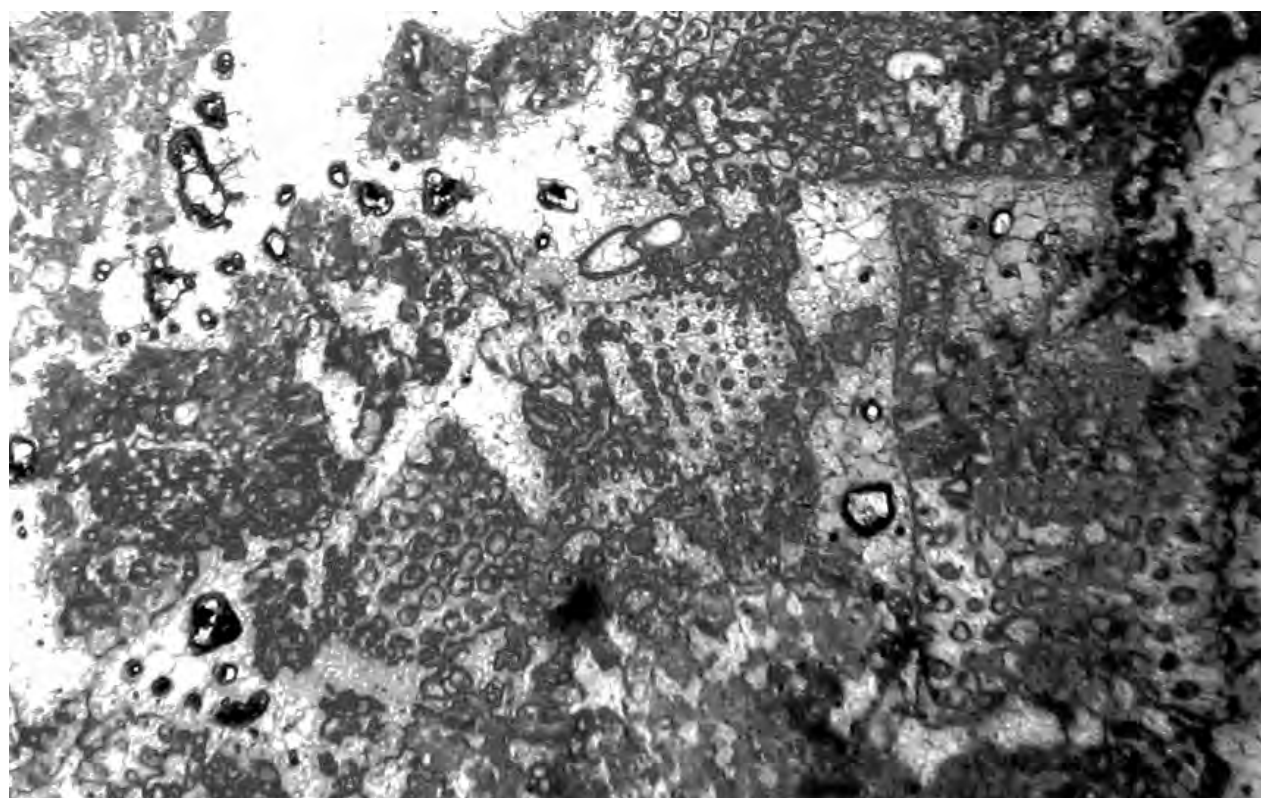
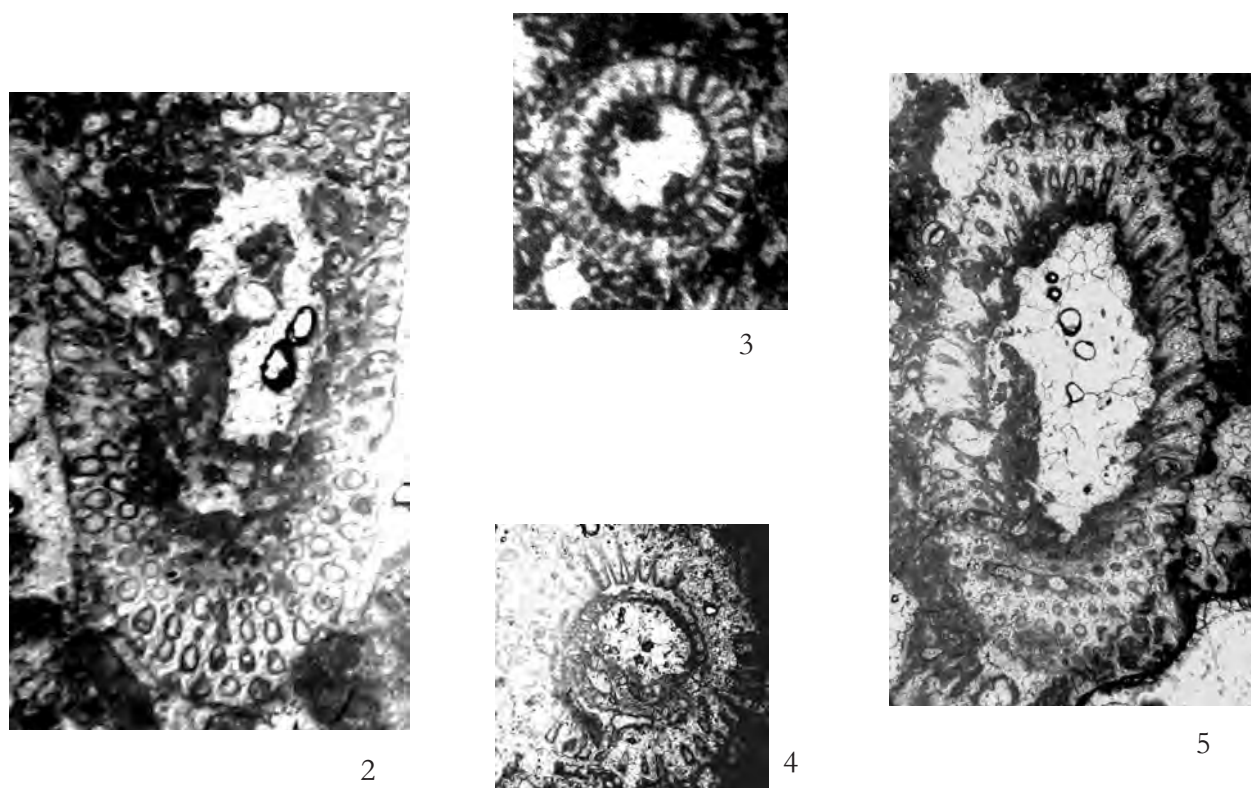


Fig. 1 – Rudstone con *Triploporella marsicana* e rari Foraminiferi bentonici. $\times 15$
– Rudstone with *Triploporella marsicana* and rare benthic Foraminifera. $\times 15$



Figg. 2-5 – Sezioni variamente orientate di individui riferibili a *Triploporella marsicana*. $\times 15$
– Variously oriented sections of specimens referred to *Triploporella marsicana*. $\times 15$

La microfacies di fig. 1 e gli individui delle figg. 2-5 provengono dalla località-tipo di Vallone di Lecce Vecchia, Marsica (Abruzzo).

Biozona a *Salpingoporella dinarica*.
– The microfacies of fig. 1 and the specimens of figs. 2-5 from Vallone di Lecce Vecchia type-locality, Marsica (Abruzzo).
Salpingoporella dinarica biozone.

APTIANO INFERIORE
LOWER APTIAN

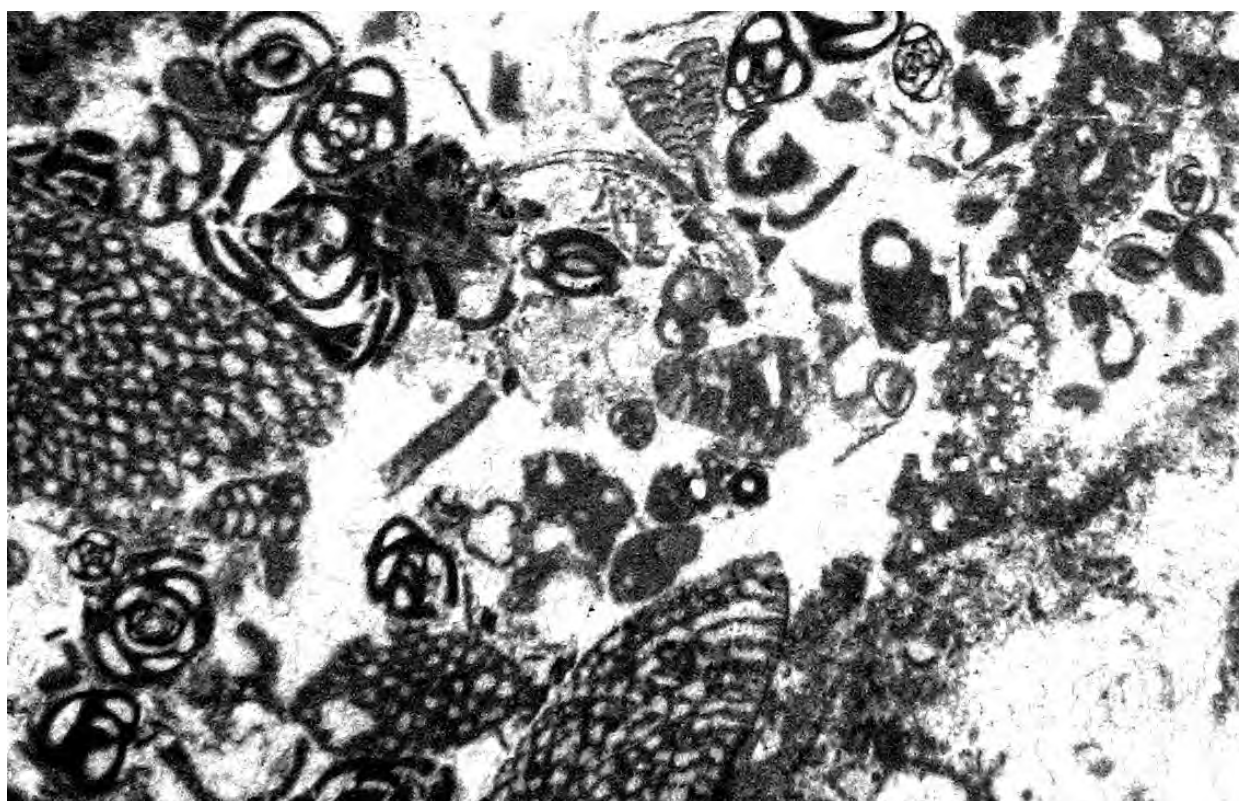
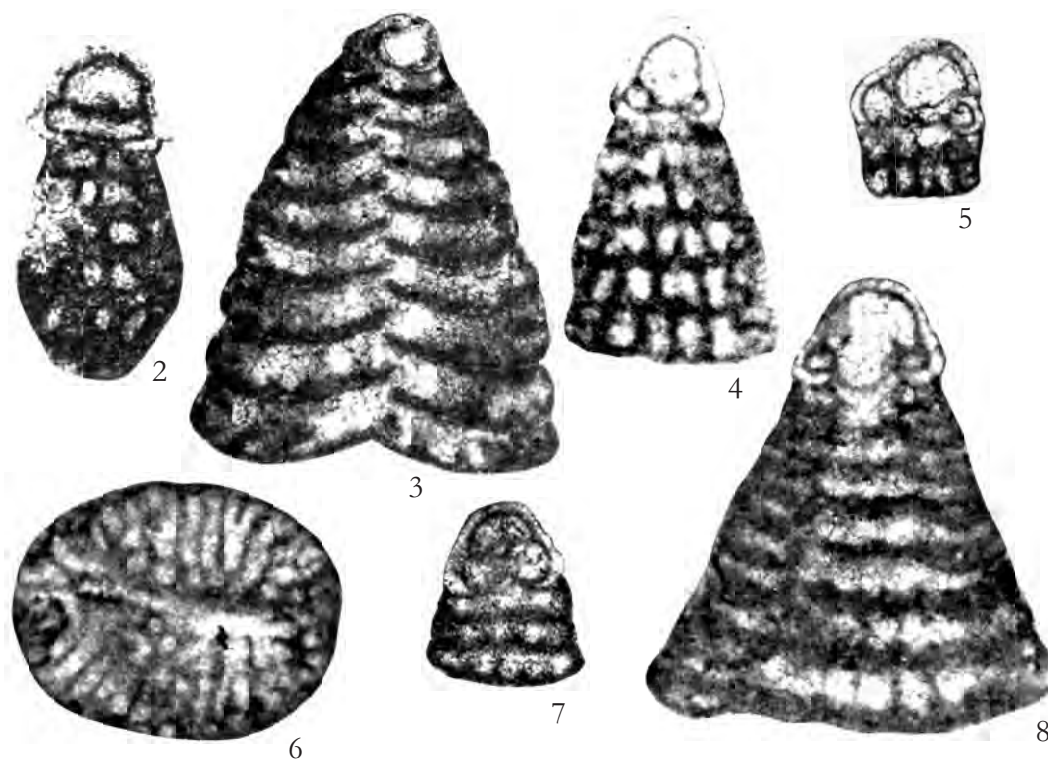


Fig. 1 – Grainstone mal classato con *Sabaudia capitata*, *Orbitolina (Mesorbitolina) sp.*, Miliolidae e altri Foraminiferi bentonici. x 35
 – Poorly sorted grainstone with *Sabaudia capitata*, *Orbitolina (Mesorbitolina) sp.*, *Miliolidae* and other benthic Foraminifera.
 x 35



Figg. 2-8 – Sezioni variamente orientate di individui riferibili a *Sabaudia capitata*. x 95
 – Variously oriented sections of specimens referred to *Sabaudia capitata*. x 95

La microfacies di fig. 1 e gli individui delle figg. 2, 4-8 provengono dalla sezione stratigrafica di Serra del Pruno, Monti Ausoni; la fig. 3 proviene dalla sezione stratigrafica di Costamezza, Monti Aurunci (Lazio meridionale). Biozona a *Salpingoporella dinarica*.
 APTIANO INFERIORE
 – The microfacies of fig. 1 and the specimens of figs. 2, 4-8 from Serra del Pruno stratigraphic section, Ausoni Mts.; the fig. 3 from Costamezza stratigraphic section, Aurunci Mts. (Southern Latium).
Salpingoporella dinarica biozone.
 LOWER APTIAN

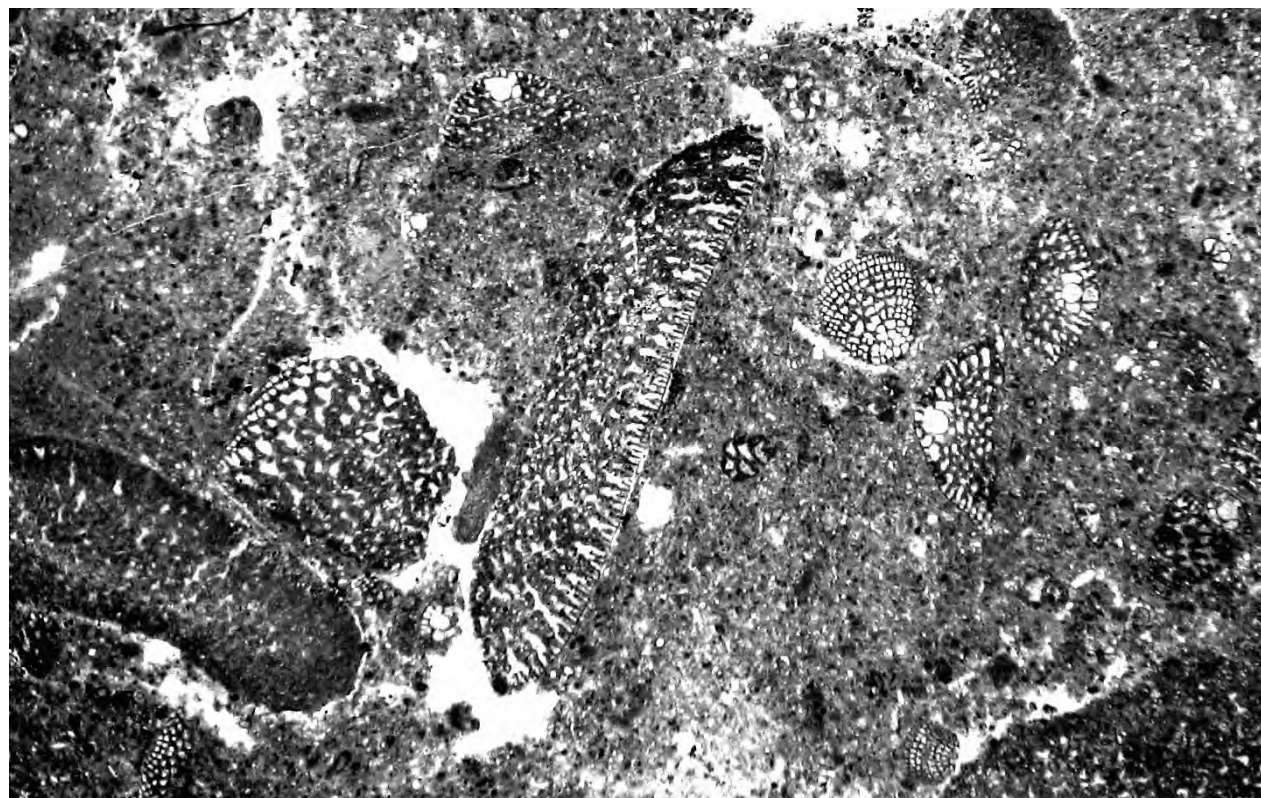
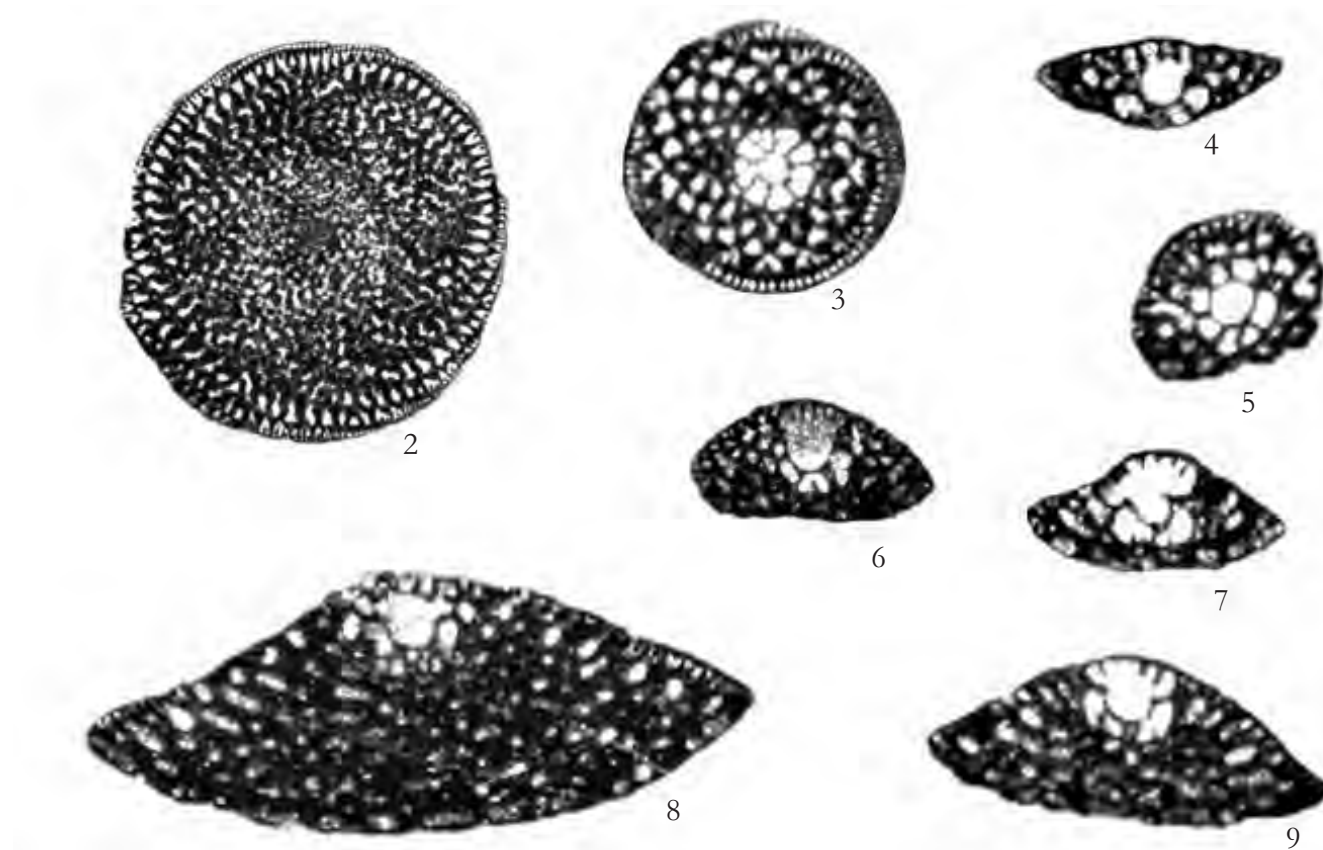


Fig. 1 – Floatstone con *Orbitolina (Mesorbitolina) parva*, Miliolidae e altri Foraminiferi bentonici. $\times 40$
– Floatstone with *Orbitolina (Mesorbitolina) parva*, *Miliolidae* and other benthic Foraminifera. $\times 40$



Figg. 2-9 – Sezioni variamente orientate di individui riferibili a *Orbitolina (Mesorbitolina) parva*. $\times 70$
– Various sections of specimens referred to *Orbitolina (Mesorbitolina) parva*. $\times 70$

La microfacies di fig. 1 e gli individui delle figg. 2-9 provengono dalla sezione stratigrafica di Serra del Pruno, Monti Ausoni (Lazio meridionale).

Biozona a Salpingoporella dinarica.

– The microfacies of fig. 1 and the specimens of figs. 2-9 from Serra del Pruno stratigraphic section, Ausoni Mts. (Southern Lazio).
Salpingoporella dinarica biozone.

APTIANO INFERIORE

LOWER APTIAN

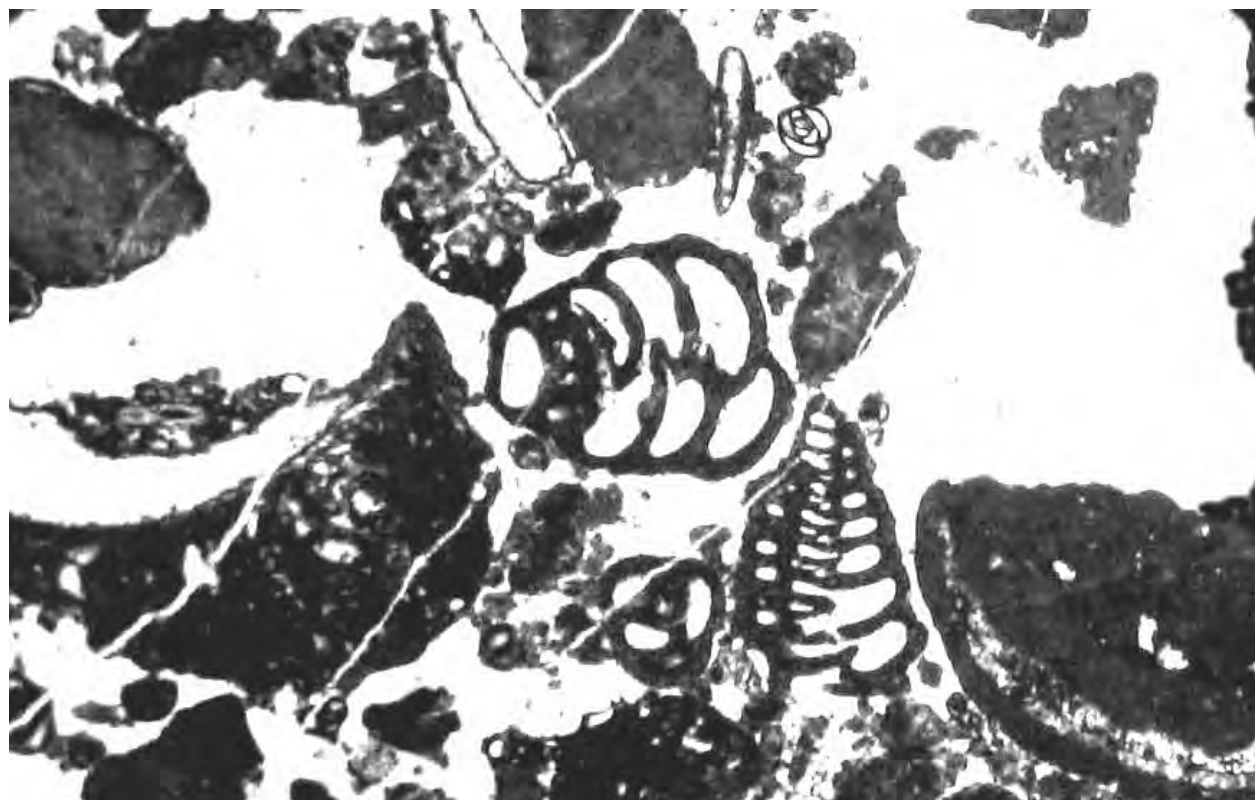
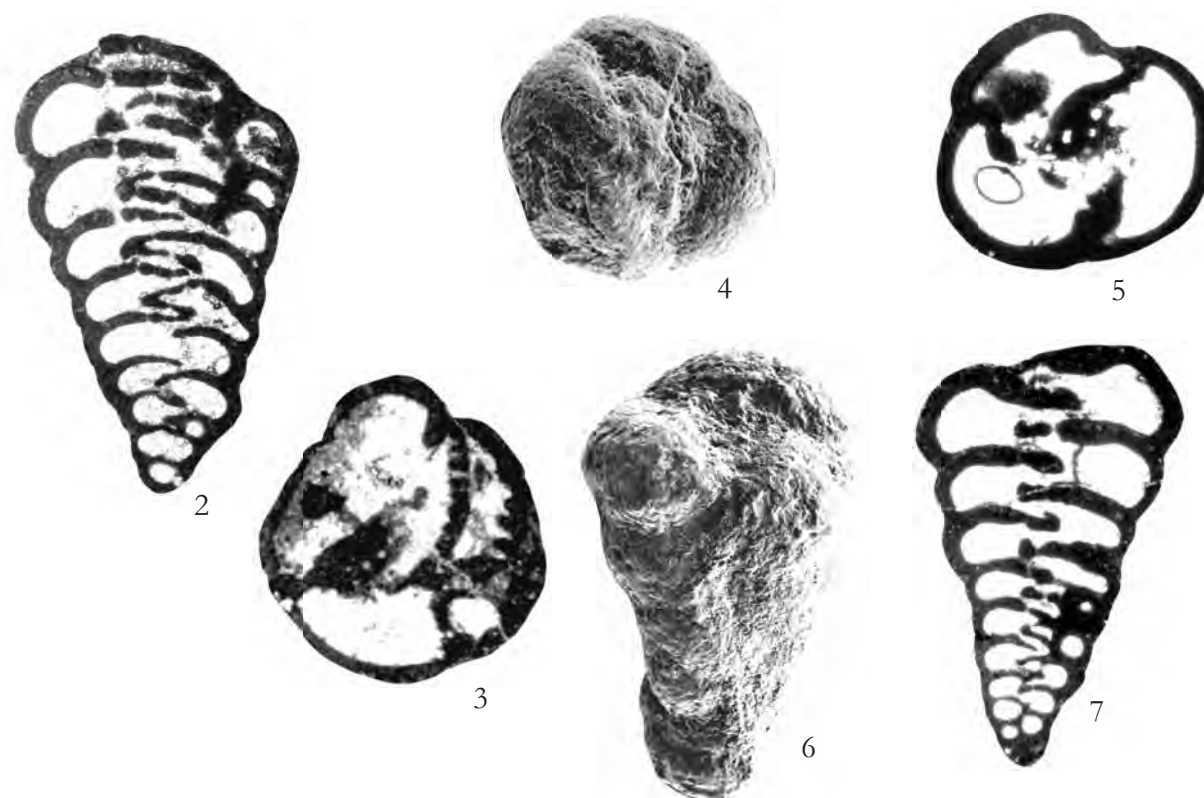


Fig. 1 – Grainstone con *Praechrysalidina infracretacea* e Miliolidae. x 30
 – Grainstone with *Praechrysalidina infracretacea* and Miliolidae. x 30



Figg. 2-7 – Individui (4, 6) e sezioni variamente orientate (2, 3, 5, 7) riferibili a *Praechrysalidina infracretacea*. x 30
 – Specimens (4, 6) and variously oriented sections (2, 3, 5, 7) referred to *Praechrysalidina infracretacea*. x 30

La microfacies di fig. 1 proviene dalla sezione stratigrafica di Colle Sant'Angelo, Monte Cairo; gli individui delle figg. 2, 5, 7 provengono dalla sezione stratigrafica di Costamezza, mentre quelli delle figg. 4, 6 dalla sezione stratigrafica di Fonte Ottorile, Monti Aurunci (Lazio meridionale).

Biozona a *Salpingoporella dinarica*.

APTIANO INFERIORE

– The microfacies of fig. 1 from Colle Sant'Angelo stratigraphic section, Cairo Mt.; the specimens of figs. 2, 5, 7 from Costamezza stratigraphic section, the figs. 4, 6 instead from Fonte Ottorile stratigraphic section, Aurunci Mts. (Southern Latium).

Salpingoporella dinarica biozone.

LOWER APTIAN

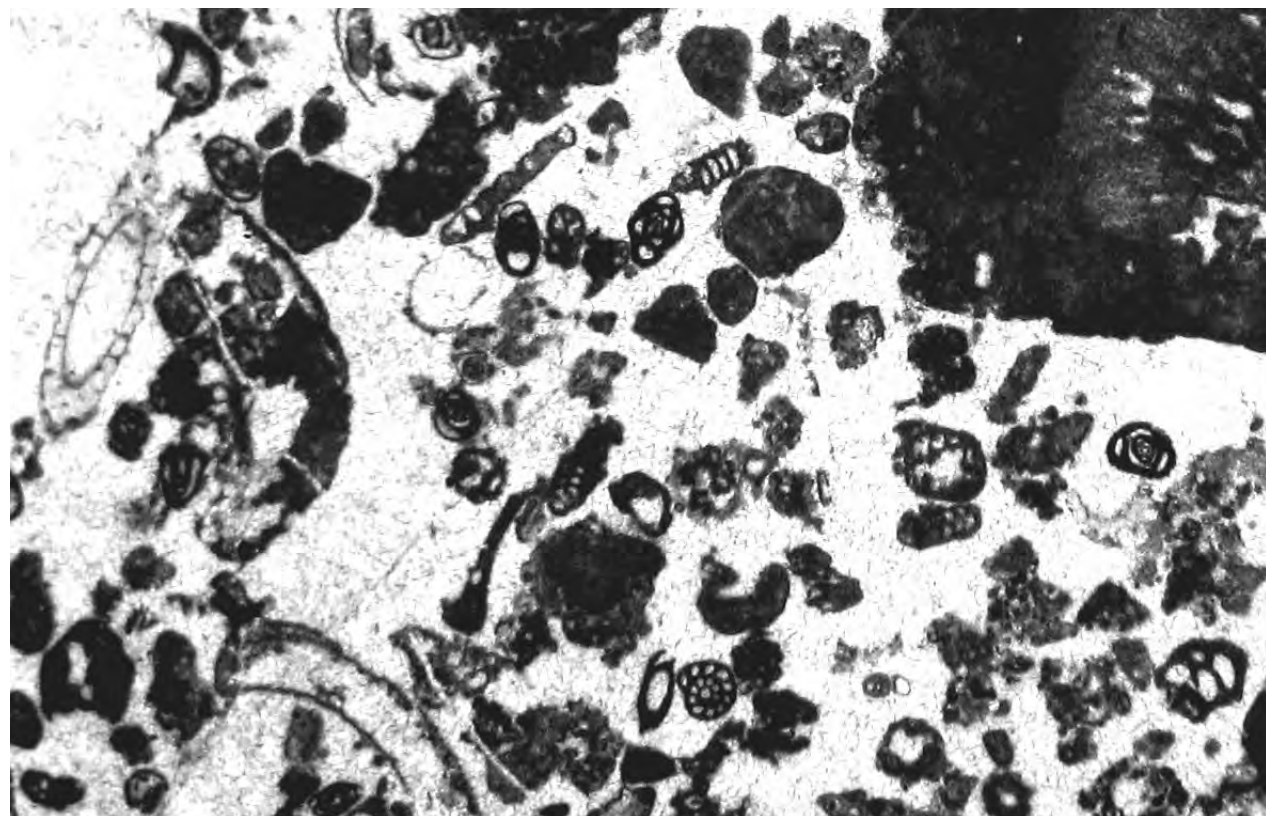
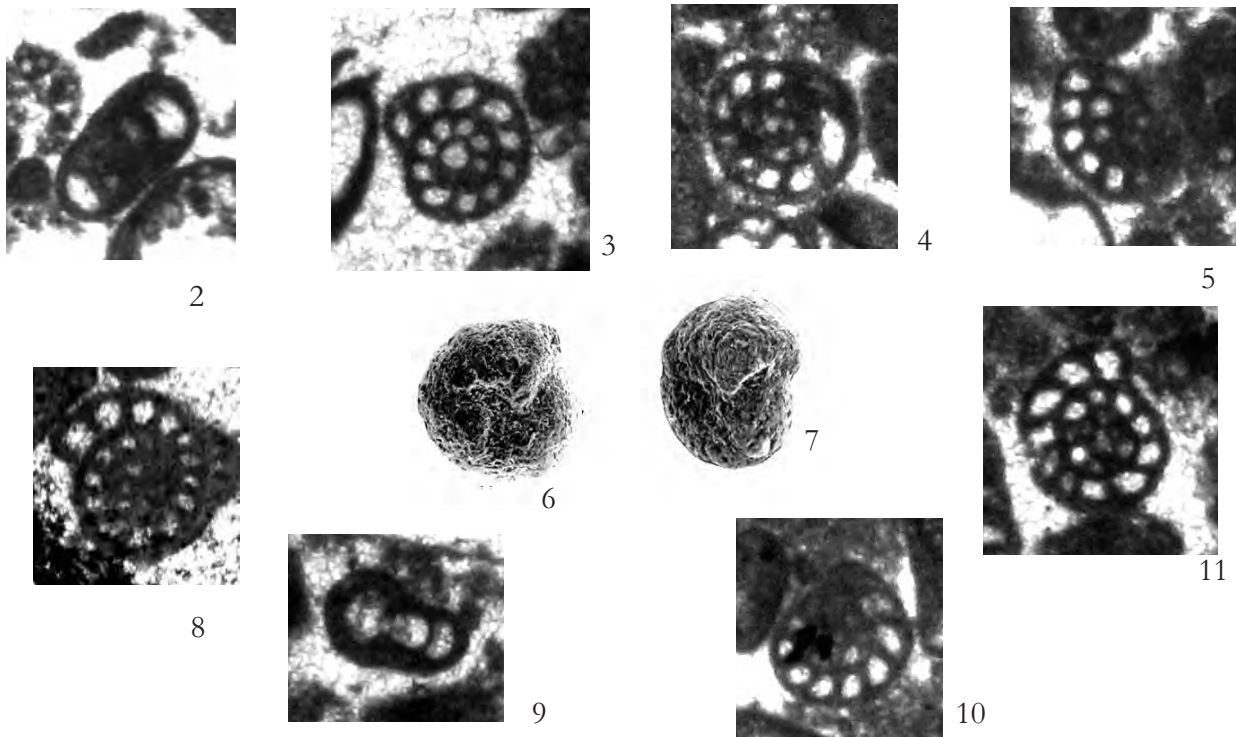


Fig. 1 – Rudstone con *Haplophragmoides* cf. *globosus*, altri Foraminiferi bentonici, Miliolidae, *Salpingoporella dinarica*, Porostromata e resti di Mollusca. $\times 30$
 – Rudstone with *Haplophragmoides* cf. *globosus*, other benthic Foraminifera, Miliolidae, *Salpingoporella dinarica*, Porostromata and Mollusca remains. $\times 30$



Figg. 2-11 – Individui (6,7) e sezioni variamente orientate (2-5, 8-11) di individui riferibili a *Haplophragmoides* cf. *globosus*. $\times 90$
 – Specimens (6, 7) and variously oriented sections (2-5, 8-11) referred to *Haplophragmoides* cf. *globosus*. $\times 90$

La microfacies di fig. 1 e gli individui delle figg. 2-5, 8-11 provengono dalla sezione stratigrafica di Colle S. Lucia, Monte Cairo (Lazio meridionale); gli individui delle figg. 6, 7 provengono dalla sezione stratigrafica di Fonte Ottorile, Monti Aurunci (Lazio meridionale).

Biozona a *Salpingoporella dinarica*.

APTIANO INFERIORE

– The microfacies of fig. 1 and the specimens of figs. 2-5, 8-11 from Colle S. Lucia stratigraphic section, Cairo Mt. (Southern Lazio); the specimens of figs. 6, 7 from Fonte Ottorile stratigraphic section, Aurunci Mts. (Southern Lazio).

Salpingoporella dinarica biozone.

LOWER APTIAN

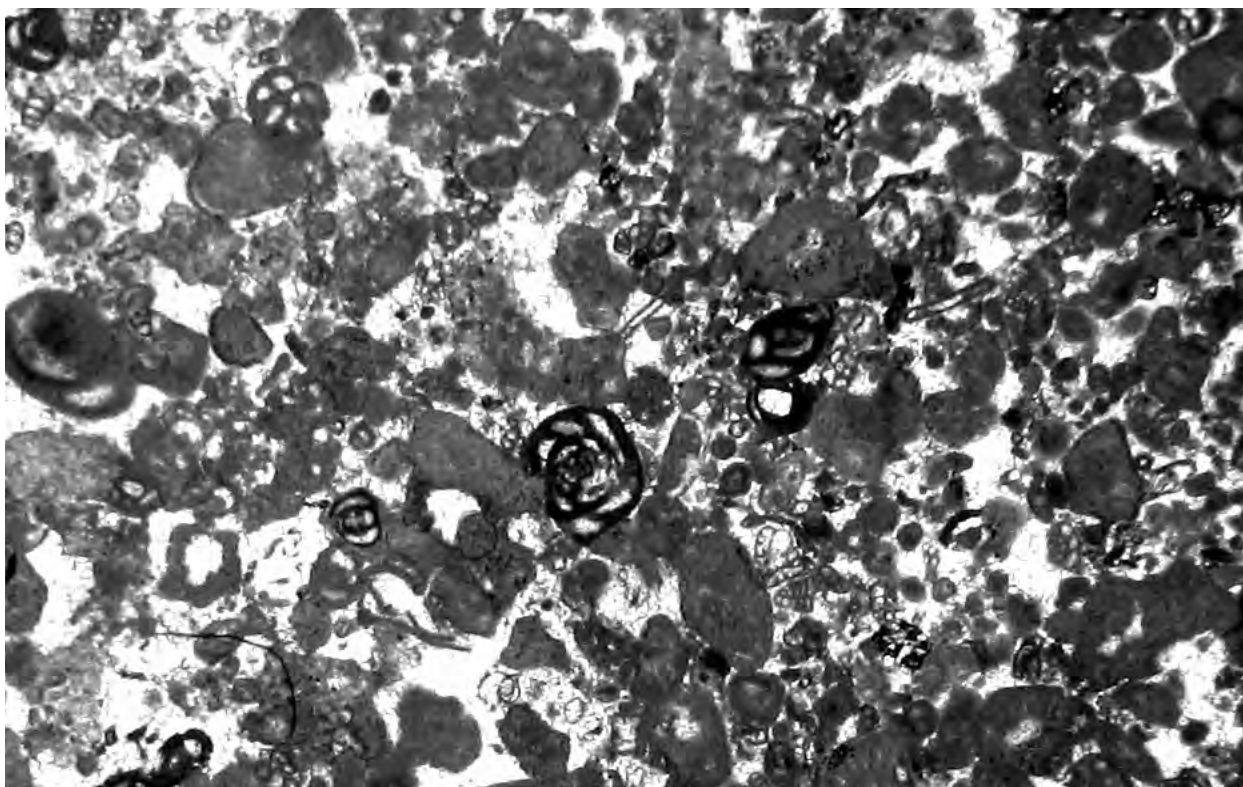
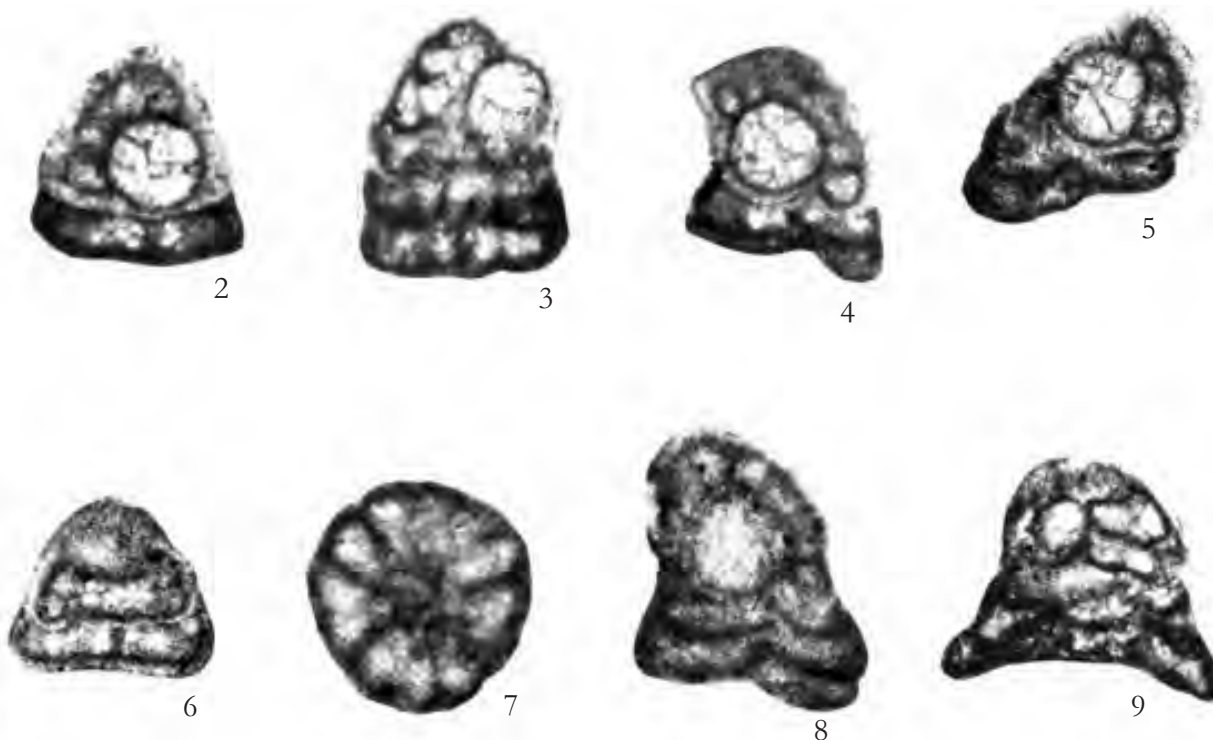


Fig. 1 – Packstone con *Sabaudia dinapolii*, *Sabaudia minuta*, *Archaealveolina reicheli*, Miliolidae e altri Foraminiferi bentonici. $\times 32$
 – Packstone with *Sabaudia dinapolii*, *Sabaudia minuta*, *Archaealveolina reicheli*, *Miliolidae* and other benthic Foraminifera. $\times 32$



Figg. 2-9 – Sezioni variamente orientate di individui riferibili a *Sabaudia dinapolii*. $\times 140$
 – Variously oriented sections of specimens referred to *Sabaudia dinapolii*. $\times 140$

La microfacies di fig. 1 e gli individui delle figg. 2-9 provengono dalla località-tipo, sezione stratigrafica di Costamezza, Monti Aurunci (Lazio meridionale).

Parte iniziale della biozona a *Archaealveolina reicheli*.

APTIANO SUPERIORE

– The microfacies of fig. 1 and the specimens of figs. 2-9 from type-locality, Costamezza stratigraphic section, Aurunci Mts. (Southern Latium).

Lowermost part of the *Archaealveolina reicheli* biozone.

UPPER APTIAN

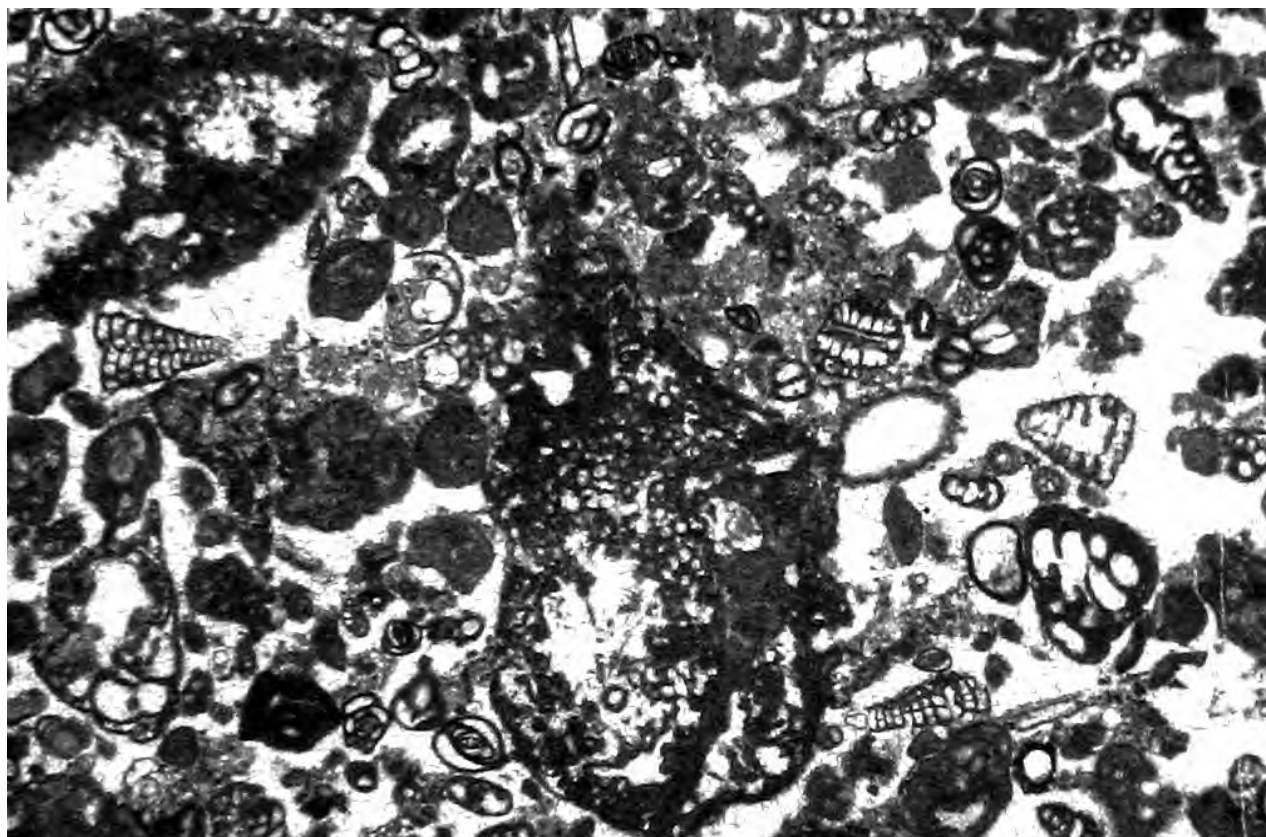
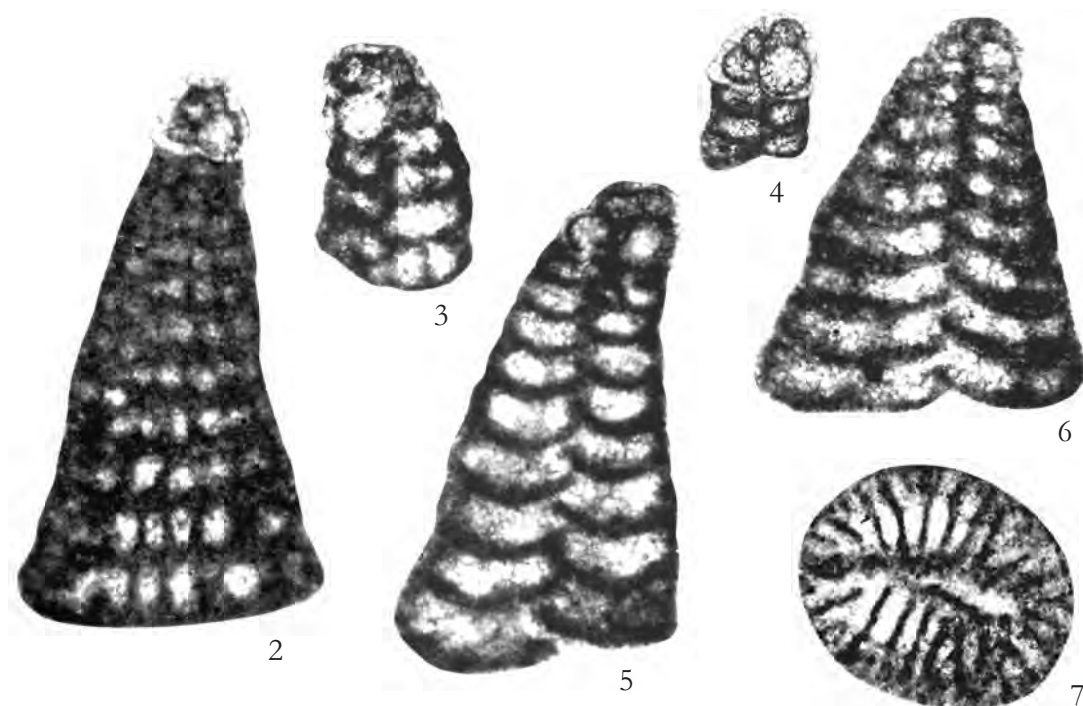


Fig. 1 – Packstone con *Sabaudia auruncensis*, *Praechrysalidina infracretacea*, Miliolidae e altri Foraminiferi bentonici. $\times 40$
 – Packstone with *Sabaudia auruncensis*, *Praechrysalidina infracretacea*, *Miliolidae* and other benthic Foraminifera. $\times 40$



Figg. 2-7 – Sezioni variamente orientate di individui riferibili a *Sabaudia auruncensis*. $\times 115$
 – Variously oriented sections of specimens referred to *Sabaudia auruncensis*. $\times 115$

La microfacies di fig. 1 e gli individui delle figg. 2-7 provengono dalla località-tipo, sezione stratigrafica di Costamezza, Monti Aurunci (Lazio meridionale).

Parte iniziale della biozona a Archaealveolina reicheli.

APTIANO SUPERIORE

– The microfacies of fig. 1 and the specimens of figs. 2-7 from type-locality, Costamezza stratigraphic section, Aurunci Mts. (Southern Latium).

Lowermost part of the Archaealveolina reicheli biozone.

UPPER APTIAN

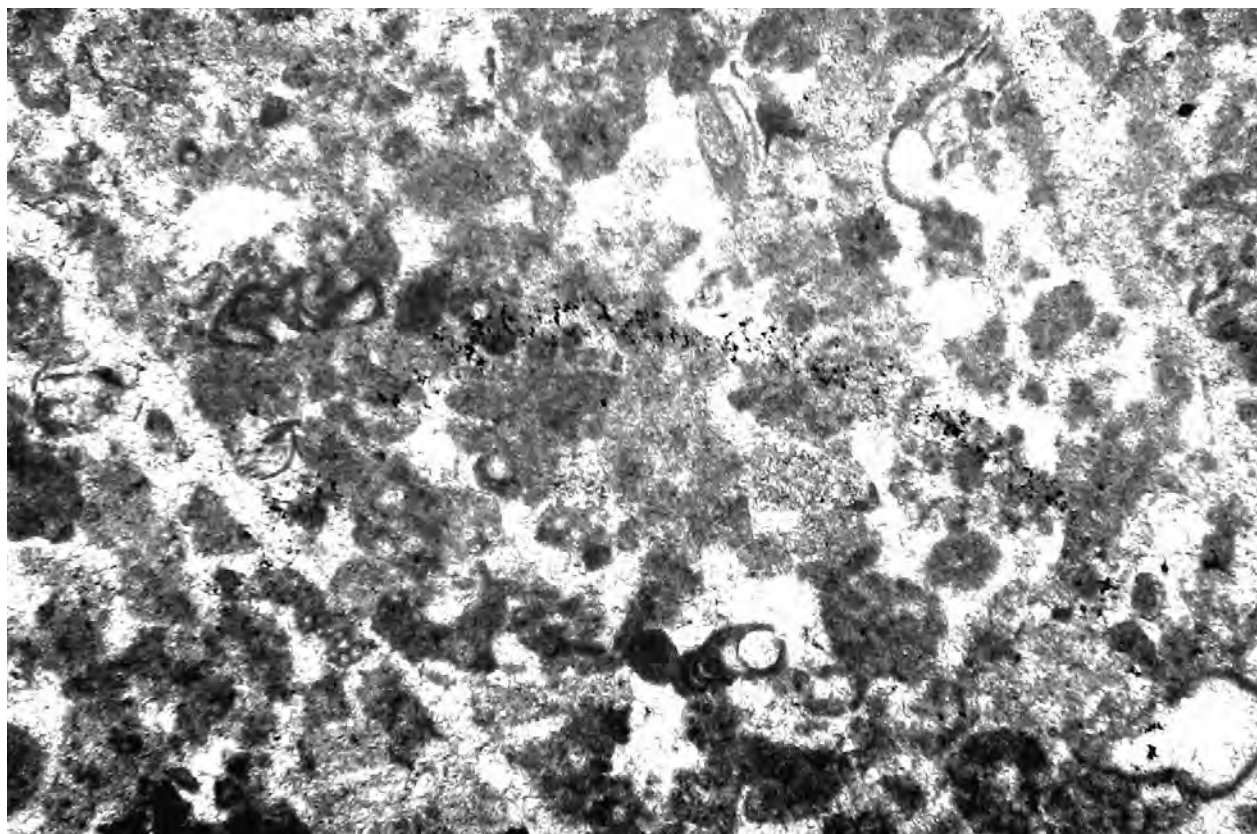
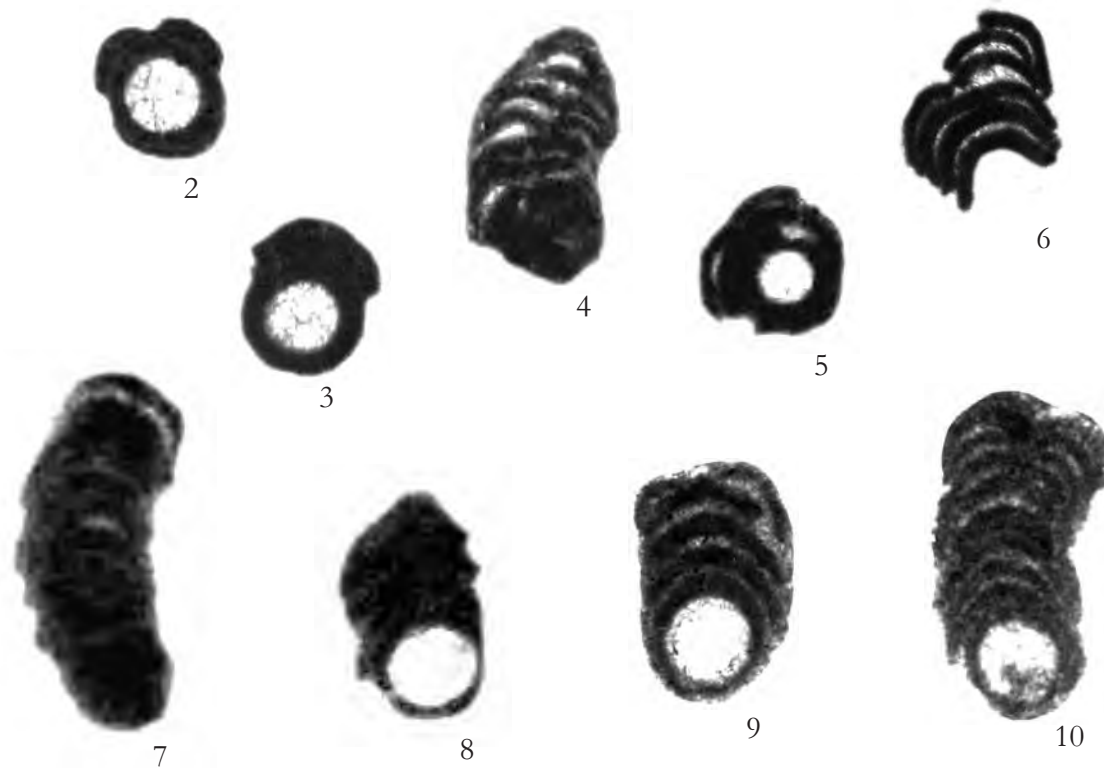


Fig. 1 – Packstone con *Cretacicladus minervini*, Miliolidae, altri Foraminiferi bentonici e *Thaumatoporella parvovesiculifera*. x 50
 – Packstone with *Cretacicladus minervini*, *Miliolidae*, other benthic Foraminifera and *Thaumatoporella parvovesiculifera*. x 50



Figg. 2-10 – Sezioni variamente orientate di individui riferibili a *Cretacicladus minervini*. x 110
 – Variously oriented sections of specimens referred to *Cretacicladus minervini*. x 110

La microfacies di fig. 1 e gli individui delle figg. 2-10 provengono dalla sezione stratigrafica di Costamezza, Monti Aurunci (Lazio meridionale).

Parte iniziale della biozona a Archaealveolina reicheli.

– The microfacies of fig. 1 and the specimens of figs. 2-10 from Costamezza stratigraphic section, Aurunci Mts. (Southern Lazio).
 Lowermost part of the Archaealveolina reicheli biozone.

APTIANO SUPERIORE

UPPER APTIAN

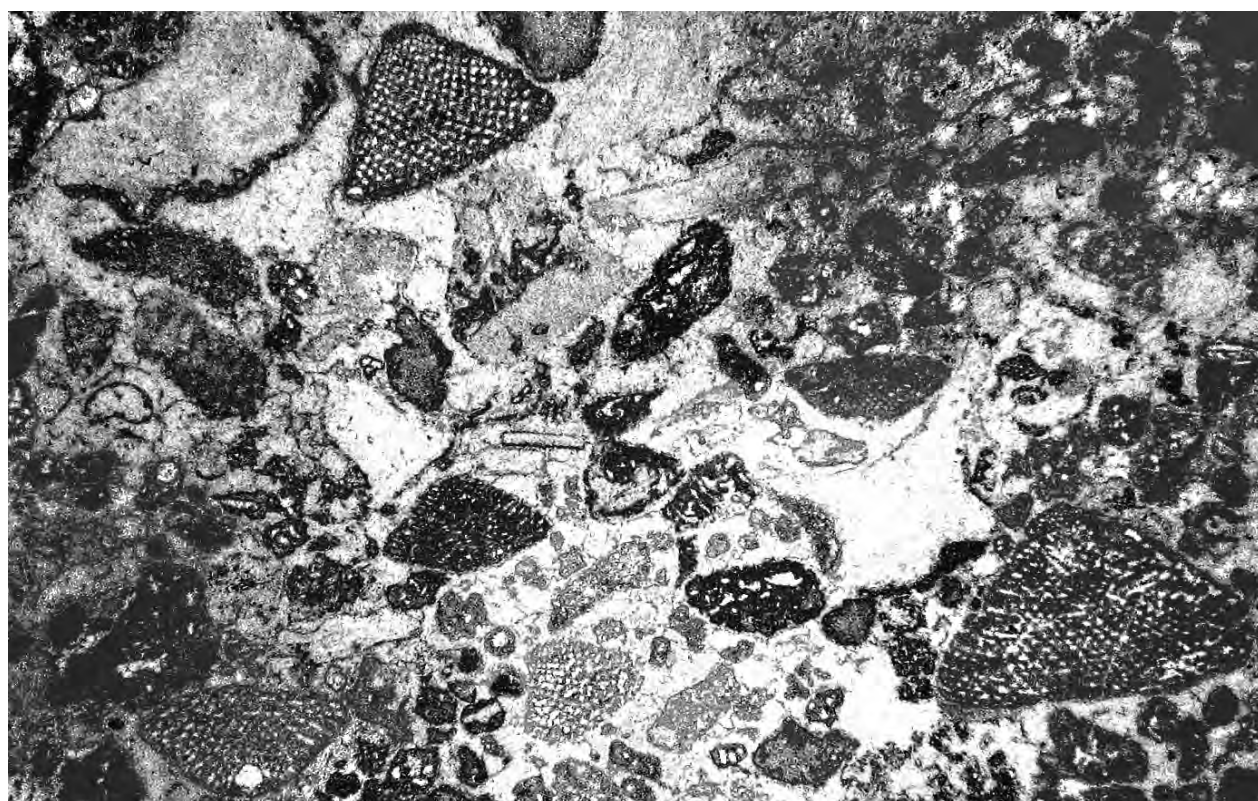
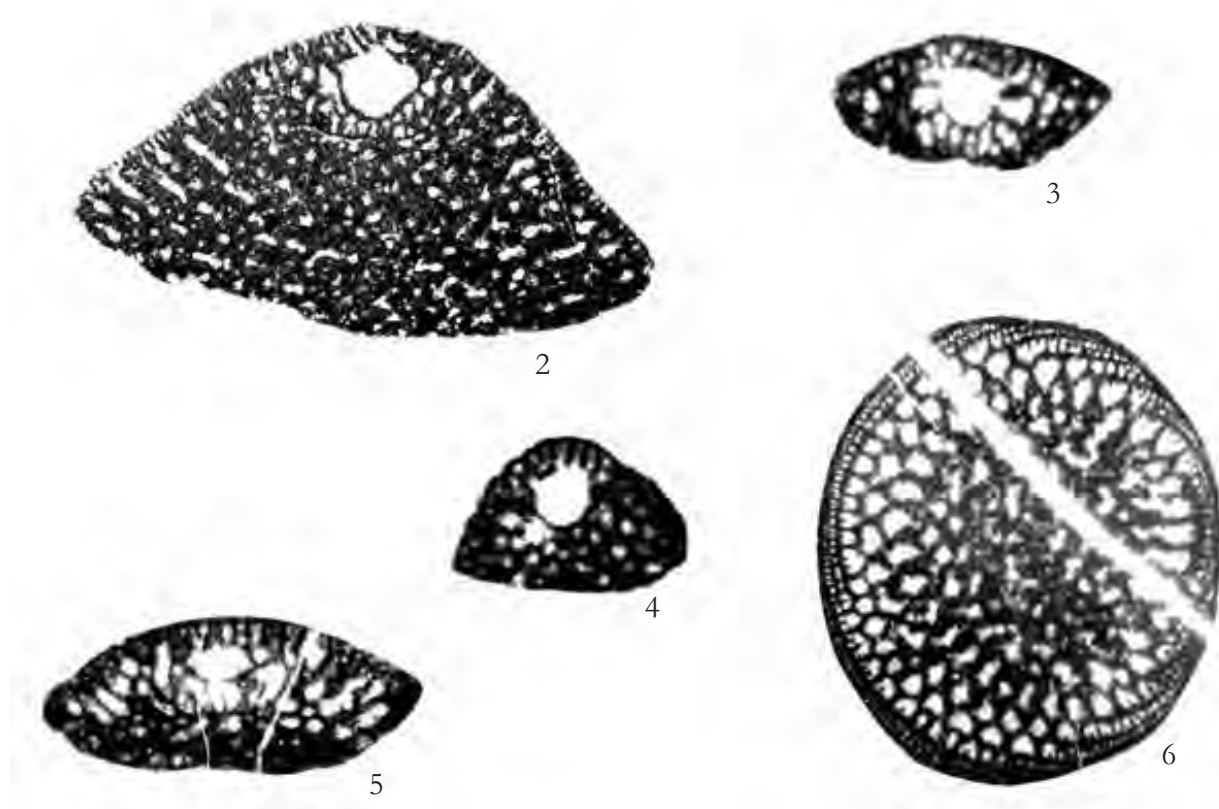


Fig. 1 – Grainstone con *Orbitolina (Mesorbitolina) texana* e rari altri Foraminiferi bentonici. $\times 15$
 – Grainstone with *Orbitolina (Mesorbitolina) texana* and rare other benthic Foraminifera. $\times 15$



Figg. 2-6 – Sezioni variamente orientate di *Orbitolina (Mesorbitolina) texana*. $\times 40$
 – Variously oriented sections of *Orbitolina (Mesorbitolina) texana*. $\times 40$

La microfacies di fig. 1 e gli individui delle figg. 2-6 provengono dalla sezione stratigrafica di Colle Sant'Angelo, Monte Cairo (Lazio meridionale).

Parte inferiore della biozona a Archaealveolina reicheli.

– The microfacies of fig. 1 and the specimens of figs. 2-6 from Colle Sant'Angelo stratigraphic section, Cairo Mt. (Southern Lazio).
 Lower part of the Archaealveolina reicheli biozone.

APTIANO SUPERIORE

UPPER APTIAN

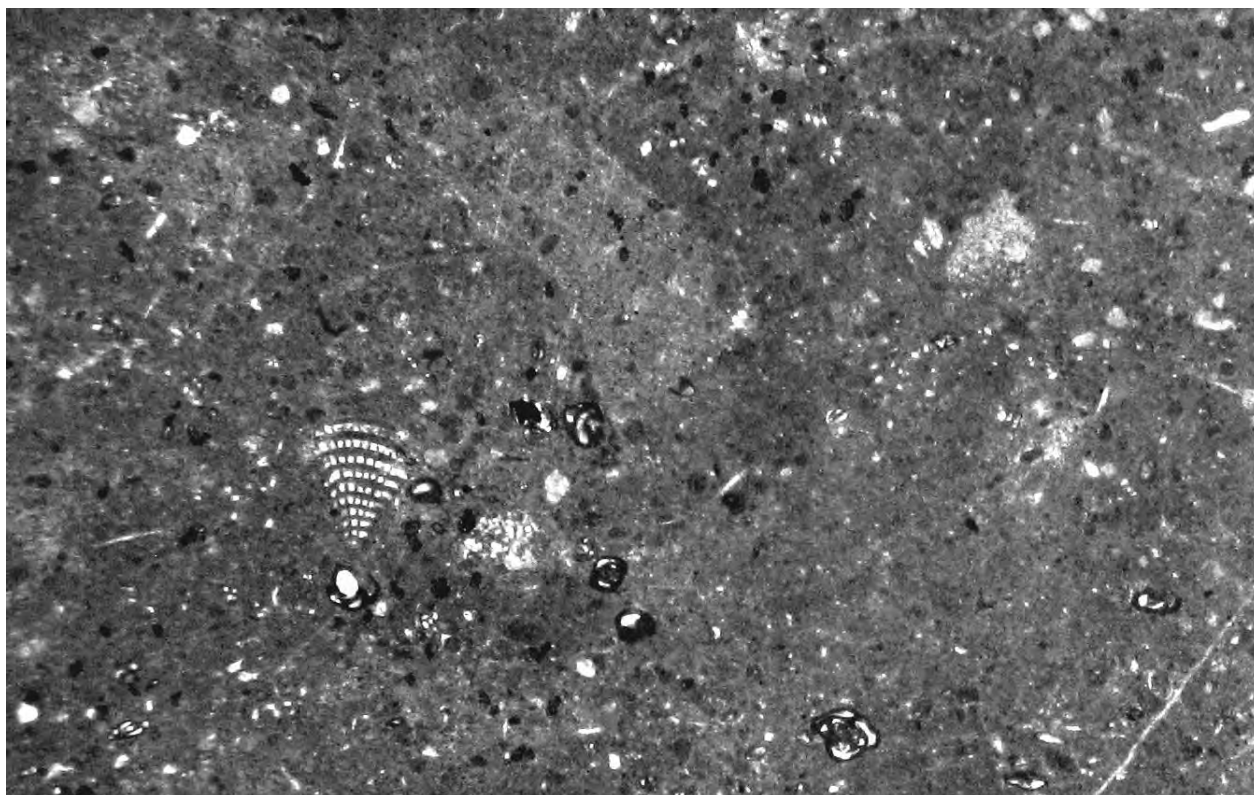
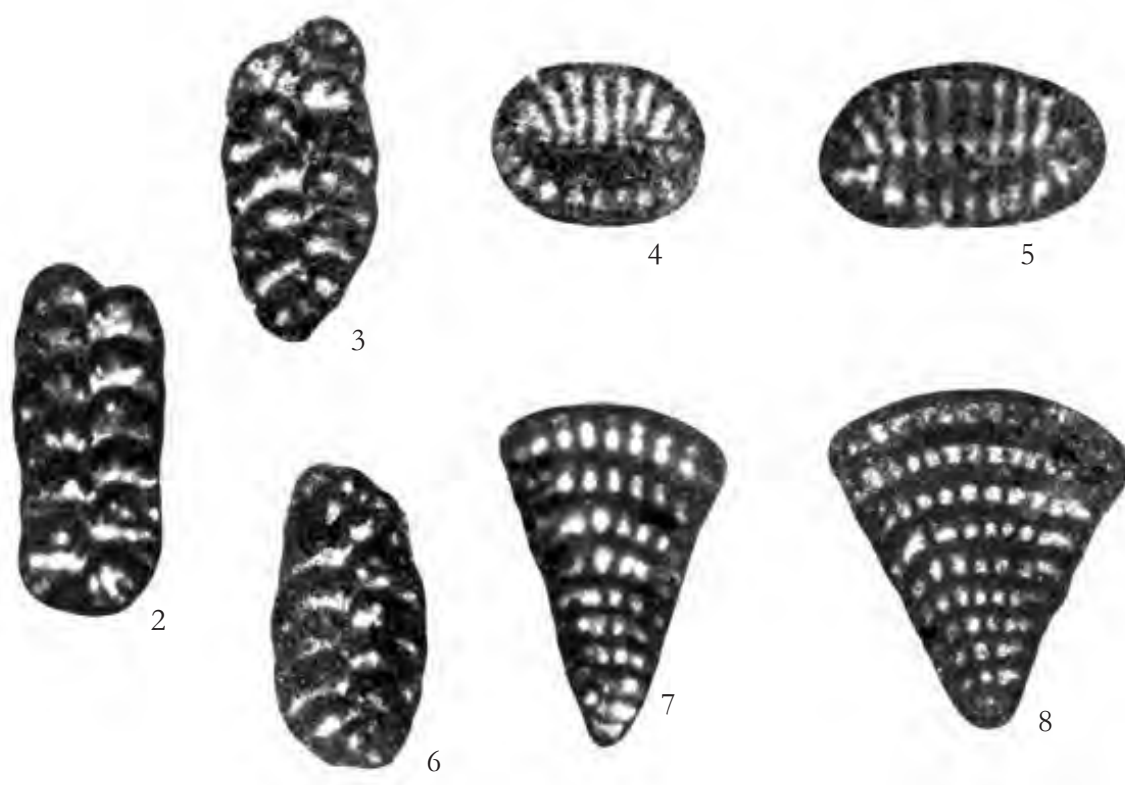


Fig. 1 – Wackestone con *Cuneolina laurentii*, Miliolidae e altri Foraminiferi bentonici. x 25
– Wackestone with *Cuneolina laurentii*, Miliolidae and other benthic Foraminifera. x 25



Figg. 2-8 – Sezioni variamente orientate di individui riferibili a *Cuneolina laurentii*. x 72
– Variously oriented sections of specimens referred to *Cuneolina laurentii*. x 72

La microfacies di fig. 1 e gli individui delle figg. 2-8 provengono dalla sezione stratigrafica di Serra del Pruno, Monti Ausoni (Lazio meridionale).

Biozona a Archaealveolina reicheli.

APTIANO SUPERIORE

– The microfacies of fig. 1 and the specimens of figs. 2-8 from Serra del Pruno stratigraphic section, Ausoni Mts. (Southern Lazio).

Archaealveolina reicheli biozone.

UPPER APTIAN

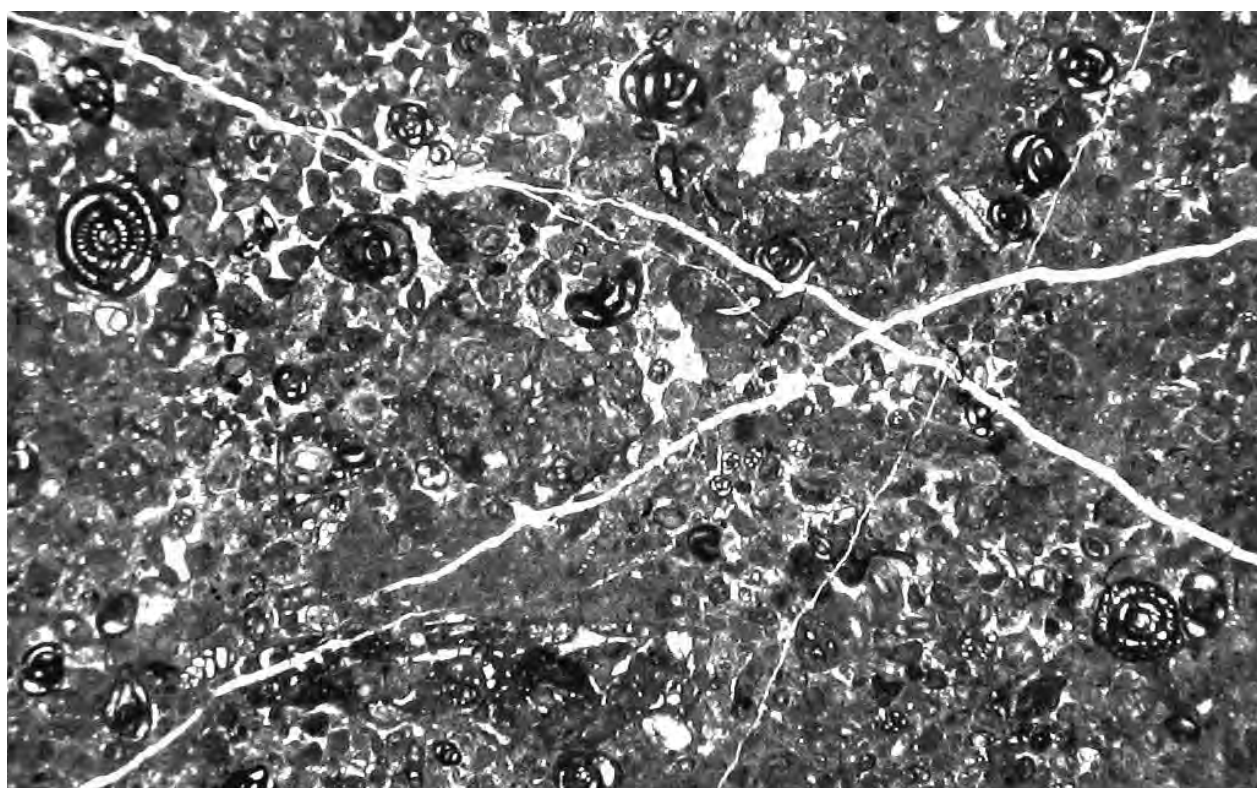
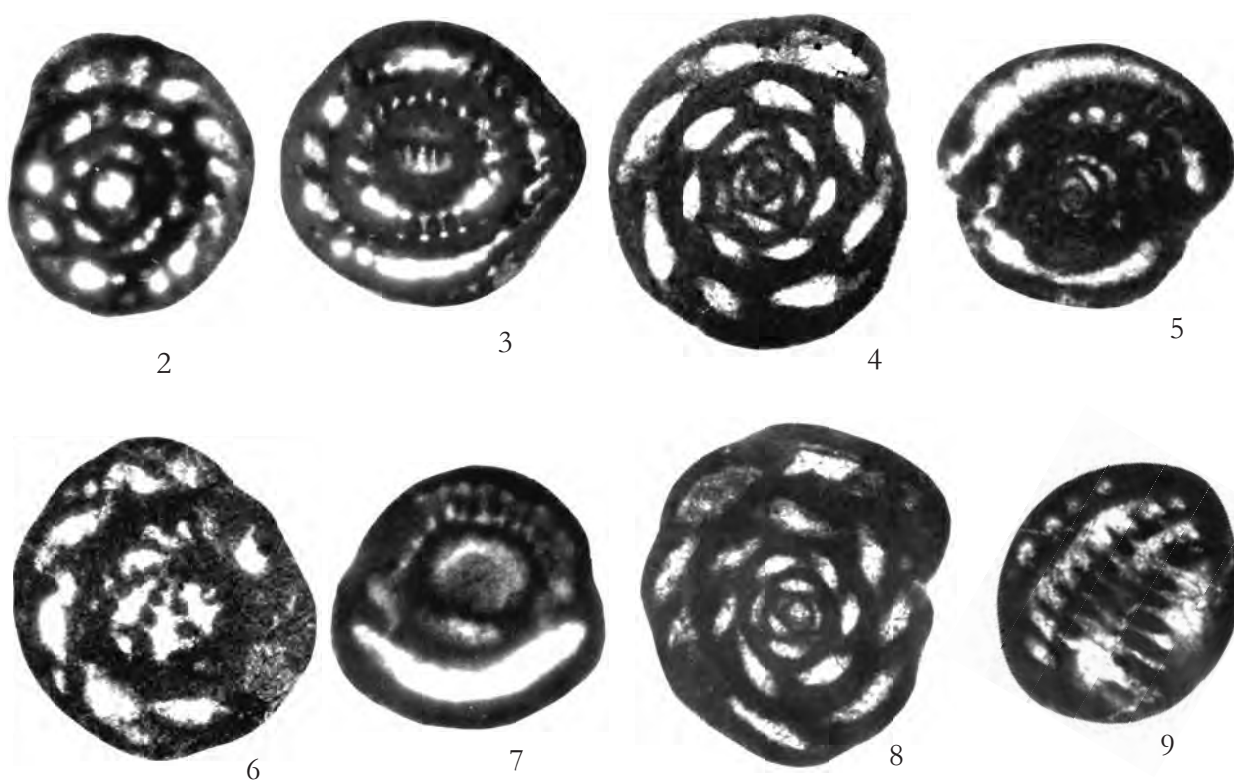


Fig. 1 – Packstone mal classato con *Archaealveolina reicheli*, Miliolidae e altri Foraminiferi bentonici. $\times 40$
 – Poorly sorted packstone with *Archaealveolina reicheli*, Miliolidae and other benthic Foraminifera. $\times 40$



Figg. 2-9 – Sezioni variamente orientate di individui riferibili a *Archaealveolina reicheli*. $\times 60$
 – Variously oriented sections of specimens referred to *Archaealveolina reicheli*. $\times 60$

La microfacies di fig. 1 e gli individui delle figg. 4-8 provengono dalla sezione stratigrafica di Monte La Civita mentre la fig. 2 dalla sezione stratigrafica di Fonte Ottorile, Monti Aurunci; gli esemplari di figg. 3 e 9 dalla sezione stratigrafica di Serra del Pruno, Monti Ausoni (Lazio meridionale).

Biozona a *Archaealveolina reicheli*.

APTIANO SUPERIORE

– The microfacies of fig. 1 and the specimens of figs. 4-8 from La Civita Mt. stratigraphic section, the specimen of fig. 2 instead from Fonte Ottorile stratigraphic section, Aurunci Mts.; the specimens of figs. 3 and 9 from Serra del Pruno stratigraphic section, Ausoni Mts. (Southern Lazio).

Archaealveolina reicheli biozone.

UPPER APTIAN

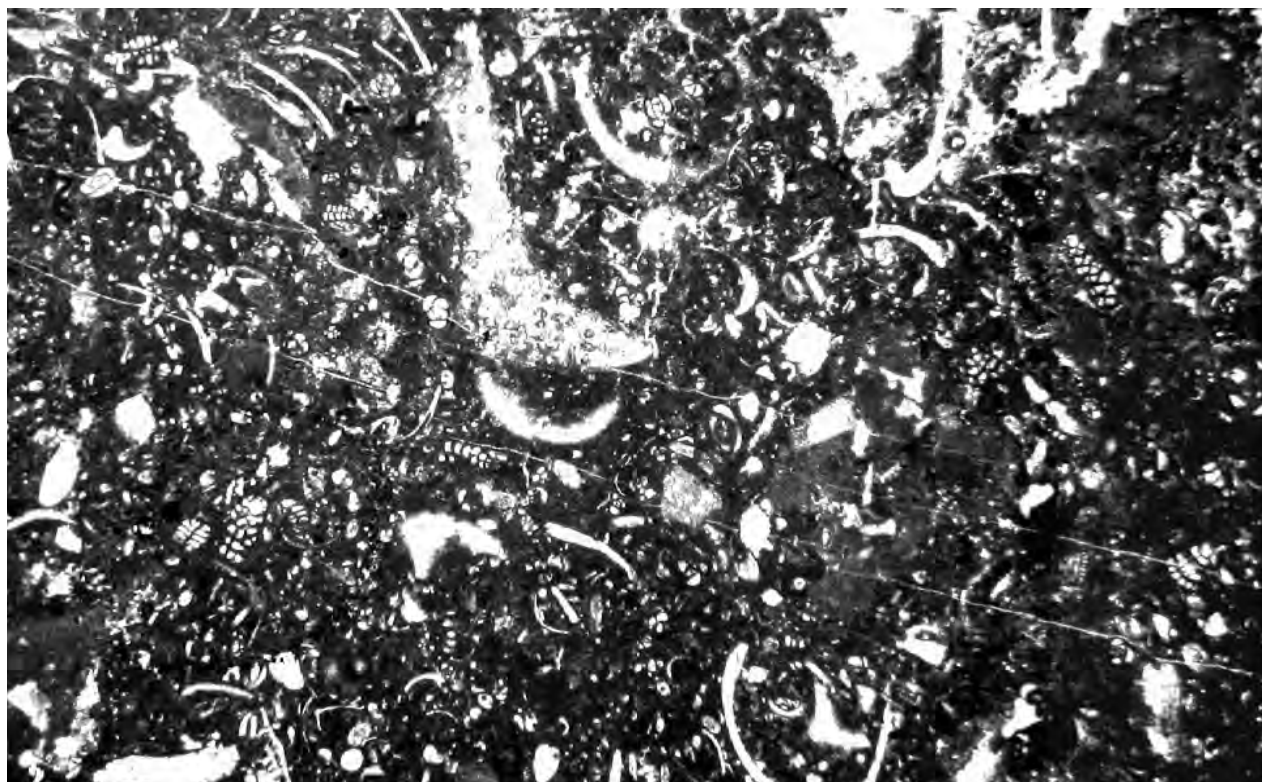
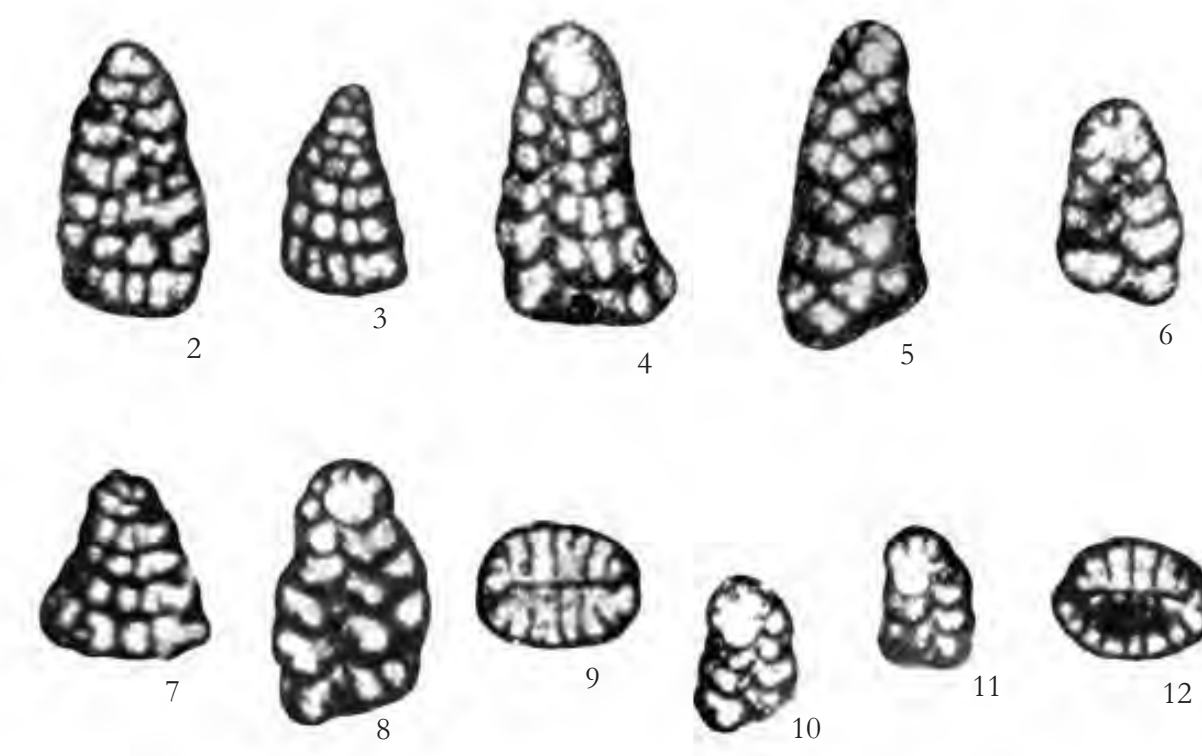


Fig. 1—Wackestone con *Cuneolina sliteri*, *Nezzazata isabellae*, Miliolidae, altri Foraminiferi bentonici e resti di Mollusca. $\times 30$
— Wackestone with *Cuneolina sliteri*, *Nezzazata isabellae*, Miliolidae, other benthic Foraminifera and Mollusca remains. $\times 30$



Figg. 2-12 — Sezioni variamente orientate di individui riferibili a *Cuneolina sliteri*. $\times 82$
— Variously oriented sections of specimens referred to *Cuneolina sliteri*. $\times 82$

La microfacies di fig. 1 e gli individui delle figg. 2-3, 5, 7-12 provengono dalla sezione stratigrafica di Colle Santa Lucia, le figg. 4 e 6 dalla sezione stratigrafica di Colle Sant'Angelo, Monte Cairo (Lazio meridionale).

Biozona a Archaealveolina reicheli.

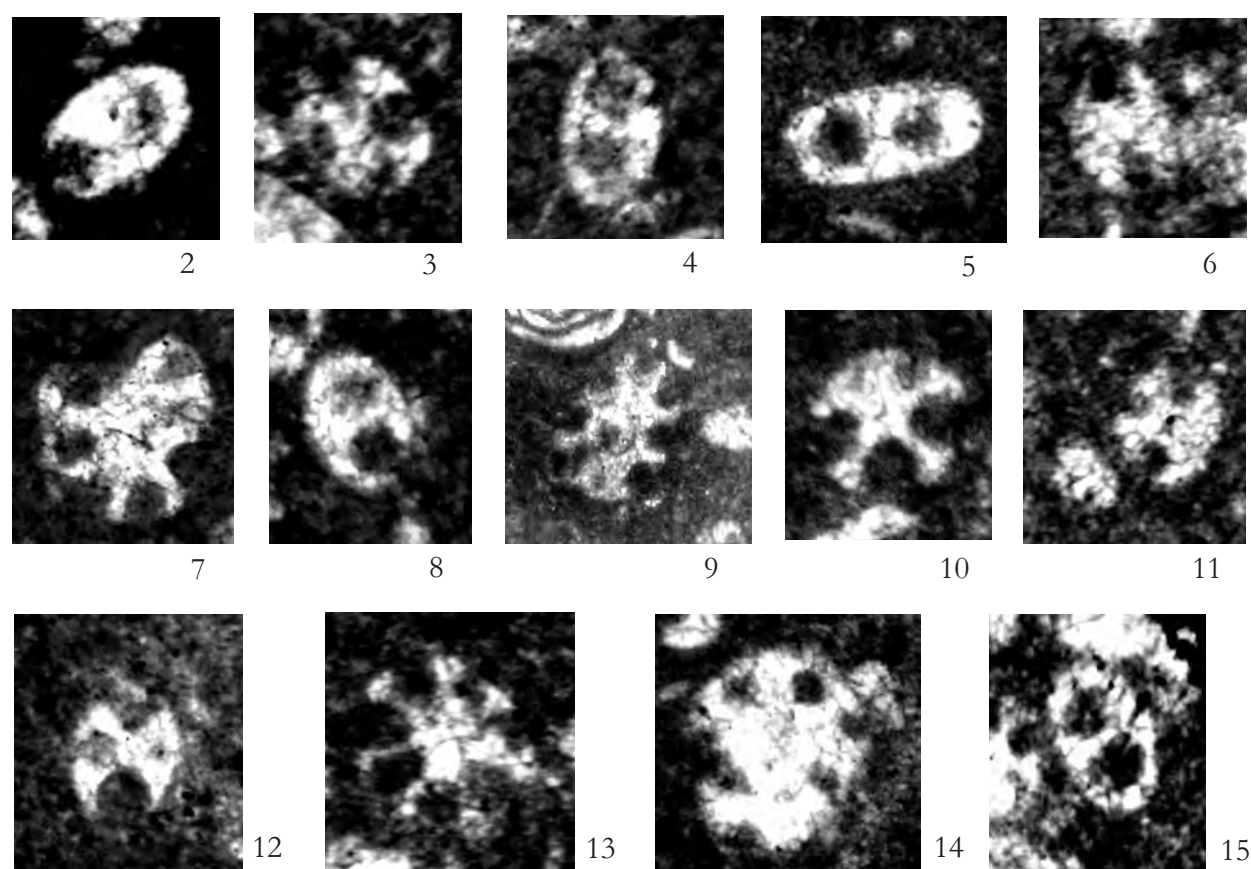
APTIANO SUPERIORE

— The microfacies of fig. 1 and the specimens of figs. 2-3, 5, 7-12 from Colle Santa Lucia stratigraphic section, the specimens of figs. 4 and 6 from Colle Sant'Angelo stratigraphic section, Cairo Mt. (Southern Lazio).
Archaealveolina reicheli biozone.

UPPER APTIAN



Fig. 1 – Floatstone con *Russoella radoicicae*, *Nezzazata isabellae*, Miliolidae, altri Foraminiferi bentonici e resti di Molluschi. $\times 40$
 – *Floatstone with Russoella radoicicae, Nezzazata isabellae, Miliolidae, other benthic Foraminifera and Mollusca remains.* $\times 40$



Figg. 2-15 – Sezioni variamente orientate di individui riferibili a *Russoella radoicicae*. $\times 150$
 – *Variously oriented sections of specimens referred to Russoella radoicicae.* $\times 150$

La microfacies di fig. 1 e gli individui delle figg. 2-15 provengono dalla sezione stratigrafica di Colle Santa Lucia, Monte Cairo (Lazio meridionale).
 Biozona a Archaealveolina reicheli.
 – *The microfacies of fig. 1 and the specimens of figs. 2-15 from Colle Santa Lucia stratigraphic section, Cairo Mt. (Southern Lazio).*
Archaealveolina reicheli biozone.

APTIANO SUPERIORE
 UPPER APTIAN

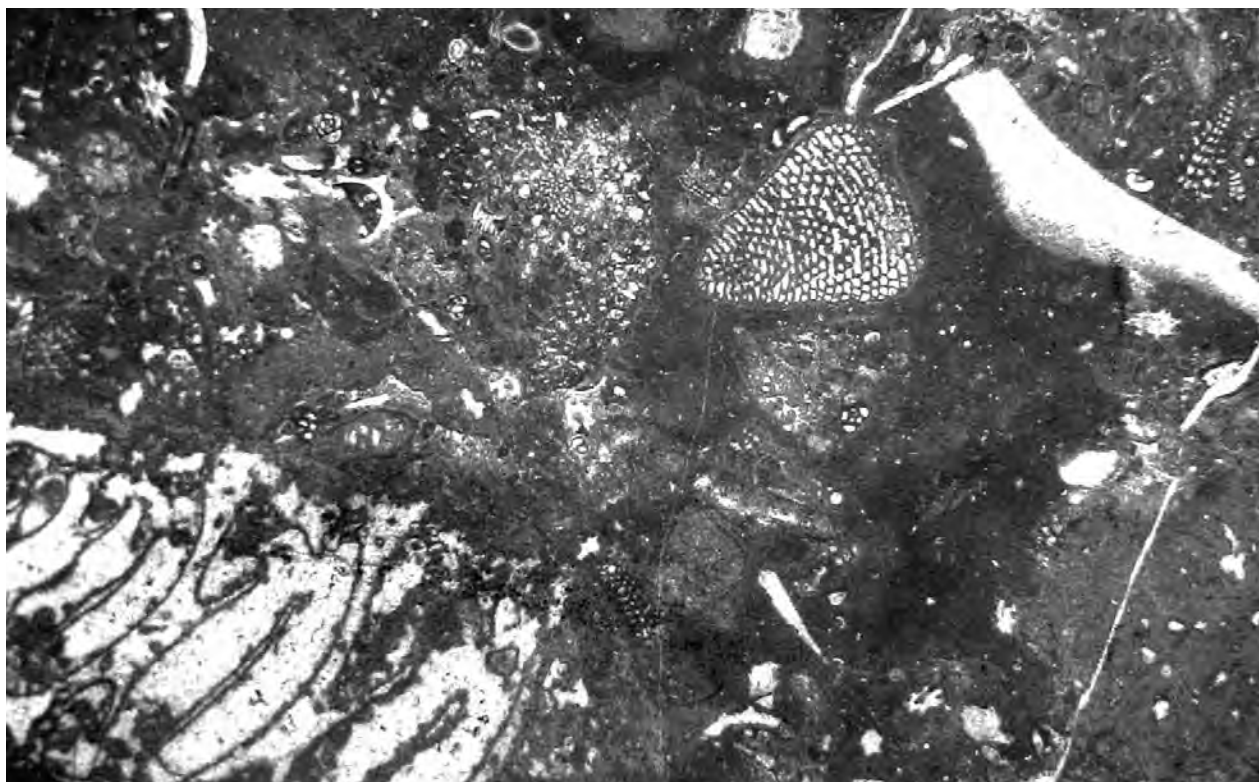
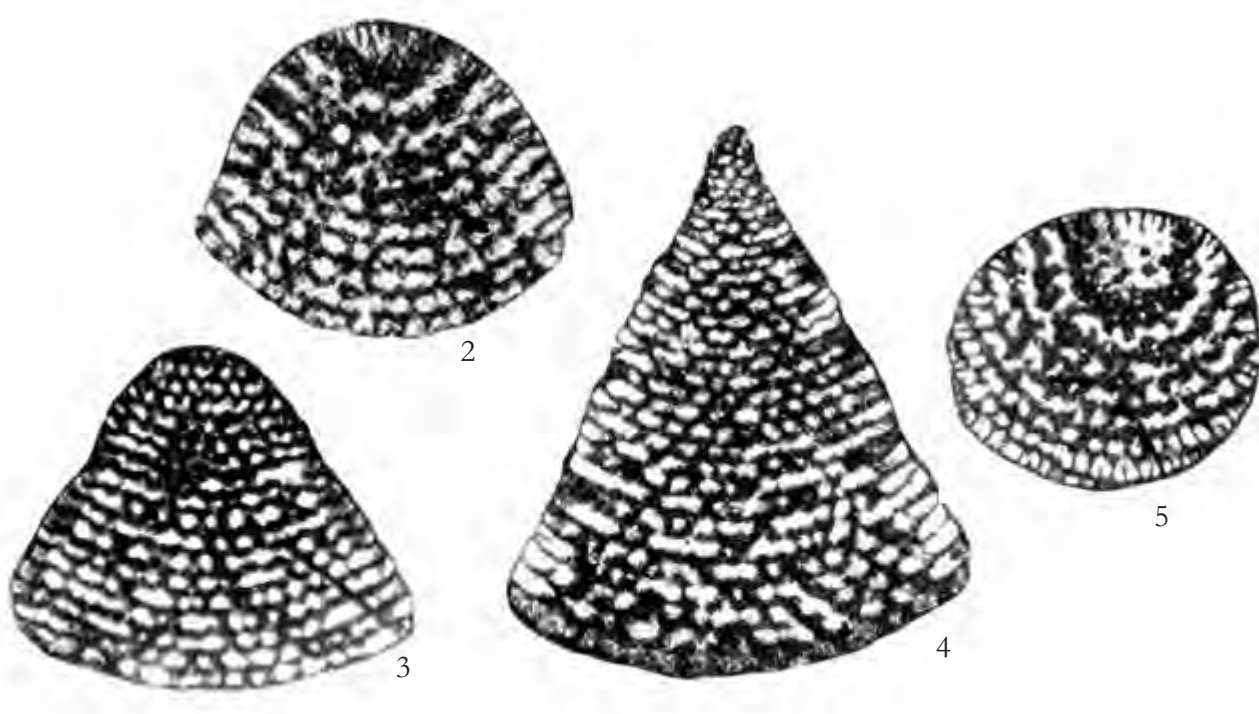


Fig. 1 – Floatstone con *Dictyoconus algerianus*, *Cuneolina* sp., *Coptocampylodon fontis*, Miliolidae e Gastropoda. x 18
– Floatstone with *Dictyoconus algerianus*, *Cuneolina* sp., *Coptocampylodon fontis*, *Miliolidae* and *Gastropoda*. x 18



Figg. 2-5 – Sezioni variamente orientate di individui riferibili a *Dictyoconus algerianus*. x 50
– *Variously oriented sections of specimens referred to Dictyoconus algerianus.* x 50

La microfacies di fig. 1 e gli individui delle figg. 2-5 provengono dalla sezione stratigrafica di Colle Santa Lucia, Monte Cairo (Lazio meridionale).

Parte iniziale della biozona a *Dictyoconus algerianus*.

APTIANO SUPERIORE

– *The microfacies of fig. 1 and the specimens of figs. 2-5 from Colle Santa Lucia stratigraphic section, Cairo Mt. (Southern Lazio).*
Lowermost part of Dictyoconus algerianus biozone.

UPPER APTIAN

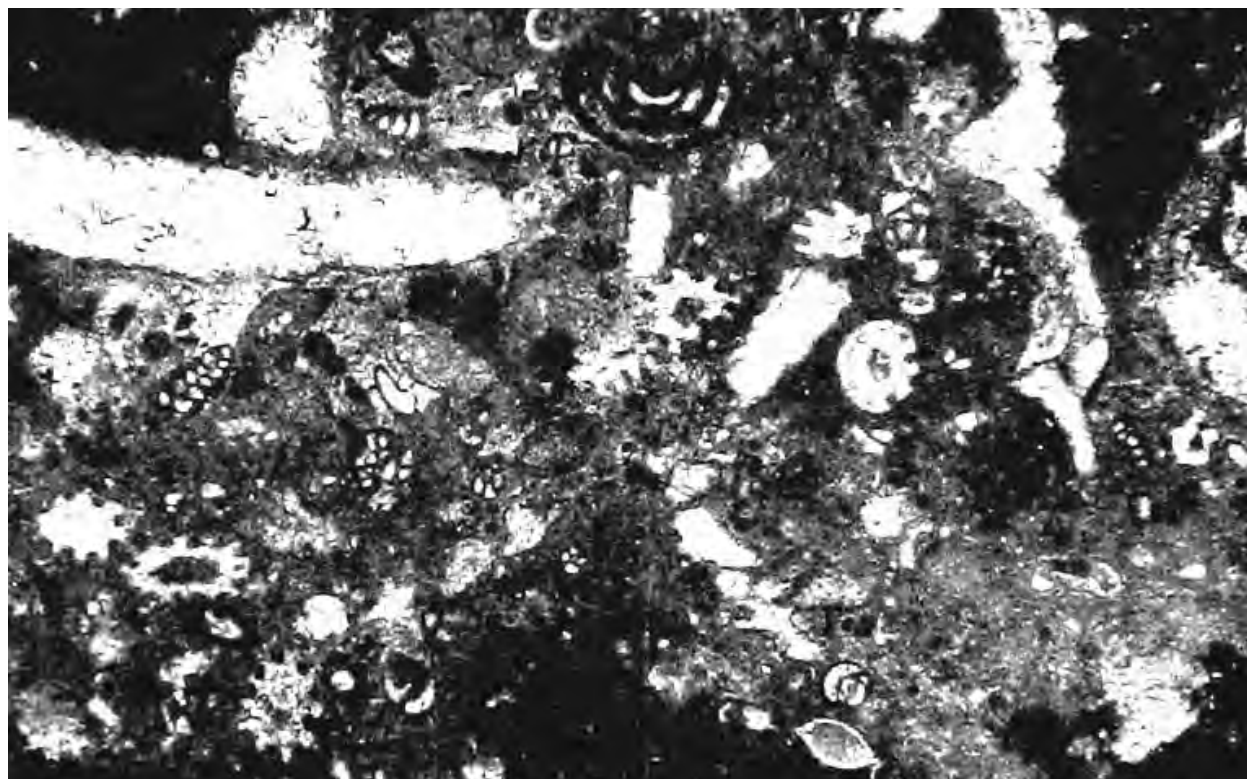
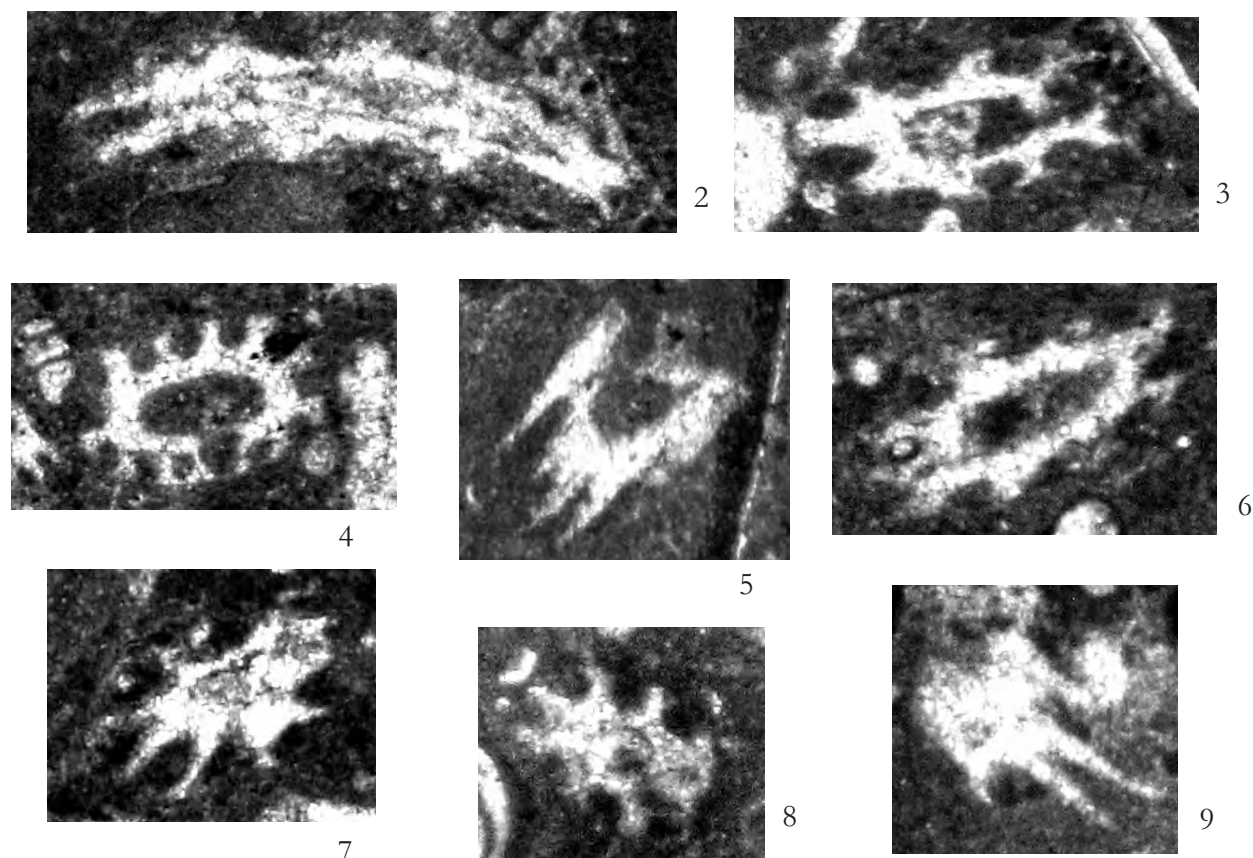


Fig. 1 – Wackestone con *Coptocampylodon fontis*, *Novalesia* sp., Miliolidae, altri Foraminiferi bentonici, Ostracoda e resti di Mollusca. $\times 15$
 – Wackestone with *Coptocampylodon fontis*, *Novalesia* sp., *Miliolidae*, other benthic Foraminifera, Ostracoda and Mollusca remains. $\times 15$



Figg. 2-9 – Sezioni variamente orientate di individui riferibili a *Coptocampylodon fontis*. $\times 35$
 – Variously oriented sections of specimens referred to *Coptocampylodon fontis*. $\times 35$

La microfacies di fig. 1 e gli individui delle figg. 2-9 provengono dalla sezione stratigrafica di Colle Santa Lucia, Monte Cairo (Lazio meridionale).

Parte iniziale della biozona a *Dictyoconus algerianus*.

APTIANO SUPERIORE

– The microfacies of fig. 1 and the specimens of figs. 2-9 from Colle Sana Lucia stratigraphic section, Cairo Mt. (Southern Lazio). Lower part of *Dictyoconus algerianus* biozone.

UPPER APTIAN

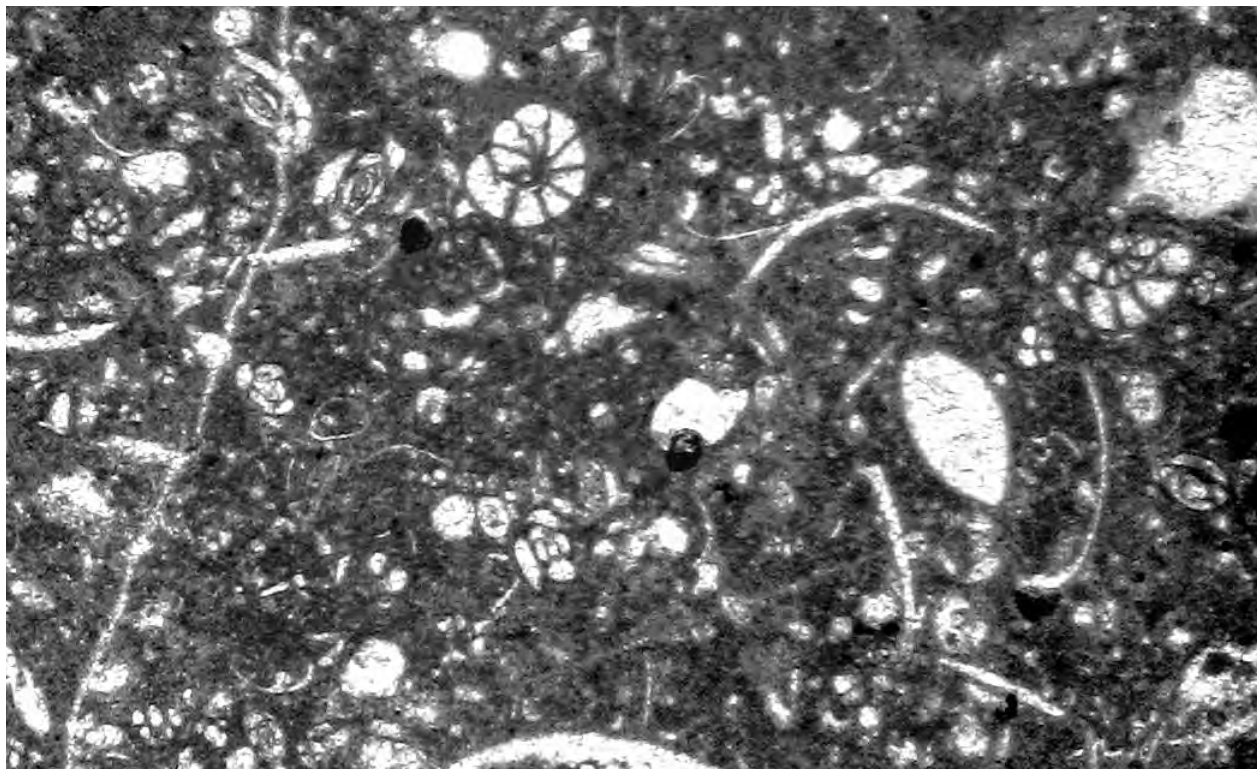
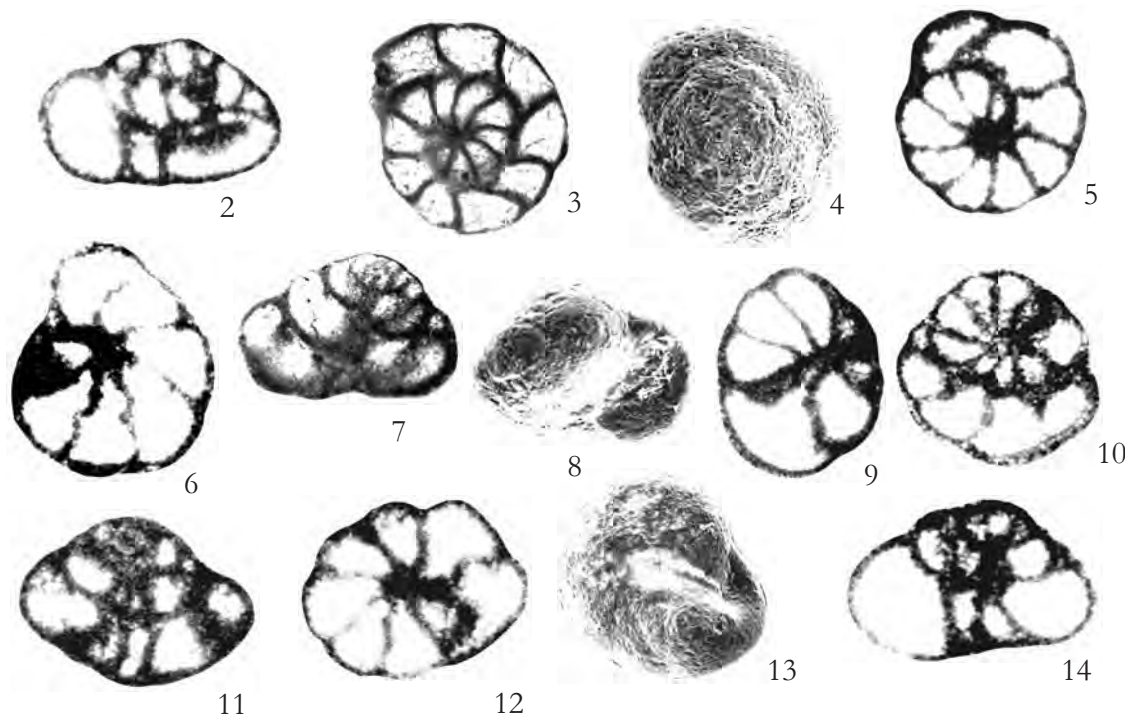


Fig. 1 – Wackestone con *Nezzazata isabellae*, Miliolidae, altri Foraminiferi bentonici, *Russoella radoicicae* e resti di Mollusca. $\times 50$
 – Wackestone with *Nezzazata isabellae*, *Miliolidae* and other benthic Foraminifera, *Russoella radoicicae* and Mollusca remains. $\times 50$



Figg. 2-14 – Individui (4, 8, 13) e sezioni variamente orientate (2-3, 5-7, 9-12, 14) di individui riferibili a *Nezzazata isabellae*.
 $\times 100$
 – Specimens (4, 8, 13) and variously oriented sections (2-3, 5-7, 9-12, 14) of specimens referred to *Nezzazata isabellae*. $\times 100$

La microfacies di fig. 1 e gli individui delle figg. 2-3, 5-6, 9-12, 14 provengono dalla sezione stratigrafica di Colle S. Lucia, Monte Cairo (Lazio meridionale); gli individui delle figg. 4, 7-8, 13 provengono dalla sezione stratigrafica di Fonte Ottorile, Monti Aurunci (Lazio meridionale).

Biozona a *Dictyoconus algerianus*.

APTIANO SUPERIORE

– The microfacies of fig. 1 and the specimens of figs. 2-3, 5-6, 9-12, 14 from Colle Santa Lucia stratigraphic section, Cairo Mt. (Southern Lazio); the specimens of figs. 4, 7-8, 13 from Fonte Ottorile stratigraphic section, Aurunci Mts. (Southern Lazio).
Dictyoconus algerianus biozone.

UPPER APTIAN

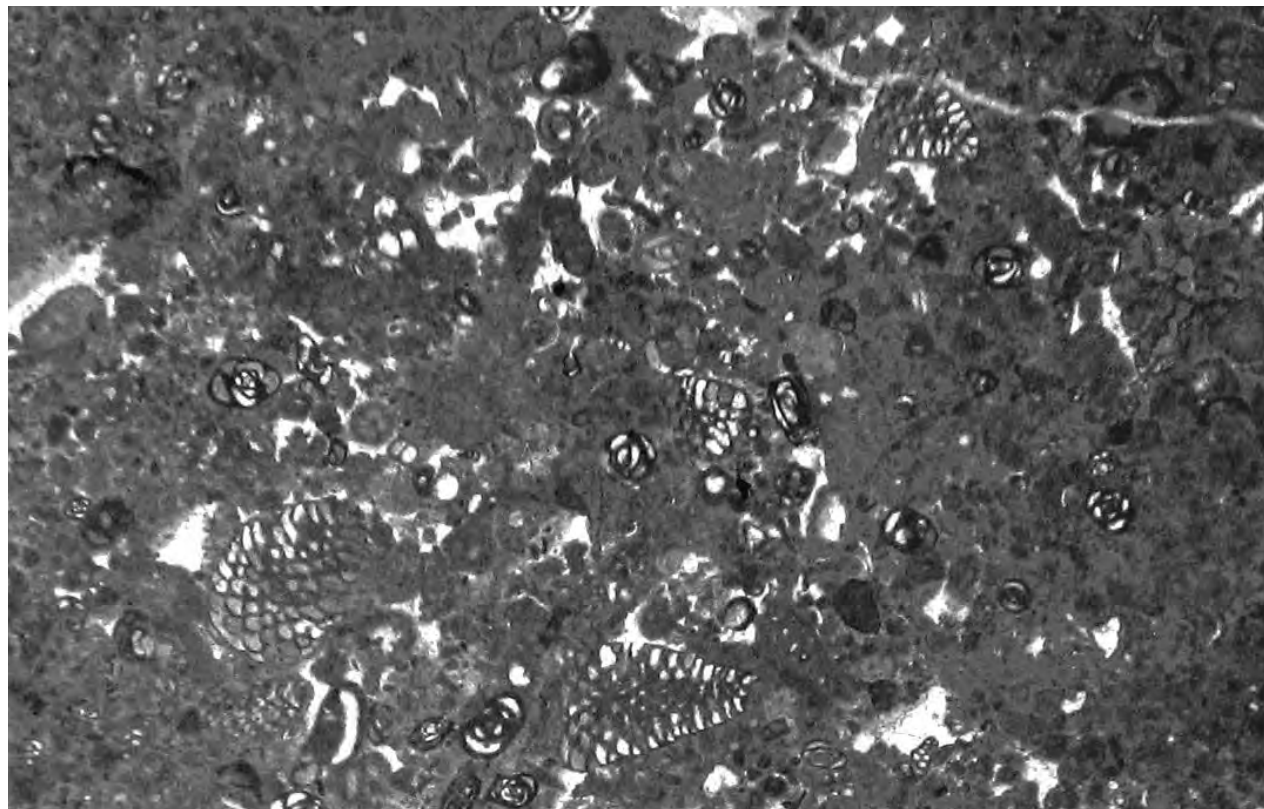
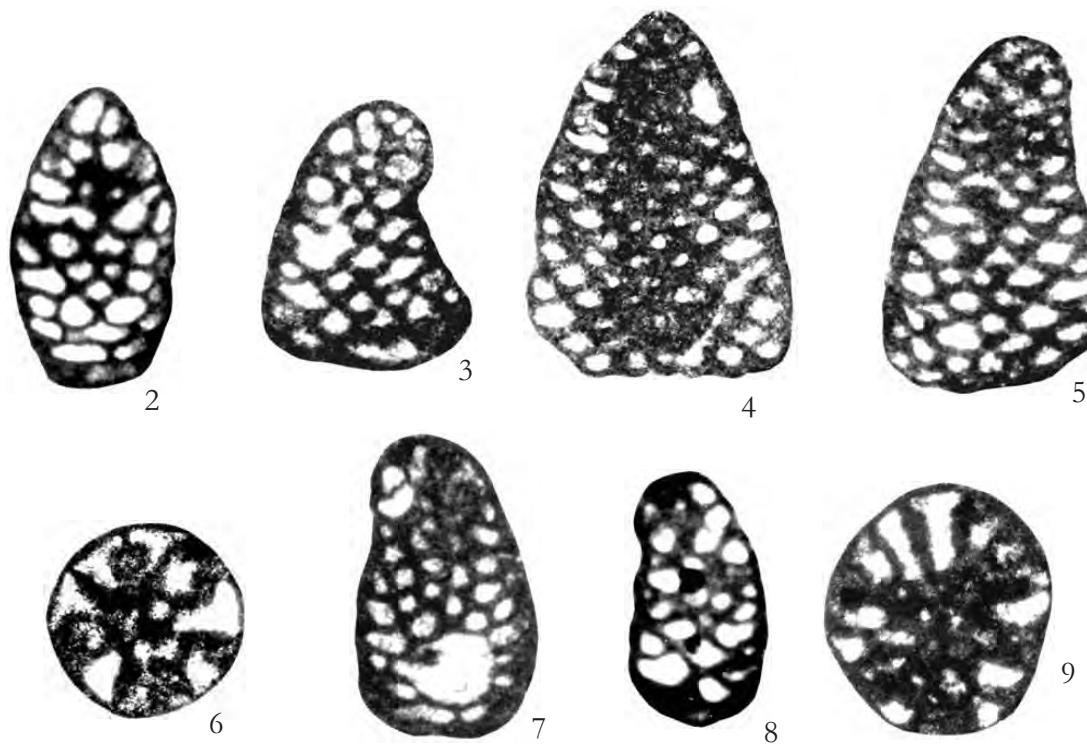


Fig. 1 – Wackestone con *Simplorbitolina aquitanica*, Miliolidae e altri Foraminiferi bentonici. x 35
 – Wackestone with *Simplorbitolina aquitanica*, *Miliolidae* and other benthic Foraminifera. x 35



Figg. 2-9 – Sezioni variamente orientate di individui riferibili a *Simplorbitolina aquitanica*. x 65
 – Variously oriented sections of specimens referred to *Simplorbitolina aquitanica*. x 65

La microfacies di fig. 1 e gli individui delle figg. 2-9 provengono dalla sezione stratigrafica di Serra del Pruno, Monti Ausoni (Lazio meridionale).

Biozona a *Dictyoconus algerianus*.

Limite APTIANO – ALBIANO

– The microfacies of fig. 1 and the specimens of figs. 2-9 from Serra del Pruno stratigraphic section, Ausoni Mts. (Southern Lazio).
Dictyoconus algerianus biozone.

APTIAN – ALBIAN boundary

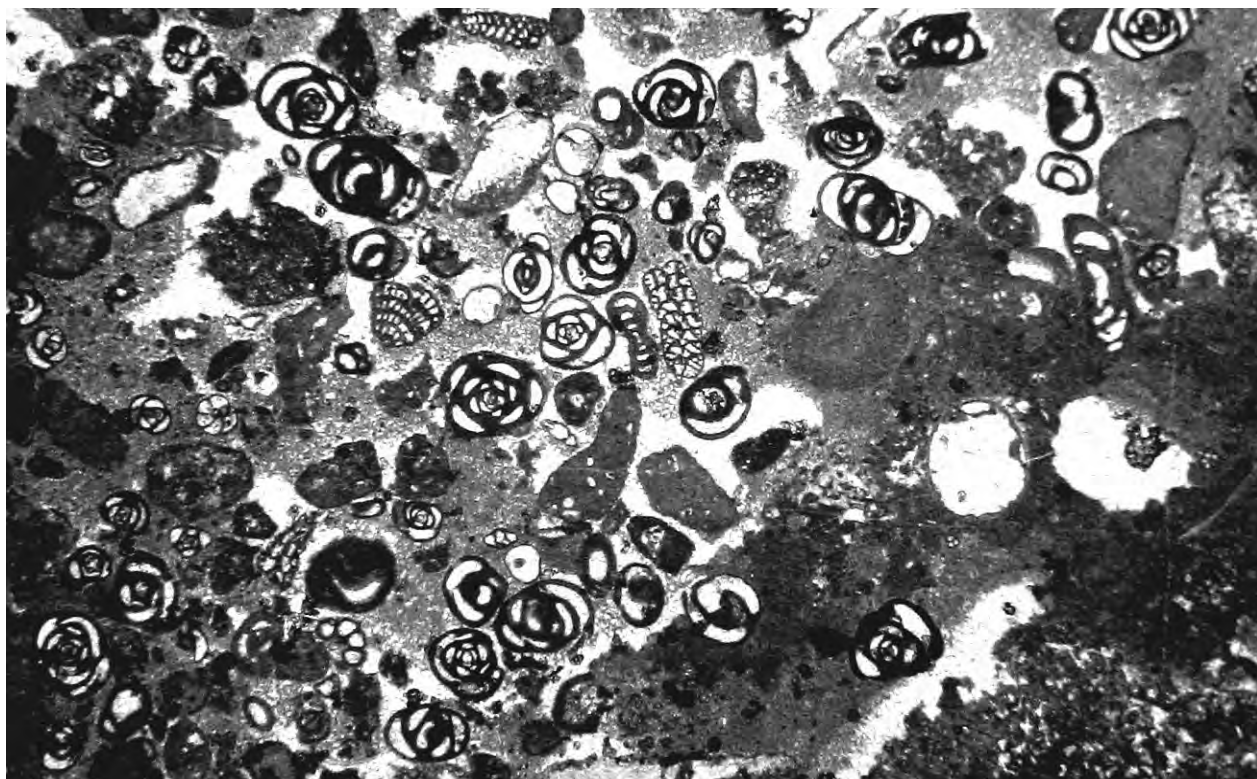


Fig. 1 – Packstone con *Pseudonummoloculina aurigerica*, *Cuneolina* sp., Miliolidae e altri Foraminiferi bentonici. $\times 22$
 – Packstone with *Pseudonummoloculina aurigerica*, *Cuneolina* sp., Miliolidae and other benthic Foraminifera. $\times 22$



Figg. 2-9 – Sezioni variamente orientate di individui riferibili a *Pseudonummoloculina aurigerica*. $\times 45$
 – Variously oriented sections of specimens referred to *Pseudonummoloculina aurigerica*. $\times 45$

La microfacies di fig. 1 e gli individui delle figg. 2-9 provengono dalla sezione stratigrafica di Colle Santa Lucia, Monte Cairo (Lazio meridionale).

Parte inferiore della biozona a Ostracoda e Miliolidae.

ALBIANO INFERIORE

– The microfacies of fig. 1 and the specimens of figs. 2-9 from Colle Santa Lucia stratigraphic section, Cairo Mt. (Southern Latium). Lower part of the Ostracoda and Miliolidae biozone.

LOWER ALBLAN

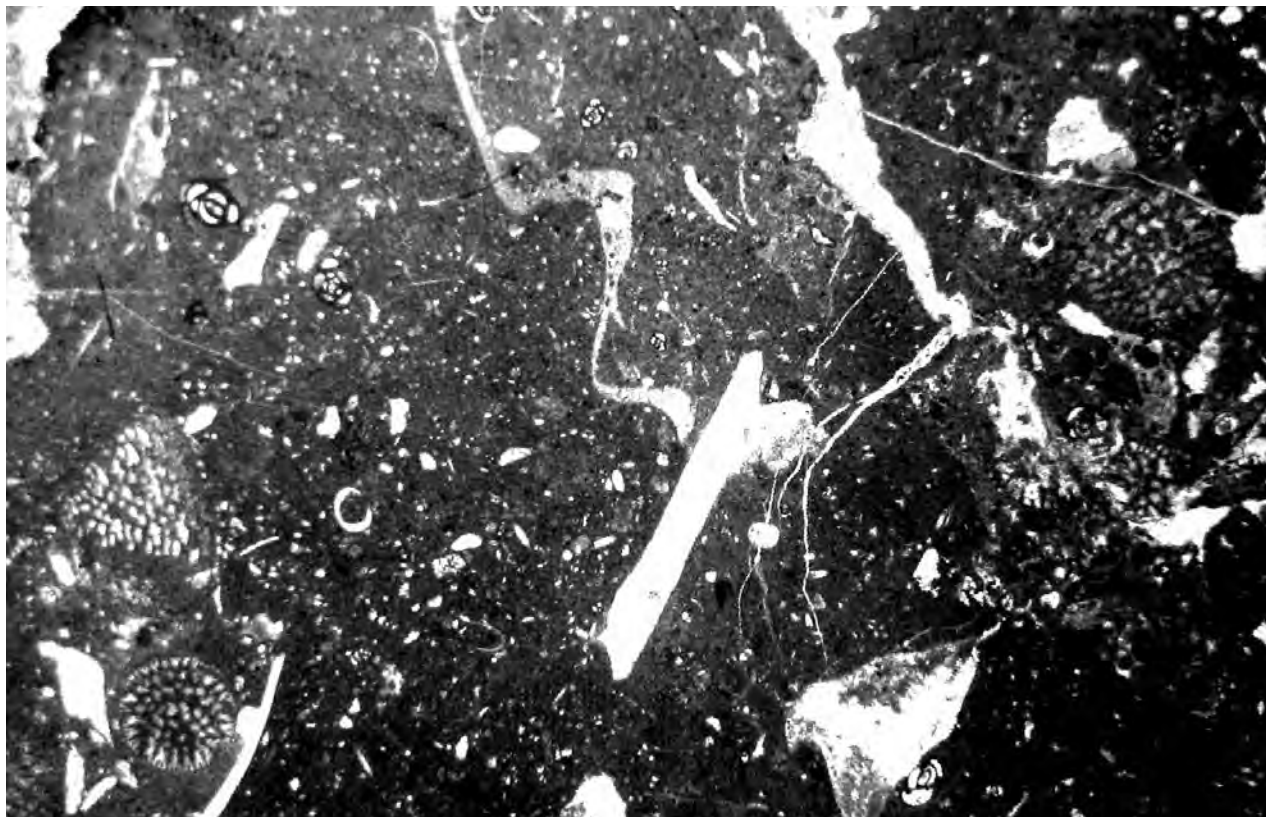
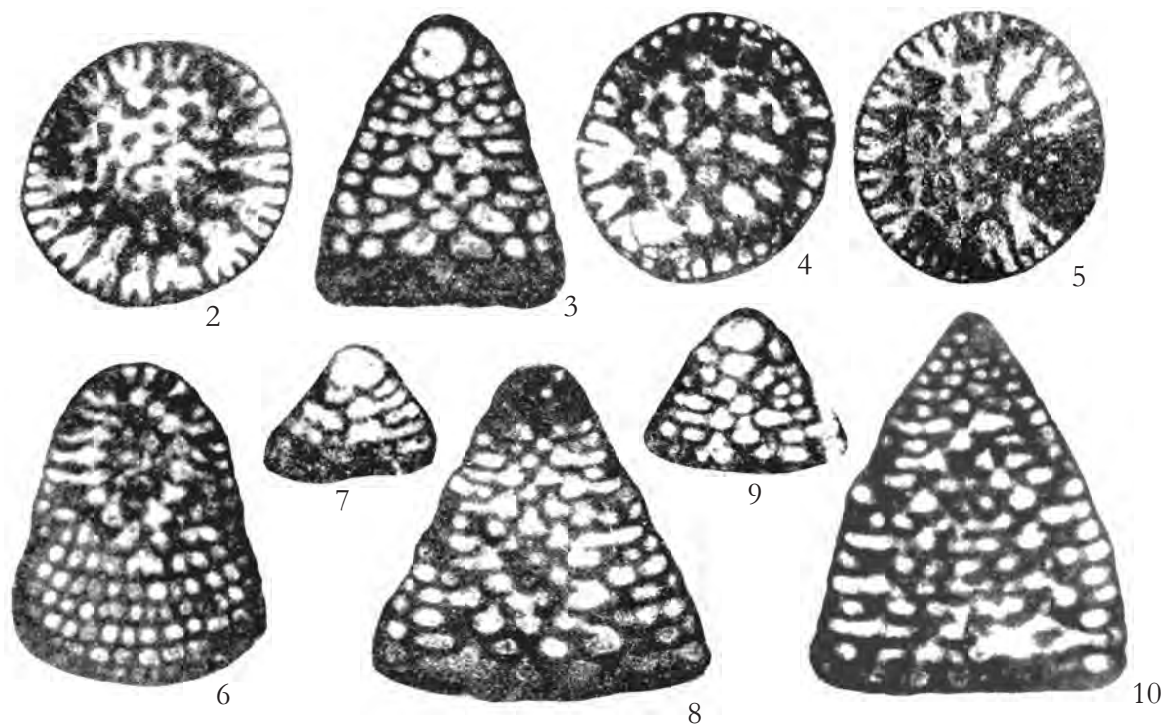


Fig. 1 – Floatstone con *Cribellopsis arnaudae*, Miliolidae e resti di Mollusca. x 18
 – Floatstone with *Cribellopsis arnaudae*, Miliolidae and Mollusca remains. x 18



Figg. 2-10 – Sezioni variamente orientate di individui riferibili a *Cribellopsis arnaudae*. x 40
 – Variously oriented sections of specimens referred to *Cribellopsis arnaudae*. x 40

La microfacies di fig. 1 e gli individui delle figg. 2-10 provengono dalla località tipo, sezione stratigrafica di Monte La Civita, Monti Aurunci (Lazio meridionale).

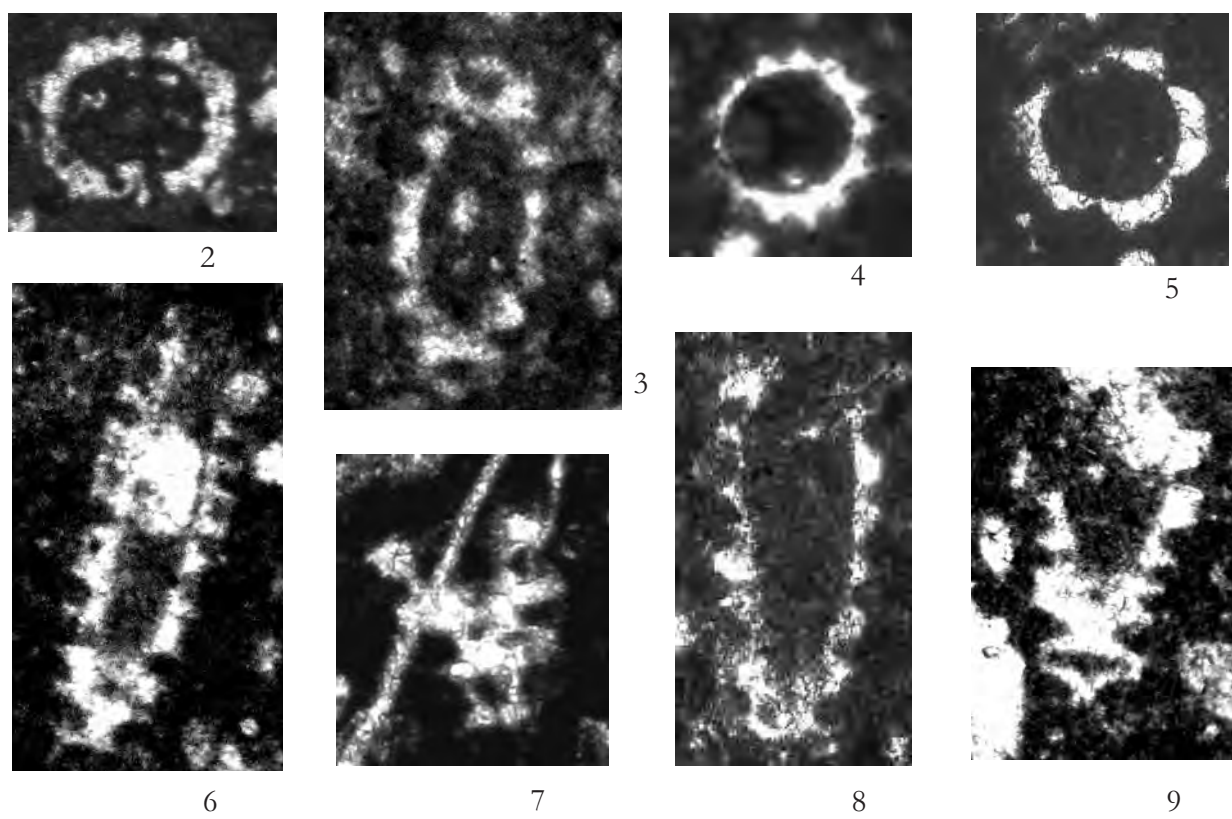
Parte inferiore della biozona a Ostracoda e Miliolidae. Limite ALBIANO INFERIORE – ALBIANO SUPERIORE
 – The microfacies of fig. 1 and the specimens of figs. 2-10 from type-locality, La Civita Mt. stratigraphic section, Aurunci Mts. (Southern Latium).

Lower part of Ostracoda and Miliolidae biozone.

LOWER ALBLAN – UPPER ALBLAN boundary



Fig. 1 – Floatstone con *Salpingoporella basi*, *Cribellopsis arnaudae*, Miliolidae, altri Foraminiferi bentonici e resti di Requieniidae. x 28
 – Floatstone with *Salpingoporella hasi*, *Cribellopsis arnaudae*, *Miliolidae*, other benthic Foraminifera and Requieniidae remains. x 28



Figg. 2-9 – Sezioni variamente orientate di individui riferibili a *Salpingoporella basi*. x 50
 – Variously oriented sections of specimens referred to *Salpingoporella hasi*. x 50

La microfacies di fig. 1 e gli individui delle figg. 2-9 provengono dalla sezione stratigrafica di Monte La Civita, Monti Aurunci (Lazio meridionale).

Biozona a Ostracoda e Miliolidae.

Limite ALBIANO INFERIORE – ALBIANO SUPERIORE

– The microfacies of fig. 1 and the specimens of figs. 2-9 from La Civita Mt. stratigraphic section, Aurunci Mts. (Southern Lazio).
 Ostracoda and Miliolidae biozone.

LOWER ALBLAN – UPPER ALBLAN boundary

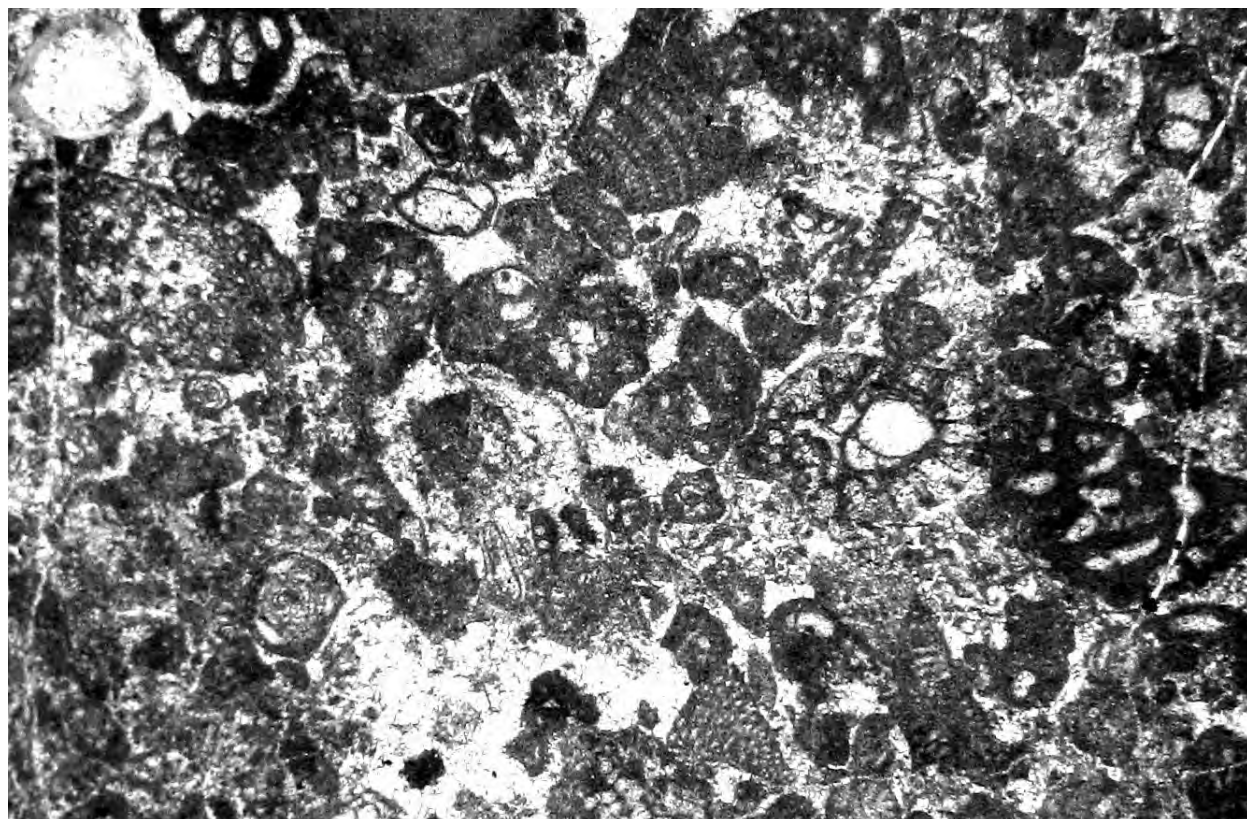
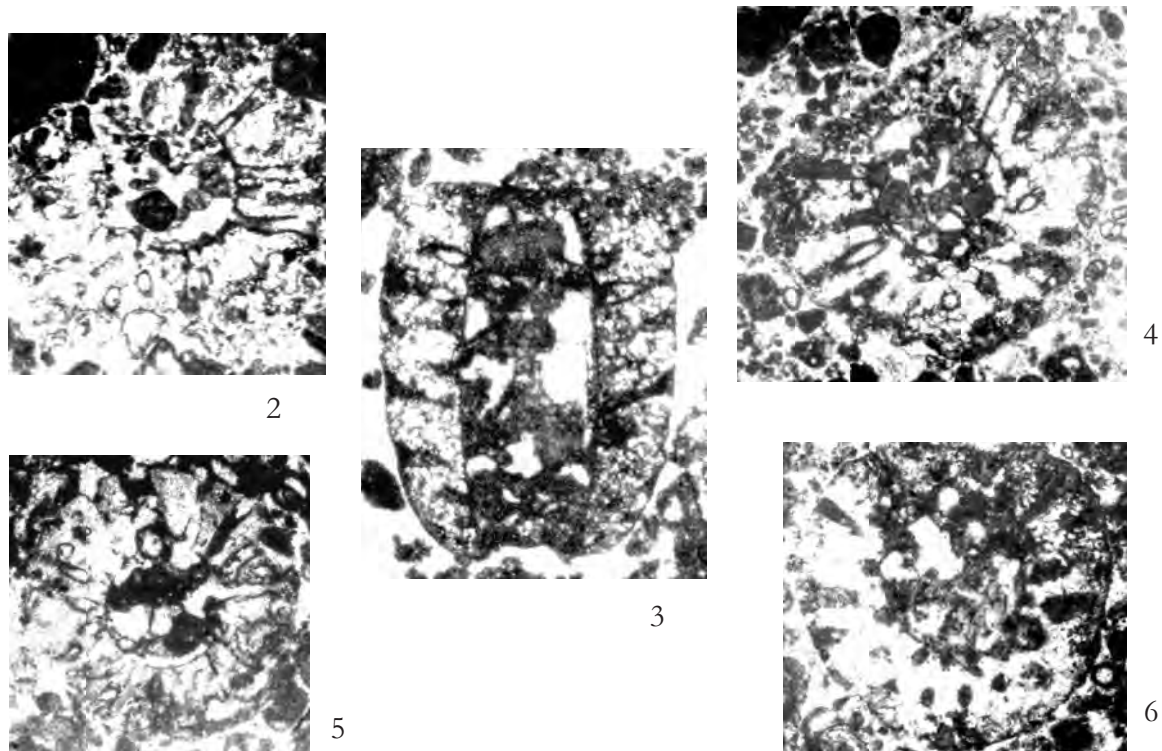


Fig. 1 – Packstone con *Salpingoporella turgida*, *Paracoskinolina prestati*, *Cuneolina* sp. e altri Foraminiferi bentonici. $\times 18$
– Packstone with *Salpingoporella turgida*, *Paracoskinolina prestati*, *Cuneolina* sp. and other benthic Foraminifera. $\times 18$



Figg. 2-6 – Sezioni variamente orientate di individui riferibili a *Salpingoporella turgida*. $\times 30$
– Variously oriented sections of specimens referred to *Salpingoporella turgida*. $\times 30$

La microfacies di fig. 1 e gli individui delle figg. 2-6 provengono della sezione stratigrafica del Monte La Civita, Monti Aurunci (Lazio meridionale).

Biozona a Ostracoda e Miliolidae.

ALBIANO SUPERIORE

– The microfacies of fig. 1 and the specimens of figs. 2-6 from La Civita Mt. stratigraphic section, Aurunci Mts. (Southern Lazio).
Ostracoda and Miliolidae biozone.

UPPER ALBLAN

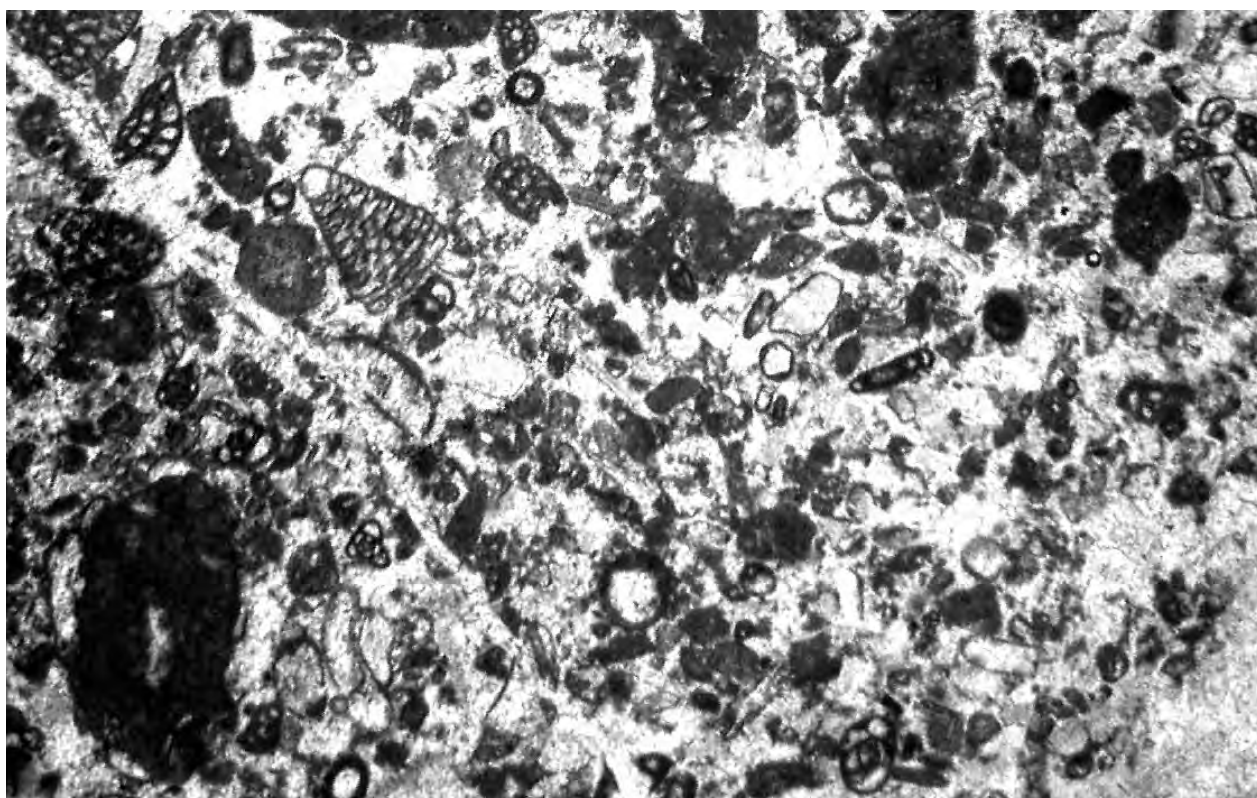
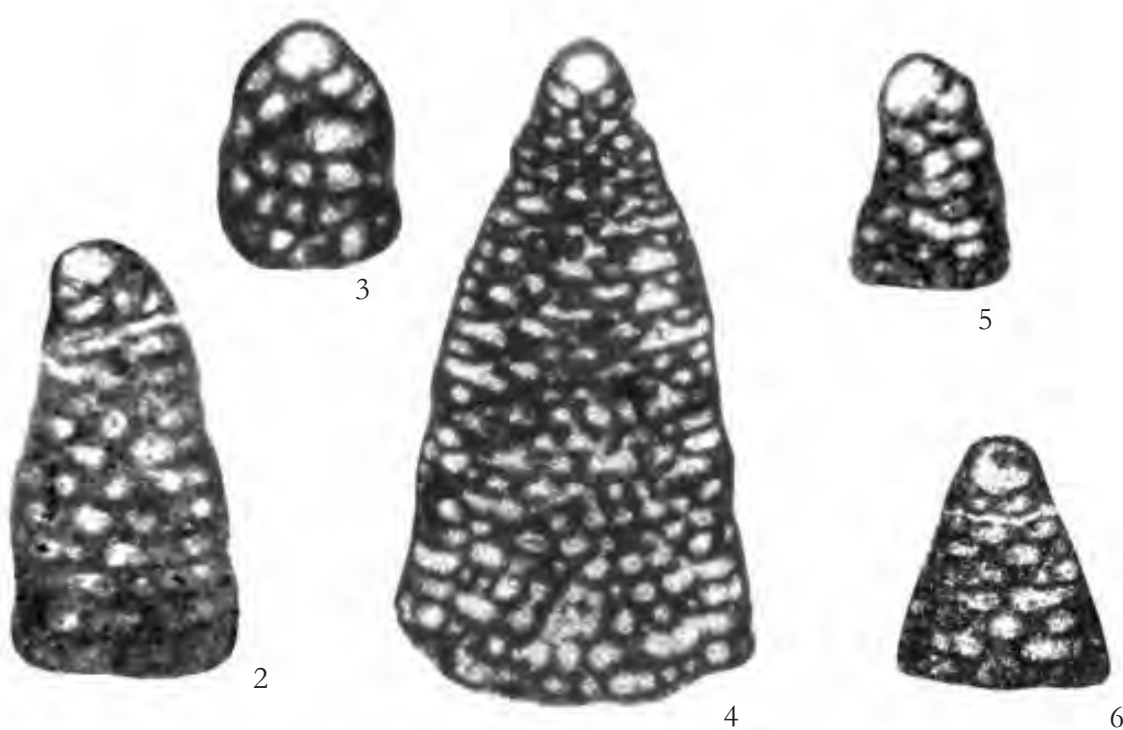


Fig. 1 – Grainstone con *Valdanchella dercourtii*, Miliolidae e altri Foraminiferi bentonici. x 45
 – Grainstone with *Valdanchella dercourtii*, *Miliolidae* and other benthic Foraminifera. x 45



Figg. 2-6 – Sezioni variamente orientate di individui riferibili a *Valdanchella dercourtii*. x 75
 – Variously oriented sections of specimens referred to *Valdanchella dercourtii*. x 75

La microfacies di fig. 1 e gli individui delle figg. 2-3, 5 provengono dalla sezione stratigrafica di Monte La Civita, Monti Aurunci; gli individui delle figg. 4 e 6 dalla sezione stratigrafica di Serra del Pruno, Monti Ausoni (Lazio meridionale).

Biozona a Ostracoda e Miliolidae.

Limite ALBIANO – CENOMANIANO

– The microfacies of fig. 1 and the specimens of figs. 2-3, 5 from Monte La Civita stratigraphic section, Aurunci Mts.; the specimens of figs. 4 and 6 from Serra del Pruno stratigraphic section, Ausoni Mts. (Southern Lazio).

Ostracoda and Miliolidae biozone.

ALBLAN – CENOMANIAN boundary

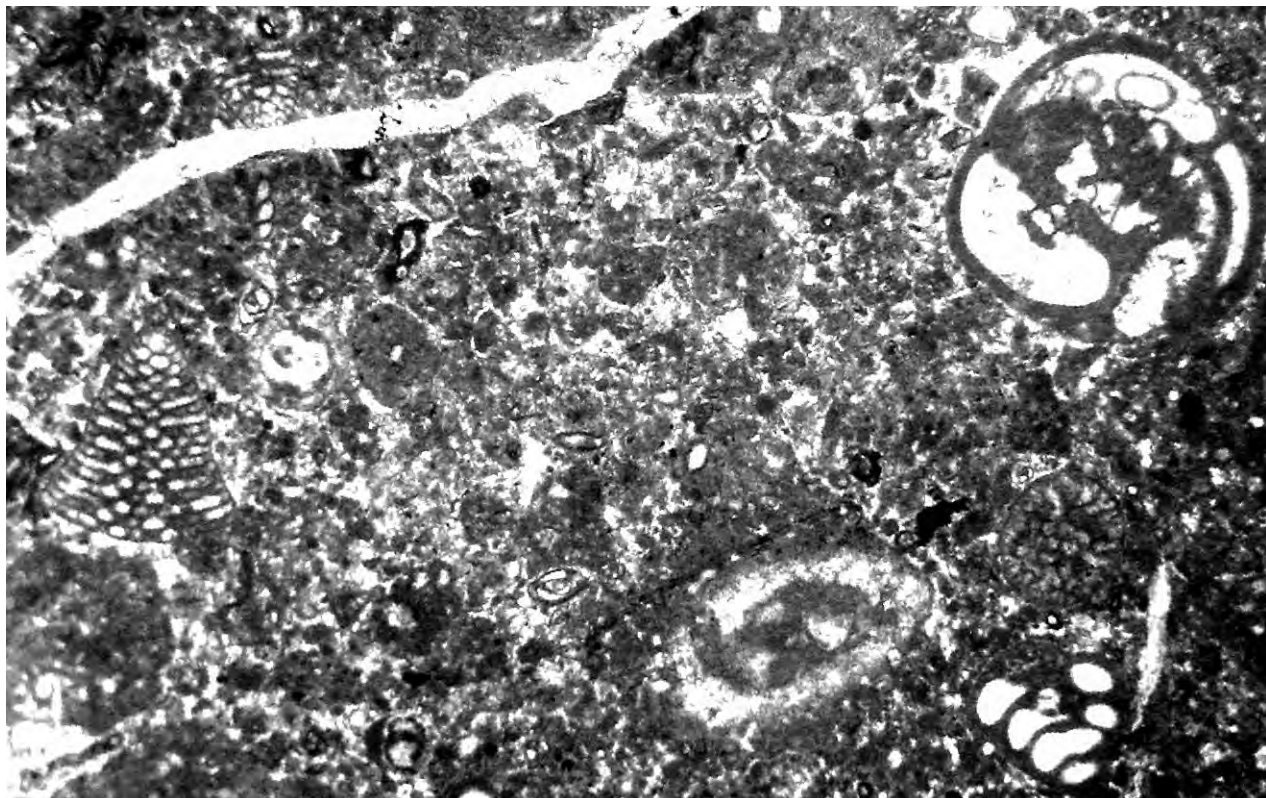
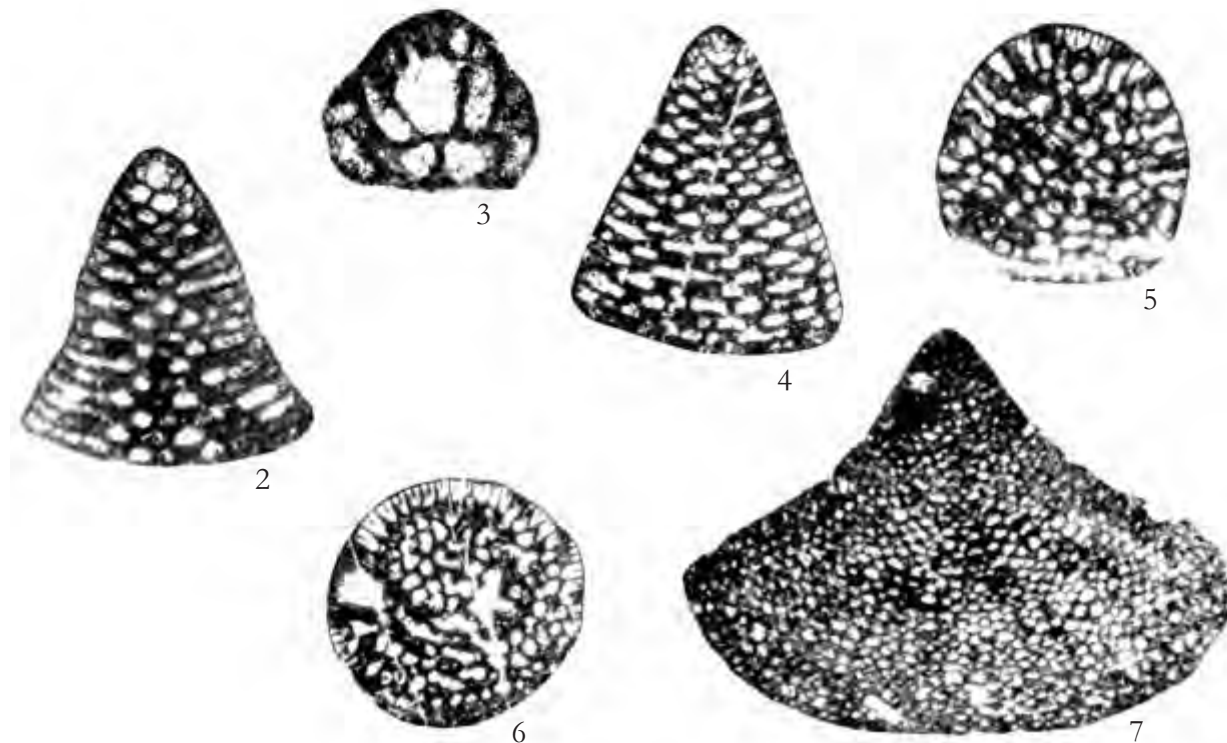


Fig. 1 – Packstone con *Neoiraqia insolita*, *Praechrysalidina infracretacea*, Miliolidae e altri Foraminiferi bentonici. $\times 30$
 – Packstone with *Neoiraqia insolita*, *Praechrysalidina infracretacea*, *Miliolidae* and other benthic foraminifera. $\times 30$



Figg. 2, 4-7 – Sezioni variamente orientate di individui riferibili a *Neoiraqia insolita*. $\times 45$
 – Variously oriented sections of specimens referred to *Neoiraqia insolita*. $\times 45$

Fig. 3 – Sezione dell'apparato embrionario (individuo megalosferico) di *Neoiraqia insolita*. $\times 130$
 – Section of the embryonic apparatus (megalospheric specimen) of *Neoiraqia insolita*. $\times 130$

La microfacies di fig. 1 e gli individui delle figg. 2-7 provengono dalla sezione stratigrafica del Monte La Civita, Monti Aurunci (Lazio meridionale).

Biozona a Ostracoda e Miliolidae.

Limite ALBIANO – CENOMANIANO

– The microfacies of fig. 1 and the specimens of figs. 2-7 from La Civita Mt. stratigraphic section, Aurunci Mts. (Southern Lazio).
 Ostracoda and Miliolidae biozone.

ALBLAN – CENOMANIAN boundary

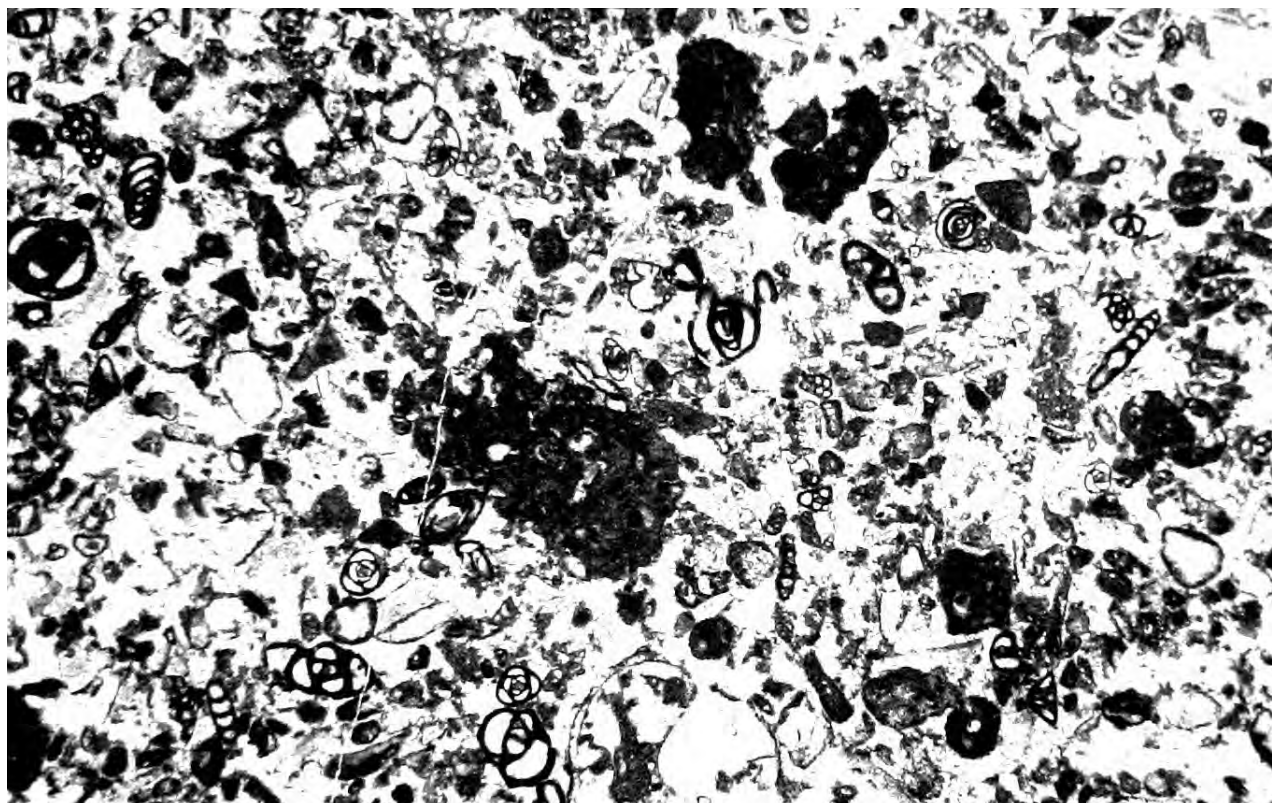
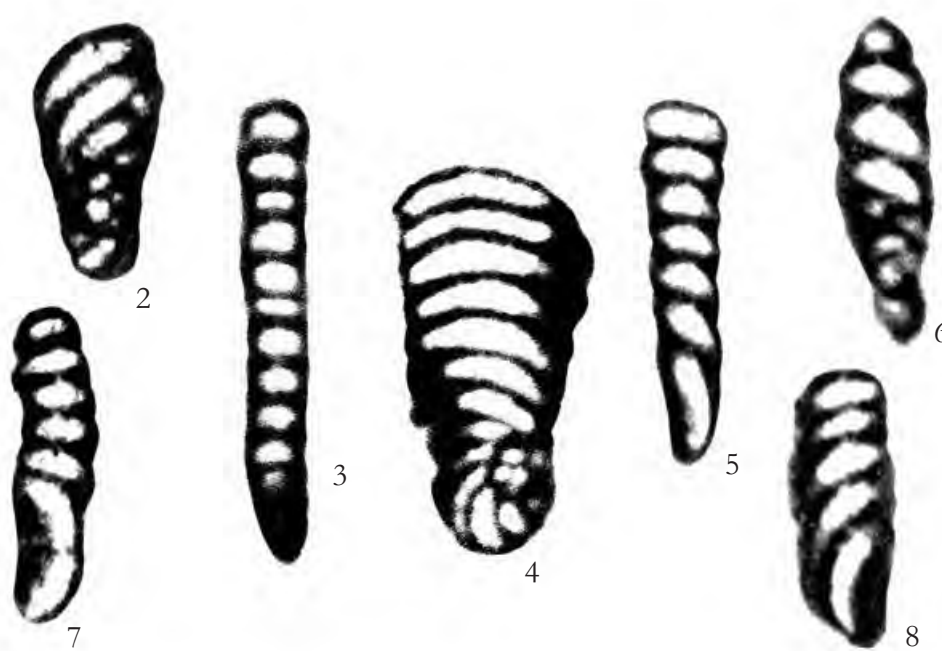


Fig. 1 – Packstone mal classato con *Peneroplis parvus*, *Nezzazata sp.*, Miliolidae, altri Foraminiferi bentonici e resti di Mollusca.

$\times 18$

– Poorly sorted packstone with *Peneroplis parvus*, *Nezzazata sp.*, *Miliolidae*, other benthic Foraminifera and Mollusca remains.

$\times 18$



Figg. 2-8 – Sezioni variamente orientate di individui riferibili a *Peneroplis parvus*.

$\times 55$

– *Variously oriented sections of specimens referred to *Peneroplis parvus*.*

$\times 55$

La microfacies di fig. 1 e gli individui delle figg. 2-8 provengono da località incerta, presso il paese di Suio, Monti Aurunci orientali (Lazio meridionale).

Biozona a Ostracoda e Miliolidae.

Limite ALBIANO – CENOMANIANO

– *The microfacies of fig. 1 and the specimens of figs. 2-8 from uncertain locality, near Suio village, Eastern Aurunci Mts. (Southern Latium).*

Ostracoda and Miliolidae biozone.

ALBIAN – CENOMANIAN boundary

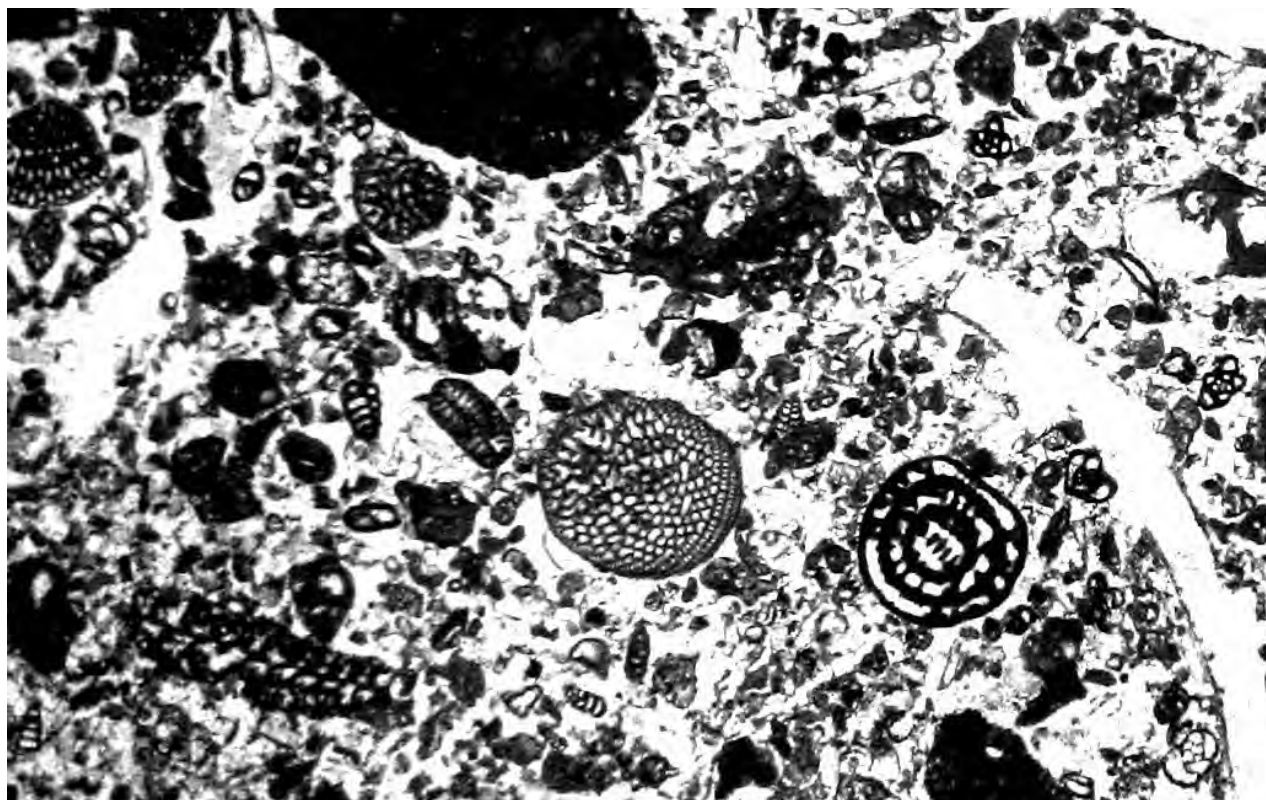
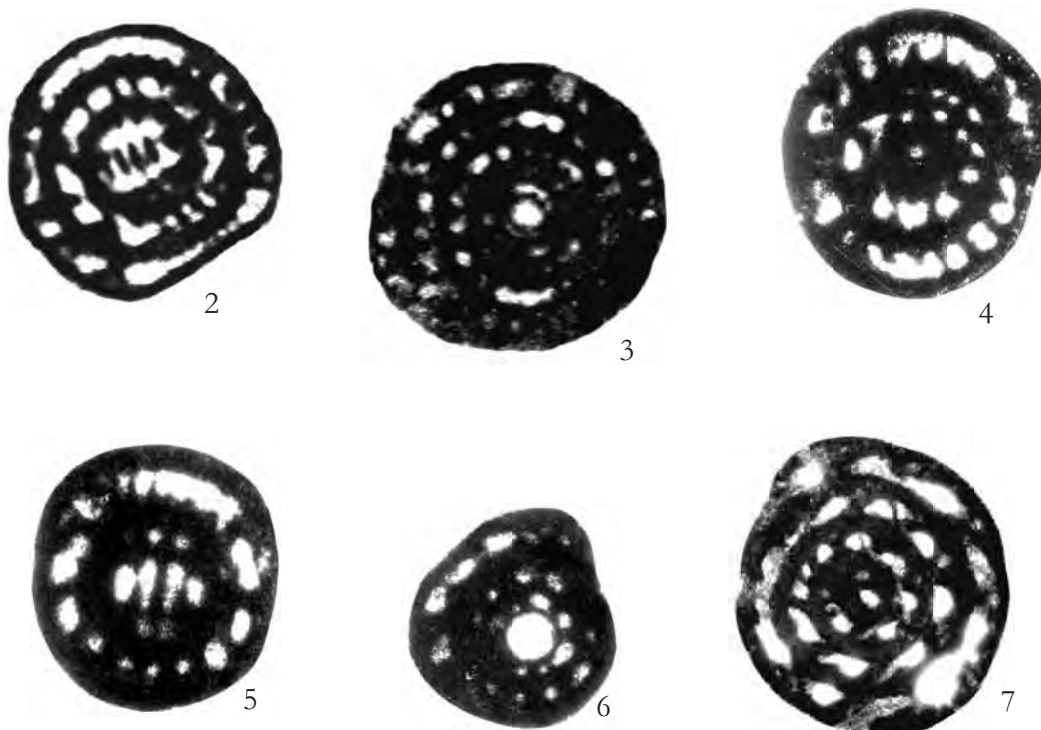


Fig. 1 – Grainstone mal classato con *Ovalveolina crassa*, *Neairaquia* sp., *Cuneolina* sp., Miliolidae, altri Foraminiferi bentonici e resti di Mollusca. x 30
 – Poorly sorted grainstone with *Ovalveolina crassa*, *Neairaquia* sp., *Cuneolina* sp., Miliolidae, other benthic Foraminifera and Mollusca remains. x 30



Figg. 2-7 – Sezioni variamente orientate di individui riferibili a *Ovalveolina crassa*. x 50
 – Variously oriented sections of specimens referred to *Ovalveolina crassa*. x 50

La microfacies di fig. 1 e gli individui delle figg. 2-7 provengono da località incerta, presso il paese di Suio, Monti Aurunci orientali (Lazio meridionale).

Biozona a Ostracoda e Miliolidae.

Limite ALBIANO – CENOMANIANO

– The microfacies of fig. 1 and the specimens of figs. 2-7 from uncertain locality, near Suio village, Eastern Aurunci Mts. (Southern Lazio).

Ostracoda and Miliolidae biozone.

ALBLIAN – CENOMANIAN boundary

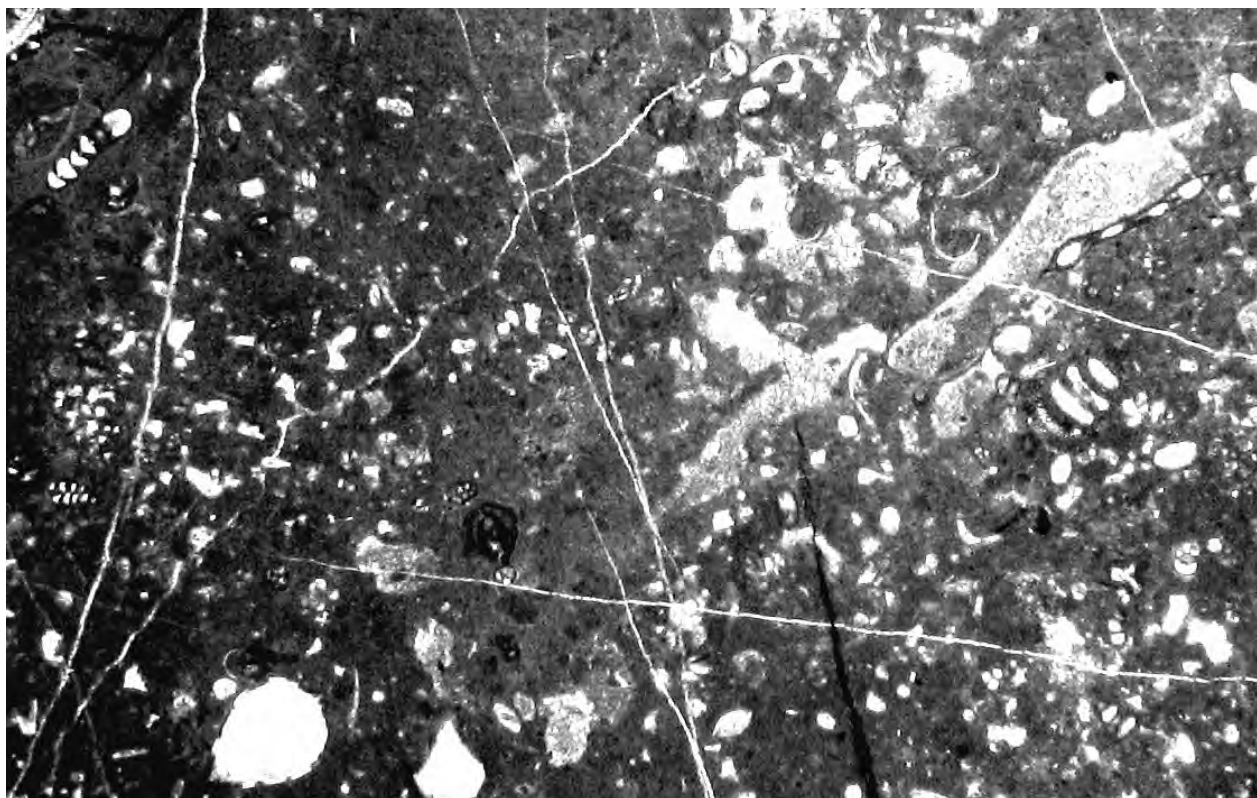
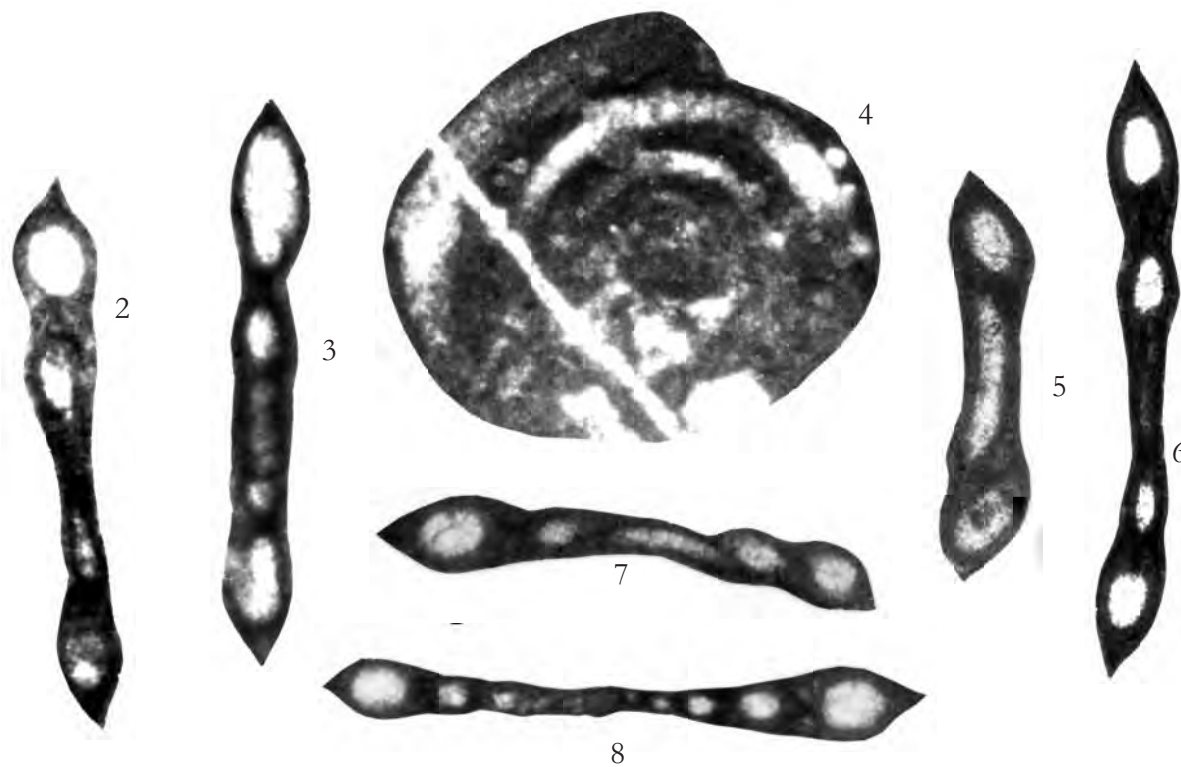


Fig. 1 – Wackestone con ?*Fischerina carinata*, *Peneroplis parvus*, altri Foraminiferi bentonici e Ostracoda. $\times 30$
 – Wackestone with ?*Fischerina carinata*, *Peneroplis parvus*, other benthic Foraminifera and Ostracoda. $\times 30$



Figg. 2-8 – Sezioni variamente orientate di individui riferibili a ?*Fischerina carinata*. $\times 80$
 – Varily oriented sections of specimens referred to ?*Fischerina carinata*. $\times 80$

La microfacies di fig. 1 e gli individui delle figg. 2-8 provengono dalla sezione stratigrafica di Monte La Civita, Monti Aurunci (Lazio meridionale).

Biozona a Ostracoda e Miliolidae.

– The microfacies of fig. 1 and the specimens of figs. 2-8 from La Civita Mt. stratigraphic section, Aurunzi Mts. (Southern Lazio).

Ostracoda e Miliolidae biozone.

Limite ALBIANO – CENOMANIANO

ALBLAN – CENOMANIAN boundary

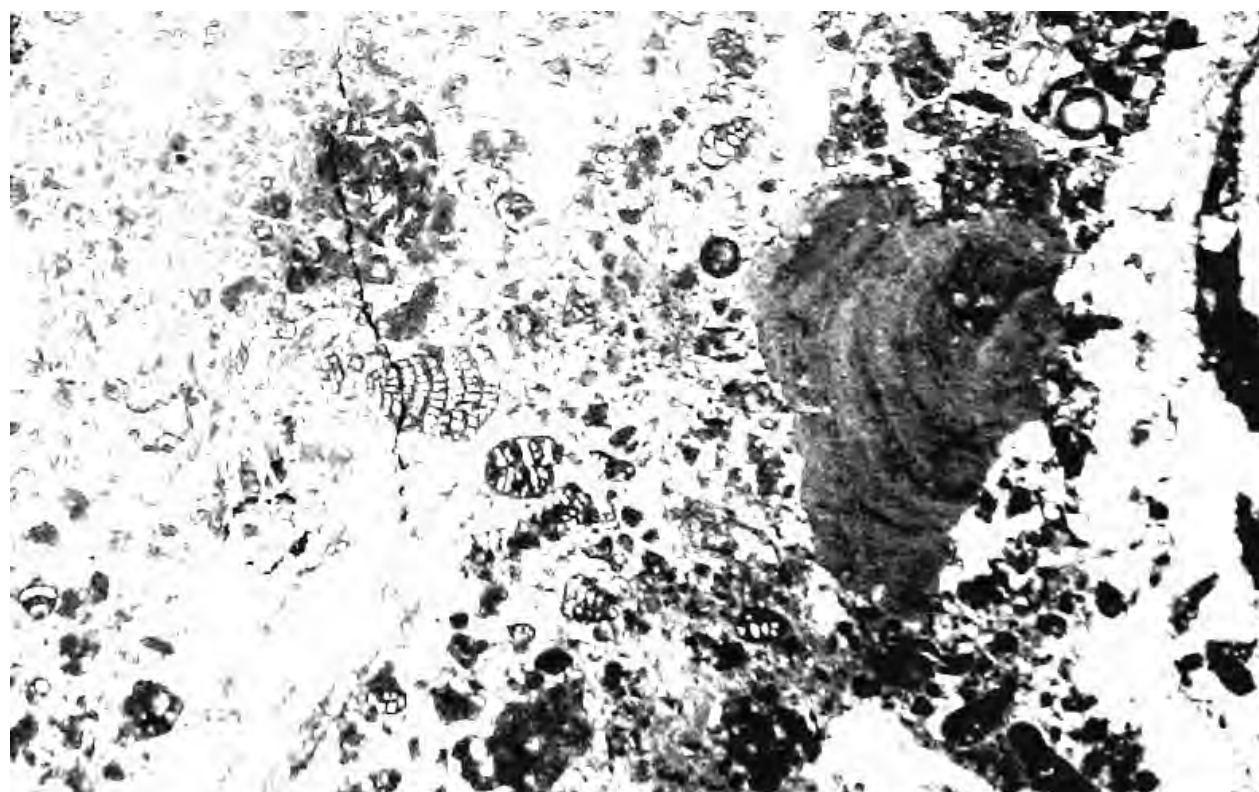


Fig. 1 – Grainstone mal classato con *Marinella lugeoni*, *Cuneolina* sp., altri Foraminiferi bentonici e resti di Mollusca. $\times 20$
 – Poorly sorted grainstone with *Marinella lugeoni*, *Cuneolina* sp., other benthic Foraminifera and Mollusca remains. $\times 20$

La microfacies di fig. 1 proviene dalla sezione stratigrafica di Colle S. Lucia, Monte Cairo (Lazio meridionale)
 Biozona a Ostracoda e Miliolidae.

– The microfacies of fig. 1 from Colle Santa Lucia stratigraphic section, Cairo Mt. (Southern Latium).
 Ostracoda and Miliolidae biozone.

ALBIANO INFERIORE
 LOWER ALBLAN

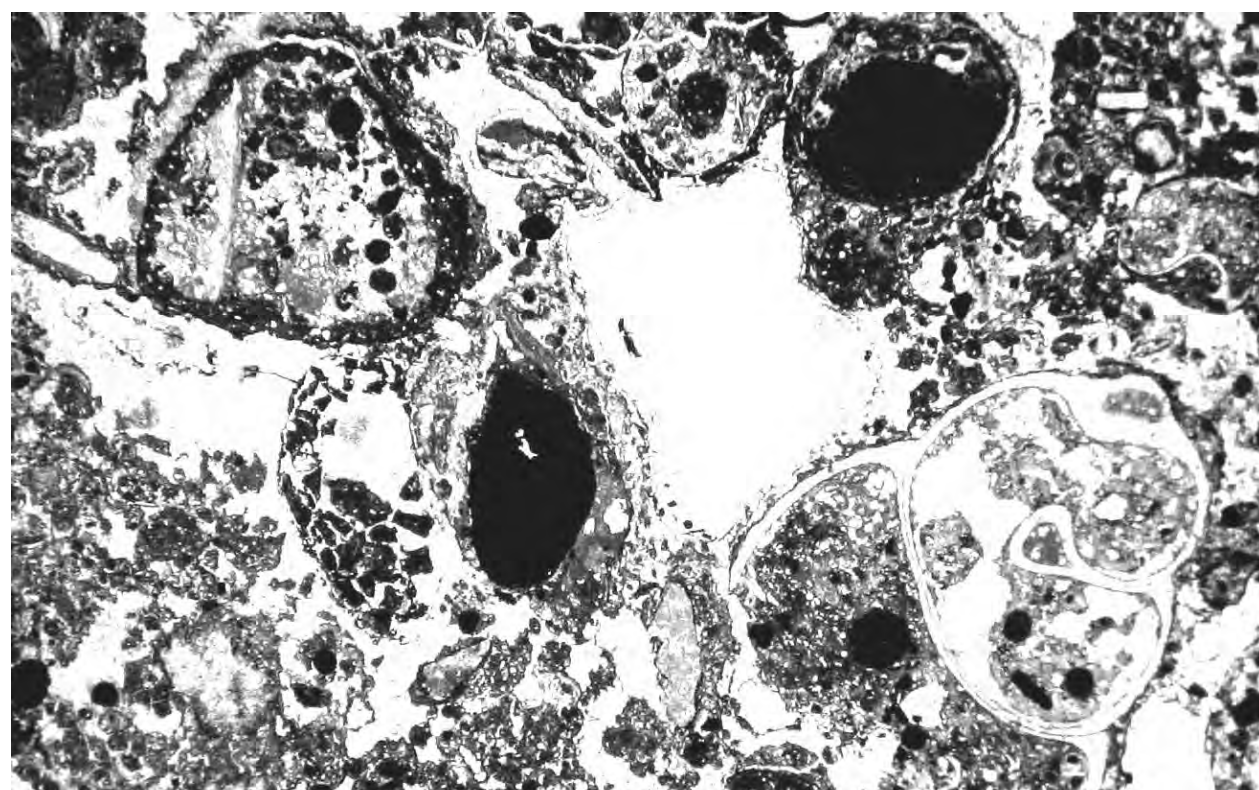


Fig. 2 – Karst bauxite con ooliti ferrose, litoclasti calcarei e Gastropoda con matrice rossa (bx 1). $\times 12$
 – Karst bauxite with iron-ooliths, calcareous lithoclasts and Gastropods with red matrix (bx1). $\times 12$

La microfacies di fig. 2 proviene dalla sezione stratigrafica di Colle Santa Lucia, Monte Cairo (Lazio meridionale).
 Il primo evento bauxitico corrisponde alla lacuna che si estende dall'ALBIANO INFERIORE p.p. al
 CENOMANIANO INFERIORE p.p.

– The microfacies of fig. 2 from Colle Santa Lucia stratigraphic section, Cairo Mt. (Southern Latium).
 The first bauxitic event corresponds to gap extending since LOWER ALBLAN p.p. to LOWER CENOMANIAN p.p.

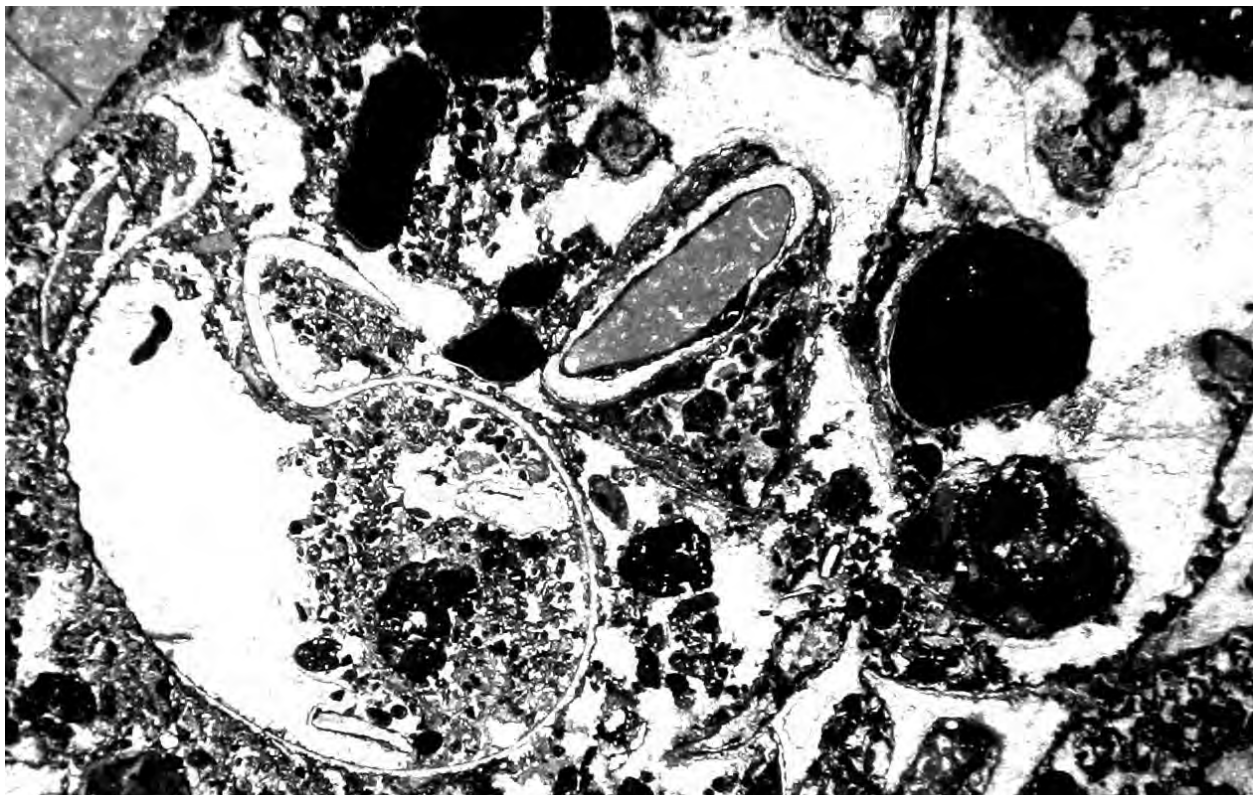


Fig. 1 – Karst bauxite con oncoliti ferrose, litoclasti calcarei e Gastropoda con matrice rossa (bx 1). $\times 12$
 – Karst bauxite with iron-oncholiths, calcareous lithoclasts and Gastropods with red matrix (bx 1). $\times 12$

La microfacies di fig. 1 proviene dalla sezione stratigrafica di Colle Santa Lucia, Monte Cairo (Lazio meridionale). Il primo evento bauxitico corrisponde alla lacuna che si estende dall'ALBIANO INFERIORE p.p. al CENOMANIANO INFERIORE p.p.

– The microfacies of fig. 1 from Colle Santa Lucia stratigraphic section, Cairo Mt. (Southern Latium).
 The first bauxitic event corresponds to gap extending since LOWER ALBLAN p.p. to LOWER CENOMANIAN p.p.

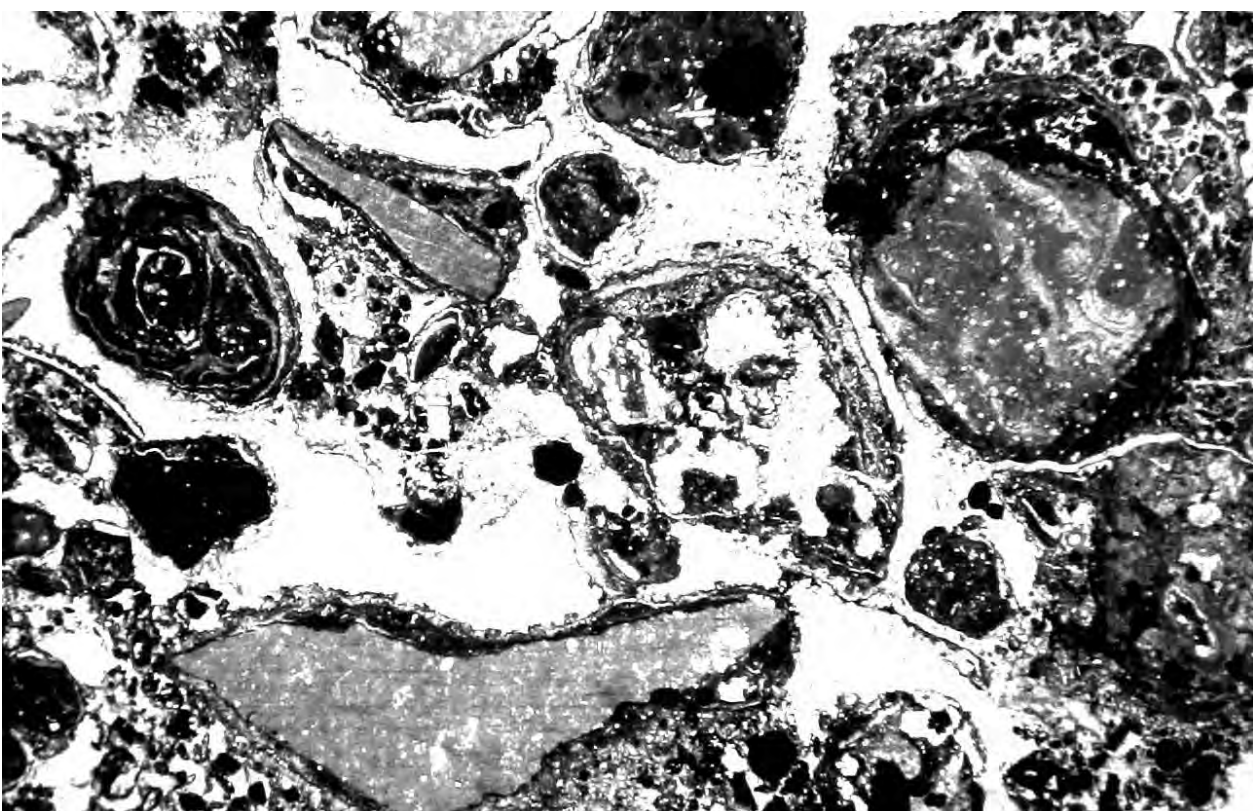


Fig. 2 – Karst bauxite con ooliti e oncoliti ferrose, litoclasti calcarei e Gastropoda con matrice rossa (bx 1). $\times 12$
 – Karst bauxite with iron-ooliths and oncholiths, calcareous lithoclasts and Gastropods with red matrix (bx 1). $\times 12$

La microfacies di fig. 2 proviene dalla sezione stratigrafica di Colle Santa Lucia, Monte Cairo (Lazio meridionale). Il primo evento bauxitico corrisponde alla lacuna che si estende dall'ALBIANO INFERIORE p.p. al CENOMANIANO INFERIORE p.p.

– The microfacies of fig. 2 from Colle Santa Lucia stratigraphic section, Cairo Mt. (Southern Latium).
 The first bauxitic event corresponds to gap extending since LOWER ALBLAN p.p. to LOWER CENOMANIAN p.p.

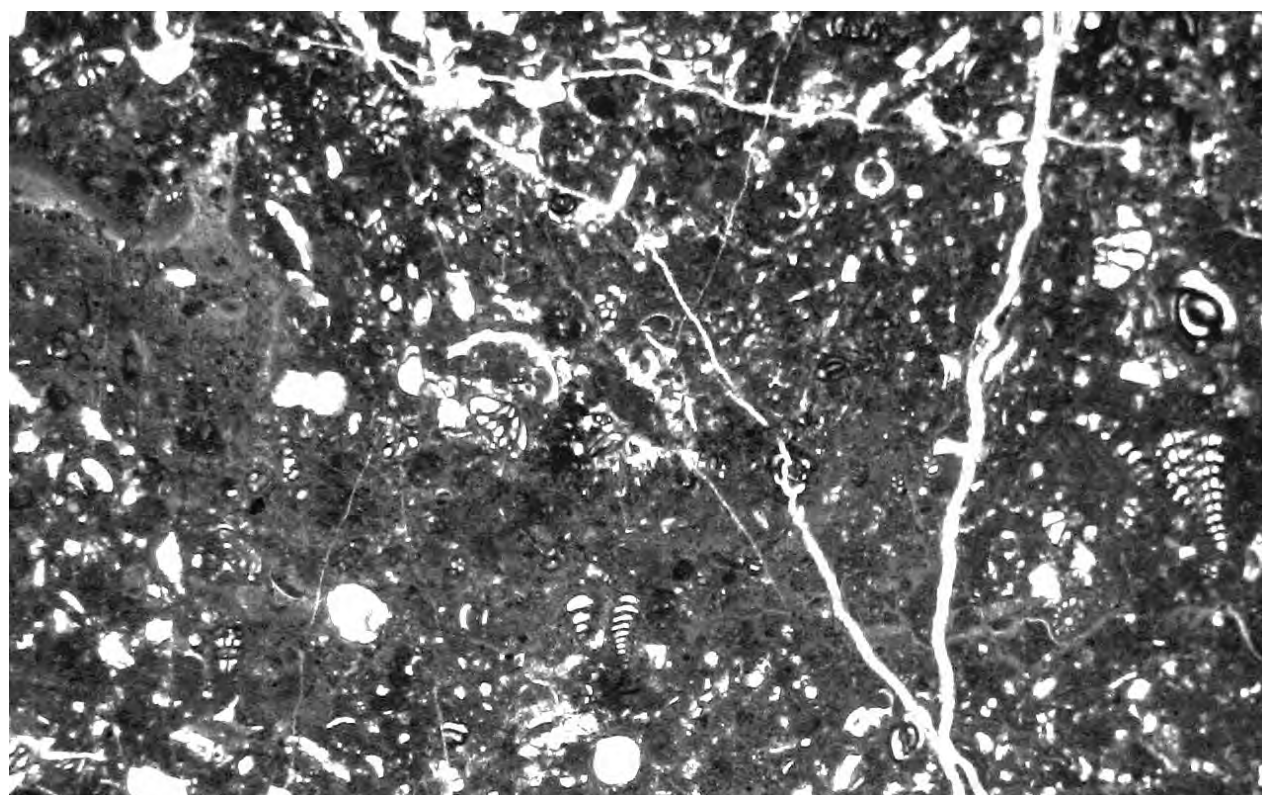
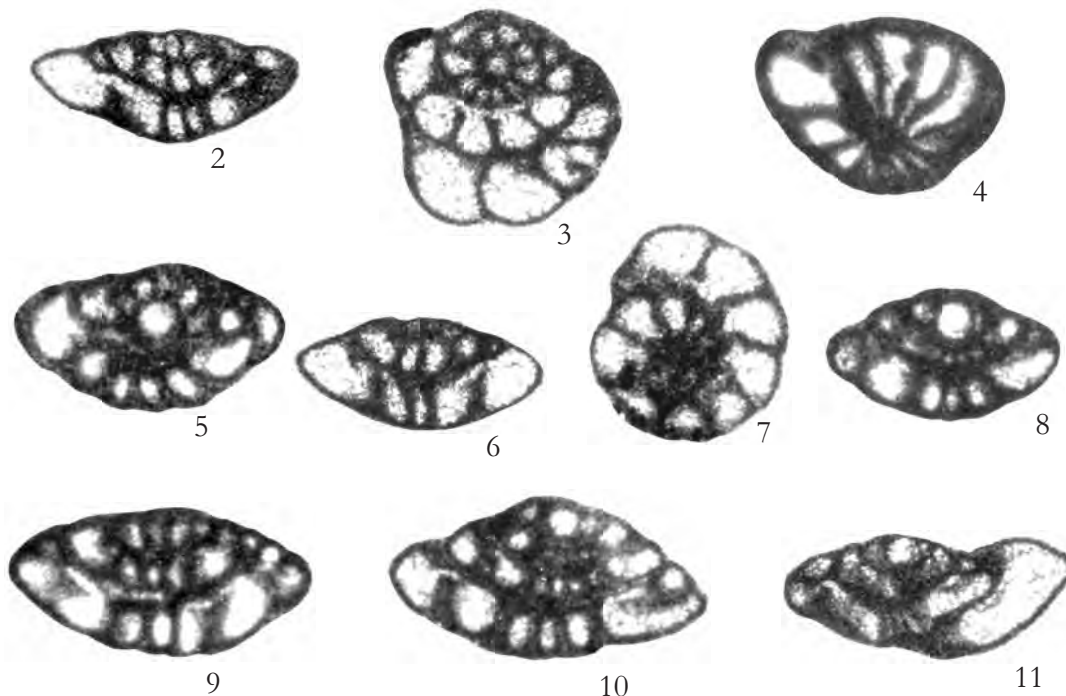


Fig. 1 – Wackestone con *Nezzazata simplex*, *Cuneolina* sp., Miliolidae e altri Foraminiferi bentonici. $\times 25$
 – Wackestone with *Nezzazata simplex*, *Cuneolina* sp., *Miliolidae* and other benthic Foraminifera. $\times 25$



Figg. 2-11 – Sezioni variamente orientate di individui riferibili a *Nezzazata simplex*. $\times 90$
 – Variously oriented sections of specimens referred to *Nezzazata simplex*. $\times 90$

La microfacies di fig. 1 e gli individui delle figg. 2-11 provengono dalla sezione stratigrafica di Serra del Pruno, Monti Ausoni (Lazio meridionale).

Parte superiore della biozona a Ostracoda e Miliolidae.

CENOMANIANO INFERIORE

– The microfacies of fig. 1 and the specimens of figs. 2-11 from Serra del Pruno stratigraphic section, Ausoni Mts. (Southern Lazio).
 Upper part of Ostracoda and Miliolidae biozone.

LOWER CENOMANIAN

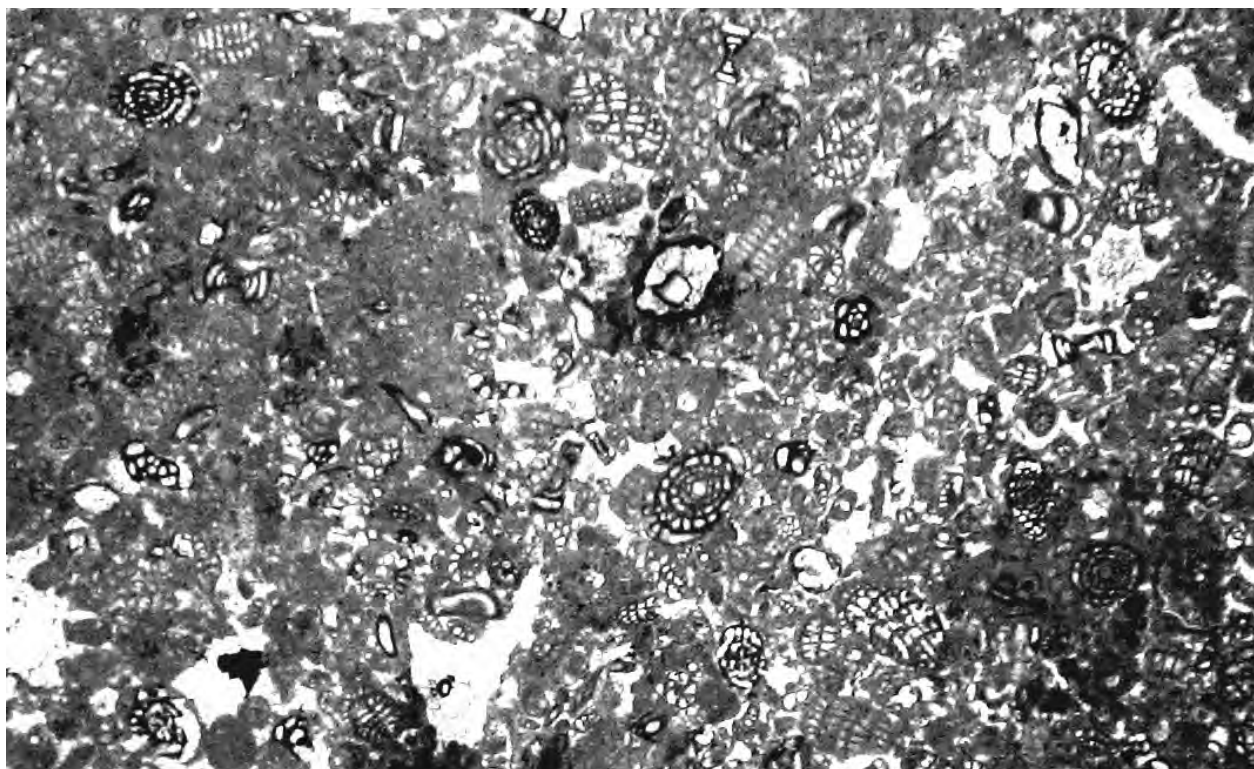
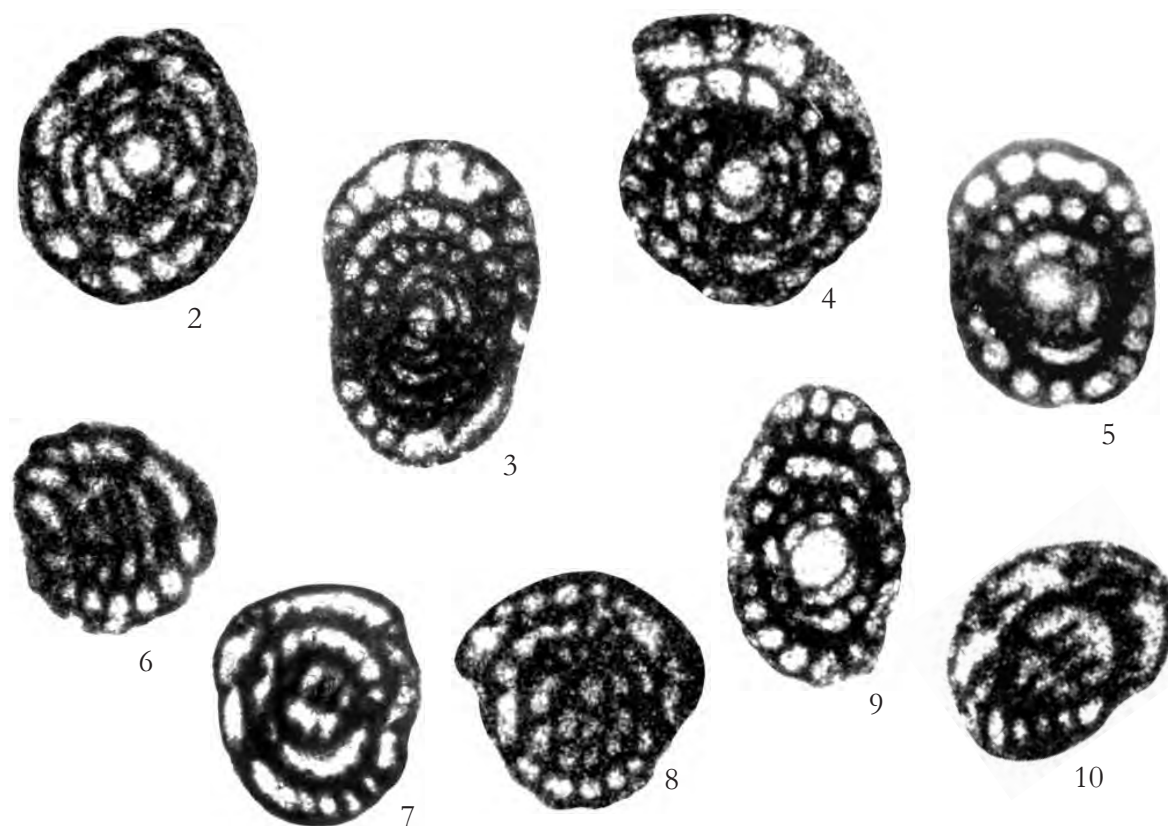


Fig. 1 – Wackestone con *Ovalveolina maccagnoae*, *Spiroloculina cenomana*, *Palaeocornuloculina lepina*, *Nezzazata isabellae*, *Cuneolina* sp. 1, Miliolidae e altri Foraminiferi bentonici. x 30
 – Wackestone with *Ovalveolina maccagnoae*, *Spiroloculina cenomana*, *Palaeocornuloculina lepina*, *Nezzazata isabellae*, *Cuneolina* sp. 1, *Miliolidae* and other benthic Foraminifera. x 30



Figg. 2-10 – Sezioni variamente orientate di individui riferibili a *Ovalveolina maccagnoae*. x 95
 – Variously oriented sections of specimens referred to *Ovalveolina maccagnoae*. x 95

La microfacies di fig. 1 e gli individui delle figg. 2-10 provengono dalla sezione stratigrafica di Serra del Pruno, Monti Ausoni (Lazio meridionale).

Parte superiore della biozona a Ostracoda e Miliolidae.

CENOMANIANO INFERIORE
 – The microfacies of fig. 1 and the specimens of figs. 2-10 from Serra del Pruno stratigraphic section, Ausoni Mts. (Southern Latium).
 Upper part of the Ostracoda and Miliolidae biozone.

LOWER CENOMANIAN

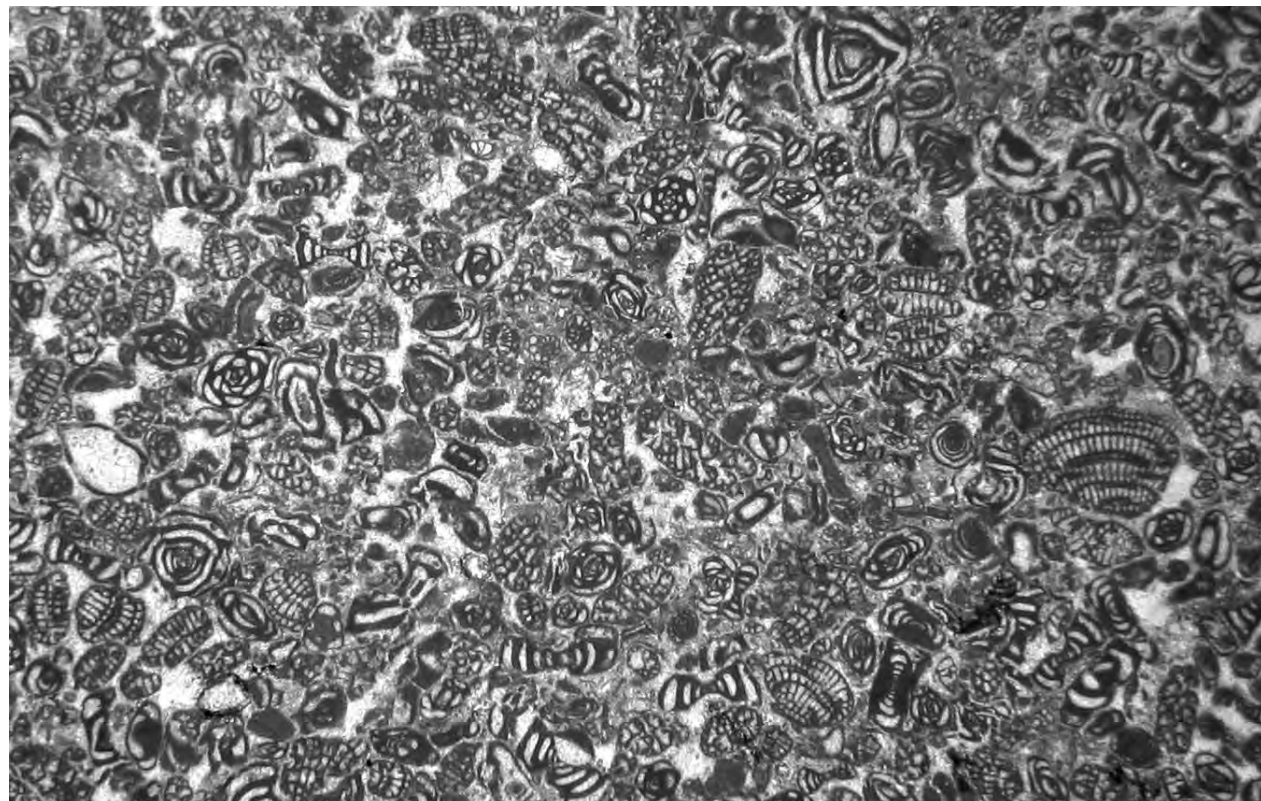
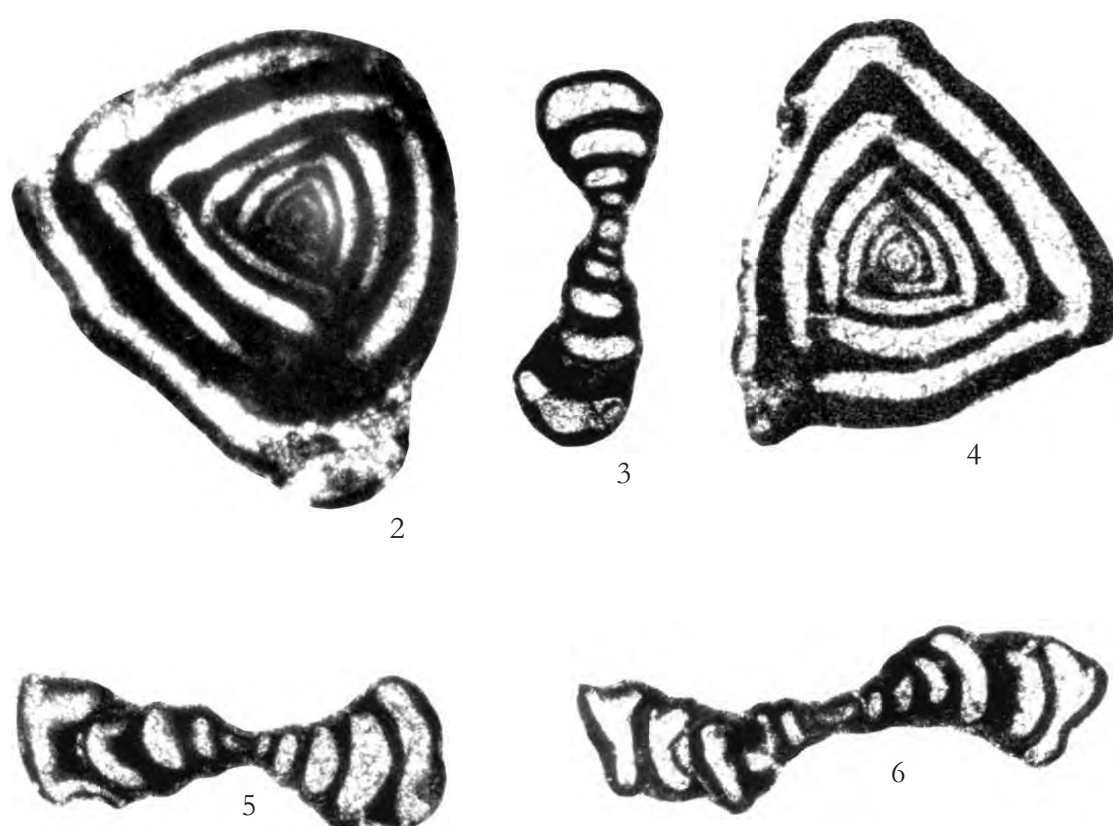


Fig. 1 – Grainstone con *Palaeocornuloculina triangularis*, *Nummoloculina regularis*, *Cuneolina* sp. 1, *Nezzazata* sp., Miliolidae e altri Foraminiferi bentonici. $\times 20$

– Grainstone with *Palaeocornuloculina triangularis*, *Nummoloculina regularis*, *Cuneolina* sp. 1, *Nezzazata* sp., Miliolidae and other benthic Foraminifera. $\times 20$



Figg. 2-6 – Sezioni variamente orientate di individui riferibili a *Palaeocornuloculina triangularis*. $\times 60$
– Variously oriented sections of specimens referred to *Palaeocornuloculina triangularis*. $\times 60$

La microfacies di fig. 1 e gli individui delle figg. 2-6 provengono dalla località-tipo, sezione stratigrafica di Serra del Pruno, Monti Ausoni (Lazio meridionale).

Parte superiore della biozona a Ostracoda e Miliolidae.

CENOMANIANO INFERIORE

– The microfacies of fig. 1 and the specimens of figs. 2-6 from type-locality, Serra del Pruno stratigraphic sections, Ausoni Mts. (Southern Latium).

Upper part of the Ostracoda and Miliolidae biozone.

LOWER CENOMANIAN

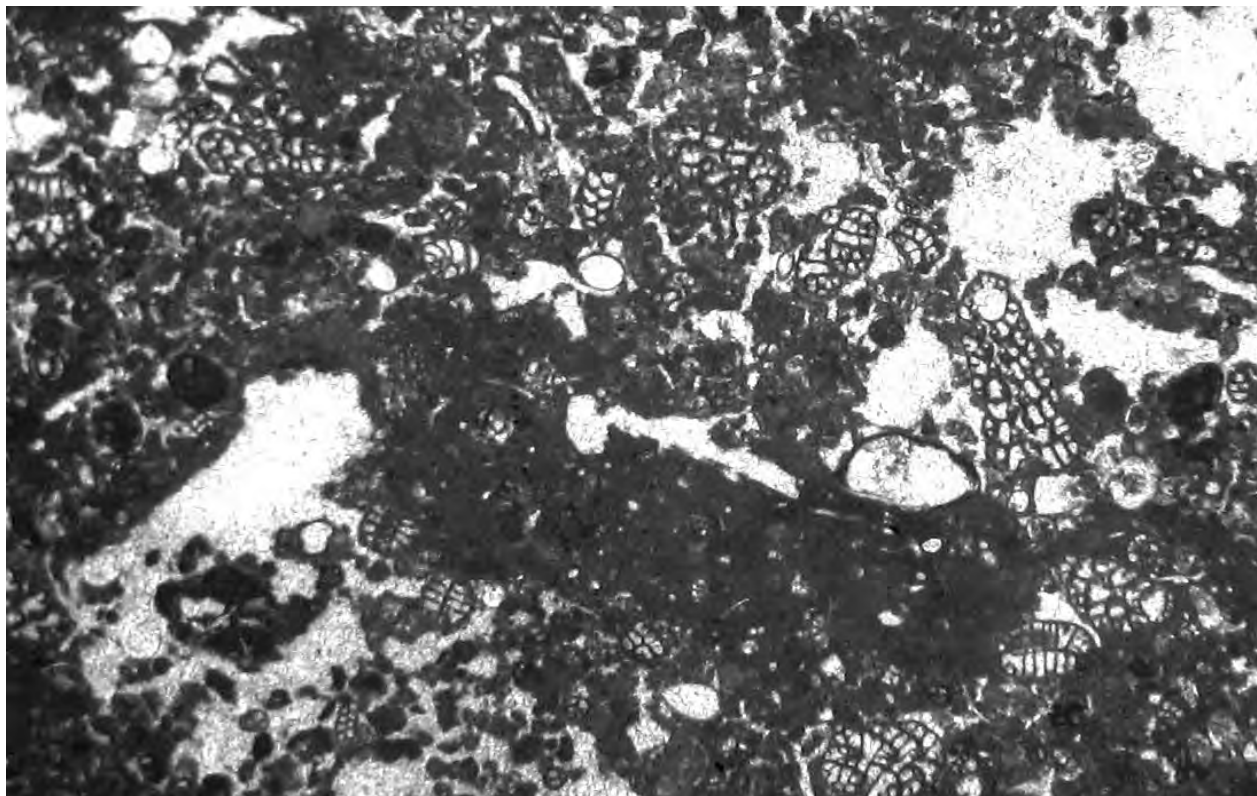


Fig. 1 – Packstone con *Cuneolina* sp. 1 e altri Foraminiferi bentonici. $\times 45$
 – Packstone with *Cuneolina* sp. 1 and other benthic Foraminifera. $\times 45$



Figg. 2-11 – Sezioni variamente orientate di individui riferibili a *Cuneolina* sp. 1. $\times 75$
 – Variously oriented sections of specimens referred to *Cuneolina* sp. 1. $\times 75$

La microfacies di fig. 1 e gli individui delle figg. 2-11 provengono dalla sezione stratigrafica di Serra del Pruno, Monti Ausoni (Lazio meridionale).

Parte superiore della biozona a Ostracoda e Miliolidae.

CENOMANIANO INFERIORE
 – The microfacies of fig. 1 and the specimens of figs. 2-11 from Serra del Pruno stratigraphic section, Ausoni Mts. (Southern Latium).
 Upper part of the Ostracoda and Miliolidae biozone.

LOWER CENOMANIAN

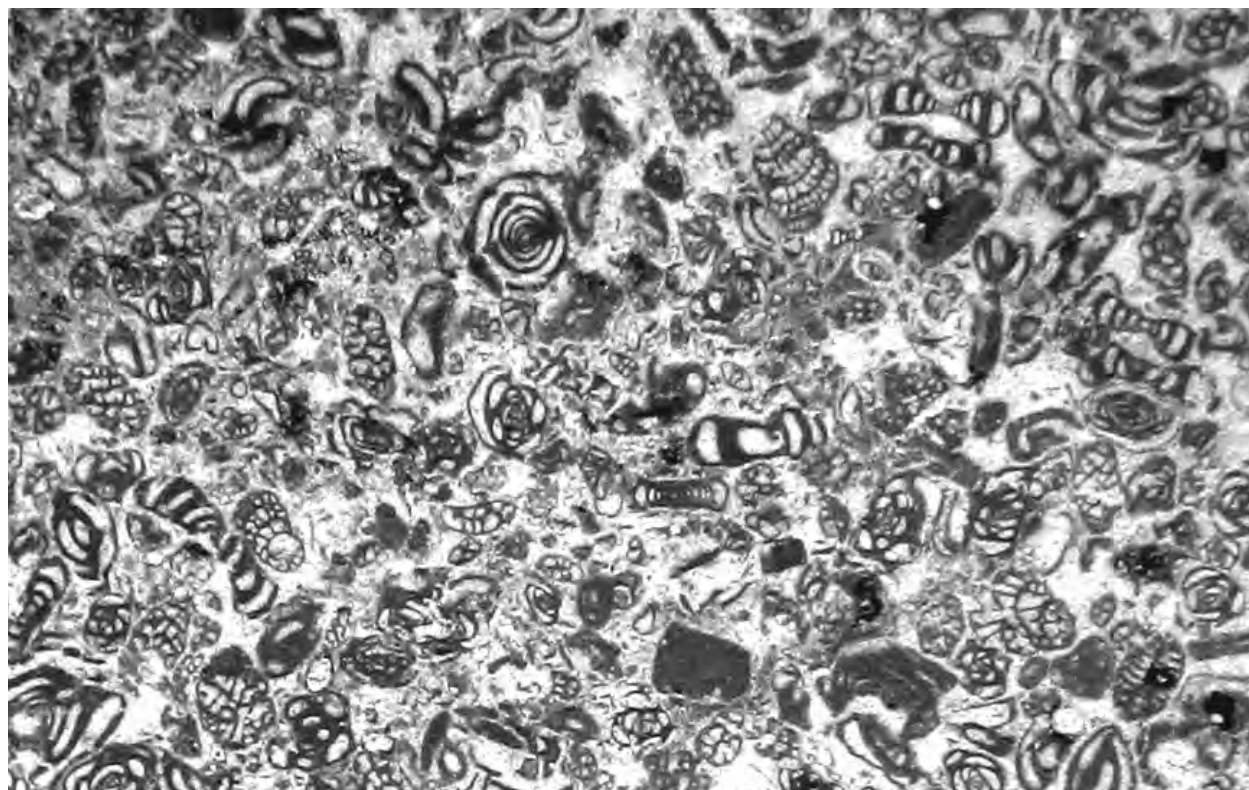
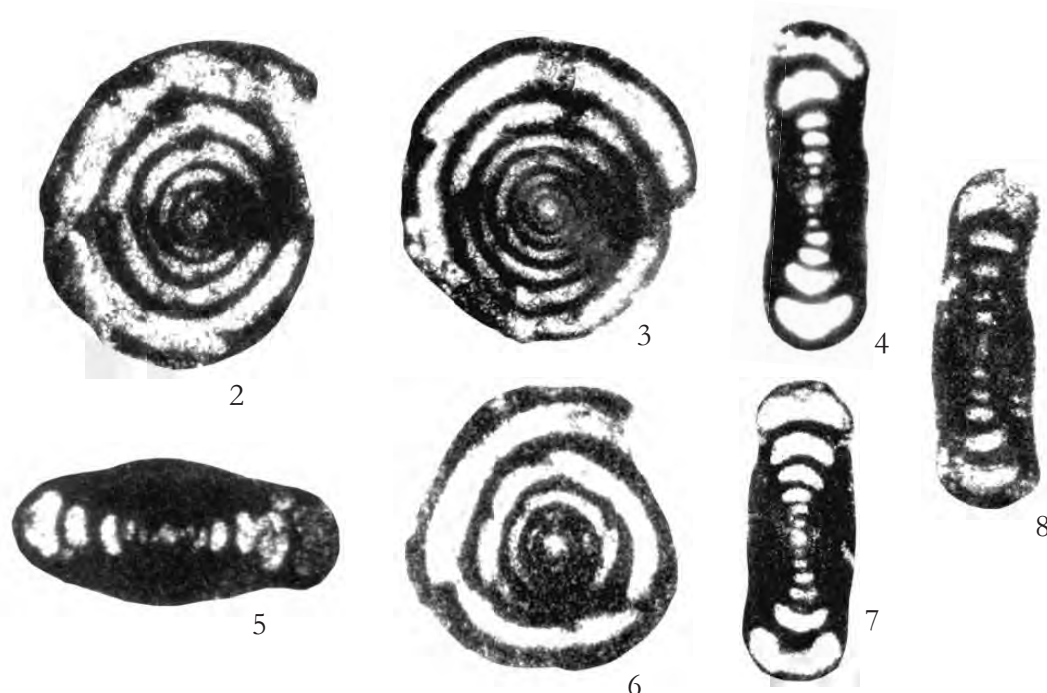


Fig. 1 – Packstone con *Nummuloculina regularis*, *Palaeocornuloculina triangularis*, *Cuneolina* sp. 1, Miliolidae e altri Foraminiferi bentonici. $\times 30$
 – Packstone with *Nummuloculina regularis*, *Palaeocornuloculina triangularis*, *Cuneolina* sp. 1, Miliolidae and other benthic Foraminifera. $\times 30$



Figg. 2-8 – Sezioni variamente orientate di individui riferibili a *Nummuloculina regularis*. $\times 65$
 – Variously oriented sections of specimens referred to *Nummuloculina regularis*. $\times 65$

La microfacies di fig. 1 e gli individui delle figg. 2-8 provengono dalla sezione stratigrafica di Serra del Pruno, Monti Ausoni (Lazio meridionale).

Parte superiore della biozona a Ostracoda e Miliolidae.

– The microfacies of fig. 1 and the specimens of figs. 2-8 from Serra del Pruno stratigraphic section, Ausoni Mts. (Southern Lazio).
 Upper part of the Ostracoda and Miliolidae biozone.

CENOMANIANO INFERIORE

LOWER CENOMANIAN

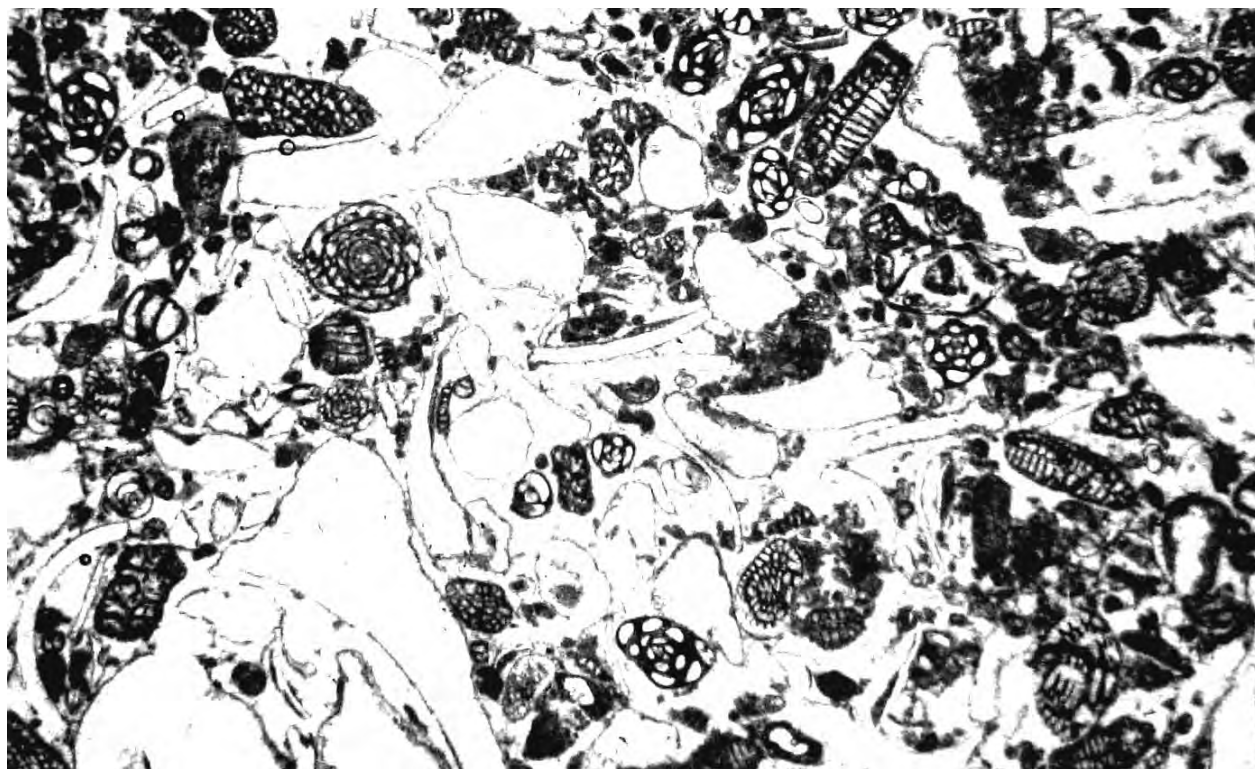
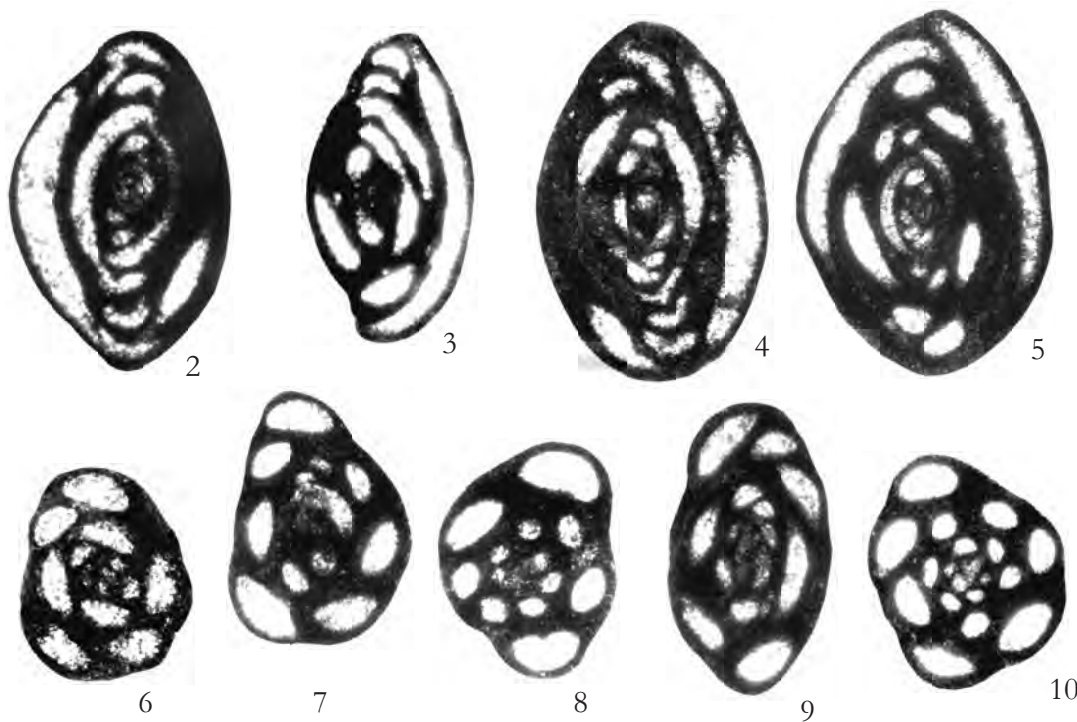


Fig. 1 – Grainstone con *Palaeosigmoilopsis apenninica*, *Sellialveolina viallii*, *Cuneolina* sp. 1, Miliolidae, altri Foraminiferi bentonici e resti di Mollusca. $\times 40$
 – Grainstone with *Palaeosigmoilopsis apenninica*, *Sellialveolina viallii*, *Cuneolina* sp. 1, Miliolidae, other benthic Foraminifera and Mollusca remains. $\times 40$



Figg. 2-10 – Sezioni variamente orientate di individui riferibili a *Palaeosigmoilopsis apenninica*. $\times 100$
 – Varily oriented sections of specimens referred to *Palaeosigmoilopsis apenninica*. $\times 100$

La microfacies di fig. 1 e gli individui delle figg. 2-10 provengono dalla località-tipo, sezione stratigrafica La Cicogna, Monte Cairo (Lazio meridionale).

Parte superiore della biozona a Ostracoda e Miliolidae.

CENOMANIANO INFERIORE

– The microfacies of fig. 1 and the specimens of figs. 2-10 from type-locality, La Cicogna stratigraphic section, Cairo Mt. (Southern Lazio).

Upper part of the Ostracoda and Miliolidae biozone.

LOWER CENOMANIAN

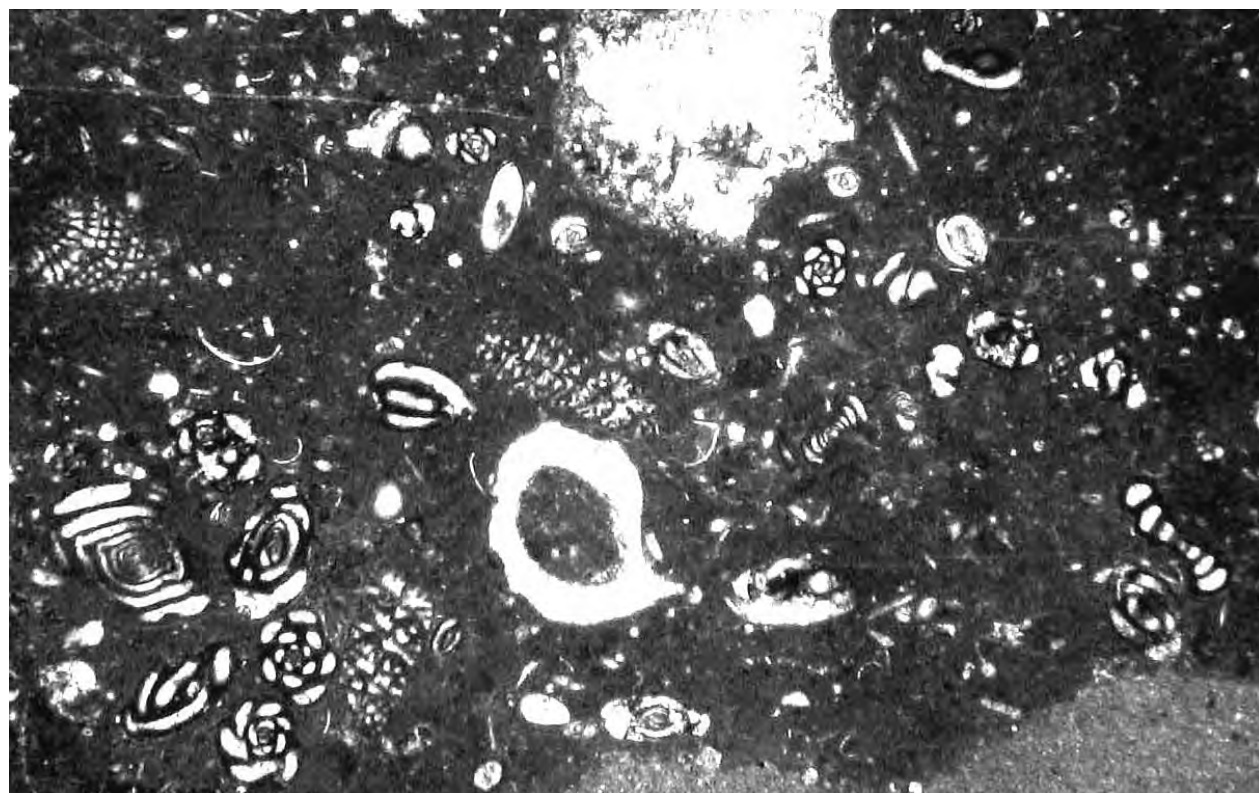
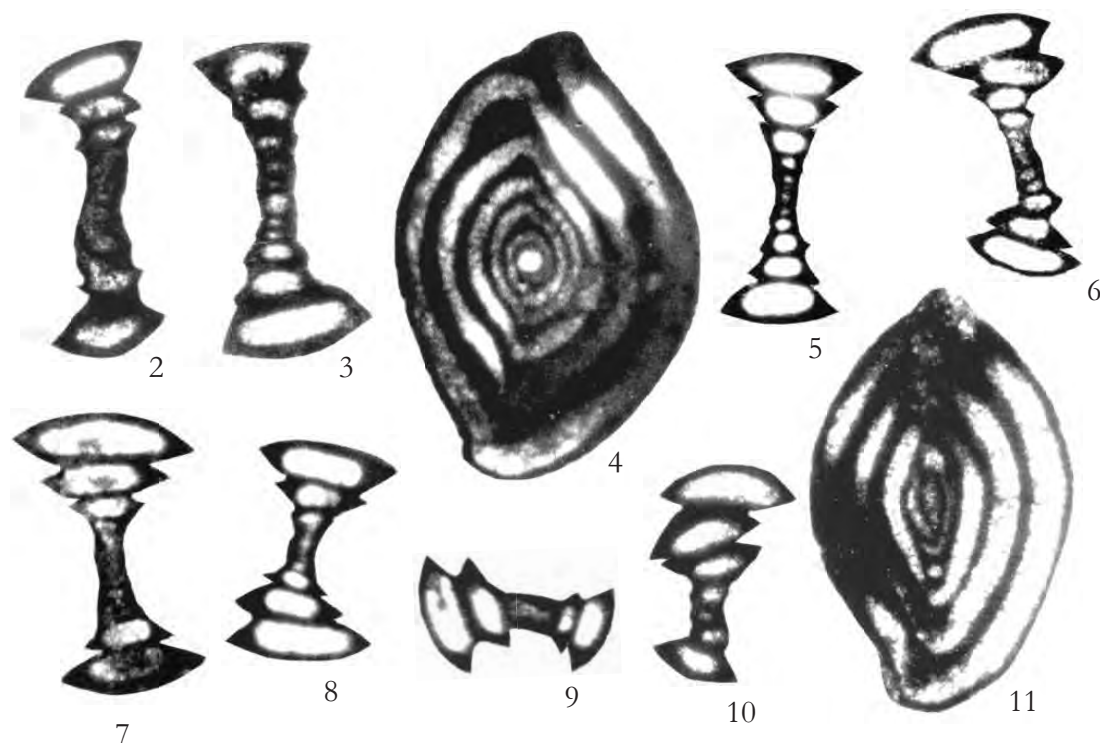


Fig. 1 – Wackestone con *Spiroloculina cenomana*, *Palaeocornuloculina lepina*, *Palaeosigmoilopsis apenninica*, *Cuneolina* sp. 1 e resti di Mollusca. $\times 40$
 – Wackestone with *Spiroloculina cenomana*, *Palaeocornuloculina lepina*, *Palaeosigmoilopsis apenninica*, *Cuneolina* sp. 1 and Mollusca remains. $\times 40$



Figg. 2-11 – Sezioni variamente orientate di individui riferibili a *Spiroloculina cenomana*. $\times 85$
 – Variously oriented sections of specimens referred to *Spiroloculina cenomana*. $\times 85$

La microfacies di fig. 1 e gli individui delle figg. 2-11 provengono dalla sezione stratigrafica di Colle Santa Lucia, Monte Cairo (Lazio meridionale).

Parte superiore della biozona a Ostracoda e Miliolidae.

– The microfacies of fig. 1 and the specimens of figs. 2-11 from Colle Santa Lucia stratigraphic section, Cairo Mt. (Southern Lazio).
 Upper part of the Ostracoda and Miliolidae biozone.

CENOMANIANO INFERIORE

LOWER CENOMANIAN

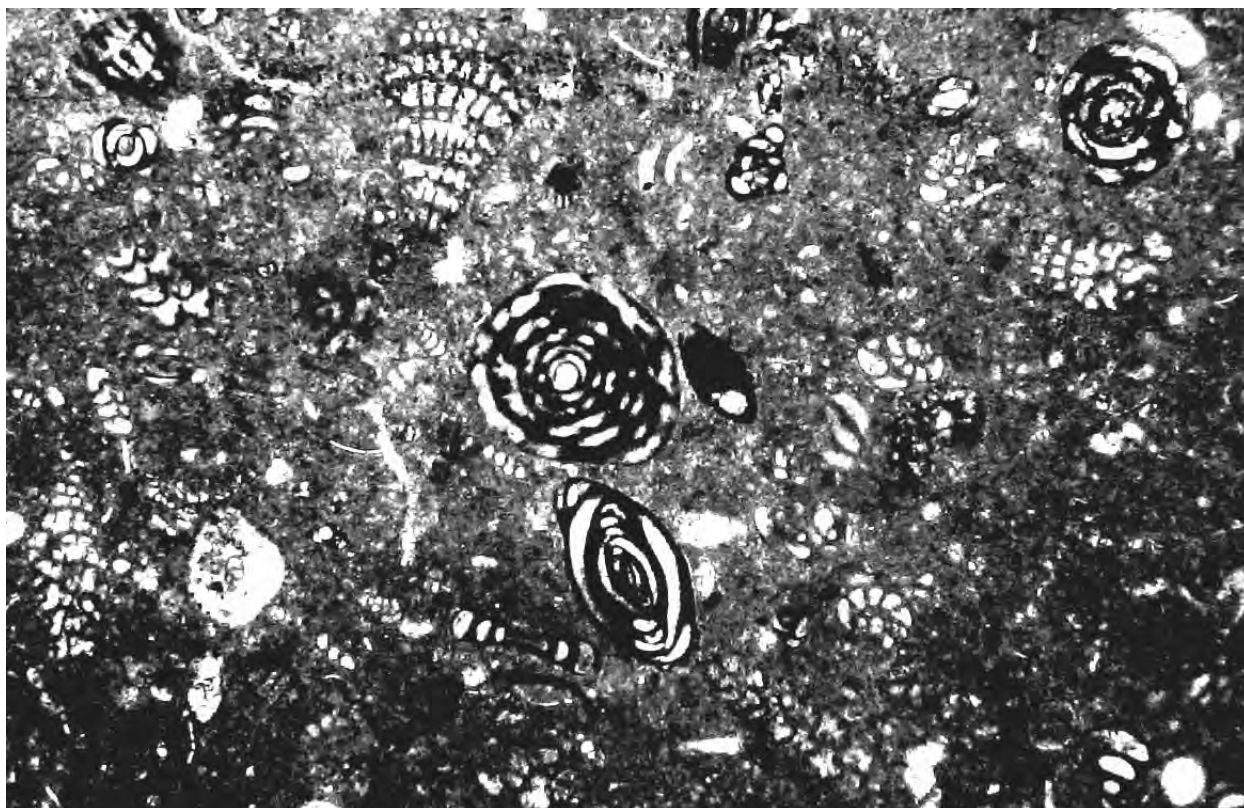
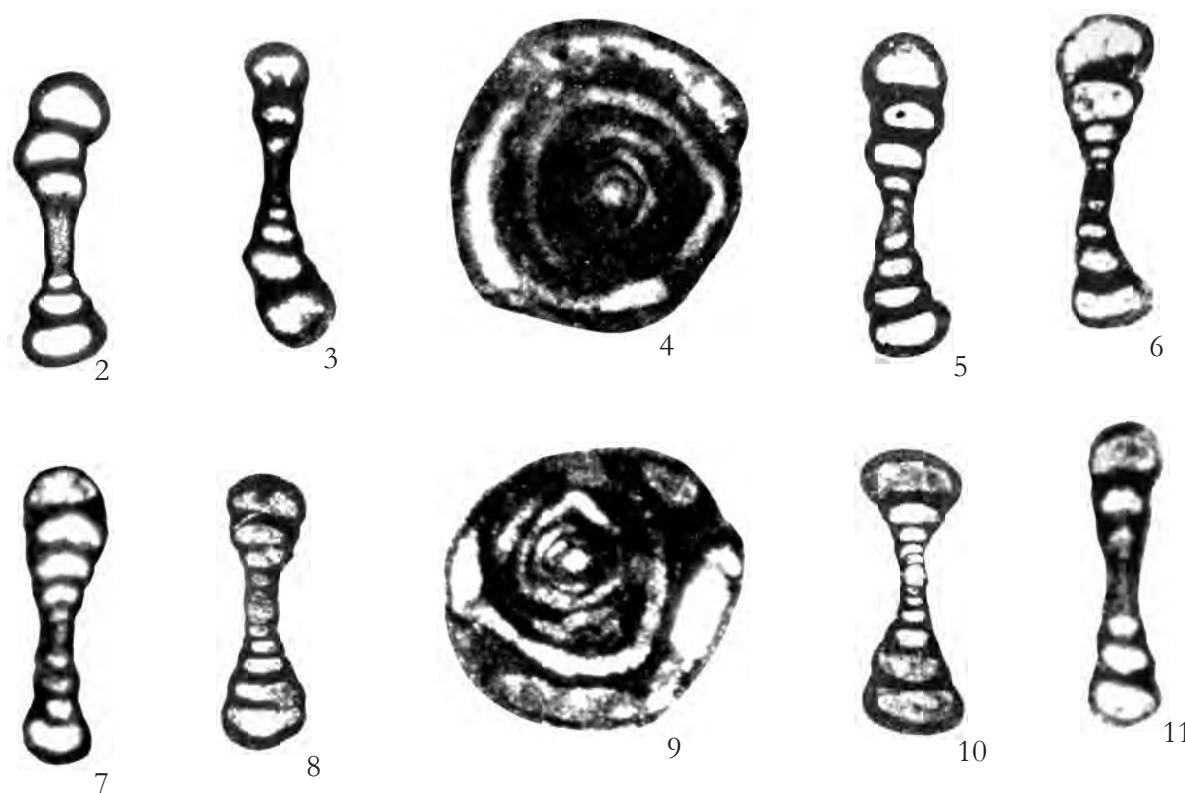


Fig. 1 – Wackestone con *Palaeocornuloculina lepina*, *Ovalveolina maccagnoae*, *Palaeosigmoilopsis apenninica*, *Nezzazata* sp., *Cuneolina* sp. 1, Miliolidae e altri Foraminiferi bentonici. $\times 30$
 – Wackestone with *Palaeocornuloculina lepina*, *Ovalveolina maccagnoae*, *Palaeosigmoilopsis apenninica*, *Nezzazata* sp., *Cuneolina* sp. 1, Miliolidae and other benthic Foraminifera. $\times 30$



Figg. 2-11 – Sezioni variamente orientate di individui riferibili a *Palaeocornuloculina lepina*. $\times 60$
 – Variously oriented sections of specimens referred to *Palaeocornuloculina lepina*. $\times 60$

La microfacies di fig. 1 e gli individui delle figg. 2-11 provengono dalla sezione stratigrafica di Rave Insuglio, Monti Lepini (Lazio meridionale).

Parte superiore della biozona a Ostracoda e Miliolidae.

CENOMANIANO INFERIORE
 – The microfacies of fig. 1 and all specimens of figs. 2-11 from Rave Insuglio stratigraphic section, Lepini Mts. (Southern Latium).
 Upper part of the Ostracoda and Miliolidae biozone.

LOWER CENOMANIAN

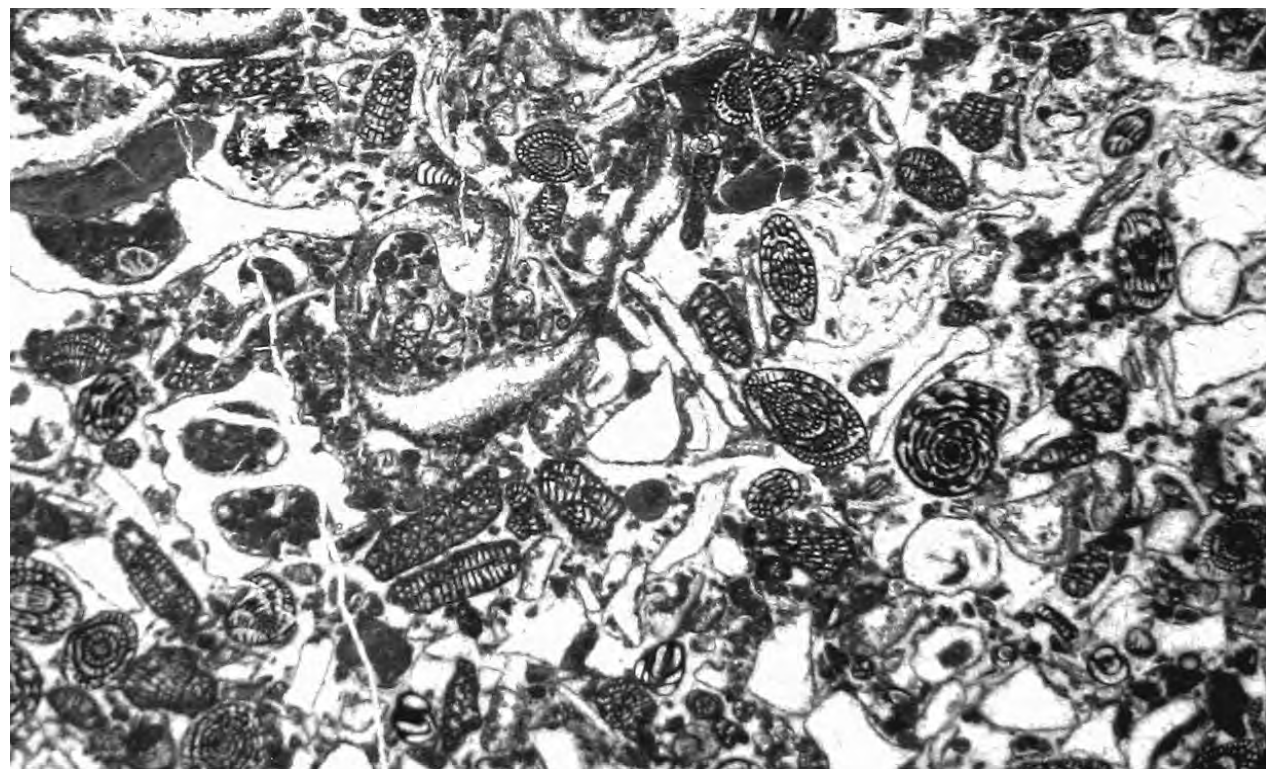
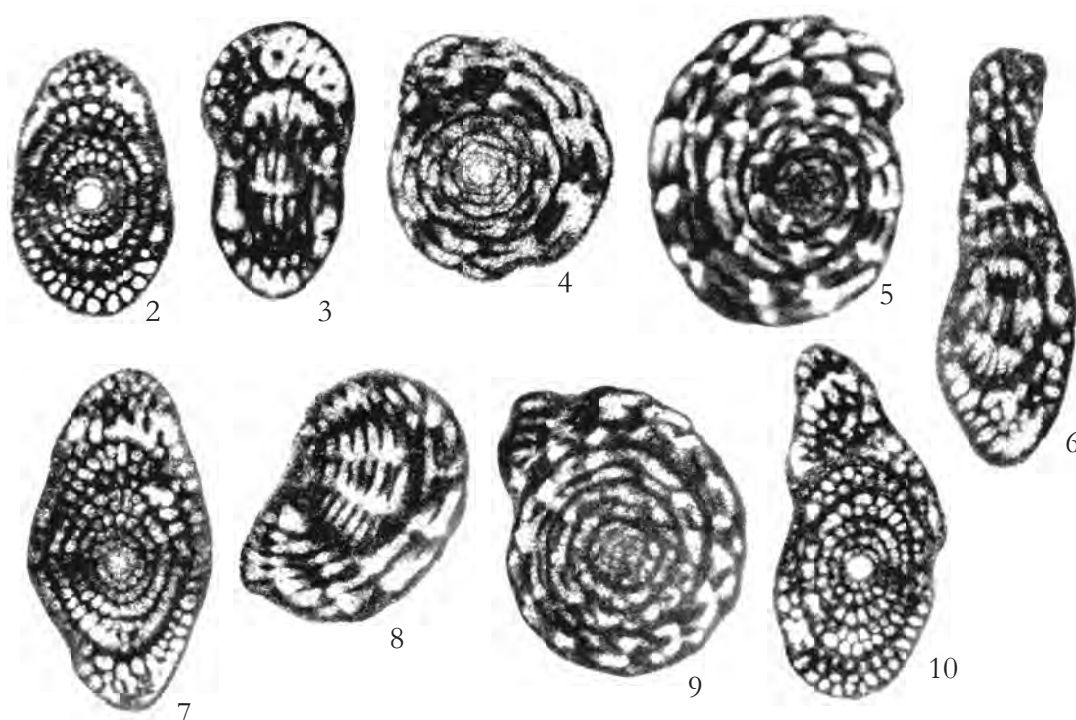


Fig. 1 – Grainstone con *Sellialveolina viallii*, *Cuneolina* sp. 1, Miliolidae, altri Foraminiferi bentonici e resti di Mollusca.
x 40
– Grainstone with *Sellialveolina viallii*, *Cuneolina* sp. 1, *Miliolidae*, other benthic Foraminifera and Mollusca remains.
x 40



Figg. 2-10 – Sezioni variamente orientate di individui riferibili a *Sellialveolina viallii*. x 90
– Variously oriented sections of specimens referred to *Sellialveolina viallii*. x 90

La microfacies di fig. 1 e gli individui delle figg. 3-5, 7 provengono dalla sezione stratigrafica l'Ottaduna, Monte Cairo; gli individui delle figg. 2, 6, 8-10 dalla sezione stratigrafica di Serra del Pruno, Monti Ausoni (Lazio meridionale).

Parte superiore della biozona a Ostracoda e Miliolidae.

CENOMANIANO INFERIORE

– The microfacies of fig. 1 and the specimens of figs. 3-5, 7 from l'Ottaduna stratigraphic section, Cairo Mt.; the specimens of figs. 2, 6, 8-10 from Serra del Pruno stratigraphic section, Ausoni Mts. (Southern Lazio).
Upper part of the Ostracoda and Miliolidae biozone.

LOWER CENOMANIAN

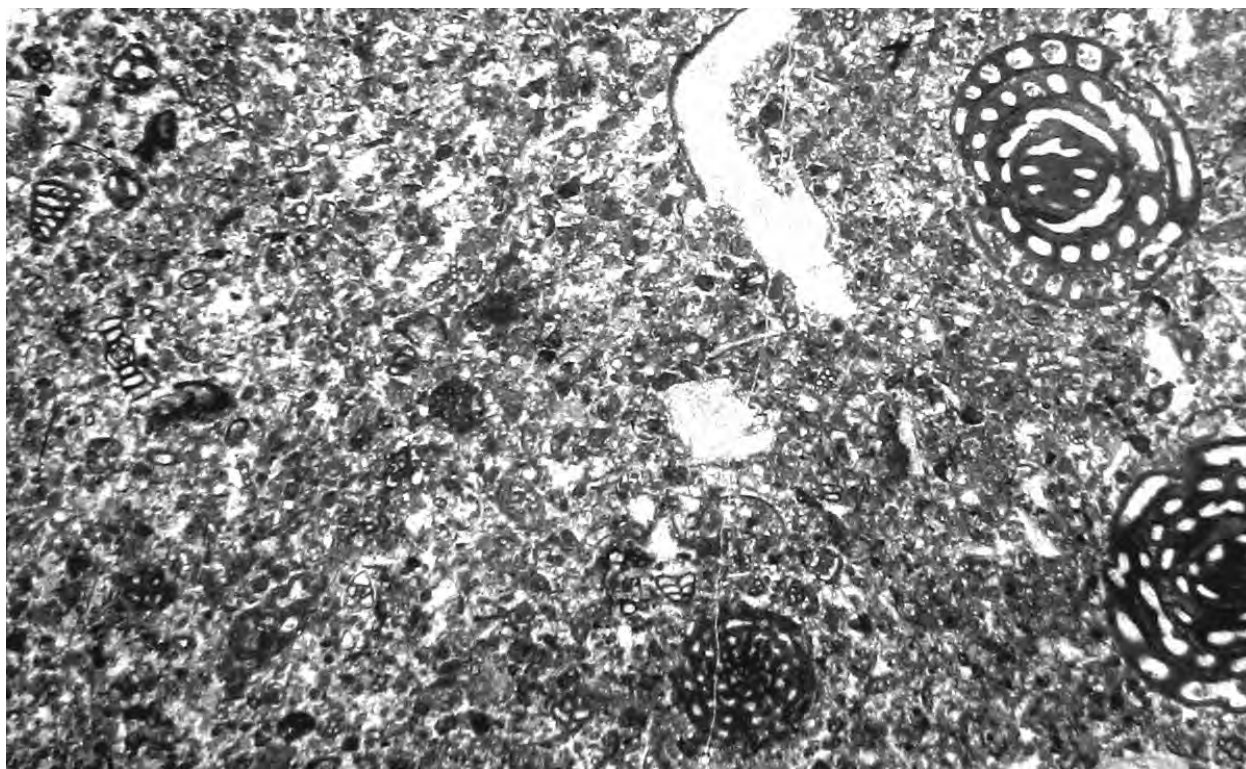
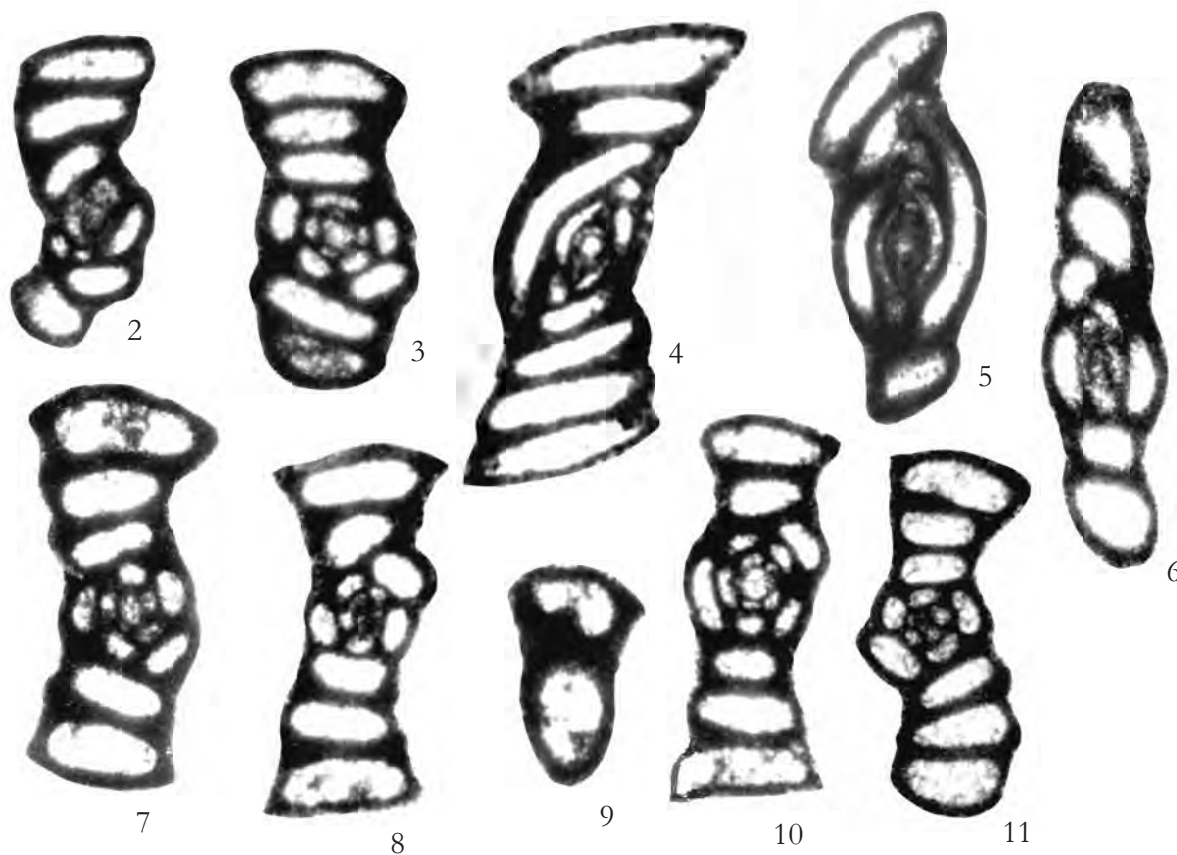


Fig. 1 – Packstone con *Sigmomassilina ottadunensis*, *Praealveolina cf. tenuis*, *Cisalveolina lehneri*, Miliolidae, altri Foraminiferi bentonici e resti di Mollusca. x 22
 – Packstone with *Sigmomassilina ottadunensis*, *Praealveolina cf. tenuis*, *Cisalveolina lehneri*, *Miliolidae*, other benthic Foraminifera and Mollusca remains. x 22



Figg. 2-11 – Sezioni variamente orientate di individui riferibili a *Sigmomassilina ottadunensis*. x 100
 – Variously oriented sections of specimens referred to *Sigmomassilina ottadunensis*. x 100

La microfacies di fig. 1 e gli individui delle figg. 2-11 provengono dalla località-tipo, sezione stratigrafica l'Ottaduna, Monte Cairo (Lazio meridionale).

Parte sommitale della biozona a Ostracoda e Miliolidae.

CENOMANIANO INFERIORE

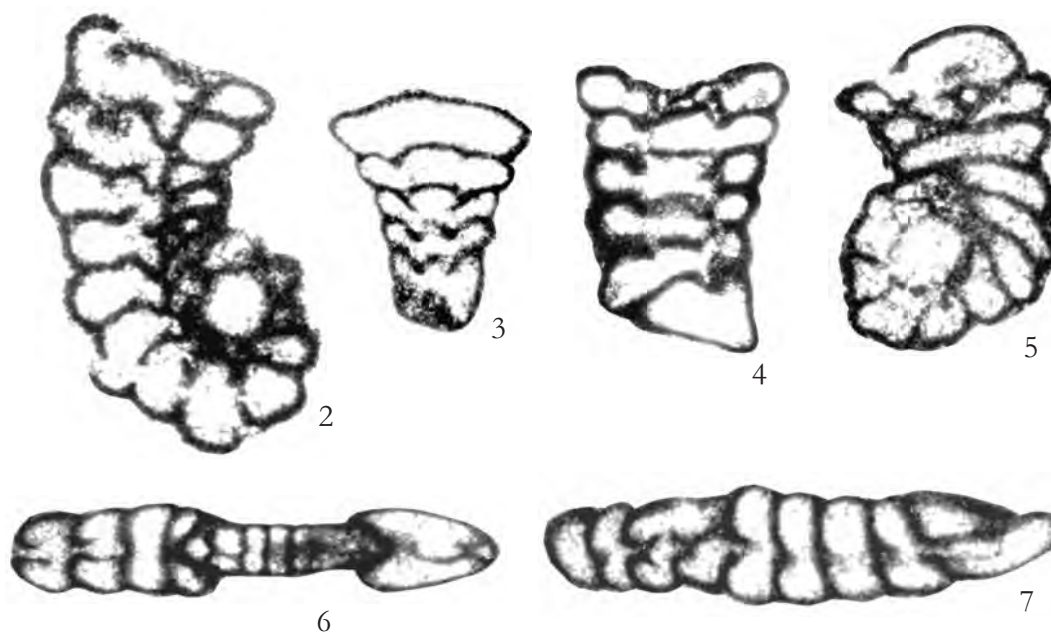
– The microfacies of fig. 1 and the specimens of figs. 2-11 from type-locality, l'Ottaduna stratigraphic section, Cairo Mt. (Southern Latium).

Uppermost part of the Ostracoda and Miliolidae biozone.

LOWER CENOMANIAN



Fig. 1 – Packstone con *Merlingina cretacea*, *Cuneolina* sp., Miliolidae e altri Foraminiferi bentonici. x 30
– Packstone with *Merlingina cretacea*, *Cuneolina* sp., Miliolidae and other benthic Foraminifera. x 30



Figg. 2-7 – Sezioni variamente orientate di individui riferibili a *Merlingina cretacea*. x 85
– Variously oriented sections of specimens referred to *Merlingina cretacea*. x 85

La microfacies di fig. 1 e gli individui delle figg. 2, 3, 5, 6 provengono dalla sezione stratigrafica l'Ottaduna Monte Cairo; gli individui di figg. 4, 7 dalla sezione stratigrafica di Serra del Pruno, Monti Ausoni (Lazio meridionale). Biozona a Ostracoda e Miliolidae.
– The microfacies of fig. 1 and the specimens of figs. 2, 3, 5, 6 from l'Ottaduna stratigraphic section, Cairo Mt.; the specimens of figs. 4, 7 from Serra del Pruno stratigraphic section, Ausoni Mts. (Southern Latium).
CENOMANIANO INFERIORE
LOWER CENOMANIAN

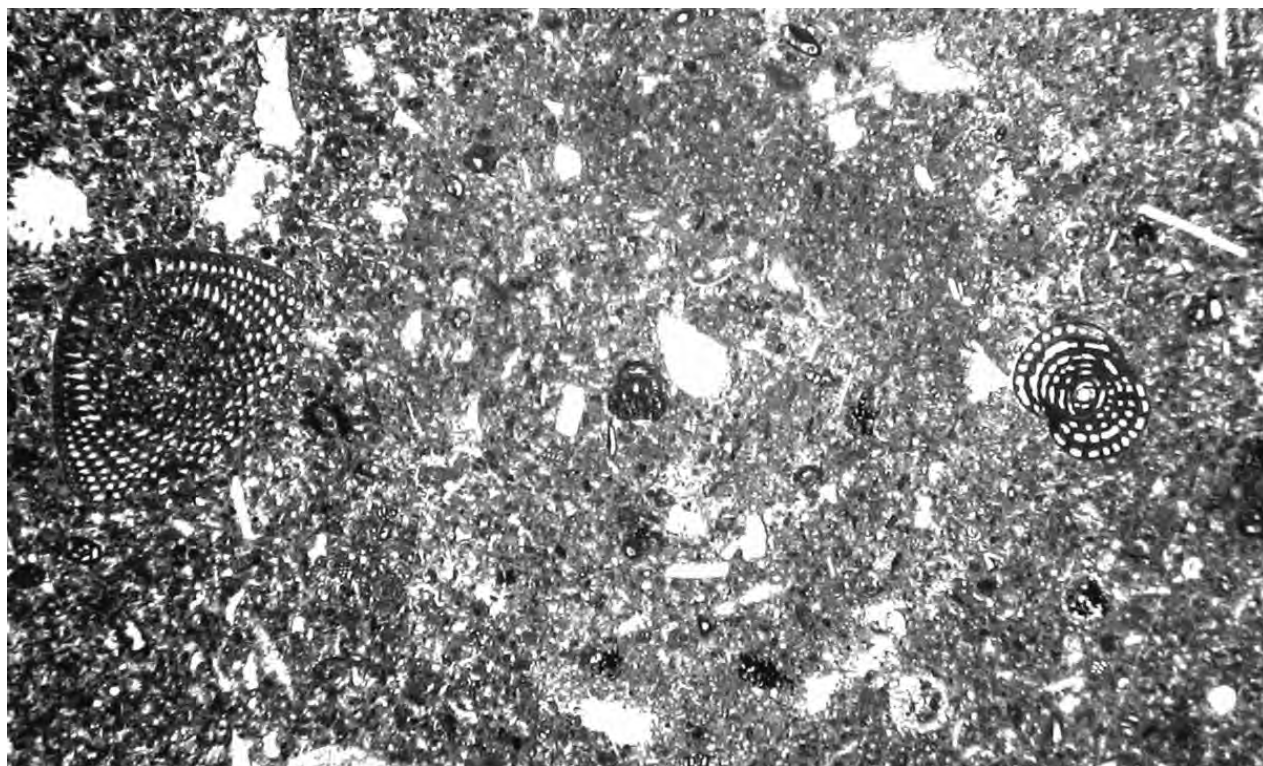
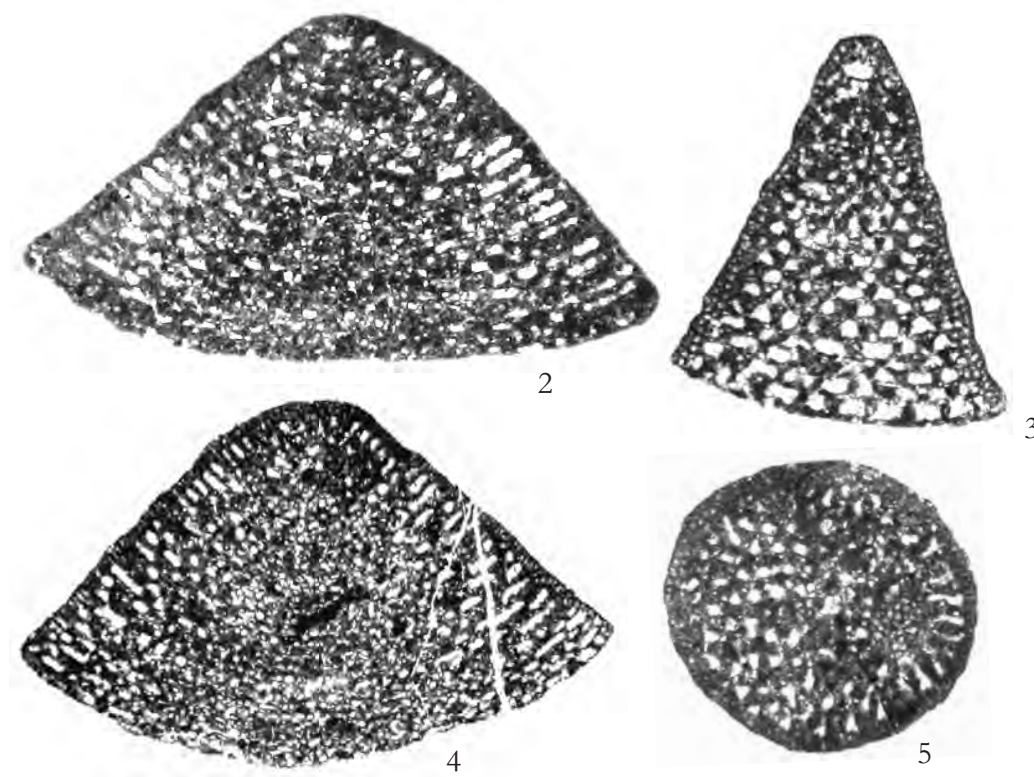


Fig. 1 – Floatstone mal classato con *Orbitolina (Conicorbitolina) conica*, *Cisalveolina lehneri*, *Trocholina arabica* e altri Foraminiferi bentonici. $\times 12$
 – Poorly sorted floatstone with *Orbitolina (Conicorbitolina) conica*, *Cisalveolina lehneri*, *Trocholina arabica* and other benthic Foraminifera. $\times 12$



Figg. 2-5 – Sezioni variamente orientate di individui riferibili a *Orbitolina (Conicorbitolina) conica*. $\times 25$
 – Variously oriented sections of specimens referred to *Orbitolina (Conicorbitolina) conica*. $\times 25$

La microfacies di fig. 1 e gli individui delle figg. 2-5 provengono dalla sezione stratigrafica l'Ottaduna, Monte Cairo (Lazio meridionale).

Parte iniziale della biozona a *Pseudorhapydionina dubia* e *Pseudorhapydionina laurinensis*.

CENOMANIANO SUPERIORE

– The microfacies of fig. 1 and the specimens of figs. 2-5 from l'Ottaduna stratigraphic section, Cairo Mt. (Southern Latium).

Lowermost part of *Pseudorhapydionina dubia* and *Pseudorhapydionina laurinensis* biozone.

UPPER CENOMANIAN

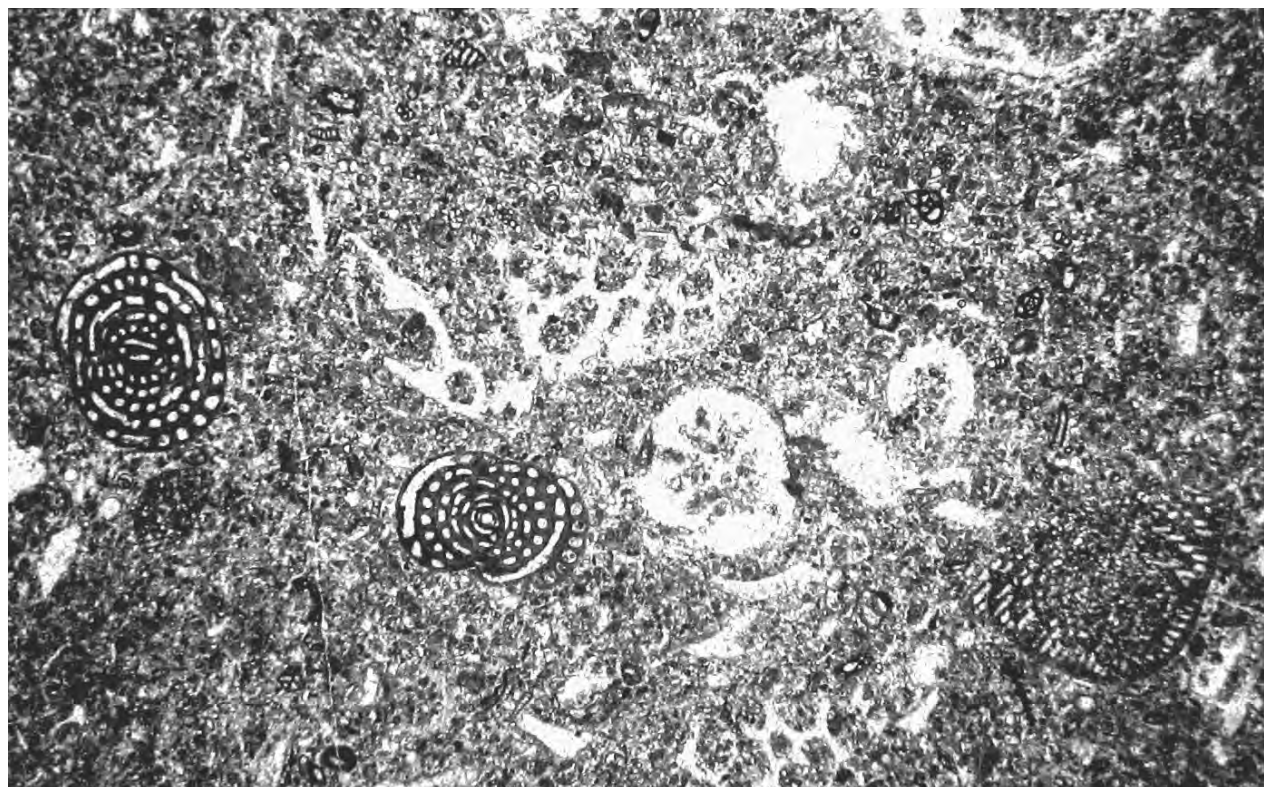
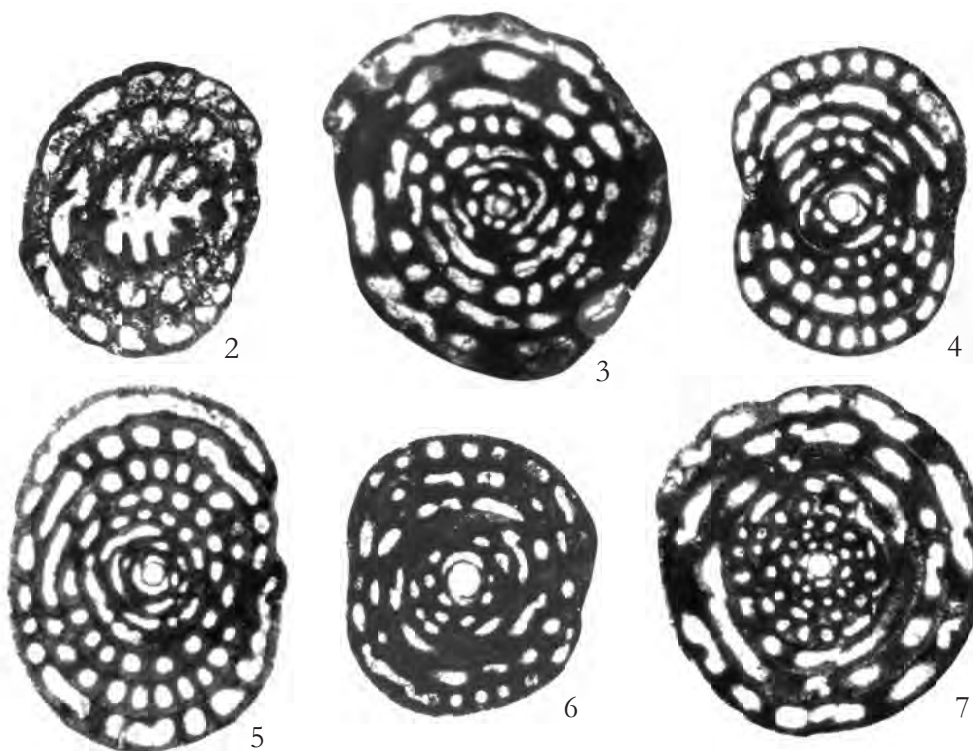


Fig. 1 – Rudstone con *Cisalveolina lehneri*, *Orbitolina (Conicorbitolina) conica*, altri Foraminiferi bentonici e resti di Mollusca e Scleractinia. x 15
 – Rudstone with *Cisalveolina lehneri*, *Orbitolina (Conicorbitolina) conica*, other benthic Foraminifera, Mollusca and Scleractinia remains. x 15



Figg. 2-7 – Sezioni variamente orientate di individui riferibili a *Cisalveolina lehneri*. x 22
 – Variously oriented sections of specimens referred to *Cisalveolina lehneri*. x 22

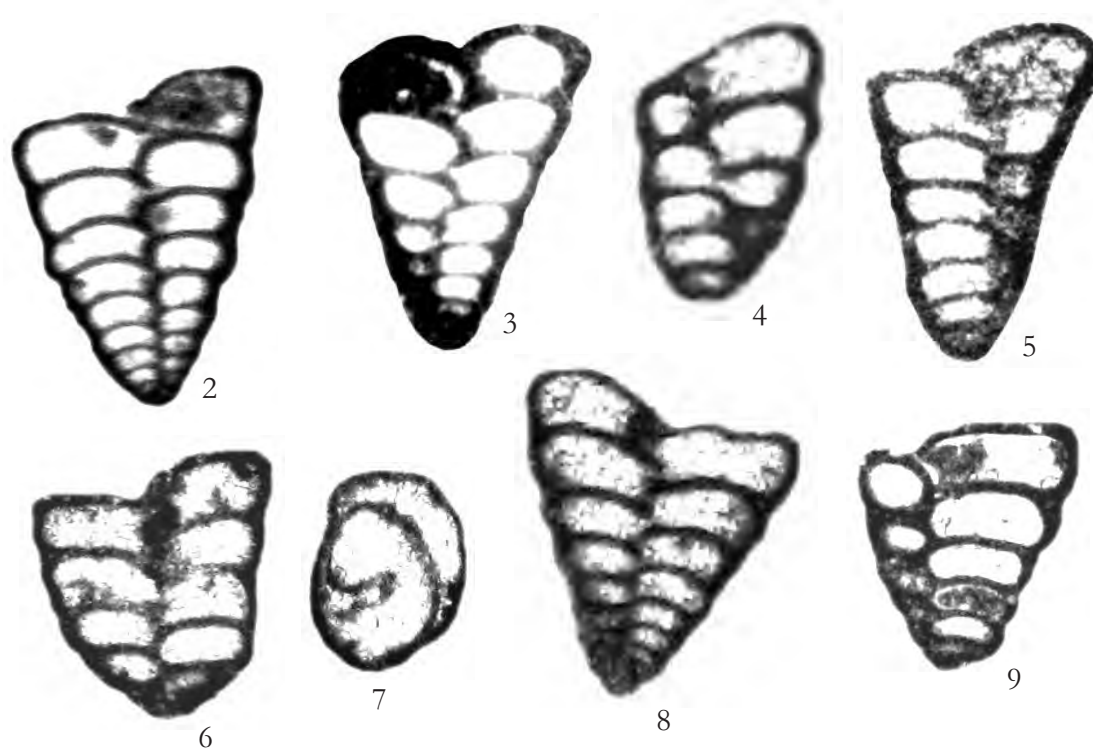
La microfacies di fig. 1 e gli individui delle figg. 2, 4-7 provengono dalla sezione stratigrafica l'Ottaduna, Monte Cairo; l'individuo di fig. 3 dalla sezione stratigrafica di Serra del Pruno, Monti Ausoni (Lazio meridionale). Parte iniziale della biozona a *Pseudorhapydionina dubia* e *Pseudorhapydionina laurinensis*.

CENOMANIANO SUPERIORE

– The microfacies of fig. 1 and the specimens of figs. 2, 4-7 from l'Ottaduna stratigraphic section, Cairo Mt.; the specimen of fig. 3 from Serra del Pruno stratigraphic section, Ausoni Mts. (Southern Lazio).
 Lowermost part of the *Pseudorhapydionina dubia* and *Pseudorhapydionina laurinensis* biozone. UPPER CENOMANIAN



Fig. 1 – Packstone con *Marssonella turris*, Miliolidae, altri Foraminiferi bentonici e resti di Hippuritacea. x 20
 – Packstone with *Marssonella turris*, *Miliolidae*, other benthic Foraminifera and Hippuritacea remains. x 20



Figg. 2-9 – Sezioni variamente orientate di individui riferibili a *Marssonella turris*. x 65
 – Variously oriented sections of specimens referred to *Marssonella turris*. x 65

La microfacies di fig. 1 e gli individui delle figg. 2-9 provengono dalla sezione stratigrafica l'Ottaduna, Monte Cairo (Lazio meridionale).

Parte iniziale della biozona a *Pseudorhapydionina dubia* e *Pseudorhapydionina laurinensis*.

CENOMANIANO SUPERIORE

– The microfacies of fig. 1 and the specimens of figs. 2-9 from l'Ottaduna stratigraphic section, Cairo Mt. (Southern Latium). Lowermost part of the *Pseudorhapydionina dubia* e *Pseudorhapydionina laurinensis* biozone. UPPER CENOMANIAN

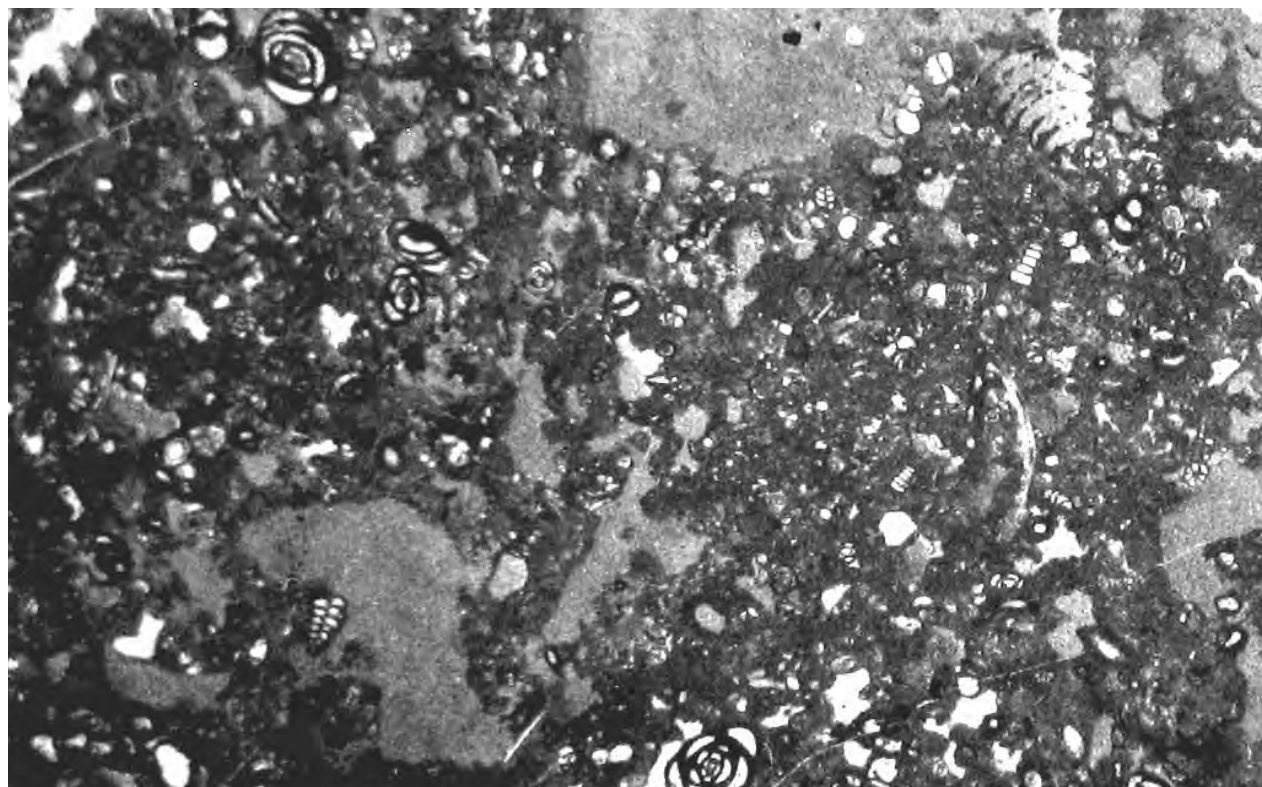
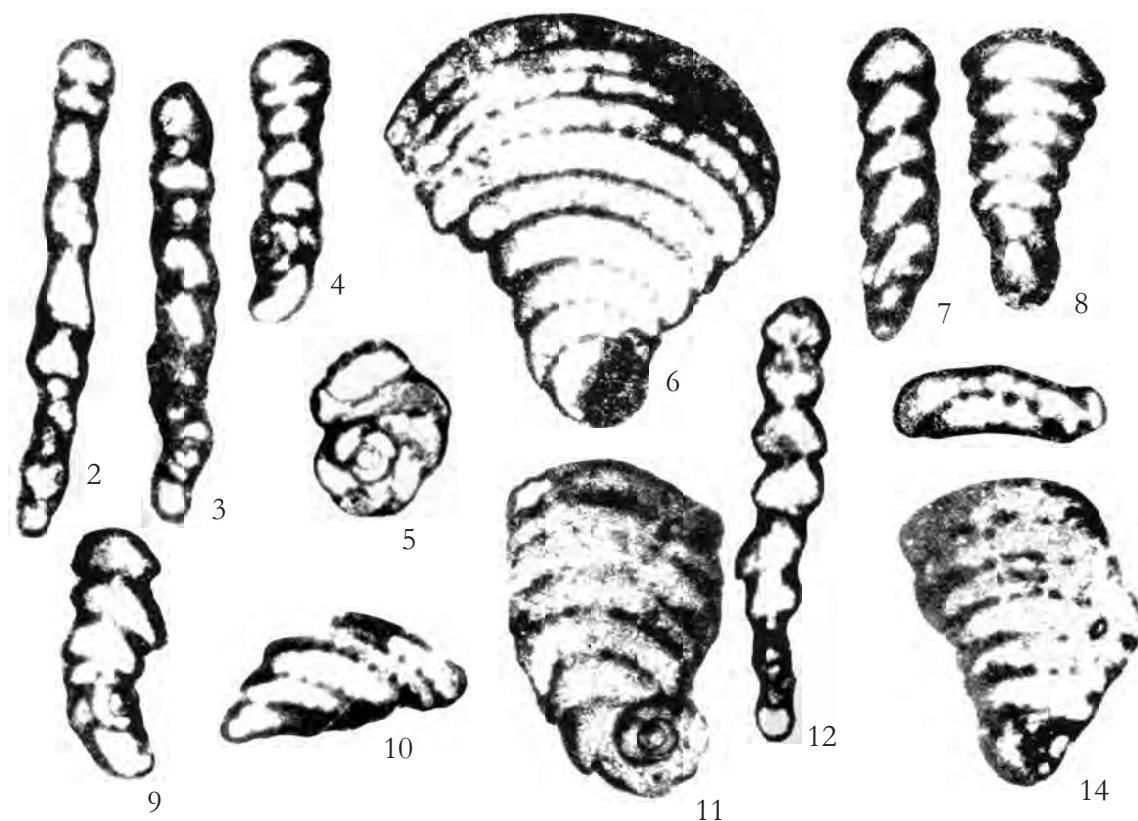


Fig. 1 – Wackestone con *Peneroplis cairensis*, Miliolidae e altri Foraminiferi bentonici. $\times 20$
 – Wackestone with *Peneroplis cairensis*, Miliolidae and other benthic Foraminifera. $\times 20$



Figg. 2-14 – Sezioni variamente orientate di individui riferibili a *Peneroplis cairensis*. $\times 45$
 – Variously oriented sections of specimens referred to *Peneroplis cairensis*. $\times 45$

La microfacies di fig. 1 e gli individui delle figg. 2-14 provengono dalla sezione stratigrafica di Colle Santa Lucia, Monte Cairo (Lazio meridionale).

Parte inferiore della biozona a *Pseudorhapydionina dubia* e *Pseudorhapydionina laurinensis*.

CENOMANIANO SUPERIORE

– The microfacies of fig. 1 and the specimens of figs. 2-14 from Colle Santa Lucia stratigraphic section, Cairo Mt. (Southern Latium). Lower part of the *Pseudorhapydionina dubia* e *Pseudorhapydionina laurinensis* biozone. UPPER CENOMANIAN

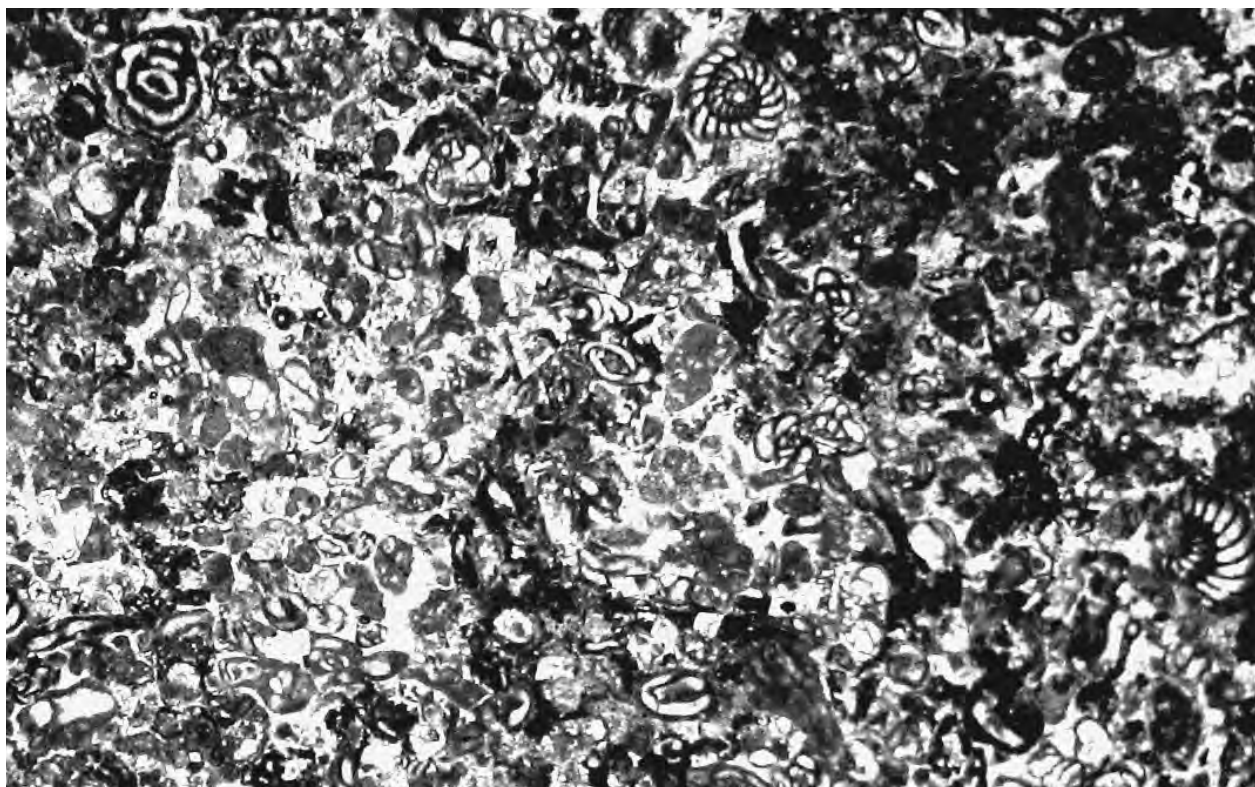
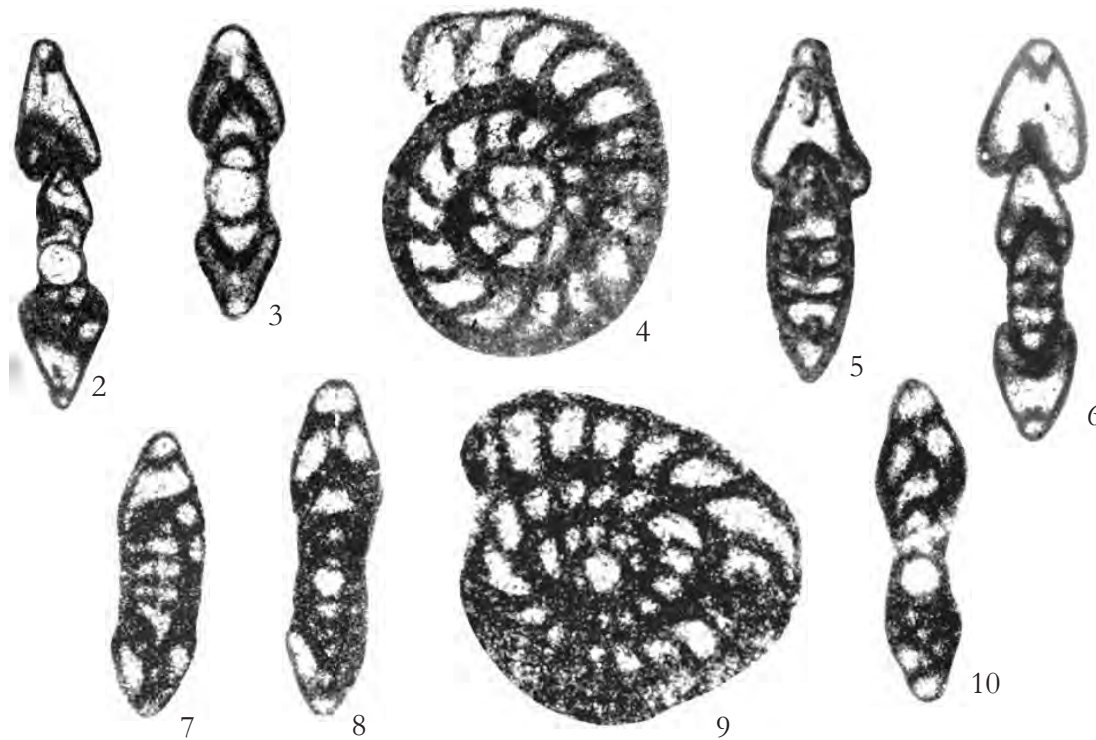


Fig. 1 – Grainstone con *Biconcava bentori*, *Nezzazata simplex*, *Nezzazata* sp., *Cuneolina* sp., Miliolidae e altri Foraminiferi bentonici. x 25
 – Grainstone with *Biconcava bentori*, *Nezzazata simplex*, *Nezzazata* sp., *Cuneolina* sp., Miliolidae and other benthic Foraminifera. x 25



Figg. 2-10 – Sezioni variamente orientate di individui riferibili a *Biconcava bentori*. x 72
 – Variously oriented sections of specimens referred to *Biconcava bentori*. x 72

La microfacies di fig. 1 e gli individui delle figg. 2-10 provengono dalla sezione stratigrafica di Serra del Pruno, Monti Ausoni (Lazio meridionale).

Biozona a *Pseudorhapydionina dubia* e *Pseudorhapydionina laurinensis*. CENOMANIANO SUPERIORE
 – The microfacies of fig. 1 and the specimens of figs. 2-10 from Serra del Pruno stratigraphic sections, Ausoni Mts. (Southern Lazio).
Pseudorhapydionina dubia and *Pseudorhapydionina laurinensis* biozone. UPPER CENOMANIAN

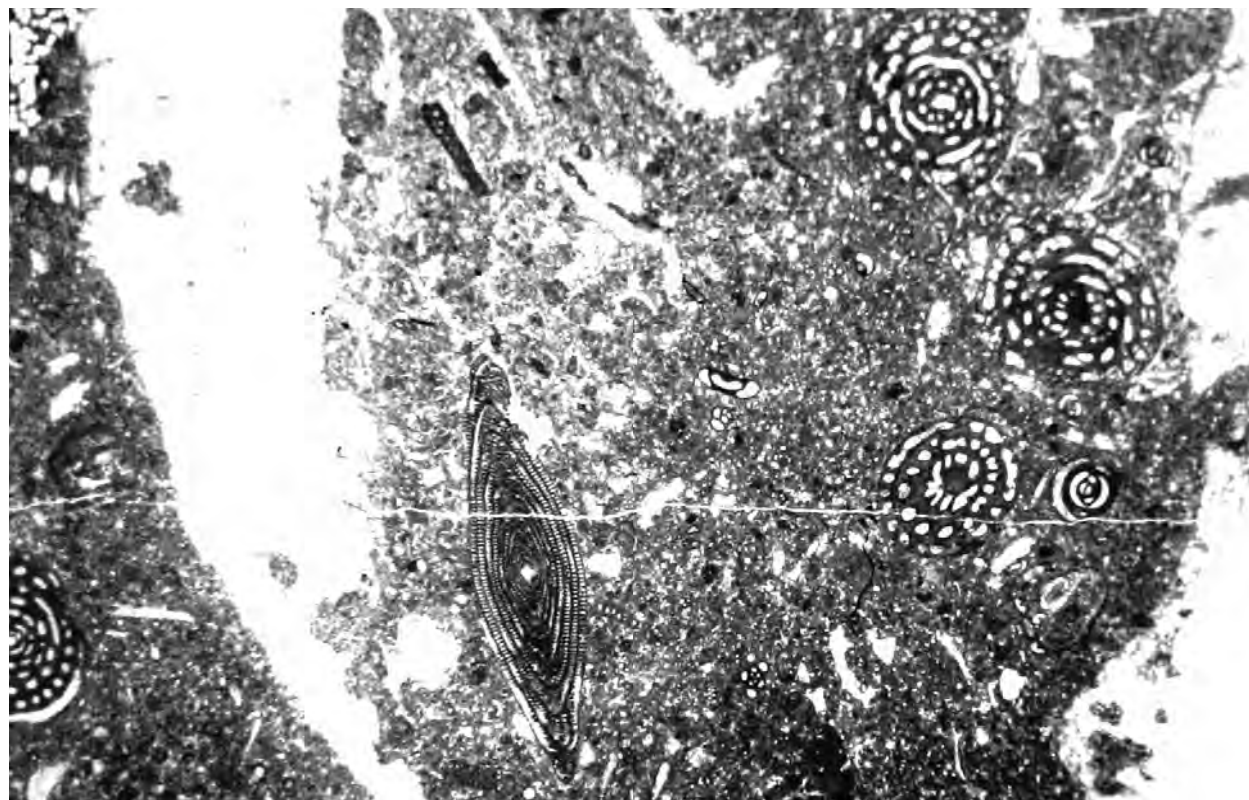
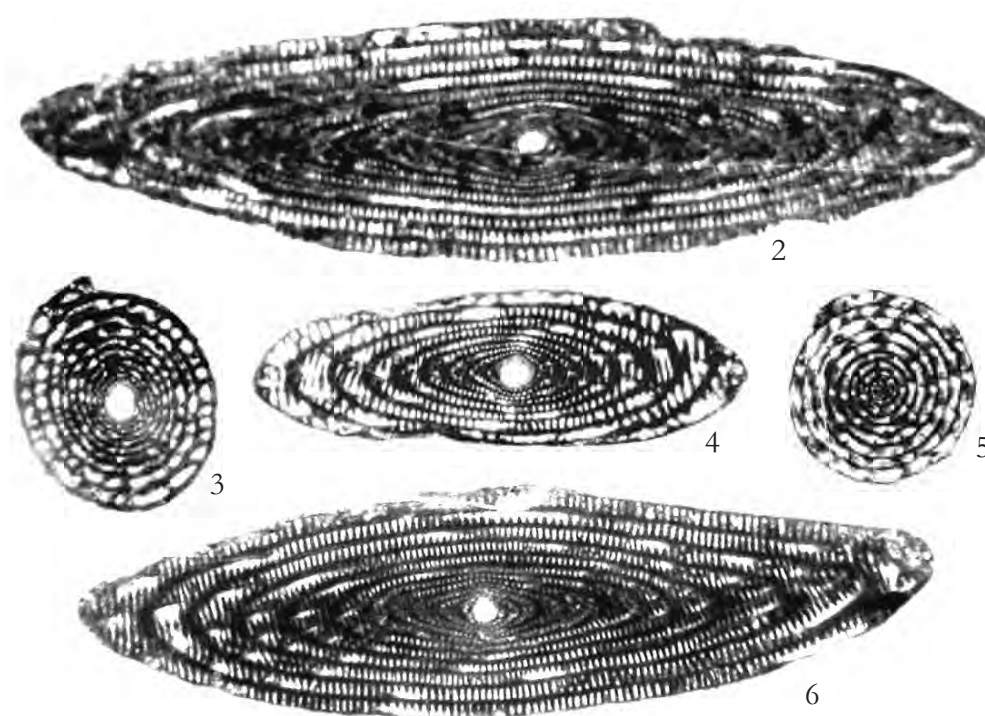


Fig. 1 – Floatstone mal classato con *Praealveolina* cf. *tenuis*, *Cisalveolina lehneri*, altri Foraminiferi bentonici e resti di Mollusca. x 12
 – Poorly sorted floatstone with *Praealveolina* cf. *tenuis*, *Cisalveolina lehneri*, other benthic Foraminifera and Mollusca remains. x 12



Figg. 2-6 – Sezioni variamente orientate di individui riferibili a *Praealveolina* cf. *tenuis*. x 22
 – Variously oriented sections of specimens referred to *Praealveolina* cf. *tenuis*. x 22

La microfacies di fig. 1 e gli individui delle figg. 2-6 provengono dalla sezione stratigrafica l'Ottaduna, Monte Cairo (Lazio meridionale).

Biozona a *Pseudorhapydionina dubia* e *Pseudorhapydionina laurinensis*. CENOMANIANO SUPERIORE
 – The microfacies of fig. 1 and the specimens of figs. 2-6 from l'Ottaduna stratigraphic section, Cairo Mt. (Southern Lazio).
Pseudorhapydionina dubia and *Pseudorhapydionina laurinensis* biozone. UPPER CENOMANIAN

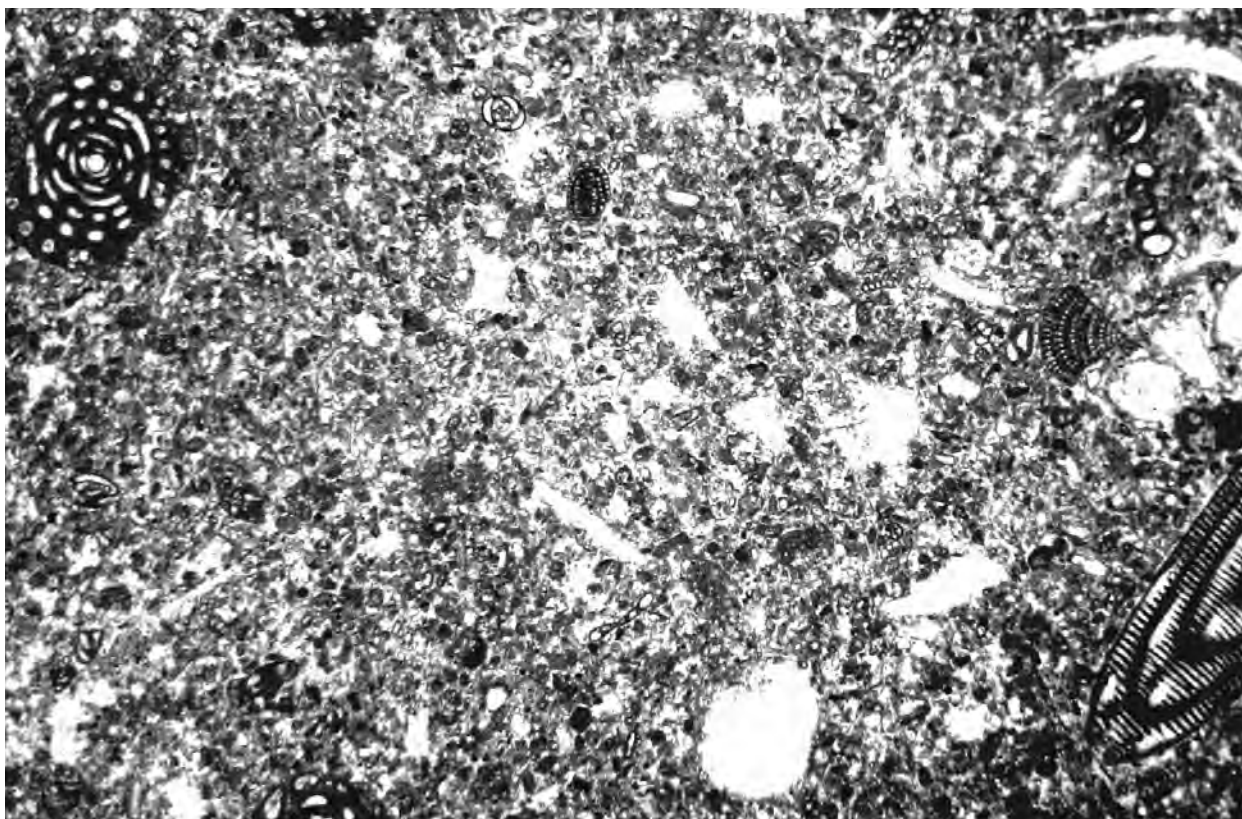
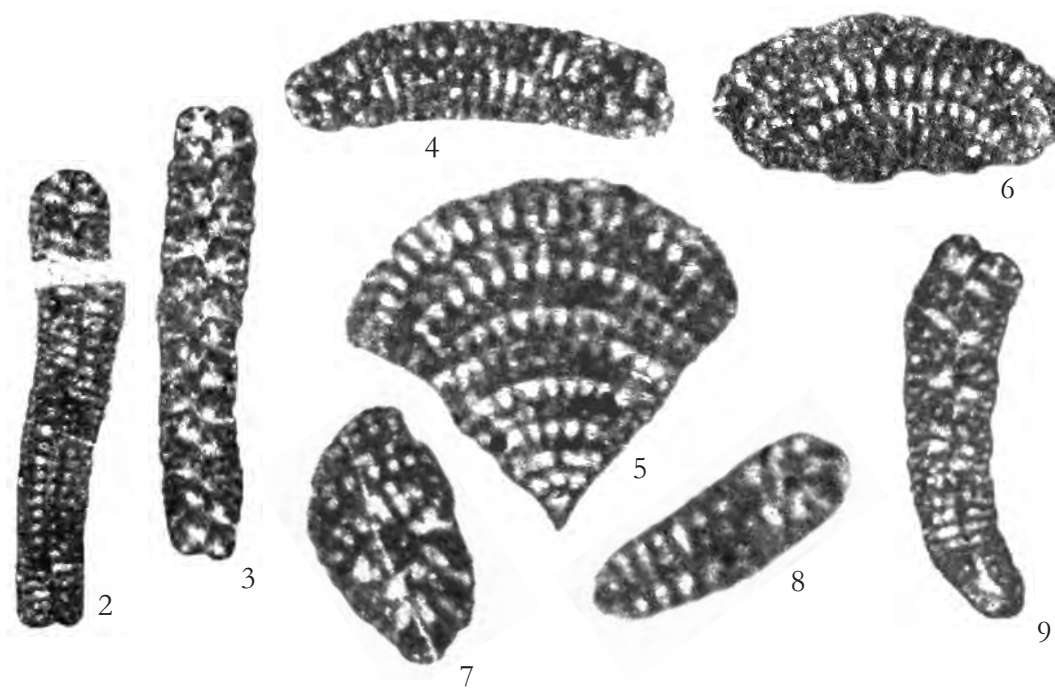


Fig. 1 – Rudstone mal classato con *Cuneolina pavonia*, *Praealveolina cf. tenuis*, *Cisalveolina lehneri*, Miliolidae, altri Foraminiferi bentonici e resti di Mollusca. $\times 15$
 – Poorly sorted rudstone with *Cuneolina pavonia*, *Praealveolina cf. tenuis*, *Cisalveolina lehneri*, *Miliolidae*, other benthic Foraminifera and Mollusca remains. $\times 15$



Figg. 2-9 – Sezioni variamente orientate di individui riferibili a *Cuneolina pavonia*. $\times 60$
 – Variously oriented sections of specimens referred to *Cuneolina pavonia*. $\times 60$

La microfacies di fig. 1 e gli individui delle figg. 2-9 provengono dalla sezione stratigrafica l'Ottaduna, Monte Cairo (Lazio meridionale).
 Biozona a *Pseudorhapydionina dubia* e *Pseudorhapydionina laurinensis*. CENOMANIANO SUPERIORE
 – The microfacies of fig. 1 and the specimens of figs. 2-9 from l'Ottaduna stratigraphic section, Cairo Mt. (Southern Lazio).
Pseudorhapydionina dubia and *Pseudorhapydionina laurinensis* biozone. UPPER CENOMANIAN

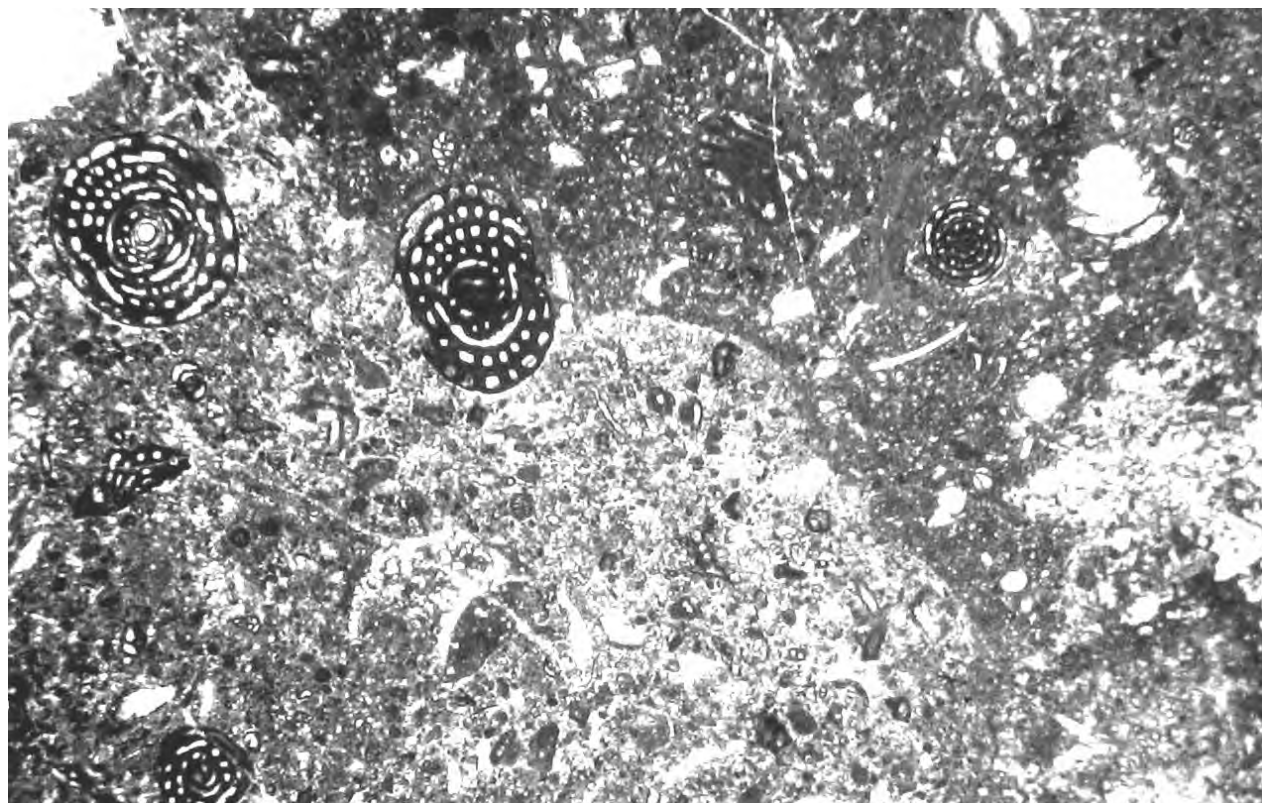
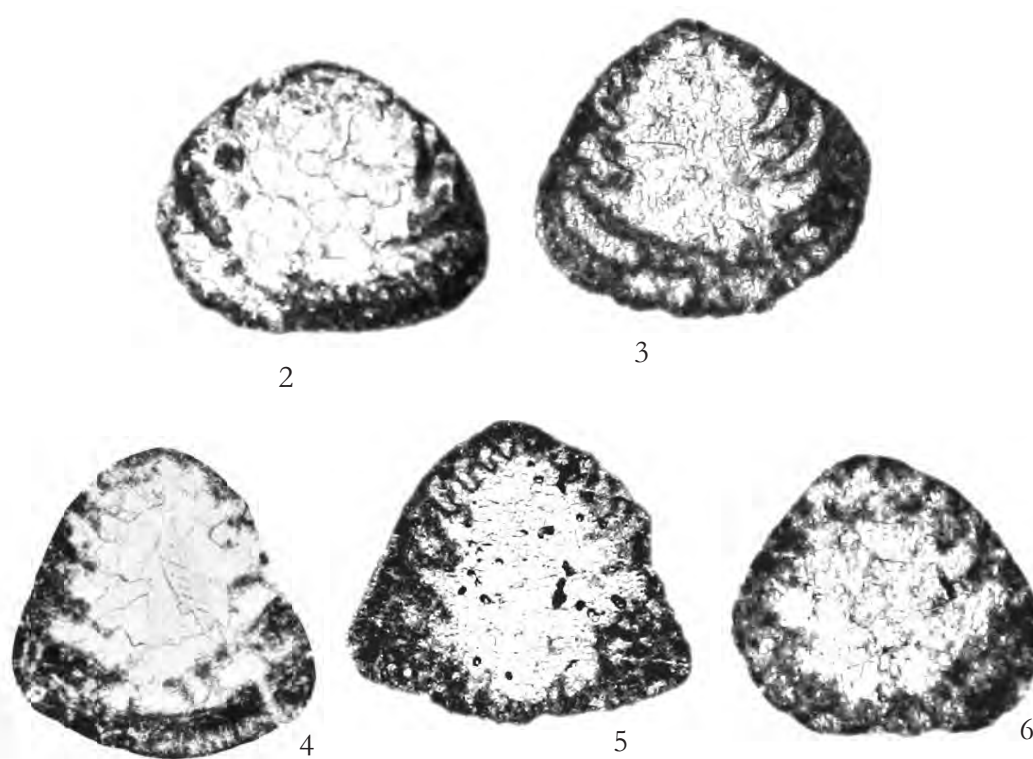


Fig. 1 – Floatstone mal classato con *Trocholina arabica*, *Cisalveolina lehneri*, *Praealveolina cf. tenuis* e altri Foraminiferi bentonici. x 18

– Poorly sorted floatstone with *Trocholina arabica*, *Cisalveolina lehneri*, *Praealveolina cf. tenuis* and other benthic Foraminifera. x 18



Figg. 2-6 – Sezioni variamente orientate di individui riferibili a *Trocholina arabica*. x 45
– Variously oriented sections of specimens referred to *Trocholina arabica*. x 45

La microfacies di fig. 1 e gli individui delle figg. 2-6 provengono dalla sezione stratigrafica l'Ottaduna, Monte Cairo (Lazio meridionale).

Biozona a *Pseudorhapydionina dubia* e *Pseudorhapydionina laurinensis*. CENOMANIANO SUPERIORE
– The microfacies of fig. 1 and the specimens of figs. 2-6 from l'Ottaduna stratigraphic section, Cairo Mt. (Southern Lazio).
Pseudorhapydionina dubia and *Pseudorhapydionina laurinensis* biozone. UPPER CENOMANIAN

Tavola 98

Plate 98

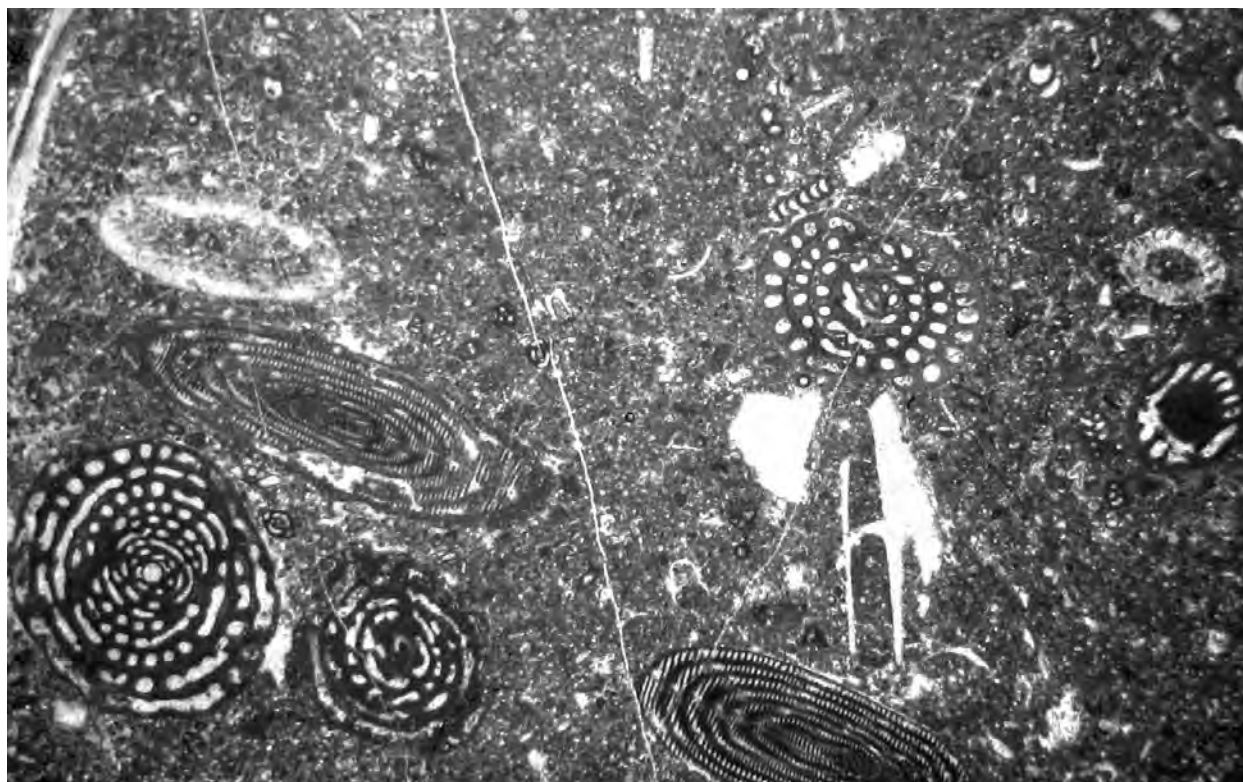
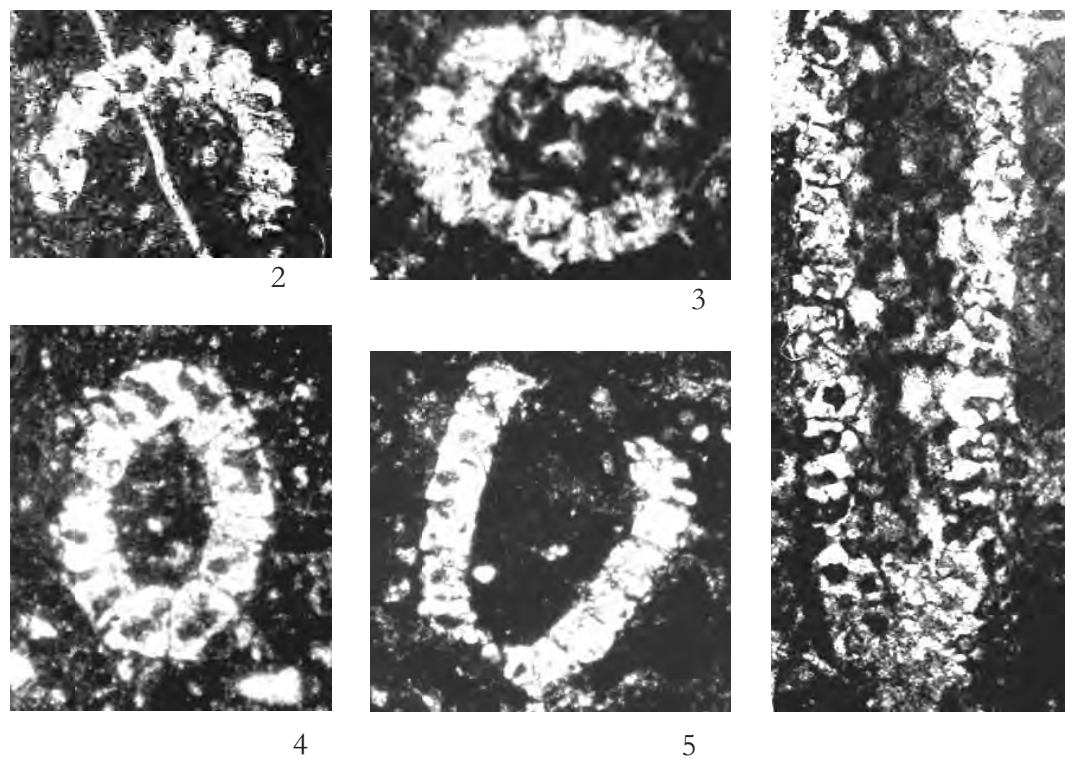


Fig. 1 – Floatstone con *Heteroporella lepina*, *Cisaheolina lehneri*, *Praealveolina cf. tenuis*, altri Foraminiferi bentonici e resti di Mollusca. x 15
 – *Floatstone with Heteroporella lepina*, *Cisaheolina lehneri*, *Praealveolina cf. tenuis*, other benthic Foraminifera and Mollusca remains. x 15



Figg. 2-6 – Sezioni variamente orientate di individui riferibili a *Heteroporella lepina*. x 35
 – *Variously oriented sections of specimens referred to Heteroporella lepina.* x 35

La microfacies di fig. 1 e gli individui delle figg. 2-6 provengono dalla sezione stratigrafica l'Ottaduna, Monte Cairo (Lazio meridionale).

Biozona a *Pseudorhapydionina dubia* e *Pseudorhapydionina laurinensis*. CENOMANIANO SUPERIORE
– The microfacies of fig. 1 and the specimens of figs. 2-6 from l’Ottaduna stratigraphic section, Cairo Mt. (Southern Latium).
Pseudorhapydionina dubia and *Pseudorhapydionina laurinensis* biozone. UPPER CENOMANIAN

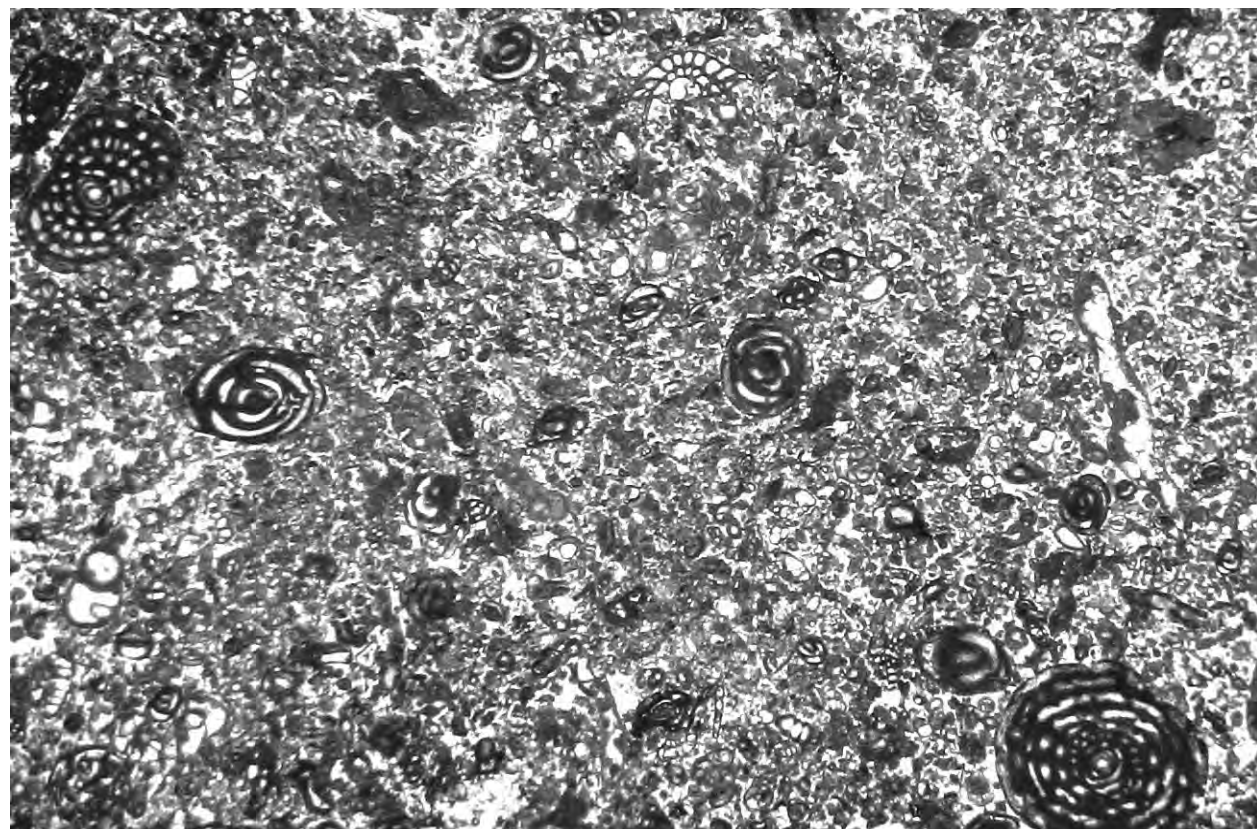
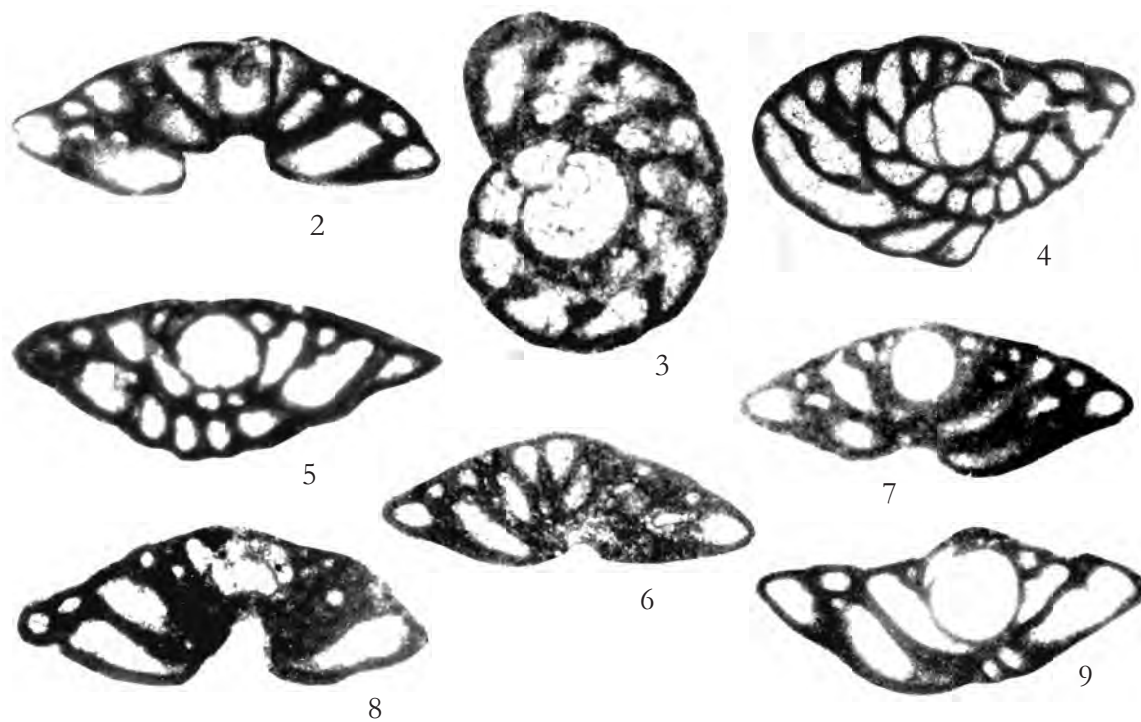


Fig. 1 – Packstone con *Trochospira avnimelechi*, *Nezzazata* sp., *Cisalveolina lehneri*, Miliolidae e altri Foraminiferi bentonici. $\times 22$

– Packstone with *Trochospira avnimelechi*, *Nezzazata* sp., *Cisalveolina lehneri*, *Miliolidae* and other benthic Foraminifera. $\times 22$



Figg. 2-9 – Sezioni variamente orientate di individui riferibili a *Trochospira avnimelechi*. $\times 85$
– Variously oriented sections of specimens referred to *Trochospira avnimelechi*. $\times 85$

La microfacies di fig. 1, gli individui delle figg. 3, 7 e gli individui delle figg. 2, 4-6, 8-9 provengono rispettivamente dalle sezioni stratigrafiche l'Ottaduna, Monte Cairo e Serra del Pruno, Monti Ausoni (Lazio meridionale).

Biozona a *Pseudorhapydionina dubia* e *Pseudorhapydionina laurinensis*. CENOMANIANO SUPERIORE
– The microfacies of fig. 1, the specimens of figs. 3, 7 and the specimens of figs. 2, 4-6, 8-9 respectively from l'Ottaduna, Cairo Mt. and Serra del Pruno stratigraphic sections Ausoni Mts. (Southern Latum).
Pseudorhapydionina dubia and *Pseudorhapydionina laurinensis* biozone.

UPPER CENOMANIAN

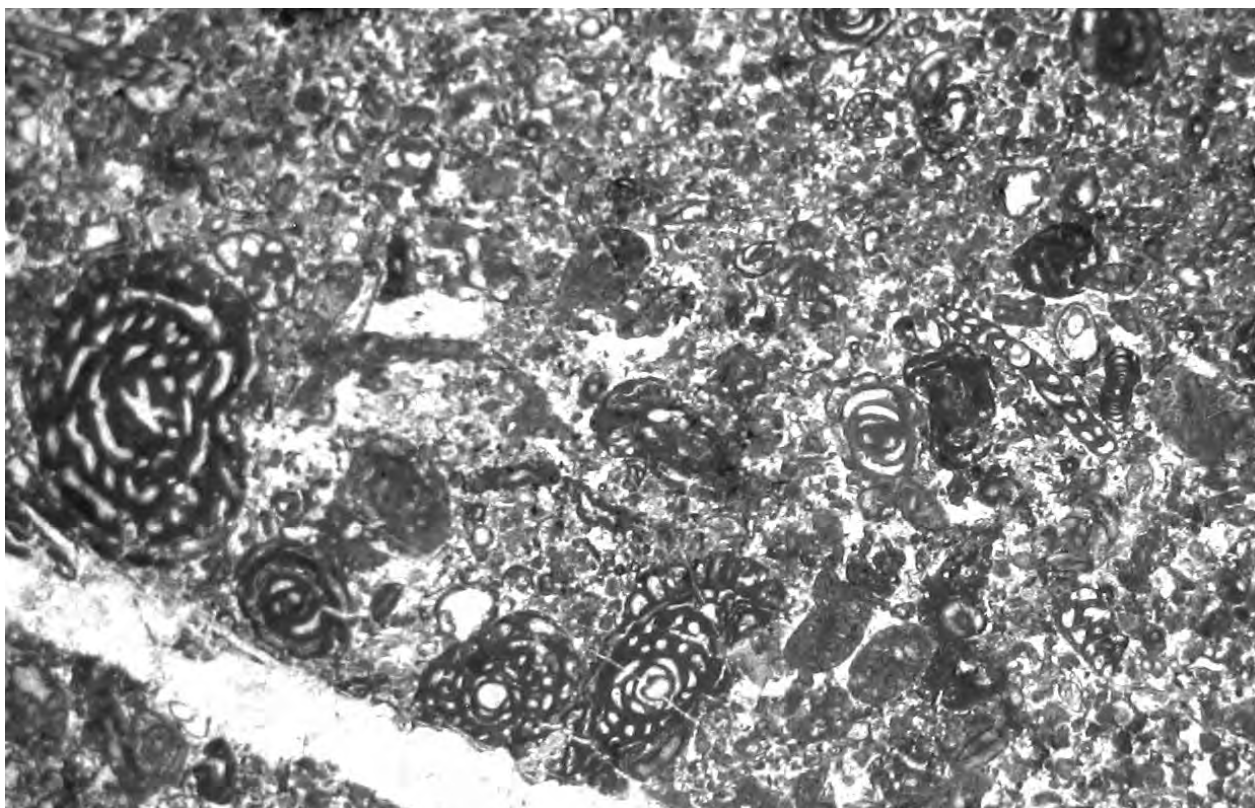


Fig. 1 – Packstone con *Biplanata peneropliformis*, *Trochospira avnimelechi*, *Cisalveolina lehneri*, *Nezzazata* sp., Miliolidae e altri Foraminiferi bentonici. $\times 22$
 – Packstone with *Biplanata peneropliformis*, *Trochospira avnimelechi*, *Cisalveolina lehneri*, *Nezzazata* sp., Miliolidae and other benthic Foraminifera. $\times 22$



Figg. 2-7 – Sezioni variamente orientate di individui riferibili a *Biplanata peneropliformis*. $\times 60$
 – Variously oriented sections of specimens referred to *Biplanata peneropliformis*. $\times 60$

La microfacies di fig. 1 e gli individui delle figg. 2-7 provengono dalla sezione stratigrafica di Serra del Pruno, Monti Ausoni (Lazio meridionale).

Biozona a *Pseudorhapydionina dubia* e *Pseudorhapydionina laurinensis*. CENOMANIANO SUPERIORE
 – The microfacies of fig. 1 and the specimens of figs. 2-7 from Serra del Pruno stratigraphic section, Ausoni Mts. (Southern Lazio).
Pseudorhapydionina dubia and *Pseudorhapydionina laurinensis* biozone. UPPER CENOMANIAN

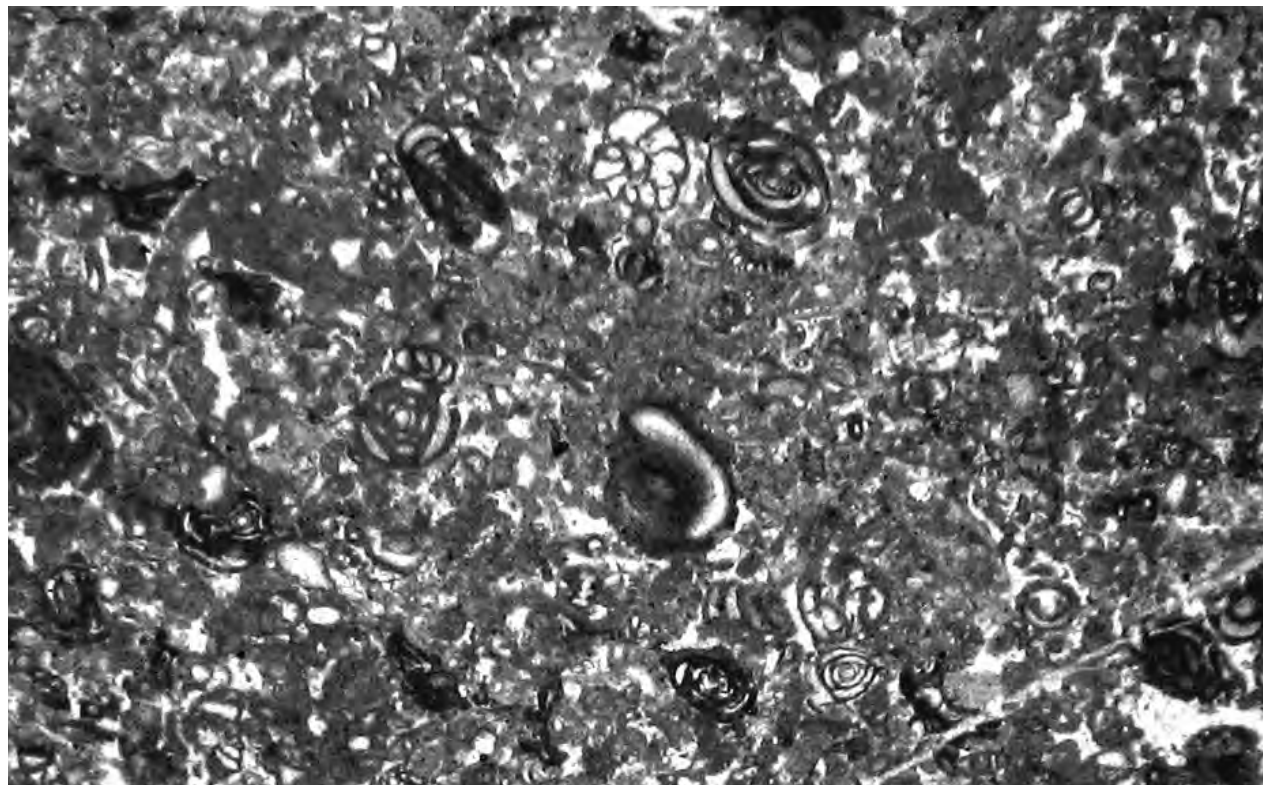
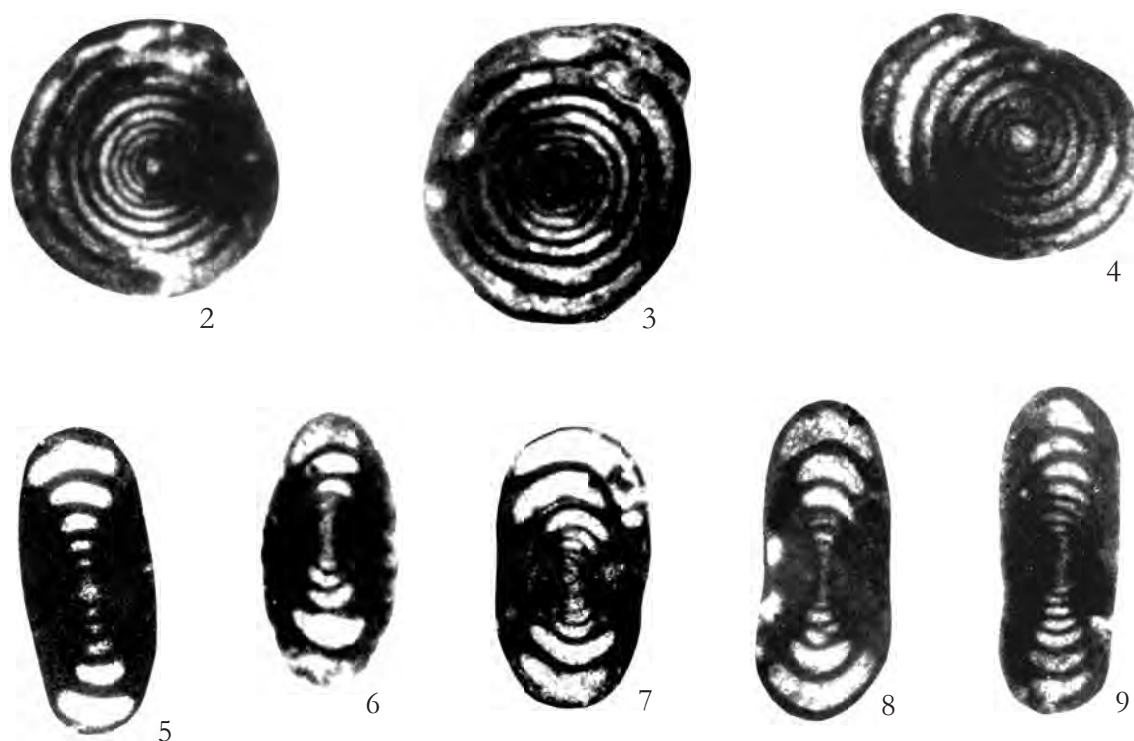


Fig. 1 – Packstone con ?*Vidalina radoicicae*, Miliolidae e altri Foraminiferi bentonici. $\times 45$
 – Packstone with ?*Vidalina radoicicae*, *Miliolidae* and other benthic Foraminifera. $\times 45$



Figg. 2-9 – Sezioni variamente orientate di individui riferibili a ?*Vidalina radoicicae*. $\times 90$
 – Variously oriented sections of specimens referred to ?*Vidalina radoicicae*. $\times 90$

La microfacies di fig. 1 e gli individui delle figg. 2-9 provengono dalla sezione stratigrafica di Serra del Pruno, Monti Ausoni (Lazio meridionale).
 Biozona a *Pseudorhapydionina dubia* e *Pseudorhapydionina laurinensis*. CENOMANIANO SUPERIORE
 – The microfacies of fig. 1 and the specimens of figs. 2-9 from Serra del Pruno stratigraphic section, Ausoni Mts. (Southern Lazio).
Pseudorhapydionina dubia and *Pseudorhapydionina laurinensis* biozone. UPPER CENOMANIAN

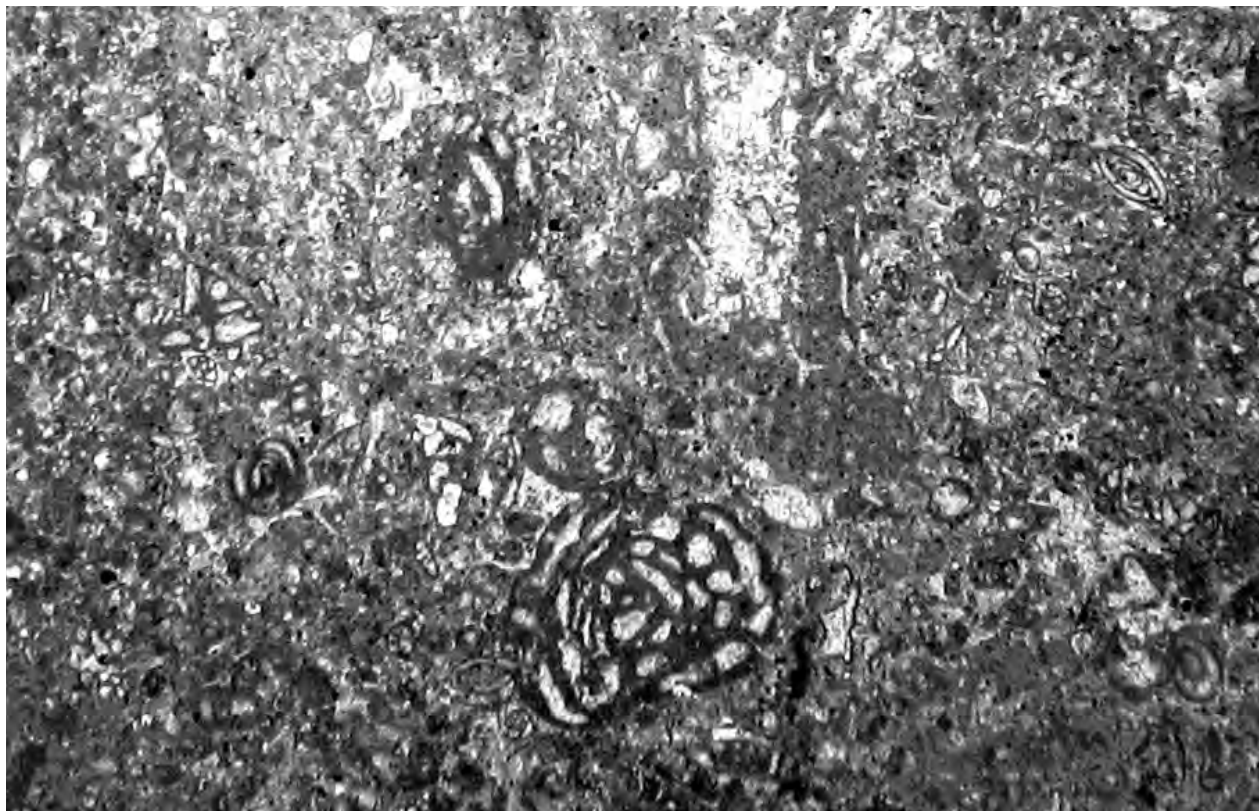
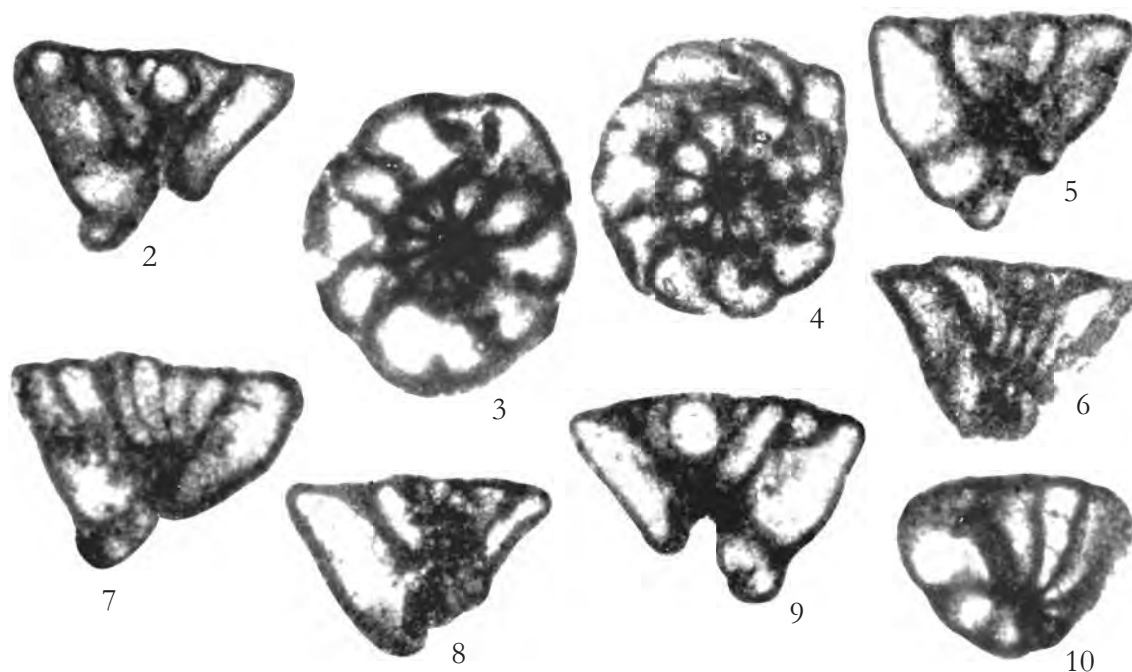


Fig. 1 – Packstone con *Nezzazata gyra*, *Cisalveolina lehneri*, Miliolidae e altri Foraminiferi bentonici. $\times 30$
 – Packstone with *Nezzazata gyra*, *Cisalveolina lehneri*, *Miliolidae* and other benthic Foraminifera. $\times 30$



Figg. 2-10 – Sezioni variamente orientate di individui riferibili a *Nezzazata gyra*. $\times 70$
 – Variously oriented sections of specimens referred to *Nezzazata gyra*. $\times 70$

La microfacies di fig. 1 e gli individui delle figg. 2-10 provengono dalla sezione stratigrafica di Serra del Pruno, Monti Ausoni (Lazio meridionale).

Biozona a *Pseudorhapydionina dubia* e *Pseudorhapydionina laurinensis*. CENOMANIANO SUPERIORE
 – The microfacies of fig. 1 and the specimens of figs. 2-10 from Serra del Pruno stratigraphic section, Ausoni Mts. (Southern Lazio).

Pseudorhapydionina dubia and *Pseudorhapydionina laurinensis* biozone

UPPER CENOMANIAN

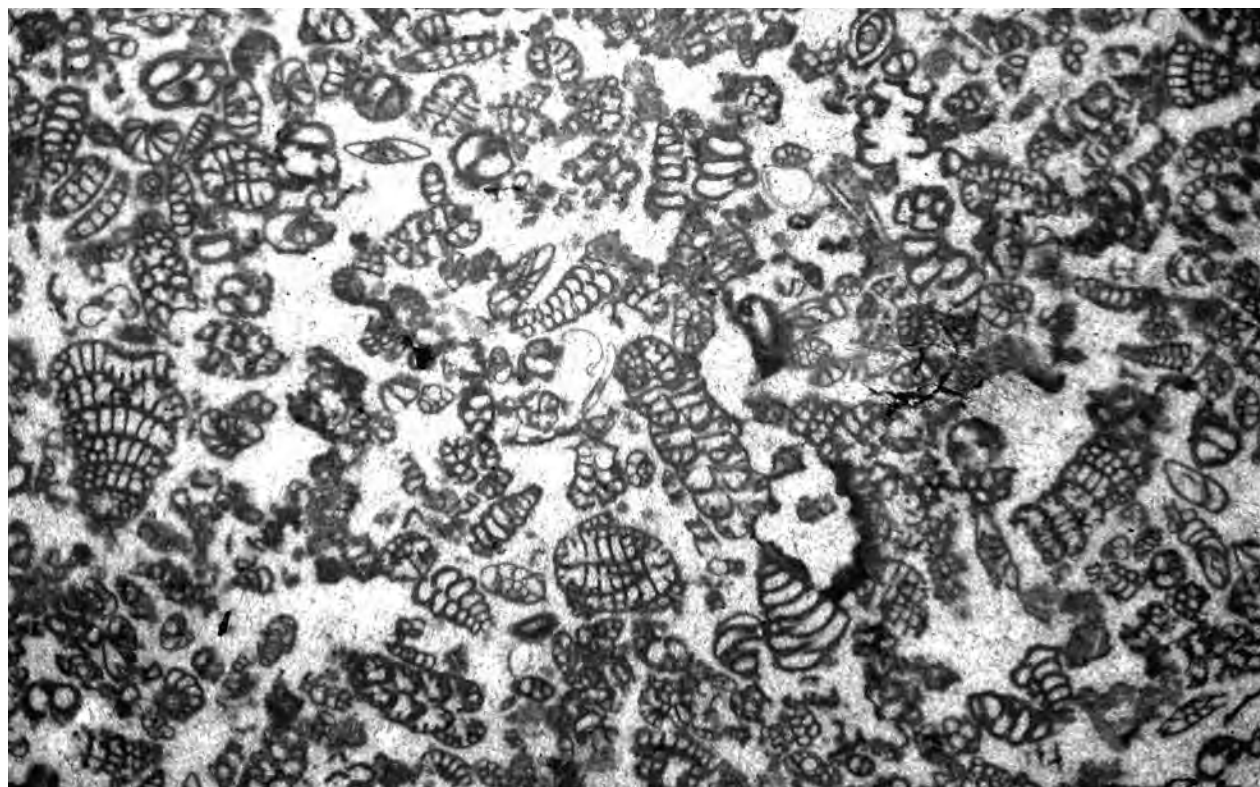
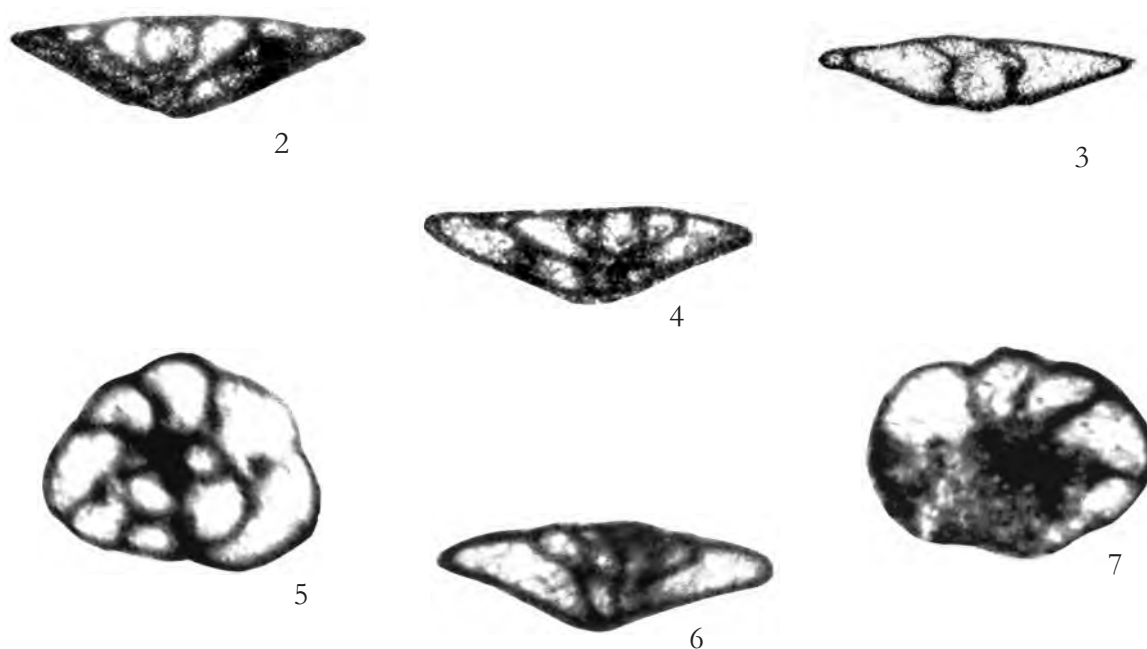


Fig. 1 – Grainstone con *Nezzazata conica*, *Biconcava bentori*, *Nezzazata* sp., *Cuneolina* sp., Miliolidae e altri Foraminiferi bentonici. $\times 24$

– Grainstone with *Nezzazata conica*, *Biconcava bentori*, *Nezzazata* sp., *Cuneolina* sp., *Miliolidae* and other benthic Foraminifera. $\times 24$



Figg. 2 - 7 – Sezioni variamente orientate di individui riferibili a *Nezzazata conica*. $\times 90$
– Variously oriented sections of specimens referred to *Nezzazata conica*. $\times 90$

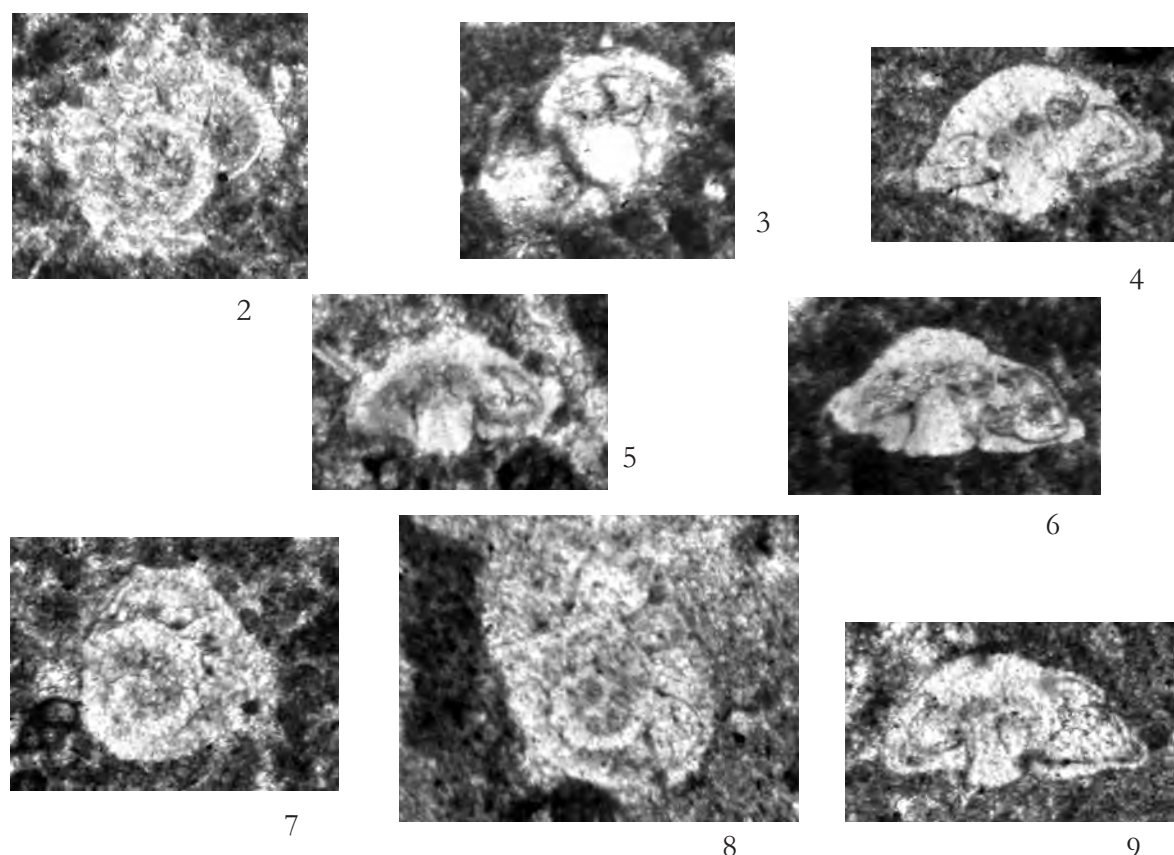
La microfacies di fig. 1 e gli individui delle figg. 2, 3, 5-7 provengono dalla sezione stratigrafica di Serra del Pruno, Monti Ausoni; l'individuo di fig. 4 proviene dalla sezione stratigrafica l'Ottaduna, Monte Cairo (Lazio meridionale).

Biozona a *Pseudorhapydionina dubia* e *Pseudorhapydionina laurinensis*. CENOMANIANO SUPERIORE
– The microfacies of fig. 1 and the specimens of figs. 2, 3, 5-7 from Serra del Pruno stratigraphic section, Monti Ausoni; the specimen of fig. 4 from l'Ottaduna stratigraphic section, Cairo Mt. (Southern Latium).
Pseudorhapydionina dubia and *Pseudorhapydionina laurinensis* biozone.

UPPER CENOMANIAN



Fig. 1 – Wackestone con *Rotalia mesogeensis*, *?Vidalina radoicicæ*, Miliolidae, altri Foraminiferi bentonici e Ostracoda. $\times 30$
– Wackestone with *Rotalia mesogeensis*, *?Vidalina radoicicæ*, *Miliolidae*, other benthic Foraminifera and Ostracoda. $\times 30$



Figg. 2-9 – Sezioni variamente orientate di individui riferibili a *Rotalia mesogeensis*. $\times 90$
– Variously oriented sections of specimens referred to *Rotalia mesogeensis*. $\times 90$

La microfacies di fig. 1 e gli individui delle figg. 2-9 provengono dalla sezione stratigrafica di Serra del Pruno, Monti Ausoni (Lazio meridionale).

Biozona a *Pseudorhapydionina dubia* e *Pseudorhapydionina laurinensis*. CENOMANIANO SUPERIORE
– The microfacies of fig. 1 and the specimens of figs. 2-9 from Serra del Pruno stratigraphic section, Ausoni Mts. (Southern Latium).
Pseudorhapydionina dubia and *Pseudorhapydionina laurinensis* biozone. UPPER CENOMANIAN

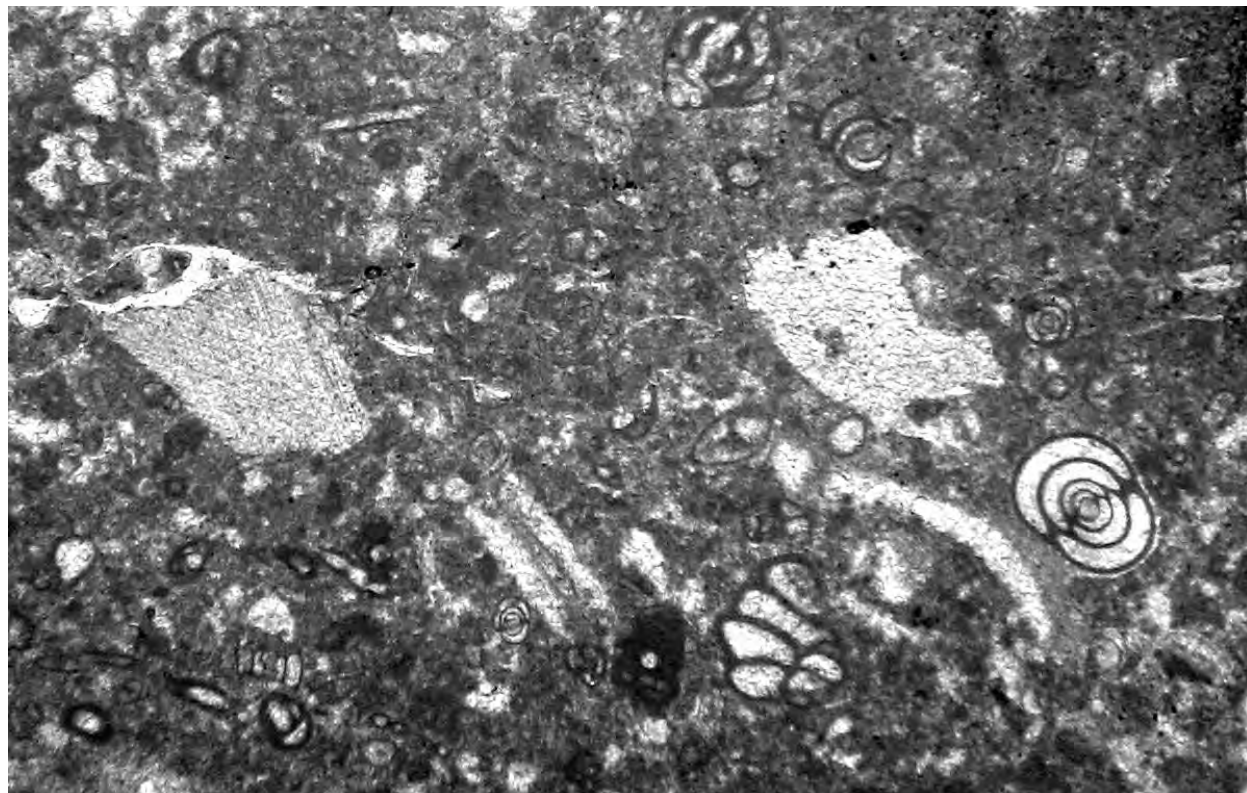
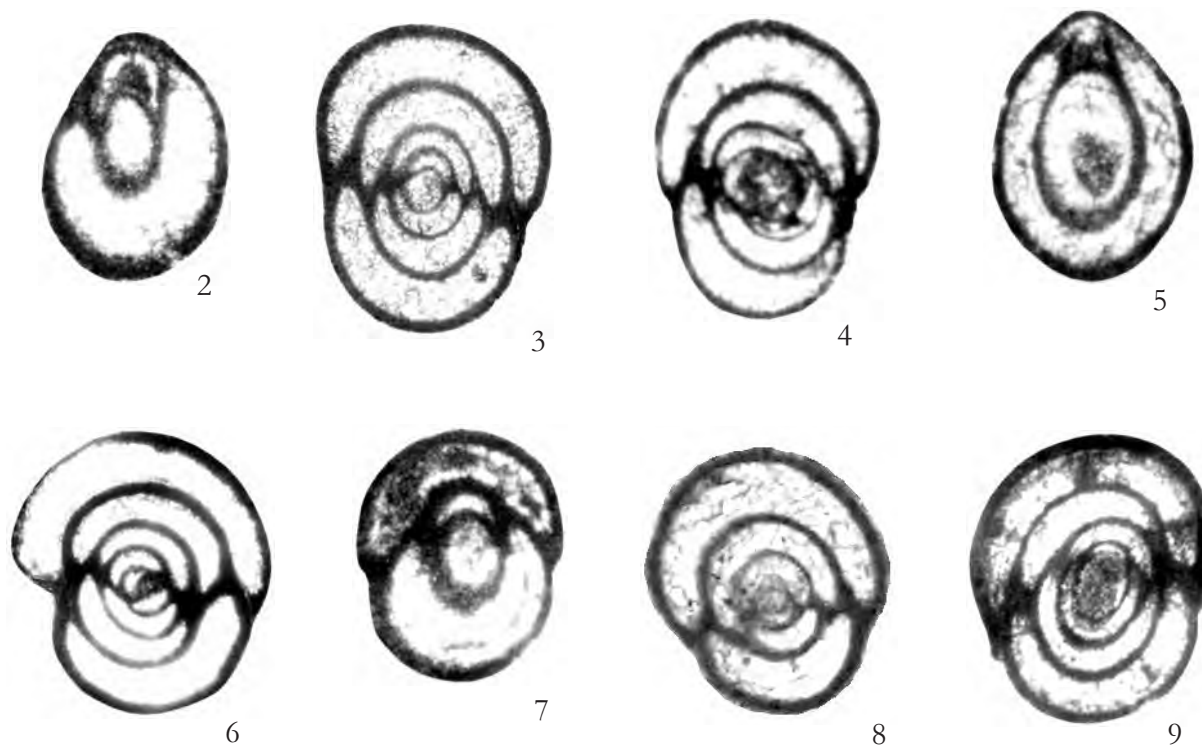


Fig. 1 – Packstone con ?*Pyrgo globulosa*, *Nezzazatinella* cf. *aegyptiaca*, Miliolidae, altri Foraminiferi bentonici e resti di Mollusca. x 45
 – Packstone with ?*Pyrgo globulosa*, *Nezzazatinella* cf. *aegyptiaca*, *Miliolidae*, other benthic Foraminifera and Mollusca remains. x 45



Figg. 2-9 – Sezioni variamente orientate di individui riferibili a ?*Pyrgo globulosa*. x 85
 – Variously oriented sections of specimens referred to ?*Pyrgo globulosa*. x 85

La microfacies di fig. 1 e gli individui delle figg. 2-9 provengono dalla sezione stratigrafica di Serra del Pruno, Monti Ausoni (Lazio meridionale).
 Biozona a Pseudorhapydionina dubia e Pseudorhapydionina laurinensis. CENOMANIANO SUPERIORE
 – The microfacies of fig. 1 and the specimens of figs. 2-9 from Serra del Pruno stratigraphic section, Ausoni Mts. (Southern Lazio).
 Pseudorhapydionina dubia and Pseudorhapydionina laurinensis biozone. UPPER CENOMANIAN

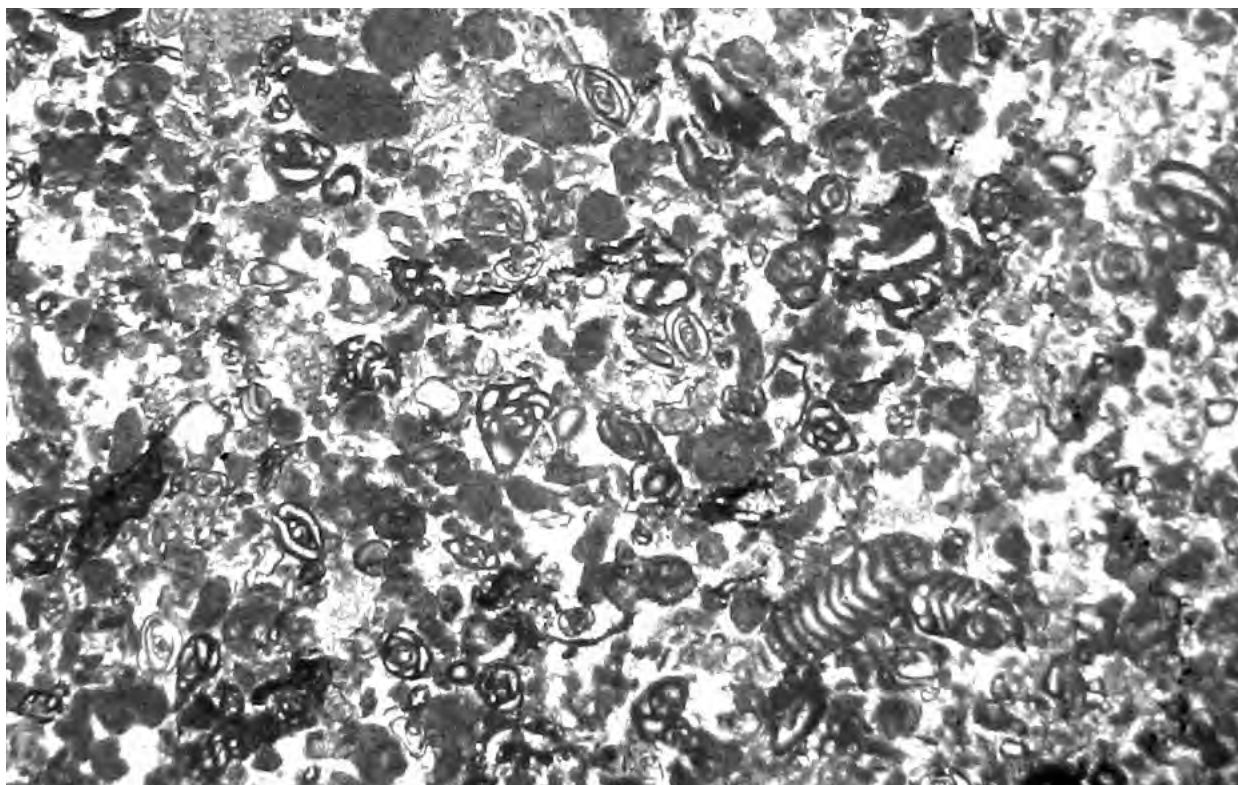
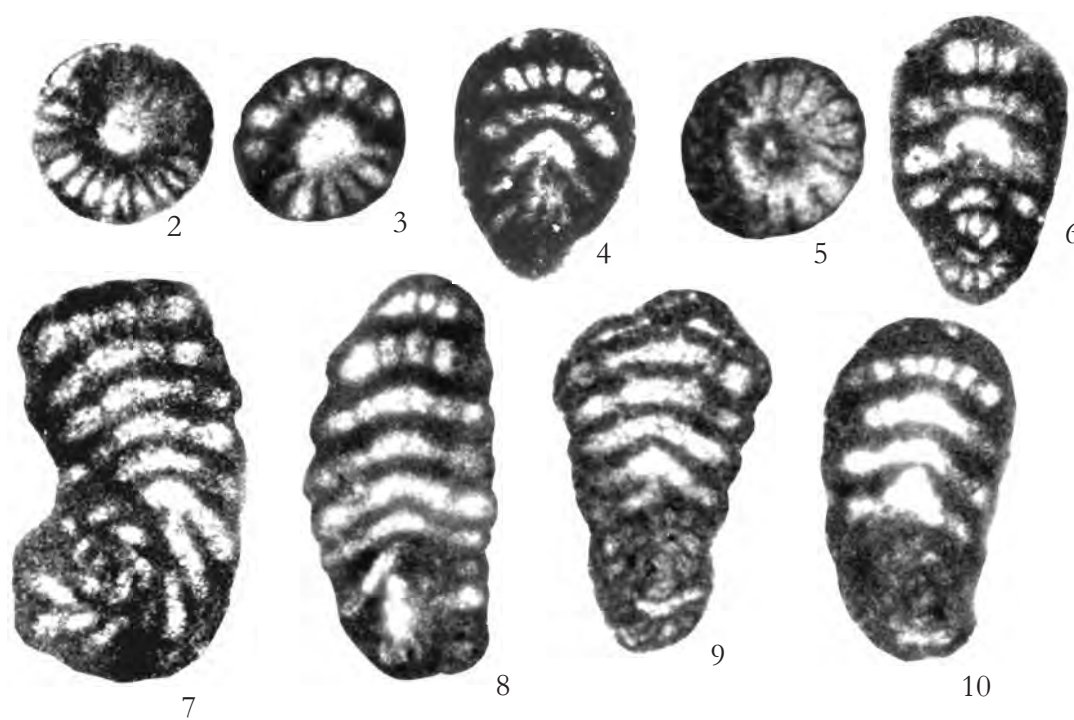


Fig. 1 – Packstone con *Pseudorhapydionina laurinensis*, Miliolidae e altri Foraminiferi bentonici. $\times 35$
 – Packstone with *Pseudorhapydionina laurinensis*, *Miliolidae* and other benthic Foraminifera. $\times 35$



Figg. 2-10 – Sezioni variamente orientate di individui riferibili a *Pseudorhapydionina laurinensis*. $\times 70$
 – Variously oriented sections of specimens referred to *Pseudorhapydionina laurinensis*. $\times 70$

La microfacies di fig. 1 e gli individui delle figg. 2-10 provengono dalla sezione stratigrafica di Serra del Pruno, Monti Ausoni (Lazio meridionale).

Biozona a *Pseudorhapydionina dubia* e *Pseudorhapydionina laurinensis*. CENOMANIANO SUPERIORE
 – The microfacies of fig. 1 and the specimens of figs. 2-10 from Serra del Pruno stratigraphic section, Ausoni Mts. (Southern Lazio).

Pseudorhapydionina dubia and *Pseudorhapydionina laurinensis* biozone.

UPPER CENOMANIAN

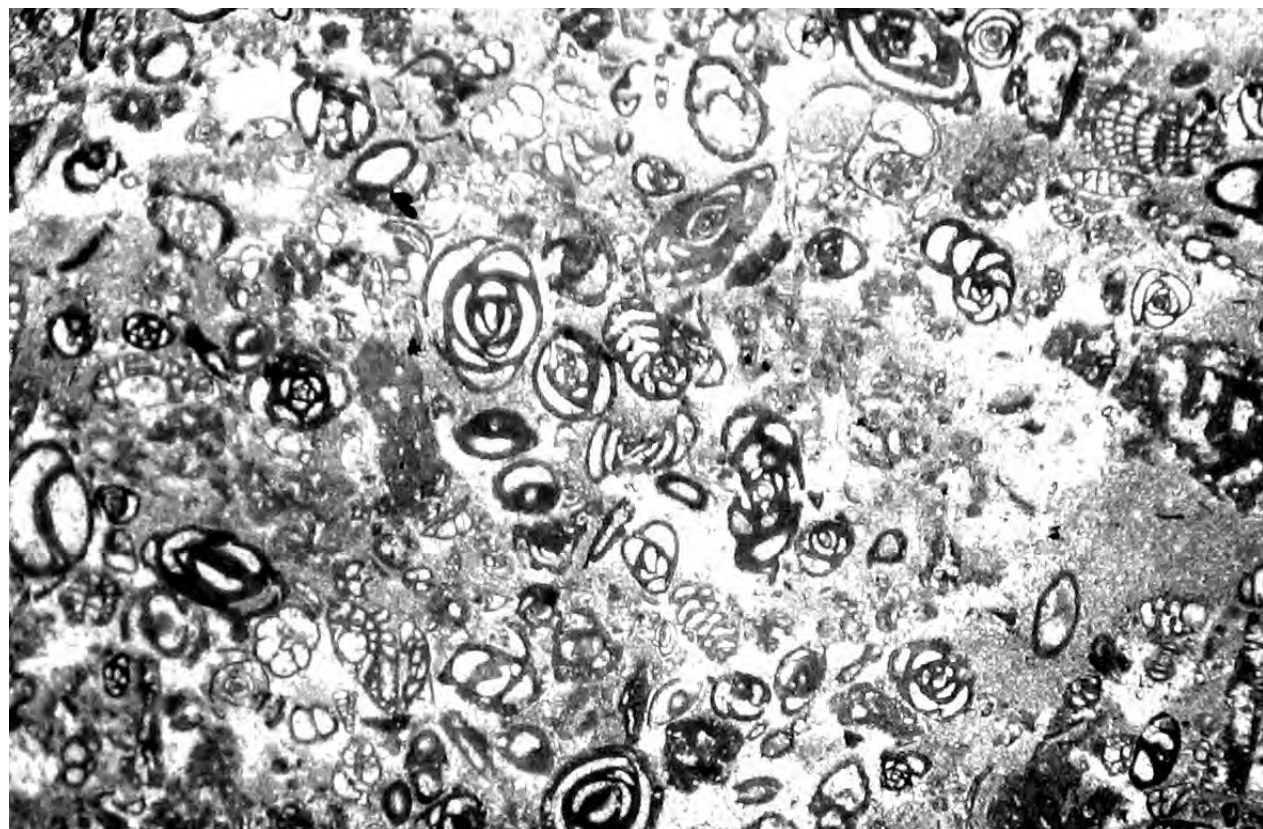
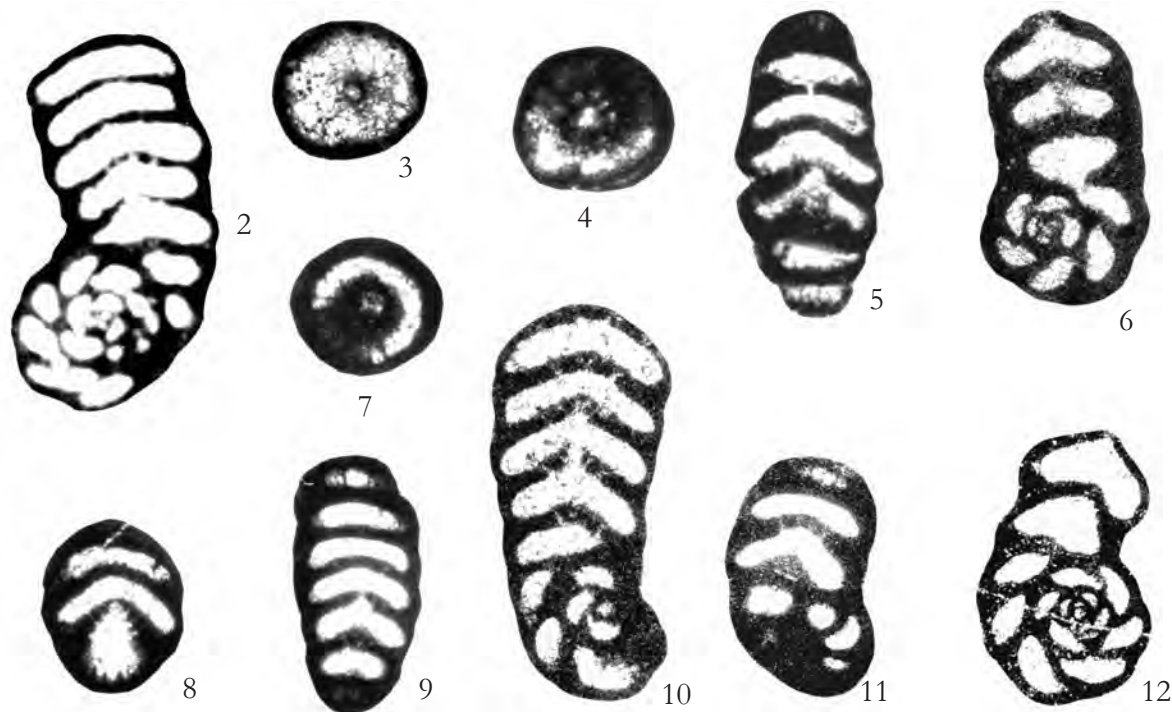


Fig. 1 – Packstone con *Pseudorhapydionina dubia*, *Biconcava bentori*, *Trochospira avnimelechi*, *Cuneolina sp.*, Miliolidae, altri Foraminiferi bentonici e piccoli Gastropoda. x 28
 – Packstone with *Pseudorhapydionina dubia*, *Biconcava bentori*, *Trochospira avnimelechi*, *Cuneolina sp.*, *Miliolidae*, other benthic Foraminifera and small Gastropoda. x 28



Figg. 2-12 – Sezioni variamente orientate di individui riferibili a *Pseudorhapydionina dubia*. x 60
 – Variously oriented sections of specimens referred to *Pseudorhapydionina dubia*. x 60

La microfacies di fig. 1 e gli individui delle figg. 2-12 provengono dalla sezione stratigrafica di Serra del Pruno, Monti Ausoni (Lazio meridionale).

Biozona a *Pseudorhapydionina dubia* e *Pseudorhapydionina laurinensis*. CENOMANIANO SUPERIORE
 – The microfacies of fig. 1 and the specimens of figs. 2-12 from Serra del Pruno stratigraphic section, Ausoni Mts. (Southern Lazio).
Pseudorhapydionina dubia and *Pseudorhapydionina laurinensis* biozone. UPPER CENOMANIAN

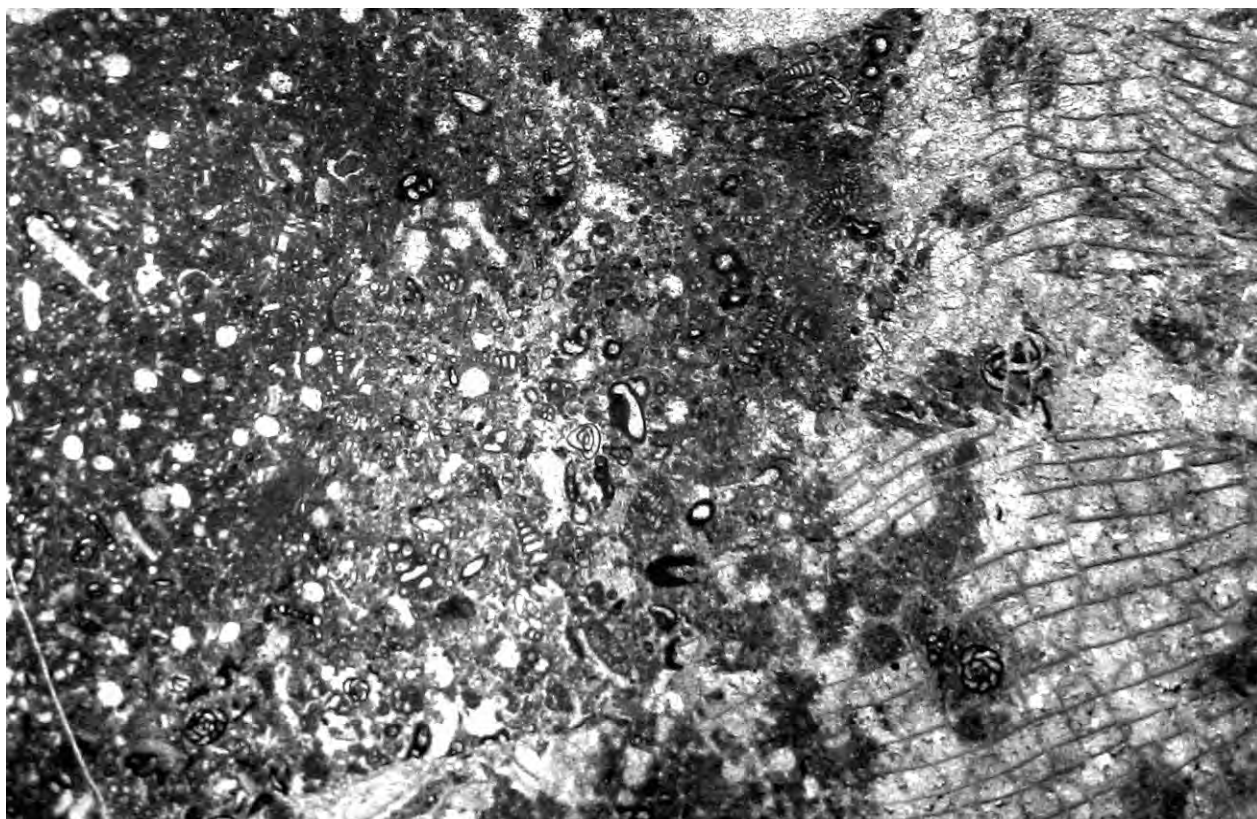
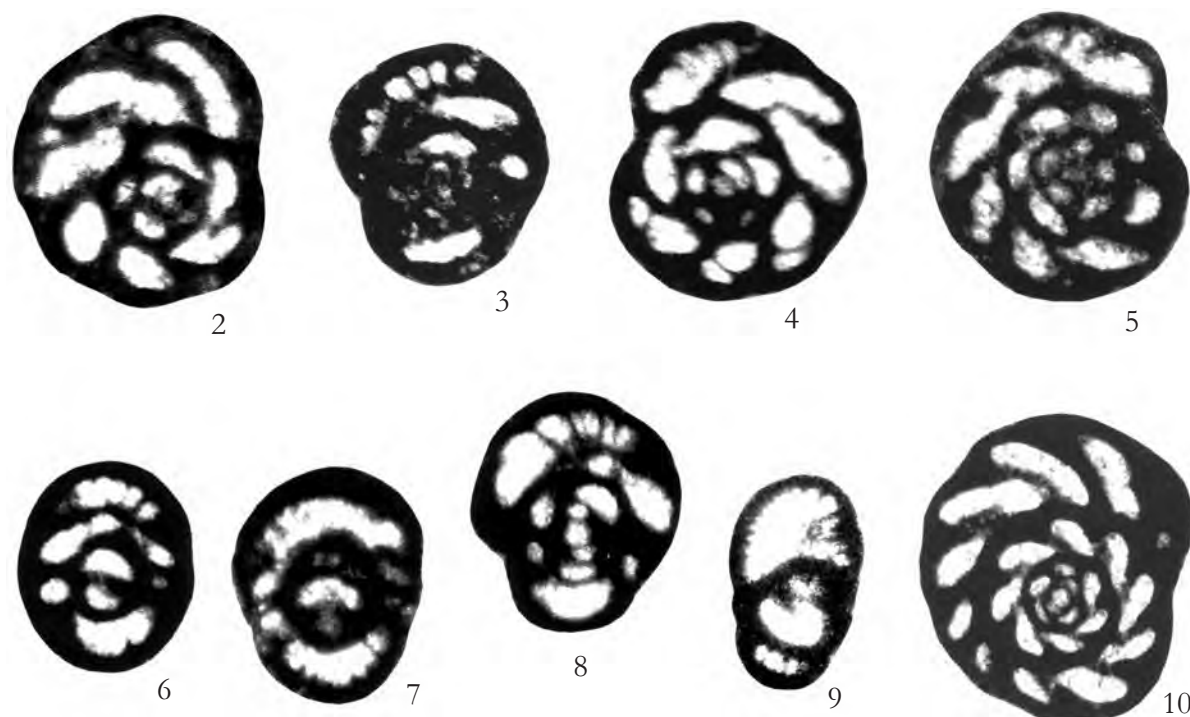


Fig. 1 – Floatstone con ?*Pseudorhapydionina anglonensis*, *Cuneolina* sp., Miliolidae, altri Foraminiferi bentonici e resti di Hippuritacea. $\times 12$

– *Floatstone with ?Pseudorhapydionina anglonensis, Cuneolina sp., Miliolidae, other benthic Foraminifera and Hippuritacea remains.* $\times 12$



Figg. 2-10 – Sezioni variamente orientate di individui riferibili a ?*Pseudorhapydionina anglonensis*. $\times 50$
– *Variously oriented sections of specimens referred to ?Pseudorhapydionina anglonensis.* $\times 50$

La microfacies di fig. 1 e gli individui delle figg. 2-10 provengono dalla sezione stratigrafica l'Ottaduna, Monte Cairo (Lazio meridionale).

Parte superiore della biozona a *Pseudorhapydionina dubia* e *Pseudorhapydionina laurinensis*.

CENOMANIANO SUPERIORE

– *The microfacies of fig. 1 and the specimens of figs. 2-10 from l'Ottaduna stratigraphic sections, Cairo Mt. (Southern Latium). Upper part of the Pseudorhapydionina dubia and Pseudorhapydionina laurinensis biozone.* $\times 50$

UPPER CENOMANIAN

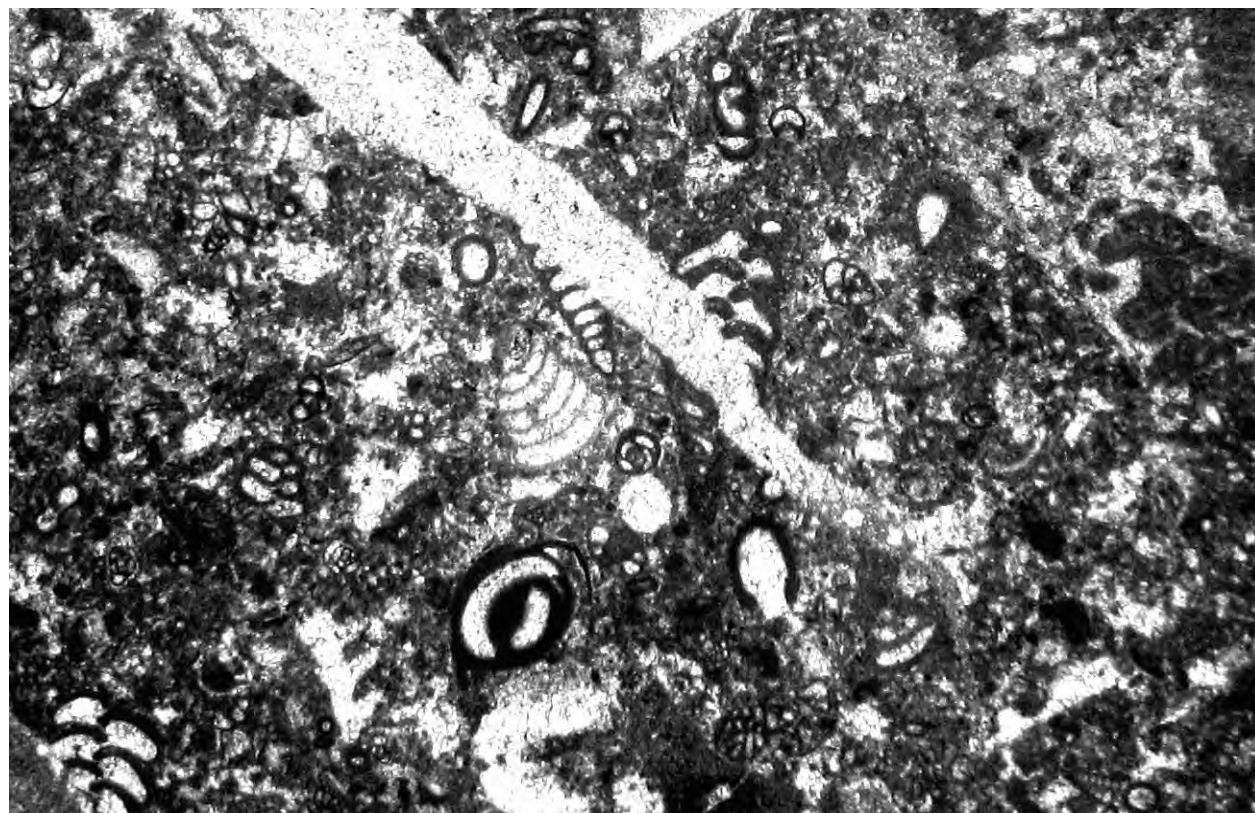
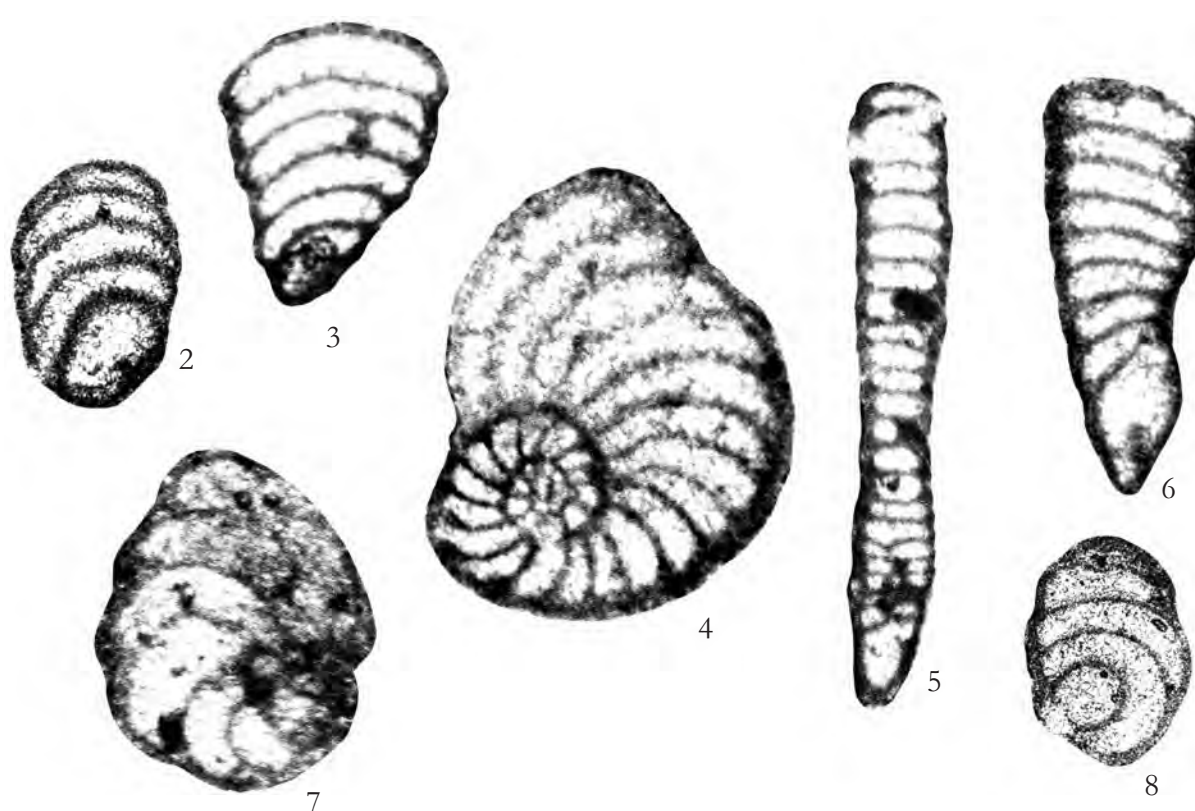


Fig. 1 – Packstone con ?*Peneroplis* cf. *turonicus*, *Nezzazata* sp., *Cuneolina* sp., Miliolidae, Nubeculariidae e altri Foraminiferi bentonici. x 20

– Packstone with ?*Peneroplis* cf. *turonicus*, *Nezzazata* sp., *Cuneolina* sp., Miliolidae, Nubeculariidae and other bentonic Foraminifera. x 20



Figg. 2-8 – Sezioni variamente orientate di individui riferibili a ?*Peneroplis* cf. *turonicus*. x 45

– Variously oriented sections of specimens referred to ?*Peneroplis* cf. *turonicus*. x 45

La microfacies di fig. 1 e gli individui delle figg. 2-8 provengono dalla sezione stratigrafica l'Ottaduna, Monte Cairo (Lazio meridionale).

Parte inferiore della biozona a Chrysalidina gradata e Pseudolituonella reicheli.

CENOMANIANO SUPERIORE

– The microfacies of fig. 1 and the specimens of figs. 2-8 from l'Ottaduna stratigraphic sections, Cairo Mt. (Southern Lazio). Lower part of the Chrysalidina gradata and Pseudolituonella reicheli biozone.

UPPER CENOMANIAN

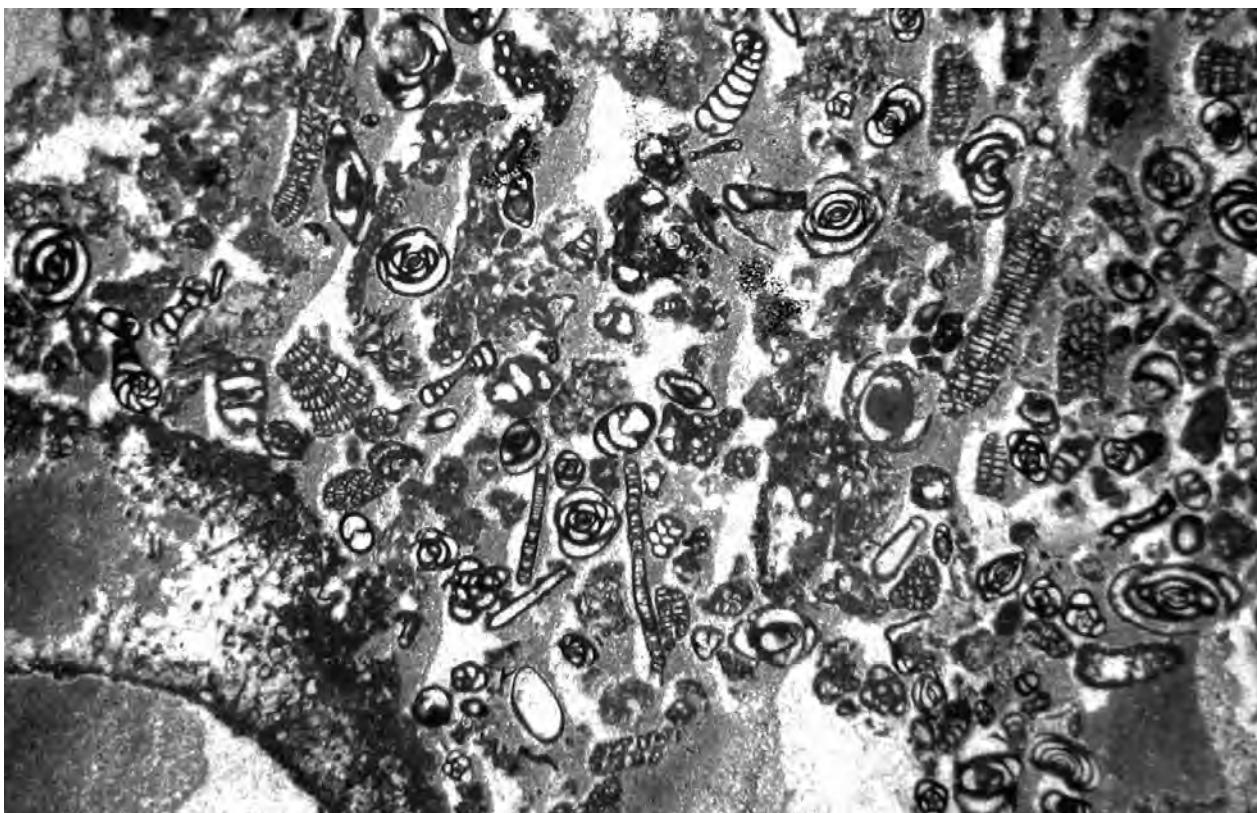
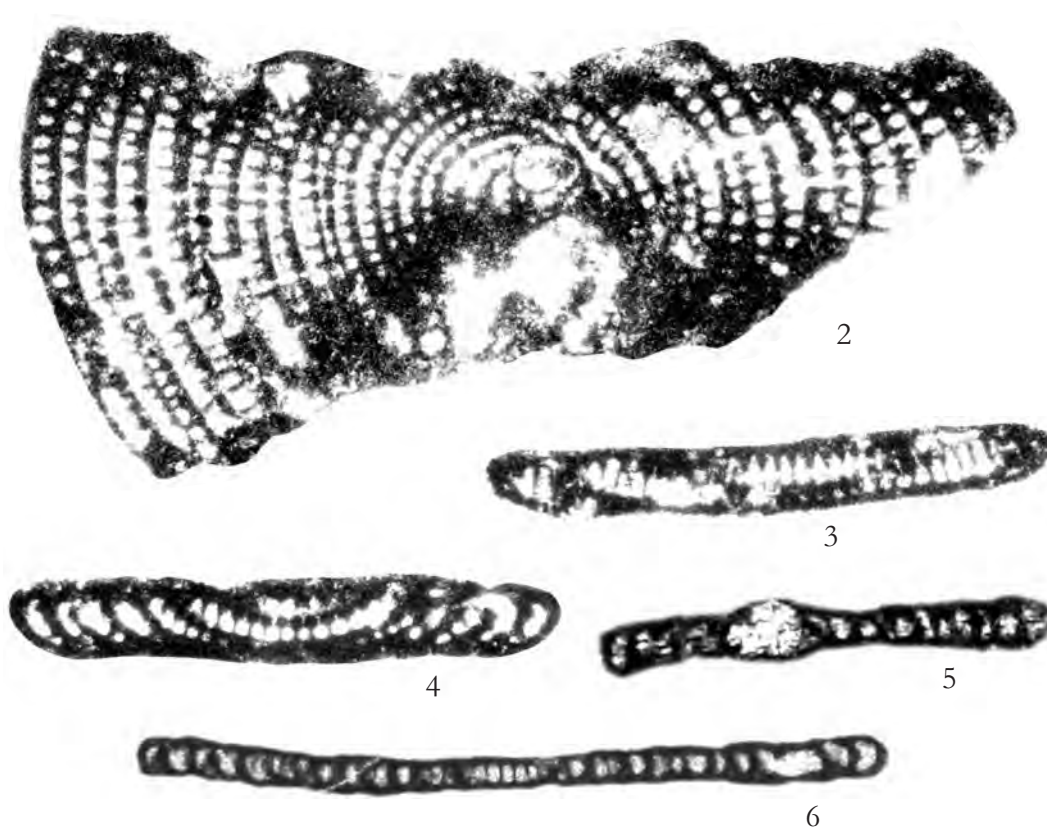


Fig. 1 – Packstone con *Broeckina (Pastrikella) balcanica*, *Pseudorhapydionina dubia*, *Cuneolina* sp., Miliolidae, Nubeculariidae e altri Foraminiferi bentonici. $\times 20$

– Packstone with *Broeckina (Pastrikella) balcanica*, *Pseudorhapydionina dubia*, *Cuneolina* sp., *Miliolidae*, *Nubeculariidae* and other benthic Foraminifera. $\times 20$



Figg. 2-6 – Sezioni variamente orientate di individui riferibili a *Broeckina (Pastrikella) balcanica*. $\times 55$
– Variously oriented sections of specimens referred to *Broeckina (Pastrikella) balcanica*. $\times 55$

La microfacies di fig. 1 e gli individui delle figg. 2-6 provengono dalla sezione stratigrafica di Serra del Pruno, Monti Ausoni (Lazio meridionale).

Parte inferiore della biozona a Chrysalidina gradata e Pseudolituonella reicheli. CENOMANIANO SUPERIORE

– The microfacies of fig. 1 and the specimens of figs. 2-6 from Serra del Pruno stratigraphic section, Ausoni Mts. (Southern Lazio).
Lower part of the Chrysalidina gradata e Pseudolituonella reicheli biozone. UPPER CENOMANIAN

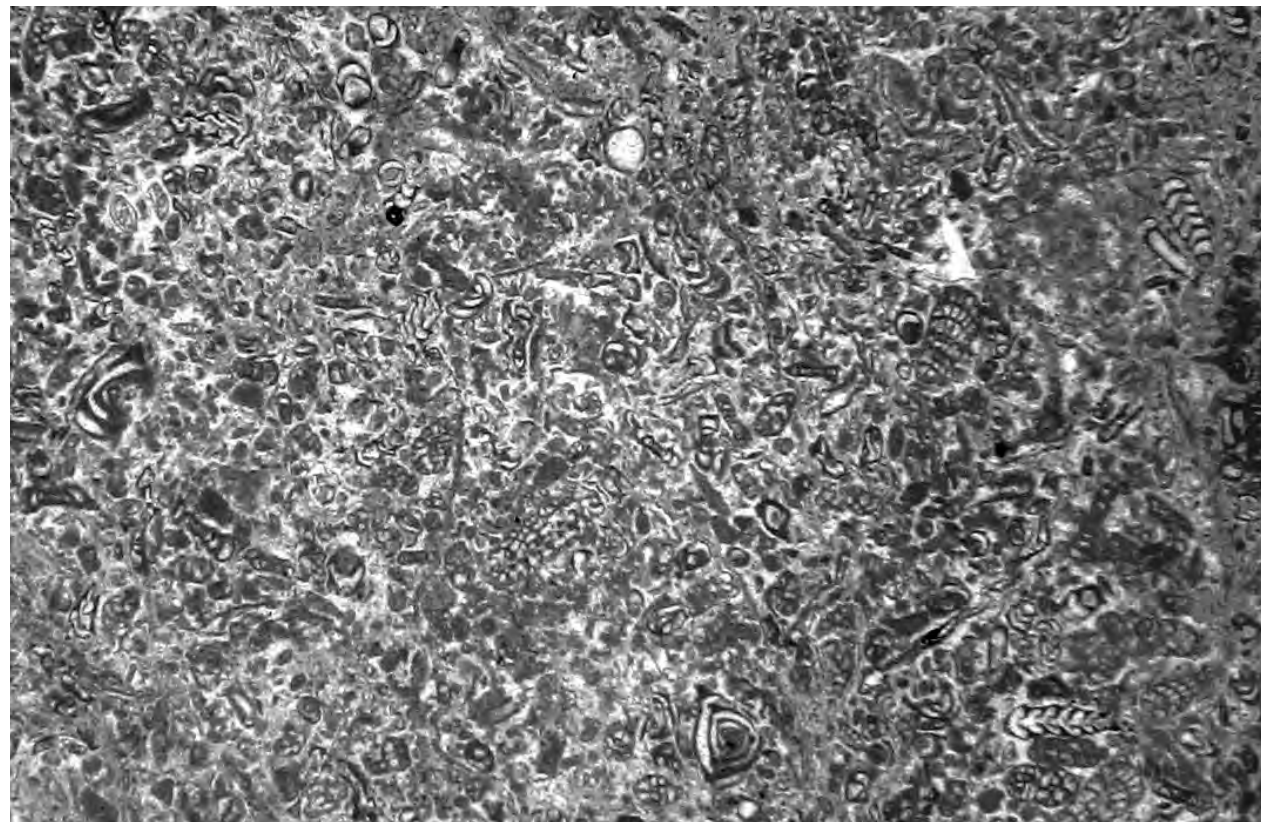
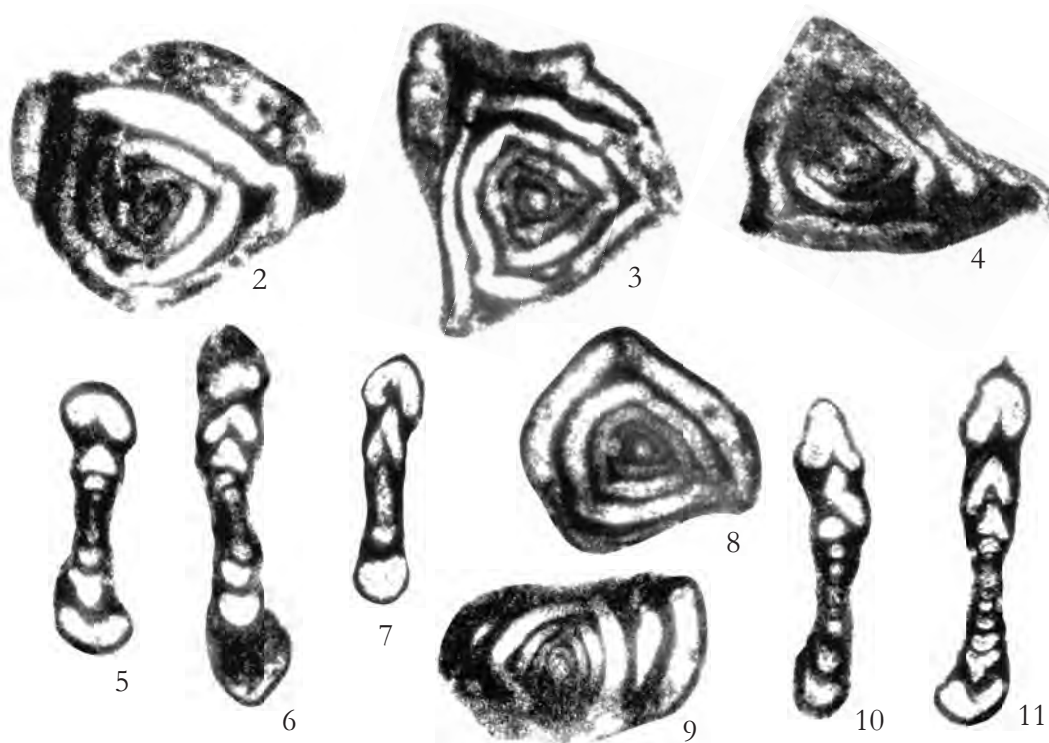


Fig. 1 – Packstone con *Palaeocornuloculina ausonensis*, *Pseudorhynchionina dubia*, *Cuneolina* sp., Miliolidae e altri Foraminiferi bentonici. $\times 18$
 – Packstone with *Palaeocornuloculina ausonensis*, *Pseudorhynchionina dubia*, *Cuneolina* sp., Miliolidae and other benthic Foraminifera. $\times 18$



Figg. 2-11 – Sezioni variamente orientate di individui riferibili a *Palaeocornuloculina ausonensis*. $\times 65$
 – Variously oriented sections of specimens referred to *Palaeocornuloculina ausonensis*. $\times 65$

La microfacies di fig. 1 e gli individui delle figg. 2-11 provengono dalla località-tipo, sezione stratigrafica di Serra del Pruno, Monti Ausoni (Lazio meridionale).

Biozona a Chrysalidina gradata e Pseudolituonella reicheli.

CENOMANIANO SUPERIORE

– The microfacies of fig. 1 and the specimens of figs. 2-11 from type-locality, Serra del Pruno stratigraphic section, Ausoni Mts. (Southern Lazio).

Chrysalidina gradata and Pseudolituonella reicheli biozone.

UPPER CENOMANIAN

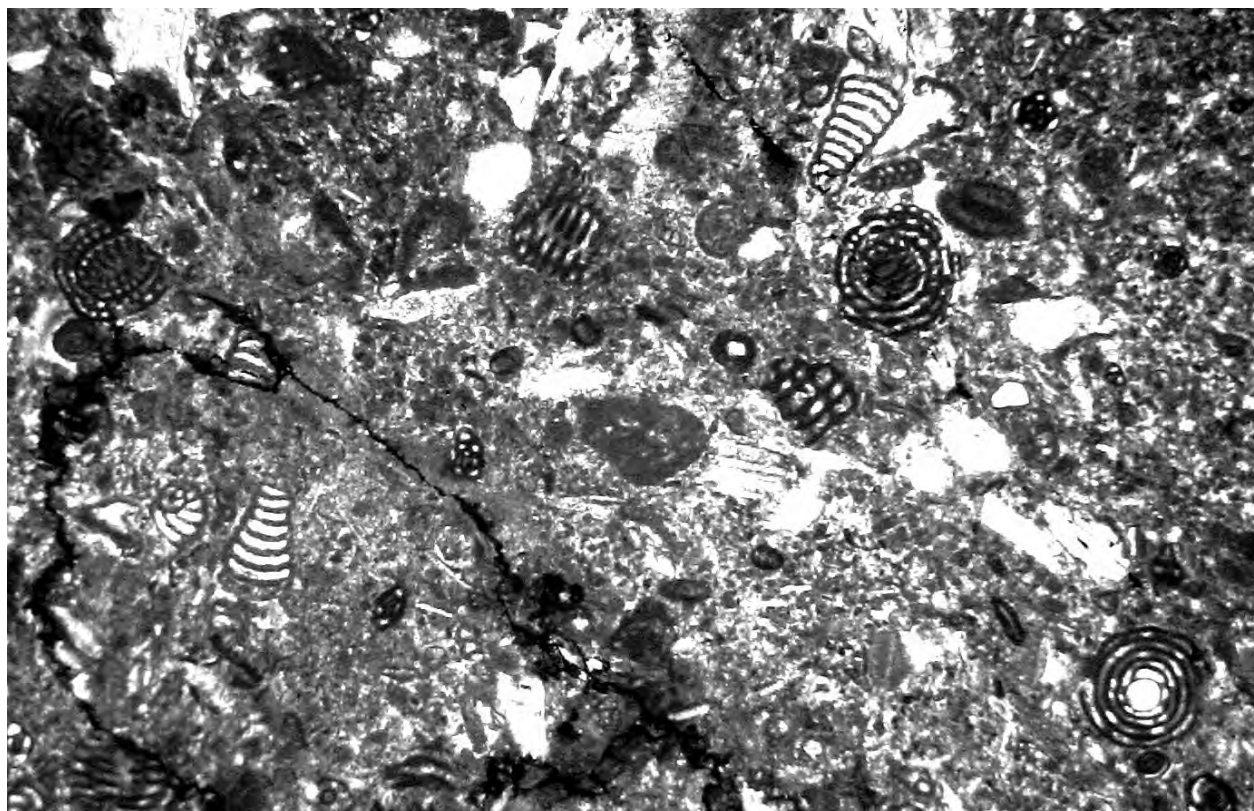
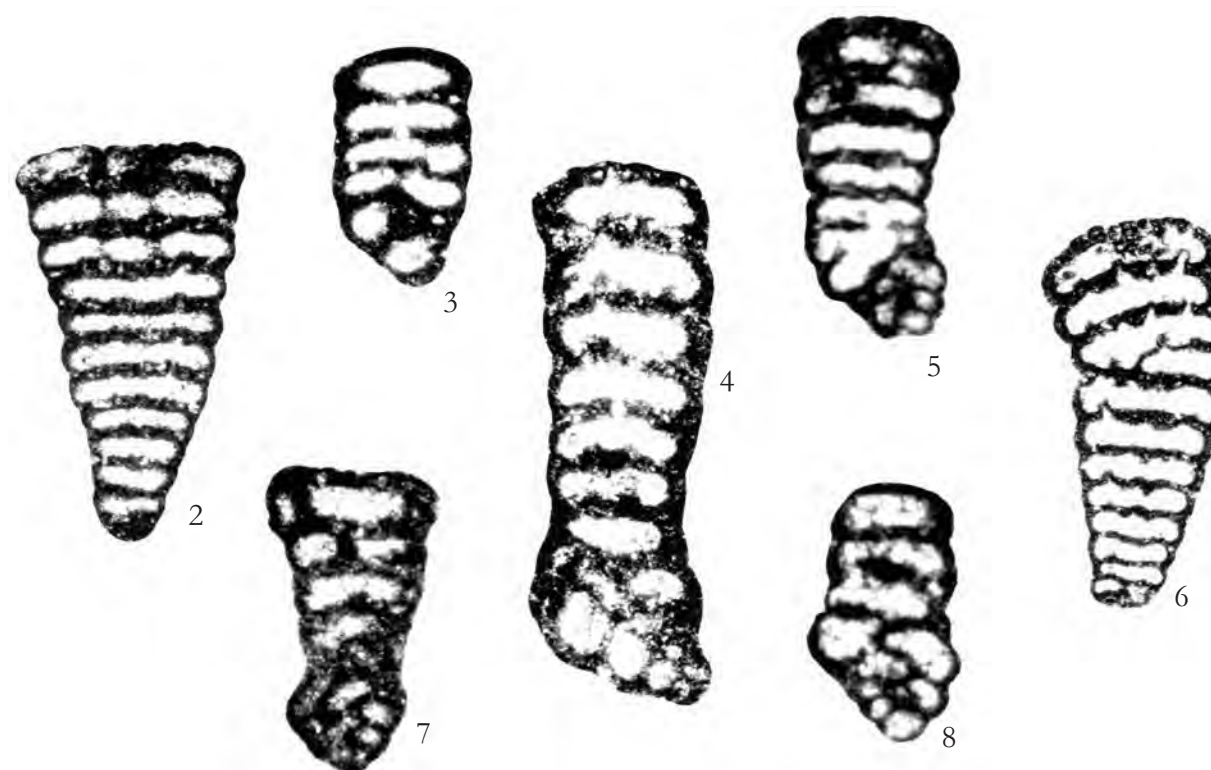


Fig. 1 – Wackestone con *Pseudolituonella reicheli*, *Cisalveolina fraasi*, *Nezzazatinella cf. aegyptiaca*, *Cuneolina* sp., Miliolidae e altri Foraminiferi bentonici. $\times 12$

– Wackestone with *Pseudolituonella reicheli*, *Cisalveolina fraasi*, *Nezzazatinella cf. aegyptiaca*, *Cuneolina* sp., Miliolidae and other benthic Foraminifera. $\times 12$



Figg. 2-8 – Sezioni variamente orientate di individui riferibili a *Pseudolituonella reicheli*. $\times 40$
– Varyingly oriented sections of specimens referred to *Pseudolituonella reicheli*. $\times 40$

La microfacies di fig. 1 e gli individui delle figg. 4, 5 provengono dalla sezione stratigrafica di Monte La Civita, Monti Aurunci (Lazio meridionale); gli individui delle figg. 2, 3, 6-8 provengono dalla sezione stratigrafica di Monte Orsello-Inghiottitoio, Monti d'Ocre (Abruzzo).

Biozona a Chrysalidina gradata e *Pseudolituonella reicheli*.

CENOMANIANO SUPERIORE

– The microfacies of fig. 1 and the specimens of figs. 4, 5 from La Civita Mt. stratigraphic section, Aurunci Mts.; the specimens of figs. 2, 3, 6-8 from Orsello Mt.- Inghiottitoio stratigraphic section, Ocre Mts. (Abruzzi).

Chrysalidina gradata and *Pseudolituonella reicheli* biozone.

UPPER CENOMANIAN

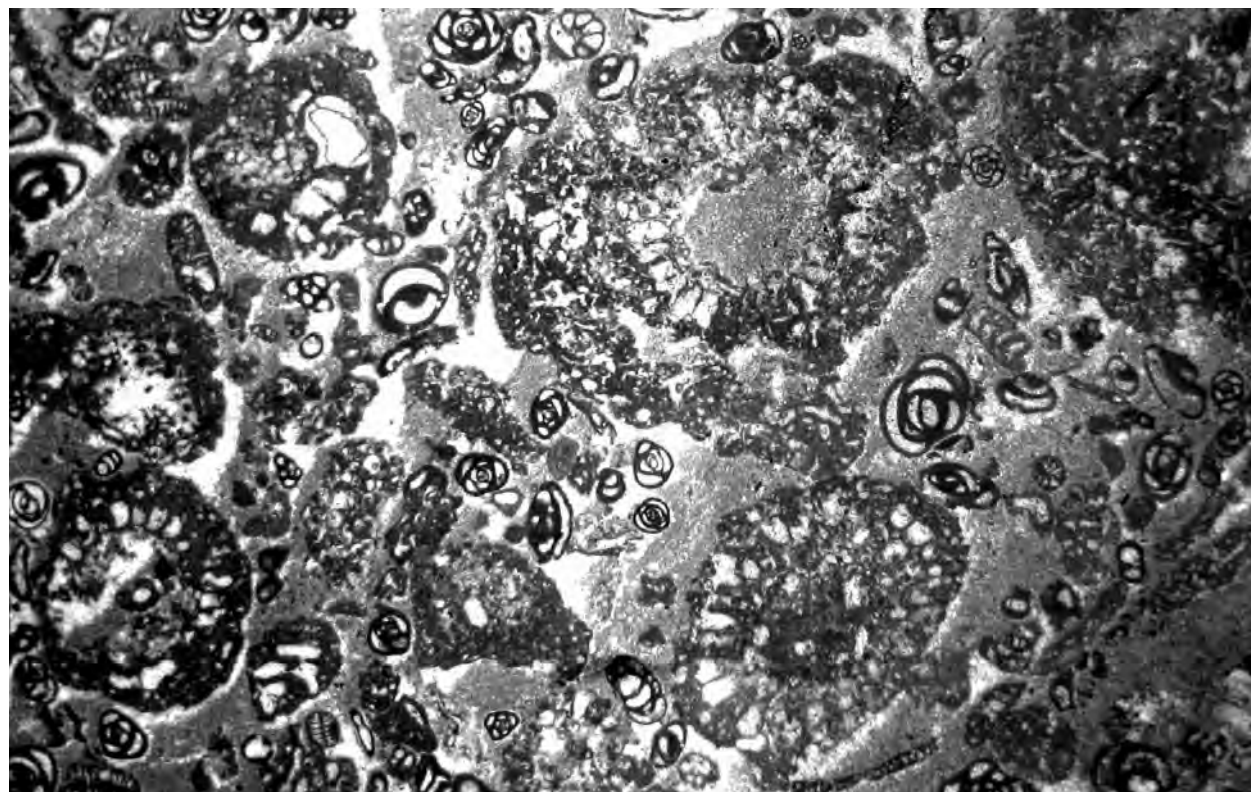
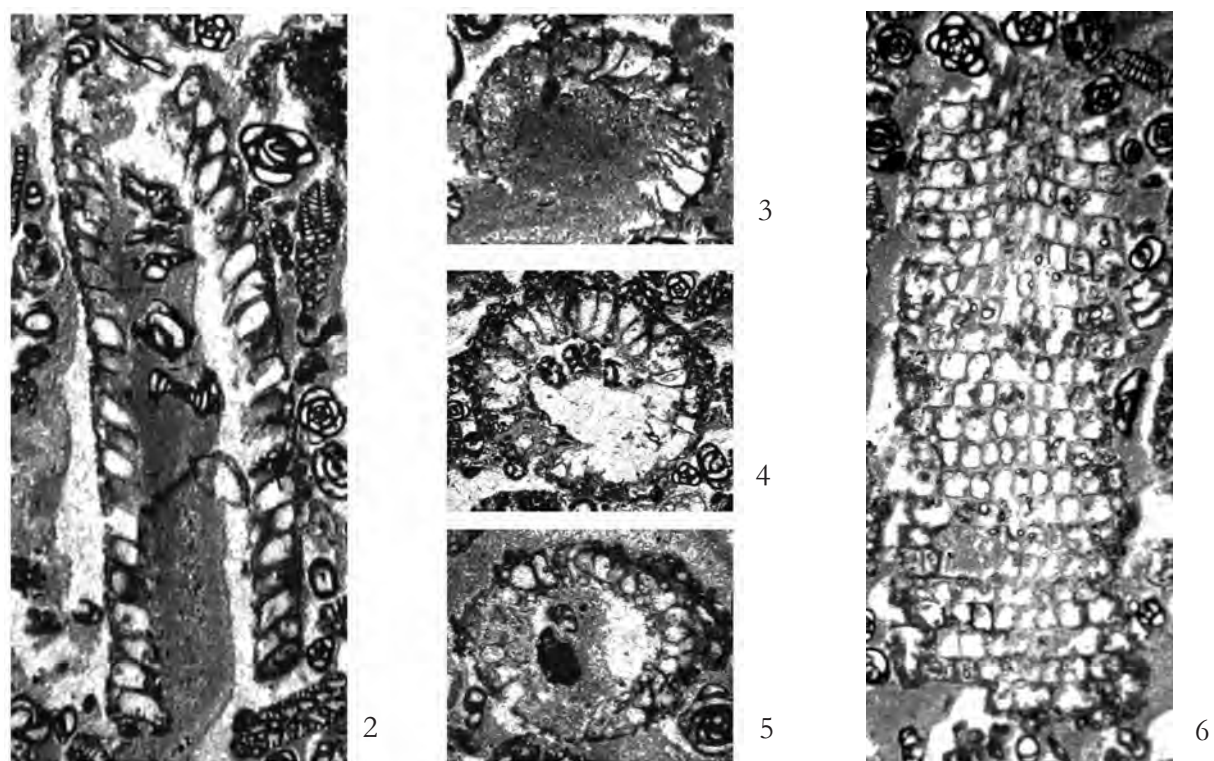


Fig. 1 – Floatstone con *Suppilulumella schroederi*, *Broeckina (Pastrikella) balcanica*, *Cuneolina* sp., Miliolidae e altri Foraminiferi bentonici. $\times 20$
 – Floatstone with *Suppilulumella schroederi*, *Broeckina (Pastrikella) balcanica*, *Cuneolina* sp., Miliolidae and other benthic Foraminifera. $\times 20$



Figg. 2-6 – Sezioni variamente orientate di individui riferibili a *Suppilulumella schroederi*. $\times 18$
 – Variously oriented sections of specimens referred to *Suppilulumella schroederi*. $\times 18$

La microfacies di fig. 1 e gli individui delle figg. 2-6 provengono dalla sezione stratigrafica di Colle Santa Lucia, Monte Cairo (Lazio meridionale).

Biozona a Chrysalidina gradata e Pseudolituonella reicheli.

CENOMANIANO SUPERIORE

– The microfacies of fig. 1 and the specimens of figs. 2-6 from Colle Santa Lucia stratigraphic section, Cairo Mt. (Southern Lazio).

Chrysalidina gradata and Pseudolituonella reicheli biozone.

UPPER CENOMANIAN

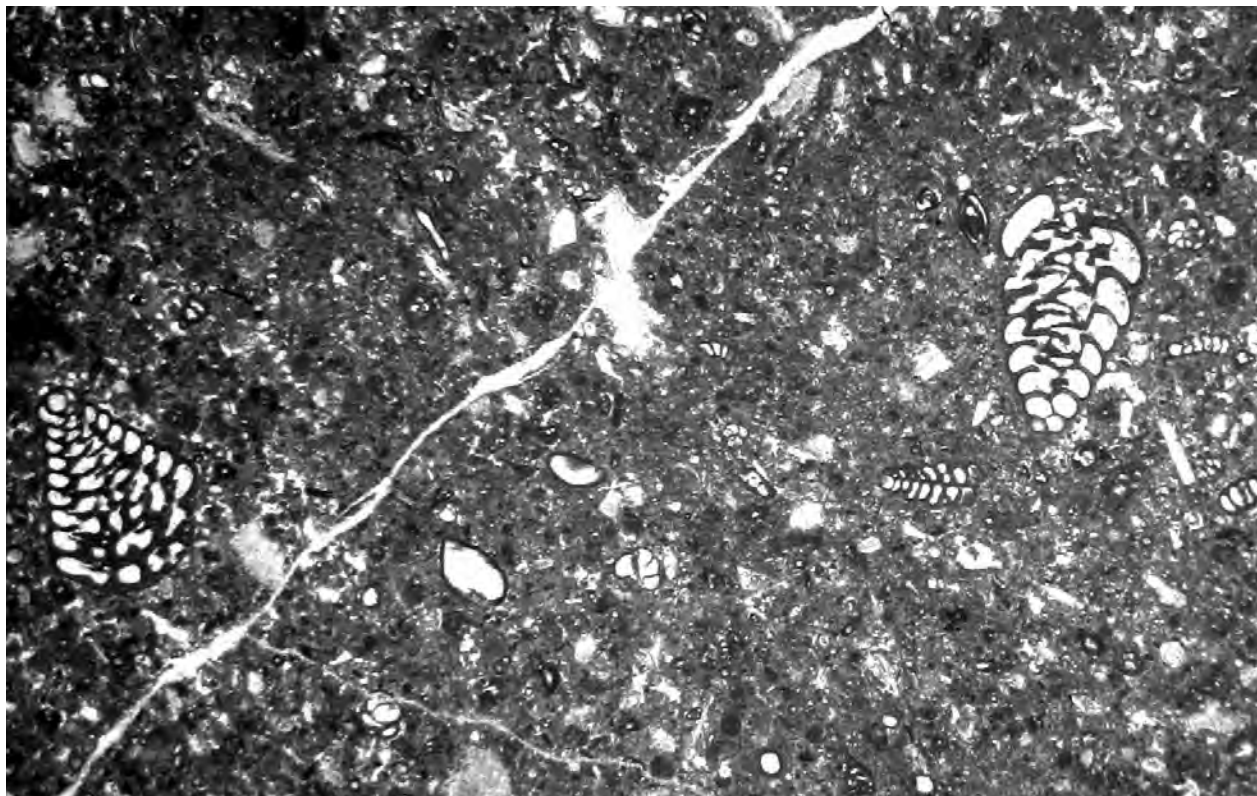
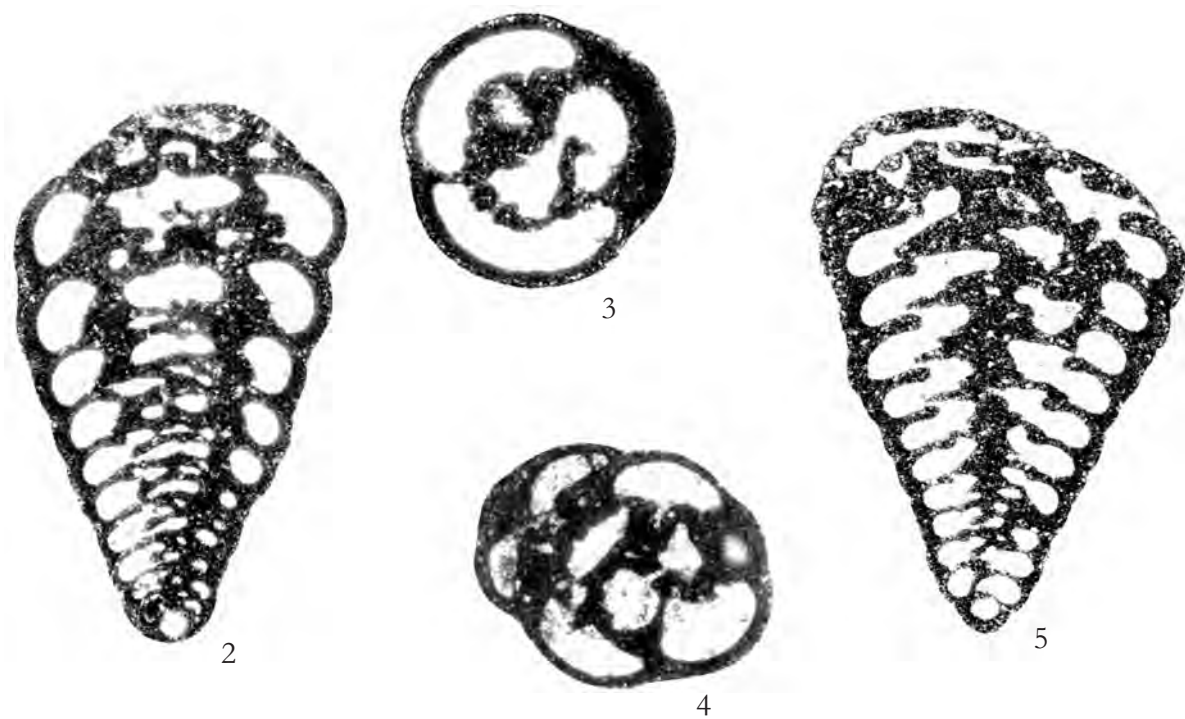


Fig. 1 – Packstone mal classato con *Chrysalidina gradata*, *Nezzazatinella cf. aegyptiaca*, *Thaumatoporella parvovesiculifera*, *Bolivinopsis* sp. e Nubeculariidae. x 15
 – Poorly sorted packstone with *Chrysalidina gradata*, *Nezzazatinella cf. aegyptiaca*, *Thaumatoporella parvovesiculifera*, *Bolivinopsis* sp. and *Nubeculariidae*. x 15



Figg. 2-5 – Sezioni variamente orientate di individui riferibili a *Chrysalidina gradata*. x 38
 – Variously oriented sections of specimens referred to *Chrysalidina gradata*. x 38

La microfacies di fig. 1 e gli individui delle figg. 2-5 provengono dalla sezione stratigrafica di Monte Orsello-Inghiottitoio, Monti d'Ocre (Abruzzo).

Biozona a *Chrysalidina gradata* e *Pseudolituonella reicheli*.

CENOMANIANO SUPERIORE
 – The microfacies of fig. 1 and the specimens of figs. 2-5 from Orsello Mt. - Inghiottitoio stratigraphic section, Ocre Mts. (Abruzzi).
Chrysalidina gradata and *Pseudolituonella reicheli* biozone.

UPPER CENOMANIAN

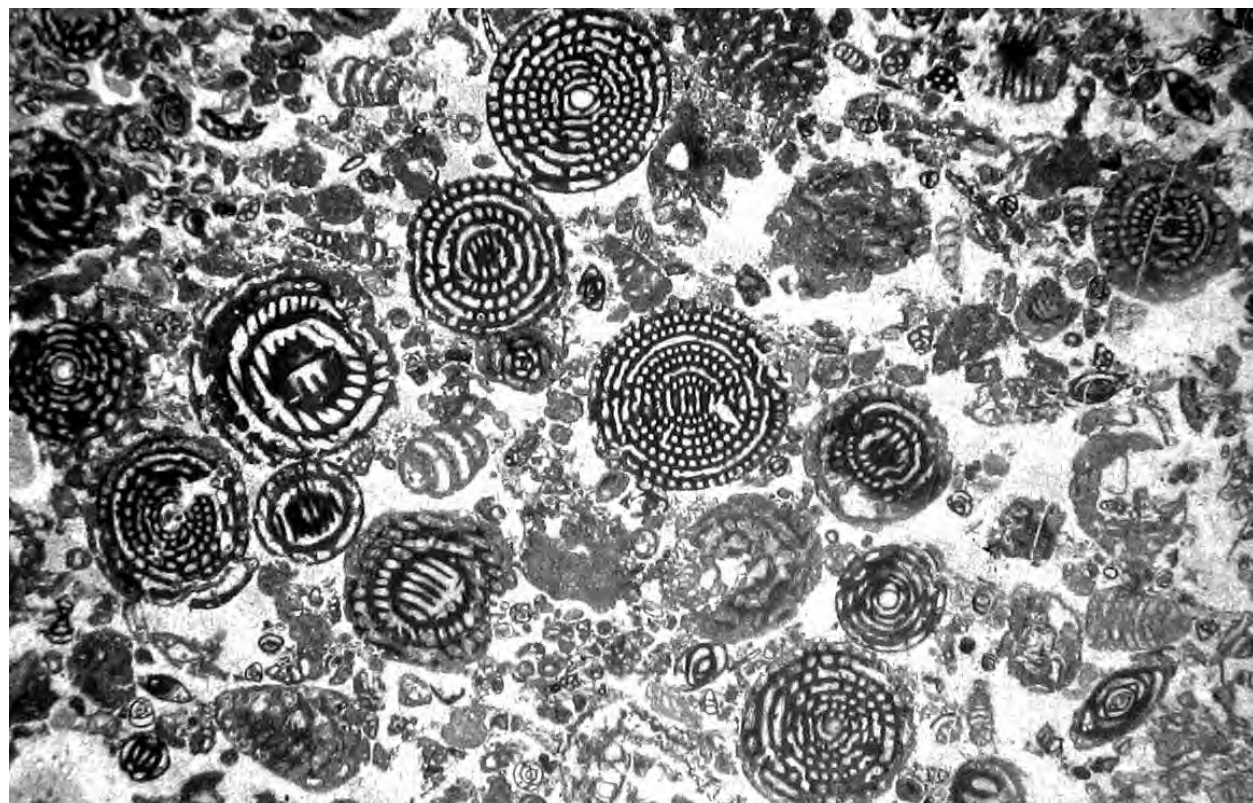
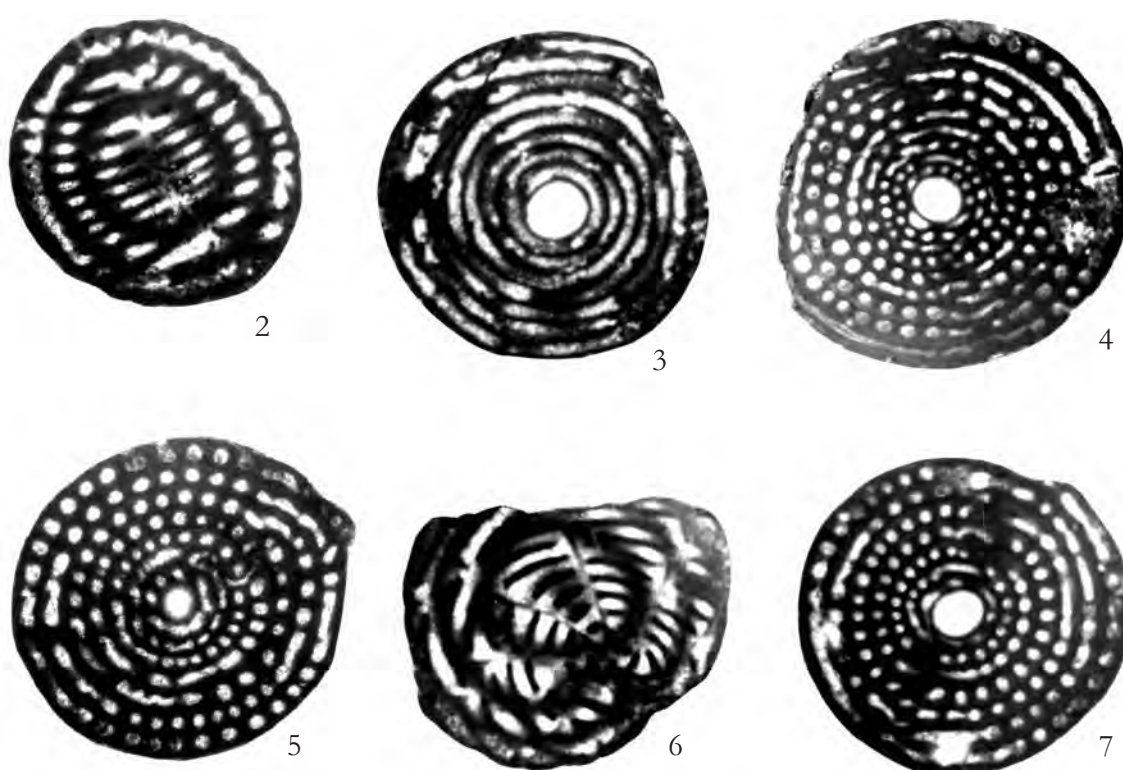


Fig. 1 – Floatstone con *Cisalveolina fraasi*, *Chrysalidina gradata*, *Pseudolituonella reicheli*, Miliolidae e altri Foraminiferi bentonici. $\times 12$

– *Floatstone with Cisalveolina fraasi, Chrysalidina gradata, Pseudolituonella reicheli, Miliolidae and other benthic Foraminifera.* $\times 12$



Figg. 2-7 – Sezioni variamente orientate di individui riferibili a *Cisalveolina fraasi*. $\times 22$
– *Variously oriented sections of specimens referred to Cisalveolina fraasi.* $\times 22$

La microfacies di fig. 1 proviene dalla sezione stratigrafica de l'Ottaduna, Monte Cairo; gli individui delle figg. 2-5 provengono dalla sezione stratigrafica di Monte Altino, Monti Aurunci; gli individui delle figg. 6, 7 provengono dalla sezione stratigrafica di Serra del Pruno, Monti Ausoni (Lazio meridionale).

Biozona a *Chrysalidina gradata* e *Pseudolituonella reicheli*.

CENOMANIANO SUPERIORE

– *The microfacies of fig. 1 from l'Ottaduna stratigraphic section, Cairo Mt.; the specimens of figs. 2-5 from Altino Mt. stratigraphic section, Aurunci Mts.; the specimens of figs. 6, 7 from Serra del Pruno stratigraphic section, Ausoni Mts. (Southern Lazio).*
Chrysalidina gradata and Pseudolituonella reicheli biozone.

UPPER CENOMANIAN

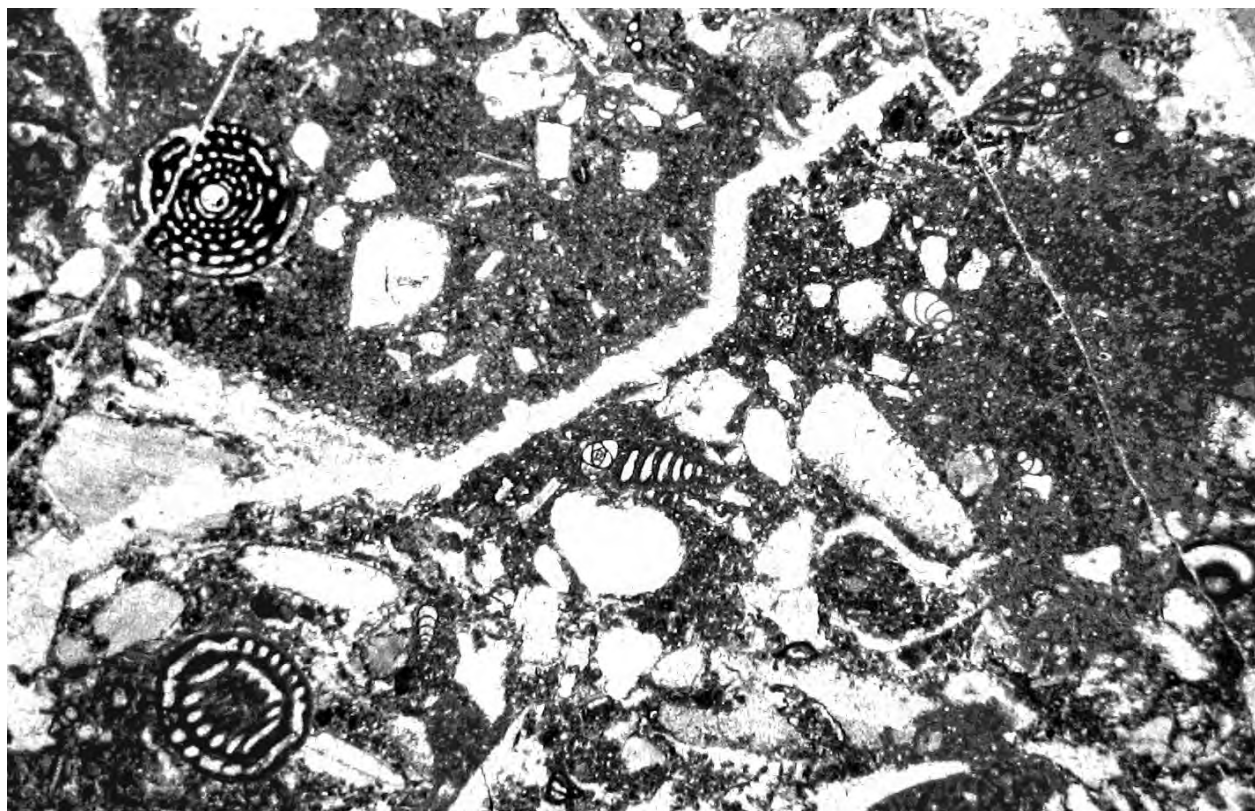


Fig. 1 – Rudstone con *Coxites zubairensis*, *Cisalveolina fraasi*, Miliolidae, altri Foraminiferi bentonici e frammenti di Hippuritacea. $\times 15$

– Rudstone with *Coxites zubairensis*, *Cisalveolina fraasi*, *Miliolidae*, other benthic Foraminifera and Hippuritacea fragments. $\times 15$



Figg. 2-8 – Sezioni variamente orientate di individui riferibili a *Coxites zubairensis*. $\times 45$
– *Variously oriented sections of specimens referred to Coxites zubairensis.* $\times 45$

La microfacies di fig. 1 e gli individui delle figg. 2-8 provengono dalla sezione stratigrafica di Monte Latiglia, Monti Ausoni (Lazio meridionale).

Biozona a Chrysalidina gradata e Pseudolituonella reicheli.

CENOMANIANO SUPERIORE

– *The microfacies of fig. 1 and the specimens of figs. 2-8 from Latiglia Mt. stratigraphic section, Ausoni Mts. (Southern Lazio). Chrysalidina gradata and Pseudolituonella reicheli biozone.*

UPPER CENOMANIAN

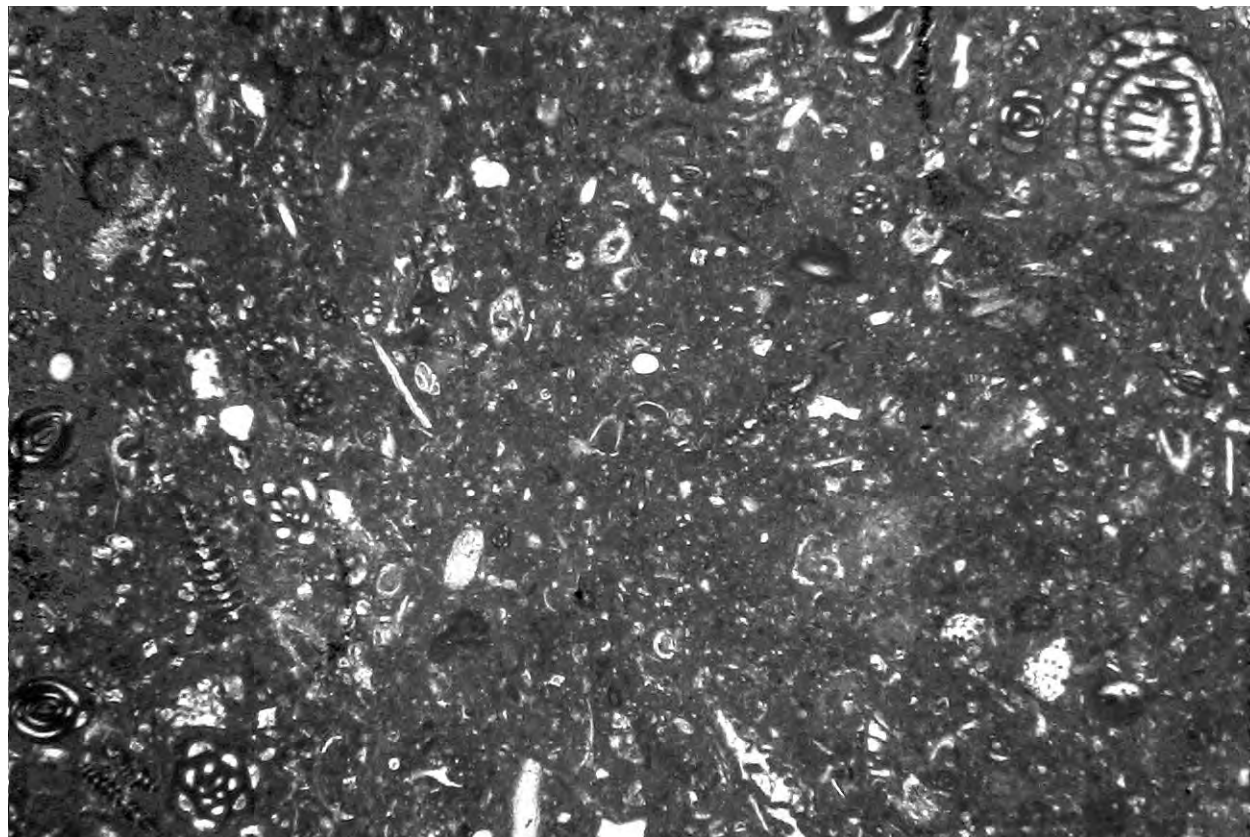
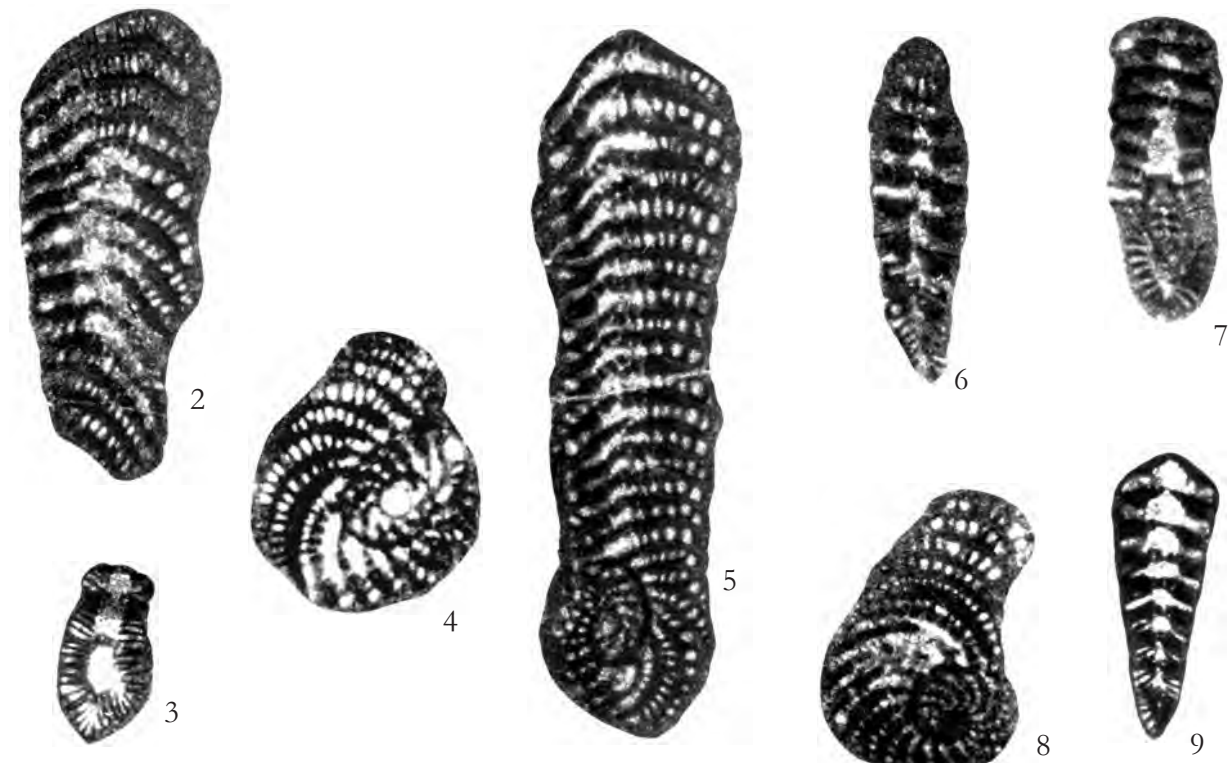


Fig. 1 – Packstone con *Pseudorhipidionina murgiana*, *Cisalveolina fraasi*, Miliolidae, Foraminiferi bentonici e frammenti di Mollusca. x 18
 – Packstone with *Pseudorhipidionina murgiana*, *Cisalveolina fraasi*, *Miliolidae*, benthonic Foraminifera and Mollusca fragmenta remains. x 18



Figg. 2-9 – Sezioni variamente orientate di individui riferibili a *Pseudorhipidionina murgiana*. x 40
 – Varily oriented sections of specimens referred to *Pseudorhipidionina murgiana*. x 40

La microfacies di fig. 1 e gli individui delle figg. 2-9 provengono dalla sezione stratigrafica di Monte Latiglia, Monti Ausoni (Lazio meridionale).

Biozona a Chrysalidina gradata e Pseudolituonella reicheli.

CENOMANIANO SUPERIORE

– The microfacies of fig. 1 and the specimens of figs. 2-9 from Latiglia Mt. stratigraphic section, Ausoni Mts. (Southern Lazio).

Chrysalidina gradata and *Pseudolituonella reicheli* biozone.

UPPER CENOMANIAN

Tavola 118

Plate 118

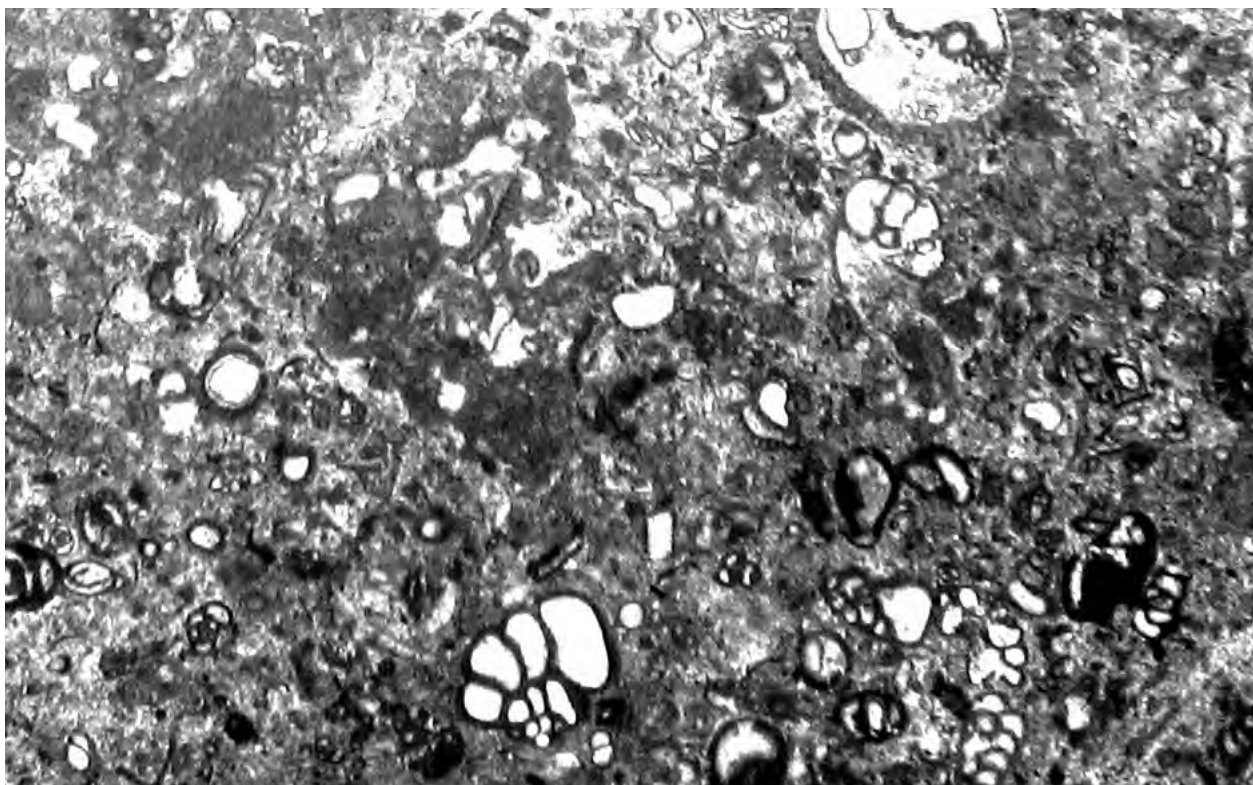
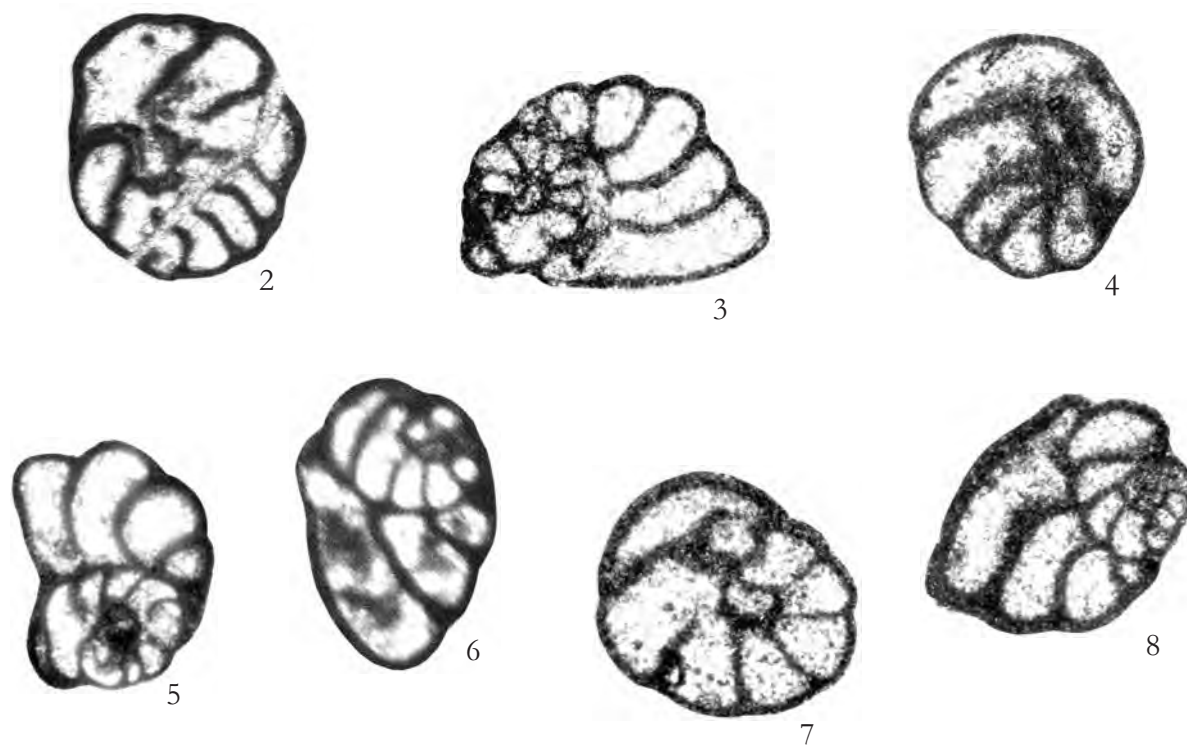


Fig. 1 – Wackestone con *Neozizatina* cf. *aegyptiaca*, Miliolidae, altri Foraminiferi bentonici e *Thaumatoporella parvovesiculifera*. x 15

— Wackestone with *Nezzazatinella cf. aegyptiaca*, *Miliolidae*, other benthic Foraminifera and *Thaumatoporella parvovesiculifera*. $\times 15$



Figg. 2-8 – Sezioni variamente orientate di individui riferibili a *Nezzazatinella* cf. *aegyptiaca*. x 40
 – *Variously oriented sections of specimens referred to Nezzazatinella cf. aegyptiaca.* x 40

La microfacies di fig. 1 e gli individui delle figg. 2-8 provengono dalla sezione stratigrafica di Monte Pizzuto, Monti Ausoni (Lazio meridionale).

Biozona a *Nezzazatinella* cf. *aegyptiaca* e *Nummoloculina* cf. *irregularis*.

TURONIANO

– The microfacies of fig. 1 and the specimens of figs. 2-8 from Pizzuto Mt. stratigraphic section, Ausoni Mts. (Southern Latium). Nezzazatinella cf. aegyptiaca and Nummoloculina cf. irregularis biozone. TURONIAN

TURONIÁN

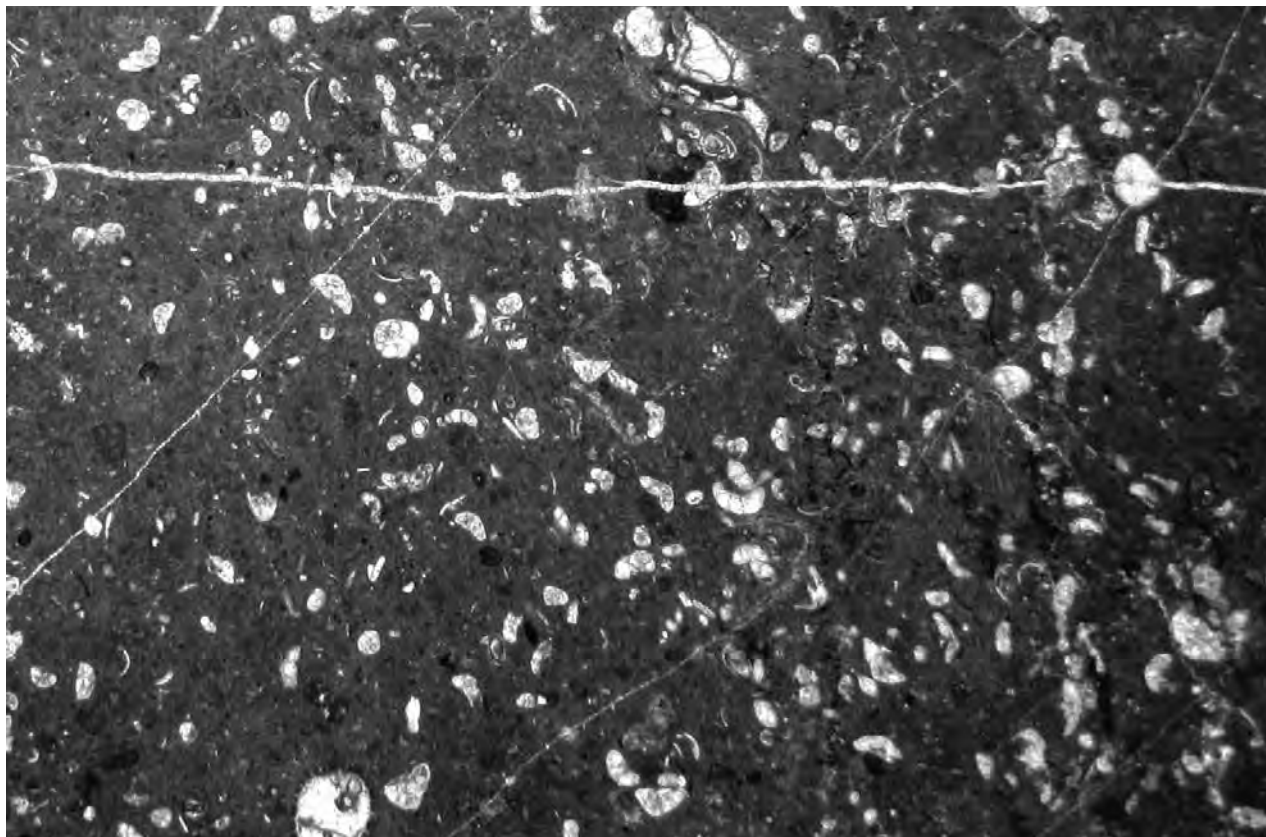
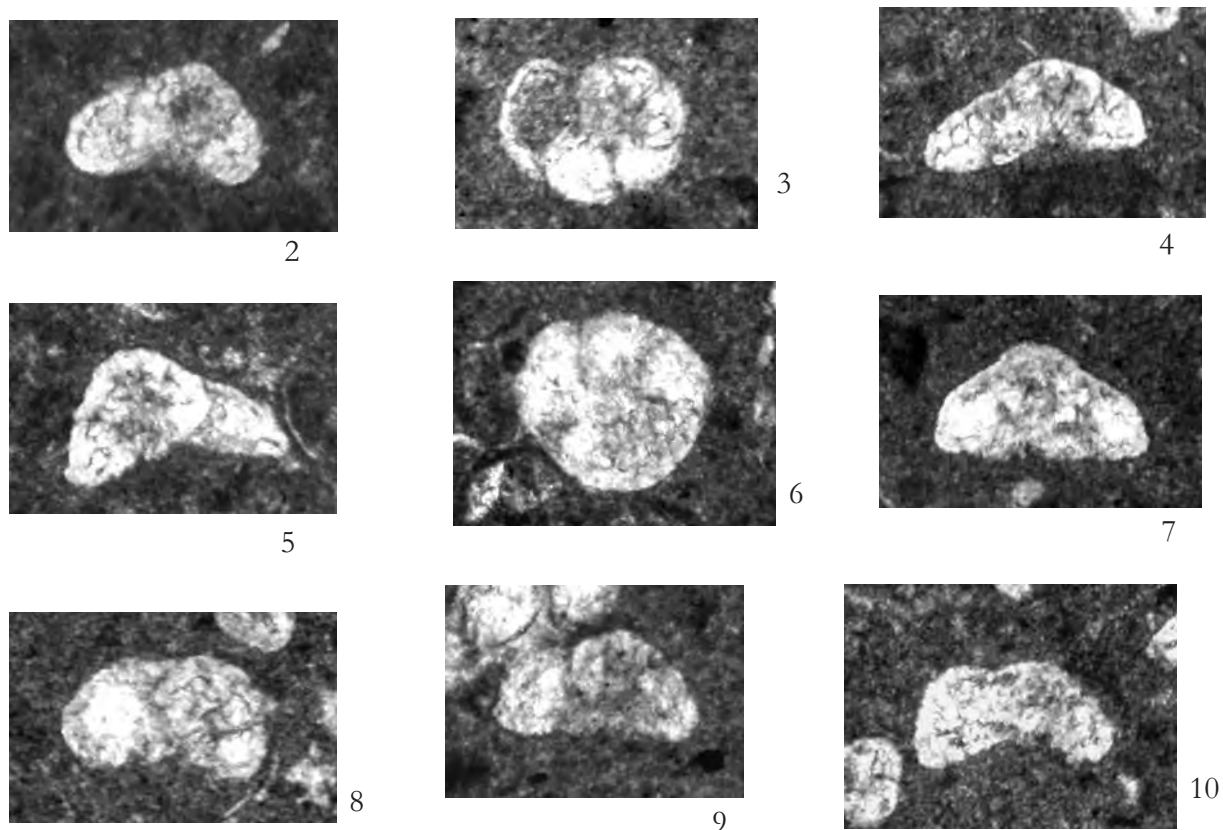


Fig. 1 – Wackestone con *Discorbis cf. turonicus* e altri Foraminiferi bentonici. $\times 25$
 – Wackestone with *Discorbis cf. turonicus* and other benthic Foraminifera. $\times 25$



Figg. 2-10 – Sezioni variamente orientate di individui riferibili a *Discorbis cf. turonicus*. $\times 100$
 – Variously oriented sections of specimens referred to *Discorbis cf. turonicus*. $\times 100$

La microfacies di fig. 1 e gli individui delle figg. 2-10 provengono dalla sezione stratigrafica di Monte Pizzuto, Monti Ausoni (Lazio meridionale).

Biozona a *Nezzazatinella cf. aegyptiaca* e *Nummuloculina cf. irregularis*.

TURONIANO

– The microfacies of fig. 1 and specimens of figs. 2-10 from Pizzuto Mt. stratigraphic section, Ausoni Mts. (Southern Lazio).
Nezzazatinella cf. aegyptiaca and *Nummuloculina cf. irregularis* biozone.

TURONIAN

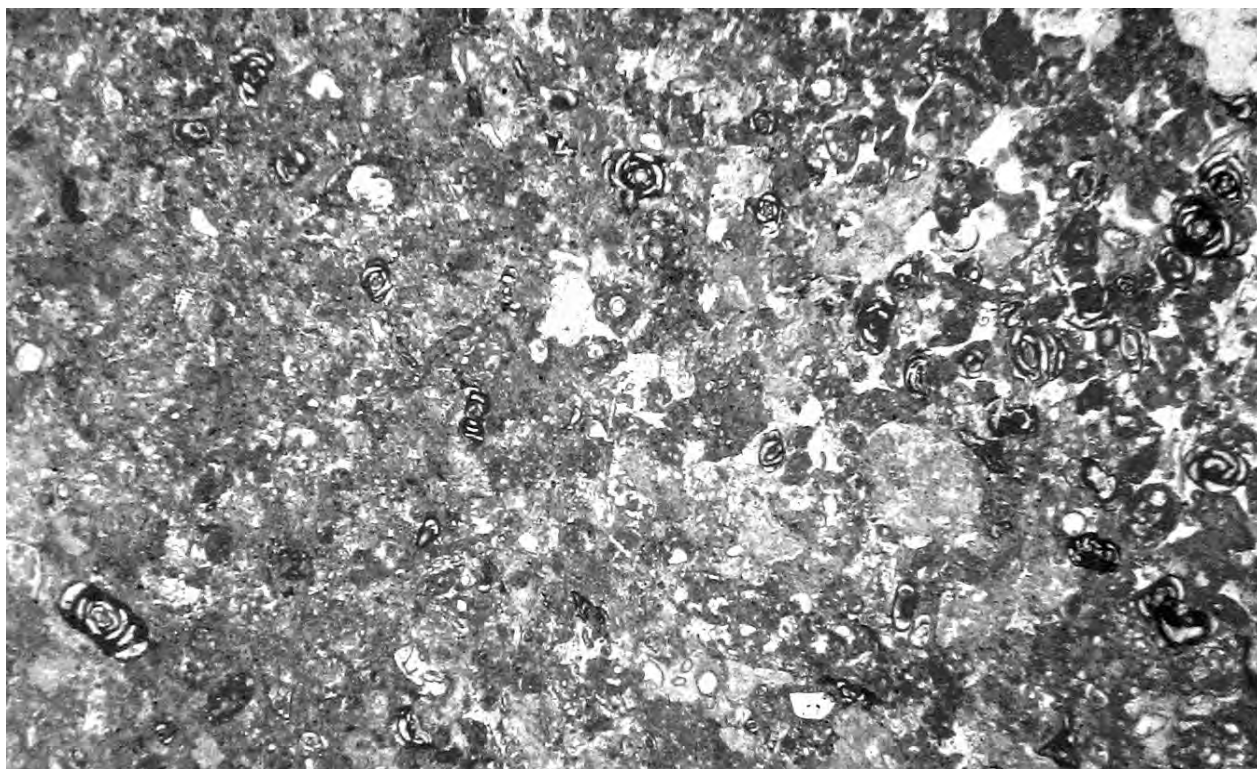
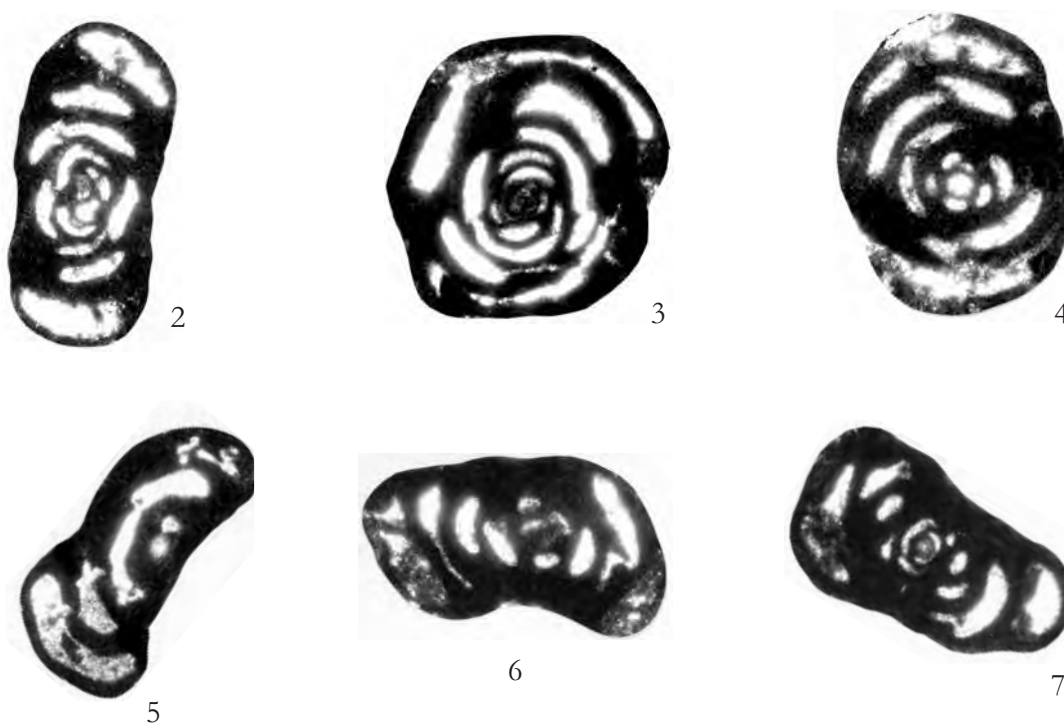


Fig. 1 – Packstone con *Nummoloculina cf. irregularis*, Miliolidae, altri Foraminiferi bentonici e *Thaumatoporella parvovesiculifera*. $\times 12$
 – Packstone with *Nummoloculina cf. irregularis*, *Miliolidae*, other benthic Foraminifera and *Thaumatoporella parvovesiculifera*. $\times 12$



Figg. 2-7 – Sezioni variamente orientate di individui riferibili a *Nummoloculina cf. irregularis*. $\times 55$
 – Variously oriented sections of specimens referred to *Nummoloculina cf. irregularis*. $\times 55$

La microfacies di fig. 1 e gli individui delle figg. 5, 6 provengono dalla sezione stratigrafica di Monte Altino, Monti Aurunci; gli individui delle figg. 2-4, 7 provengono dalla sezione stratigrafica di Monte Pizzuto, Monti Ausoni (Lazio meridionale).

Biozona a *Nezzazatinella cf. aegyptiaca* e *Nummoloculina cf. irregularis*.

TURONIANO

– The microfacies of fig. 1 and the specimens of figs. 5, 6 from Altino Mt. stratigraphic section, Aurunci Mts.; the specimens of figs. 2-4, 7 from Pizzuto Mt. stratigraphic section, Ausoni Mts. (Southern Latium).

Nezzazatinella cf. aegyptiaca and *Nummoloculina cf. irregularis* biozone.

TURONIAN

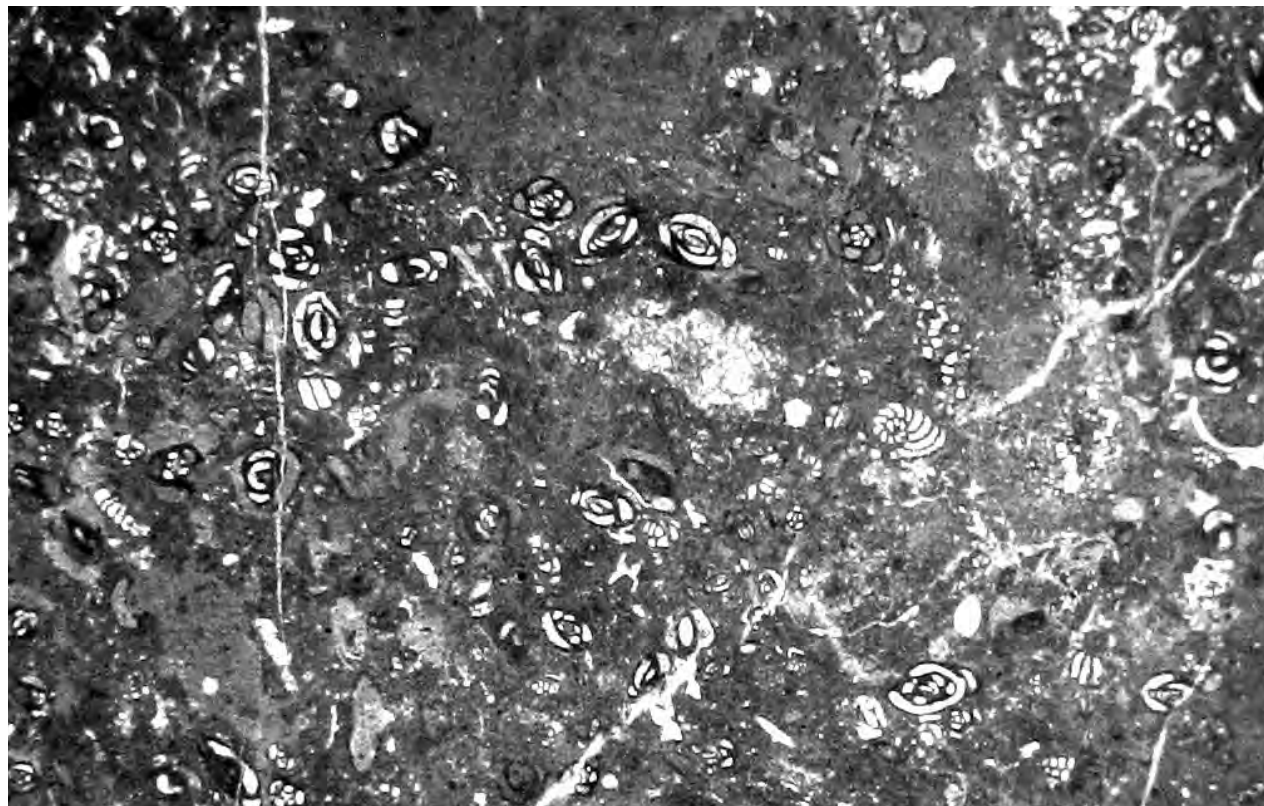


Fig. 1 – Wackestone con Lituolidae ind. sp. 1, Miliolidae e altri Foraminiferi bentonici. $\times 20$
 – Wackestone with *Lituolidae* ind. sp. 1, *Miliolidae* and other benthic Foraminifera. $\times 20$



Figg. 2-9 – Sezioni variamente orientate di individui riferibili a Lituolidae ind. sp. 1. $\times 85$
 – Variously oriented sections of specimens referred to *Lituolidae* ind. sp. 1. $\times 85$

La microfacies di fig. 1 e gli individui delle figg. 2-9 provengono dalla sezione stratigrafica di Grotta Ferretti, Marsica (Abruzzo).

Biozona a *Nezzazatinella* cf. *aegyptiaca* e *Nummoloculina* cf. *irregularis*. TURONIANO SUPERIORE
 – The microfacies of fig. 1 and specimens of figs. 2-9 from Grotta Ferretti stratigraphic section, Marsica (Abruzzi).
Nezzazatinella cf. *aegyptiaca* and *Nummoloculina* cf. *irregularis* biozone. UPPER TURONIAN

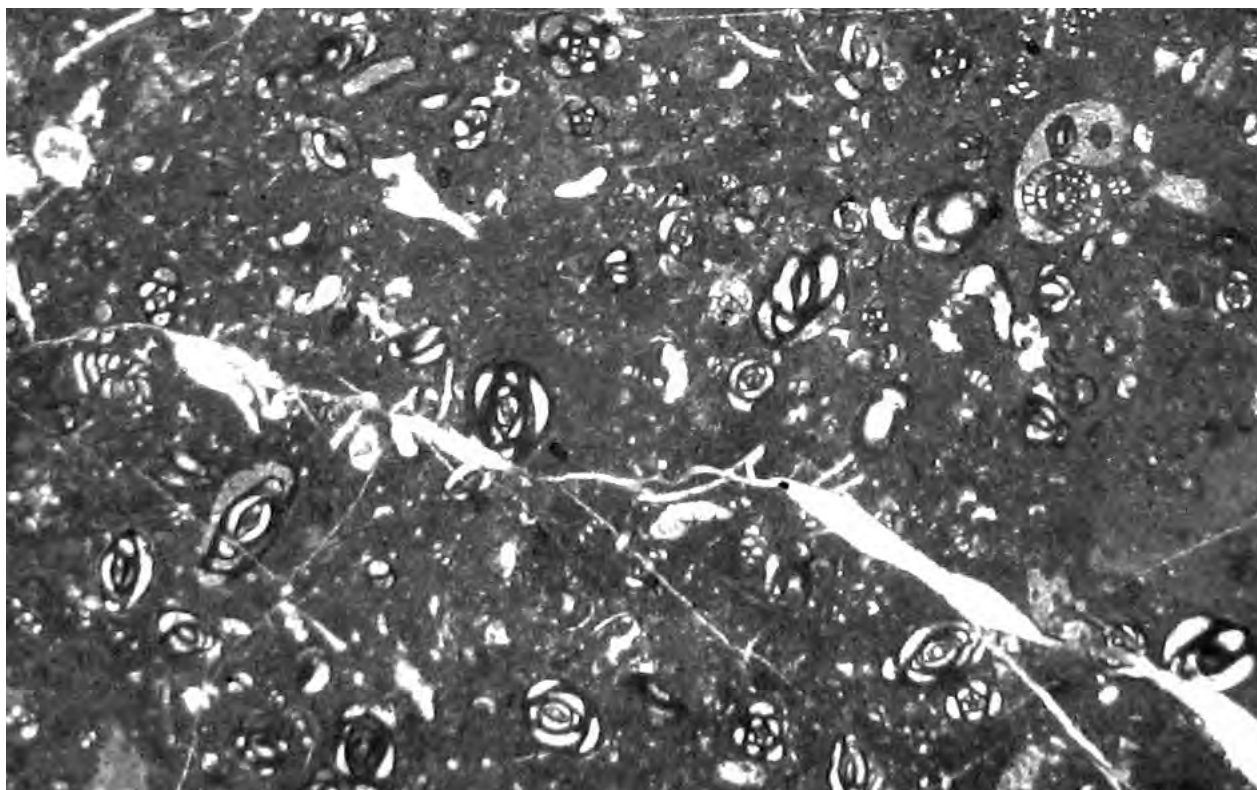
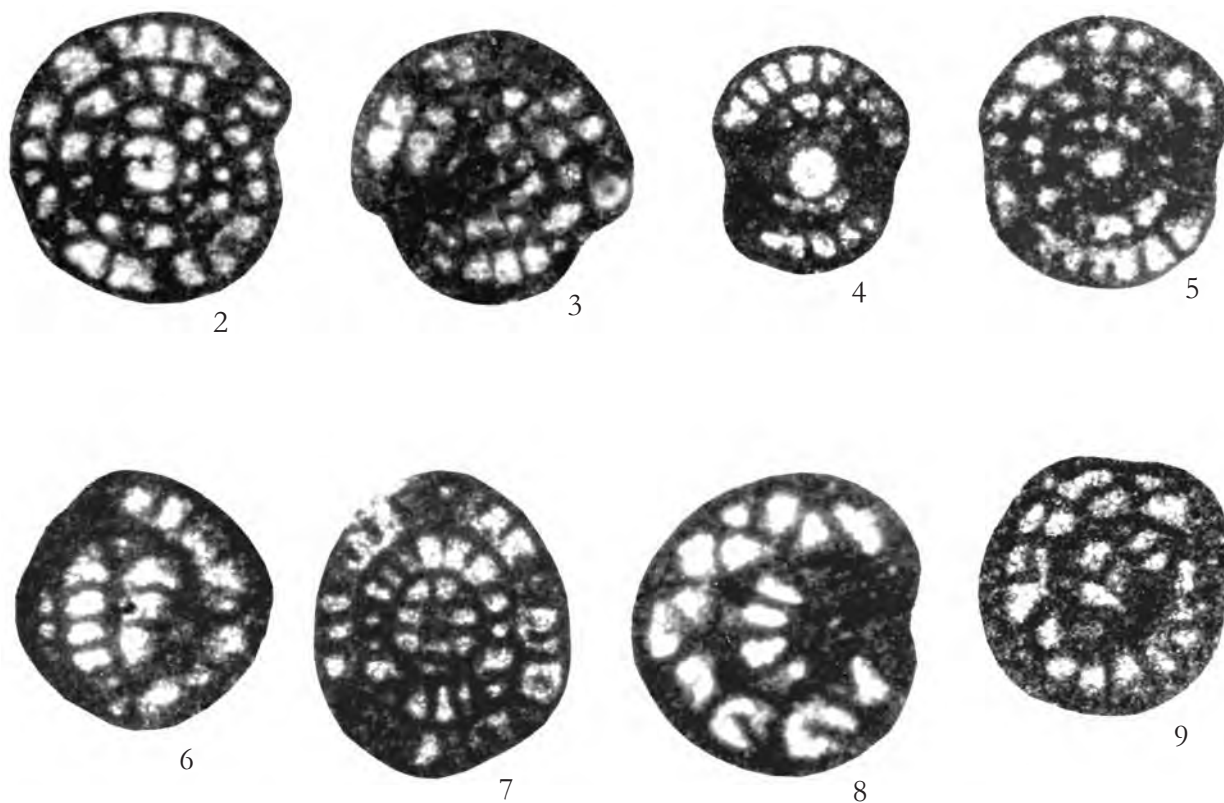


Fig. 1 – Wackestone con *Reticulinella kaeveri*, Lituolidae ind. sp. 1 e Miliolidae. $\times 25$
 – Wackestone with *Reticulinella kaeveri*, *Lituolidae* ind. sp. 1 and *Miliolidae*. $\times 25$



Figg. 2-9 – Sezioni variamente orientate di individui riferibili a *Reticulinella kaeveri*. $\times 90$
 – *Variously oriented sections of specimens referred to Reticulinella kaeveri.* $\times 90$

La microfacies di fig. 1 e gli individui delle figg. 2-9 provengono dalla sezione stratigrafica di Grotta Ferretti, Marsica (Abruzzo).

Biozona a *Nezzazatinella* cf. *aegyptiaca* e *Nummoloculina* cf. *irregularis*. TURONIANO SUPERIORE
 – The microfacies of fig. 1 and the specimens of figs. 2-9 from Grotta Ferretti stratigraphic section, Marsica (Abruzzo).
Nezzazatinella cf. *aegyptiaca* and *Nummoloculina* cf. *irregularis* biozone. UPPER TURONIAN

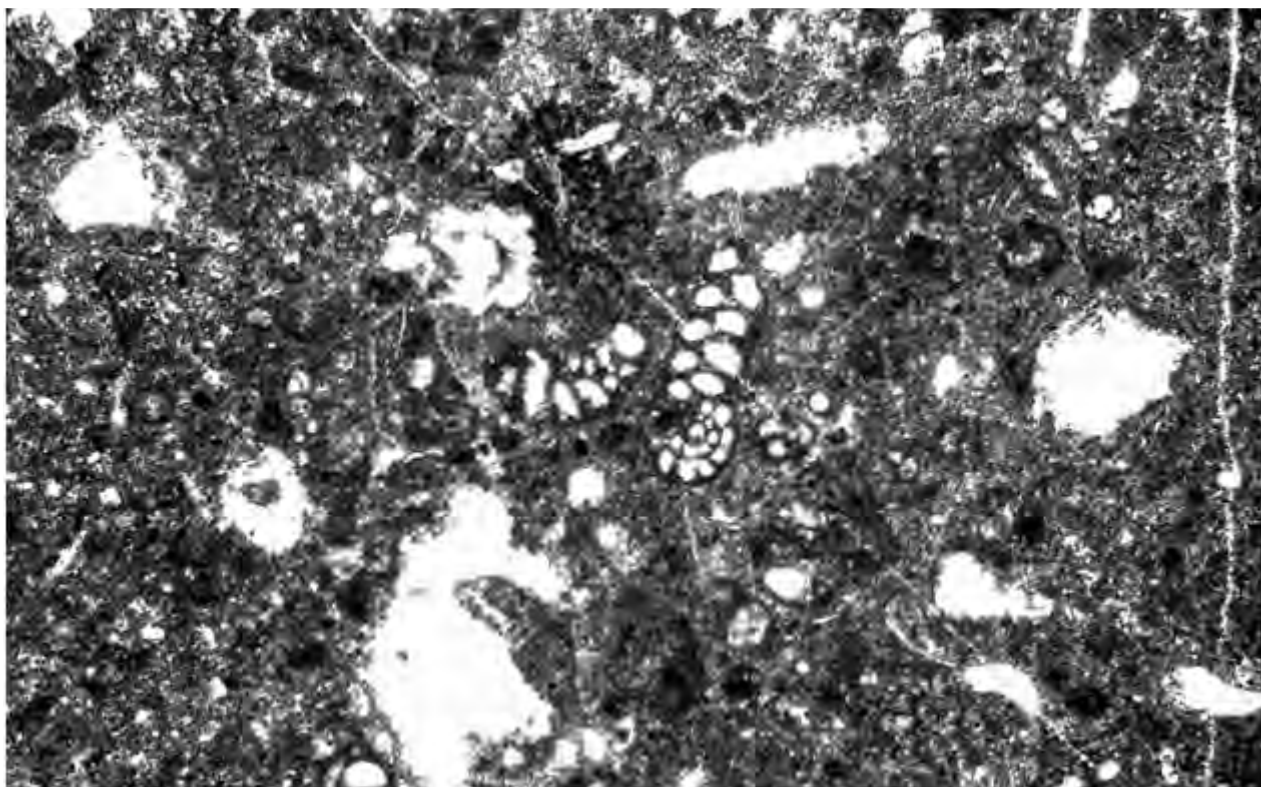


Fig. 1 – Wackestone con *Spiroplectammina multicamerata*, *Lituolidae* sp. ind. 1 e altri Foraminiferi bentonici. $\times 50$
– Wackestone with *Spiroplectammina multicamerata*, *Lituolidae* sp. ind. 1 and other benthic Foraminifera. $\times 50$

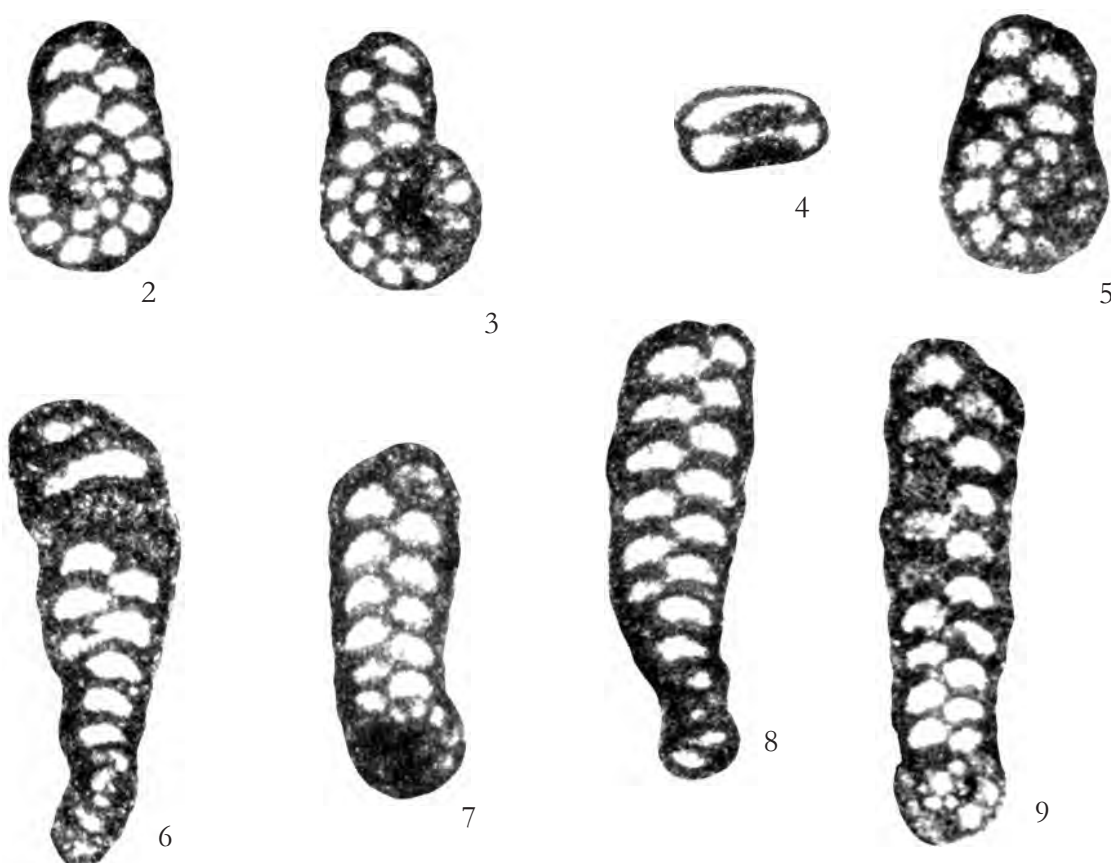


Fig. 2-9 – Sezioni variamente orientate di individui riferibili a *Spiroplectammina multicamerata*. $\times 95$
– Variously oriented sections of specimens referred to *Spiroplectammina multicamerata*. $\times 95$

La microfacies di fig. 1 e gli individui delle figg. 4-9 provengono dalla sezione stratigrafica l'Ottaduna, Monte Cairo (Lazio meridionale); gli individui delle figg. 2, 3 provengono dalla sezione stratigrafica di Grotta Ferretti, Marsica (Abruzzo).

Biozona a *Nezzazatinella cf. aegyptiaca* e *Nummoloculina cf. irregularis*.

TURONIANO SUPERIORE

– The microfacies of fig. 1 and the specimens of figs. 4-9 from l'Ottaduna stratigraphic section, Cairo Mt. (Southern Latium); the specimens of figs. 2, 3 from Grotta Ferretti stratigraphic section, Marsica (Abruzzi).

Nezzazatinella cf. aegyptiaca and *Nummoloculina cf. irregularis* biozone.

UPPER TURONIAN

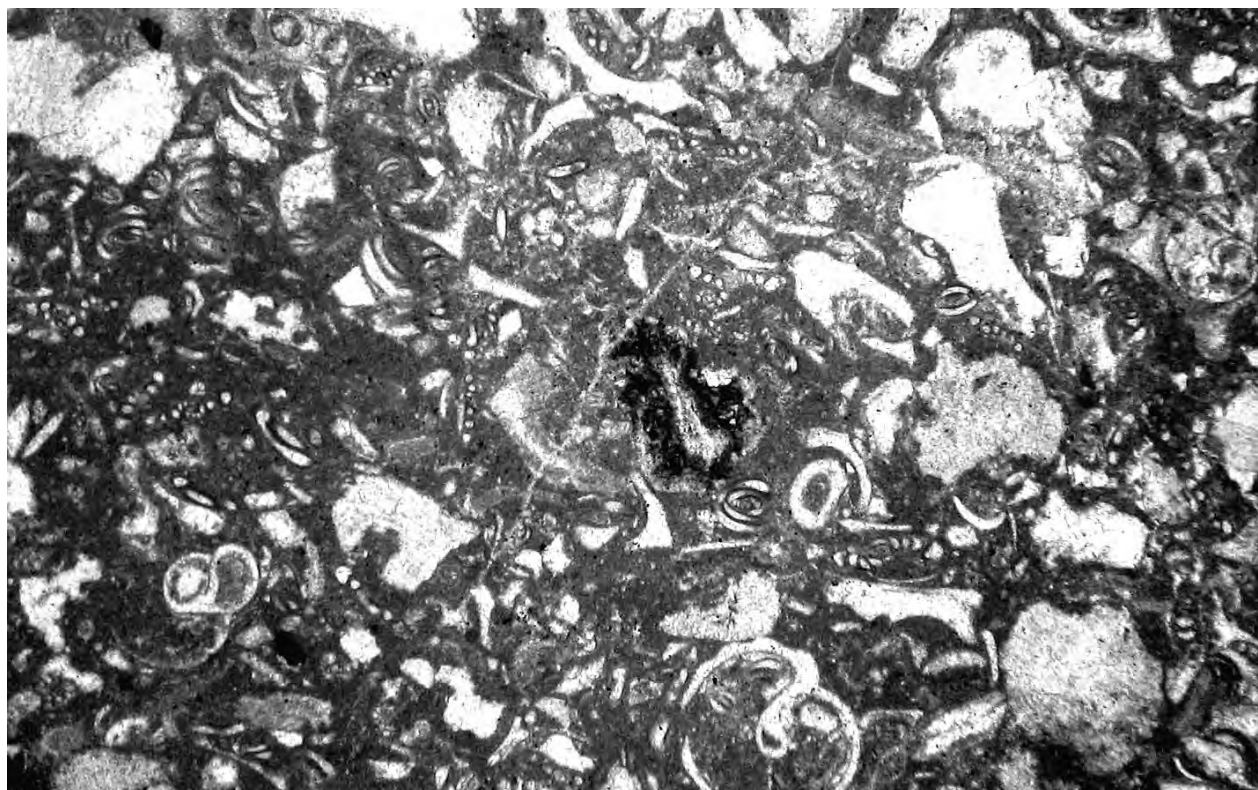
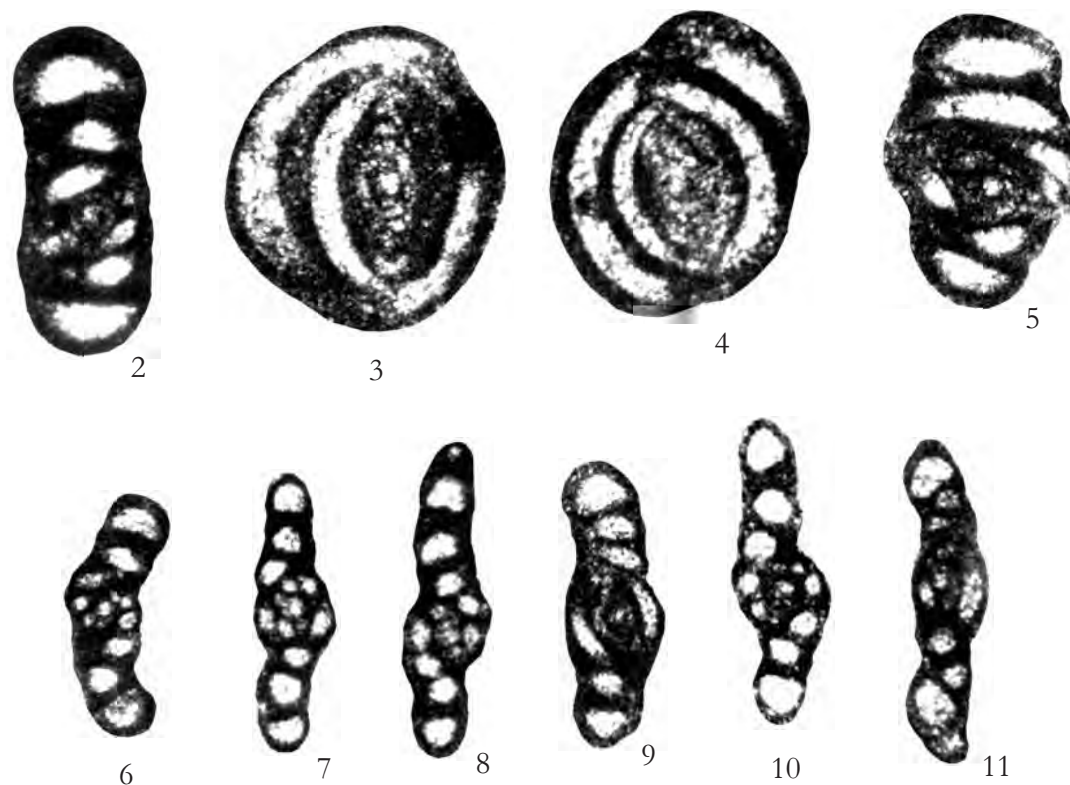


Fig. 1 – Floatstone con *Spirosigmoilina rajkai*, Miliolidae e resti di Mollusca. x 35
 – Floatstone with *Spirosigmoilina rajkai*, Miliolidae and Mollusca remains. x 35



Figg. 2-11 – Sezioni variamente orientate di individui riferibili a *Spirosigmoilina rajkai*. x 100
 – Variously oriented sections of specimens referred to *Spirosigmoilina rajkai*. x 100

La microfacies di fig. 1 e gli individui delle figg. 2-11 provengono dalla località-tipo, sezione stratigrafica l'Ottaduna, Monte Cairo (Lazio meridionale).

Parte superiore della biozona a *Nezzazatinella cf. aegyptiaca* e *Nummoloculina cf. irregularis*.

TURONIANO SUPERIORE

– The microfacies of fig. 1 and the specimens of figs. 2-11 from type-locality, l'Ottaduna stratigraphic section, Cairo Mt. (Southern Lazio).

Upper part of the *Nezzazatinella cf. aegyptiaca* and *Nummoloculina cf. irregularis* biozone.

UPPER TURONIAN

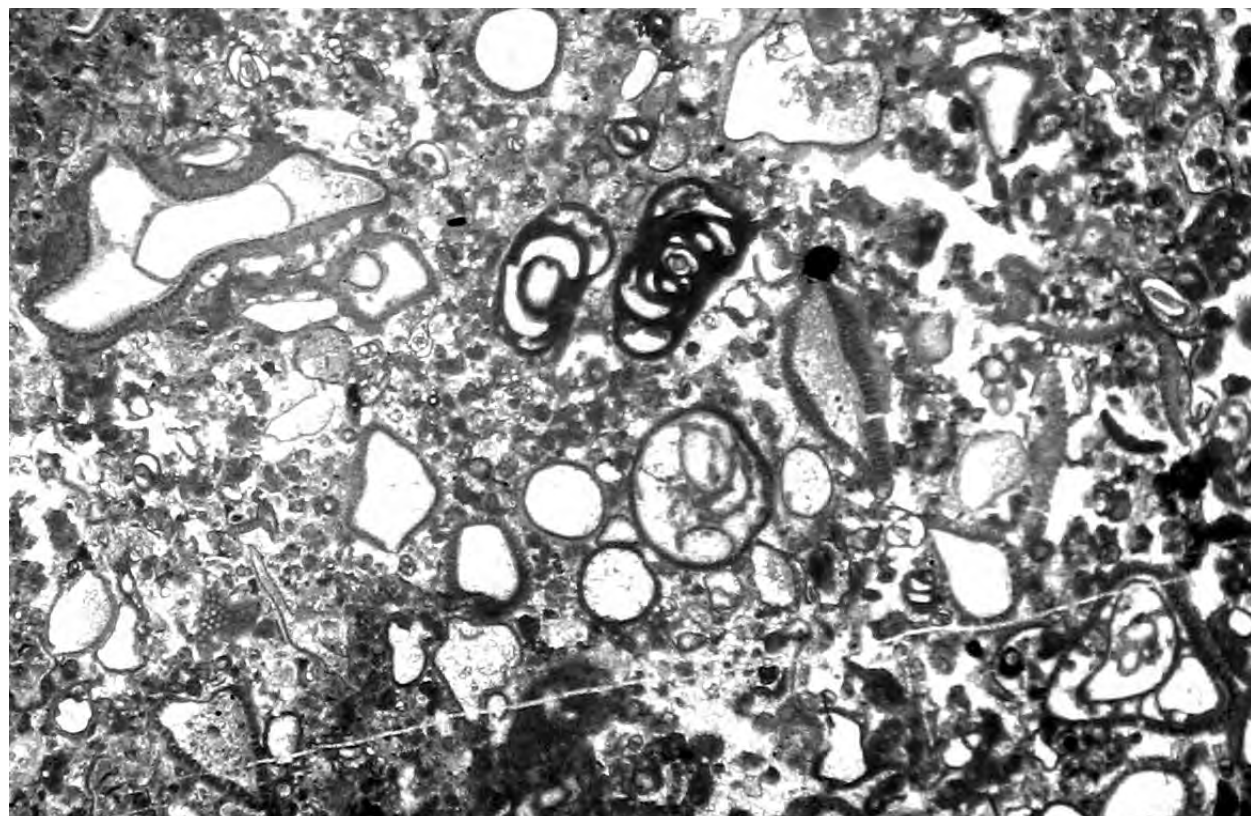
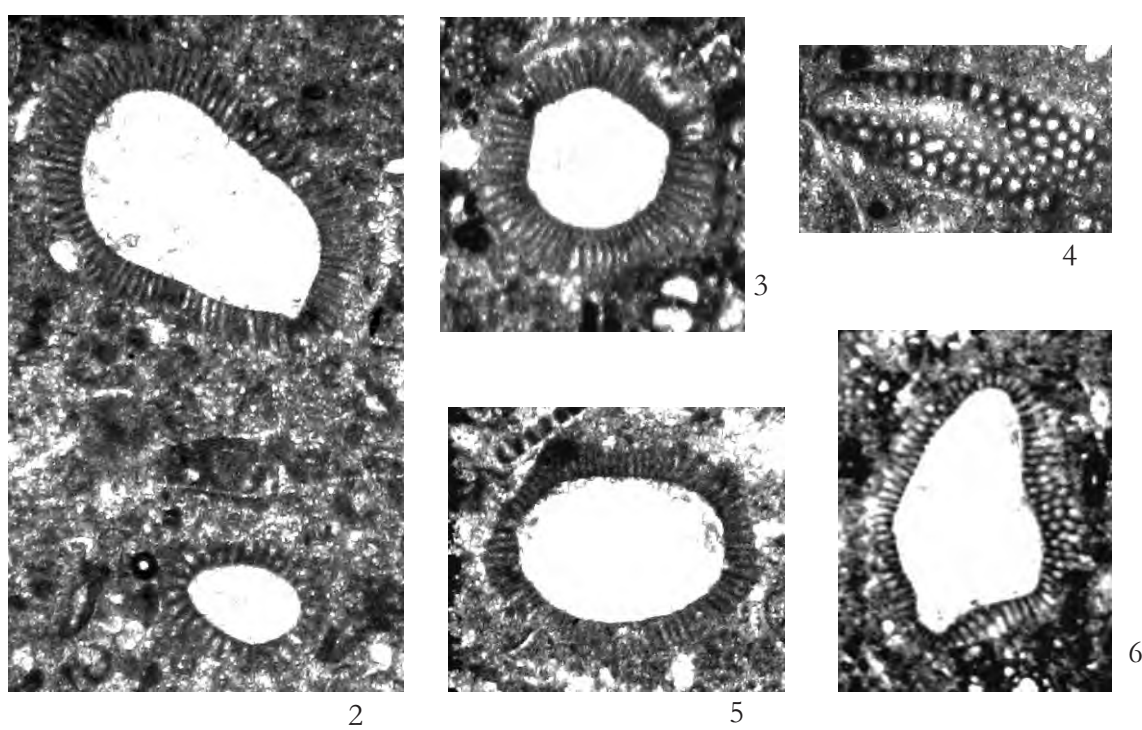


Fig. 1 – Packstone con *Thaumatoporella parvovesiculifera*, *Nummoloculina cf. irregularis*, Miliolidae e altri Foraminiferi bentonici. x 35

– Packstone with *Thaumatoporella parvovesiculifera*, *Nummoloculina cf. irregularis*, *Miliolidae* and other benthic Foraminifera. x 35



Figg. 2-6 – Sezioni variamente orientate di individui riferibili a *Thaumatoporella parvovesiculifera*. x 77
– Variously oriented sections of specimens referred to *Thaumatoporella parvovesiculifera*. x 77

La microfacies di fig. 1 proviene dalla sezione stratigrafica del Monte Pizzuto, Monti Ausoni; gli individui delle figg. 2-6 provengono dalla sezione stratigrafica di Monte Feuci – Crisano, Monti Aurunci orientali (Lazio meridionale).

Biozona a Nezzazatinella cf. aegyptiaca e *Nummoloculina cf. irregularis* - biozona a *Accordiella conica* e *Rotorbinella scarsellai* rispettivamente.

The microfacies of fig. 1 from Pizzuto Mt. stratigraphic section; the specimens of figs. 2-6 from Feuci Mt. – Crisano stratigraphic section, Eastern Aurunci Mts. (Southern Latium).

*Nezzazata cf. aegyptiaca and *Nummoloculina cf. irregularis* biozone - *Accordiella conica* and *Rotorbinella scarsellai* biozone respectively.*

TURONIANO - CONIACIANO
TURONIAN - CONLACIAN

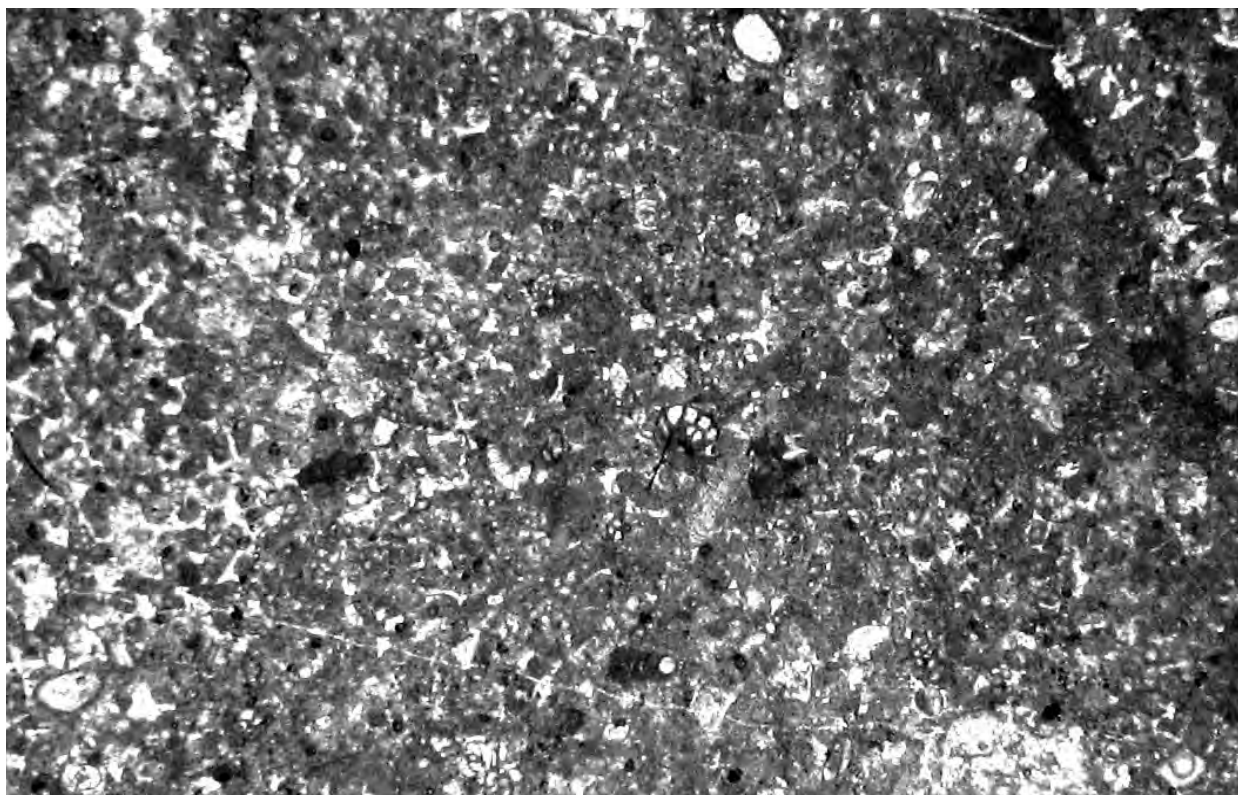
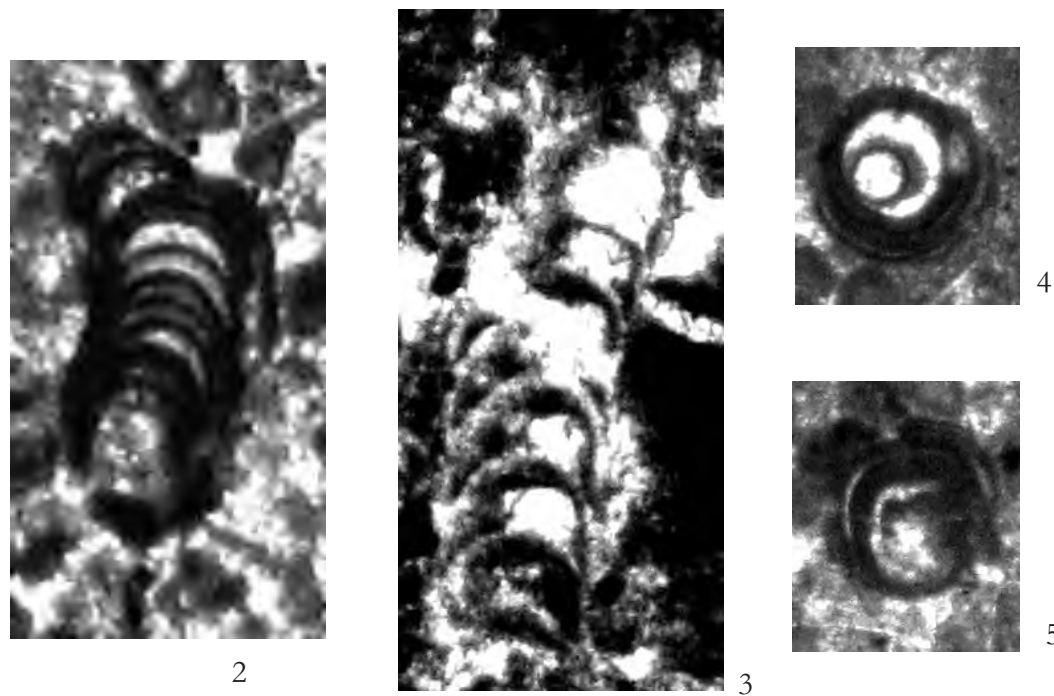


Fig. 1 – Packstone con *Sgrossella parthenopeia*, *Moncharmontia apenninica*, Miliolidae, altri Foraminiferi bentonici e *Thaumatoporella parvovesiculifera*. $\times 20$
 – Packstone with *Sgrossella parthenopeia*, *Moncharmontia apenninica*, *Miliolidae*, other benthic Foraminifera and *Thaumatoporella parvovesiculifera*. $\times 20$



Figg. 2-5 – Sezioni variamente orientate di individui riferibili a *Sgrossella parthenopeia*. $\times 85$
 – Variously oriented sections of specimens referred to *Sgrossella parthenopeia*. $\times 85$

La microfacies di fig. 1 e gli individui delle figg. 2-5 provengono dalla sezione stratigrafica di Monte Ceschito, Monti Aurunci (Lazio meridionale).

Parte inferiore della biozona a *Accordiella conica* e *Rotorbinella scarsellai*. CONIACIANO
 – The microfacies of fig. 1 and specimens of figs. 2-5 from Ceschito Mt. stratigraphic section, Aurunci Mts. (Southern Lazio). CONIACIANO
 Lower part of the *Accordiella conica* and *Rotorbinella scarsellai* biozone. CONIACIANO

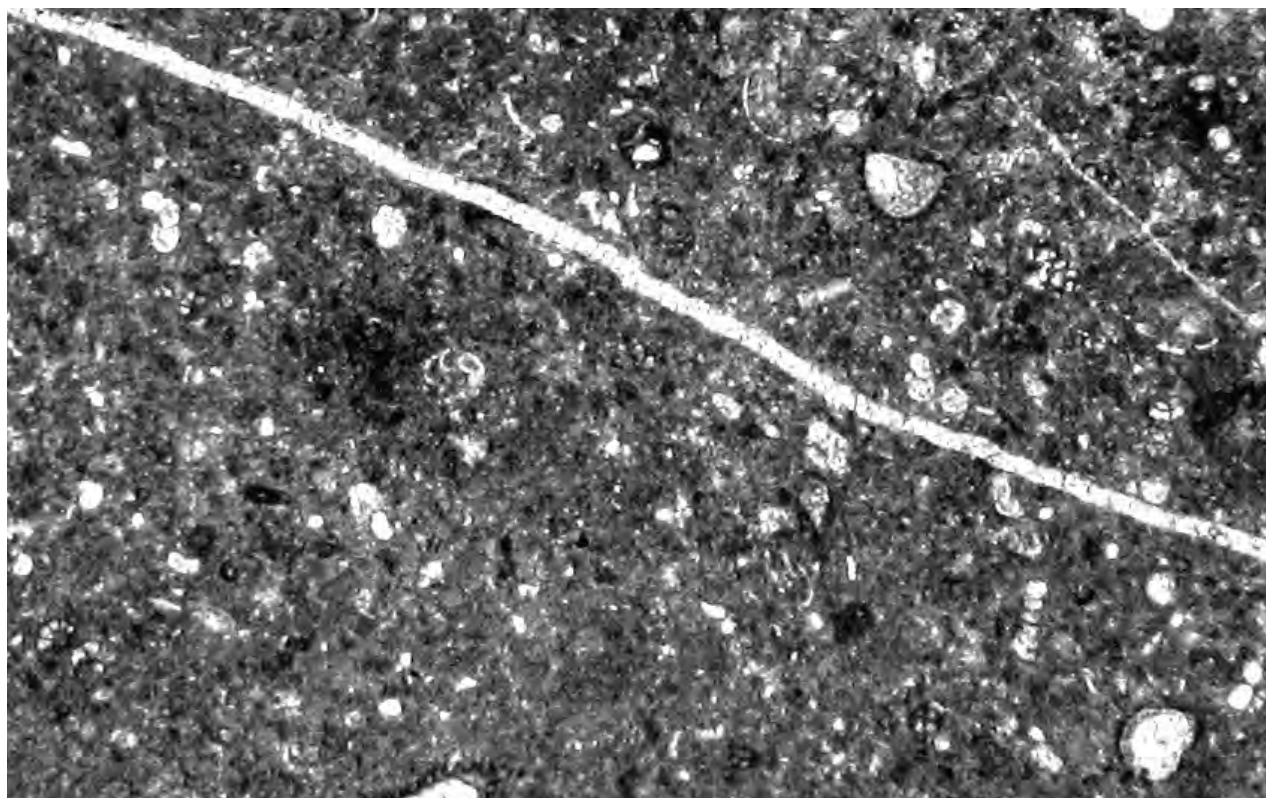
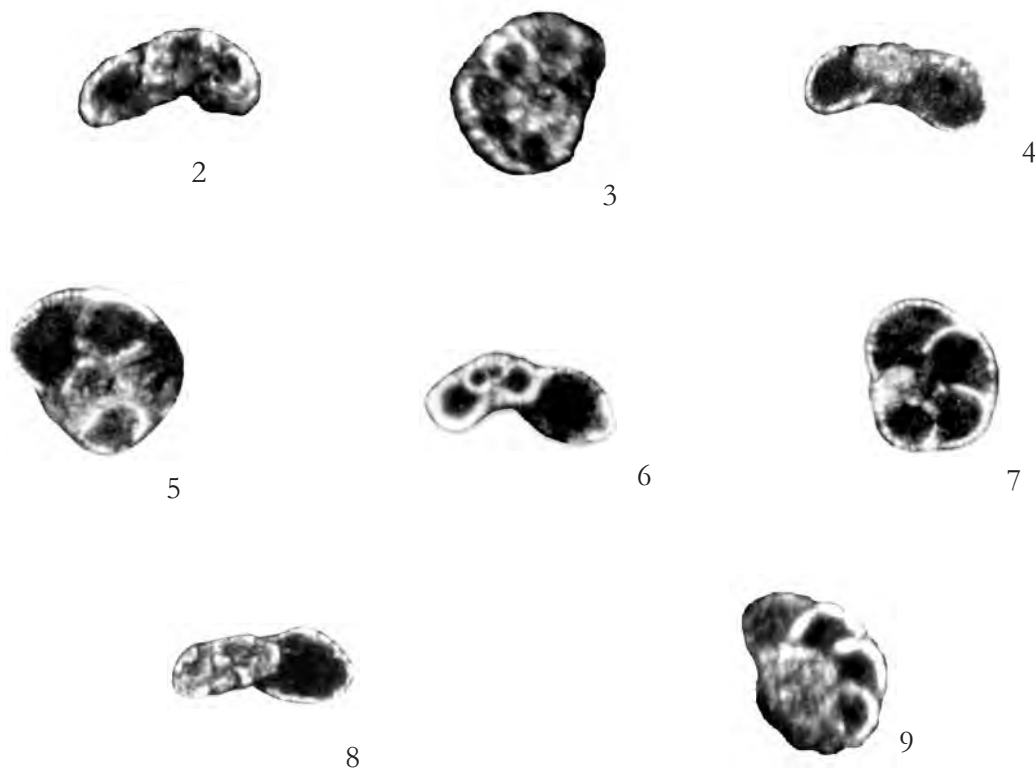


Fig. 1 – Wackestone con Discorbidae sp. a, altri Foraminiferi bentonici e *Thaumatoporella parvovesiculifera*. $\times 40$
 – Wackestone with Discorbidae sp. a, other benthic Foraminifera and *Thaumatoporella parvovesiculifera*. $\times 40$



Figg. 2-9 – Sezioni variamente orientate di individui riferibili a Discorbidae sp. a. $\times 100$
 – Variously oriented sections of specimens referred to Discorbidae sp. a. $\times 100$

La microfacies di fig. 1 e gli individui delle figg. 2-9 provengono dalla sezione stratigrafica di Monte Rotondo, Monti Aurunci orientali (Lazio meridionale).

Parte inferiore della biozona a *Accordiella conica* e *Rotorbinella scarsellai*.

CONIACIANO

– The microfacies of fig. 1 and the specimens of figs. 2-9 from Rotondo Mt. stratigraphic section, Eastern Aurunci Mts. (Southern Latum).

Lower part of the *Accordiella conica* and *Rotorbinella scarsellai* biozone.

CONLACIAN

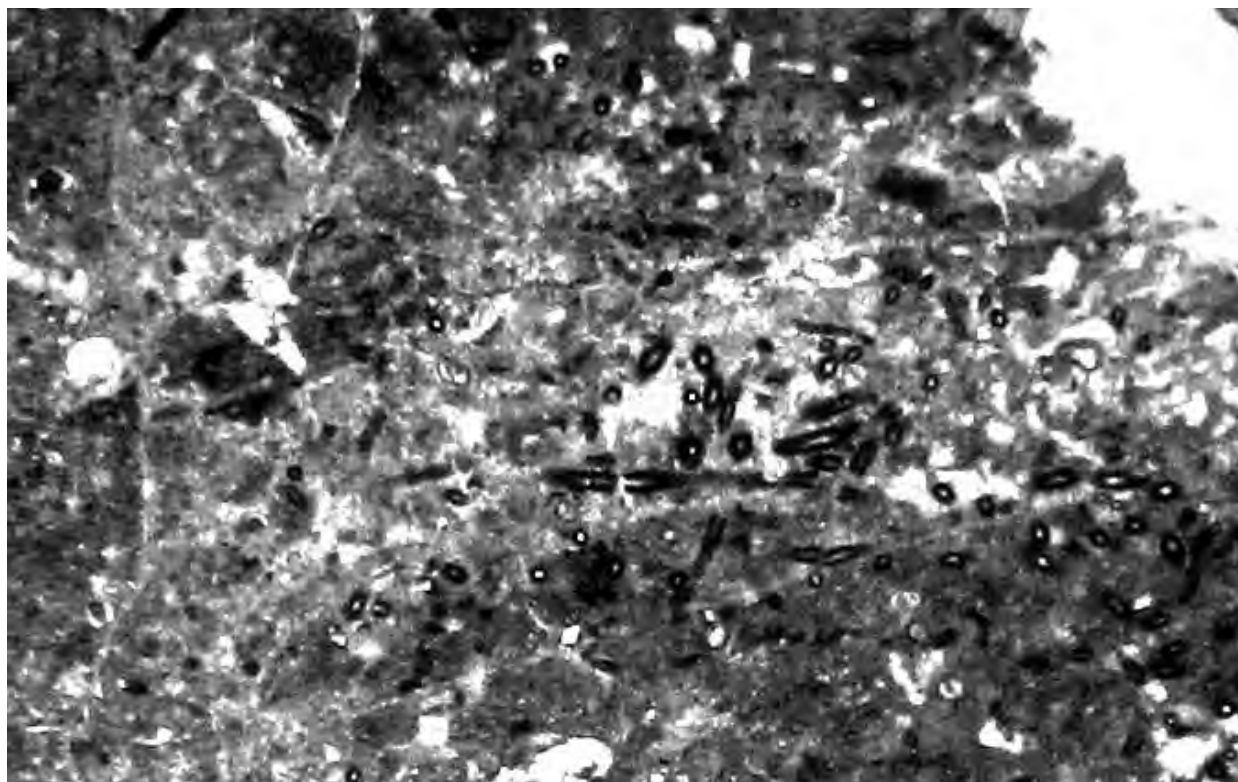
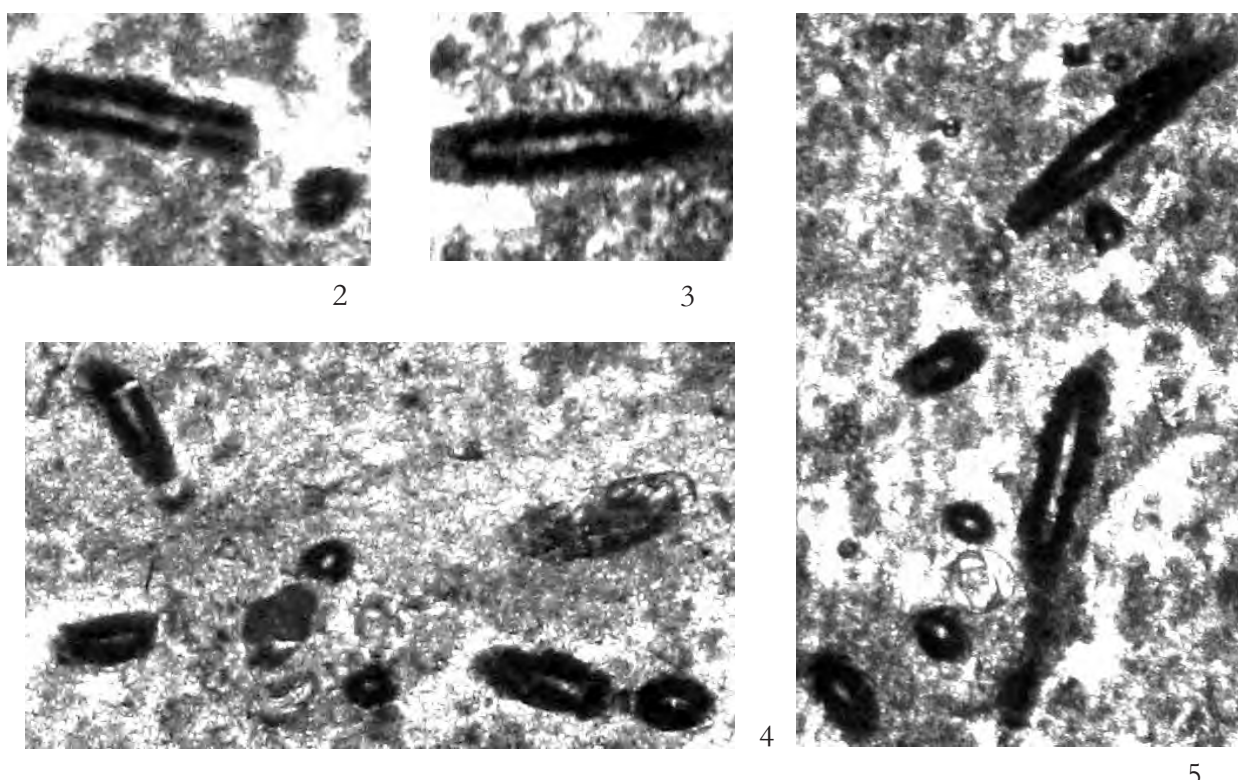


Fig. 1 – Packstone con *Decastronema barattoloi* e *Thaumatoporella parvovesiculifera*. $\times 50$
 – Packstone with *Decastronema barattoloi* and *Thaumatoporella parvovesiculifera*. $\times 50$



Figg. 2-5 – Sezioni variamente orientate di individui riferibili a *Decastronema barattoloi*. $\times 135$
 – Variously oriented sections of specimens referred to *Decastronema barattoloi*. $\times 135$

La microfacies di fig. 1 e gli individui delle figg. 2-5 provengono dalla sezione stratigrafica di Monte Feuci – Crisano, Monti Aurunci orientali (Lazio meridionale).

Biozona a *Accordiella conica* e *Rotorbinella scarsellai*.

CONIACIANO – SANTONIANO

– The microfacies of fig. 1 and the specimens of figs. 2-5 from Feuci Mt. – Crisano stratigraphic section, Eastern Aurunci Mts. (Southern Lazio).

Accordiella conica and *Rotorbinella scarsellai* biozone.

CONIACIAN – SANTONIAN

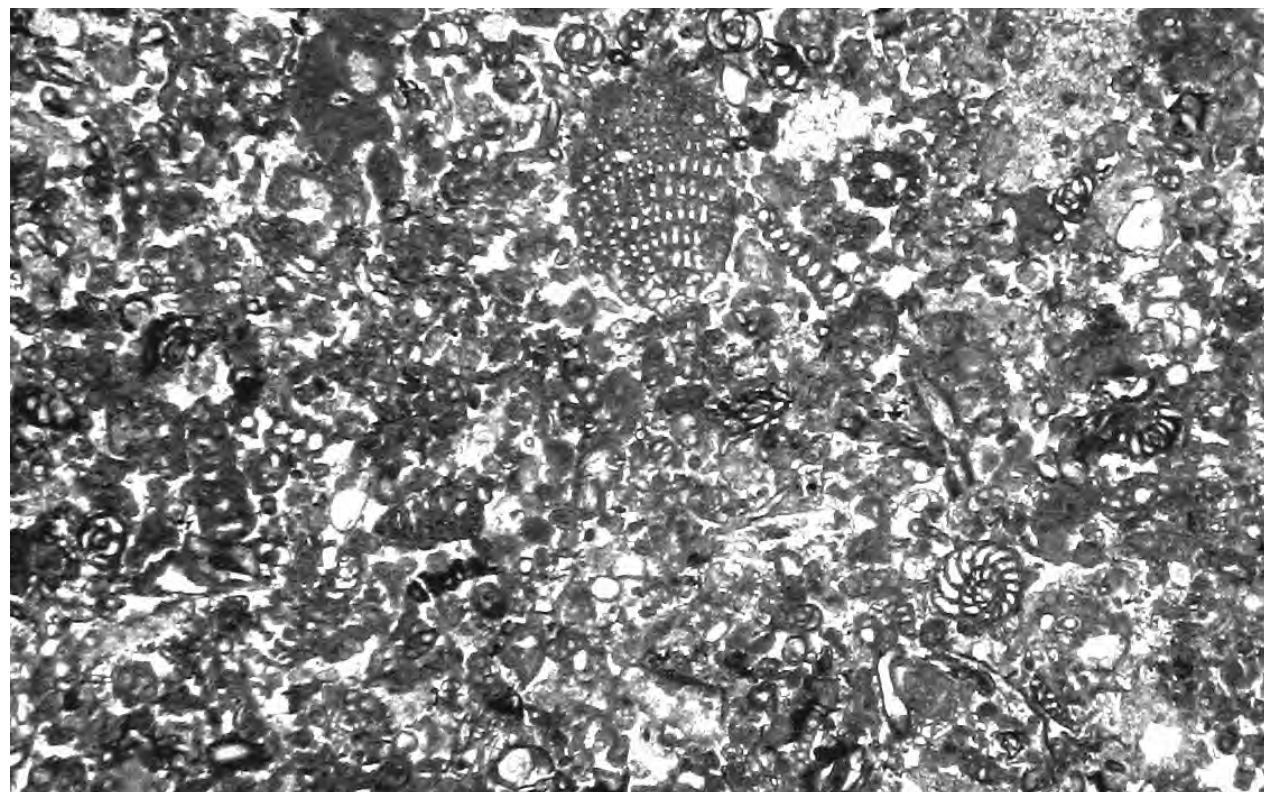
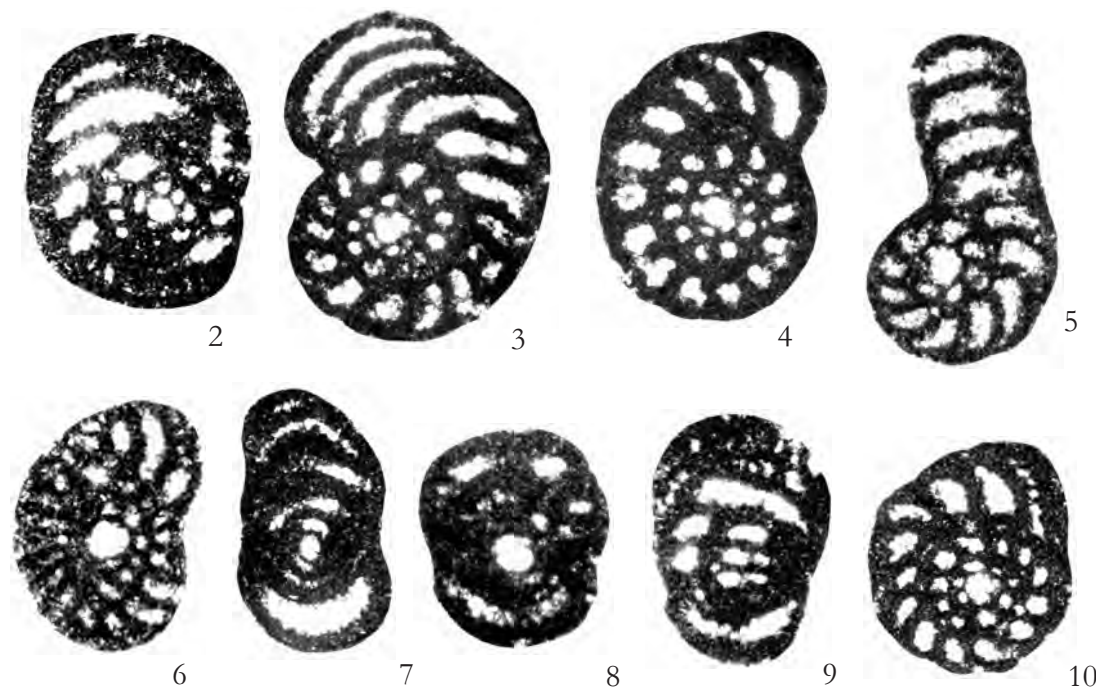


Fig. 1 – Packstone con *Pseudocyclammina sphaeroidea*, *Cuneolina sp.*, Miliolidae, altri Foraminiferi bentonici e *Thaumatoporella parvovesiculifera*. $\times 18$
 – Packstone with *Pseudocyclammina sphaeroidea*, *Cuneolina sp.*, *Miliolidae*, other benthic Foraminifera and *Thaumatoporella parvovesiculifera*. $\times 18$



Figg. 2-10 – Sezioni variamente orientate di individui riferibili a *Pseudocyclammina sphaeroidea*. $\times 65$
 – Variously oriented sections of specimens referred to *Pseudocyclammina sphaeroidea*. $\times 65$

La microfacies di fig. 1 e gli individui delle figg. 2-10 provengono dalla sezione stratigrafica di Monte Feuci – Crisano, Monti Aurunci orientali (Lazio meridionale).

Biozona a *Accordiella conica* e *Rotorbinella scarsellai*.

CONIACIANO – SANTONIANO

– The microfacies of fig. 1 and the specimens of figs. 2-10 from Fuci Mt. – Crisano stratigraphic section, Eastern Aurunci Mts. (Southern Lazio).

Accordiella conica and *Rotorbinella scarsellai* biozone.

CONIACIAN – SANTONIAN

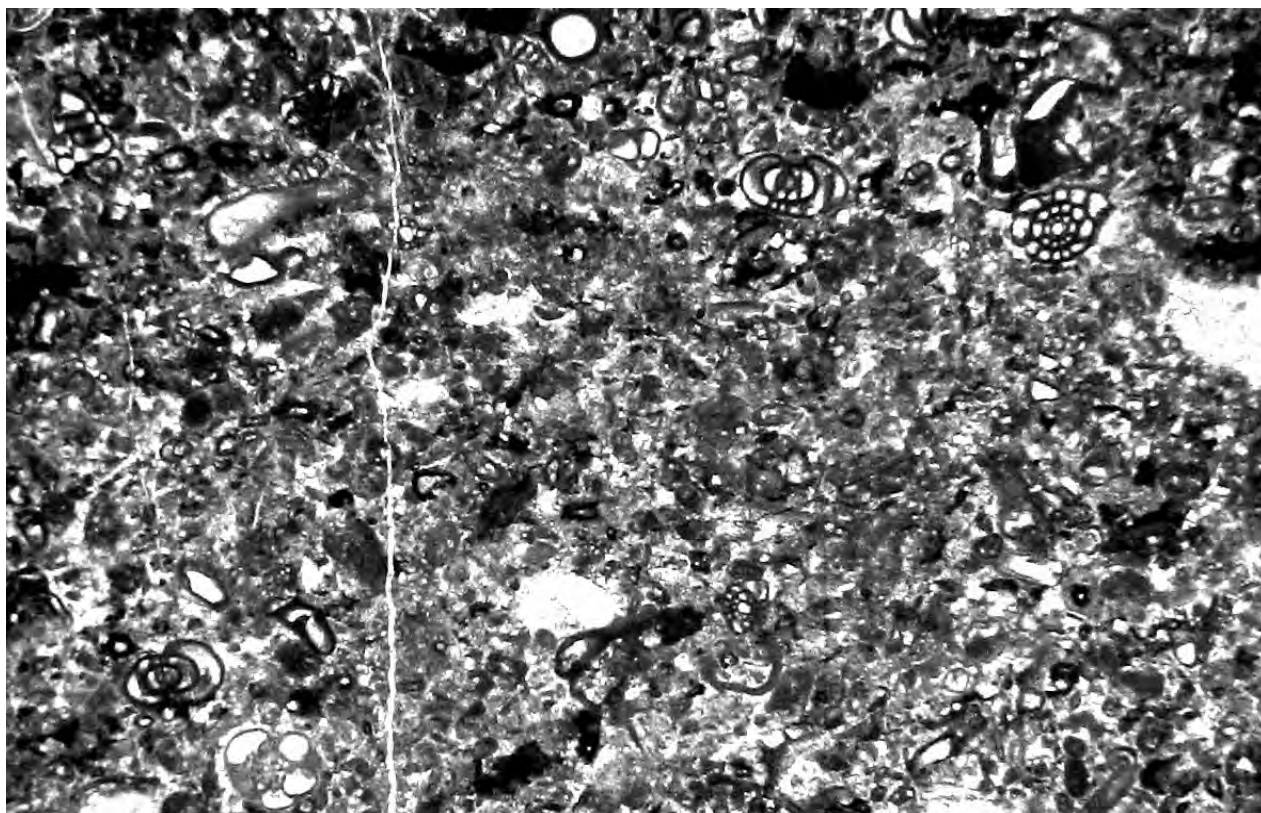
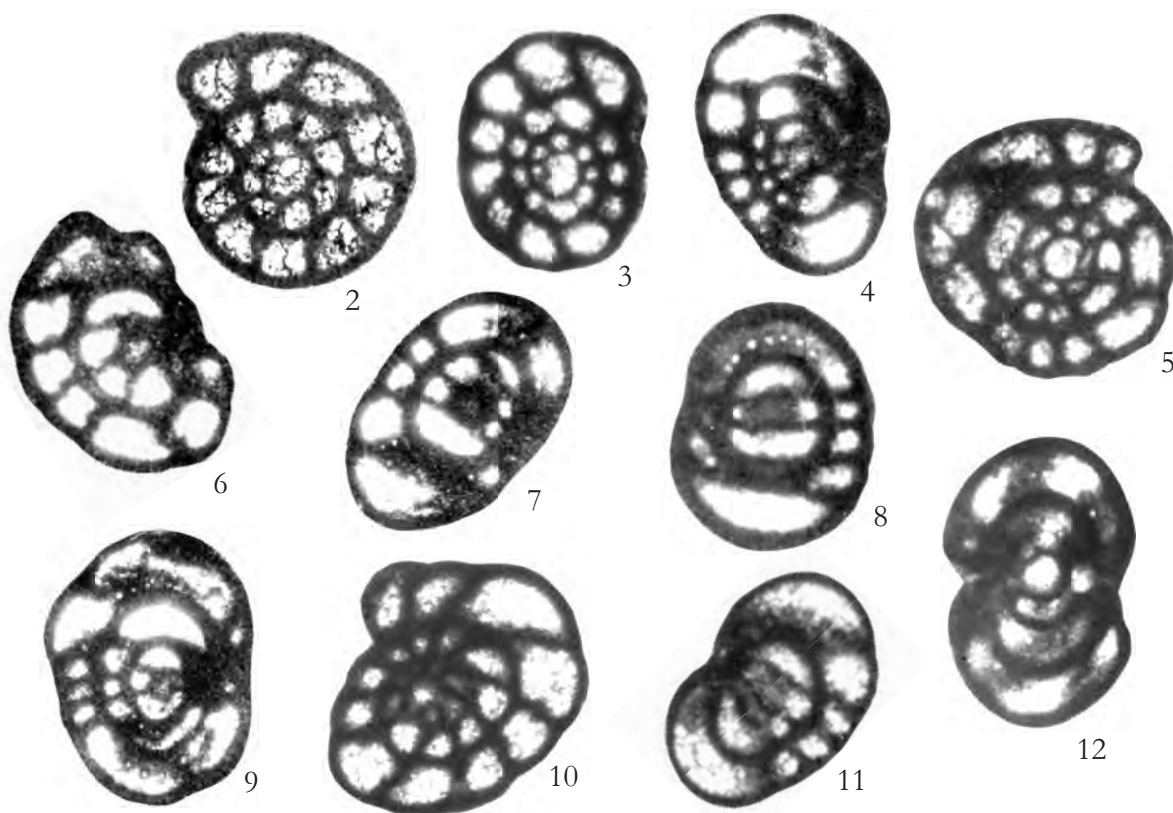


Fig. 1 – Packstone con *Moncharmontia apenninica*, *Accordiella conica*, altri Foraminiferi bentonici e *Thaumatoporella parvovesiculifera*. x 35

– Packstone with *Moncharmontia apenninica*, *Accordiella conica*, other benthic Foraminifera and *Thaumatoporella parvovesiculifera*. x 35



Figg. 2-12 – Sezioni variamente orientate di individui riferibili a *Moncharmontia apenninica*. x 75

– Variously oriented sections of specimens referred to *Moncharmontia apenninica*. x 75

La microfacies di fig. 1 e gli individui delle figg. 2-12 provengono dalla sezione stratigrafica di Monte Feuci – Crisano, Monti Aurunci orientali (Lazio meridionale).

Biozona a *Accordiella conica* e *Rotorbinella scarsellai*.

CONIACIANO – SANTONIANO

– The microfacies of fig. 1 and the specimens of figs. 2-12 from Feuci Mt. – Crisano stratigraphic section, Eastern Aurunci Mts. (Southern Lazio).

Accordiella conica and *Rotorbinella scarsellai* biozone.

CONIACIAN – SANTONIAN

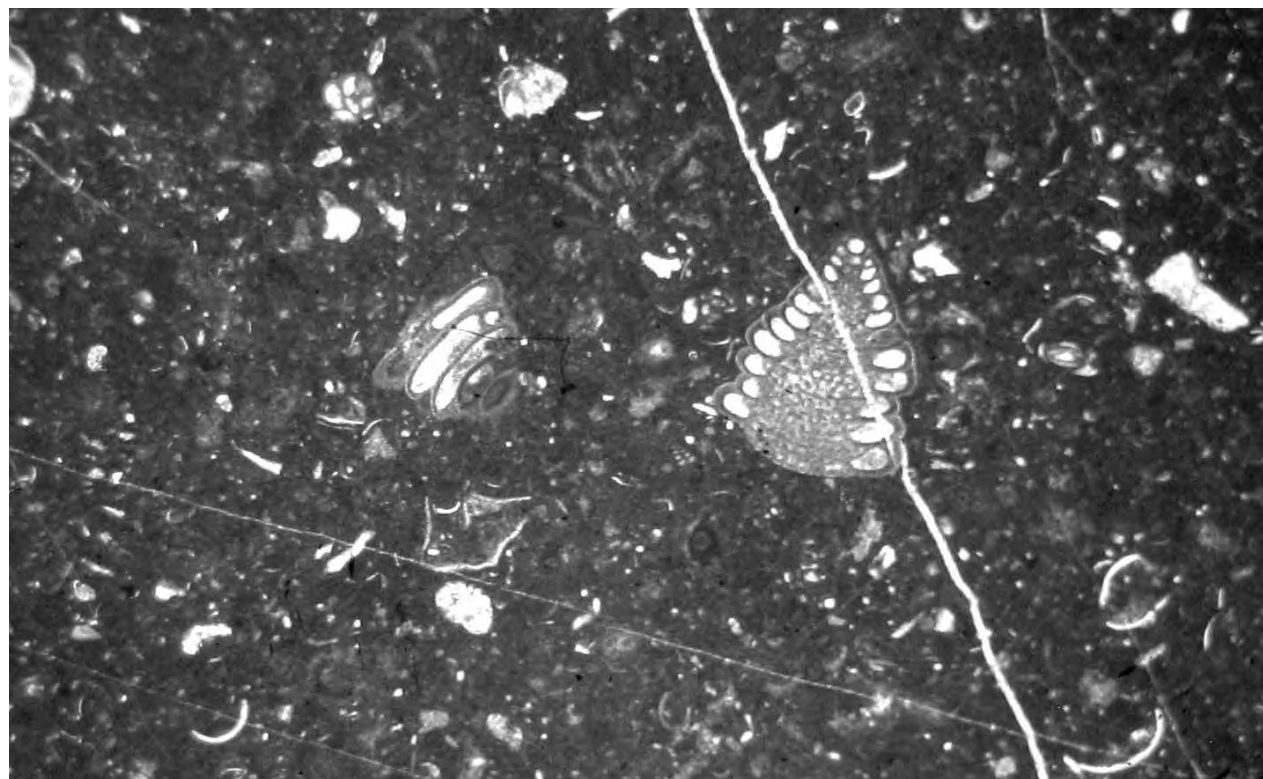
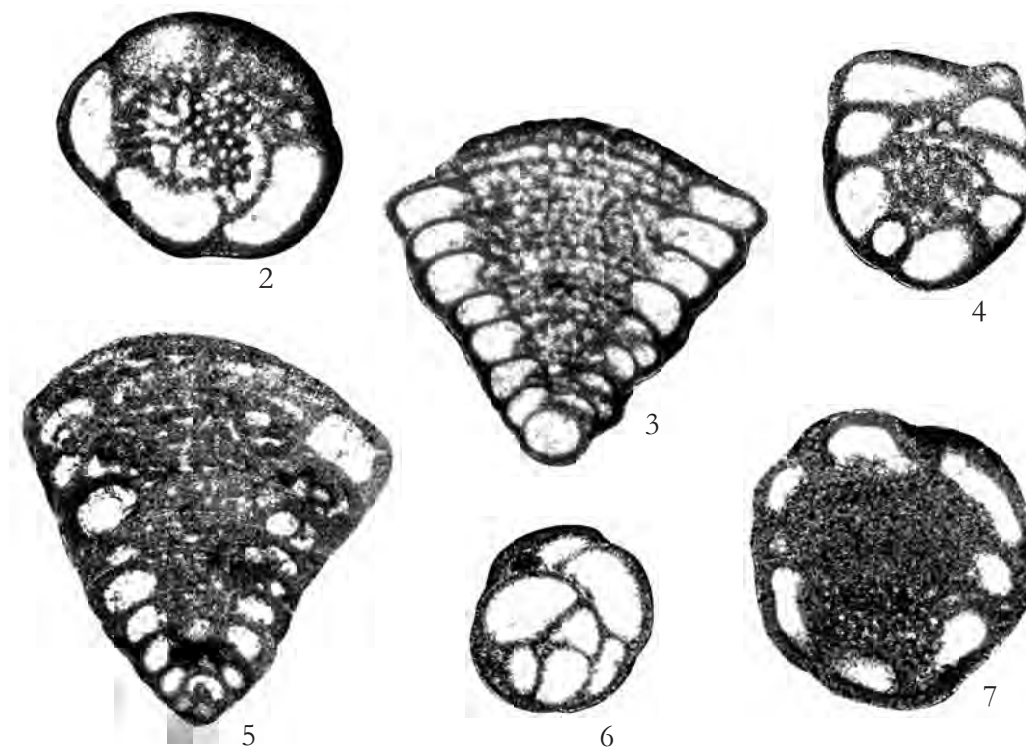


Fig. 1 – Wackestone con *Accordiella conica*, *Rotorbinella scarsellai* e Ostracoda. x 25
 – Wackestone with *Accordiella conica*, *Rotorbinella scarsellai* and Ostracoda. x 25



Figg. 2-7 – Sezioni variamente orientate di individui riferibili a *Accordiella conica*. x 40
 – Variously oriented sections of specimens referred to *Accordiella conica*. x 40

La microfacies di fig. 1 e gli individui delle figg. 2-7 provengono dalla sezione stratigrafica di Monte Feuci-Crisano, Monti Aurunci orientali (Lazio meridionale).

Biozona a *Accordiella conica* e *Rotorbinella scarsellai*.

CONIACIANO – SANTONIANO

– The microfacies of fig. 1 and the specimens of figs. 2-7 from Feuci Mt. – Crisano stratigraphic section, Eastern Aurunci Mts. (Southern Latium).

Accordiella conica and *Rotorbinella scarsellai* biozone.

CONIACIAN – SANTONIAN

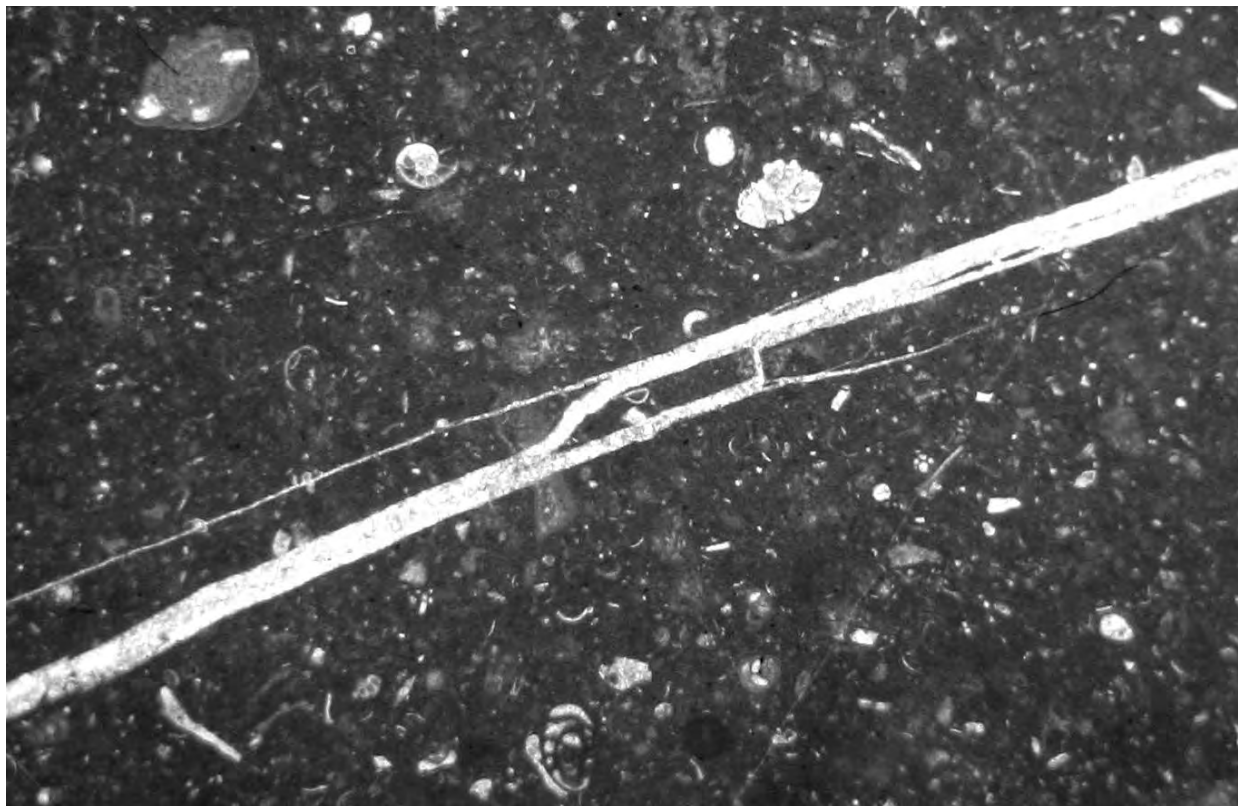
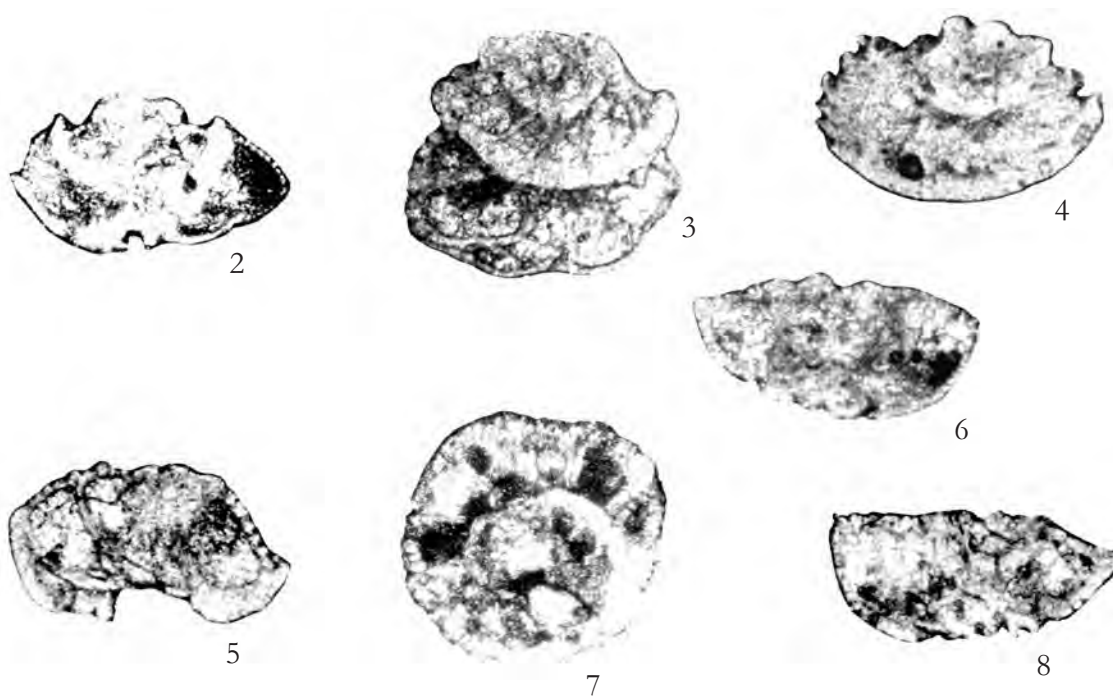


Fig. 1 – Wackestone con *Rotorbinella scarsellai*, *Moncharmontia apenninica* e *Accordiella conica*. $\times 22$
 – Wackestone with *Rotorbinella scarsellai*, *Moncharmontia apenninica* and *Accordiella conica*. $\times 22$



Figg. 2-8 – Sezioni variamente orientate di individui riferibili a *Rotorbinella scarsellai*. $\times 65$
 – Variously oriented sections of specimens referred to *Rotorbinella scarsellai*. $\times 65$

La microfacies di fig. 1 e gli individui delle figg. 2-8 provengono dalla sezione stratigrafica di Monte Feuci – Crisano, Monti Aurunci orientali (Lazio meridionale).

Biozona a *Accordiella conica* e *Rotorbinella scarsellai*.

CONIACIANO – SANTONIANO

– The microfacies of fig. 1 and the specimens of figs. 2-8 from Feuci Mt. – Crisano stratigraphic section, Eastern Aurunci Mts. (Southern Lazio).

Accordiella conica and *Rotorbinella scarsellai* biozone.

CONIACIAN – SANTONIAN

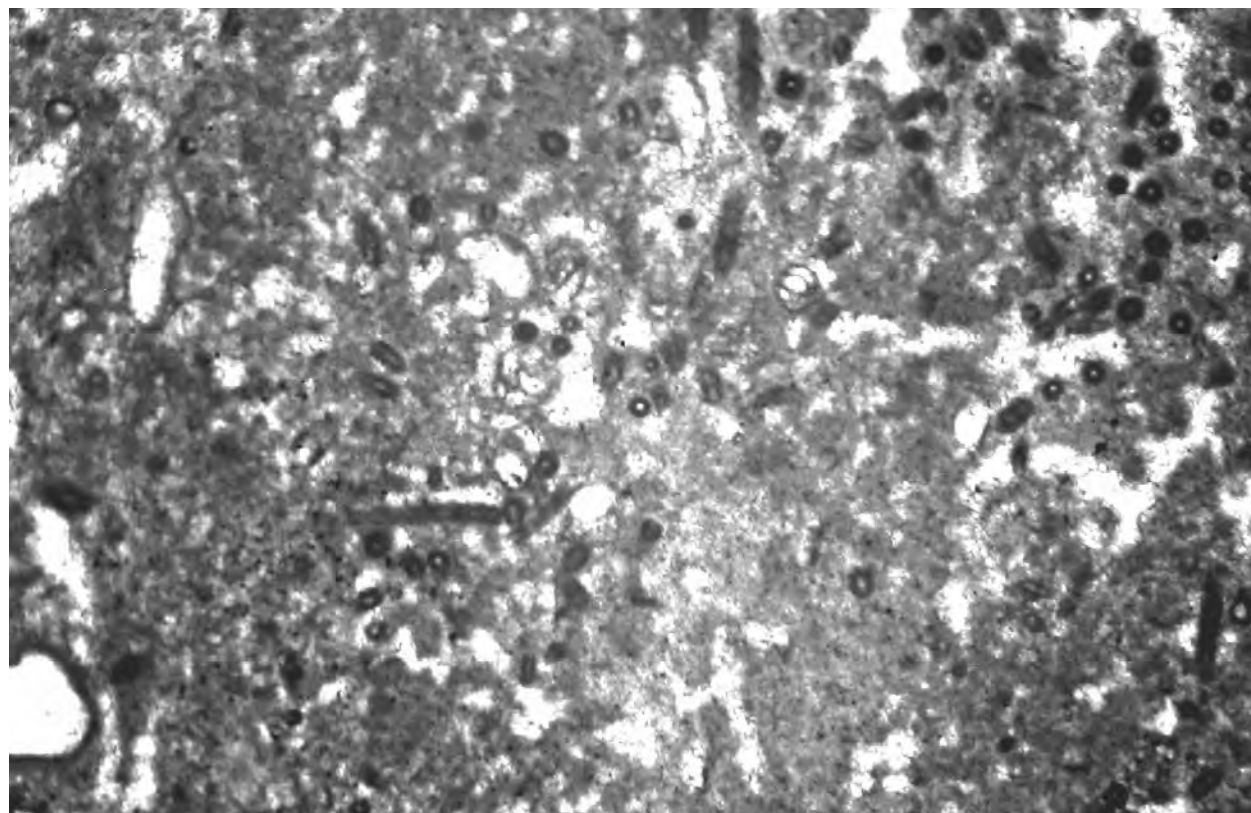
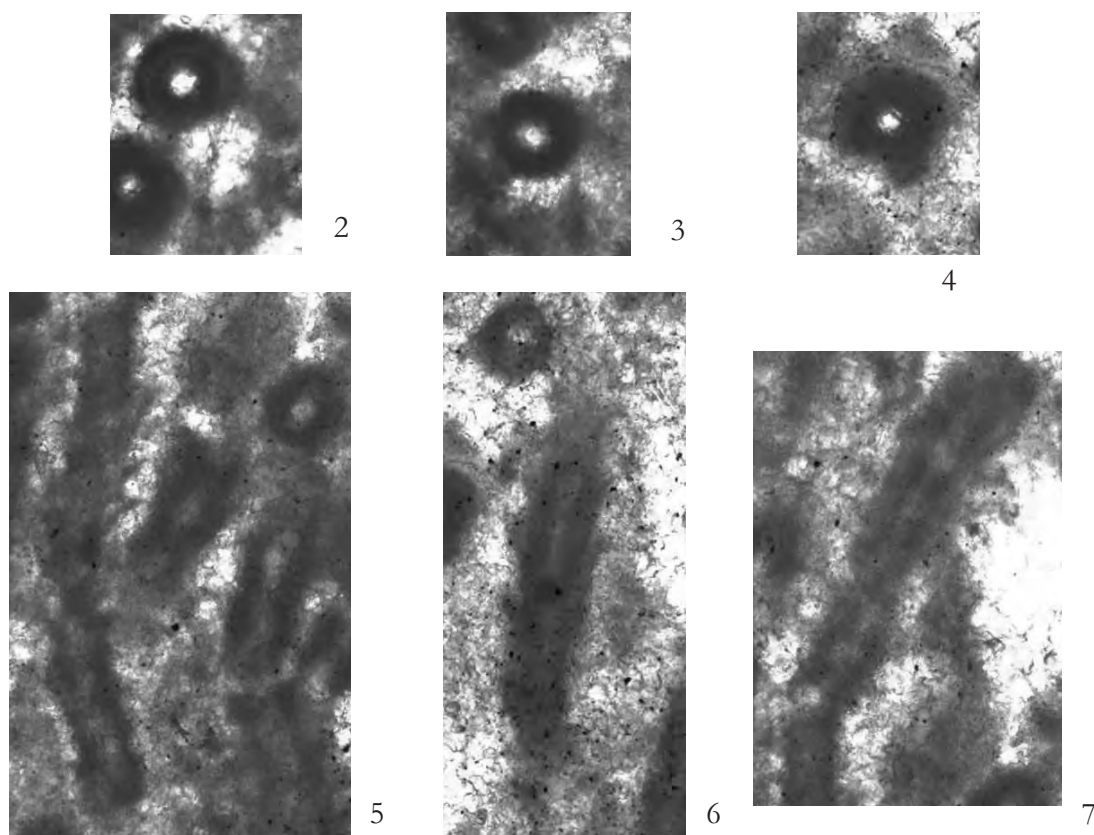


Fig. 1 – Packstone con *Decastronema kotori*, *Thaumatoporella parvovesiculifera* e Nubeculariidae. x 30
 – Packstone with *Decastronema kotori*, *Thaumatoporella parvovesiculifera* and *Nubeculariidae*. x 30



Figg. 2-7 – Sezioni variamente orientate di individui riferibili a *Decastronema kotori*. x 140
 – Variously oriented sections of specimens referred to *Decastronema kotori*. x 140

La microfacies di fig. 1 e gli individui delle figg. 2-7 provengono dalla sezione stratigrafica di Camerata Nuova, Monti Simbruini (Lazio).

Biozona a *Accordiella conica* e *Rotorbinella scarsellai*. SANTONIANO

– The microfacies of fig. 1 and the specimens of figs. 2-7 from Camerata Nuova stratigraphic section, Simbruini Mts. (Latium). *Accordiella conica* and *Rotorbinella scarsellai* biozone. SANTONIAN

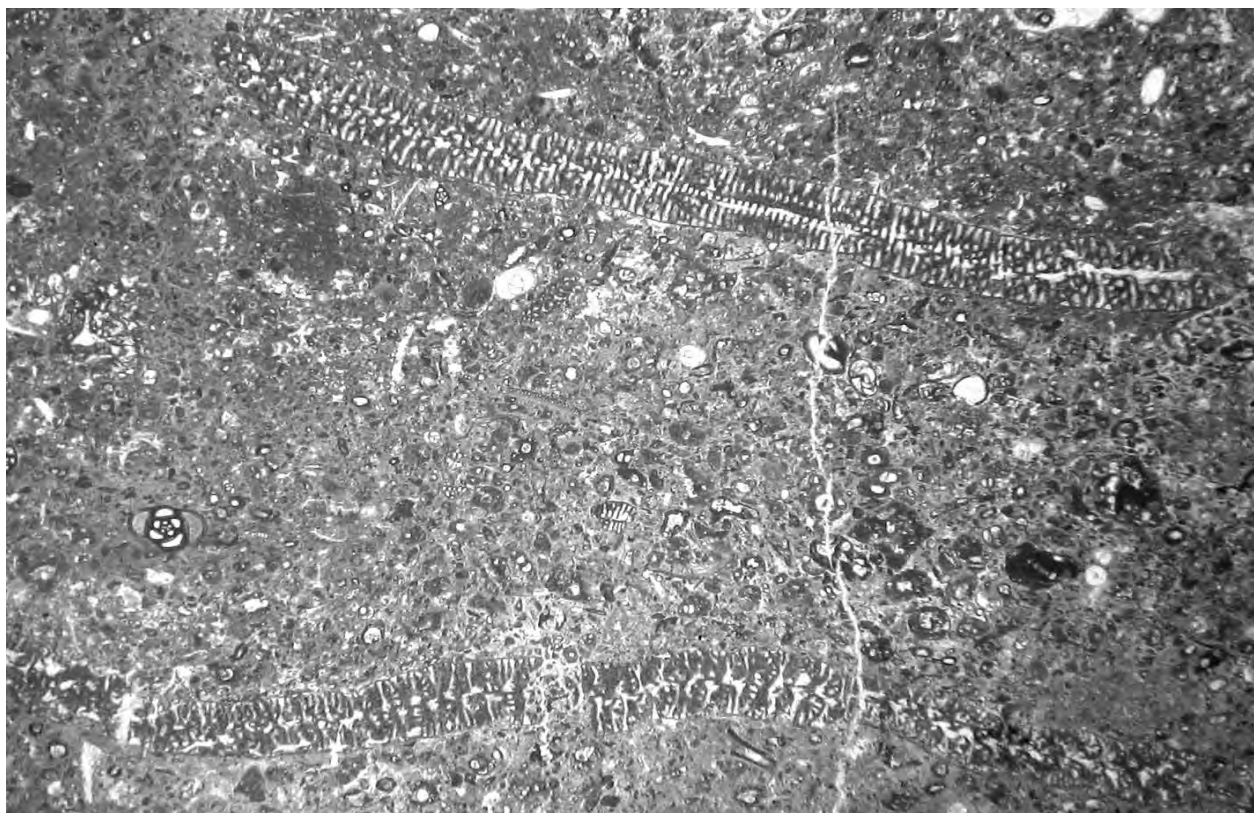
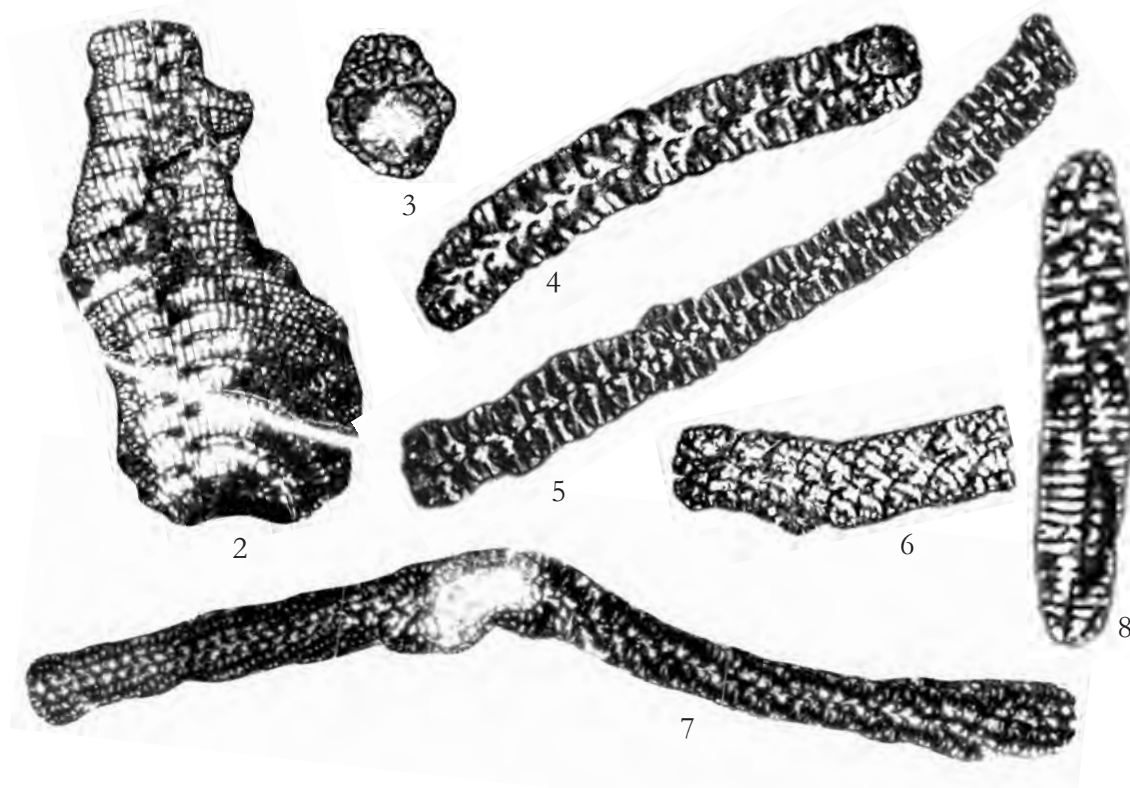


Fig. 1 – Floatstone mal classato con *Dicyclina schlumbergeri*, Miliolidae e altri Foraminiferi bentonici. $\times 10$
 – Poorly sorted floatstone con *Dicyclina schlumbergeri*, Miliolidae and other benthic Foraminifera. $\times 10$



Figg. 2-8 – Sezioni variamente orientate di individui riferibili a *Dicyclina schlumbergeri*. $\times 10$
 – Variously oriented sections of specimens referred to *Dicyclina schlumbergeri*. $\times 10$

La microfacies di fig. 1 e l'individuo di fig. 5 provengono dalla sezione stratigrafica di Prossedi, Monti Lepini; gli individui delle figg. 2-4, 6-8 provengono dalla sezione stratigrafica di Monte Feuci - Crisano, Monti Aurunci orientali (Lazio meridionale).

Biozona a *Accordiella conica* e *Rotorbinella scarsellai*.

SANTONIANO

– The microfacies of fig. 1 and the specimen of fig. 5 from Prossedi stratigraphic section, Lepini Mts.; the specimens of figs. 2-4, 6-8 from Feuci Mt. - Crisano stratigraphic section, Eastern Aurunci Mts. (Southern Latium).

Accordiella conica and *Rotorbinella scarsellai* biozone.

SANTONIAN

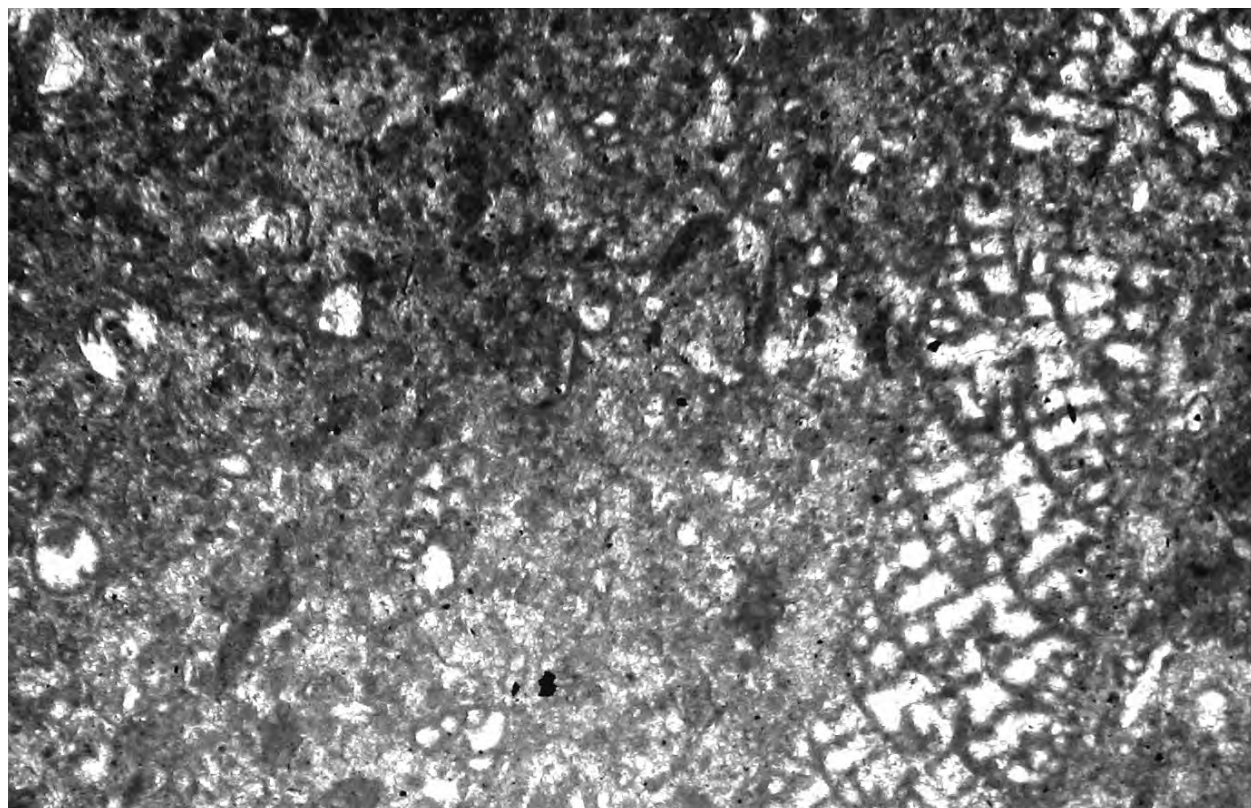
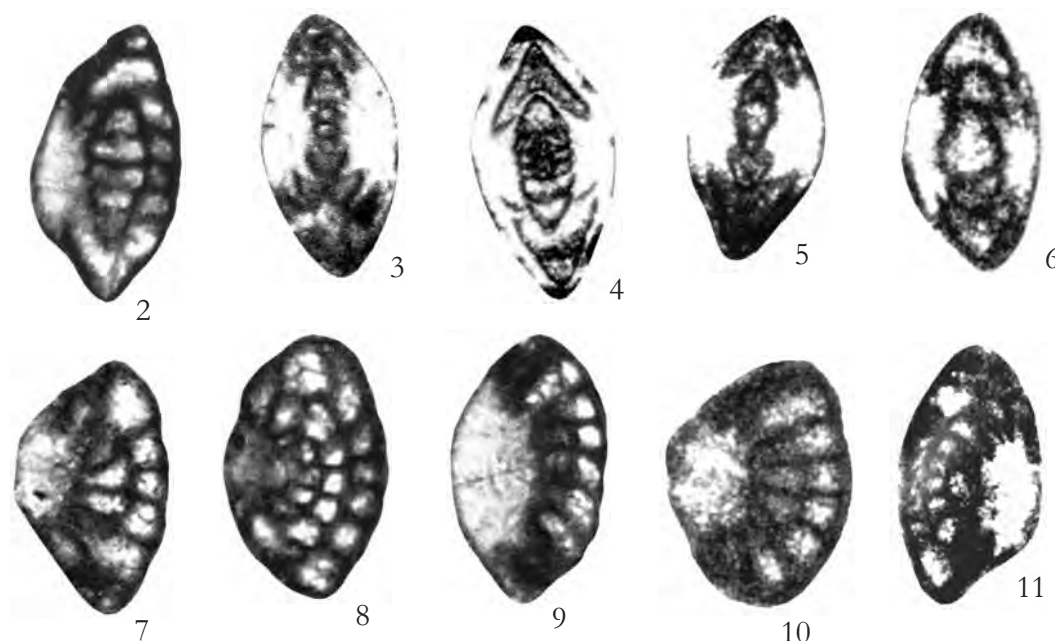


Fig. 1 – Packstone mal classato con *Murgeina apula*, *Dicyclina schlumbergeri*, Nubeculariidae, Miliolidae, altri Foraminiferi bentonici e *Thaumatoporella parvovesiculifera*. $\times 65$
 – Poorly sorted packstone with *Murgeina apula*, *Dicyclina schlumbergeri*, Nubeculariidae, Miliolidae, other benthic Foraminifera and *Thaumatoporella parvovesiculifera*. $\times 65$



Figg. 2-11 – Sezioni variamente orientate di individui riferibili a *Murgeina apula*. $\times 130$
 – Variously oriented sections of specimens referred to *Murgeina apula*. $\times 130$

La microfacies di fig. 1 e gli individui delle figg. 2, 3 provengono dalla località Casali Poscente presso Antrodoco (Lazio); gli individui delle figg. 4-11 provengono dalla sezione stratigrafica di Monte Pizzuto, Monti Ausoni (Lazio meridionale).

Parte superiore della biozona a *Accordiella conica* e *Rotorbinella scarsellai*.

SANTONIANO

– The microfacies of fig. 1 and the specimens of figs. 2, 3 from Casali Poscente near Antrodoco (Latium); the specimens 4-11 from Mt. Pizzuto stratigraphic section, Ausoni Mts. (Southern Latium).

Upper part of the *Accordiella conica* and *Rotorbinella scarsellai* biozone.

SANTONIAN

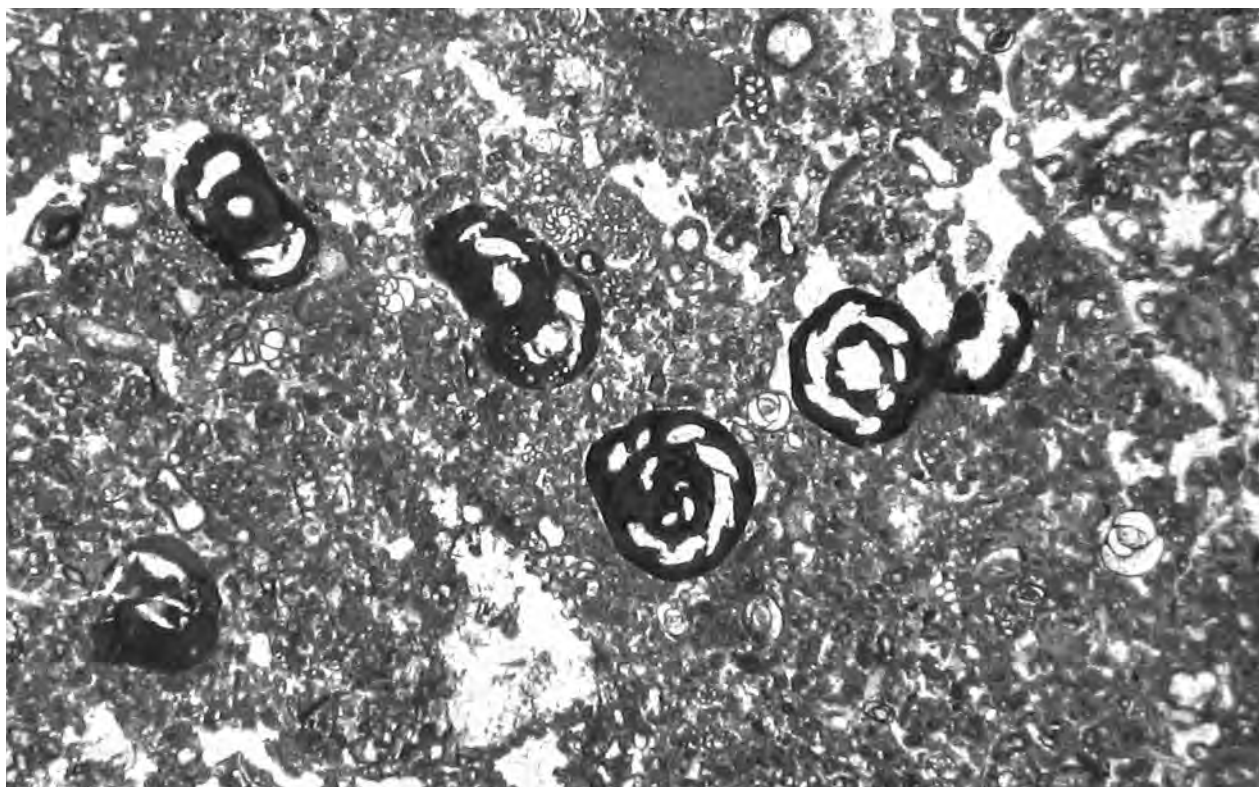


Fig. 1 – Packstone mal classato con *Scandonea samnitica*, Miliolidae e altri Foraminiferi bentonici. $\times 30$
 – Poorly sorted packstone with *Scandonea samnitica*, *Miliolidae* and other benthic Foraminifera. $\times 30$



Figg. 2-6 – Sezioni variamente orientate di individui riferibili a *Scandonea samnitica*. $\times 65$
 – Variously oriented sections of specimens referred to *Scandonea samnitica*. $\times 65$

La microfacies di fig. 1 e gli individui delle figg. 3-6 provengono rispettivamente dalle sezioni stratigrafiche di Monte Feuci – Crisano e di Monte Rotondo, Monti Aurunci; l'individuo di fig. 2 proviene dalla sezione stratigrafica di San Perna, Monte Cairo (Lazio meridionale).

Parte superiore della biozona a *Accordiella conica* e *Rotorbinella scarsellai*.

SANTONIANO

– The microfacies of fig. 1 and the specimens of figs. 3-6 from Feuci Mt. – Crisano and Rotondo Mt. stratigraphic sections respectively, Eastern Aurunci Mts.; the specimen of fig. 2 from San Perna stratigraphic section, Cairo Mt. (Southern Lazio).

Upper part of the *Accordiella conica* and *Rotorbinella scarsellai* biozone.

SANTONIAN

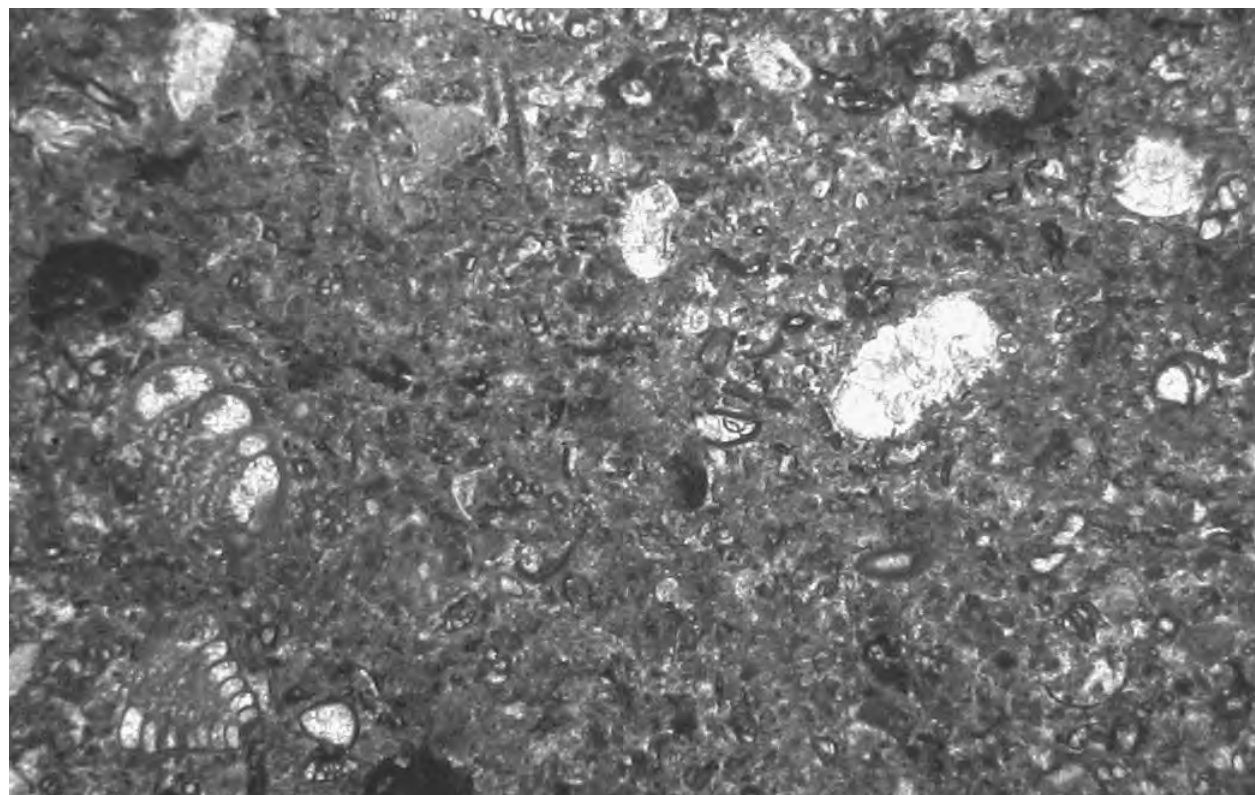
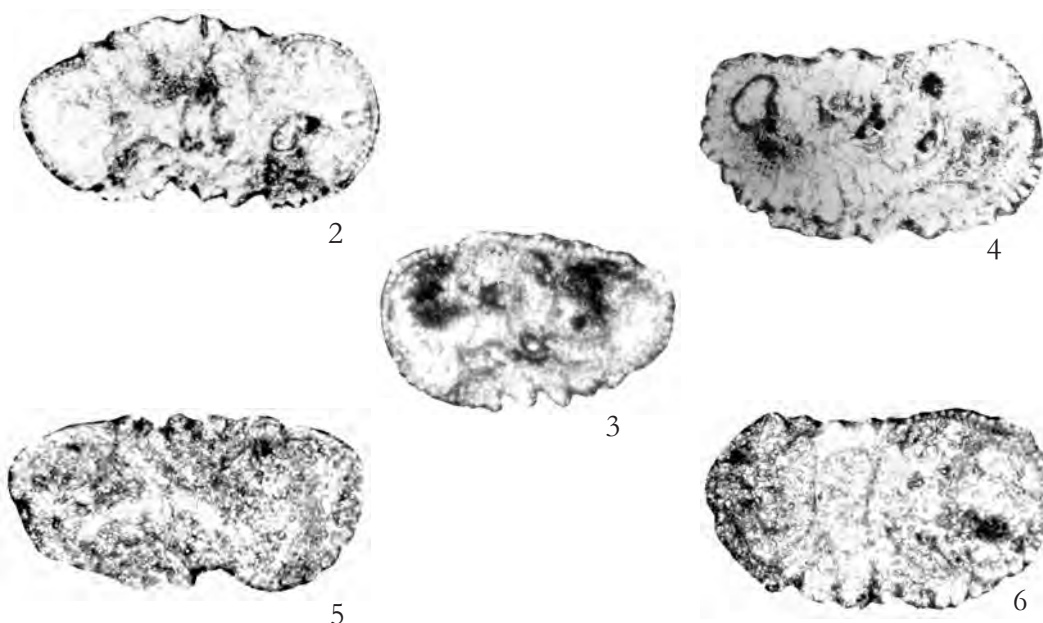


Fig. 1 – Packstone con *Stensioeina surrentina*, *Accordiella conica*, *Rotorbinella scarsellai*, Nubeculariidae, altri Foraminiferi bentonici e *Thaumatoporella parvovesiculifera*. $\times 25$

– Packstone with *Stensioeina surrentina*, *Accordiella conica*, *Rotorbinella scarsellai*, *Nubeculariidae*, other benthic Foraminifera and *Thaumatoporella parvovesiculifera*. $\times 25$



Figg. 2-6 – Sezioni variamente orientate di individui riferibili a *Stensioeina surrentina*. $\times 60$
– Variously oriented sections of specimens referred to *Stensioeina surrentina*. $\times 60$

La microfacies di fig. 1 e gli individui delle figg. 2-6 provengono dalla sezione stratigrafica di Monte Rotondo, Monti Aurunci orientali (Lazio meridionale).

Parte superiore della biozona a *Accordiella conica* e *Rotorbinella scarsellai*.

SANTONIANO

– The microfacies of fig. 1 and the specimens of figs. 2-6 from Rotondo Mt. stratigraphic section, Eastern Aurunci Mts. (Southern Lazio).

Upper part of the *Accordiella conica* and *Rotorbinella scarsellai* biozone.

SANTONIAN

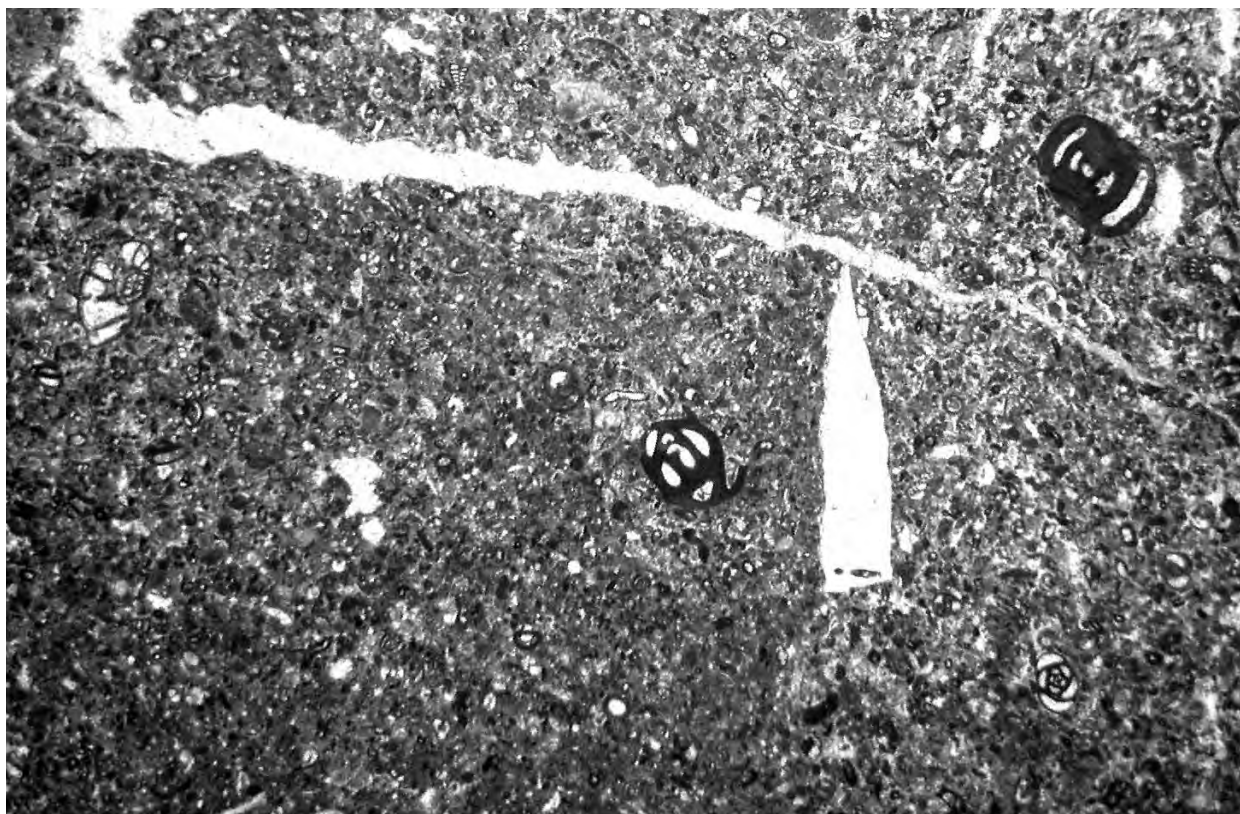
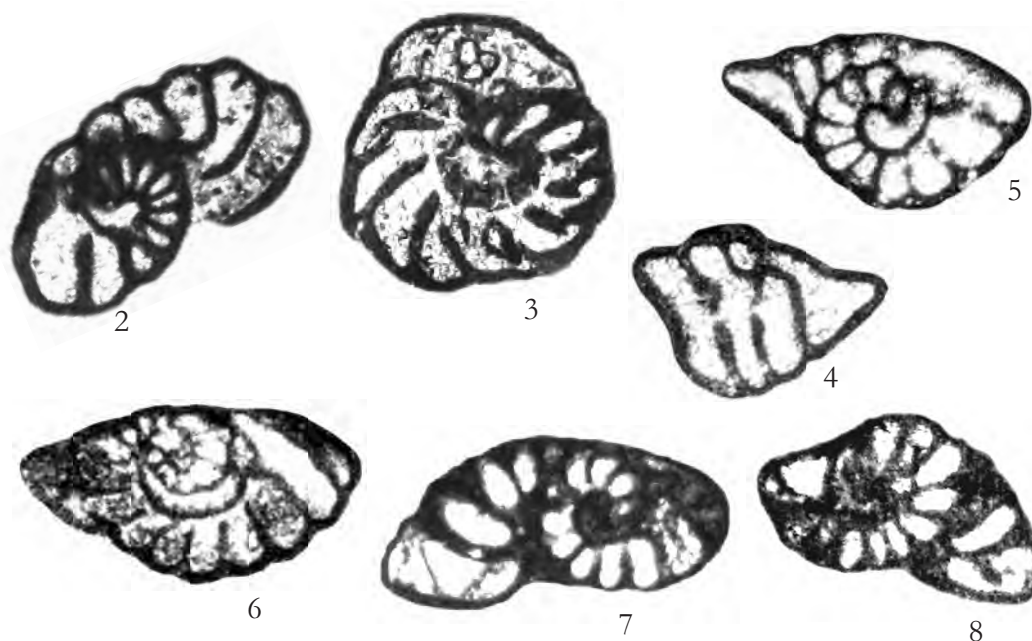


Fig. 1 – Packstone mal classato con *Nezzazatinella picardi*, *Nummoloculina robusta*, Miliolidae e altri Foraminiferi bentonici. $\times 25$

– Poorly sorted packstone with *Nezzazatinella picardi*, *Nummoloculina robusta*, *Miliolidae* and other benthic Foraminifera. $\times 25$



Figg. 2-8 – Sezioni variamente orientate di individui riferibili a *Nezzazatinella picardi*. $\times 60$
– Variously oriented sections of specimens referred to *Nezzazatinella picardi*. $\times 60$

La microfacies di fig. 1 e gli individui delle figg. 2-6, 8 provengono dalla sezione stratigrafica di Monte Rotondo, Monti Aurunci orientali (Lazio meridionale); l'individuo di fig. 7 proviene dalla sezione stratigrafica di Camerata Vecchia, Monti Simbruini (Lazio).

Parte superiore della biozona a *Accordiella conica* e *Rotorbinella scarsellai*.

SANTONIANO

– The microfacies of fig. 1 and the specimens of figs. 2-6, 8 from Rotondo Mt. stratigraphic section, Eastern Aurunci Mts. (Southern Lazio); the specimen of fig. 7 from Camerata Vecchia stratigraphic section, Simbruini Mts. (Lazio).

Upper part of the *Accordiella conica* and *Rotorbinella scarsellai* biozone.

SANTONIAN

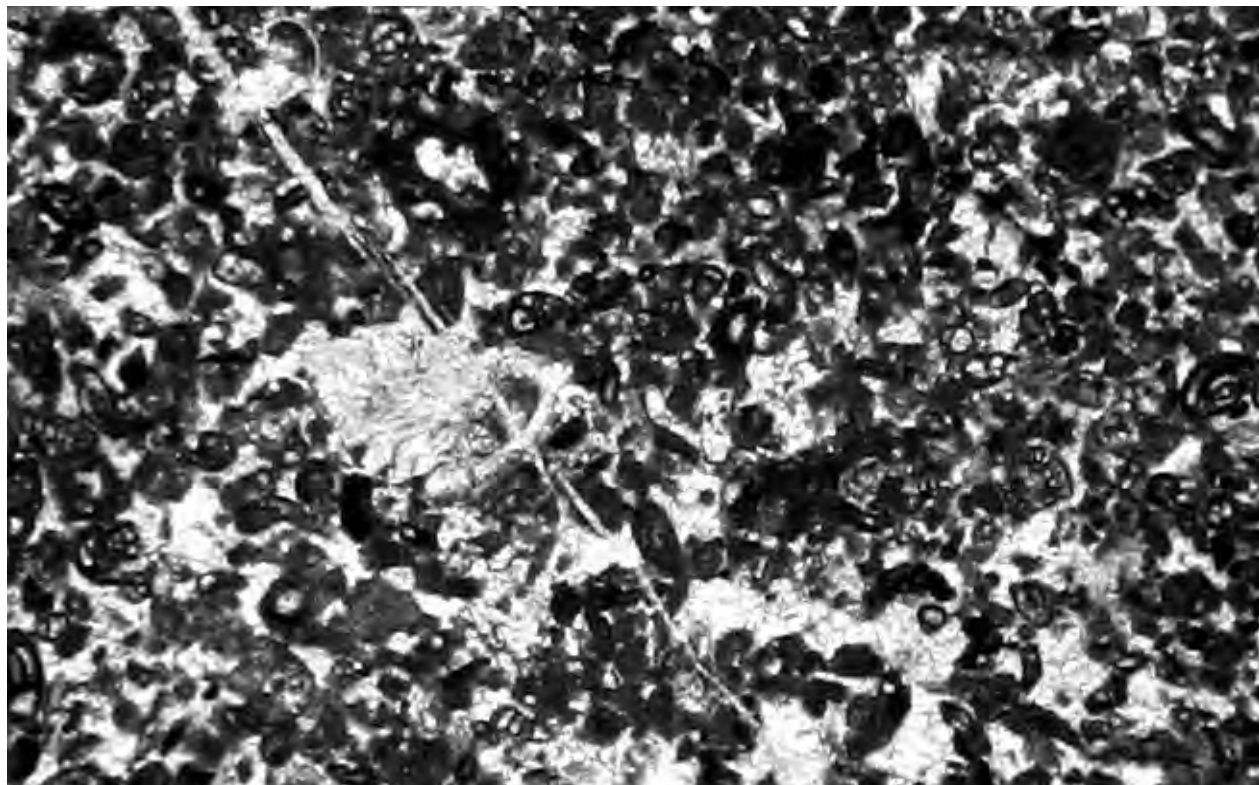
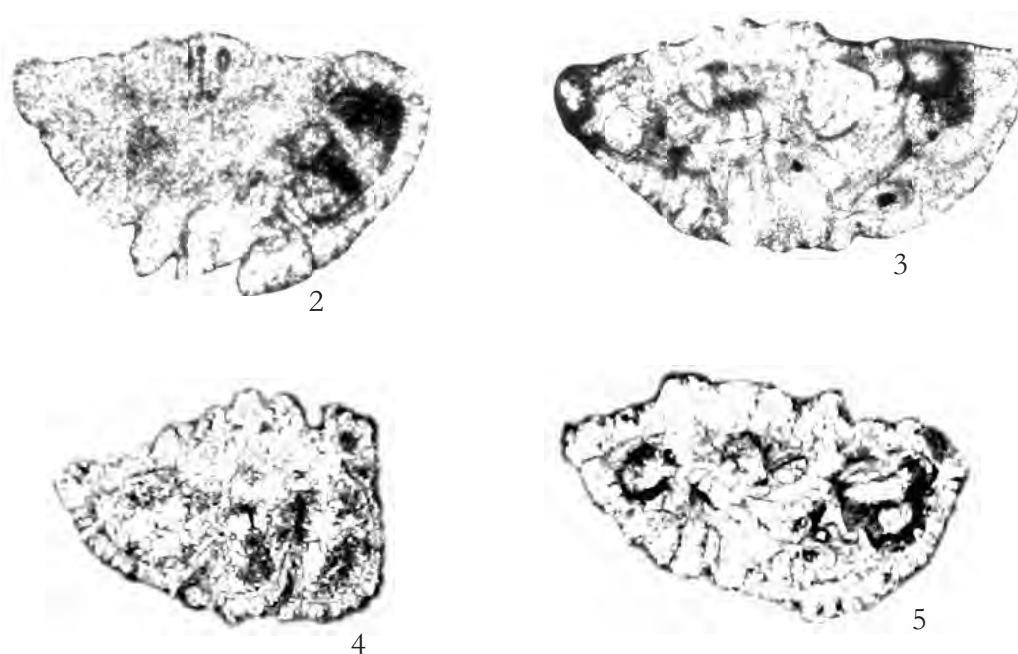


Fig. 1 – Packstone mal classato con *Calcarinella schaubi*, *Decastronema kotori*, *Reticulinella fleuryi*, Miliolidae e altri Foraminiferi bentonici. $\times 45$
 – Poorly sorted packstone with *Calcarinella schaubi*, *Decastronema kotori*, *Reticulinella fleuryi*, *Miliolidae* and other benthic Foraminifera. $\times 45$



Figg. 2-5 – Sezioni variamente orientate di individui riferibili a *Calcarinella schaubi*. $\times 70$
 – Variously oriented sections of specimens referred to *Calcarinella schaubi*. $\times 70$

La microfacies di fig. 1 e gli individui delle figg. 2-5 provengono dalla sezione stratigrafica di Monte Feuci – Crisano, Monti Aurunci orientali (Lazio meridionale).

Parte superiore della biozona a *Accordiella conica* e *Rotorbinella scarsellai*. SANTONIANO SUPERIORE
 – The microfacies of fig. 1 and the specimens of figs. 2-5 from Feuci Mt. – Crisano stratigraphic section, Eastern Aurunci Mts. (Southern Latum).

Upper part of the *Accordiella conica* and *Rotorbinella scarsellai* biozone.

UPPER SANTONIAN

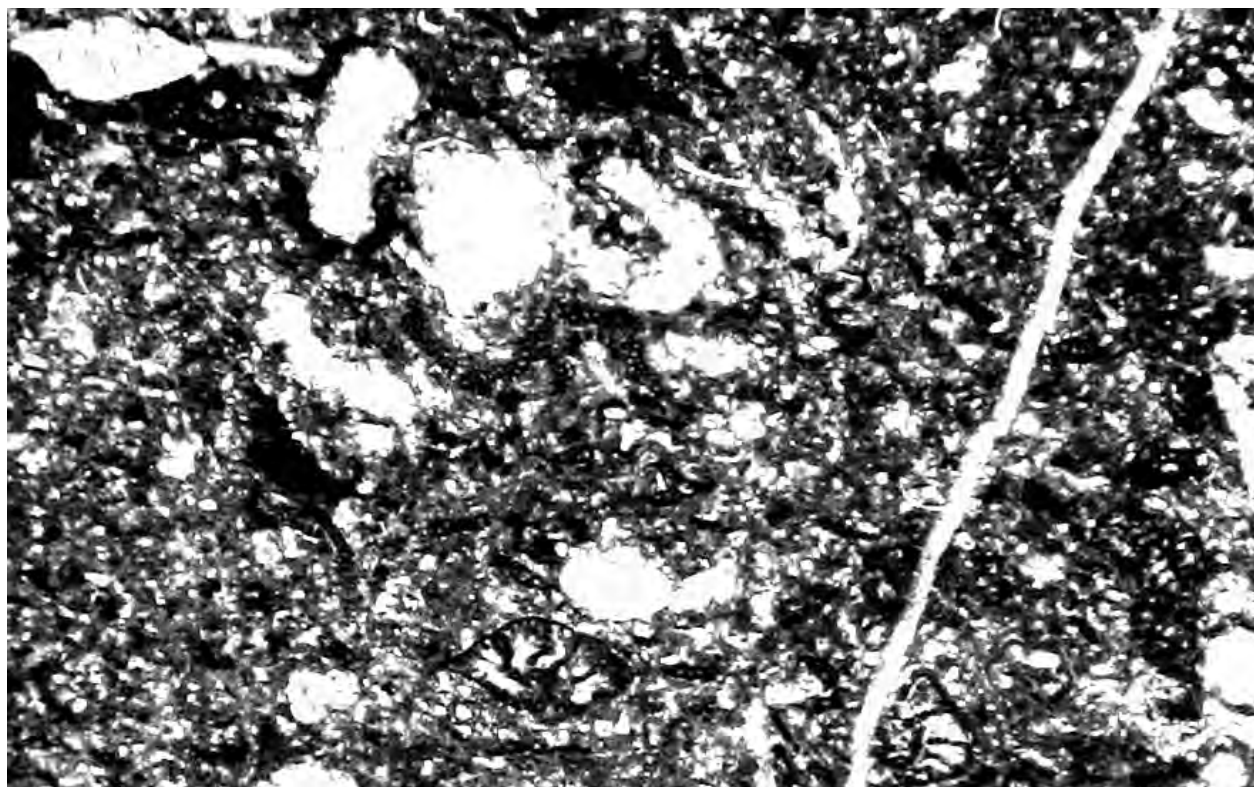
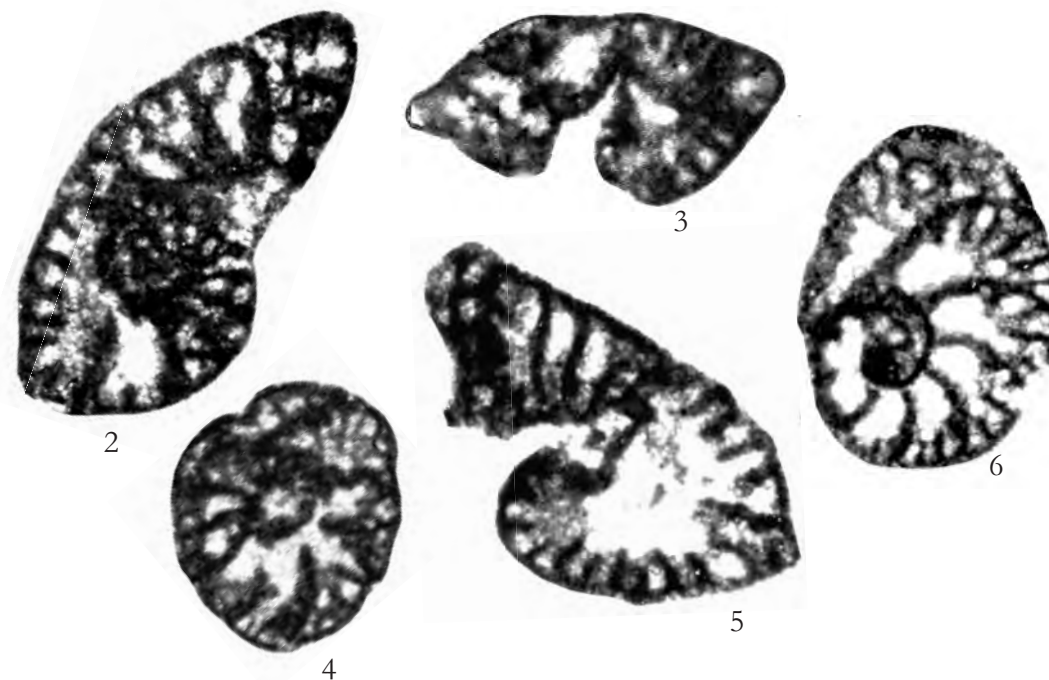


Fig. 1 – Packstone mal classato con *Antalyna korayi*, Rotaliidae e altri Foraminiferi bentonici. x 30
 – Poorly sorted packstone with *Antalyna korayi*, Rotaliidae and other benthic Foraminifera. x 30



Figg. 2-6 – Sezioni variamente orientate di individui riferibili a *Antalyna korayi*. x 80
 – Variously oriented sections of specimens referred to *Antalyna korayi*. x 80

La microfacies di fig. 1 e gli individui delle figg. 3, 4 provengono rispettivamente dalle sezioni stratigrafiche di Cima Farabotte e Serrone Est, Monte Scalambra, Monti Ernici (Lazio); gli individui delle figg. 2, 5, 6 provengono dalla sezione stratigrafica di Monte Feuci – Crisano, Monti Aurunci orientali (Lazio meridionale).

Parte superiore della biozona a *Accordiella conica* e *Rotorbinella scarsellai*. SANTONIANO SUPERIORE
 – The microfacies of fig. 1 and the specimens of figs. 3, 4 from Cima Farabotte and Serrone Est stratigraphic sections respectively, Scalambra Mt., Ernici Mts. (Latium); the specimens of figs. 2, 5, 6 from Feuci Mt. – Crisano stratigraphic section, Eastern Aurunci Mts. (Southern Latium).

Upper part of the *Accordiella conica* and *Rotorbinella scarsellai* biozone.

UPPER SANTONIAN

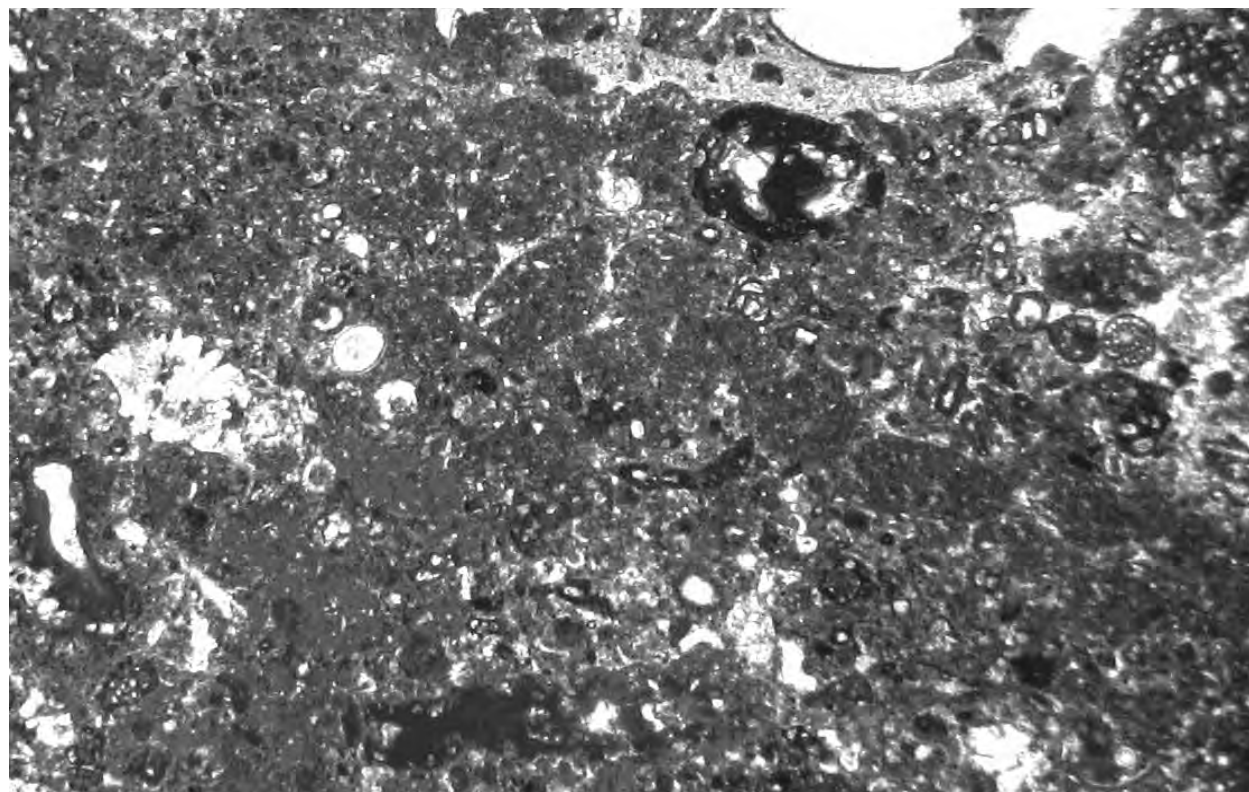
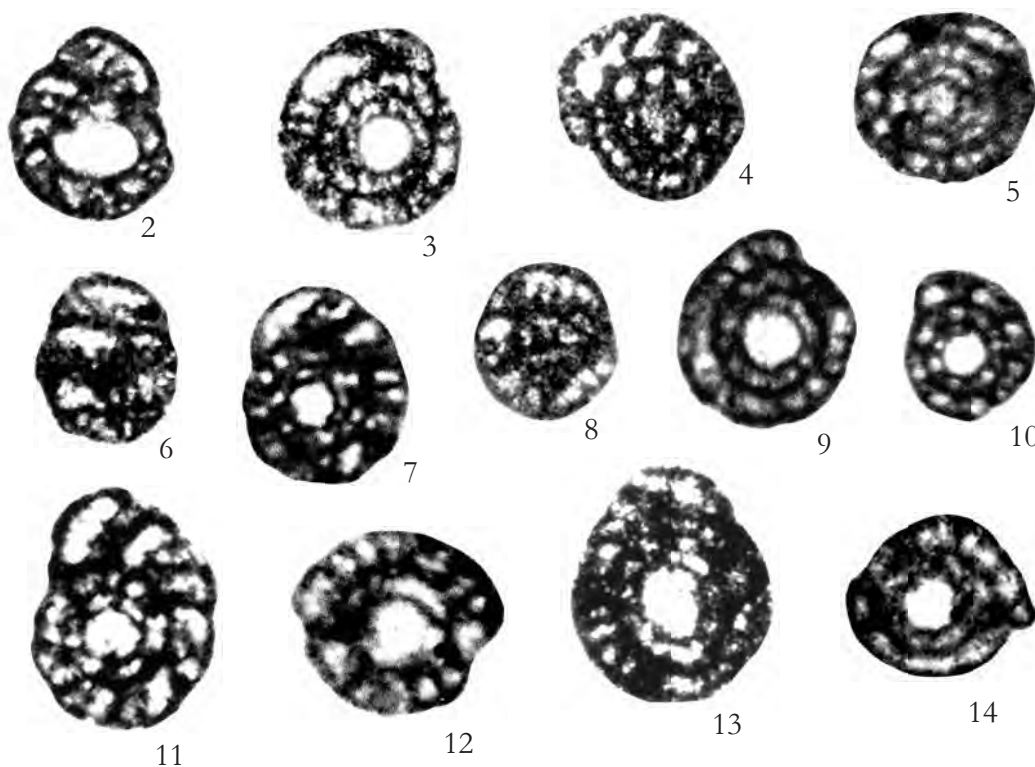


Fig. 1 – Packstone con *Reticulinella fleuryi*, *Calcarinella schaubi*, Nubeculariidae, altri Foraminiferi bentonici e *Thaumatoporella parvovesiculifera*. $\times 60$
 – Packstone with *Reticulinella fleuryi*, *Calcarinella schaubi*, Nubeculariidae, other benthic Foraminifera and *Thaumatoporella parvovesiculifera*. $\times 60$



Figg. 2-14 – Sezioni variamente orientate di individui riferibili a *Reticulinella fleuryi*. $\times 170$
 – Variously oriented sections of specimens referred to *Reticulinella fleuryi*. $\times 170$

La microfacies di fig. 1 e gli individui delle figg. 2-14 provengono dalla sezione stratigrafica di Monte Feuci – Crisano, Monti Aurunci orientali (Lazio meridionale).

Parte superiore della biozona a *Accordiella conica* e *Rotorbinella scarsellai*. SANTONIANO SUPERIORE
 – The microfacies of fig. 1 and the specimens of figs. 2-14 from Feuci Mt. – Crisano stratigraphic section, Eastern Aurunci Mts. (Southern Latium).

Upper part of the *Accordiella conica* and *Rotorbinella scarsellai* biozone.

UPPER SANTONIAN

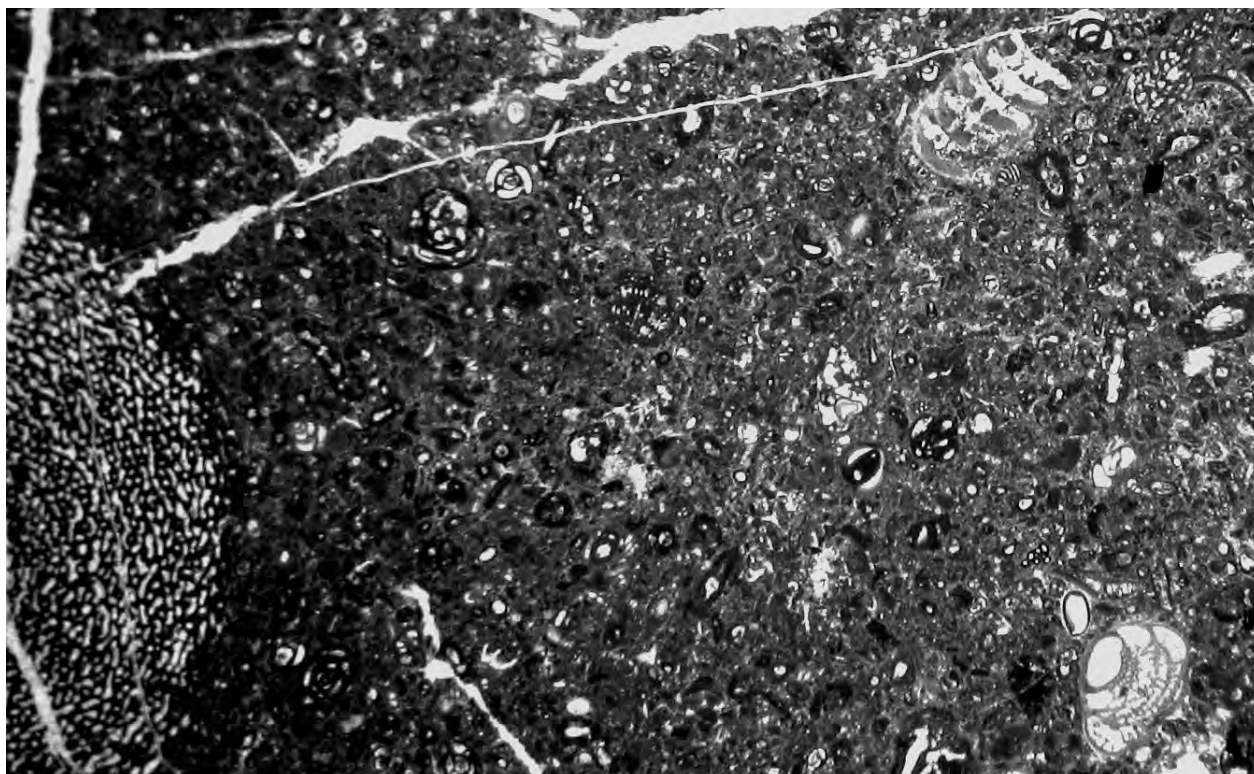
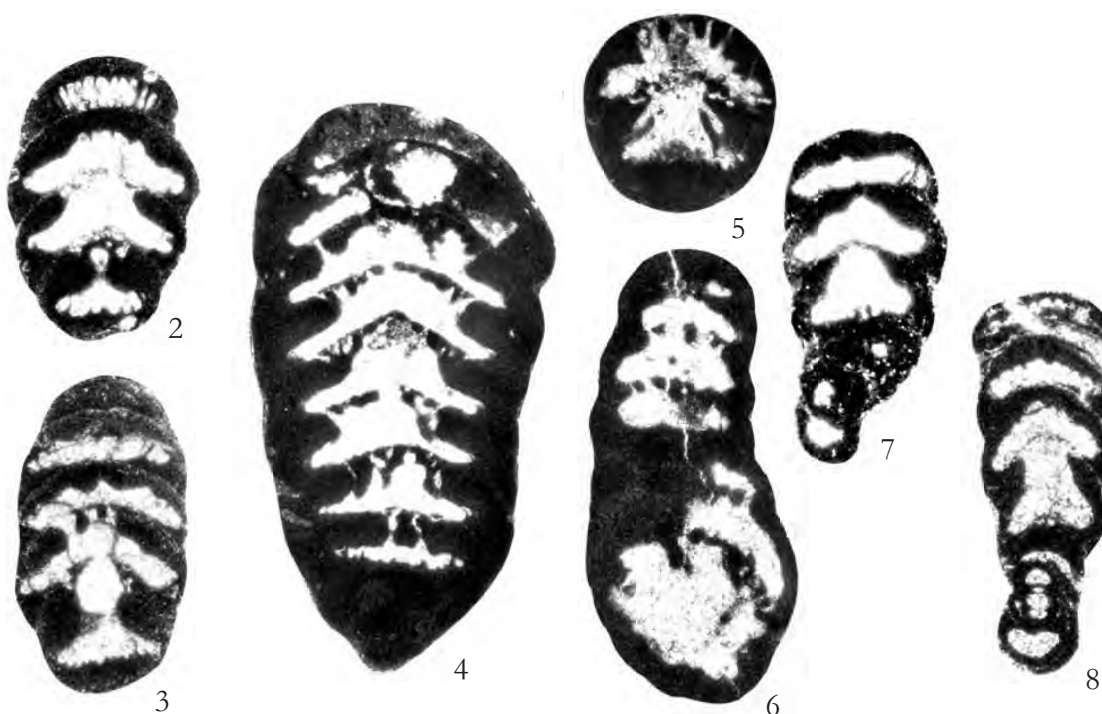


Fig. 1 – Wackestone mal classato con *Pseudorhapydionina mediterranea*, *Accodiella conica*, *Keramosphaerina tergestina*, Miliolidae, altri Foraminiferi bentonici e *Thaumatoporella parvovesiculifera*. x 22
 – Poorly sorted wackestone with *Pseudorhapydionina mediterranea*, *Accodiella conica*, *Keramosphaerina tergestina*, Miliolidae, other benthic Foraminifera and *Thaumatoporella parvovesiculifera*. x 22



Figg. 2-8 – Sezioni variamente orientate di individui riferibili a *Pseudorhapydionina mediterranea*. x 40
 – Variously oriented sections of specimens referred to *Pseudorhapydionina mediterranea*. x 40

La microfacies di fig. 1 e gli individui delle figg. 2-4, 7, 8 provengono dalla sezione stratigrafica di Monte Feuci – Crisano, Monti Aurunci orientali; gli individui delle figg. 5, 6 provengono dalla sezione stratigrafica di Prossedi, Monti Lepini (Lazio meridionale).

Parte superiore della biozona ad *Accodiella conica* e *Rotorbinella scarsellai*. SANTONIANO SUPERIORE
 – The microfacies of fig. 1 and the specimens of figs. 2-4, 7, 8 from Feuci Mt. – Crisano stratigraphic section, Eastern Aurunci Mts.; the specimens of figs. 5, 6 from Prossedi stratigraphic section, Lepini Mts. (Southern Latium).

Upper part of the *Accodiella conica* and *Rotorbinella scarsellai* biozone. UPPER SANTONIAN

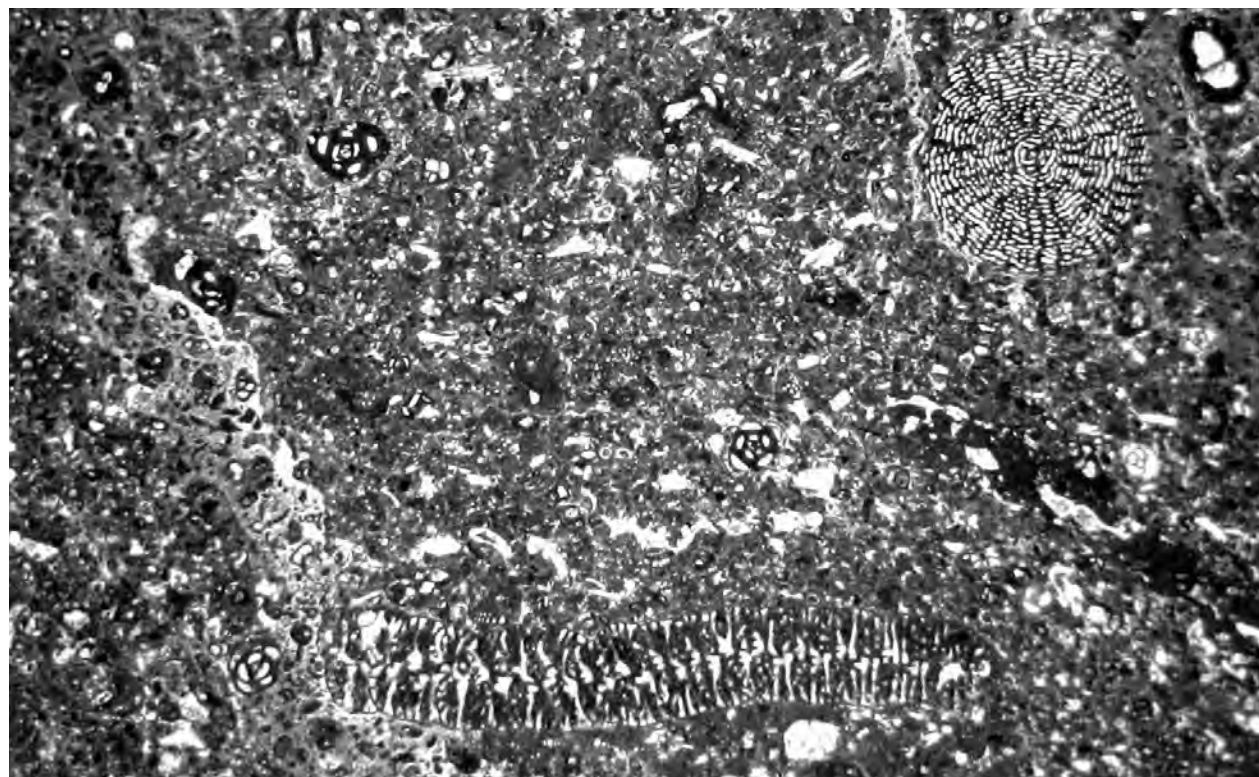
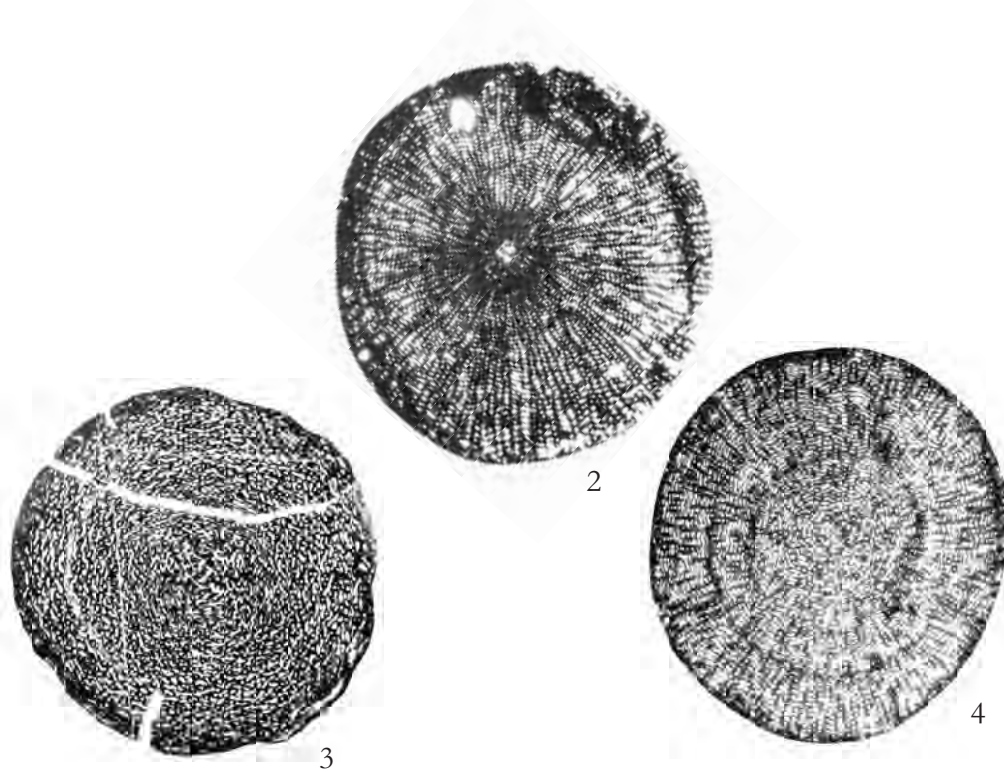


Fig. 1 – Packstone mal classato con *Keramosphaerina tergestina*, *Dicyclina schlumbergeri* e Miliolidae. x 12
 – Poorly sorted packstone with *Keramosphaerina tergestina*, *Dicyclina schlumbergeri* and Miliolidae. x 12



Figg. 2-4 – Sezioni variamente orientate di individui riferibili a *Keramosphaerina tergestina*. x 6
 – Variously oriented sections of specimens referred to *Keramosphaerina tergestina*. x 6

La microfacies di fig. 1 proviene dalla sezione stratigrafica di Monte Feuci – Crisano, Monti Aurunci orientali; gli individui delle figg. 2 e 3-4 provengono rispettivamente dalle sezioni stratigrafiche di Monte Filaro e Prossedi, Monti Lepini (Lazio meridionale).

Parte superiore della biozona a *Accordiella conica* e *Rotorbinella scarsellai*. SANTONIANO SUPERIORE
 – The microfacies of fig. 1 from Feuci Mt. – Crisano stratigraphic section, Eastern Aurunci Mts.; the specimens of figs. 2 and 3-4 from Filaro Mt. and Prossedi stratigraphic sections, Lepini Mts. (Southern Latium).
 Upper part of the *Accordiella conica* and *Rotorbinella scarsellai* biozone.

UPPER SANTONIAN

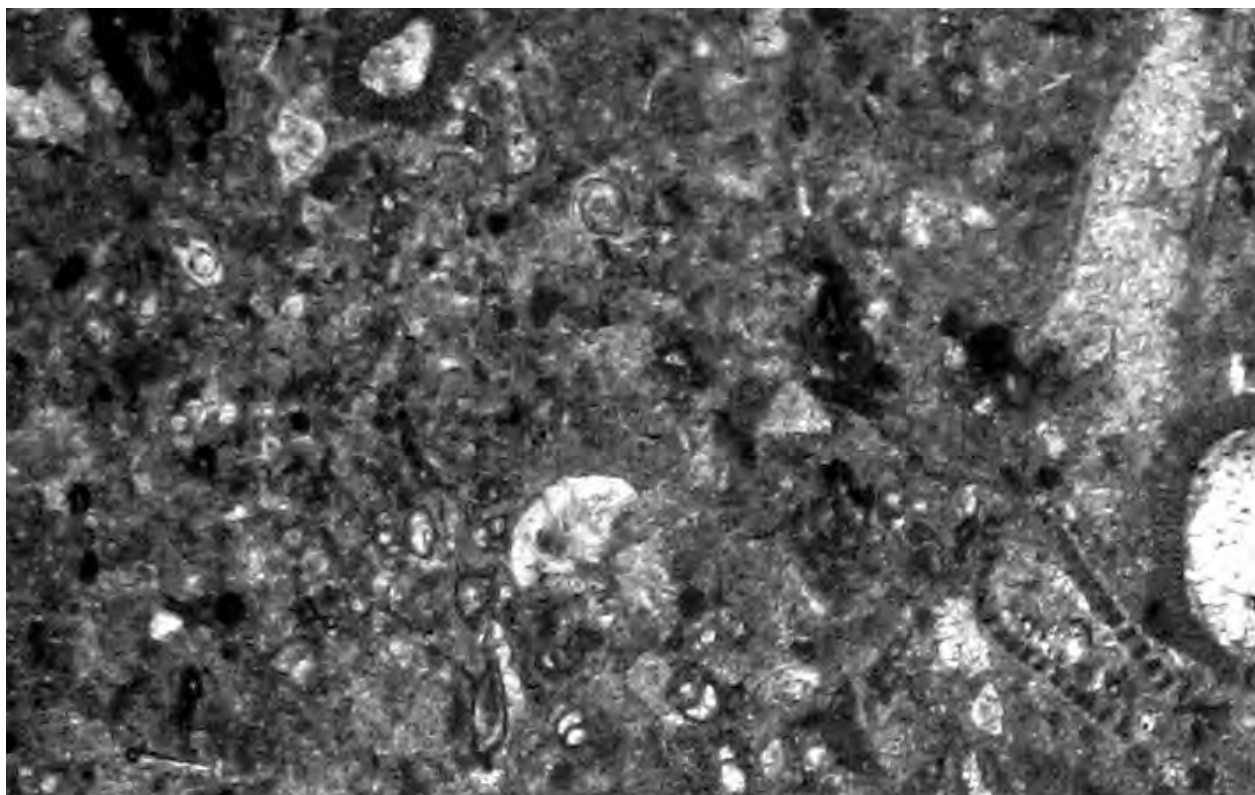
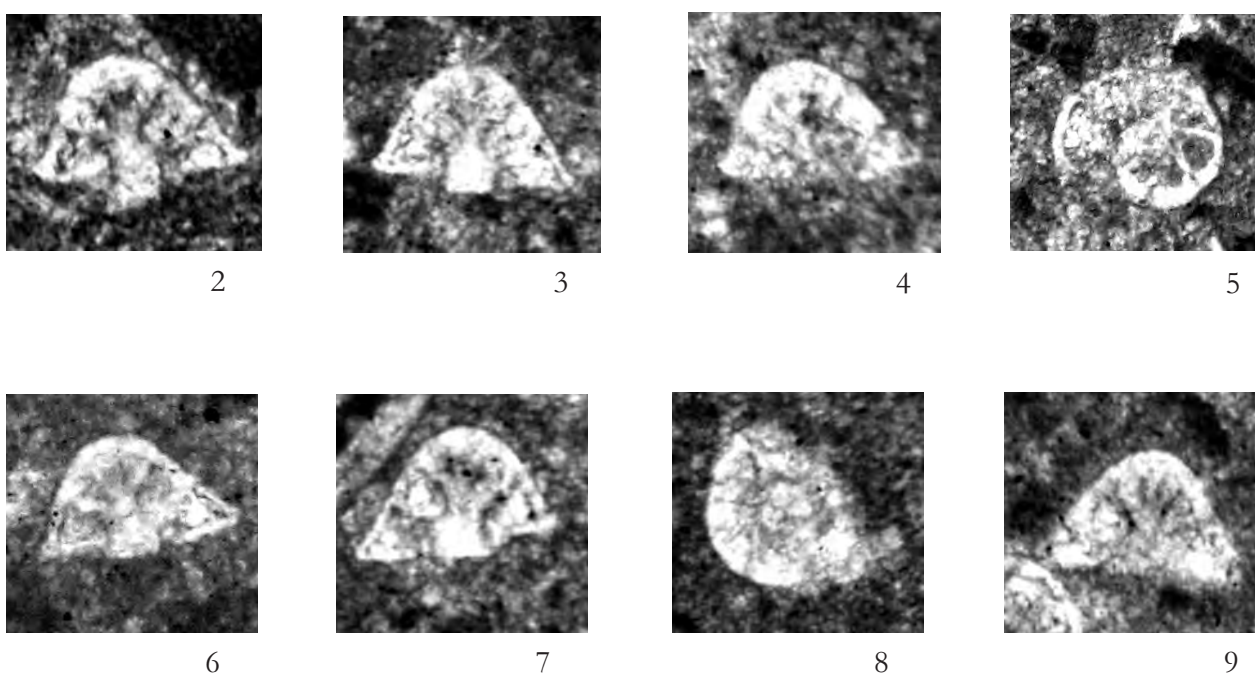


Fig. 1 – Wackestone con *Eponides hemisphaericus*, *Rotorbinella scarsellai*, Miliolidae, altri Foraminiferi bentonici e *Thaumatoporella parvovesiculifera*. $\times 35$
 – Wackestone with *Eponides hemisphaericus*, *Rotorbinella scarsellai*, *Miliolidae*, other benthic Foraminifera and *Thaumatoporella parvovesiculifera*. $\times 35$



Figg. 2-9 – Sezioni variamente orientate di individui riferibili a *Eponides hemisphaericus*. $\times 100$
 – Variously oriented sections of specimens referred to *Eponides hemisphaericus*. $\times 100$

La microfacies di fig. 1 e gli individui delle figg. 2-9 provengono dalla sezione stratigrafica di Monte Feuci – Crisano, Monti Aurunci orientali (Lazio meridionale).

Parte sommitale della biozona a *Accordiella conica* e *Rotorbinella scarsellai*.

SANTONIANO SUPERIORE – CAMPANIANO INFERIORE

– The microfacies of fig. 1 and the specimens of figs. 2-9 from Feuci Mt. - Crisano stratigraphic section, Eastern Aurunci Mts. (Southern Latium).

Uppermost part of the *Accordiella conica* and *Rotorbinella scarsellai* biozone.

UPPER SANTONIAN – LOWER CAMPANIAN

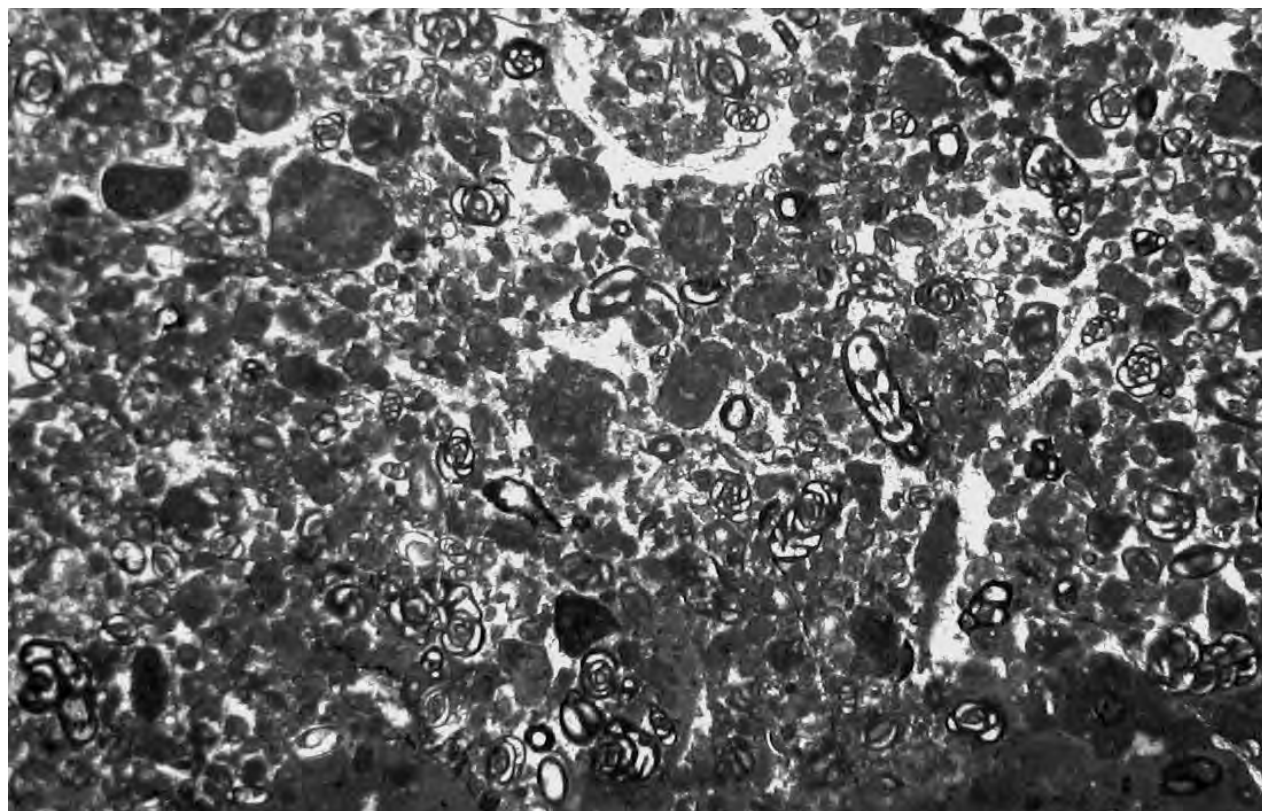
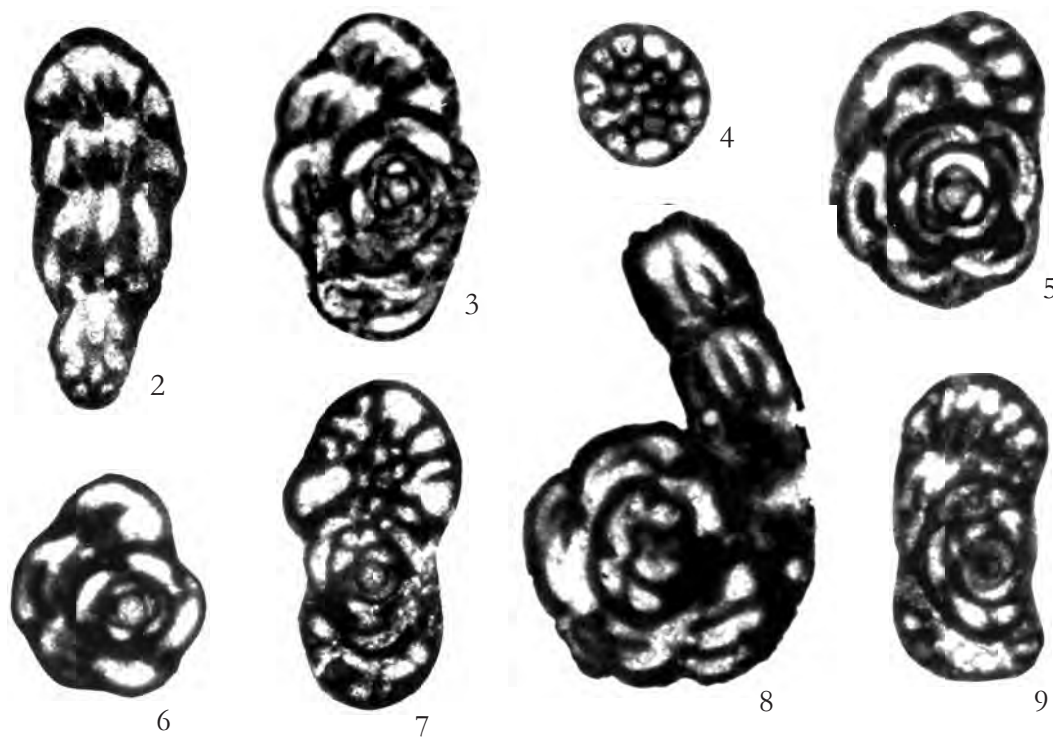


Fig. 1 – Packstone con *Raadshoovenia salentina*, Miliolidae, Nubeculariidae e altri Foraminiferi bentonici. $\times 30$
 – Packstone with *Raadshoovenia salentina*, *Miliolidae*, *Nubeculariidae* and other benthic Foraminifera. $\times 30$



Figg. 2-9 – Sezioni variamente orientate di individui riferibili a *Raadshoovenia salentina*. $\times 75$
 – Variously oriented sections of specimens referred to *Raadshoovenia salentina*. $\times 75$

La microfacies di fig. 1 e gli individui delle figg. 2, 5, 6, 9 provengono dalla località Fosso del Rivo Grande, Monti Aurunci; gli individui delle figure 3, 4, 7, 8 provengono dalla sezione stratigrafica di Rava Santa Maria, Monti Lepini (Lazio meridionale).

Biozona a Discorbidae e Ostracoda

CAMPANIANO INFERIORE

– The microfacies of fig. 1 and the specimens of figs. 2, 5, 6, 9 from Fosso del Rivo Grande locality, Aurunci Mts.; the specimens of figs. 3, 4, 7, 8 from Rava Santa Maria stratigraphic section, Lepini Mts. (Lazio meridionale).
 Discorbidae and Ostracoda biozone.

LOWER CAMPANIAN

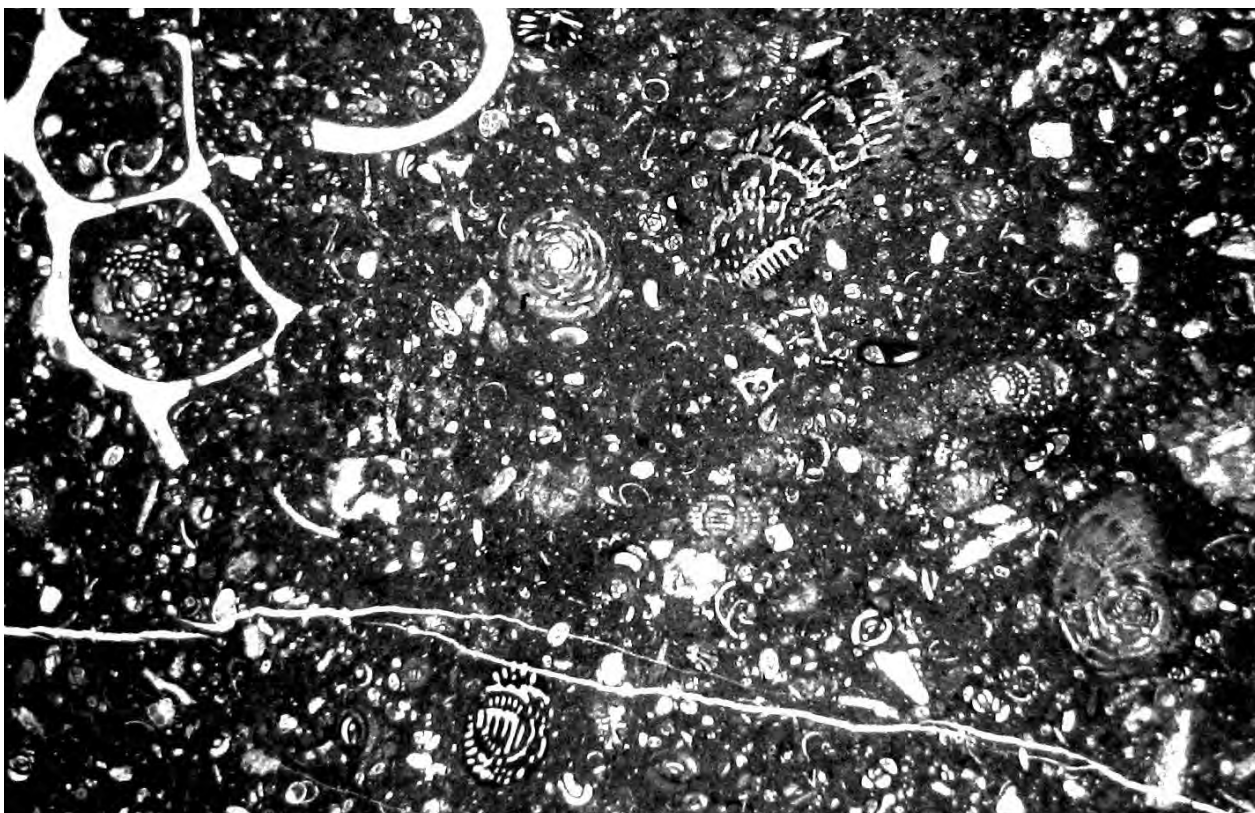
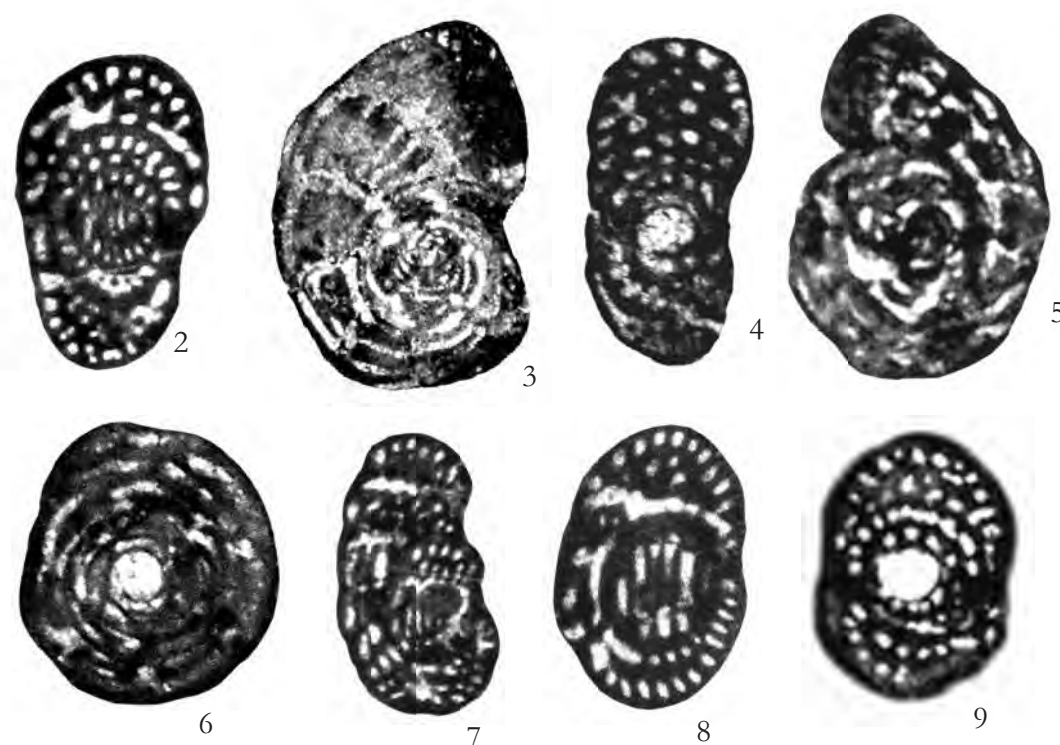


Fig. 1 – Wackestone mal classato con *Murciella cuvillieri*, Discorbidae sp. b., Miliolidae, altri Foraminiferi bentonici e resti di Mollusca. $\times 25$

– Poorly sorted wackestone with *Murciella cuvillieri*, *Discorbidae* sp. b., *Miliolidae*, other benthic Foraminifera and Mollusca remains. $\times 25$



Figg. 2-9 – Sezioni variamente orientate di individui riferibili a *Murciella cuvillieri*. $\times 40$
– *Variously oriented sections of specimens referred to Murciella cuvillieri.* $\times 40$

La microfacies di fig. 1 e gli individui delle figg. 2-9 provengono dalla località Cerreto, Monte Cairo (Lazio meridionale).

Biozona a Discorbidae e Ostracoda.

CAMPANIANO SUPERIORE

– *The microfacies of fig. 1 and specimens of figs. 2-9 from Cerreto locality, Cairo Mt. (Southern Latium).*
Discorbidae and Ostracoda biozone.

UPPER CAMPANIAN

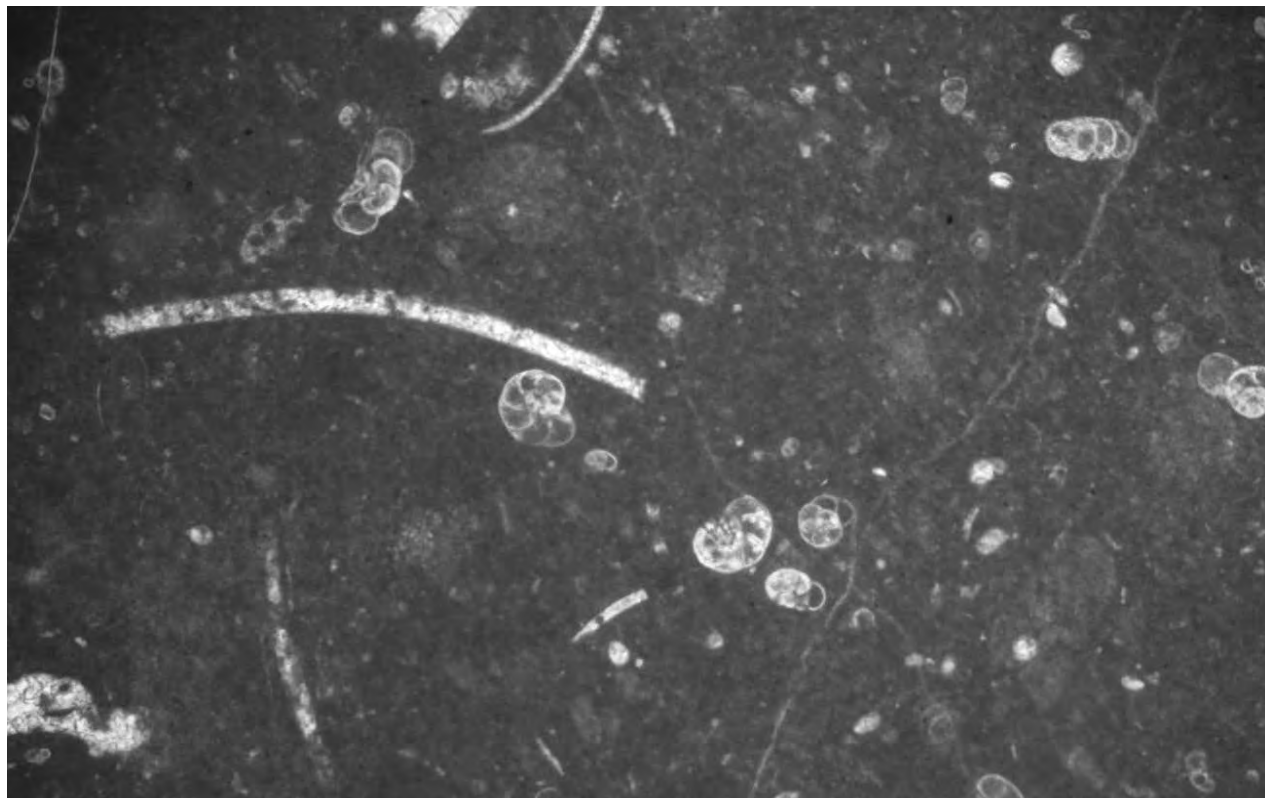
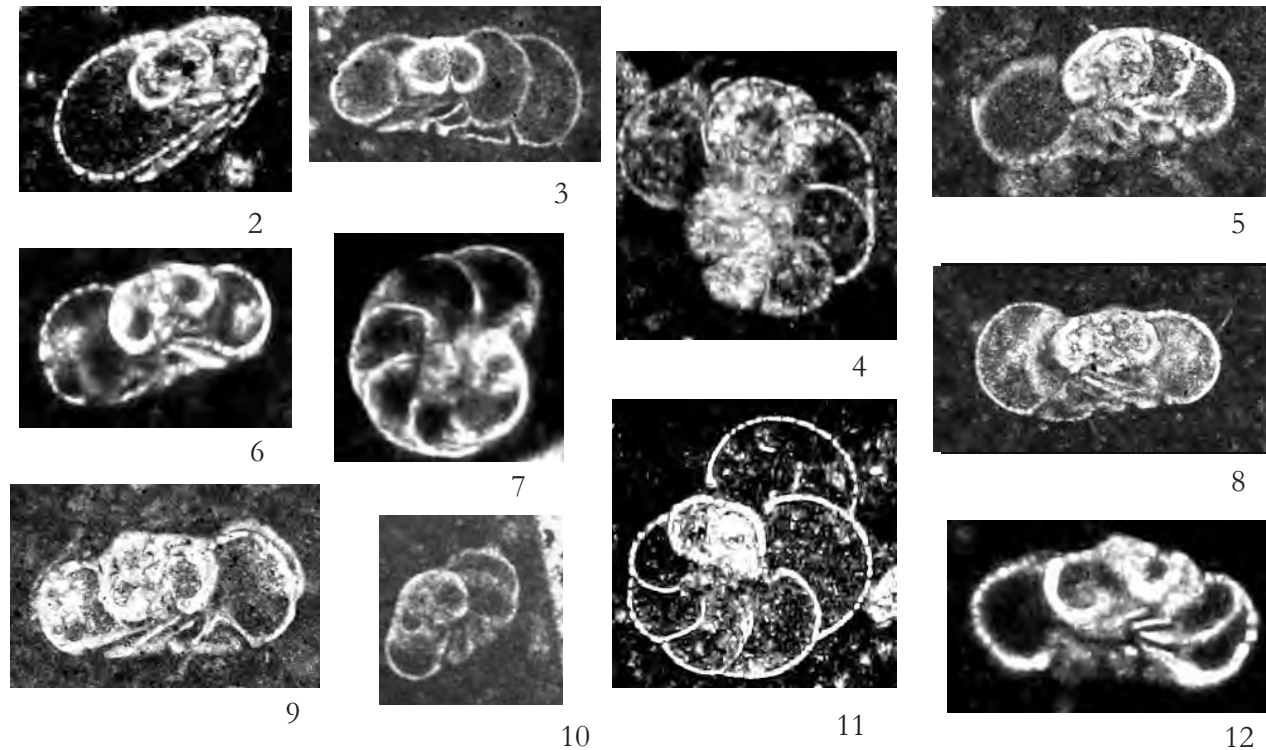


Fig. 1 – Wackestone con Discorbidae sp. b e resti di Mollusca. $\times 38$
 – Wackestone with Discorbidae sp. b. and Mollusca remains. $\times 38$



Figg. 2-12 – Sezioni variamente orientate di individui riferibili a Discorbidae sp. b. $\times 75$
 – Variously oriented sections of specimens referred to Discorbidae sp. b. $\times 75$

La microfacies di fig. 1 e gli individui delle figg. 2-12 provengono dalla sezione stratigrafica di Camerata Vecchia, Monti Simbruini (Lazio).

Biozona a Discorbidae e Ostracoda.

CAMPANIANO SUPERIORE

– The microfacies of fig. 1 and the specimens of figs. 2-12 from Camerata Vecchia stratigraphic section, Simbruini Mts. (Latium).
 Discorbidae and Ostracoda biozone.

UPPER CAMPANIAN

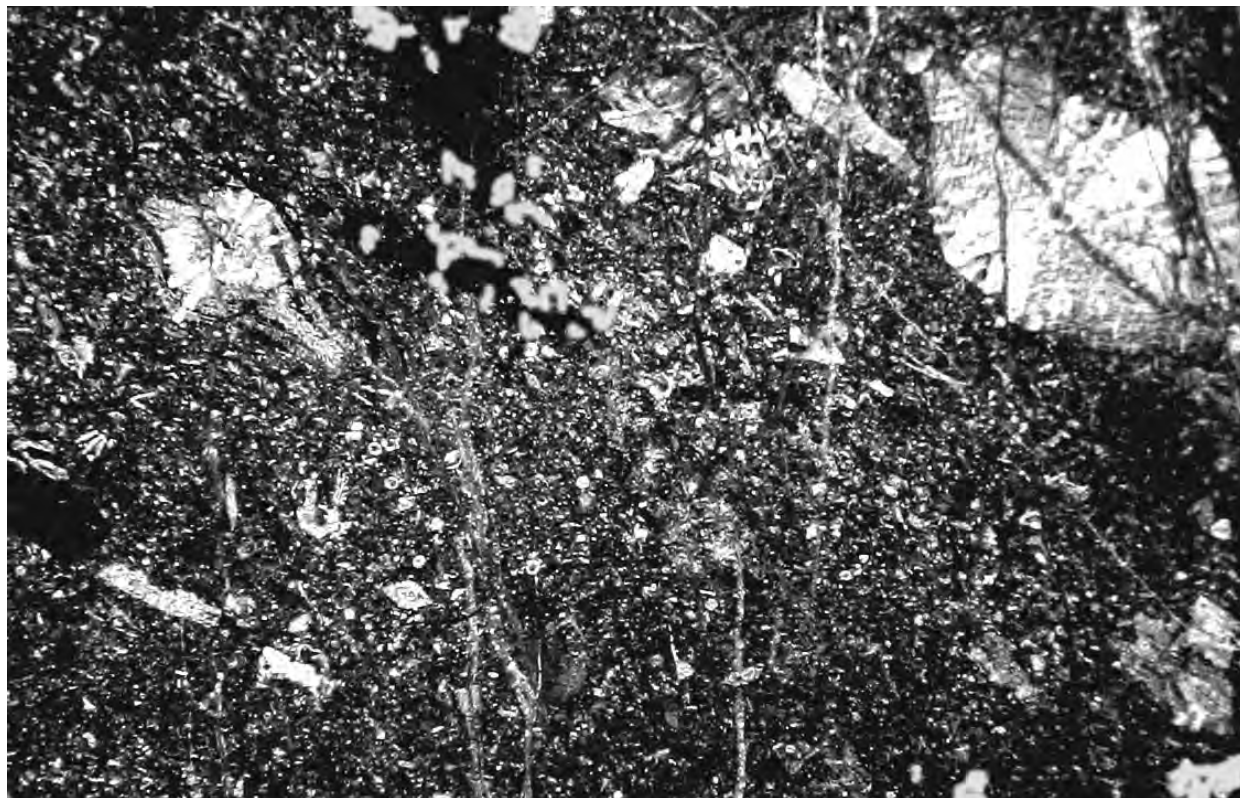
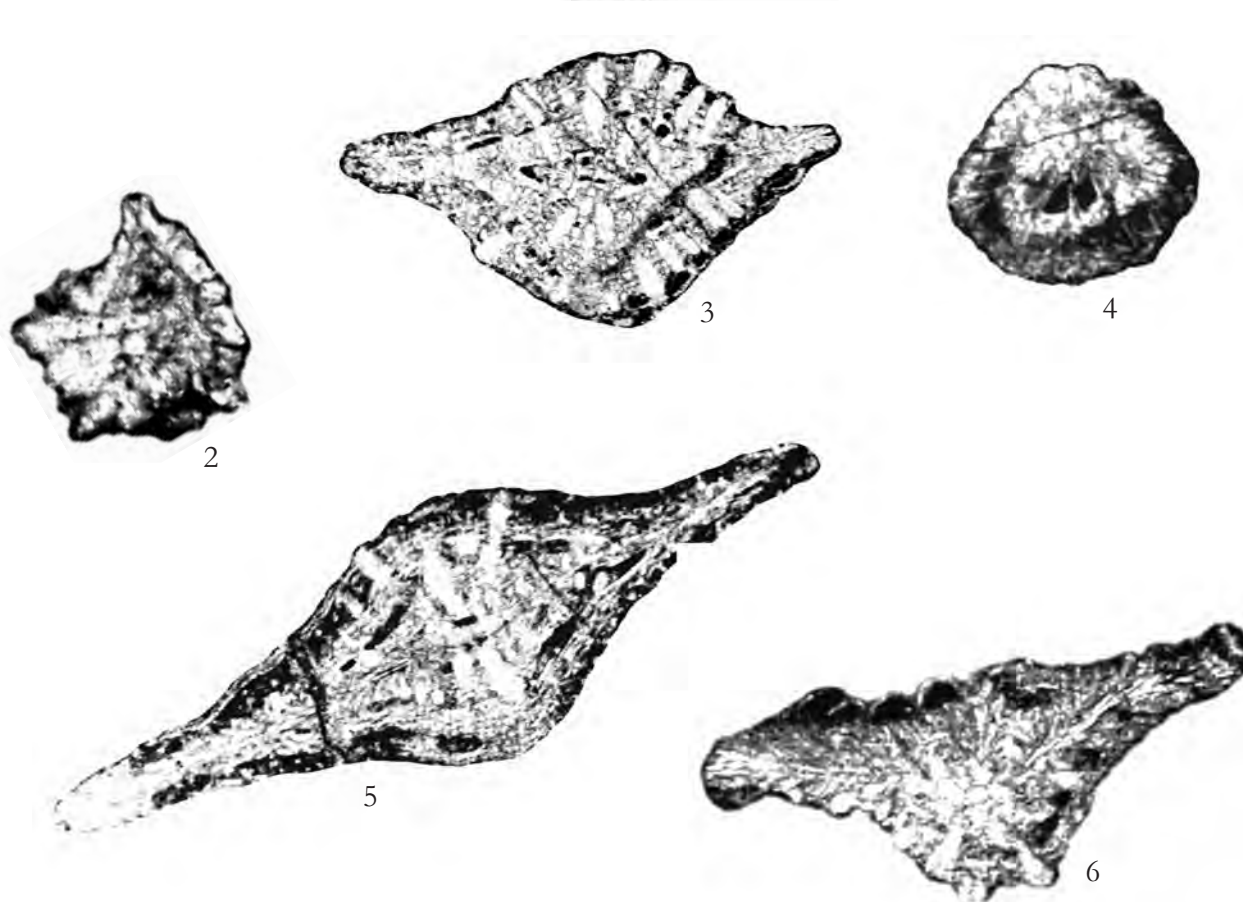


Fig. 1 – Floatstone mal classato con *Pseudosiderolites vidali*, *Orbitoides* sp. e altri Foraminiferi bentonici. $\times 15$
 – Poorly sorted floatstone with *Pseudosiderolites vidali*, *Orbitoides* sp. and other benthic Foraminifera. $\times 15$



Figg. 2-6 – Sezioni variamente orientate di individui riferibili a *Pseudosiderolites vidali*. $\times 25$
 – Variously oriented sections of specimens referred to *Pseudosiderolites vidali*. $\times 25$

La microfacies di fig. 1 e gli individui delle figg. 2-6 provengono da Marano Equo, Monti Simbruini (Lazio).
 Parte inferiore della biozona a *Orbitoides media*. CAMPANIANO SUPERIORE
 – The microfacies of fig. 1 and the specimens of figs. 2-6 from Marano Equo, Simbruini Mts. (Latium).
 Lower part of the *Orbitoides media* biozone. UPPER CAMPANIAN

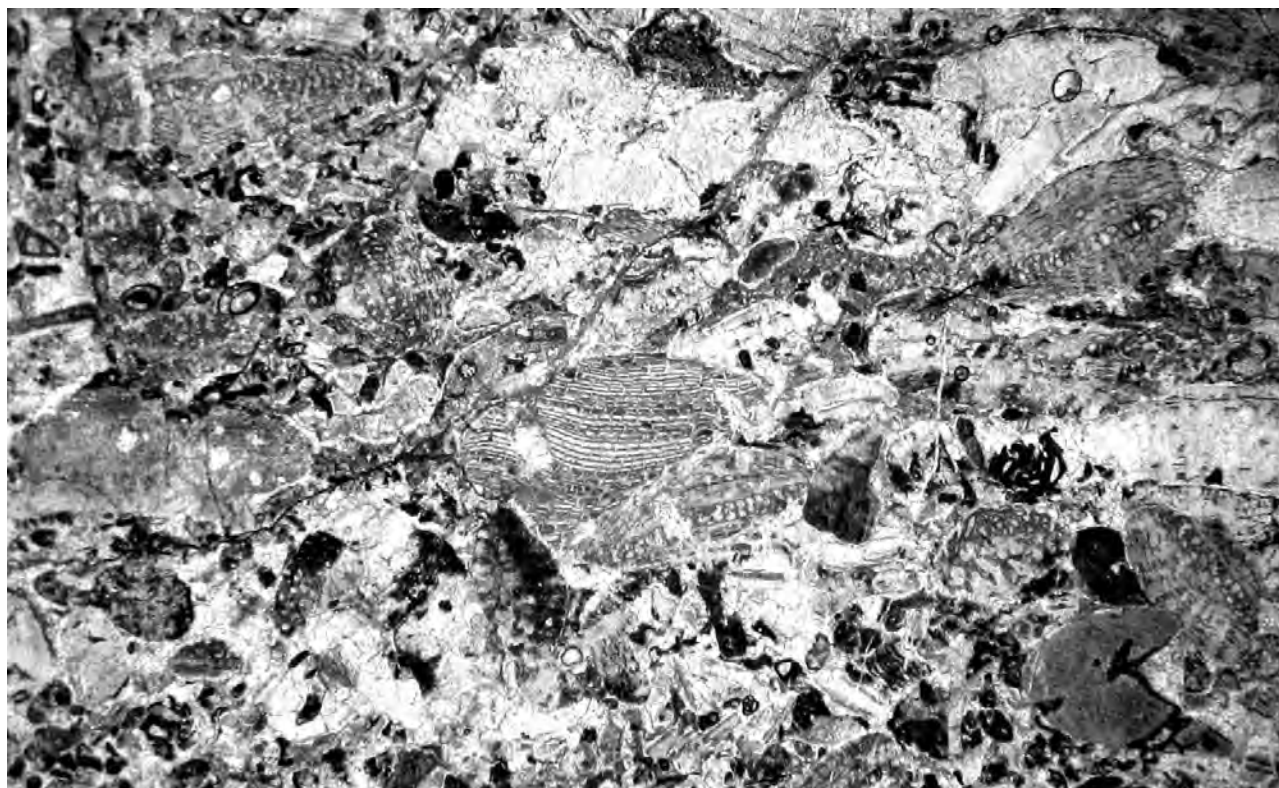
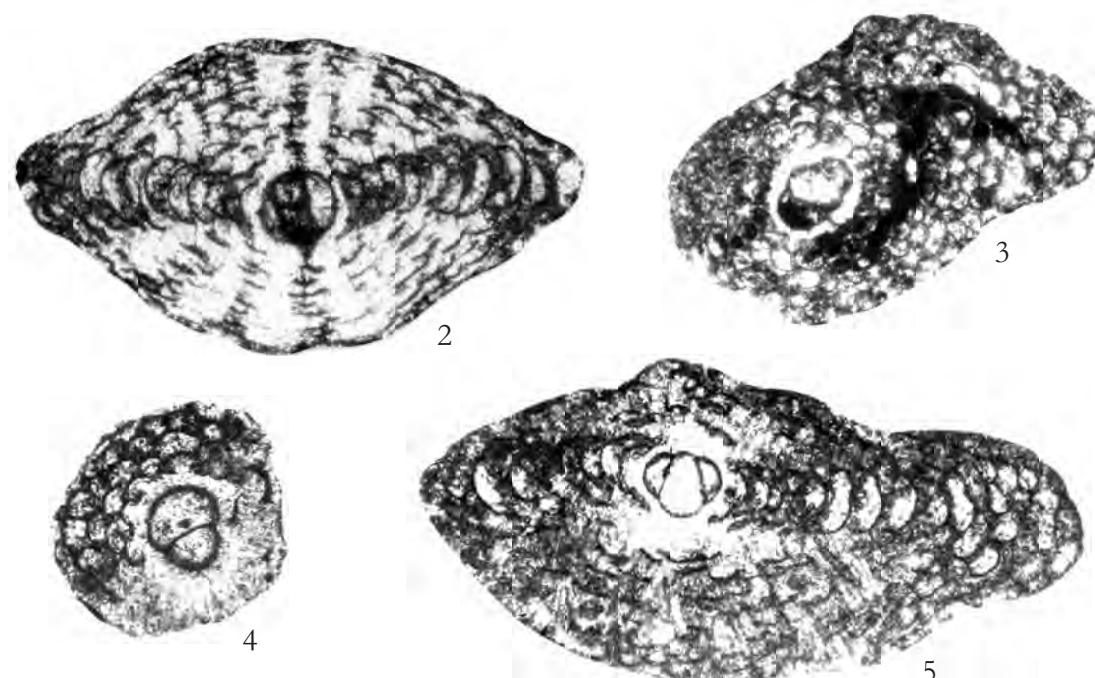


Fig. 1 – Rudstone con *Orbitoides media*, *Orbitoides sp.*, Miliolidae, resti di Hippuritacea e Echinodermata. $\times 15$
– Rudstone with *Orbitoides media*, *Orbitoides sp.*, Miliolidae, Hippuritacea and Echinodermata remains. $\times 15$



Figg. 2-5 – Sezioni variamente orientate di individui riferibili a *Orbitoides media*. $\times 45$
– Variously oriented sections of specimens referred to *Orbitoides media*. $\times 45$

La microfacies di fig. 1 e gli individui delle figg. 2-4 provengono dalla sezione stratigrafica di Rava Santa Maria, Monti Lepini; l'individuo di fig. 5 proviene dalla sezione stratigrafica di San Vincenzo, Monte Cairo (Lazio meridionale).

Biozona a *Orbitoides media*. CAMPANIANO SUPERIORE – MAASTRICHTIANO INFERIORE
– The microfacies of fig. 1 and the specimens of figs. 2-4 from Rava Santa Maria stratigraphic section, Lepini Mts.; the specimen of fig. 5 from San Vincenzo stratigraphic section, Cairo Mt. (Southern Latium).
Orbitoides media biozone. UPPER CAMPANIAN – LOWER MAASTRICHTIAN

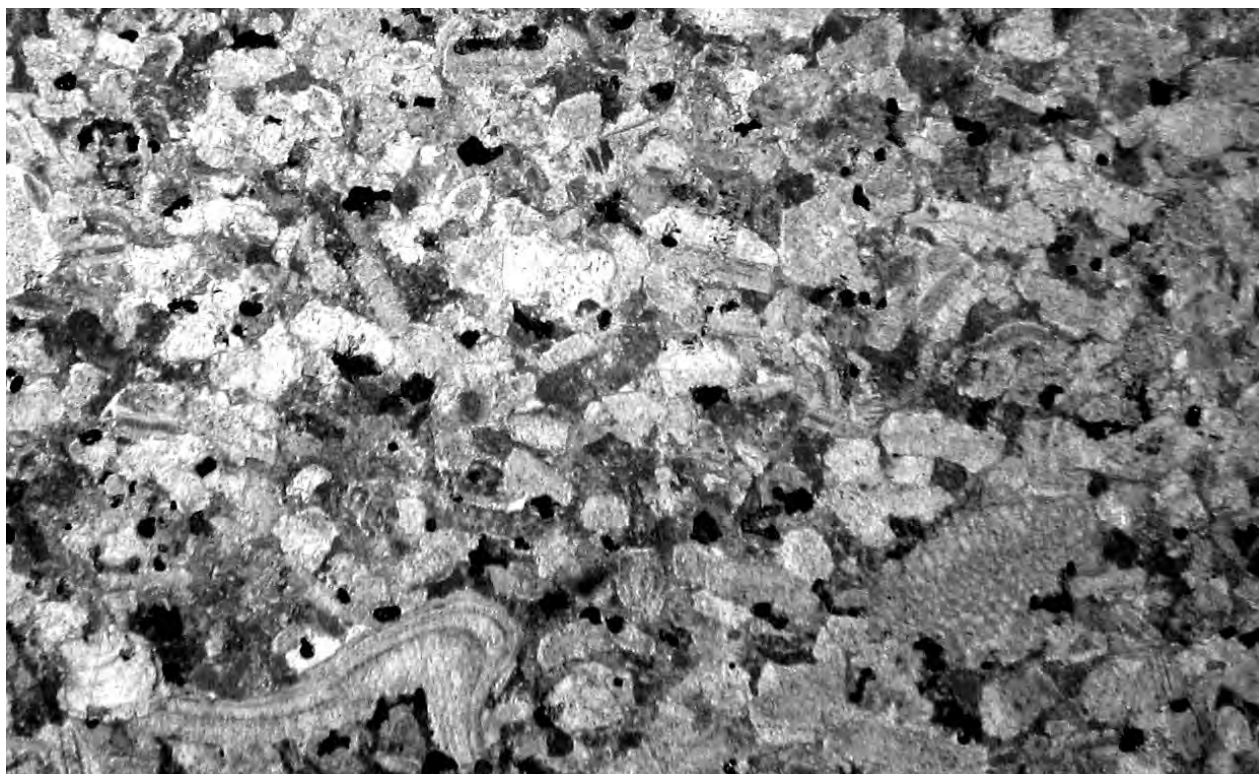
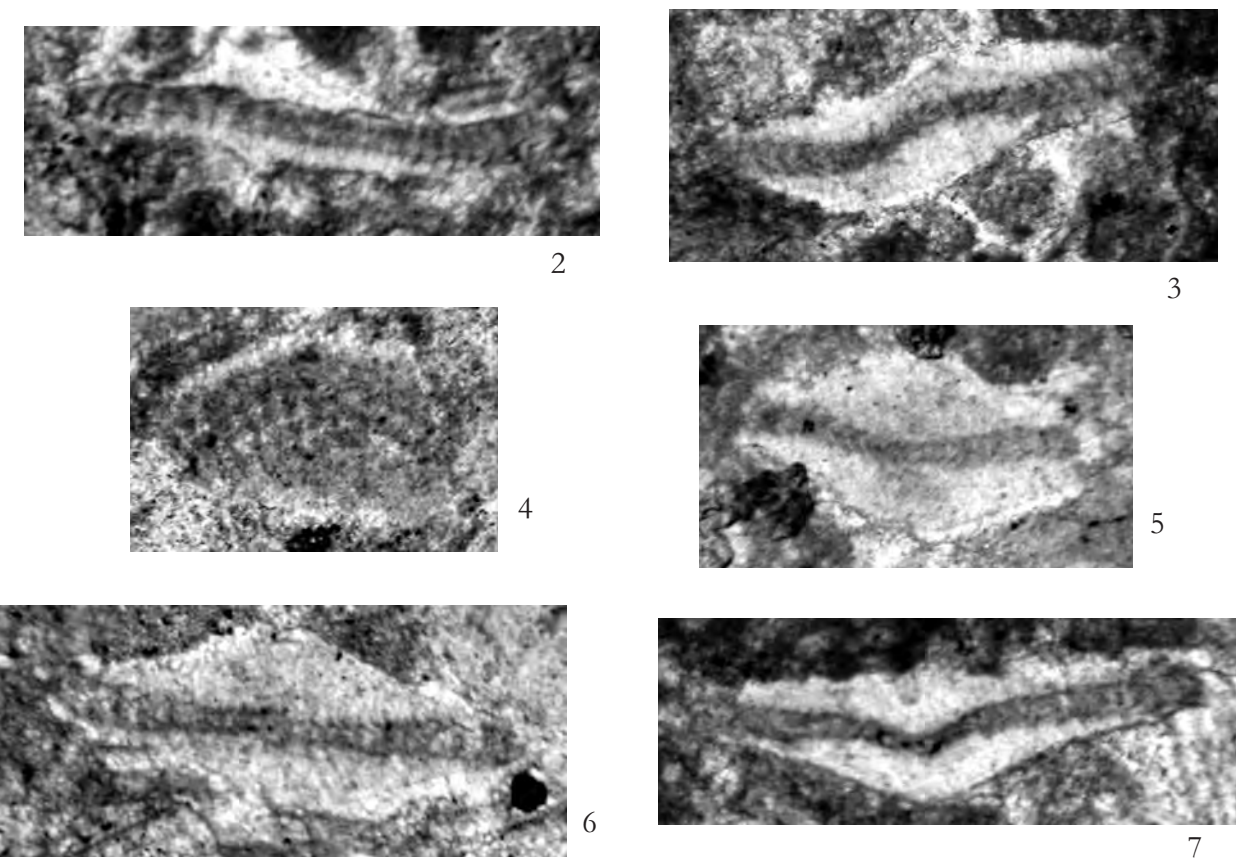


Fig. 1 – Rudstone con *Hellenocyclina beotica*, *Orbitoides* sp., frammenti di Hippuritacea e Echinodermata. $\times 25$
– Rudstone with *Hellenocyclina beotica*, *Orbitoides* sp., Hippuritacea and Echinodermata fragments. $\times 25$



Figg. 2-7 – Sezioni variamente orientate di individui riferibili a *Hellenocyclina beotica*. $\times 100$
– Variously oriented sections of specimens referred to *Hellenocyclina beotica*. $\times 100$

La microfacies di fig. 1 e gli individui delle figg. 2-7 provengono dalla sezione stratigrafica di Rava Santa Maria, Monti Lepini (Lazio meridionale).

Parte superiore della biozona a *Orbitoides media*.

MAASTRICHTIANO INFERIORE

– The microfacies of fig. 1 and the specimens of figs. 2-7 from the Rava Santa Maria stratigraphic section, Lepini Mts. (Southern Latium).

Upper part of the *Orbitoides media* biozone.

LOWER MAASTRICHTIAN

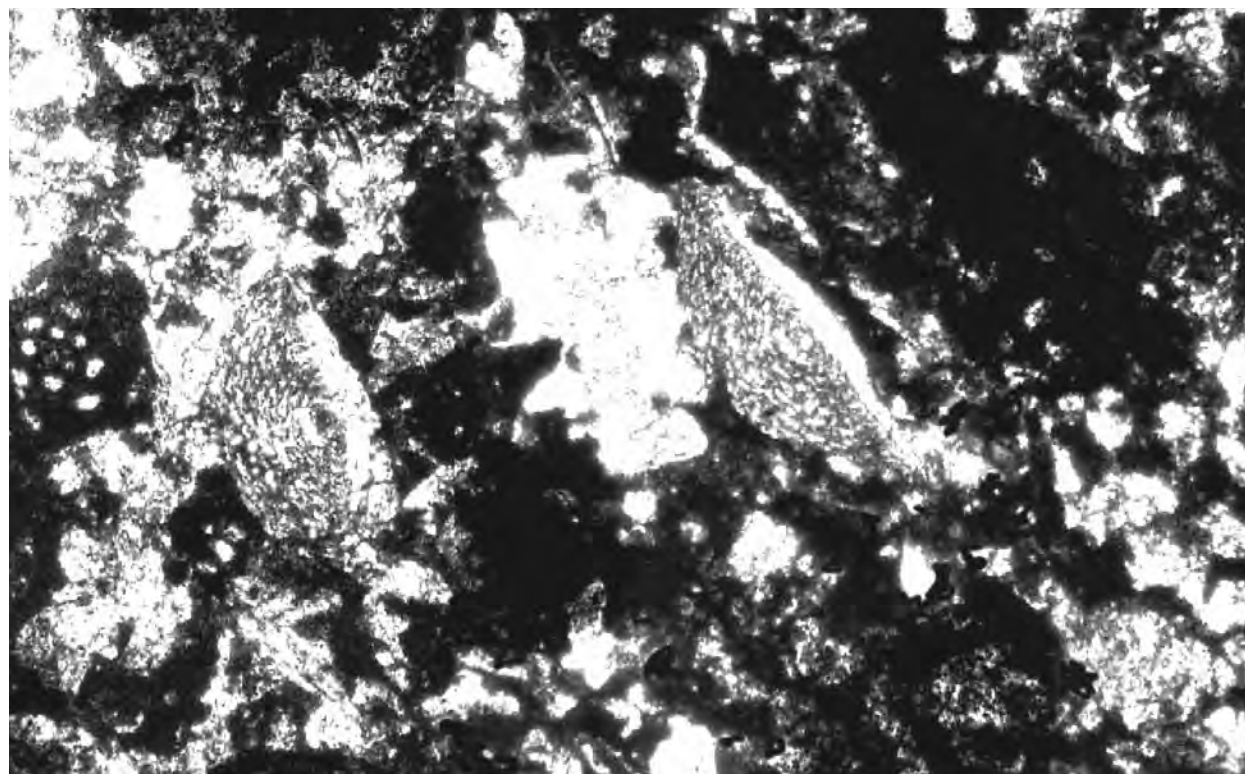
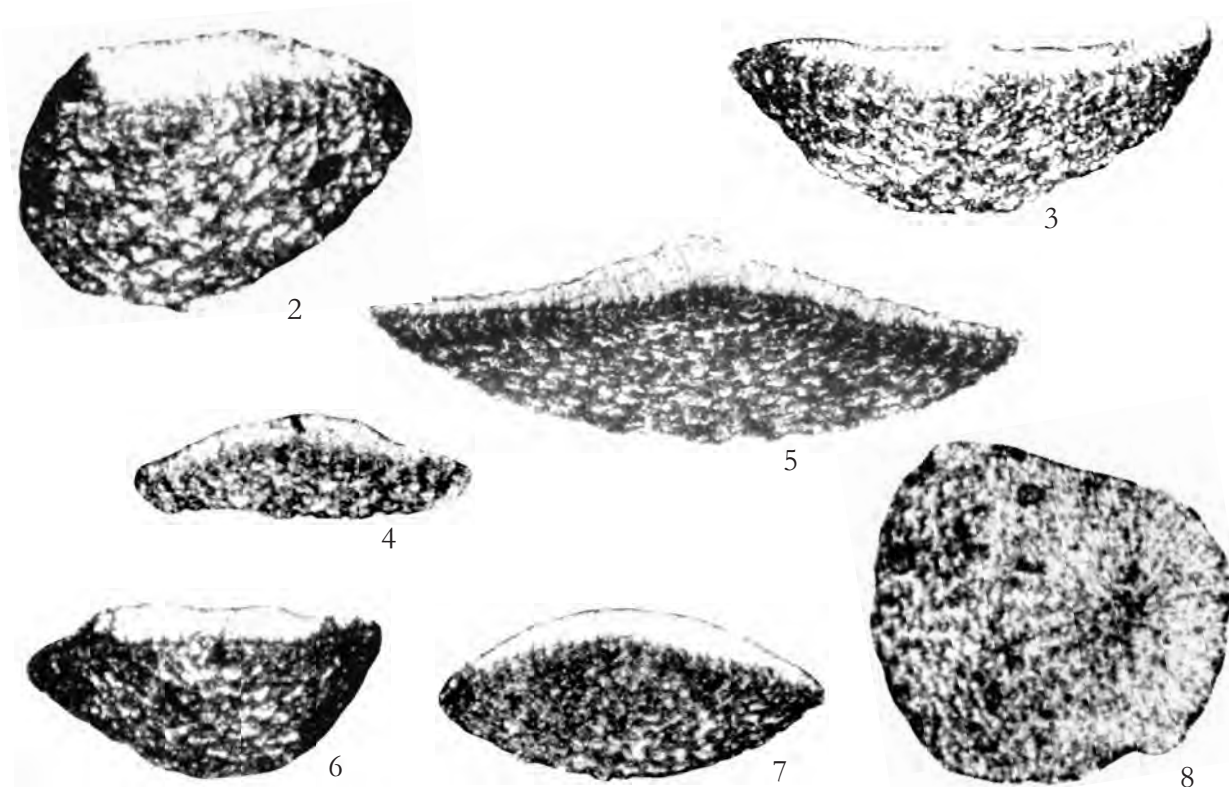


Fig. 1 – Rudstone con *Sivasella monolateralis*, altri Foraminiferi bentonici e resti di Hippuritidae. $\times 75$
 – Rudstone with *Sivasella monolateralis*, other benthic Foraminifera and Hippuritidae remains. $\times 75$



Figg. 2-8 – Sezioni variamente orientate di individui riferibili a *Sivasella monolateralis*. $\times 90$
 – Variously oriented sections of specimens referred to *Sivasella monolateralis*. $\times 90$

La microfacies di fig. 1 e gli individui delle figg. 2-8 provengono dalla sezione stratigrafica di Rava Santa Maria, Monti Lepini (Lazio meridionale).

Parte superiore della biozona a Orbitoides media.

MAASTRICHTIANO INFERIORE

– The microfacies of fig. 1 and the specimens of figs. 2-8 from Rava Santa Maria stratigraphic section, Lepini Mts. (Southern Lazio).

Upper part of the Orbitoides media biozone.

LOWER MAASTRICHTIAN

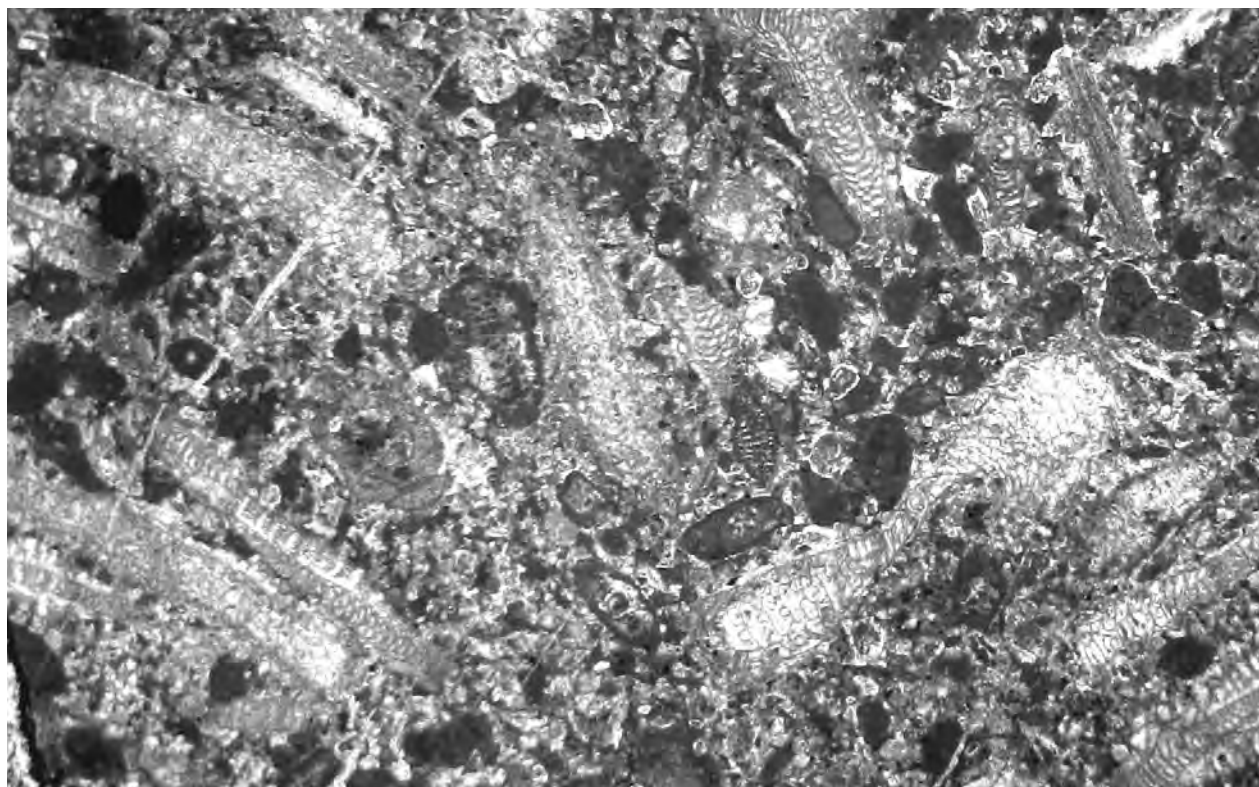
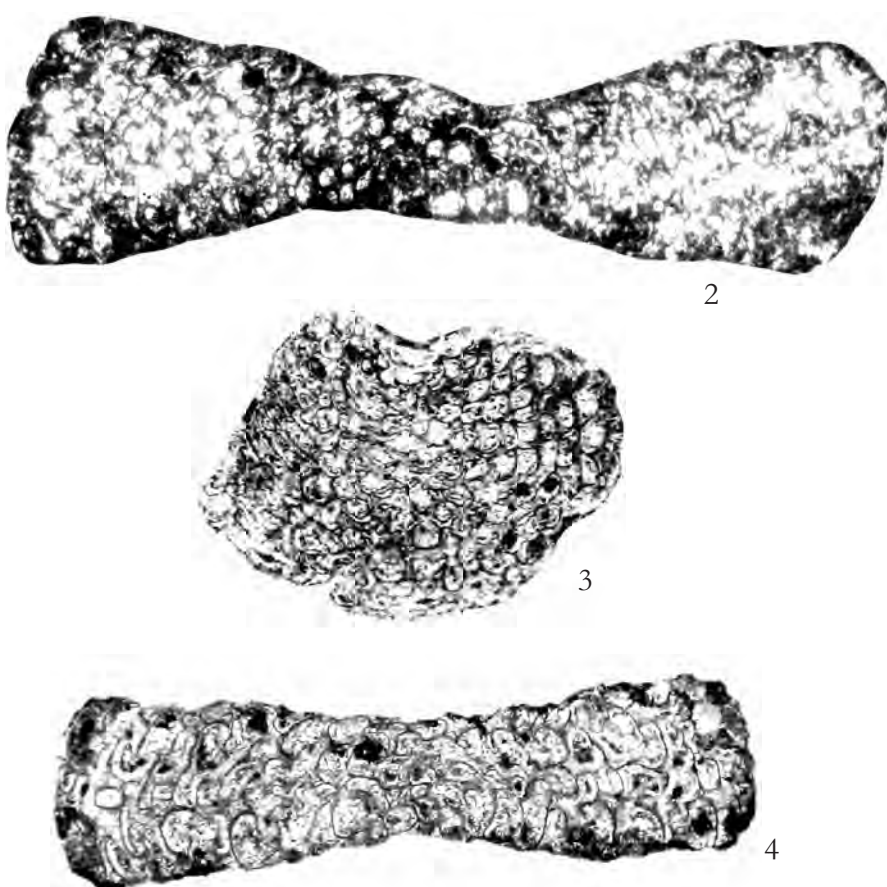


Fig. 1 – Rudstone con *Omphalocyclus macroporus*, *Orbitoides* sp., resti di Mollusca e Echinodermata. x 18
 – Rudstone with *Omphalocyclus macroporus*, *Orbitoides* sp., Mollusca and Echinodermata remains. x 18



Figg. 2-4 – Sezioni variamente orientate di individui riferibili a *Omphalocyclus macroporus*. x 42
 – Variously oriented sections of specimens referred to *Omphalocyclus macroporus*. x 42

La microfacies di fig. 1 e gli individui delle figg. 2-4 provengono dalla sezione stratigrafica di Rava Santa Maria, Monti Lepini (Lazio meridionale).

Parte superiore della biozona a *Orbitoides media*.

MAASTRICHTIANO

– The microfacies of fig. 1 and the specimens of figs. 2-4 from Rava Santa Maria stratigraphic section, Lepini Mts. (Southern Latium).

Upper part of *Orbitoides media* biozone.

MAASTRICHTIAN

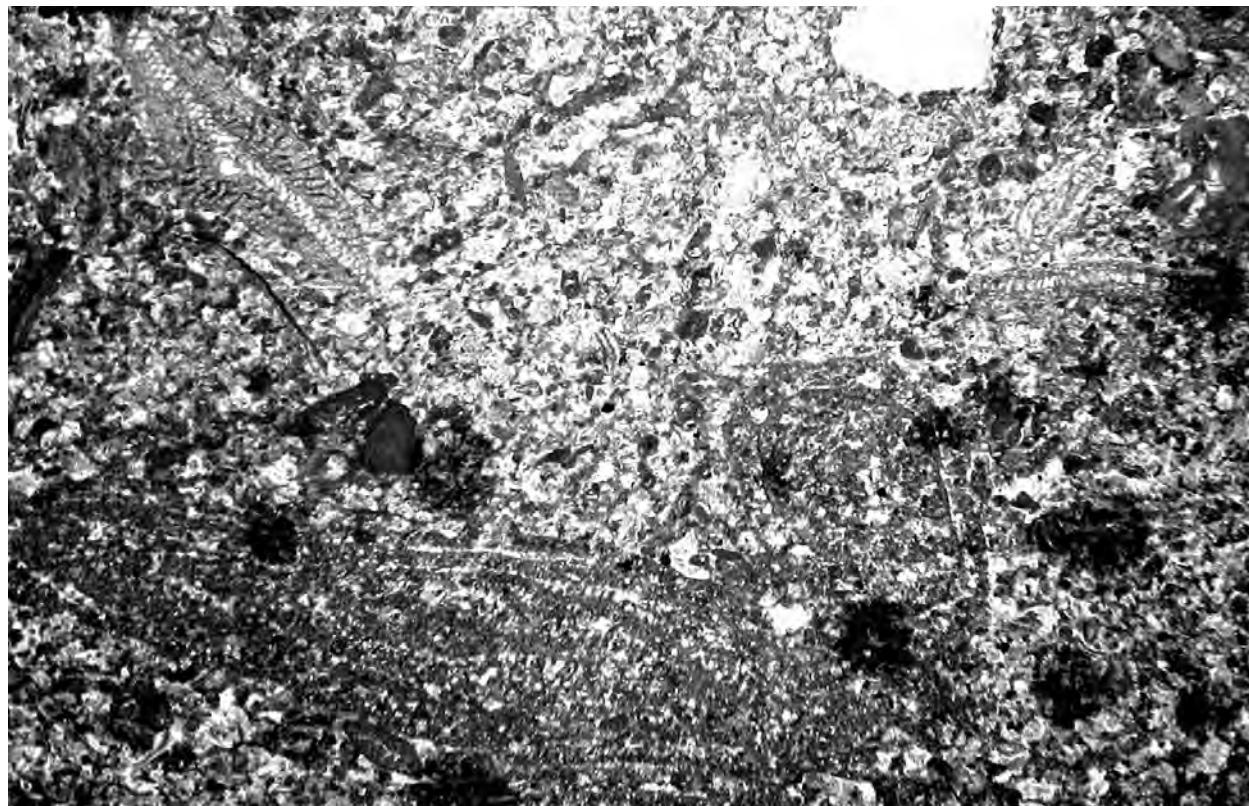
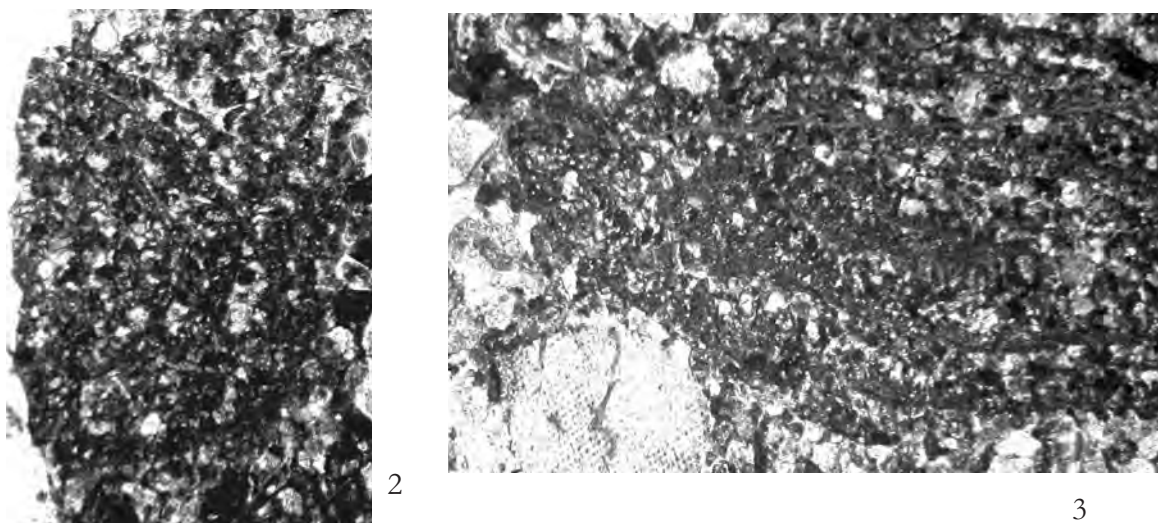


Fig. 1 – Rudstone con *Loftusia* sp., *Orbitoides* sp., *Hellenocydina beotica* e frammenti di Echinodermata. $\times 10$
 – Rudstone with *Loftusia* sp., *Orbitoides* sp., *Hellenocydina beotica* and Echinodermata fragments. $\times 10$



Figg. 2-3 – Sezioni variamente orientate di individui riferibili a *Loftusia* sp. $\times 15$
 – Variously oriented sections of specimens referred to *Loftusia* sp. $\times 15$

La microfacies di fig. 1 e gli individui delle figg. 2-3 provengono dalla sezione stratigrafica di Rava Santa Maria, Monti Lepini (Lazio meridionale).

Parte superiore della biozona a *Orbitoides media*.

MAASTRICHTIANO

– The microfacies of fig. 1 and the specimens of figs. 2-3 from Rava Santa Maria stratigraphic section, Lepini Mts. (Southern Latium).

Upper part of *Orbitoides media* biozone.

MAASTRICHTIAN

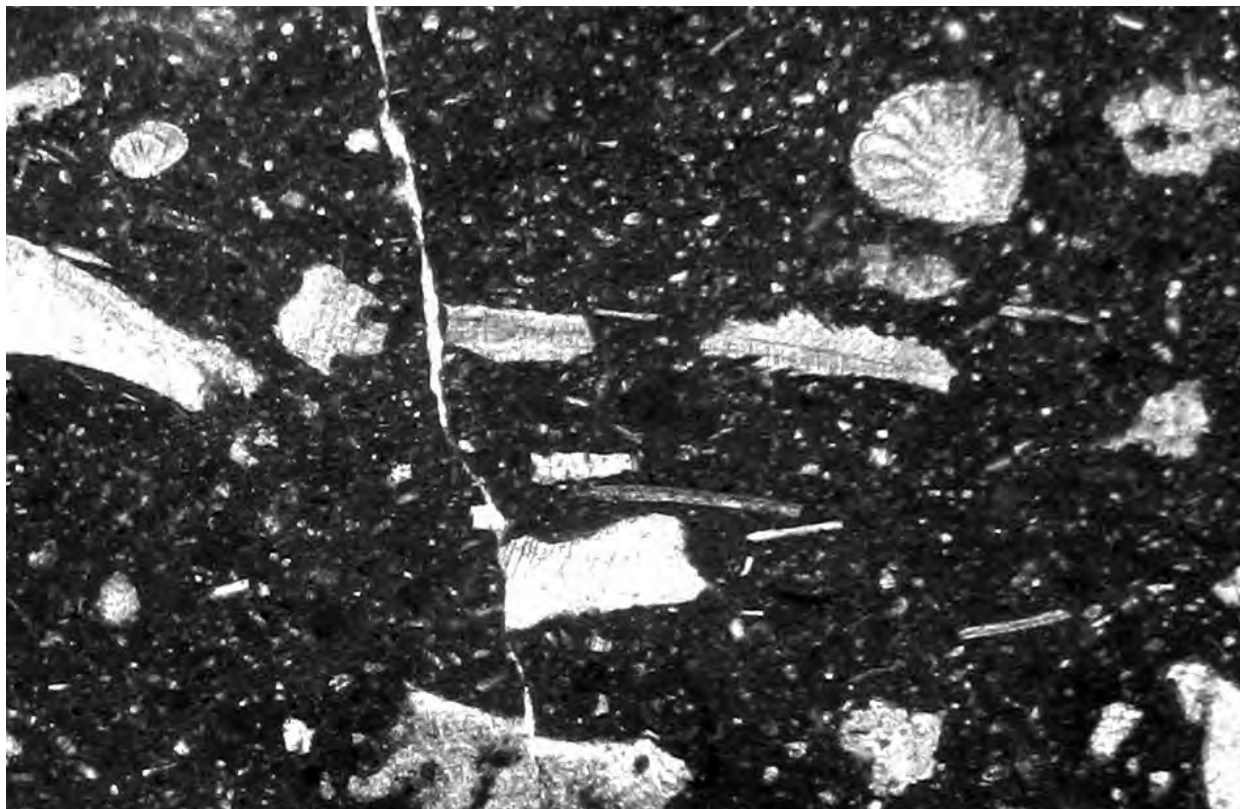
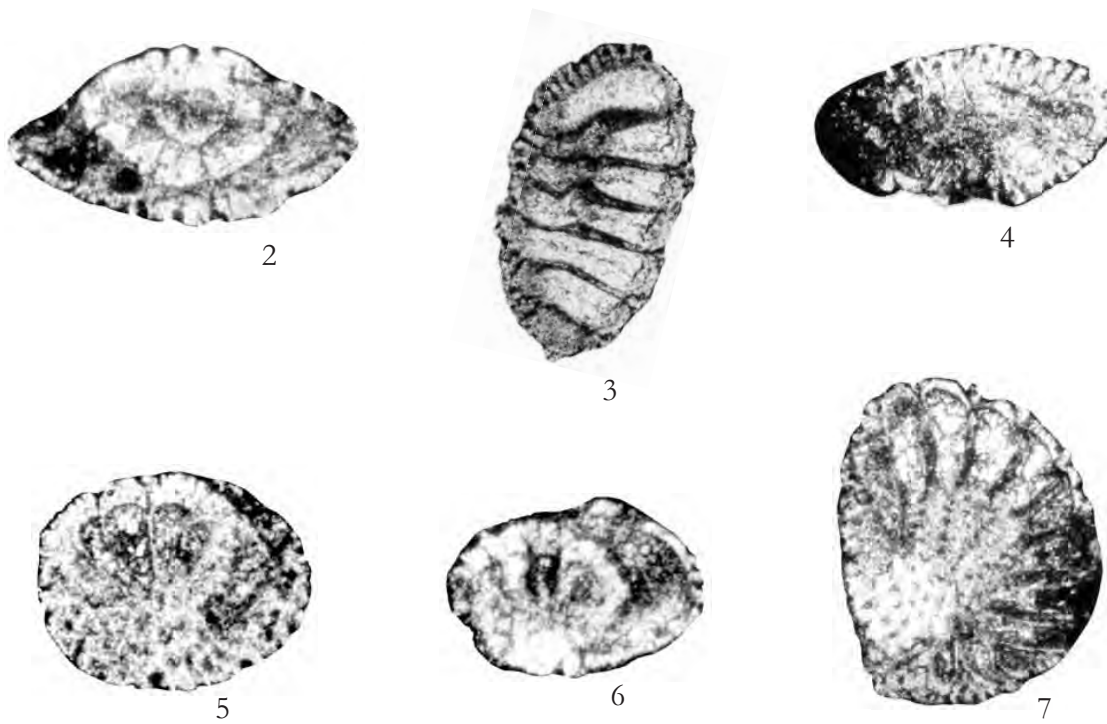


Fig. 1 – Wackestone con *Laffitteina mengaudi* e resti di Hippuritacea. $\times 30$
 – Wackestone with *Laffitteina mengaudi* and *Hippuritacea* remains. $\times 30$



Figg. 2-7 – Sezioni variamente orientate di individui riferibili a *Laffitteina mengaudi*. $\times 60$
 – Variously oriented sections of specimens referred to *Laffitteina mengaudi*. $\times 60$

La microfacies di fig. 1 e gli individui delle figg. 2-7 provengono dalla sezione stratigrafica di Rava Santa Maria, Monti Lepini (Lazio meridionale).

Biozona a Discorbidae e Miliolidae.

MAASTRICHTIANO SUPERIORE

– The microfacies of fig. 1 and the specimens of figs. 2-7 from Rava Santa Maria stratigraphic section, Lepini Mts. (Southern Latium).

Discorbidae e Miliolidae biozone.

UPPER MAASTRICHTIAN

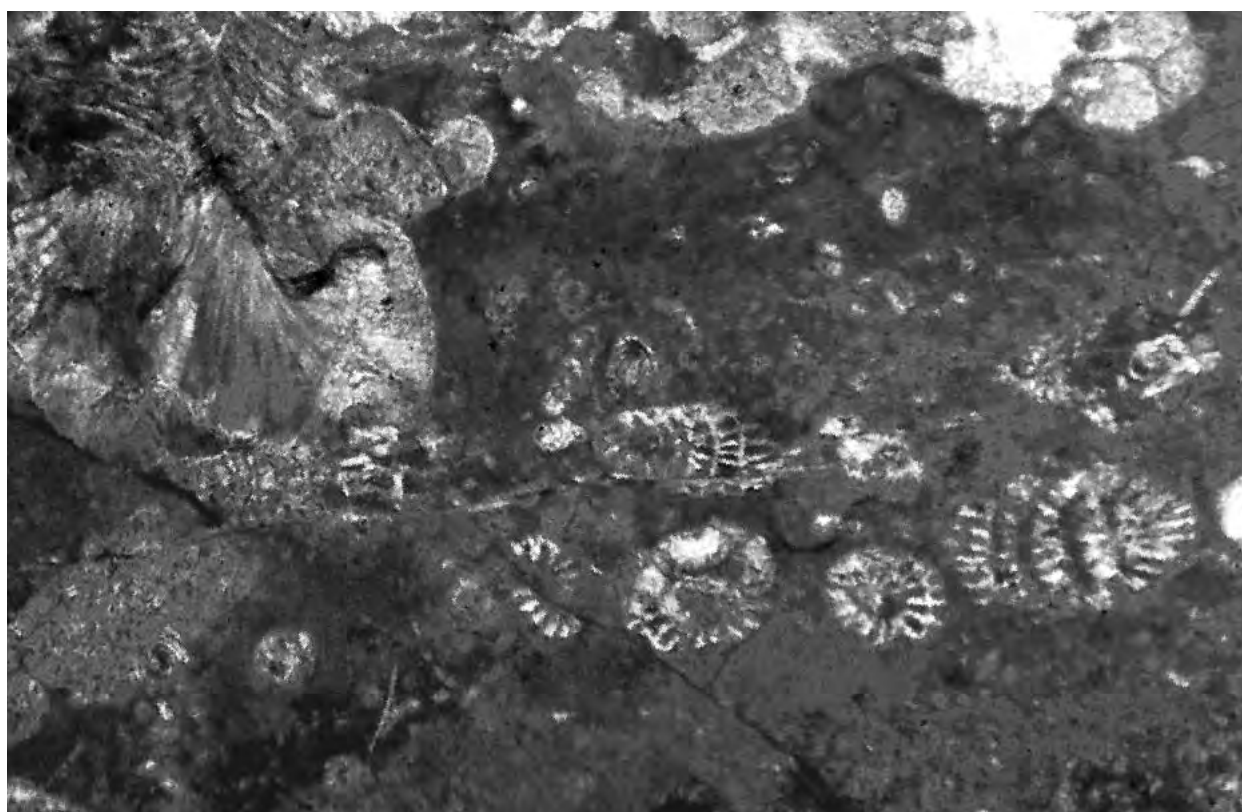
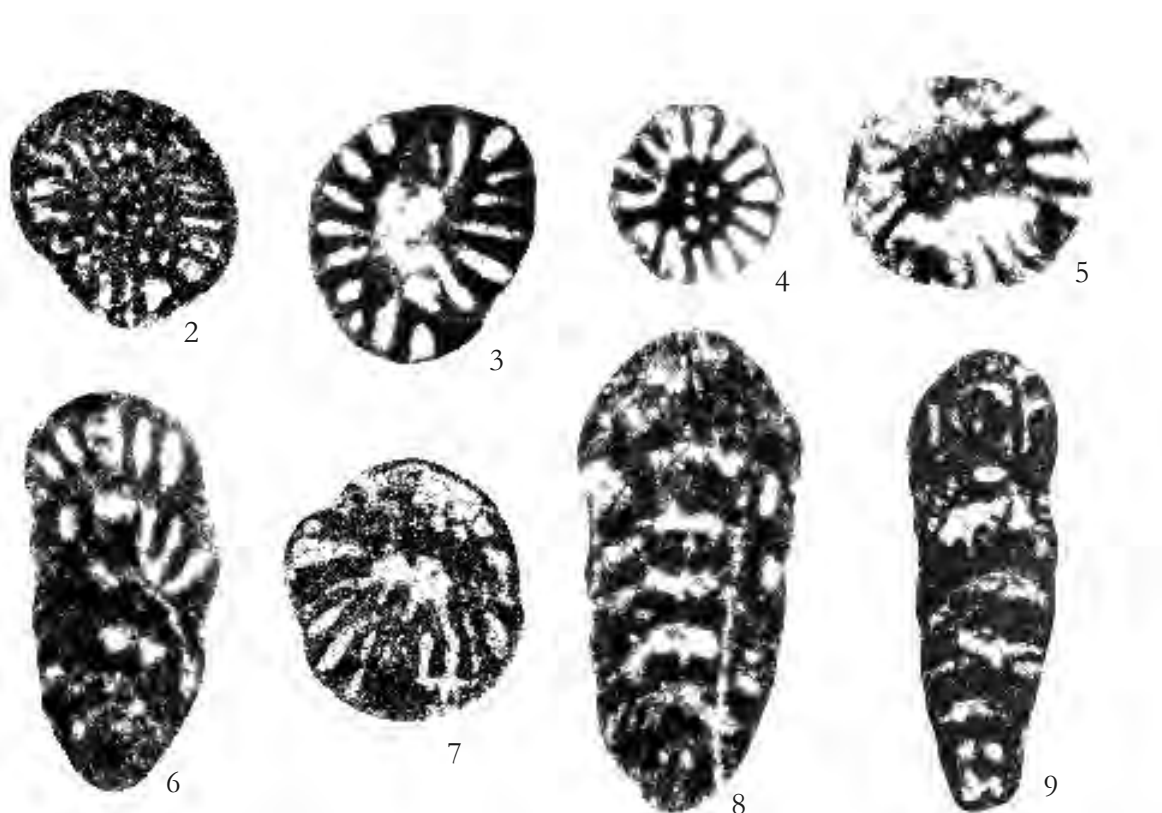


Fig. 1 – Wackestone con esemplari isorientati, epigenizzati di *Rhydydionina liburnica* con *Microcodium*. $\times 30$
 – Wackestone with iso-oriented and epigenetic *Rhydydionina liburnica* specimens, with *Microcodium*. $\times 30$



Figg. 2-9 – Sezioni variamente orientate di individui riferibili a *Rhydydionina liburnica*. $\times 50$
 – Variously oriented sections of specimens referred to *Rhydydionina liburnica*. $\times 50$

La microfacies di fig. 1 proviene dalla sezione stratigrafica Affilani Nord (Lazio), e gli individui delle figg. 2-9 provengono dalla sezione stratigrafica di Rava Santa Maria, Monti Lepini (Lazio meridionale).
 Biozona a Discorbidae e Miliolidae. MAASTRICHTIANO SUPERIORE
 – The microfacies of fig. 1 from Affilani Northern stratigraphic section (Latium), and the specimens of figs. 2-9 from Rava Santa Maria stratigraphic section, Lepini Mts. (Southern Latium).
 Discorbidae and Miliolidae biozone. UPPER MAASTRICHTIAN

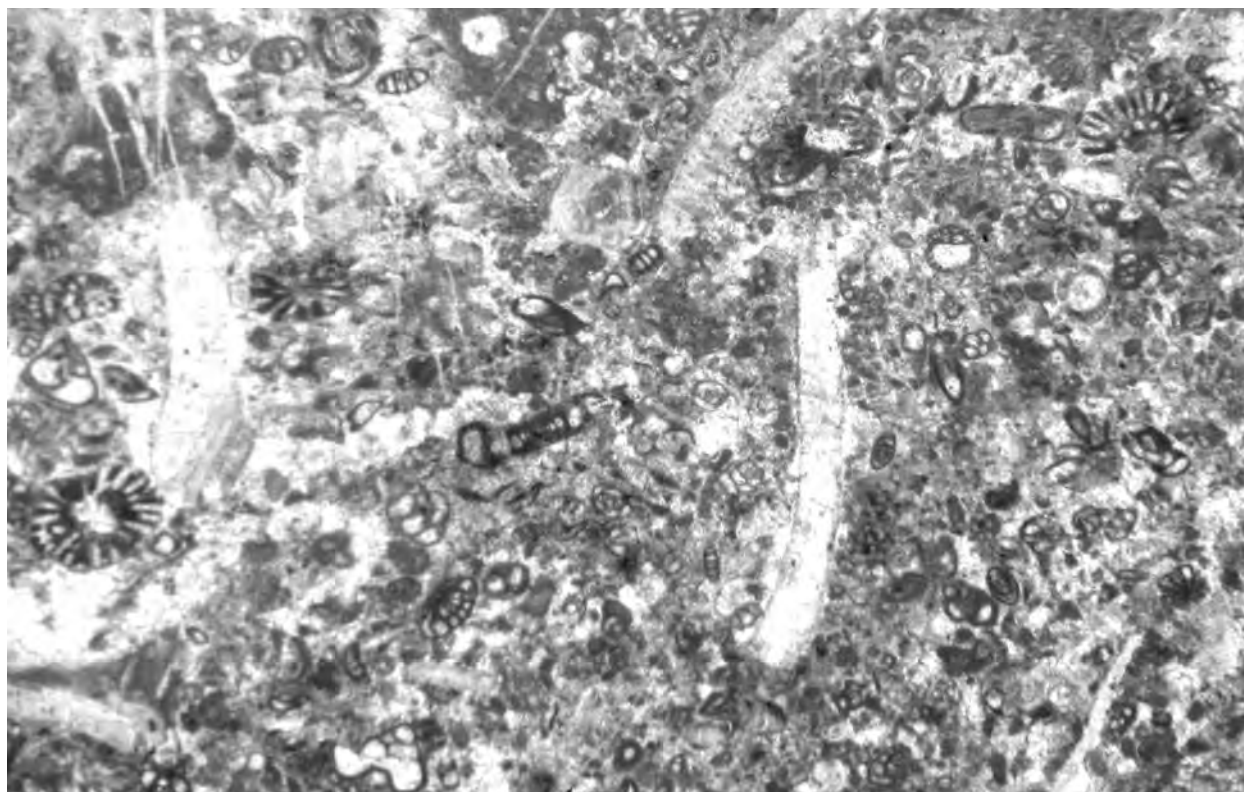
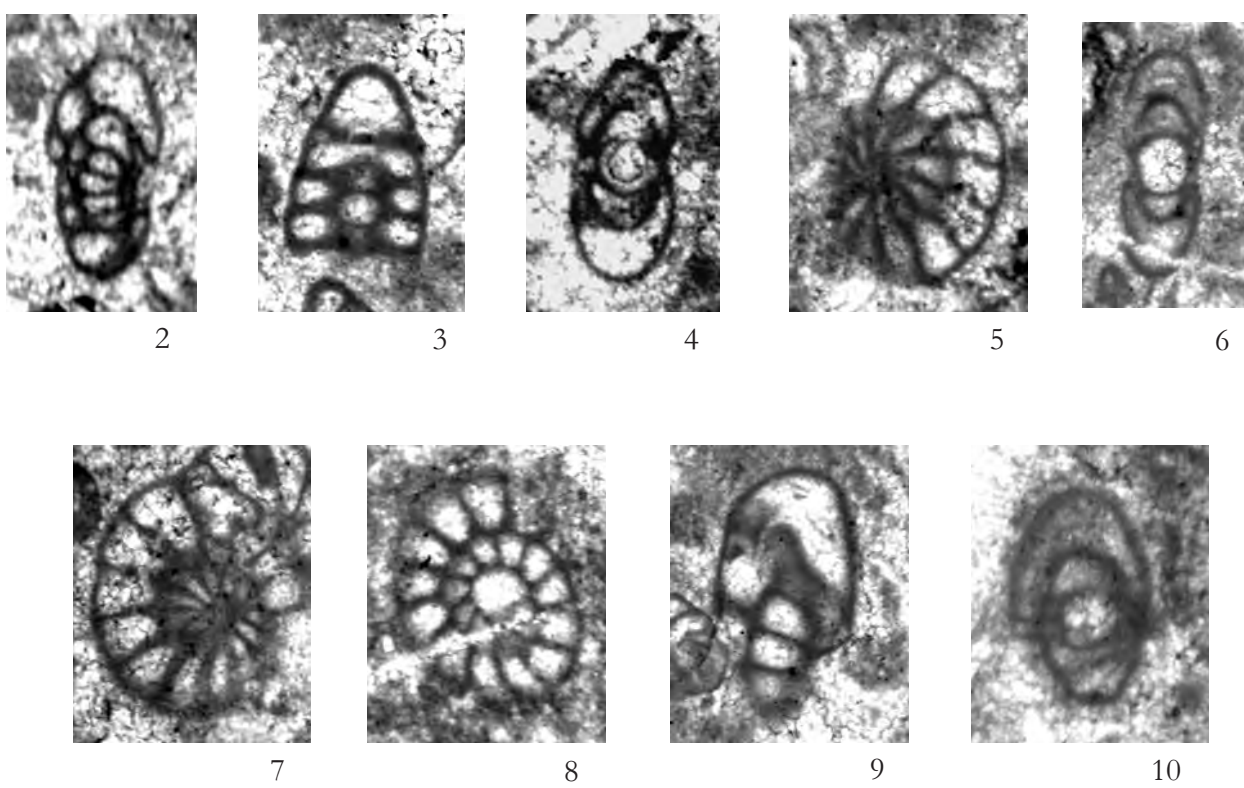


Fig. 1 – Packstone con *Fleuryana adriatica*, *Rhyapdionina liburnica*, altri Foraminiferi bentonici e resti di Mollusca. $\times 25$
 – Packstone with *Fleuryana adriatica*, *Rhyapdionina liburnica*, other benthic Foraminifera and Mollusca remains. $\times 25$



Figg. 2-10 – Sezioni variamente orientate di individui riferibili a *Fleuryana adriatica*. $\times 60$
 – Variously oriented sections of specimens referred to *Fleuryana adriatica*. $\times 60$

La microfacies di fig. 1 e gli individui delle figg. 2-10 provengono dalla sezione stratigrafica di Rava Santa Maria, Monti Lepini (Lazio meridionale).

Biozona a Discorbidae e Miliolidae.

MAASTRICHTIANO SUPERIORE

– The microfacies of fig. 1 and the specimens of figs. 2-10 from Rava Santa Maria stratigraphic section, Lepini Mts. (Southern Lazio).

Discorbidae and Miliolidae biozone.

UPPER MAASTRICHTIAN